

CAPOGRUPPO MANDATARIO

TECO + Partners

studio tecnico associato con sede in via Tiarini 20/2b,
40129 Bologna, tel / fax: 051352493 / 051379161
e-mail: teco@studioteco.it

**Progettazione architettonica, DL generale
ed operativa, coordinamento fra le parti**

Ing. Carlo Rotellini



**Progettazione e DLO impianti idro-termo-
sanitari, antincendio, energetici, ambientali,
elettrici e speciali**

ing. Massimo Savini

**Coordinamento alla sicurezza in fase di
progettazione ed esecuzione**

arch. Patrizio Chiavarini

MANDANTE

MYND Ingegneria Srl



Via Andrea Costa 144 - 40067
Rastignano (Bo)
tel. +39-051-744362
fax. +39-051-744362
http: www.myndingegneria.it
@: info@myndingegneria.it

Progettazione e DL strutture

ing. Nicola Somà



MANDANTE

Dott. Geol. Luca Tondi

via P.G.Martini, n. 38/F - 40134 Bologna (BO)
tel +39 051 6144617, fax +39 051 6144617;
E-mail: luca@studio-tondi.it, PEC studio-tondi@pec.it.

**Responsabile della Redazione della
Relazione Geologica**

MANDANTE GIOVANE PROFESSIONISTA

Arch. Elena Melegari (collaboratore)

Progettazione Opere Architettoniche

COMUNE DI
MARZABOTTO
(BO)



Progetto esecutivo per la ristrutturazione importante della nuova palestra di Marzabotto

responsabile del procedimento

Geom. Maurizio Sonori

COMMITTENTE:

Comune di Marzabotto

DATI GARA:

Committente: Unione dei Comuni dell'Appennino Bolognese
CUP. G69H17000000001, CIG. 7685448851, CPV. 71221000-3

Progetto Esecutivo

Relazione illustrativa e di calcolo strutturale

scala:
--

RST

20/05/2019

data di emissione:

20/05/2019

disegnato da:

A.T.

approvato da:

M.S.

studio tecnico associato con sede in via Tiarini 20/2B, 40129 Bologna, tel / fax: 051352493 / 051379161, e-mail: teco@studioteco.it

TECO + Partners



RELAZIONE ILLUSTRATIVA E DI CALCOLO		
Data emissione: 20/05/2019	RST Relazione illustrativa e di calcolo strutturale.docx	1 di 267

INDICE

1 ILLUSTRAZIONE SINTETICA DEGLI ELEMENTI ESSENZIALI DEL PROGETTO

STRUTTURALE 6

1.1	INTRODUZIONE	6
1.2	DESCRIZIONE DEL CONTESTO EDILIZIO	7
1.3	DESCRIZIONE GENERALE DELLA STRUTTURA.....	9
1.4	NORMATIVA TECNICA E RIFERIMENTI TECNICI UTILIZZATI	10
1.5	DEFINIZIONE DEI PARAMETRI DI PROGETTO	10
1.6	DESCRIZIONE DEI MATERIALI.....	11
1.6.1	<i>Materiali nuovi elementi strutturali:</i>	11
1.7	ILLUSTRAZIONE DEI CRITERI DI PROGETTAZIONE E DI MODELLAZIONE	12
1.8	COMBINAZIONI DELLE AZIONI	12
1.9	METODO DI ANALISI	14
1.10	CRITERI DI VERIFICA.....	15
1.11	RAPPRESENTAZIONE DELLE CONFIGURAZIONI DEFORMATE E DELLE CARATTERISTICHE DI SOLLECITAZIONE DELLE STRUTTURE	15
1.11.1	<i>Configurazioni deformate a seguito dell'azione sismica e dei carichi statici agenti: corpo ingresso.....</i>	15
1.11.2	<i>Configurazioni deformate a seguito dell'azione sismica e dei carichi statici agenti: corpo spogliatoi</i>	18
1.11.3	<i>Configurazioni deformate a seguito dell'azione sismica e dei carichi statici agenti: palestra</i>	21

2 NORME TECNICHE DI RIFERIMENTO 25

3 CARATTERISTICHE DEI MATERIALI 26

3.1	OPERE DI NUOVA REALIZZAZIONE.....	26
3.1.1	<i>Calcestruzzo</i>	26
3.1.2	<i>Acciaio per cemento armato ad aderenza migliorata</i>	27
3.1.3	<i>Acciaio da carpenteria</i>	27
3.1.4	<i>Prefabbricato</i>	27

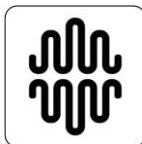
4 ANALISI DEI CARICHI STATICI E DINAMICI 31

4.1	AZIONI DEL VENTO	31
4.2	AZIONI DELLA NEVE	33



RELAZIONE ILLUSTRATIVA E DI CALCOLO		
Data emissione: 20/05/2019	RST Relazione illustrativa e di calcolo strutturale.docx	2 di 267

4.3	CARICHI SUI SOLAI	34
4.3.1	Solaio COP01 – solaio copertura area ginnica	35
4.3.2	Solaio COP02a – copertura in opera spogliatoi	36
4.3.3	Solaio COP02b – copertura in opera atrio	37
4.3.4	Solaio COP02c – copertura in opera atrio a sbalzo	37
4.3.5	Solaio COP02d – copertura in opera spogliatoi	37
4.3.6	Solaio COP03 – solaio pensilina sp. 38 cm	37
4.3.7	Solaio COP04 – pensilina a secco sp. 26 cm	37
4.4	AZIONE SISMICA.....	39
5	MODELLI DI CALCOLO: CORPO INGRESSO	45
5.1	COMBINAZIONE DELLE AZIONI	45
5.2	BREVE ILLUSTRAZIONE DEI CODICI DI CALCOLO	47
5.2.1	Midas Gen.....	47
5.3	CRITERI DI VERIFICA.....	48
5.3.1	Combinazioni delle azioni.....	48
5.4	CRITERI GENERALI DELLA MODELLAZIONE	48
5.4.1	Modellazione della geometria e delle proprietà meccaniche.....	50
5.4.2	Modellazione dei vincoli interni ed esterni	50
5.4.3	Criteri di verifica e risultati	51
5.4.4	Modello globale della struttura.....	53
5.5	VERIFICHE DAL MODELLO GLOBALE	65
5.5.1	Valutazione degli spostamenti della struttura.....	65
5.5.2	Verifica tra spostamenti corpo ingresso e palestra	67
5.5.3	Verifiche di rigidezza degli elementi strutturali	67
5.5.4	Armature travi.....	74
5.5.5	Armature pilastri	75
5.5.6	Armature setti.....	77
5.5.7	Armature platea.....	78
5.6	VERIFICA DELLA RESISTENZA E DELLA DEFORMABILITÀ DELLE SOLETTE	80
5.6.1	Verifica della resistenza della soletta A	81
5.6.2	Verifica della resistenza della soletta B	83
5.6.3	Verifica della deformabilità a lungo termine della soletta A	84
5.6.4	Verifica della deformabilità a lungo termine della soletta B	88
5.7	ANALISI DEI SOLAI IN PREDALLES PRESENTI NELLA STRUTTURA	92
6	MODELLI DI CALCOLO: CORPO SPOGLIATOI	97



RELAZIONE ILLUSTRATIVA E DI CALCOLO		
Data emissione: 20/05/2019	RST Relazione illustrativa e di calcolo strutturale.docx	3 di 267

6.1	COMBINAZIONE DELLE AZIONI	97
6.2	BREVE ILLUSTRAZIONE DEI CODICI DI CALCOLO	99
6.2.1	<i>Midas Gen</i>	99
6.3	CRITERI DI VERIFICA.....	100
6.3.1	<i>Combinazioni delle azioni</i>	100
6.4	CRITERI GENERALI DELLA MODELLAZIONE.....	100
6.4.1	<i>Modellazione della geometria e delle proprietà meccaniche</i>	102
6.4.2	<i>Modellazione dei vincoli interni ed esterni</i>	102
6.4.3	<i>Criteri di verifica e risultati</i>	103
6.4.4	<i>Modello globale della struttura</i>	105
6.5	VERIFICHE DAL MODELLO GLOBALE	116
6.5.1	<i>Valutazione degli spostamenti della struttura rispetto al fabbricato esistente</i>	116
6.5.2	<i>Valutazione degli spostamenti del fabbricato esistente</i>	118
6.5.3	<i>Verifica tra spostamenti corpo spogliato e fabbricato esistente</i>	118
6.5.4	<i>Valutazione degli spostamenti della struttura rispetto alla palestra</i>	119
6.5.5	<i>Verifica tra spostamenti corpo spogliato e palestra</i>	121
6.5.6	<i>Verifiche di rigidezza degli elementi strutturali</i>	121
6.5.7	<i>Armature travi</i>	127
6.5.8	<i>Armature pilastri</i>	128
6.5.9	<i>Armature setti</i>	130
6.5.10	<i>Armature platea</i>	131
6.6	VERIFICA DELLA RESISTENZA DELLA SOLETTA	133
6.6.1	<i>Verifica della resistenza della soletta</i>	133
6.6.2	<i>Verifica della deformabilità a lungo termine della soletta</i>	134
6.7	ANALISI DEI SOLAI IN PREDALLES PRESENTI NELLA STRUTTURA	138
7	MODELLI DI CALCOLO: PALESTRA	143
7.1	COMBINAZIONE DELLE AZIONI	143
7.2	BREVE ILLUSTRAZIONE DEI CODICI DI CALCOLO	145
7.2.1	<i>Midas Gen</i>	145
7.3	CRITERI DI VERIFICA.....	146
7.3.1	<i>Combinazioni delle azioni</i>	146
7.4	CRITERI GENERALI DELLA MODELLAZIONE.....	146
7.4.2	<i>Modellazione dei vincoli interni ed esterni</i>	147
7.4.3	<i>Criteri di verifica e risultati</i>	148
7.4.4	<i>Modello globale della struttura</i>	154



RELAZIONE ILLUSTRATIVA E DI CALCOLO		
Data emissione: 20/05/2019	RST Relazione illustrativa e di calcolo strutturale.docx	4 di 267

7.4.5	Modello locale della pensilina	163
7.5	VERIFICHE DAL MODELLO GLOBALE	169
7.5.1	Valutazione degli spostamenti della struttura rispetto al corpo ingresso	169
7.5.2	Verifica tra spostamenti corpo ingresso e palestra	172
7.5.3	Valutazione degli spostamenti della struttura rispetto al corpo spogliatoi.....	172
7.5.4	Verifica tra spostamenti corpo spogliatoi e palestra.....	175
7.5.5	Verifiche di rigidezza degli elementi strutturali	175
7.5.6	Armature travi.....	180
7.5.7	Armature pilastri	197
7.5.8	Armature platea.....	199
7.5.9	Verifica dei collegamenti tra travi e pilastri prefabbricati	200
7.5.10	Verifica dei collegamenti tra travi e tegoli.....	202
7.5.11	Verifica delle connessioni della pensilina	204
7.5.12	Boccole connessione pensilina-pilastro prefabbricato	220
7.5.13	Verifica dell'ancoraggio pilastro - fondazione: arma-tubo	221
7.5.14	Verifica delle mensole tozze dei pilastri prefabbricati	224
8	VERIFICA DEGLI ELEMENTI SECONDARI NON STRUTTURALI	227
8.1	CONTROSOFFITTO MODULARE	229
8.2	CONTROSOFFITTO A LASTRA	229
8.3	UTA PIANO TERRA	230
8.4	IMPIANTI STAFFAGGI - CANALI	231
8.5	IMPIANTI STAFFAGGI - TUBAZIONI	231
8.6	PARETE VENTILATA CON FINITURA IN CERAMICA M01A – M01B	232
8.7	PARETE VENTILATA CON FINITURA IN CERAMICA – PARAPETTO IN LATERIZIO FORATO SP.20 CM M02	233
8.8	PARETE ESTERNA INTONACATA M03A	234
8.9	PARETE ESTERNA INTONACATA M03B	235
8.10	PANNELLI PREFABBRICATI CON FINITURA IN CERAMICA M04 VERTICALI	236
8.11	PANNELLI PREFABBRICATI CON FINITURA IN LAMIERA M05 VERTICALI.....	237
8.12	PANNELLI PREFABBRICATI CON FINITURA IN LAMIERA M05 ORIZZONTALI	237
8.13	PANNELLI PREFABBRICATI CON FINITURA IN LASTRE RESISTENTI ALL'ESTERNO M06A VERTICALI.....	238
8.14	PANNELLI PREFABBRICATI CON FINITURA IN LASTRE RESISTENTI ALL'ESTERNO M06A ORIZZONTALI.....	239



RELAZIONE ILLUSTRATIVA E DI CALCOLO		
Data emissione: 20/05/2019	RST Relazione illustrativa e di calcolo strutturale.docx	5 di 267

8.15	PANNELLI PREFABBRICATI CON FINITURA IN LASTRE RESISTENTI ALL'ESTERNO M06B VERTICALI.....	240
8.16	PARETE REI IN CLS AREATO M07	241
8.17	PARAPETTO S PENSILINA SU SOLAIO S M08A	242
8.18	PARAPETTO S PENSILINA SU SOLAIO S M08B	242
8.19	PANNELLI PREFABBRICATI M09 VERTICALI	243
8.20	PANNELLI PREFABBRICATI M09 ORIZZONTALI.....	244
8.21	MURO ESTERNO CHIUSURA FALDA SCUOLA M10A	245
8.22	RIVESTIMENTO PANNELLI PREFABBRICATI CON FINITURA IN CERAMICA.....	245
8.23	RIVESTIMENTO PANNELLI PREFABBRICATI CON FINITURA IN LAMIERA	246
8.24	RIVESTIMENTO PANNELLI PREFABBRICATI CON FINITURA IN LASTRE RESISTENTI ALL'ESTERNO M06A	247
8.25	RIVESTIMENTO PANNELLI PREFABBRICATI CON FINITURA IN LASTRE RESISTENTI ALL'ESTERNO M06B	248
8.26	PARETE DIVISORIA INTERNA SP. 15 CM T01	248
8.27	PARETE DIVISORIA INTERNA SP. 28 CM T02	249
8.28	PARETE DIVISORIA INTERNA SP. 28 CM T03	250
8.29	PARETE DIVISORIA INTERNA SP. 18 CM T04	250
8.30	PANNELLO PREFABBRICATO SP. 20 CM T05.....	251
8.31	VERIFICHE DEI SISTEMI DI AGGANCIO DEI PANNELLI PREFABBRICATI.....	252
8.31.1	Valutazione del sistema di aggancio dei pannelli orizzontali	253
8.31.2	Valutazione del sistema di aggancio dei pannelli verticali	258
9	GIUDIZIO MOTIVATO DI AFFIDABILITA' DEI RISULTATI.....	260
9.1	VERIFICA AFFIDABILITÀ CODICE DI CALCOLO: CORPO INGRESSO	260
9.2	VERIFICA AFFIDABILITÀ CODICE DI CALCOLO: CORPO SPOGLIATOI	262
9.3	VERIFICA AFFIDABILITÀ CODICE DI CALCOLO: PALESTRA.....	263
10	CONCLUSIONI	267



RELAZIONE ILLUSTRATIVA E DI CALCOLO		
Data emissione: 20/05/2019	RST Relazione illustrativa e di calcolo strutturale.docx	6 di 267

1 ILLUSTRAZIONE SINTETICA DEGLI ELEMENTI ESSENZIALI DEL PROGETTO STRUTTURALE

1.1 Introduzione

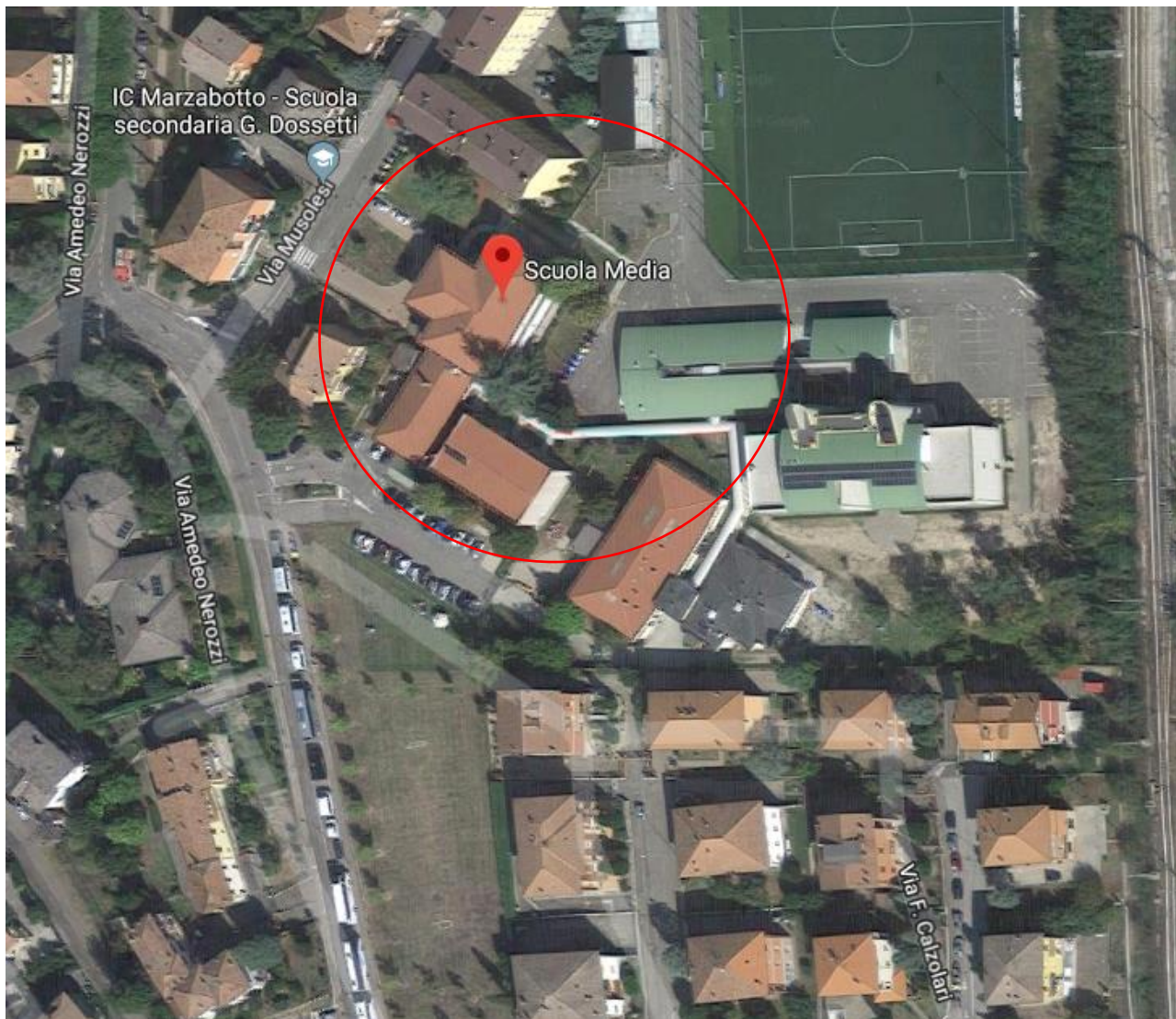
Ai sensi della DGR 1373/2011 la relazione di calcolo strutturale deve contenere una apposita parte denominata *“Illustrazione sintetica degli elementi essenziali del progetto strutturale”*, diretta a specificare, in maniera unitaria, gli elementi essenziali (di seguito descritti) che illustrano, in modo chiaro e sintetico, le modalità con cui è stato elaborato il progetto esecutivo riguardante le strutture, con la sintetica indicazione delle motivazioni delle scelte progettuali effettuate, e con un rimando espresso alle restanti parti della relazione di calcolo strutturale e agli altri elaborati costituenti il progetto esecutivo, nelle quali possono rilevarsi gli elementi e le spiegazioni di dettaglio.



RELAZIONE ILLUSTRATIVA E DI CALCOLO		
Data emissione: 20/05/2019	RST Relazione illustrativa e di calcolo strutturale.docx	7 di 267

1.2 Descrizione del contesto edilizio

Dal punto di vista edilizio, il progetto prevede la realizzazione di una nuova palestra, con locali di ingresso e spogliatoi, nella scuola media del comune di Marzabotto (BO):



L'intervento sostituirà la palestra e gli spogliatoi già esistenti.

Dal punto di vista strutturale si prevede la realizzazione di un corpo ingresso, di un corpo spogliatoi e di una palestra. Tutti gli edifici presentano un solo piano fuori terra, senza piani interrati o semi-interrati, e sono giuntati sismicamente tra loro.

Il corpo ingresso ed il corpo spogliatoi sono costituiti da setti, pilastri e travi in cemento armato, mentre la palestra è composta da travi e pilastri in cemento armato prefabbricati. Data la presenza di pilastri e setti in maniera diffusa quest'ultimi assolveranno la funzione di controventamento per le azioni sismiche per i due corpi bassi (ingresso e spogliatoi).



RELAZIONE ILLUSTRATIVA E DI CALCOLO		
Data emissione: 20/05/2019	RST Relazione illustrativa e di calcolo strutturale.docx	8 di 267

Per quanto riguarda le caratteristiche geologiche, morfologiche e idrogeologiche, l'opera si inserisce in un contesto caratterizzato da una morfologia molto regolare dove non presenti particolari strutture che possono determinare problemi legati alla stabilità dei terreni.

Per l'analisi si è fatto riferimento alla seguente stratigrafia dedotta dalla relazione geologica e geotecnica intitolata "Studio geologico", a firma del Dott. Geol. L. Tondi redatta in Aprile 2019 ed allegata al presente progetto strutturale (presente nell'elaborato "GEOST – Relazione geologica").

ASSETTO LITOSTRATIGRAFICO (PROVE C.P.T.)				
Unità litostrat.	Litologia	Id. Prova	Profondità (m dal p.c.)	Qc (Kg/cm ²)
T/R	Terreno vegetale, rimaneggiato con materiali di riporto di origine antropica	CPT1	0,0 ÷ -0,6	21 ÷ 29
		CPT2	0,0 ÷ -0,6	17 ÷ 26
		CPT3	0,0 ÷ -0,6	16 ÷ 74
A	Limi argillosi e limi sabbiosi da poco a mediamente consistenti	CPT1	-0,6 ÷ -4,2	6 ÷ 57
		CPT2	-0,6 ÷ -3,4	5 ÷ 21
		CPT3	-0,6 ÷ -2,6	7 ÷ 20
B	Ghiaie sabbiose e sabbie ghiaiose da mediamente addensate ad addensate	CPT1	-4,2 ÷ -5,0	288 ÷ 620
		CPT2	-3,4 ÷ -5,0	25 ÷ 620
		CPT3	-2,6 ÷ -6,4	95 ÷ 554
C	Prime propaggini del substrato appartenente alla Formazione del Cigarellino (marne argillose e sabbiose)	CPT1	-	-
		CPT2	-	-
		CPT3	-6,4 ÷ -7,6	208 ÷ 620

ASSETTO LITOSTRATIGRAFICO (CAROTAGGIO CONTINUO)				
Unità litostrat.	Litologia	Id. Prova	Profondità (m dal p.c.)	Poket Pen. (Kg/cm ²)
TR	Asfalto e sottofondo costituito da ghiaia, sabbia e frammenti di laterizio	S1	0,0 ÷ -0,3	-
A	Argilla limosa di colore grigio verde e limi debolmente sabbiosi colore grigioverde	S1	-0,3 ÷ -2,7	0,8 ÷ 3,3
B	Ghiaia eterometrica, da arrotondata a subangolare, con sabbia limosa di colore grigio marrone	S1	-3,9 ÷ -5,1	-
C	Argilla marnosa e marne argillose di colore grigio verde molto consistenti	S1	-5,1 ÷ -20,0	-

Per i corpi in esame si prevede l'utilizzo di una fondazione a platea nervata di spessore 20 cm posta a quota di circa -1,90 m dal p.c. attuale, in modo da essere alla stessa quota delle fondazioni esistenti che si andranno a demolire e/o mantenere (in corrispondenza della porzione di corpo degli spogliatoi).



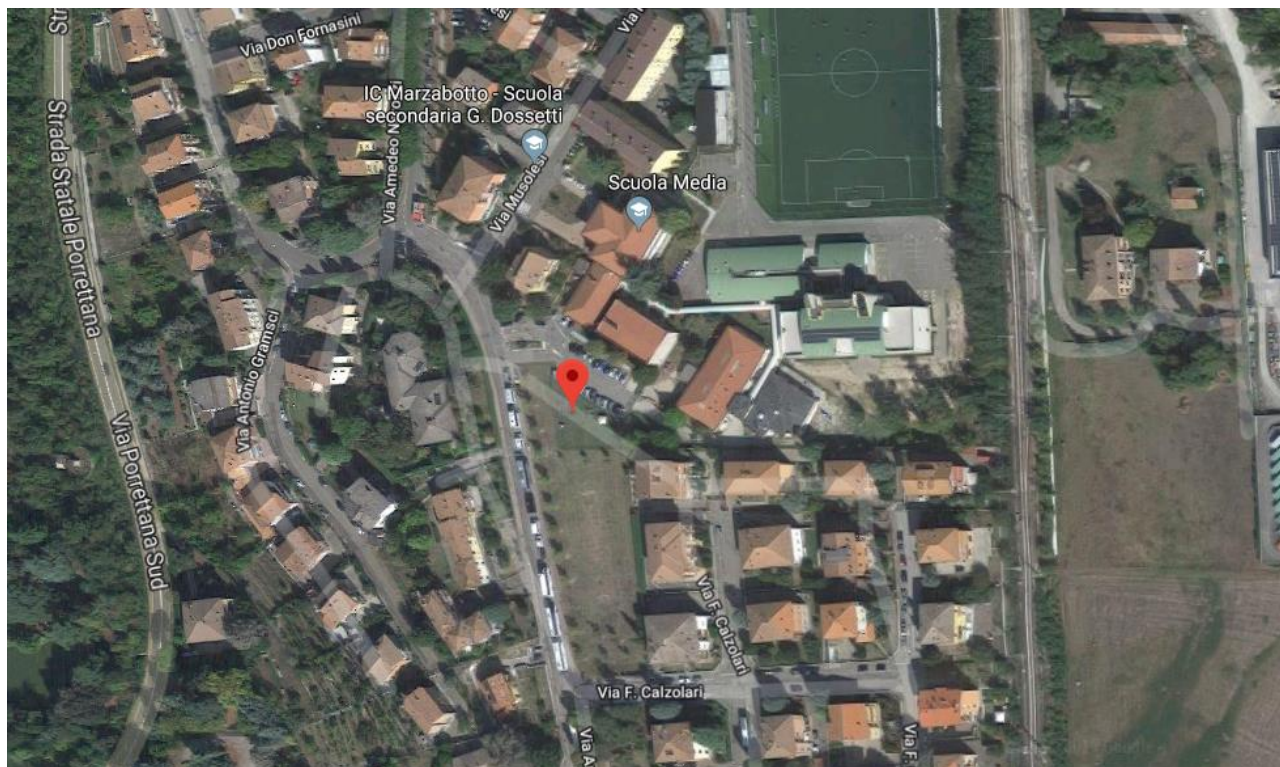
RELAZIONE ILLUSTRATIVA E DI CALCOLO		
Data emissione: 20/05/2019	RST Relazione illustrativa e di calcolo strutturale.docx	9 di 267

esistenti a cui si collegheranno le nuove strutture – tramite giunto strutturale). Tale quota è stata infatti dedotta dallo studio condotto in ambito di Verifiche tecniche messe a disposizione dall'Amministrazione, a cui si rimanda per eventuali chiarimenti di dettaglio sulle strutture esistenti.

Le analisi sono state effettuate alle coordinate geografiche (WGS84):

LATITUDINE 44,338404

LONGITUDINE 11,205338



1.3 Descrizione generale della struttura

Come detto, la nuova palestra, con ingresso e spogliatoi, sostituirà quella già esistente e, da come risulta dalle analisi geologiche e geotecniche, si inserisce in un contesto morfologicamente molto regolare senza la presenza di particolarità che possono determinare problemi legati alla stabilità del terreno.

Dal punto di vista strutturale i corpi di ingresso, palestra e spogliatoi sono giuntati sismicamente tra loro mediante un giunto strutturale di spessore 10 cm.

I corpi ingresso e spogliatoi sono costituiti da un piano fuori terra e sono definiti da setti e pilastri in cemento armato con funzione di sostegno dei carichi verticali, da travi in altezza (30x45 cm) e spessore (40x25 cm) con funzione di sostegno dei solai. I solai sono previsti piani di tipo predalles con dimensioni 4+16+5 cm. Entrambi i corpi sono geometricamente rettangolari, con una dimensione molto maggiore dell'altra.



RELAZIONE ILLUSTRATIVA E DI CALCOLO		
Data emissione: 20/05/2019	RST Relazione illustrativa e di calcolo strutturale.docx	10 di 267

Anche la palestra è composta da un piano fuori terra e, a differenza degli altri corpi, è composta esclusivamente da travi e pilastri prefabbricati. Il solaio di copertura è caratterizzato da elementi shed, anch'essi prefabbricati.

1.4 Normativa tecnica e riferimenti tecnici utilizzati

Per quanto riguarda le norme tecniche utilizzate si specifica che gli interventi sono stati realizzati applicando le Norme Tecniche per le Costruzioni del D.M. – 17-01-2018 (di seguito indicate con la sigla NTC18) ed gli Eurocodici.

Per l'analisi dettagliata delle norme utilizzate si rimanda al capitolo 2 della presente.

1.5 Definizione dei parametri di progetto

I parametri sismici utilizzati, sono dettagliatamente riportati nei paragrafi successivi della presente relazione e concorrono alla definizione dell'azione sismica di base del sito (vita nominale - VN, classe d'uso, periodo di riferimento - VR, categoria del sottosuolo, categoria topografica, amplificazione topografica, zona sismica del sito, coordinate geografiche del sito), delle azioni considerate sulla costruzione e degli eventuali scenari di azioni eccezionali.

Si sottolinea che l'analisi sismica è stata condotta eseguendo uno studio della risposta sismica locale ed assumendo lo spettro ottenuto da tale valutazione per il calcolo dell'azione sismica agente sulle strutture previste nel presente progetto. Nel caso in cui sia invece meno a favore di sicurezza si utilizzerà lo spettro da normativa così come definito dalle NTC2018.

Lo spettro elastico di progetto che verrà impiegato è quello normalizzato sulla media degli accelerogrammi spettro-compatibili definiti nella relazione geologica del Dott. Geol. Luca Tondi e all'analisi di risposta sismica locale, dalla quale si sono ricavati i seguenti spettri di risposta elastici per il sito in cui sorgerà l'opera (per maggiori dettagli sugli spettri di risposta si rimanda al capitolo 4 della presente relazione).

In sintesi i parametri utilizzati per la definizione dell'azione sismica sono i seguenti (si rimanda al paragrafo 4.4 per un più ampio approfondimento):

Latitudine = 44,338404;

Longitudine = 11,205338;

Vita nominale = 50 anni;

Classe d'uso = IV;

Coefficiente d'uso - C_u = 2,0;

Periodo di riferimento - V_r = 100 anni;

Coefficiente di topografia = T1;

Zona sismica = 3 (Comune di Marzabotto).



RELAZIONE ILLUSTRATIVA E DI CALCOLO		
Data emissione: 20/05/2019	RST Relazione illustrativa e di calcolo strutturale.docx	11 di 267

Per quanto riguarda le azioni considerate sugli elementi si sono considerati i carichi derivanti dai pesi propri strutturali e non strutturali e dai carichi variabili. Per una approfondita analisi dei carichi si rimanda ai seguenti paragrafi 4.1, 4.2 e 4.3.

1.6 Descrizione dei materiali

1.6.1 MATERIALI NUOVI ELEMENTI STRUTTURALI:

Nelle opere strutturali si utilizzeranno materiali di buona qualità, esenti da vizi di qualunque tipo, aventi le caratteristiche tecniche di seguito riportate.

- ✓ Calcestruzzo cementizio per strutture di fondazione:
classe C25/30;
classe di esposizione: XC2;
- ✓ Calcestruzzo cementizio per strutture di elevazione, solai e solette:
classe C25/30;
classe di esposizione: XC1;
- ✓ Acciaio per cemento armato:
tipo B450C;
- ✓ Acciaio per reti elettrosaldate:
tipo B450A;
- ✓ Acciaio per carpenterie:
tipo S275JR;
- ✓ Calcestruzzo cementizio per strutture prefabbricate quali pilastri e travi:
classe C40/50;
- ✓ Calcestruzzo cementizio per tegoli alari:
classe C45/55;
- ✓ Calcestruzzo cementizio per pannelli prefabbricati:
classe C32/40;



RELAZIONE ILLUSTRATIVA E DI CALCOLO		
Data emissione: 20/05/2019	RST Relazione illustrativa e di calcolo strutturale.docx	12 di 267

- ✓ Calcestruzzo cementizio per solaio alveolare:
classe C25/30.

1.7 Illustrazione dei criteri di progettazione e di modellazione

Come detto nell'introduzione l'edificio è localizzato a Marzabotto, Comune che ricade in zona sismica di III categoria, ora "zona 3" seconda la nuova classificazione sismica introdotta dalla O.P.C.M. 3274/03 e recepita dalla legge regionale.

Le strutture dei tre corpi sono state modellate con comportamento strutturale dissipativo con classe di duttilità bassa (CD "B") e sono state analizzate attraverso un'analisi sismica lineare dinamica modale effettuata su un modello tridimensionale e attraverso semplici schemi statici (verifica tensionale negli elementi).

La costruzione verrà verificata, secondo quanto prescritto dai punti 3.2.1 e 7.1, delle NTC18, per lo stato limite di salvaguardia delle vite (SLV), per le condizioni ultime, e per lo stato limite di danno (SLD) e di operatività (SLO) per le condizioni di esercizio.

Ovviamente queste verifiche si aggiungeranno a quelle in condizioni statiche.

In tema di regolarità in pianta ed in elevazione gli edifici, tutti ad un piano fuori terra, risultano essere regolare in elevazione ed in pianta.

I modelli di calcolo tridimensionali sono stati esaminati impostandoli su suoli elastici alla Winkler (coefficiente assunto pari a $1,2 \text{ kg/cm}^3$) quando era necessario analizzare l'interazione con il suolo. Generalmente e comunque dove non diversamente specificato, si è scelto di incastrare alla base gli edifici, massimizzando in questo modo le azioni sugli elementi in elevazione.

1.8 Combinazioni delle azioni

Per i modelli tridimensionali si utilizzeranno le seguenti combinazioni e coefficienti di sicurezza (evidenziati in rosso) in accordo con quanto riportato al capitolo 2 delle NTC18:



RELAZIONE ILLUSTRATIVA E DI CALCOLO		
Data emissione: 20/05/2019	RST Relazione illustrativa e di calcolo strutturale.docx	13 di 267

- Combinazione fondamentale, generalmente impiegata per gli stati limite ultimi (SLU):

$$\gamma_{G1} \cdot G_1 + \gamma_{G2} \cdot G_2 + \gamma_P \cdot P + \gamma_{Q1} \cdot Q_{k1} + \gamma_{Q2} \cdot \psi_{02} \cdot Q_{k2} + \gamma_{Q3} \cdot \psi_{03} \cdot Q_{k3} + \dots$$
 [2.5.1]
 - Combinazione caratteristica, cosiddetta rara, generalmente impiegata per gli stati limite di esercizio (SLE) irreversibili:

$$G_1 + G_2 + P + Q_{k1} + \psi_{02} \cdot Q_{k2} + \psi_{03} \cdot Q_{k3} + \dots$$
 [2.5.2]
 - Combinazione frequente, generalmente impiegata per gli stati limite di esercizio (SLE) reversibili:

$$G_1 + G_2 + P + \psi_{11} \cdot Q_{k1} + \psi_{22} \cdot Q_{k2} + \psi_{23} \cdot Q_{k3} + \dots$$
 [2.5.3]
 - Combinazione quasi permanente (SLE), generalmente impiegata per gli effetti a lungo termine:

$$G_1 + G_2 + P + \psi_{21} \cdot Q_{k1} + \psi_{22} \cdot Q_{k2} + \psi_{23} \cdot Q_{k3} + \dots$$
 [2.5.4]
 - Combinazione sismica, impiegata per gli stati limite ultimi e di esercizio connessi all'azione sismica E:

$$E + G_1 + G_2 + P + \psi_{21} \cdot Q_{k1} + \psi_{22} \cdot Q_{k2} + \dots$$
 [2.5.5]
 - Combinazione eccezionale, impiegata per gli stati limite ultimi connessi alle azioni eccezionali A:

$$G_1 + G_2 + P + A_d + \psi_{21} \cdot Q_{k1} + \psi_{22} \cdot Q_{k2} + \dots$$
 [2.5.6]
- Gli effetti dell'azione sismica saranno valutati tenendo conto delle masse associate ai seguenti carichi gravitazionali:
- $$G_1 + G_2 + \sum_j \psi_{2j} Q_{kj}.$$
- [2.5.7]

Tab. 2.6.I – Coefficienti parziali per le azioni o per l'effetto delle azioni nelle verifiche SLU

		Coefficiente	EQU	A1	A2
		γ_F			
Carichi permanenti G_1	Favorevoli	γ_{G1}	0,9	1,0	1,0
	Sfavorevoli		1,1	1,3	1,0
Carichi permanenti non strutturali $G_2^{(1)}$	Favorevoli	γ_{G2}	0,8	0,8	0,8
	Sfavorevoli		1,5	1,5	1,3
Azioni variabili Q	Favorevoli	γ_{Qi}	0,0	0,0	0,0
	Sfavorevoli		1,5	1,5	1,3

⁽¹⁾ Nel caso in cui l'intensità dei carichi permanenti non strutturali o di una parte di essi (ad es. carichi permanenti portati) sia ben definita in fase di progetto, per detti carichi o per la parte di essi nota si potranno adottare gli stessi coefficienti parziali validi per le azioni permanenti.

Tab. 2.5.I – Valori dei coefficienti di combinazione

Categoria/Azione variabile	ψ_{0j}	ψ_{1j}	ψ_{2j}
Categoria A - Ambienti ad uso residenziale	0,7	0,5	0,3
Categoria B - Uffici	0,7	0,5	0,3
Categoria C - Ambienti suscettibili di affollamento	0,7	0,7	0,6
Categoria D - Ambienti ad uso commerciale	0,7	0,7	0,6
Categoria E - Aree per immagazzinamento, uso commerciale e uso industriale Biblioteche, archivi, magazzini e ambienti ad uso industriale	1,0	0,9	0,8
Categoria F - Rimesse, parcheggi ed aree per il traffico di veicoli (per autoveicoli di peso ≤ 30 kN)	0,7	0,7	0,6
Categoria G - Rimesse, parcheggi ed aree per il traffico di veicoli (per autoveicoli di peso > 30 kN)	0,7	0,5	0,3
Categoria H - Coperture accessibili per sola manutenzione	0,0	0,0	0,0
Categoria I - Coperture praticabili	da valutarsi caso per caso		
Categoria K - Coperture per usi speciali (impianti, eliporti, ...)			
Vento	0,6	0,2	0,0
Neve (a quota ≤ 1000 m s.l.m.)	0,5	0,2	0,0
Neve (a quota > 1000 m s.l.m.)	0,7	0,5	0,2
Variazioni termiche	0,6	0,5	0,0



RELAZIONE ILLUSTRATIVA E DI CALCOLO		
Data emissione: 20/05/2019	RST Relazione illustrativa e di calcolo strutturale.docx	14 di 267

1.9 Metodo di analisi

Per studiare il comportamento globale dell'edificio, in accordo a quanto previsto dalle NTC2018, al par. 7.3 sono state svolte le seguenti analisi:

- Analisi lineare non sismica (azioni verticali e vento);
- Analisi sismica dinamica lineare.

Per quanto riguarda gli effetti delle non linearità geometriche la normativa consente di considerarli in funzione del fattore θ , riportato al paragrafo 7.3.1 della normativa, e possono essere trascurati quando:

$$\theta = \frac{P \cdot d_r}{V \cdot h} \leq 0,1$$

Dove:

- P è il carico verticale totale della parte di struttura sovrastante l'orizzontamento in esame;
- d_r è lo spostamento orizzontale medio d'interpiano;
- V è la forza orizzontale totale in corrispondenza dell'orizzontamento in esame;
- h è la distanza tra l'orizzontamento in esame e quello sottostante.

Il controllo del fattore θ viene automaticamente calcolato dal codice di calcolo utilizzato (Midas Gen) e di seguito si riportano i risultati:

- Corpo ingresso:

Load Case	Story	Story Height (m)	Vertical Load (kN)	Story Shear Force (kN)	Modified Story Drift (m)	Beta (Beta)	Stability Coefficient (Theta)	Allowable Limit	Remark	P-Delta Incremental Factor (ad)
Cd=1, Ie=1.5, Scale Factor=1 Press right mouse button and click 'Set Stability Coefficient Parameters...' menu to change Cd/Ie/Scale Factor/Beta!										
SLV X(RS)	1F	3.67	3190.3855	298.3787	0.0003	1.0000	0.0010	0.2500	OK	1.0000
SLV Y(RS)	1F	3.67	3190.3855	2.4841	0.0000	1.0000	0.0014	0.2500	OK	1.0000

- Corpo spogliatoi:

Load Case	Story	Story Height (m)	Vertical Load (kN)	Story Shear Force (kN)	Modified Story Drift (m)	Beta (Beta)	Stability Coefficient (Theta)	Allowable Limit	Remark	P-Delta Incremental Factor (ad)
Cd=1, Ie=1.5, Scale Factor=1 Press right mouse button and click 'Set Stability Coefficient Parameters...' menu to change Cd/Ie/Scale Factor/Beta!										
SLV X(RS)	1F	3.67	6411.5368	21.1013	0.0000	1.0000	0.0022	0.2500	OK	1.0000
SLV Y(RS)	1F	3.67	6411.5368	681.9943	0.0009	1.0000	0.0022	0.2500	OK	1.0000

- Palestra:

Load Case	Story	Story Height (m)	Vertical Load (kN)	Story Shear Force (kN)	Modified Story Drift (m)	Beta (Beta)	Stability Coefficient (Theta)	Allowable Limit	Remark	P-Delta Incremental Factor (ad)
Cd=1, Ie=1.5, Scale Factor=1 Press right mouse button and click 'Set Stability Coefficient Parameters...' menu to change Cd/Ie/Scale Factor/Beta!										
SLV X(RS)	1F	8.05	12553.3828	710.2456	0.0167	1.0000	0.0367	0.2500	OK	1.0000
SLV Y(RS)	1F	8.05	12553.3828	118.1720	0.0028	1.0000	0.0367	0.2500	OK	1.0000



RELAZIONE ILLUSTRATIVA E DI CALCOLO		
Data emissione: 20/05/2019	RST Relazione illustrativa e di calcolo strutturale.docx	15 di 267

Dalle tabelle di analisi si dimostra che $\theta \leq 0,1$ sempre. Quindi gli effetti di non linearità possono essere trascurati.

1.10 Criteri di verifica

Stati limite ultimi (SLU)

La verifica della sicurezza nei riguardi degli stati limite ultimi (SLU) per tutti gli elementi strutturali, inclusi nodi e connessioni tra elementi, è stata condotta verificando che il valore di progetto di ciascuna sollecitazione (E_d) sia inferiore al valore della resistenza di progetto (R_d), in accordo con le considerazioni presenti nel paragrafo 2.3. delle NTC2018.

Stati limite di esercizio (SLE)

È stata eseguita l'analisi a deformabilità allo stato limite di esercizio, seguendo quanto riportato al paragrafo 4.1.2.2.2 delle NTC2018 e al relativo capitolo presente sulla circolare, delle solette piene a sbalzo in cemento armato presenti nel corpo ingresso e spogliatoi verificando il limite della freccia imposto dalla normativa.

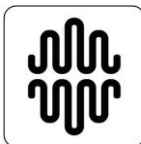
1.11 Rappresentazione delle configurazioni deformate e delle caratteristiche di sollecitazione delle strutture

Di seguito si riportano le rappresentazioni delle configurazioni deformate e delle caratteristiche di sollecitazione più significative della struttura a seguito dell'azione sismica e dei carichi statici agenti.

1.11.1 CONFIGURAZIONI DEFORMATE A SEGUITO DELL'AZIONE SISMICA E DEI CARICHI STATICI AGENTI: CORPO INGRESSO

A seguito dell'analisi si sono individuati i principali modi di vibrare della struttura, di seguito riportati. Condizione necessaria è il raggiungimento dell'85% delle masse movimentate nelle direzioni considerate: nel caso in esame tale risultato è stato raggiunto:

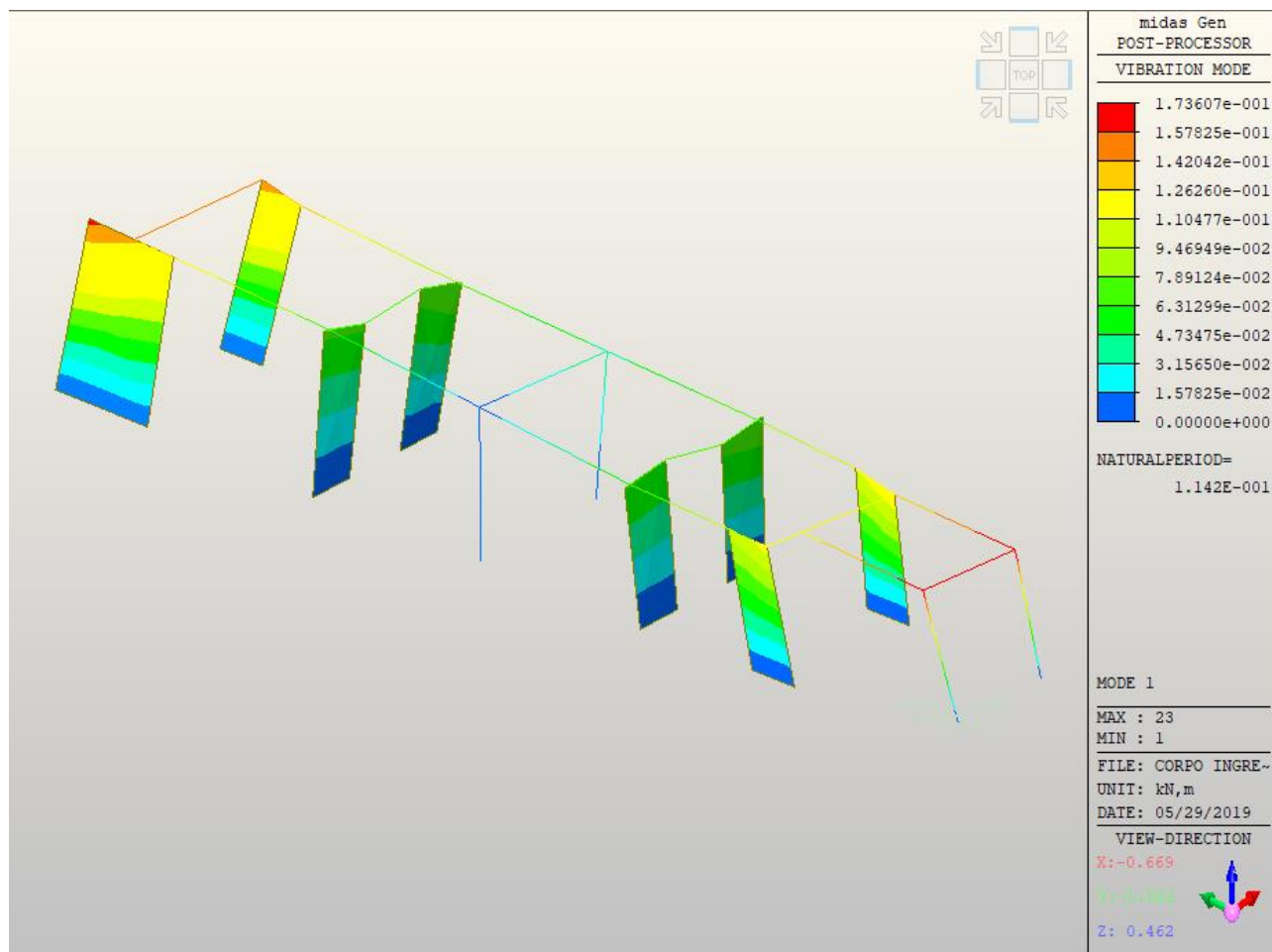
- Massa partecipante totale in direzione X: 100%
- Massa partecipante in direzione Y: 100%

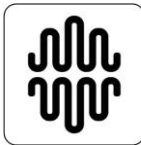


RELAZIONE ILLUSTRATIVA E DI CALCOLO		
Data emissione: 20/05/2019	RST Relazione illustrativa e di calcolo strutturale.docx	16 di 267

Mode	UX		UY		UZ		RX		RY		RZ	
EIGENVALUE ANALYSIS												
Mode No	Frequency		Period		Tolerance							
	(rad/sec)	(cycle/sec)	(sec)									
1	55.0079	8.7548	0.1142	4.5142e-025								
2	80.0914	12.7469	0.0785	4.5142e-025								
3	117.6473	18.7242	0.0534	4.5142e-025								
MODAL PARTICIPATION MASSES PRINTOUT												
Mode No	TRAN-X		TRAN-Y		TRAN-Z		ROTN-X		ROTN-Y		ROTN-Z	
	MASS(%)	SUM(%)	MASS(%)	SUM(%)	MASS(%)	SUM(%)	MASS(%)	SUM(%)	MASS(%)	SUM(%)	MASS(%)	SUM(%)
1	0.0753	0.0753	2.7617	2.7617	0.0000	0.0000	0.0000	0.0000	0.0000	0.0000	97.1630	97.1630
2	99.9241	99.9994	0.0049	2.7666	0.0000	0.0000	0.0000	0.0000	0.0000	0.0000	0.0710	97.2340
3	0.0006	100.0000	97.2334	100.0000	0.0000	0.0000	0.0000	0.0000	0.0000	0.0000	2.7660	100.0000
Mode No	TRAN-X		TRAN-Y		TRAN-Z		ROTN-X		ROTN-Y		ROTN-Z	
	MASS	SUM	MASS	SUM	MASS	SUM	MASS	SUM	MASS	SUM	MASS	SUM
1	0.0688	0.0688	2.5215	2.5215	0.0000	0.0000	0.0000	0.0000	0.0000	0.0000	5202.0488	5202.0488
2	91.2351	91.3038	0.0044	2.5260	0.0000	0.0000	0.0000	0.0000	0.0000	0.0000	3.8036	5205.8524
3	0.0005	91.3044	88.7784	91.3044	0.0000	0.0000	0.0000	0.0000	0.0000	0.0000	148.0876	5353.9399

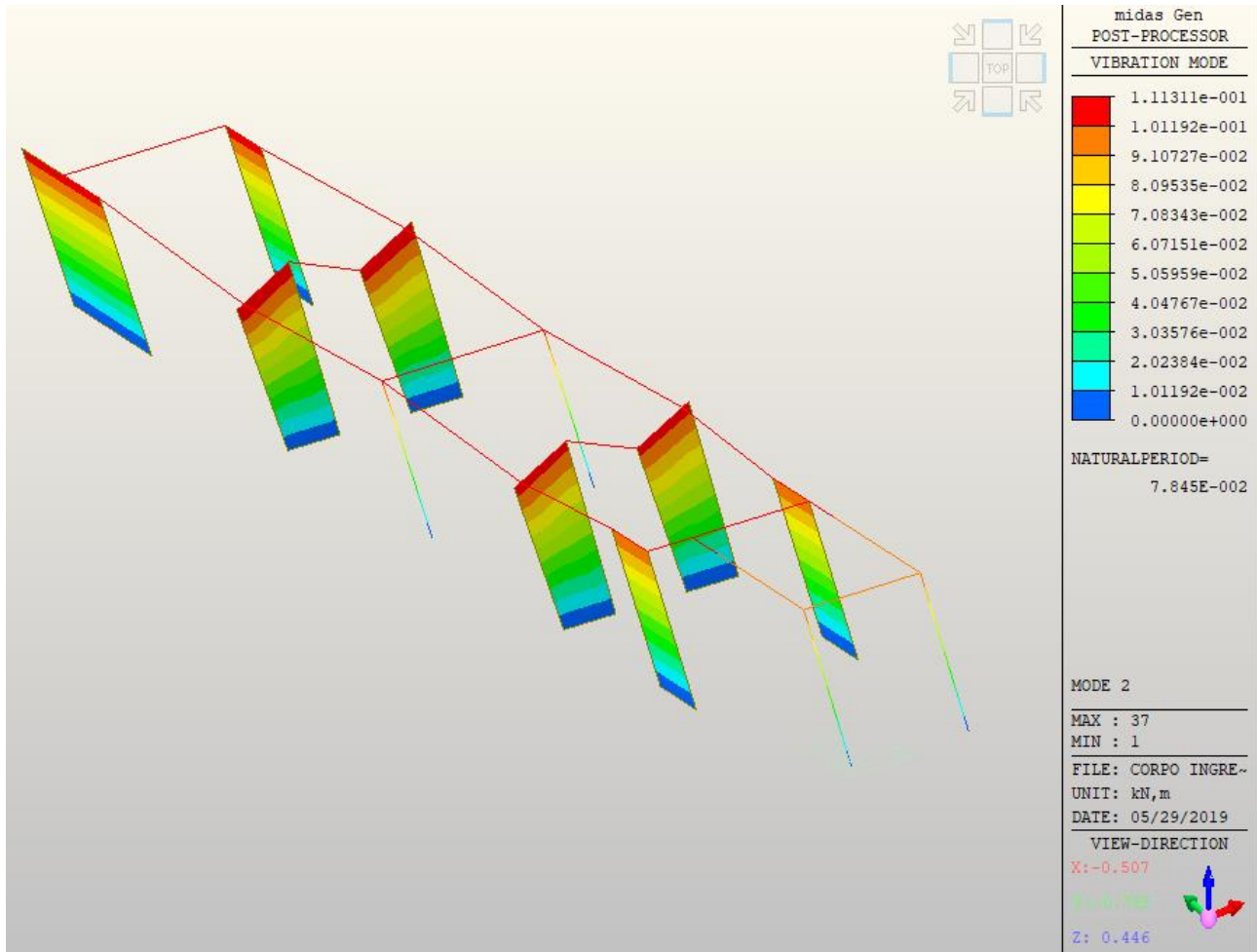
- Modi di vibrare: numero 1 (rotazionale)





RELAZIONE ILLUSTRATIVA E DI CALCOLO		
Data emissione: 20/05/2019	RST Relazione illustrativa e di calcolo strutturale.docx	17 di 267

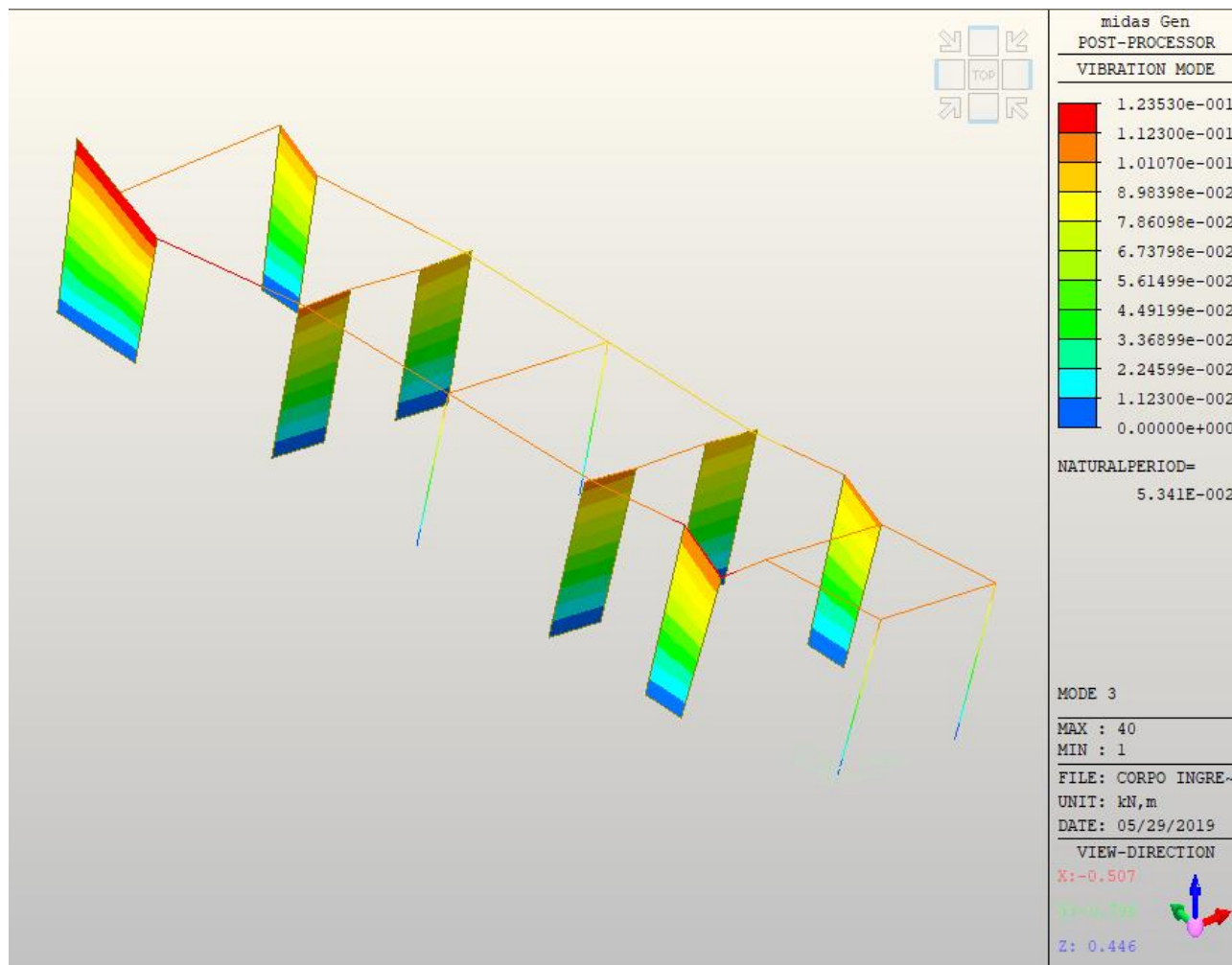
- Modi di vibrare: numero 2 (principale in X –traslazionale)





RELAZIONE ILLUSTRATIVA E DI CALCOLO		
Data emissione: 20/05/2019	RST Relazione illustrativa e di calcolo strutturale.docx	18 di 267

- Modi di vibrare: numero 3 (principale in Y - traslazionale)



1.11.2 CONFIGURAZIONI DEFORMATE A SEGUITO DELL'AZIONE SISMICA E DEI CARICHI STATICI AGENTI: CORPO SPOGLIATO

A seguito dell'analisi si sono individuati i principali modi di vibrare della struttura, di seguito riportati. Condizione necessaria è il raggiungimento dell'85% delle masse movimentate nelle direzioni considerate: nel caso in esame tale risultato è stato raggiunto:

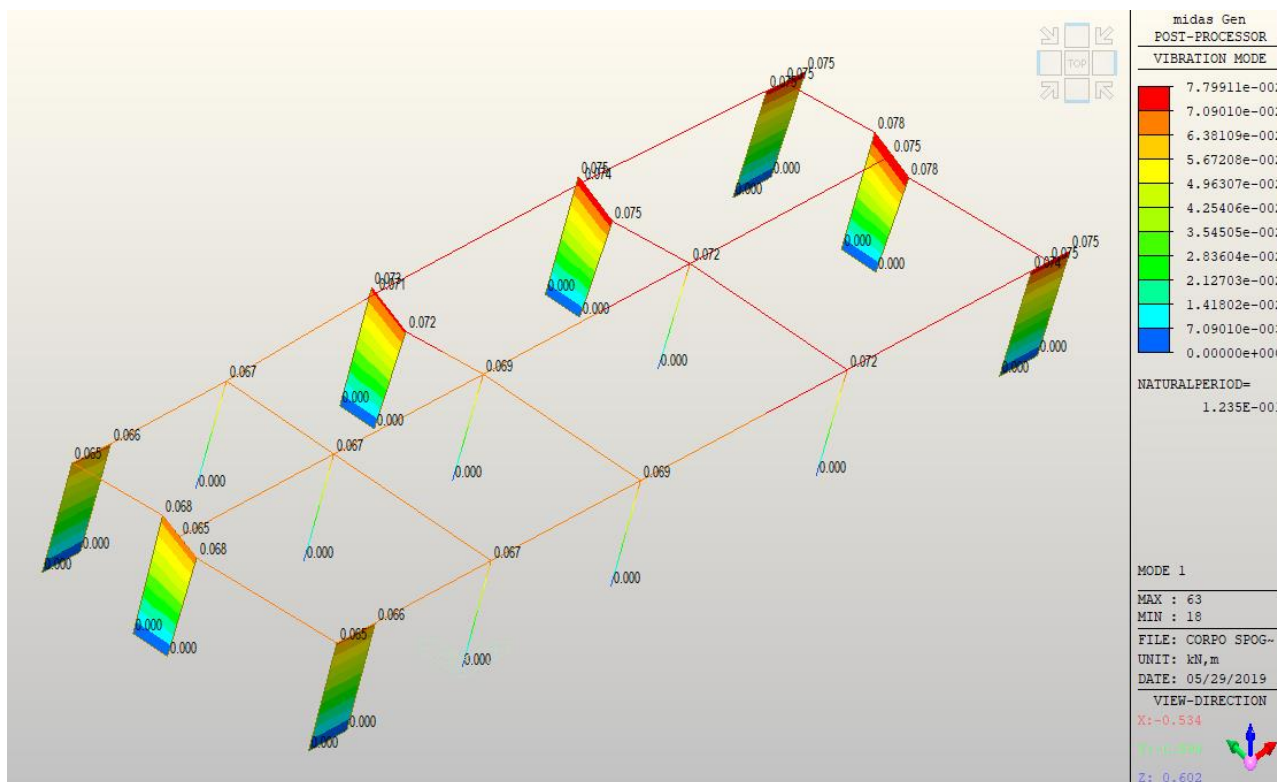
- Massa partecipante totale in direzione X: 100%
- Massa partecipante in direzione Y: 100%



RELAZIONE ILLUSTRATIVA E DI CALCOLO		
Data emissione: 20/05/2019	RST Relazione illustrativa e di calcolo strutturale.docx	19 di 267

Mode	UX		UY		UZ		RX		RY		RZ	
EIGENVALUE ANALYSIS												
Mode No	Frequency		Period		Tolerance							
	(rad/sec)	(cycle/sec)	(sec)									
1	50.8629	8.0951	0.1235	3.2998e-025								
2	53.2003	8.4671	0.1181	3.2998e-025								
3	60.7487	9.6685	0.1034	3.2998e-025								
MODAL PARTICIPATION MASSES PRINTOUT												
Mode No	TRAN-X		TRAN-Y		TRAN-Z		ROTN-X		ROTN-Y		ROTN-Z	
	MASS(%)	SUM(%)	MASS(%)	SUM(%)	MASS(%)	SUM(%)	MASS(%)	SUM(%)	MASS(%)	SUM(%)	MASS(%)	SUM(%)
1	0.2861	0.2861	99.4719	99.4719	0.0000	0.0000	0.0000	0.0000	0.0000	0.0000	0.2421	0.2421
2	99.5237	99.8098	0.2623	99.7342	0.0000	0.0000	0.0000	0.0000	0.0000	0.0000	0.2139	0.4560
3	0.1902	100.0000	0.2658	100.0000	0.0000	0.0000	0.0000	0.0000	0.0000	0.0000	99.5440	100.0000
Mode No	TRAN-X		TRAN-Y		TRAN-Z		ROTN-X		ROTN-Y		ROTN-Z	
	MASS	SUM	MASS	SUM	MASS	SUM	MASS	SUM	MASS	SUM	MASS	SUM
1	0.5764	0.5764	200.4388	200.4388	0.0000	0.0000	0.0000	0.0000	0.0000	0.0000	32.4480	32.4480
2	200.5433	201.1198	0.5286	200.9674	0.0000	0.0000	0.0000	0.0000	0.0000	0.0000	28.6769	61.1250
3	0.3832	201.5030	0.5356	201.5030	0.0000	0.0000	0.0000	0.0000	0.0000	0.0000	13343.724	13404.849

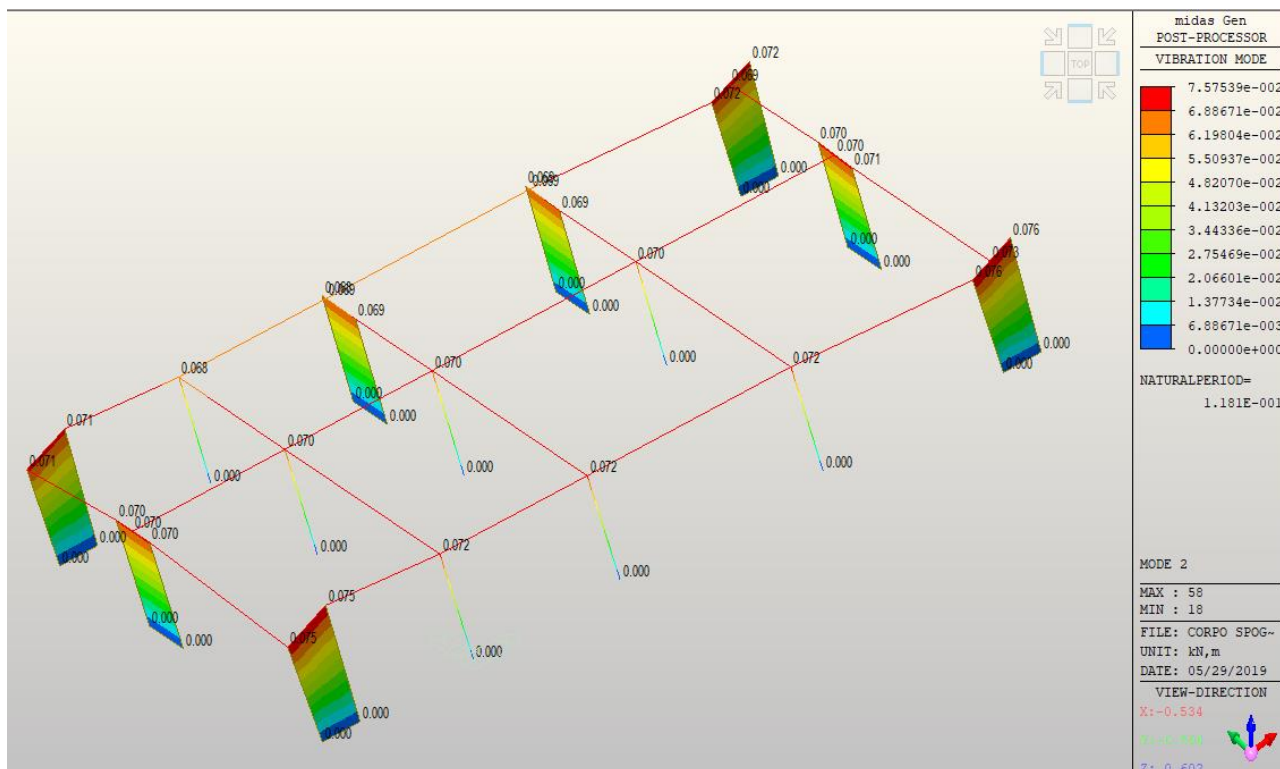
- Modi di vibrare: numero 1 (principale in Y - traslazionale)



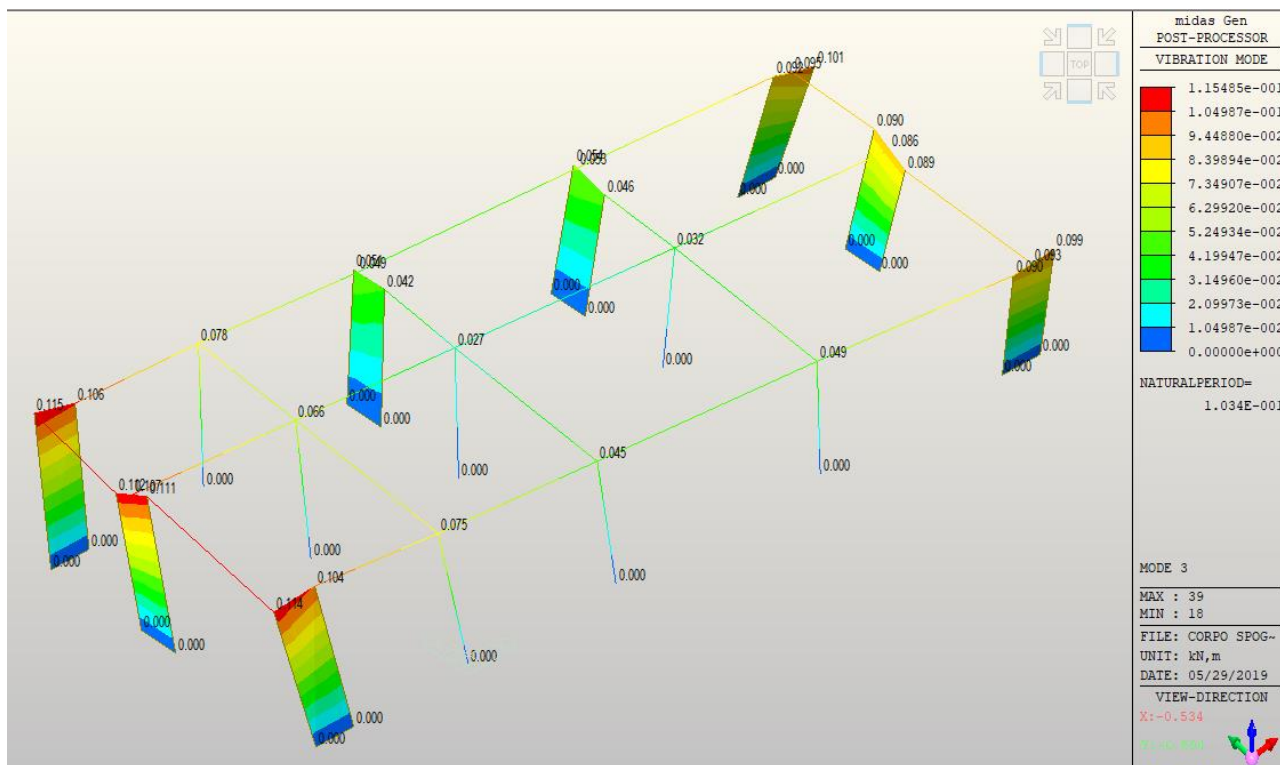


RELAZIONE ILLUSTRATIVA E DI CALCOLO		
Data emissione: 20/05/2019	RST Relazione illustrativa e di calcolo strutturale.docx	20 di 267

- Modi di vibrare: numero 2 (principale in X –traslazionale)



- Modi di vibrare: numero 3 (rotazionale)





RELAZIONE ILLUSTRATIVA E DI CALCOLO		
Data emissione: 20/05/2019	RST Relazione illustrativa e di calcolo strutturale.docx	21 di 267

1.11.3 CONFIGURAZIONI DEFORMATE A SEGUITO DELL'AZIONE SISMICA E DEI CARICHI STATICI AGENTI: PALESTRA

A seguito dell'analisi si sono individuati i principali modi di vibrare della struttura, di seguito riportati. Condizione necessaria è il raggiungimento dell'85% delle masse movimentate nelle direzioni considerate: nel caso in esame tale risultato è stato raggiunto:

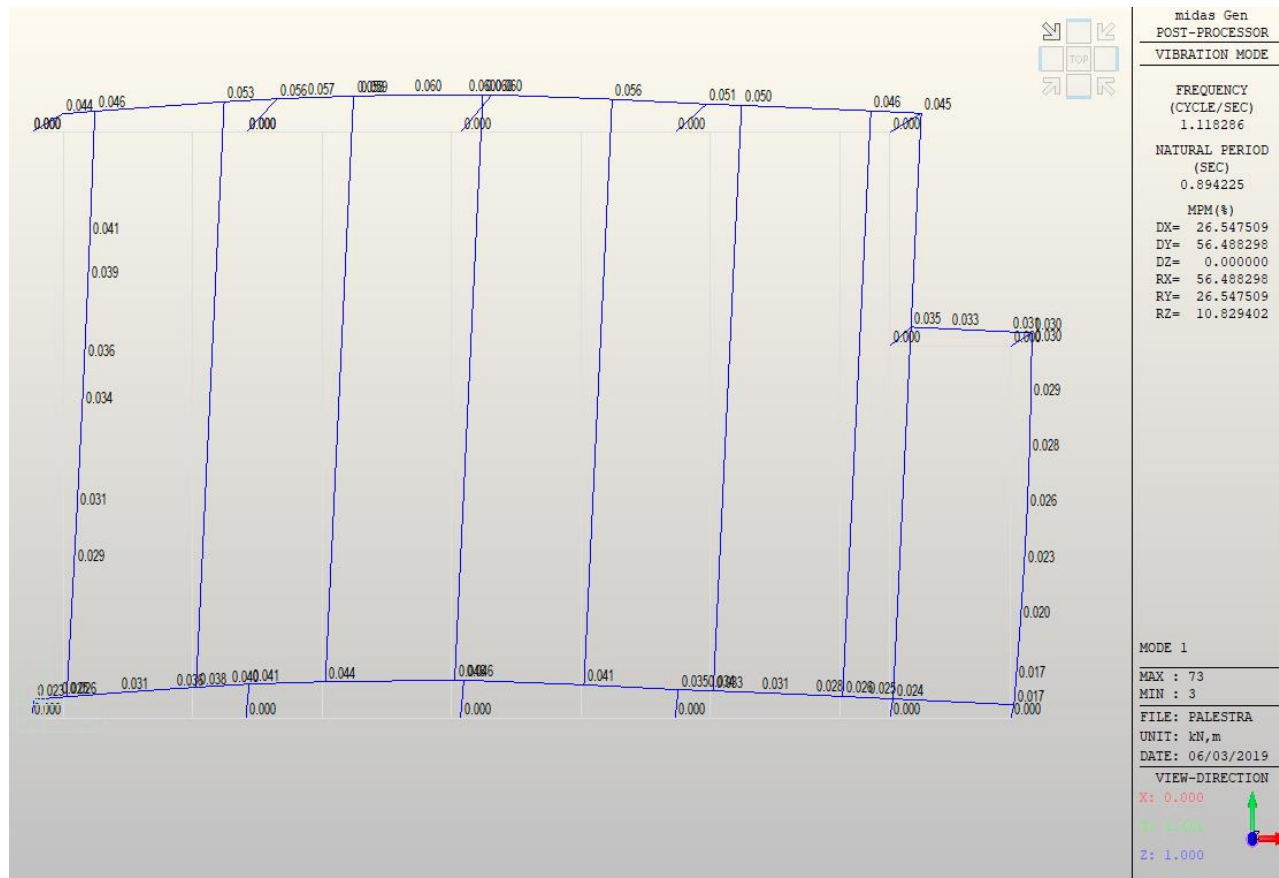
- Massa partecipante totale in direzione X: 100%
- Massa partecipante in direzione Y: 99,99%

Mode	UX		UY		UZ		RX		RY		RZ	
EIGENVALUE ANALYSIS												
Mode No	Frequency		Period		Tolerance							
	(rad/sec)	(cycle/sec)	(sec)	(sec)								
1	7.0264	1.1183	0.8942	1.2017e-028								
2	7.2039	1.1465	0.8722	1.2017e-028								
3	7.8873	1.2553	0.7966	1.2017e-028								
4	8.3024	1.3214	0.7568	1.2017e-028								
5	9.6154	1.5303	0.6535	1.2017e-028								
6	12.3762	1.9697	0.5077	1.2017e-028								
7	15.4154	2.4534	0.4076	1.2017e-028								
8	16.7898	2.6722	0.3742	1.2017e-028								
9	28.0897	4.4706	0.2237	1.2017e-028								
10	47.0632	7.4903	0.1335	9.9784e-019								
MODAL PARTICIPATION MASSES PRINTOUT												
Mode No	TRAN-X		TRAN-Y		TRAN-Z		ROTN-X		ROTN-Y		ROTN-Z	
	MASS(%)	SUM(%)	MASS(%)	SUM(%)	MASS(%)	SUM(%)	MASS(%)	SUM(%)	MASS(%)	SUM(%)	MASS(%)	SUM(%)
1	26.5475	26.5475	56.4883	56.4883	0.0000	0.0000	56.4883	56.4883	26.5475	26.5475	10.8294	10.8294
2	60.3341	86.8816	31.1687	87.6570	0.0000	0.0000	31.1687	87.6570	60.3341	86.8816	0.0846	10.9140
3	6.3073	93.1889	0.9314	88.5884	0.0000	0.0000	0.9314	88.5884	6.3073	93.1889	8.7749	19.6889
4	6.2577	99.4466	8.1619	96.7503	0.0000	0.0000	8.1619	96.7503	6.2577	99.4466	75.4580	95.1469
5	0.0047	99.4513	2.5509	99.3012	0.0000	0.0000	2.5509	99.3012	0.0047	99.4513	1.9458	97.0927
6	0.0000	99.4513	0.6840	99.9852	0.0000	0.0000	0.6840	99.9852	0.0000	99.4513	2.7511	99.8438
7	0.0039	99.4552	0.0070	99.9921	0.0000	0.0000	0.0070	99.9921	0.0039	99.4552	0.0462	99.8900
8	0.4858	99.9410	0.0005	99.9926	0.0000	0.0000	0.0005	99.9926	0.4858	99.9410	0.1019	99.9920
9	0.0590	100.0000	0.0000	99.9926	0.0000	0.0000	0.0000	99.9926	0.0590	100.0000	0.0015	99.9935
10	0.0000	100.0000	0.0011	99.9937	0.0000	0.0000	0.0011	99.9937	0.0000	100.0000	0.0006	99.9941
Mode No	TRAN-X		TRAN-Y		TRAN-Z		ROTN-X		ROTN-Y		ROTN-Z	
	MASS	SUM	MASS	SUM	MASS	SUM	MASS	SUM	MASS	SUM	MASS	SUM
1	137.9290	137.9290	295.9000	295.9000	0.0000	0.0000	485.0082	485.0082	226.0787	226.0787	13548.011	13548.011
2	313.4690	451.3980	163.2695	459.1695	0.0000	0.0000	267.6143	752.6225	513.8055	739.8842	105.8722	13653.883
3	32.7698	484.1678	4.8789	464.0484	0.0000	0.0000	7.9970	760.6195	53.7129	793.5970	10977.756	24631.639
4	32.5123	516.6801	42.7539	506.8023	0.0000	0.0000	70.0777	830.6972	53.2908	846.8878	94400.912	119032.55
5	0.0242	516.7043	13.3622	520.1646	0.0000	0.0000	21.9019	852.5992	0.0397	846.9275	2434.2550	121466.80
6	0.0002	516.7046	3.5830	523.7476	0.0000	0.0000	5.8729	858.4721	0.0004	846.9279	3441.7455	124908.55
7	0.0201	516.7247	0.0364	523.7840	0.0000	0.0000	0.0597	858.5318	0.0329	846.9609	57.8512	124966.40
8	2.5239	519.2486	0.0025	523.7865	0.0000	0.0000	0.0040	858.5358	4.1370	851.0978	127.5027	125093.90
9	0.3065	519.5551	0.0000	523.7865	0.0000	0.0000	0.0000	858.5359	0.5024	851.6002	1.9029	125095.80
10	0.0000	519.5551	0.0055	523.7920	0.0000	0.0000	0.0091	858.5449	0.0000	851.6002	0.7241	125096.53



RELAZIONE ILLUSTRATIVA E DI CALCOLO		
Data emissione: 20/05/2019	RST Relazione illustrativa e di calcolo strutturale.docx	22 di 267

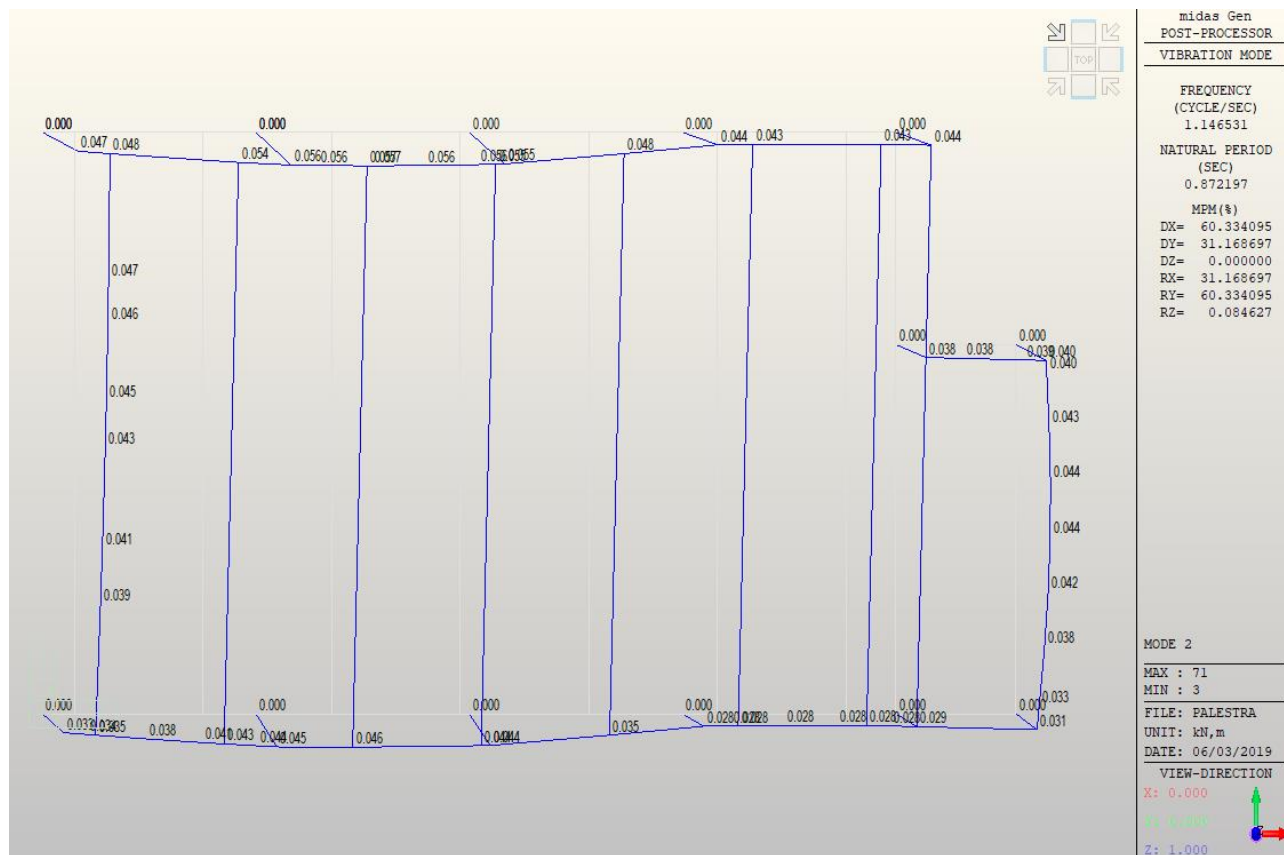
- Modi di vibrare: numero 1 (principale in Y - traslazionale)





RELAZIONE ILLUSTRATIVA E DI CALCOLO		
Data emissione: 20/05/2019	RST Relazione illustrativa e di calcolo strutturale.docx	23 di 267

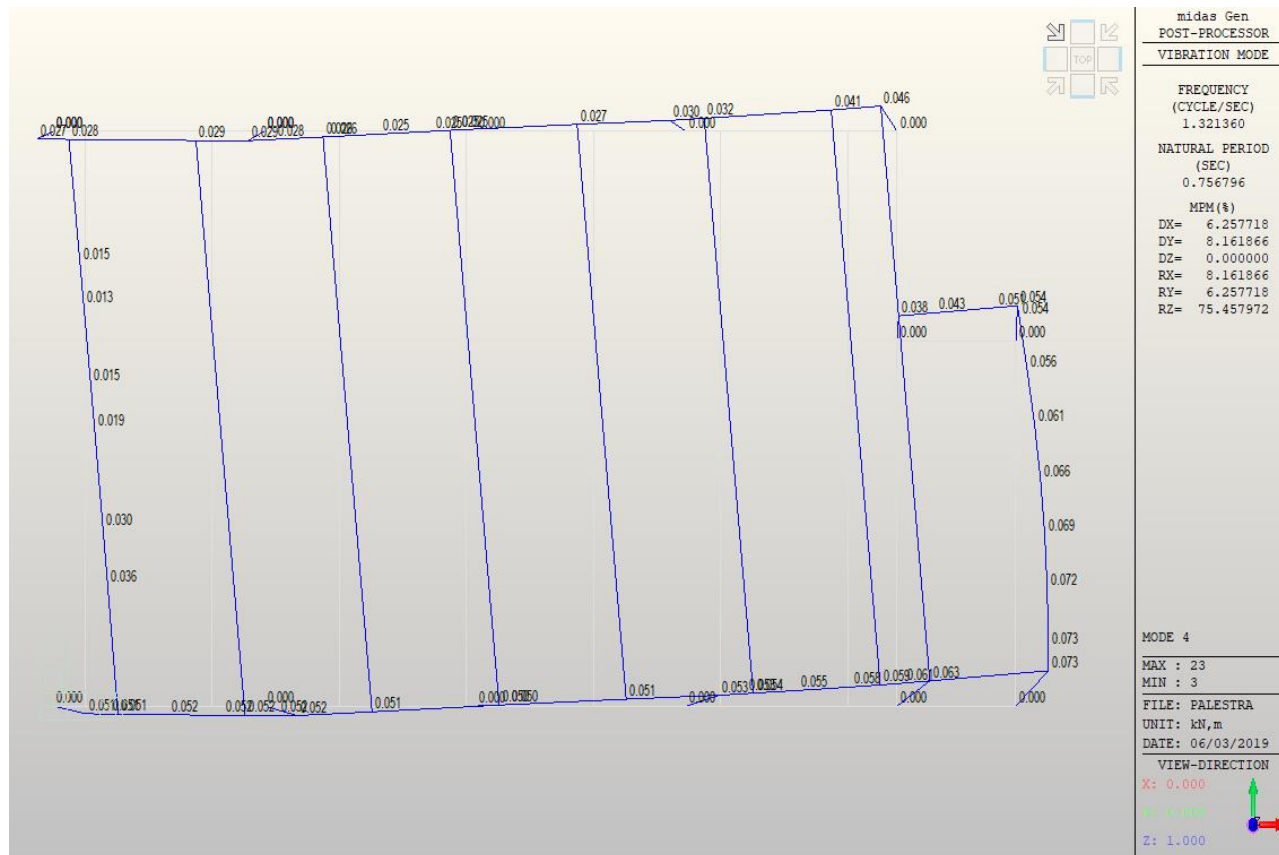
- Modi di vibrare: numero 2 (principale in X –traslazionale)





RELAZIONE ILLUSTRATIVA E DI CALCOLO		
Data emissione: 20/05/2019	RST Relazione illustrativa e di calcolo strutturale.docx	24 di 267

- Modi di vibrare: numero 3 (rotazionale)





RELAZIONE ILLUSTRATIVA E DI CALCOLO		
Data emissione: 20/05/2019	RST Relazione illustrativa e di calcolo strutturale.docx	25 di 267

2 NORME TECNICHE DI RIFERIMENTO

- Legge n. 1086 del 5 Febbraio 1971, *“Norme per la disciplina delle opere in conglomerato cementizio armato, normale e precompresso ed a struttura metallica”*;
- Legge n. 64 del 2 Febbraio 1974, *“Provvedimenti per le costruzioni con particolari prescrizioni per le zone sismiche”*;
- Decreto Ministeriale 14 Gennaio 2008, *“Norme tecniche per le costruzioni”*;
- Decreto Ministeriale 17 Gennaio 2018, *“Aggiornamento delle «Norme tecniche per le costruzioni»”*;
- Circolare C.S.LL.PP. n. 7 del 21 Gennaio 2019 *“Istruzioni per l'applicazione delle «Nuove norme tecniche per le costruzioni» di cui al Decreto Ministeriale 17 gennaio 2018”*;
- UNI EN 1992-1-1:2015, Eurocodice 2, *Progettazione delle strutture di calcestruzzo - Parte 1-1: Regole generali e regole per gli edifici*;
- UNI EN 1993-1-1:2014, Eurocodice 3, *“Progettazione delle strutture di acciaio – Parte 1-1: Regole generali e regole per gli edifici”*;
- UNI EN 1993-1-8:2005, Eurocodice 3, *“Progettazione delle strutture di acciaio – Parte 1-8: Progettazione dei collegamenti”*;
- UNI EN 1998-1:2013, Eurocodice 8, *Progettazione delle strutture per la resistenza sismica - Parte 1: Regole generali, azioni sismiche e regole per gli edifici*;
- UNI EN 1998-5:2005, Eurocodice 8, *Progettazione delle strutture per la resistenza sismica - Parte 5: Fondazioni, strutture di contenimento ed aspetti geotecnici*.



RELAZIONE ILLUSTRATIVA E DI CALCOLO		
Data emissione: 20/05/2019	RST Relazione illustrativa e di calcolo strutturale.docx	26 di 267

3 CARATTERISTICHE DEI MATERIALI

Nelle opere si utilizzeranno materiali di buona qualità, esenti da vizi di qualunque tipo, aventi le caratteristiche tecniche di seguito riportate.

3.1 Opere di nuova realizzazione

3.1.1 CALCESTRUZZO

- ✓ Calcestruzzo cementizio per strutture di fondazione (platea, nervature platea e ringrossi):
 - classe C25/30;
 - classe di esposizione: XC2 ;
 - classe di consistenza: S4;
 - resistenza caratteristica cilindrica: $f_{ck}= 24,90 \text{ N/mm}^2$;
 - resistenza caratteristica a trazione: $f_{ctk}= 1,79 \text{ N/mm}^2$;
 - resistenza di calcolo a compressione: $f_{cd}= 14,11 \text{ N/mm}^2$;
 - resistenza di calcolo a trazione: $f_{ctd}= 1,19 \text{ N/mm}^2$;

- ✓ Calcestruzzo cementizio per strutture in elevazione (solette, solai, pilastri, travi):
 - classe C25/30;
 - classe di esposizione: XC1 ;
 - classe di consistenza: S4;
 - resistenza caratteristica cilindrica: $f_{ck}= 24,90 \text{ N/mm}^2$;
 - resistenza caratteristica a trazione: $f_{ctk}= 1,79 \text{ N/mm}^2$;
 - resistenza di calcolo a compressione: $f_{cd}= 14,11 \text{ N/mm}^2$;
 - resistenza di calcolo a trazione: $f_{ctd}= 1,19 \text{ N/mm}^2$;

- ✓ Calcestruzzo alveolare (solaio area ginnica palestra):
 - classe C45/55;
 - classe di esposizione: XC1 ;
 - classe di consistenza: S4;
 - resistenza caratteristica cilindrica: $f_{ck}= 45,65 \text{ N/mm}^2$;
 - resistenza caratteristica a trazione: $f_{ctk}= 4,90 \text{ N/mm}^2$;
 - resistenza di calcolo a compressione: $f_{cd}= 19,40 \text{ N/mm}^2$;
 - resistenza di calcolo a trazione: $f_{ctd}= 3,27 \text{ N/mm}^2$;



RELAZIONE ILLUSTRATIVA E DI CALCOLO		
Data emissione: 20/05/2019	RST Relazione illustrativa e di calcolo strutturale.docx	27 di 267

3.1.2 ACCIAIO PER CEMENTO ARMATO AD ADERENZA MIGLIORATA

- ✓ Acciaio per cemento armato:

tipo	B450C;
resistenza caratteristica snervamento:	$f_{yk} = 450,00 \text{ N/mm}^2$;
resistenza caratteristica a rottura:	$f_{tk} = 540,00 \text{ N/mm}^2$;
resistenza di calcolo:	$f_{yd} = 391,30 \text{ N/mm}^2$;

3.1.3 ACCIAIO DA CARPENTERIA

- ✓ Acciaio per travi in acciaio S275JR:

tipo	S275JR;
resistenza caratteristica snervamento:	$f_{yk} = 275,00 \text{ N/mm}^2$;
resistenza caratteristica a rottura:	$f_{tk} = 430,00 \text{ N/mm}^2$;
resistenza di calcolo:	$f_{yd} = 239,13 \text{ N/mm}^2$;

3.1.4 PREFABBRICATO

- ✓ Pilastrì 60x60 cm

Classe di resistenza calcestruzzo	C40/50;
Acciaio ad aderenza migliorata	B450C;
Resistenza al fuoco	R120;

- ✓ Travi 60x70 cm

Classe di resistenza calcestruzzo	C40/50;
Acciaio ad aderenza migliorata	B450C;
Resistenza al fuoco	R120;

- ✓ Travi di banchina

Classe di resistenza calcestruzzo	C40/50;
Acciaio ad aderenza migliorata	B450C;
Acciaio reti elettrosaldate	B450A;

Acciaio armonico di precompressione:	trefoli a sette fili a basso rilassamento, $f_{ptk} > 1860 \text{ N/mm}^2$ $f_{p(1)k} > 1670 \text{ N/mm}^2$
Coibente:	polistirene espanso sinterizzato a cellule chiuse.
Reazione al fuoco:	Euroclasse E (secondo EN 13501-1);



RELAZIONE ILLUSTRATIVA E DI CALCOLO		
Data emissione: 20/05/2019	RST Relazione illustrativa e di calcolo strutturale.docx	28 di 267

-
- $I = 0.038 \text{ W/mk}$
- Resistenza al fuoco R120;
- ✓ Tegoli alari di copertura
- Classe di resistenza calcestruzzo C45/55;
- Acciaio ad aderenza migliorata B450C;
- Acciaio reti elettrosaldate B450A;
- Acciaio armonico di precompressione: trefoli a sette fili a basso rilassamento,
 $f_{ptk} > 1860 \text{ N/mm}^2$
 $f_{p(1)k} > 1670 \text{ N/mm}^2$
- Coibente: Polistirene espanso sinterizzato con grafite a
cellule chiuse conforme alla Norma UNI EN
13163.
- reazione al fuoco: Euroclasse E (secondo EN 13501-1);
 $I = 0.032 \text{ W/mk}$
- resistenza al fuoco R120;
- resistenza a compressione 80 kN/m^2 (secondo EN 826);
- resistenza a flessione 120 kN/m^2 (secondo EN 12089);
- resistenza a trazione $\geq 80 \text{ kN/m}^2$ (secondo EN 1607);
- ✓ Coppelle curve in cemento armato vibrato
- Classe di resistenza calcestruzzo C40/50;
- Acciaio ad aderenza migliorata B450C;
- Acciaio reti elettrosaldate B450A;
- Coibente: Polistirene espanso sinterizzato con grafite a
cellule chiuse conforme alla Norma UNI EN
13163.
- reazione al fuoco: Euroclasse E (secondo EN 13501-1);
 $I = 0.032 \text{ W/mk}$
- resistenza a compressione 80 kN/m^2 (secondo EN 826);
- resistenza a flessione 120 kN/m^2 (secondo EN 12089);
- resistenza a trazione $\geq 80 \text{ kN/m}^2$ (secondo EN 1607);
- ✓ Coppelle rette in cemento armato vibrato
- Classe di resistenza calcestruzzo C40/50;
- Acciaio ad aderenza migliorata B450C;



RELAZIONE ILLUSTRATIVA E DI CALCOLO		
Data emissione: 20/05/2019	RST Relazione illustrativa e di calcolo strutturale.docx	29 di 267

-
- | | |
|-----------------------------|---|
| Acciaio reti elettrosaldate | B450A; |
| Coibente: | Polistirene espanso sinterizzato con grafite a cellule chiuse conforme alla Norma UNI EN 13163. |
| reazione al fuoco: | Euroclasse E (secondo EN 13501-1);
$I = 0.032 \text{ W/mk}$ |
| resistenza a compressione | 80 kN/m ² (secondo EN 826); |
| resistenza a flessione | 120 kN/m ² (secondo EN 12089); |
| resistenza a trazione | ≥80 kN/m ² (secondo EN 1607); |
- ✓ Conchiglie terminali in cemento armato
- | | |
|-----------------------------------|--|
| Classe di resistenza calcestruzzo | C40/50; |
| Acciaio ad aderenza migliorata | B450C; |
| Acciaio reti elettrosaldate | B450A; |
| Coibente: | Polistirene espanso sinterizzato a cellule chiuse. |
| reazione al fuoco: | Euroclasse E (secondo EN 13501-1);
$I = 0.038 \text{ W/mk}$ |
- ✓ Pannello prefabbricato a taglio termico – spessore 30 cm
- | | |
|-----------------------------------|---|
| Classe di resistenza calcestruzzo | C32/40; |
| Acciaio ad aderenza migliorata | B450C; |
| Acciaio reti elettrosaldate | B450A; |
| Coibente di alleggerimento: | Polistirene espanso sinterizzato a cellule chiuse; |
| Coibente taglio termico: | Polistirene espanso sinterizzato con grafite a cellule chiuse conforme alla Norma UNI EN 13163. |
| reazione al fuoco: | Euroclasse E (secondo EN 13501-1);
$I = 0.038 \text{ W/mk}$ |
| resistenza a compressione | 80 kN/m ² (secondo EN 826); |
| resistenza a flessione | 120 kN/m ² (secondo EN 12089); |
| resistenza a trazione | ≥80 kN/m ² (secondo EN 1607); |
- ✓ Pannello prefabbricato alleggerito – spessore 20 cm
- | | |
|-----------------------------------|---------|
| Classe di resistenza calcestruzzo | C32/40; |
| Acciaio ad aderenza migliorata | B450C; |
| Acciaio reti elettrosaldate | B450A; |



RELAZIONE ILLUSTRATIVA E DI CALCOLO		
Data emissione: 20/05/2019	RST Relazione illustrativa e di calcolo strutturale.docx	30 di 267

Coibente di alleggerimento:

reazione al fuoco:

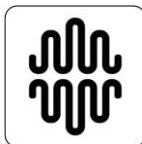
resistenza al fuoco:

Polistirene espanso sinterizzato a cellule chiuse;

Euroclasse E (secondo EN 13501-1);

$\lambda = 0.038 \text{ W/mK}$

R60



RELAZIONE ILLUSTRATIVA E DI CALCOLO		
Data emissione: 20/05/2019	RST Relazione illustrativa e di calcolo strutturale.docx	31 di 267

4 ANALISI DEI CARICHI STATICI E DINAMICI

4.1 Azioni del vento

Il calcolo dell'azione del vento globale agente sull'intera struttura è stata calcolata seguendo le indicazioni riportate nel paragrafo 3.3. delle NTC18.

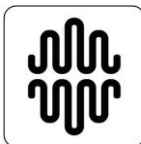
Le opere oggetto della presente relazione si trovano in un'area urbana di classe B (aree urbane non di classe A, suburbane, industriali, boschive). Le azioni dinamiche dovute al vento verranno convenzionalmente ricondotte ad azioni statiche equivalenti, utilizzando i seguenti parametri:

- Altitudine del sito $\cong 130$ m s.l.m.;
- Velocità di riferimento $v_{b,0} = 25$ m/s;
- Zona di appartenenza = 2;
- Classe di rugosità = B (aree urbane non di classe A, suburbane, industriali, boschive);
- Categoria di esposizione = IV;
- $k_r = 0,22$;
- $z_0 = 0,3$ m;
- $z_{min} = 8$ m.

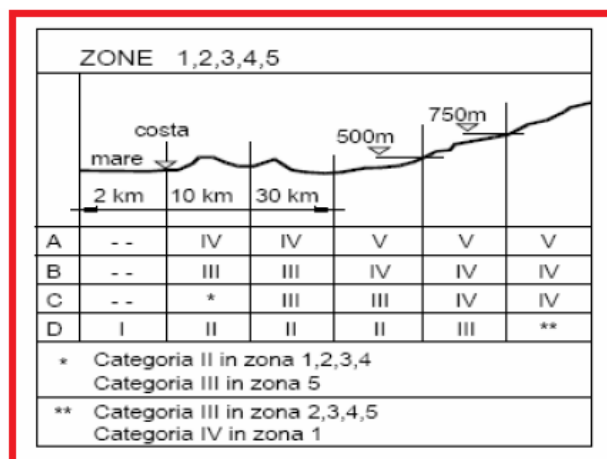
Si riportano di seguito le tabelle della Normativa a cui si è fatto riferimento:

Tab. 3.3.I - Valori dei parametri $v_{b,0}$, a_0 , k_s

Zona	Descrizione	$v_{b,0}$ [m/s]	a_0 [m]	k_s
1	Valle d'Aosta, Piemonte, Lombardia, Trentino Alto Adige, Veneto, Friuli Venezia Giulia (con l'eccezione della provincia di Trieste)	25	1000	0,40
2	Emilia Romagna	25	750	0,45
3	Toscana, Marche, Umbria, Lazio, Abruzzo, Molise, Puglia, Campania, Basilicata, Calabria (esclusa la provincia di Reggio Calabria)	27	500	0,37
4	Sicilia e provincia di Reggio Calabria	28	500	0,36
5	Sardegna (zona a oriente della retta congiungente Capo Teulada con l'Isola di Maddalena)	28	750	0,40
6	Sardegna (zona a occidente della retta congiungente Capo Teulada con l'Isola di Maddalena)	28	500	0,36
7	Liguria	28	1000	0,54
8	Provincia di Trieste	30	1500	0,50
9	Isole (con l'eccezione di Sicilia e Sardegna) e mare aperto	31	500	0,32

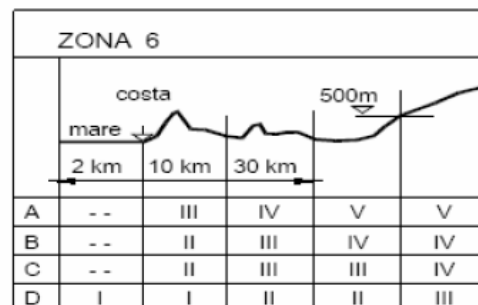


RELAZIONE ILLUSTRATIVA E DI CALCOLO		
Data emissione: 20/05/2019	RST Relazione illustrativa e di calcolo strutturale.docx	32 di 267



ZONA 9

	mare	costa
A	--	I
B	--	I
C	--	I
D	I	I



ZONE 7,8

	1.5 km	0.5 km
A	--	IV
B	--	IV
C	--	III
D	I	*

* Categoria II in zona 8
Categoria III in zona 7

Fig. 3.3.2 - Definizione delle categorie di esposizione

Tab. 3.3.II - Parametri per la definizione del coefficiente di esposizione

Categoria di esposizione del sito	K_r	z_0 [m]	z_{min} [m]
I	0,17	0,01	2
II	0,19	0,05	4
III	0,20	0,10	5
IV	0,22	0,30	8
V	0,23	0,70	12



RELAZIONE ILLUSTRATIVA E DI CALCOLO		
Data emissione: 20/05/2019	RST Relazione illustrativa e di calcolo strutturale.docx	33 di 267

Tab. 3.3.III - Classi di rugosità del terreno

Classe di rugosità del terreno	Descrizione
A	Aree urbane in cui almeno il 15% della superficie sia coperto da edifici la cui altezza media superi i 15 m
B	Aree urbane (non di classe A), suburbane, industriali e boschive
C	Aree con ostacoli diffusi (alberi, case, muri, recinzioni,...); aree con rugosità non riconducibile alle classi A, B, D
D	a) Mare e relativa fascia costiera (entro 2 km dalla costa); b) Lago (con larghezza massima pari ad almeno 1 km) e relativa fascia costiera (entro 1 km dalla costa) c) Aree prive di ostacoli o con al più rari ostacoli isolati (aperta campagna, aeroporti, aree agricole, pascoli, zone paludose o sabbiose, superfici innevate o ghiacciate,)

L'assegnazione della classe di rugosità non dipende dalla conformazione orografica e topografica del terreno. Si può assumere che il sito appartenga alla Classe A o B, purché la costruzione si trovi nell'area relativa per non meno di 1 km e comunque per non meno di 20 volte l'altezza della costruzione, per tutti i settori di provenienza del vento ampi almeno 30°. Si deve assumere che il sito appartenga alla Classe D, qualora la costruzione sorga nelle aree indicate con le lettere a) o b), oppure entro un raggio di 1 km da essa vi sia un settore ampio 30°, dove il 90% del terreno sia del tipo indicato con la lettera c). Laddove sussistano dubbi sulla scelta della classe di rugosità, si deve assegnare la classe più sfavorevole (l'azione del vento è in genere minima in Classe A e massima in Classe D).

L'azione del vento viene determinata attraverso la seguente formula:

$$p = q_r c_e c_p c_d$$

Dove:

- q_r è la pressione cinetica di riferimento di cui al § 3.3.6 e vale 0,391 kN/m²;
- c_e è il coefficiente di esposizione di cui al § 3.3.7 e vale 1,634 ;
- c_p è il coefficiente di pressione di cui al § 3.3.8 e vale 0,8 considerando le superfici esterne sopravento e variabile considerando le superfici esterne sottovento (vedi circolare NTC2018);
- c_d è il coefficiente dinamico di cui al § 3.3.9 ed è stato assunto pari a 1.

Si ricava quindi:

$$p_{\text{sopravento}} = 0,51 \text{ kN/m}^2$$

$$p_{\text{sottovento}} = \text{variabile}$$

4.2 Azioni della neve

Il calcolo dell'azione del vento globale agente sull'intera struttura è stata calcolata seguendo le indicazioni riportate nel paragrafo 3.4. delle NTC18.



RELAZIONE ILLUSTRATIVA E DI CALCOLO		
Data emissione: 20/05/2019	RST Relazione illustrativa e di calcolo strutturale.docx	34 di 267

Il carico provocato dall'accumulo della neve sugli elementi delle opere (coperture) verrà valutato utilizzando i seguenti parametri previsti dalla vigente normativa:

- Altitudine del sito $\cong 130$ m s.l.m.;
- Zona di appartenenza = Zona I - Mediterranea;
- Carico della neve al suolo q_{sk} (§3.4.2) = $1,5 \text{ kN/m}^2$ (formula 3.4.4 con $a_s \leq 200$ m);
- Topografia = Normale;
- Coefficiente di esposizione C_e (§3.4.4) = 1;
- Coefficiente termico C_t (§3.4.5) = 1;
- Tipologia di copertura = piana, $0^\circ \leq \alpha \leq 30^\circ$;
- Coefficiente di forma μ_1 (§3.4.3) = 0,8.

Si riportano di seguito le tabelle della Normativa a cui si è fatto riferimento:

Tab. 3.4.I – Valori di C_e per diverse classi di esposizione

Topografia	Descrizione	C_e
Battuta dai venti	Aree pianeggianti non ostruite esposte su tutti i lati, senza costruzioni o alberi più alti	0,9
Normale	Aree in cui non è presente una significativa rimozione di neve sulla costruzione prodotta dal vento, a causa del terreno, altre costruzioni o alberi	1,0
Riparata	Aree in cui la costruzione considerata è sensibilmente più bassa del circostante terreno o circondata da costruzioni o alberi più alti	1,1

Tab. 3.4.II – Valori del coefficiente di forma

Coefficiente di forma	$0^\circ \leq \alpha \leq 30^\circ$	$30^\circ < \alpha < 60^\circ$	$\alpha \geq 60^\circ$
μ_1	0,8	$0,8 \cdot \frac{(60 - \alpha)}{30}$	0,0

Il carico della neve viene determinato attraverso la seguente formula:

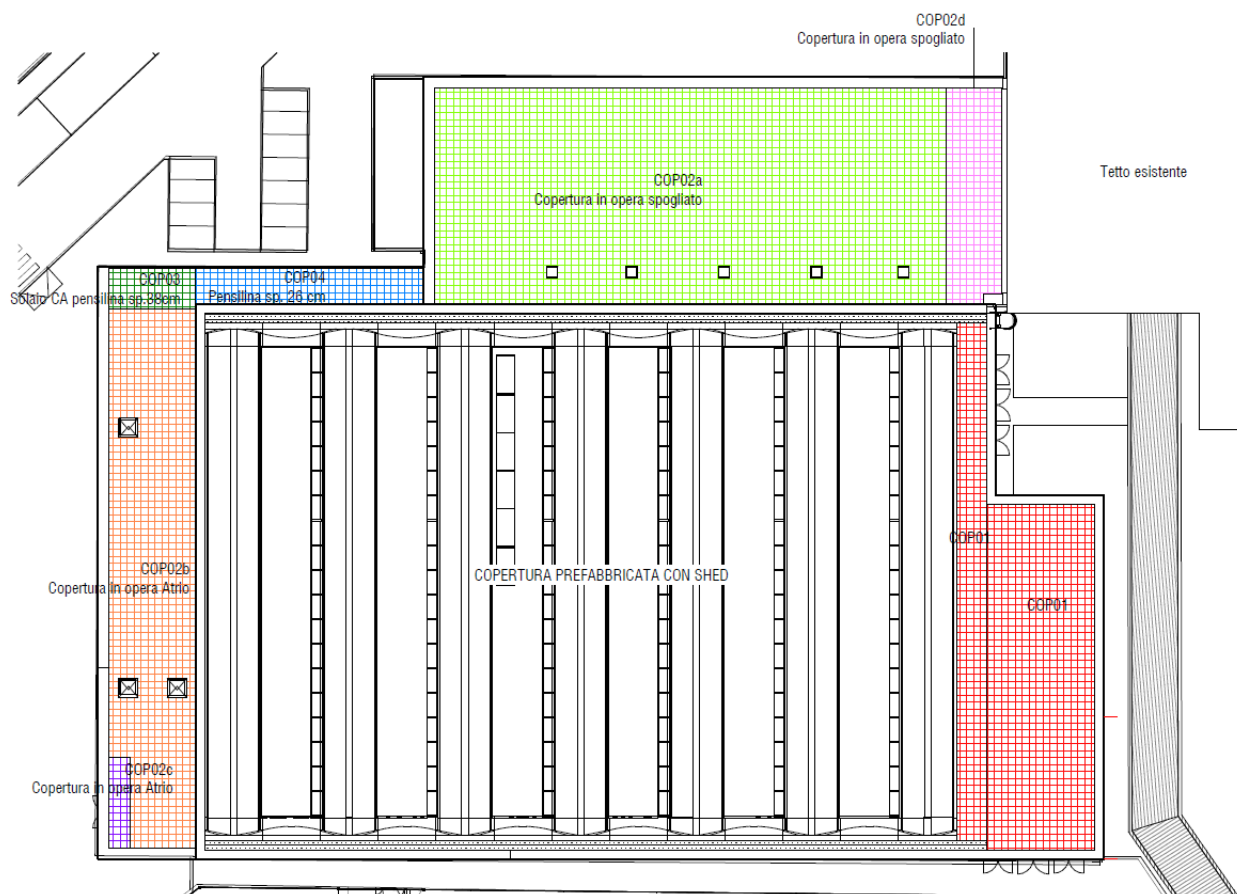
$$q_s = q_{sk} \mu_i C_e C_t = 1,2 \text{ kN/m}^2$$

4.3 Carichi sui solai

Per una migliore comprensione della distribuzione della diversa tipologia di carichi sui solai, si riporta un estratto della tavola A12 dell'architettonico:



RELAZIONE ILLUSTRATIVA E DI CALCOLO		
Data emissione: 20/05/2019	RST Relazione illustrativa e di calcolo strutturale.docx	35 di 267

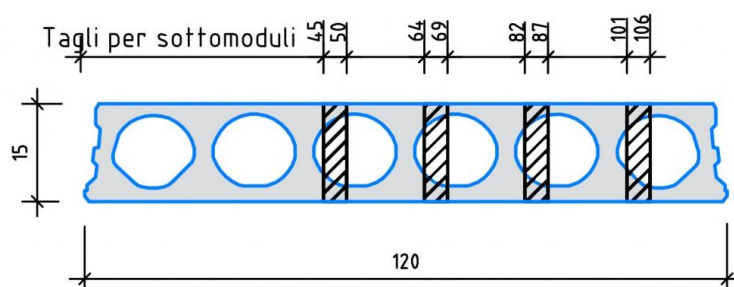


Pianta Copertura - Abaco Solai

4.3.1 SOLAIO COP01 – SOLAIO COPERTURA AREA GINNICA

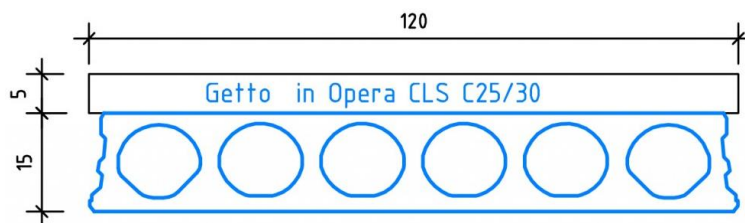
- ✓ Tipologia: Solaio alveolare 15+5 (alveolare H15 in semplice appoggio)
- ✓ Peso proprio (g_1) = 2,00 kN/m²;
- ✓ Peso permanente non strutturale (g_2) = 0,50 kN/m²;
- ✓ Carichi variabili = 1,20 kN/m²;
- Neve (quota ≤ 1000 m s.l.m.);
- Totale** = 3,70 kN/m²;

IMA Precompressi - Solaio tipo IMA Spirax H15





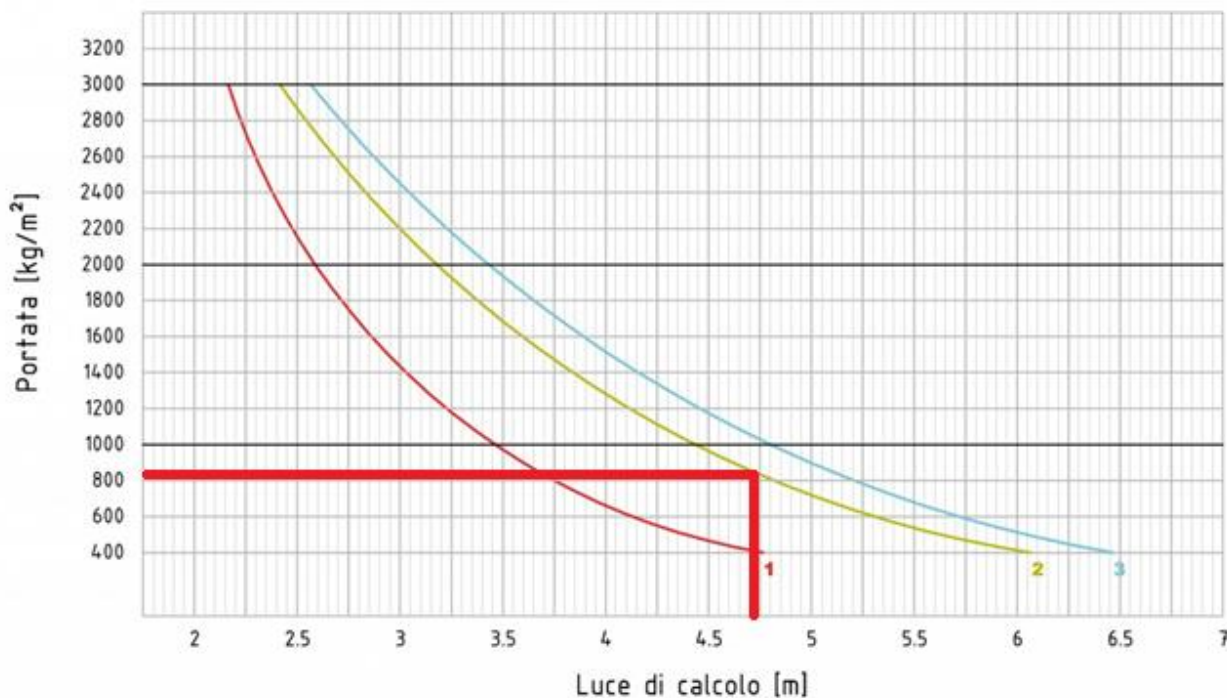
RELAZIONE ILLUSTRATIVA E DI CALCOLO		
Data emissione: 20/05/2019	RST Relazione illustrativa e di calcolo strutturale.docx	36 di 267



IMA SPIRAX H15



LUCI - PORTATE



La portata massima per una luce di 4,68 m è ~800 kg/m², che risulta essere maggiore dei carichi portati dalla pensilina (considerando permanenti non strutturali e variabili si ha 170 kg/m²).

4.3.2 SOLAIO COP02A – COPERTURA IN OPERA SPOGLIATOI

- ✓ Tipologia: Solaio predalles 4+16+5 (sp. tot 55,5 cm)
- ✓ Peso proprio (g_1) = 3,60 kN/m²;
- ✓ Peso permanente non strutturale (g_2) = 2,90 kN/m²;
- ✓ Carichi variabili = 1,20 kN/m²;
- Neve (quota ≤ 1000 m s.l.m.);
- Totale = 7,70 kN/m²;**



RELAZIONE ILLUSTRATIVA E DI CALCOLO		
Data emissione: 20/05/2019	RST Relazione illustrativa e di calcolo strutturale.docx	37 di 267

4.3.3 SOLAIO COP02B – COPERTURA IN OPERA ATRIO

✓	Tipologia: Solaio predalles 4+16+5 (sp. tot 50,5 cm)	
✓	Peso proprio (g_1)	= 3,60 kN/m ² ;
✓	Peso permanente non strutturale (g_2)	= 2,10 kN/m ² ;
✓	Carichi variabili	= 1,20 kN/m ² ;
	Neve (quota ≤ 1000 m s.l.m.);	
	Totale	= 6,90 kN/m²;

4.3.4 SOLAIO COP02C – COPERTURA IN OPERA ATRIO A SBALZO

✓	Tipologia: Soletta piena in c.a. sp. 20 cm (sp. tot. 45,5 cm)	
✓	Peso proprio (g_1)	= 5,00 kN/m ² ;
✓	Peso permanente non strutturale (g_2)	= 2,25 kN/m ² ;
✓	Carichi variabili	= 1,20 kN/m ² ;
	Neve (quota ≤ 1000 m s.l.m.);	
	Totale	= 8,45 kN/m²;

4.3.5 SOLAIO COP02D – COPERTURA IN OPERA SPOGLIATOI

✓	Tipologia: Soletta piena in c.a. sp. 20 cm (sp. tot. 50,5 cm)	
✓	Peso proprio (g_1)	= 5,00 kN/m ² ;
✓	Peso permanente non strutturale (g_2)	= 2,90 kN/m ² ;
✓	Carichi variabili	= 1,20 kN/m ² ;
	Neve (quota ≤ 1000 m s.l.m.);	
	Totale	= 9,10 kN/m²;

4.3.6 SOLAIO COP03 – SOLAIO PENSILINA SP. 38 CM

✓	Tipologia: Soletta piena in c.a. sp. 20 cm (sp. tot. 38 cm)	
✓	Peso proprio (g_1)	= 5,00 kN/m ² ;
✓	Peso permanente non strutturale (g_2)	= 1,40 kN/m ² ;
✓	Carichi variabili	= 1,20 kN/m ² ;
	Neve (quota ≤ 1000 m s.l.m.);	
	Totale	= 7,60 kN/m²;

4.3.7 SOLAIO COP04 – PENSILINA A SECCO SP. 26 CM

✓	Tipologia: Solaio in lamiera grecata con sottostruttura metallica HEA200 e IPE180 (sp. 20 cm)	
✓	Peso proprio (g_1)	= 0,60 kN/m ² ;
✓	Peso permanente non strutturale (g_2)	= 0,29 kN/m ² ;



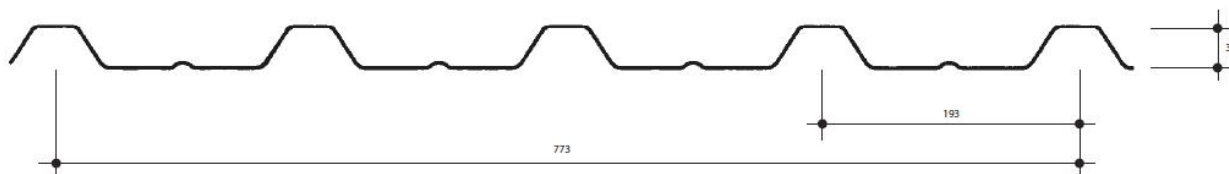
RELAZIONE ILLUSTRATIVA E DI CALCOLO		
Data emissione: 20/05/2019	RST Relazione illustrativa e di calcolo strutturale.docx	38 di 267

✓ Carichi variabili $= 1,20 \text{ kN/m}^2$;
Neve (quota $\leq 1000 \text{ m s.l.m.}$);
Totale **$= 2,05 \text{ kN/m}^2$;**

Lamiera grecata tipo Coverib-850



LUNGHEZZA	su misura
LARGHEZZA NOMINALE	850 mm
LARGHEZZA UTILE	773 mm
PROFILO	32 mm
SPESSORE TOTALE MEDIO	2,4 mm
SPESSORE DELL'ACCIAIO	0,50 - 0,60 - 0,80 mm
MASSA	8,000 kg/m ² con acciaio 0,50 8,600 kg/m² con acciaio 0,60 10,00 kg/m ² con acciaio 0,80
TOLLERANZE	lunghezza + 20, - 5 mm larghezza nominale + / - 5 mm spessore + / - 10%



Distanze ammissibili tra gli appoggi (L) per profili Coverib 850 in funzione dei sovraccarichi uniformemente distribuiti (p) e dello schema statico.

$f \leq 1/200 \text{ L} - \sigma \leq 1650 \text{ daN/cm}^2$

Le caratteristiche geometriche dei profili sono state calcolate secondo le istruzioni C.N.R. 10022 / 84.

SPESSORE ACCIAIO	J cm ⁴ /m	W ⁺ min cm ³ /m	W ⁻ min cm ³ /m
0,50 mm	8,59	3,76	3,40
0,60 mm	10,68	4,79	4,37
0,80 mm	14,47	6,71	6,07

J = Momento di inerzia

W⁺ min = Modulo di resistenza a flessione per i momenti positivi

W⁻ min = Modulo di resistenza a flessione per i momenti negativi

RESISTENZA MECCANICA

$\delta_{\text{max}} \leq 1/200 \text{ L}$ (carico compressivo) $\delta_2 \leq 1/250 \text{ L}$ (solo accidentale) $f_y \geq 2.500 \text{ daN/cm}^2$ (tensione di snervamento) $M_{c, \text{Req}} = M_{e, \text{Req}} - W_{el} f_{yd} / \gamma_{M0}$

Le caratteristiche geometriche dei profili sono state calcolate secondo DM del 14.01.2008, EN 1993-1-3 e En 1993-1-5

SCHEMA STATICO: UNA CAMPATA



M max +	$1/8 [p+q] l^2$
M min -	=
f max (q)	$5/384 q l^4/EI$
f max (p+q)	$5/384 [p+q] l^4/EI$

SOVRACCARICO DISCENDENTE NEVE - P (daN/m²)

spess. acc.		60	80	100	120	140	160	180	200	220	240	260	280	300	320	340	360
0,50 mm	L = m	1,83	1,76	1,70	1,60	1,52	1,45	1,40	1,35	1,31	1,27	1,24	1,21	1,18	1,15	1,11	1,08
0,60 mm	L = m	1,99	1,91	1,84	1,73	1,65	1,58	1,52	1,46	1,42	1,38	1,34	1,31	1,28	1,25	1,23	1,20
0,80 mm	L = m	2,26	2,17	2,10	1,97	1,87	1,79	1,72	1,66	1,61	1,57	1,52	1,49	1,45	1,42	1,39	1,37

SOVRACCARICO ASCENDENTE VENTO - P (daN/m²)

spess. acc.		60	80	100	120	140	160	180	200	220	240	260	280	300	320	340	360
0,50 mm	L = m	1,76	1,60	1,49	1,40	1,33	1,27	1,22	1,18	1,14	1,11	1,08	1,06	1,03	1,01	0,99	0,97
0,60 mm	L = m	1,91	1,73	1,61	1,52	1,44	1,38	1,32	1,28	1,24	1,20	1,17	1,14	1,12	1,09	1,07	1,05
0,80 mm	L = m	2,20	1,99	1,85	1,74	1,65	1,58	1,52	1,47	1,42	1,38	1,35	1,31	1,28	1,26	1,23	1,21

Considerando la somma dei carichi permanenti non strutturali e dei carichi variabili ($1,486 \text{ kN/m}^2$) agente su uno schema statico appoggio-appoggio di una sola campata con luce netta 1,39 m, dalla tabella di verifica della scheda tecnica del prodotto si nota che la tipologia di solaio scelta è idonea.



RELAZIONE ILLUSTRATIVA E DI CALCOLO		
Data emissione: 20/05/2019	RST Relazione illustrativa e di calcolo strutturale.docx	39 di 267

4.4 Azione sismica

Essendo stato effettuato lo studio della risposta sismica locale si assumerà lo spettro ottenuto da tale valutazione per il calcolo dell'azione sismica agente sulle strutture previste nel presente progetto. Nel caso in cui sia invece meno a favore di sicurezza (vedi confronti successivi) si utilizzerà lo spettro da normativa così come definito dalle NTC2018.

Lo spettro elastico di progetto che verrà impiegato è quello normalizzato sulla media degli accelerogrammi spettro-compatibili definiti nella relazione geologica del Dott. Geol. Luca Tondi e all'analisi di risposta sismica locale, dalla quale si sono ricavati i seguenti spettri di risposta elastici per il sito in cui sorgerà l'opera.

Inoltre, per la determinazione dell'azione sismica agente sulla struttura sono state considerate le seguenti ipotesi di base per il calcolo, riportate all'interno delle NTC2018:

Vita nominale = 50 anni;

Classe d'uso = IV;

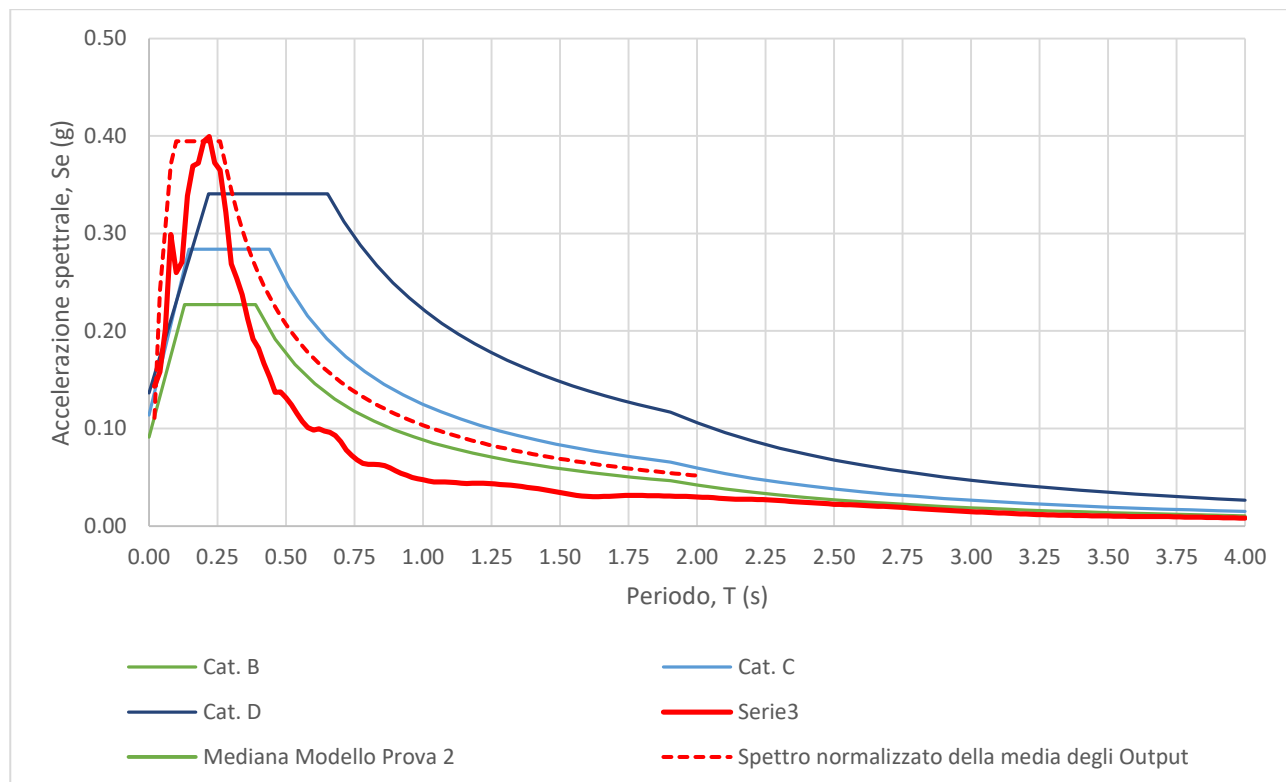
Coefficiente d'uso - $C_u = 2,0$;

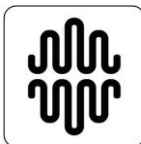
Periodo di riferimento - $V_r = 100$ anni;

Coefficiente di topografia = T1.

Si riportano di seguito i risultati ottenuti per i diversi stati limite:

- SLO



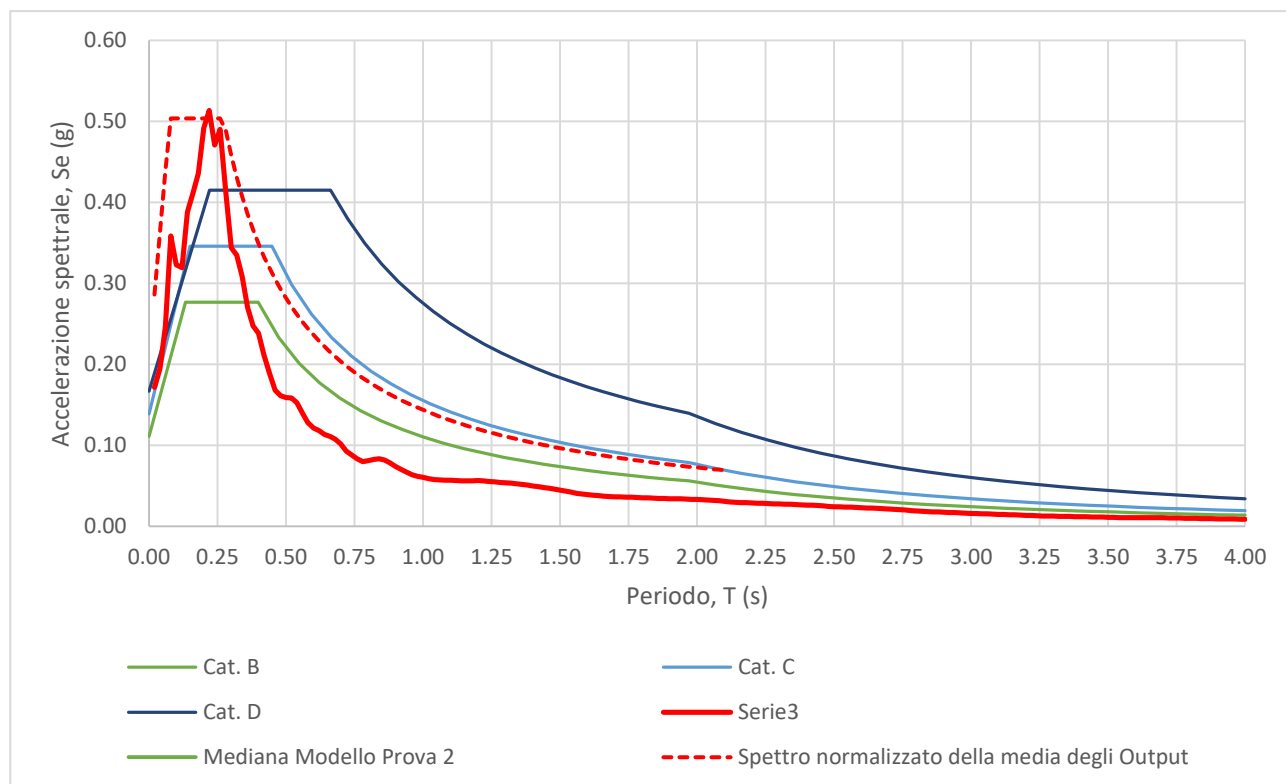


RELAZIONE ILLUSTRATIVA E DI CALCOLO		
Data emissione: 20/05/2019	RST Relazione illustrativa e di calcolo strutturale.docx	40 di 267

Dall'analisi locale sono emersi i seguenti parametri:

Stato Limite	Tr [anni]	a_{max} [g]	F_0	SS	CC	ST	T_c	T_B	T_D
Operatività (SLO)	60	0.111	3.563	1.000	1.150	1.000	0.262	0.087	2.043

- SLD



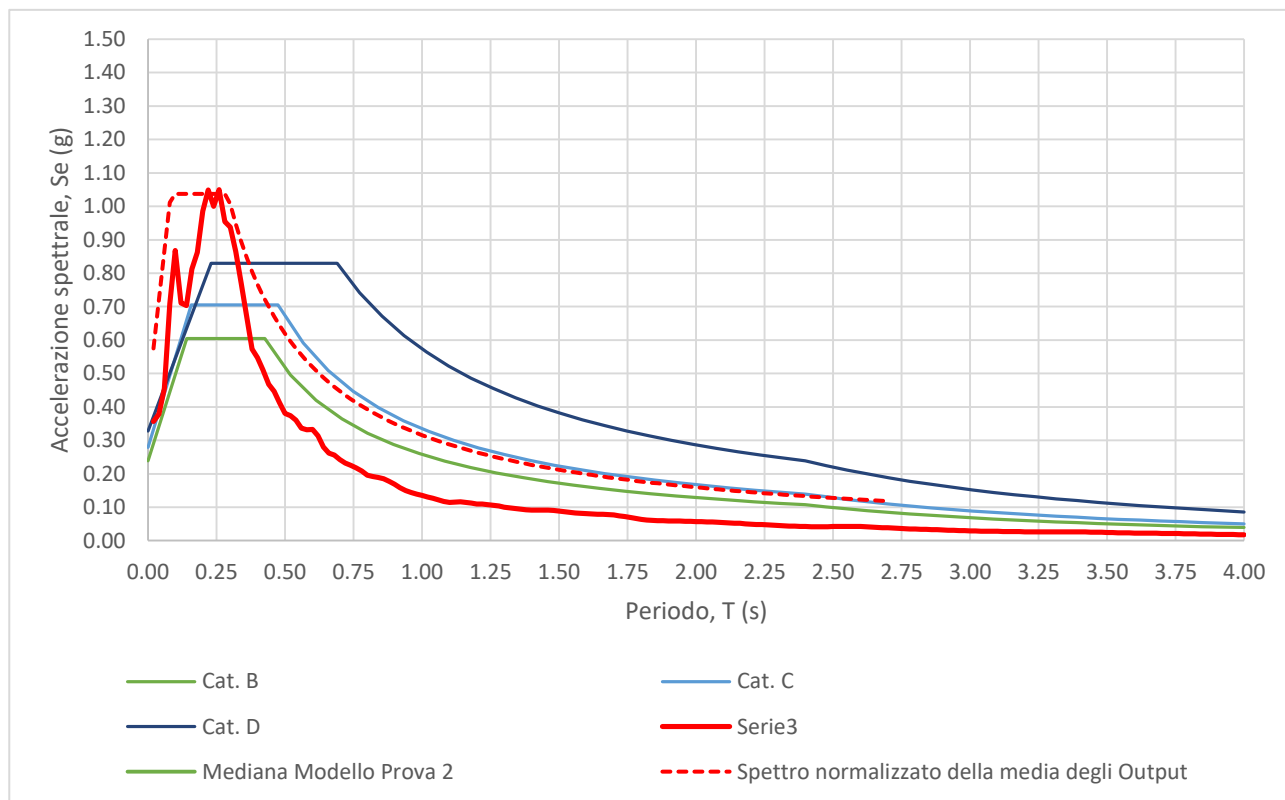
Dall'analisi locale sono emersi i seguenti parametri:

Stato Limite	Tr [anni]	a_{max} [g]	F_0	SS	CC	ST	TC	TB	TD
Danno (SLD)	101	0.133	3.784	1.000	1.000	1.150	0.291	0.097	2.132



RELAZIONE ILLUSTRATIVA E DI CALCOLO		
Data emissione: 20/05/2019	RST Relazione illustrativa e di calcolo strutturale.docx	41 di 267

- SLV



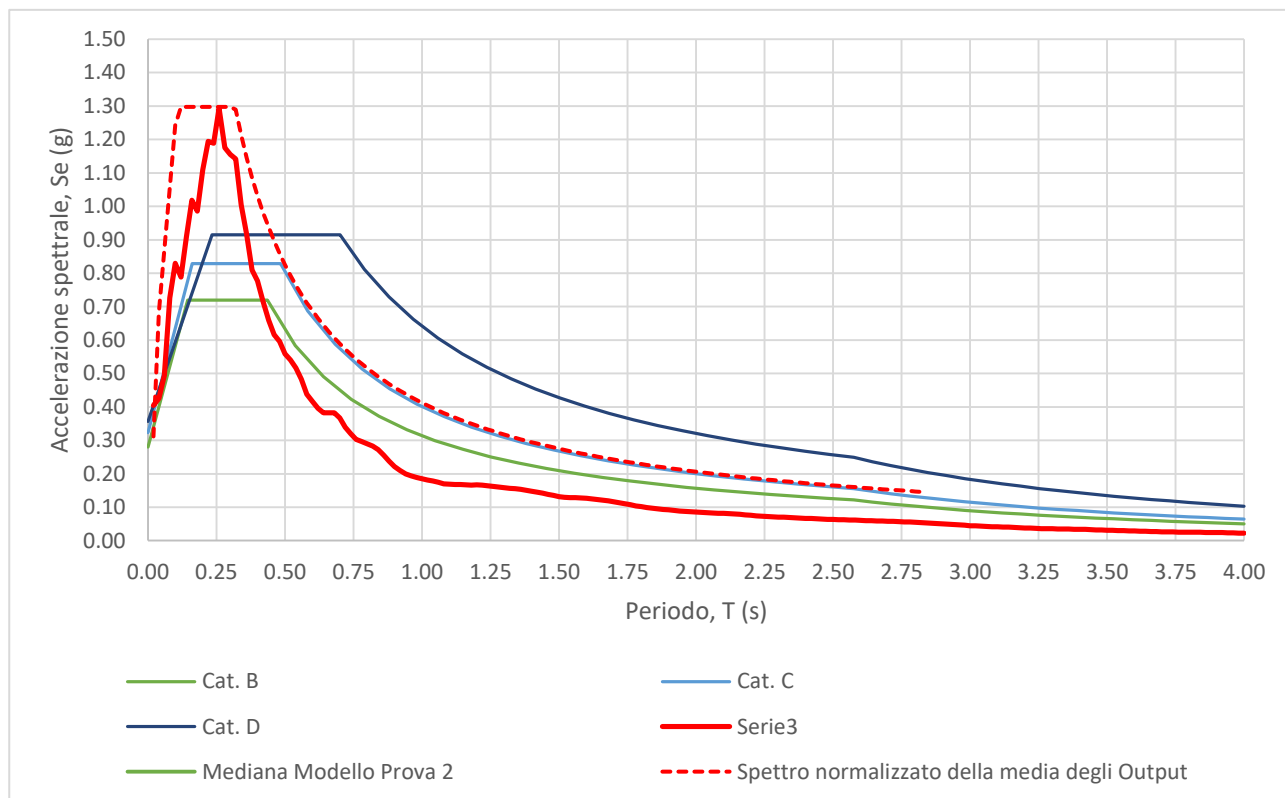
Dall'analisi locale sono emersi i seguenti parametri:

Stato Limite	Tr [anni]	a_{max} [g]	F_0	SS	CC	ST	T_c	T_B	T_D
Vita (SLV)	949	0.284	3.656	1.000	1.00	1.15000	0.31051	0.1035	2.735



RELAZIONE ILLUSTRATIVA E DI CALCOLO		
Data emissione: 20/05/2019	RST Relazione illustrativa e di calcolo strutturale.docx	42 di 267

- SLC



Dall'analisi locale sono emersi i seguenti parametri:

Stato Limite	Tr [anni]	a_{max} [g]	F_0	S_s	C_c	S_T	T_c	T_B	T_D
Vita (SLV)	1950	0.312	4.161	1.000	1.00	1.15000	0.31792	0.1060	2.847

Il fattore di struttura q è stato ricavato con riferimento al capitolo 7.3.1 delle NTC2018 e alla tabella 7.3.II dello stesso capitolo (di cui se ne riporta di seguito l'estratto di interesse). Per i corpi ingresso e spogliatoi si fa riferimento alla voce "strutture a pareti non accoppiate" di CD"B" a cui corrisponde il valore di q_0 pari a 3,0; per la palestra, invece, si prende in considerazione la voce "strutture con pilastri incastrati e orizzontamenti incernierati" di CD"B", a cui corrisponde q_0 di 2,5.



RELAZIONE ILLUSTRATIVA E DI CALCOLO		
Data emissione: 20/05/2019	RST Relazione illustrativa e di calcolo strutturale.docx	43 di 267

Tab. 7.3.II – Valori massimi del valore di base q_0 del fattore di comportamento allo SLV per diverse tecniche costruttive ed in funzione della tipologia strutturale e della classe di duttilità CD

Tipologia strutturale	q_0	
	CD "A"	CD "B"
Costruzioni di calcestruzzo (§ 7.4.3.2)		
Strutture a telaio, a pareti accoppiate, miste (v. § 7.4.3.1)	$4,5 \alpha_w / \alpha_1$	$3,0 \alpha_w / \alpha_1$
Strutture a pareti non accoppiate (v. § 7.4.3.1)	$4,0 \alpha_w / \alpha_1$	3,0
Strutture deformabili torsionalmente (v. § 7.4.3.1)	3,0	2,0
Strutture a pendolo inverso (v. § 7.4.3.1)	2,0	1,5
Strutture a pendolo inverso intelaiate monopiano (v. § 7.4.3.1)	3,5	2,5
Costruzioni con struttura prefabbricata (§ 7.4.5.1)		
Strutture a pannelli	$4,0 \alpha_w / \alpha_1$	3,0
Strutture monolitiche a cella	3,0	2,0
Strutture con pilastri incastrati e orizzontamenti incernierati	3,5	2,5
Costruzioni d'acciaio (§ 7.5.2.2) e composte di acciaio-calcestruzzo (§ 7.6.2.2)		
Strutture intelaiate	$5,0 \alpha_w / \alpha_1$	4,0
Strutture con controventi eccentrici		
Strutture con controventi concentrici a diagonale tesa attiva	4,0	4,0
Strutture con controventi concentrici a V	2,5	2,0
Strutture a mensola o a pendolo inverso	$2,0 \alpha_w / \alpha_1$	2,0
Strutture intelaiate con controventi concentrici	$4,0 \alpha_w / \alpha_1$	4,0
Strutture intelaiate con tamponature in murature	2,0	2,0
Costruzioni di legno (§ 7.7.3)		
Pannelli di parete a telaio leggero chiodati con diaframmi incollati, collegati mediante chiodi, viti e bulloni	3,0	2,0
Strutture reticolari iperstatiche con giunti chiodati		
Portali iperstatici con mezzi di unione a gambo cilindrico	4,0	2,5
Pannelli di parete a telaio leggero chiodati con diaframmi chiodati, collegati mediante chiodi, viti e bulloni.	5,0	3,0
Pannelli di tavole incollate a strati incrociati, collegati mediante chiodi, viti, bulloni		2,5
Strutture reticolari con collegamenti a mezzo di chiodi, viti, bulloni o spinotti		

Considerando il fattore K_R che dipende dalle caratteristiche di regolarità in altezza della costruzione pari a 1, il fattore di comportamento q risulta essere:

- Corpo ingresso e corpo spogliatoi:

$$q = 3$$

- Palestra:

$$q = 2,5$$

La definizione di struttura a pareti non accoppiate è fornita anche dal software Midas Gen con cui sono state eseguite le diverse modellazioni e verifiche. Impostando le azioni sismiche secondo la norma vigente, il programma è in grado di fornire la percentuale della forza assorbita dagli elementi strutturali per capirne la tipologia strutturale

- Corpo ingresso:



RELAZIONE ILLUSTRATIVA E DI CALCOLO		
Data emissione: 20/05/2019	RST Relazione illustrativa e di calcolo strutturale.docx	44 di 267

Load	Type	No	Angle1 ([deg])	Force1 (kN)	Ratio1	Angle2 ([deg])	Force2 (kN)	Ratio2
LINEAR SUMMATION OF STORY SHEAR FORCE								
Sisma x	Frame(Beam)		0.00	9.0242	0.03	90.00	0.0725	0.00
Sisma x	Wall		0.00	347.3322	0.97	90.00	-0.0725	0.00
Sisma x	Sum		0.00	356.3564		90.00	0.0000	
Sisma y	Frame(Beam)		0.00	2.4205	0.00	90.00	6.0543	0.02
Sisma y	Wall		0.00	-2.4205	0.00	90.00	350.3021	0.98
Sisma y	Sum		0.00	0.0000		90.00	356.3564	

Dalla tabella si nota che in direzione X il 97% dell'azione sismica è assorbita dai setti, mentre in direzione Y il 98%. La tipologia strutturale è quindi a pareti.

- Corpo spogliatoi:

Load	Type	No	Angle1 ([deg])	Force1 (kN)	Ratio1	Angle2 ([deg])	Force2 (kN)	Ratio2
LINEAR SUMMATION OF STORY SHEAR FORCE								
Sisma x	Frame(Beam)		0.00	50.3238	0.06	90.00	-0.3014	0.00
Sisma x	Wall		0.00	736.1323	0.94	90.00	0.3014	0.00
Sisma x	Sum		0.00	786.4561		90.00	0.0000	
Sisma y	Frame(Beam)		0.00	-0.4699	0.00	90.00	36.0069	0.05
Sisma y	Wall		0.00	0.4699	0.00	90.00	750.4493	0.95
Sisma y	Sum		0.00	0.0000		90.00	786.4561	

Dalla tabella si nota che in direzione X il 94% dell'azione sismica è assorbita dai setti, mentre in direzione Y il 95%. La tipologia strutturale è quindi a pareti.



RELAZIONE ILLUSTRATIVA E DI CALCOLO		
Data emissione: 20/05/2019	RST Relazione illustrativa e di calcolo strutturale.docx	45 di 267

5 MODELLI DI CALCOLO: CORPO INGRESSO

Ai fini di verificare e determinare lo stato di sollecitazione degli elementi, è stata eseguita un'analisi numerica del corpo ingresso della palestra grazie all'ausilio del programma di calcolo agli elementi finiti Midas Gen.

A tal proposito risulta necessario fare alcune precisazioni: la complessità delle strutture in genere, l'articolazione delle caratteristiche costruttive e l'inevitabile approssimazione di tutte le tecniche di calcolo possibili, non consentono una "modellazione" esatta e reale del comportamento strutturale (influenzato anche dai singoli dettagli eseguiti in corso d'opera). Per tale motivazione sono stati analizzati i modelli di calcolo ritenuti più vicini al reale comportamento della struttura, eseguendo anche valutazioni su modellazioni diverse e confrontando, quando necessario, i risultati di più situazioni (e simulazioni) limite.

La modellazione delle strutture in progetto è stata effettuata in completa aderenza al progetto strutturale presentato. L'analisi e l'eventuale validazione della stessa è stata eseguita in via sintetica e conclusiva, consentono di valutare come affidabile l'impostazione globale dell'edificio.

5.1 Combinazione delle azioni

Ai fini delle verifiche agli stati limite, per il caso in esame, si definiscono le seguenti combinazioni delle azioni, in accordo con quanto riportato nelle NTC18:

Combinazione fondamentale, generalmente impiegata per gli stati limite ultimi (SLU):

$$F_d = \gamma_{G1}G_1 + \gamma_{G2}G_2 + \gamma_P P + \gamma_{q1}Q_{k1} + \sum_{i=2}^N \gamma_{qi}\psi_{0i}Q_{ki}$$

Combinazione caratteristica (rara), generalmente impiegata per gli stati limite di esercizio (SLE) irreversibili:

$$F_d = G_1 + G_2 + P + Q_{k1} + \sum_{i=2}^N \psi_{0i}Q_{ki}$$

dove:

F_d è l'azione di calcolo, la forza di progetto;

G_1 sono i carichi permanenti strutturali;

G_2 sono i carichi permanenti portati;

P è il valore caratteristico della forza di precompressione;

Q_{k1} è il valore caratteristico dell'azione variabile principale;

Q_{ki} sono i valori caratteristici delle azioni variabili secondarie, tra loro indipendenti;

i coefficienti parziali per le azioni sono stati assunti facendo riferimento alla situazione sfavorevole e valgono:



RELAZIONE ILLUSTRATIVA E DI CALCOLO		
Data emissione: 20/05/2019	RST Relazione illustrativa e di calcolo strutturale.docx	46 di 267

$$\gamma_{G1}=1,3$$

$$\gamma_{G2}=1,5$$

$$\gamma_P=1,0$$

$$\gamma_{Qi}=1,5$$

Si riporta di seguito la tabella di riferimento:

Tab. 2.6.I – Coefficienti parziali per le azioni o per l'effetto delle azioni nelle verifiche SLU

		Coefficiente γ_F	EQU	A1	A2
Carichi permanenti G_1	Favorevoli	γ_{G1}	0,9	1,0	1,0
	Sfavorevoli		1,1	1,3	1,0
Carichi permanenti non strutturali $G_2^{(1)}$	Favorevoli	γ_{G2}	0,8	0,8	0,8
	Sfavorevoli		1,5	1,5	1,3
Azioni variabili Q	Favorevoli	γ_Q	0,0	0,0	0,0
	Sfavorevoli		1,5	1,5	1,3

⁽¹⁾ Nel caso in cui l'intensità dei carichi permanenti non strutturali o di una parte di essi (ad es. carichi permanenti portati) sia ben definita in fase di progetto, per detti carichi o per la parte di essi nota si potranno adottare gli stessi coefficienti parziali validi per le azioni permanenti.

Nella Tab. 2.6.I il significato dei simboli è il seguente:

γ_{G1} coefficiente parziale dei carichi permanenti G_1 ;

γ_{G2} coefficiente parziale dei carichi permanenti non strutturali G_2 ;

γ_{Qi} coefficiente parziale delle azioni variabili Q.

ψ_{0i} sono i coefficienti di combinazione delle azioni che tengono conto della probabilità di non contemporaneità dei carichi accidentali e quindi sono coefficienti di deamplificazione (<1); vengono chiamati coefficienti di combinazione e per le analisi effettuate sono stati presi in considerazione quelli relativi al vento e alla neve a quota ≤ 1000 m s.l.m. :

Tab. 2.5.I – Valori dei coefficienti di combinazione

Categoria/Azione variabile	Ψ_{0j}	Ψ_{1j}	Ψ_{2j}
Categoria A - Ambienti ad uso residenziale	0,7	0,5	0,3
Categoria B - Uffici	0,7	0,5	0,3
Categoria C - Ambienti suscettibili di affollamento	0,7	0,7	0,6
Categoria D - Ambienti ad uso commerciale	0,7	0,7	0,6
Categoria E – Aree per immagazzinamento, uso commerciale e uso industriale Biblioteche, archivi, magazzini e ambienti ad uso industriale	1,0	0,9	0,8
Categoria F - Rimesse, parcheggi ed aree per il traffico di veicoli (per autoveicoli di peso ≤ 30 kN)	0,7	0,7	0,6



RELAZIONE ILLUSTRATIVA E DI CALCOLO		
Data emissione: 20/05/2019	RST Relazione illustrativa e di calcolo strutturale.docx	47 di 267

Categoria G – Rimesse, parcheggi ed aree per il traffico di veicoli (per autoveicoli di peso > 30 kN)	0,7	0,5	0,3
Categoria H - Coperture accessibili per sola manutenzione	0,0	0,0	0,0
Categoria I – Coperture praticabili	da valutarsi caso per caso		
Categoria K – Coperture per usi speciali (impianti, eliporti, ...)			
Vento	0,6	0,2	0,0
Neve (a quota ≤ 1000 m s.l.m.)	0,5	0,2	0,0
Neve (a quota > 1000 m s.l.m.)	0,7	0,5	0,2
Variazioni termiche	0,6	0,5	0,0

Combinazione sismica, sebbene non impiegata in questo caso, per gli stati limite connessi all'azione del sisma E:

$$F_d = E + G_1 + G_2 + P + \sum_{i=1}^N \psi_{2i} Q_{ki}$$

dove:

F_d è l'azione di calcolo, la forza di progetto;

E è l'azione sismica;

G_1 sono i carichi permanenti strutturali;

G_2 sono i carichi permanenti portati;

P è il valore caratteristico della forza di precompressione;

Q_{ki} sono i valori caratteristici delle azioni variabili secondarie, tra loro indipendenti;

ψ_{2i} sono i coefficienti di combinazione per le analisi sismiche.

5.2 Breve illustrazione dei codici di calcolo

5.2.1 MIDAS GEN

Midas Gen è un software di calcolo agli elementi finiti con cui è possibile modellare la struttura di interesse in un ambiente CAD utilizzando elementi quali nodi, aste e superfici piane e assegnando le relative caratteristiche geometriche e meccaniche; in questo modo, dopo aver opportunamente assegnato i vincoli ed i carichi agenti, il programma genera come output il valore delle sollecitazioni agenti con cui è possibile fare delle verifiche secondo la normativa di riferimento (in questo caso NTC2018).

Essendo un programma agli elementi finiti, sono presenti delle impostazioni (es. automesh) che permettono di discretizzare gli elementi geometrici, come le superfici, creando maggiori punti di controllo e quindi ottenere una maggiore precisione dei risultati.

Nel programma sono presenti delle librerie predefinite con le quali è possibile scegliere una normativa di riferimento e quindi impostare una determinata sezione o materiale.



RELAZIONE ILLUSTRATIVA E DI CALCOLO		
Data emissione: 20/05/2019	RST Relazione illustrativa e di calcolo strutturale.docx	48 di 267

È, inoltre, possibile modificare manualmente i parametri appena descritti in modo da personalizzare l'analisi in base alle proprie necessità e quindi creare un modello che sia il più possibile simile a quello reale.

Come già accennato, una volta realizzato il modello geometrico si possono assegnare i vincoli, esterni e interni, e i carichi agenti sulla struttura. Con Midas Gen è possibile svolgere analisi statiche o dinamiche, lineari o non lineari, e visualizzare i risultati sia in veste grafica che numerica. Dopo aver definito le diverse azioni di calcolo, queste possono essere combinate in modo automatico o manuale per poter eseguire le verifiche agli stati limite.

Una volta completato il modello di calcolo con le relative azioni è possibile visualizzare i diversi risultati in termini di sollecitazioni e spostamenti.

Il programma presenta, inoltre, delle opzioni che permettono di effettuare automaticamente le verifiche delle sezioni (es. verifiche delle sezioni in acciaio) seguendo le indicazioni della normativa vigente e suggerendo eventuali modifiche per ottimizzare il modello laddove la verifica non fosse soddisfatta.

5.3 Criteri di verifica

5.3.1 COMBINAZIONI DELLE AZIONI

Come già illustrato in precedenza le azioni verranno combinate in totale armonia con la normativa vigente ovvero le NTC18.

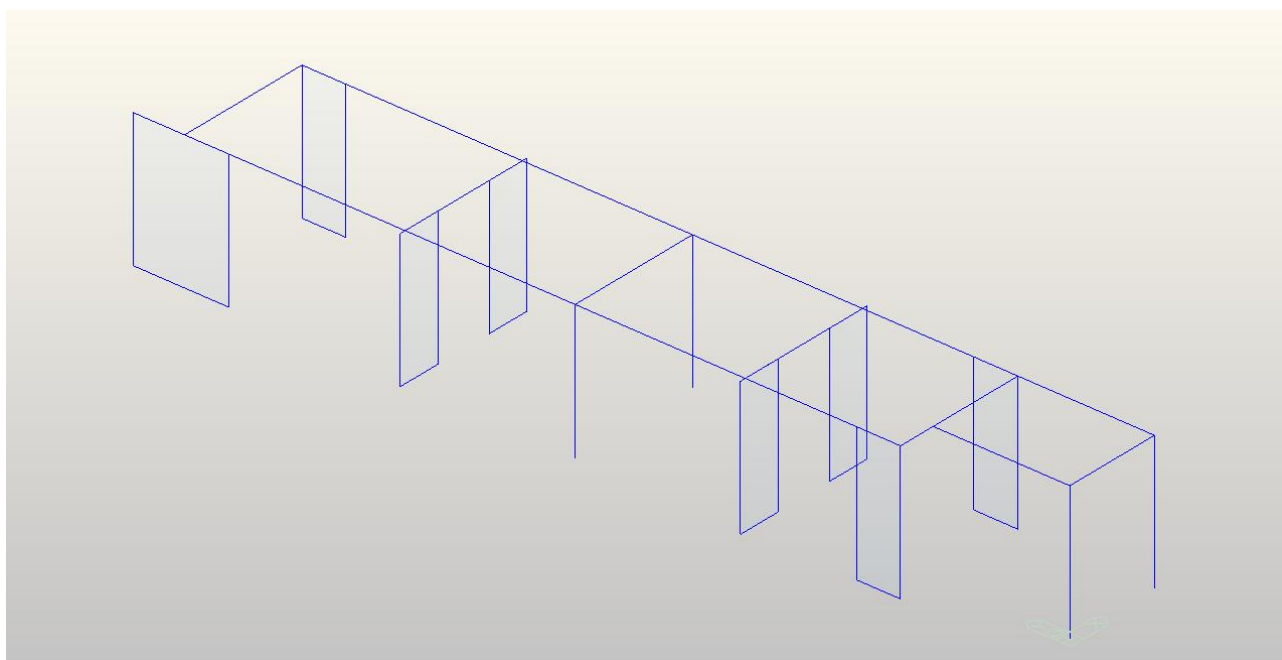
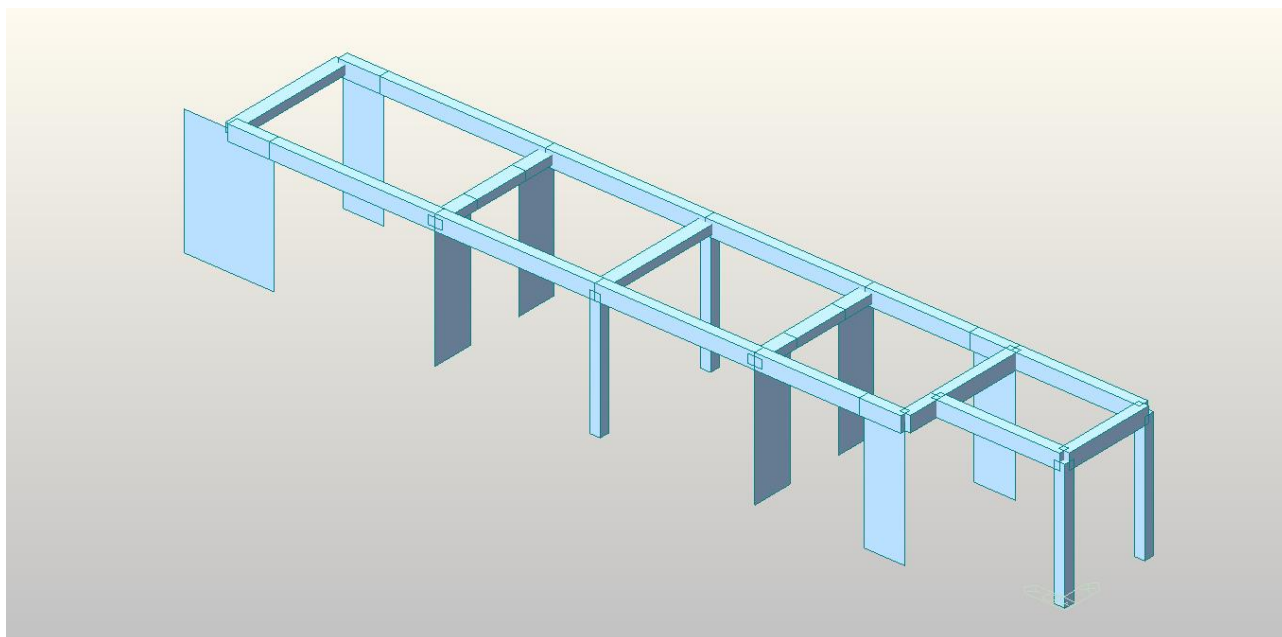
5.4 Criteri generali della modellazione

Il corpo ingresso è stato analizzato, come detto, tramite un modello agli elementi finiti.

Modello di calcolo della struttura:



RELAZIONE ILLUSTRATIVA E DI CALCOLO		
Data emissione: 20/05/2019	RST Relazione illustrativa e di calcolo strutturale.docx	49 di 267



Nello specifico, la modellazione tridimensionale è stata così realizzata:

- gli elementi strutturali a prevalente sviluppo lineare, quali travi e pilastri, sono stati inseriti come elementi tipo “general beam/tapered beam”, definendo i nodi delle due estremità ed assegnando successivamente la geometria della sezione;
- i setti in c.a. sono stati realizzati come elementi “wall”, ovvero degli elementi 2D a 4 nodi che si comportano come degli elementi beam (1D) con dei link rigidi estesi quanto l’ingombro della parete che si sta modellando. Questi particolari elementi sono impiegati quando si desidera modellare pareti che lavorano come lame sismiche e sono ricondotti alla teoria della trave. Per considerare la rigidezza fuori dal piano (pari a quella dello spessore fuori dal piano), ad ogni elemento wall è attribuita la tipologia plate;



RELAZIONE ILLUSTRATIVA E DI CALCOLO		
Data emissione: 20/05/2019	RST Relazione illustrativa e di calcolo strutturale.docx	50 di 267

- il sistema di fondazioni in c.a. è caratterizzato da nervature e platea; questi elementi sono stati modellati con elementi superficie di tipo plate, opportunamente meshati. Alla platea di fondazione sono stati assegnati vincoli a molla con rigidezza pari a $1,2 \text{ kg/cm}^3$, a simulare la teoria di Winkler.

La valutazione degli effetti sismici sulla struttura è stata svolta secondo il par. 3.2 delle NTC18, attuando un'analisi lineare dinamica, come previsto dal par. 7.3.3.1 delle NTC18.

Le sollecitazioni derivanti dalla modellazione dell'edificio sono state utilizzate per la verifica dei singoli elementi strutturali (effettuata direttamente all'interno di Midas Gen).

5.4.1 MODELLAZIONE DELLA GEOMETRIA E DELLE PROPRIETÀ MECCANICHE

5.4.1.1 Midas Gen

Come già accennato in precedenza, il software Midas Gen è stato utilizzato per creare il modello tridimensionale dell'edificio in oggetto e ricavare gli spostamenti e le sollecitazioni della struttura nel suo complesso sotto le azioni statiche e sismiche, e per verificare gli elementi di fondazione ed elevazione realizzati in cemento armato.

Il corpo ingresso, a un piano fuori terra, è costituito da pilastri e setti con funzione di sostegno dei carichi verticali e da travi in altezza con funzione di sostegno dei solai. Le azioni orizzontali sono invece principalmente assorbite dai setti. I solai sono previsti piani di tipo predalles con dimensioni $4+16+5 \text{ cm}$. Come detto il corpo è rettangolare con una dimensione molto maggiore dell'altra, presenta ad un'estremità una soletta a sbalzo (tipo mensola) di circa $1,80 \text{ m}$. La copertura è piana.

Per la modellazione dei singoli elementi strutturali si rimanda a quanto detto nel paragrafo 5.4 della presente relazione.

5.4.2 MODELLAZIONE DEI VINCOLI INTERNI ED ESTERNI

Di seguito si riportano le condizioni di vincolo inserite nel software Midas Gen.

Considerando un modello spaziale i movimenti possibili sono sei:

$$u_x \ u_y \ u_z \ \varphi_x \ \varphi_y \ \varphi_z$$

ovvero:

u_x spostamento in direzione x , u_y spostamento in direzione y , u_z spostamento in direzione z ,
 φ_x rotazione attorno all'asse x , φ_y rotazione attorno all'asse y , φ_z rotazione attorno all'asse z .

Tutti i nodi alla base dei pilastri sono stati vincolati come incastro, ovvero bloccando tutti gli spostamenti e tutte le rotazioni. Tale scelta è stata effettuata in particolare per massimizzare i momenti sugli elementi resistenti fuori terra (pilastri e setti in c.a.).



RELAZIONE ILLUSTRATIVA E DI CALCOLO		
Data emissione: 20/05/2019	RST Relazione illustrativa e di calcolo strutturale.docx	51 di 267

Per le verifiche sulle fondazioni si è utilizzato invece un sotto modello su suolo elastico alla Winkler con coefficiente pari a $1,2 \text{ kg/cm}^3$.

5.4.3 CRITERI DI VERIFICA E RISULTATI

La valutazione della sicurezza degli elementi strutturali del presente progetto è stata svolta secondo il metodo agli stati limite, in accordo a quanto prescritto dalle NTC18. In particolare, per ogni elemento strutturale, sono state svolte verifiche di resistenza e di deformabilità rispettivamente agli stati limite ultimi e di esercizio.

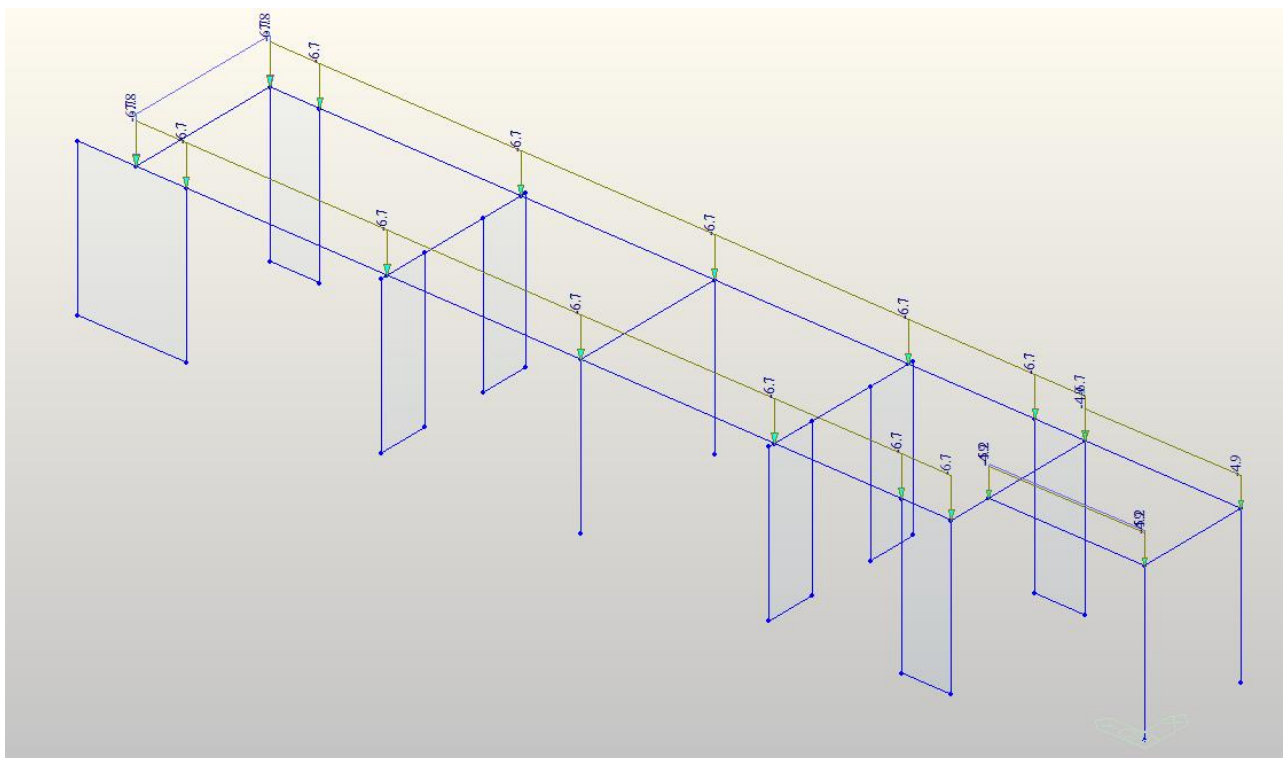
Le condizioni di carico elementari sono state combinate, in automatico all'interno dei programmi impiegati o con calcoli manuali, con coefficienti differenti in base alla tipologia, e sono state definite le varie combinazioni SLE ed SLU, definite dalle NTC18 al paragrafo 2.5.3.

5.4.3.1 Azioni di progetto sulla struttura – carichi

All'interno del modello tridimensionale sono stati inseriti i carichi statici e dinamici a cui è sottoposta la struttura.

Di seguito si riportano le schermate con i carichi principali inseriti in conformità alle analisi eseguite nei precedenti paragrafi:

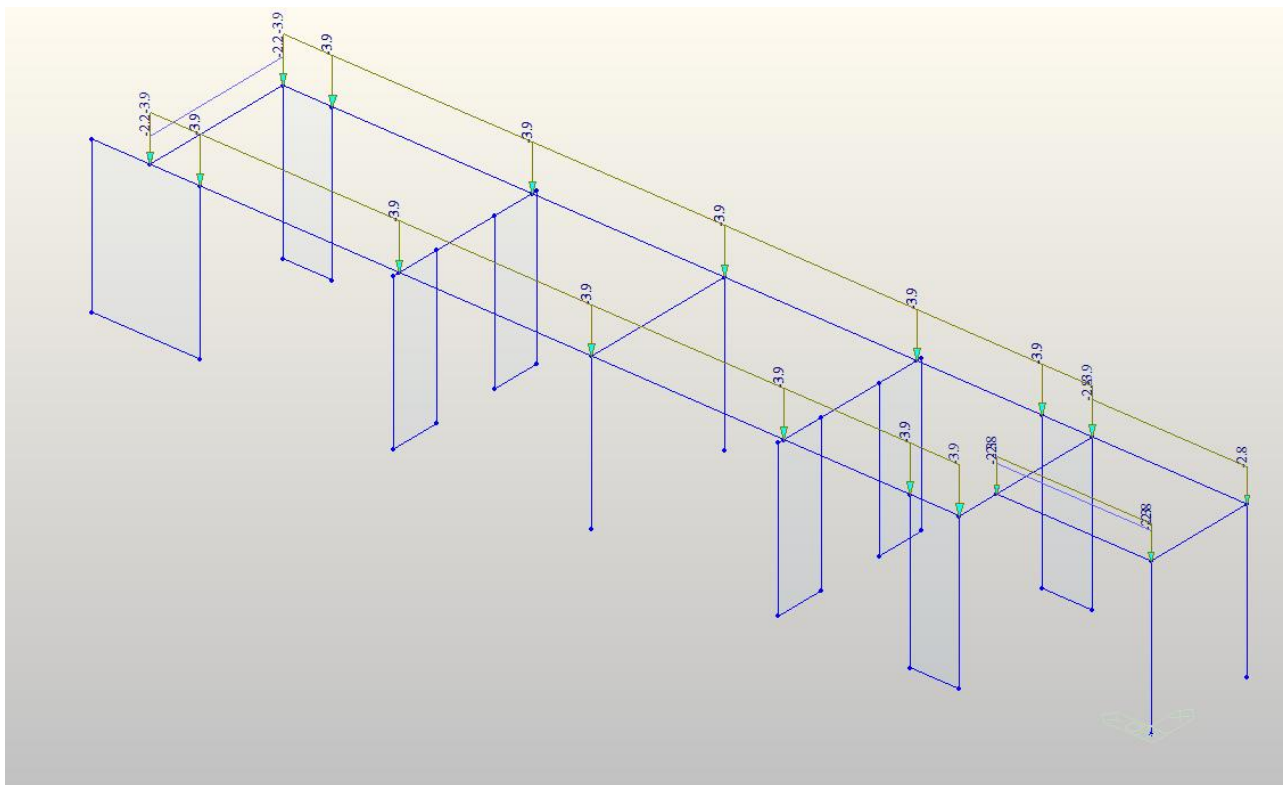
- Peso proprio solai e solette:



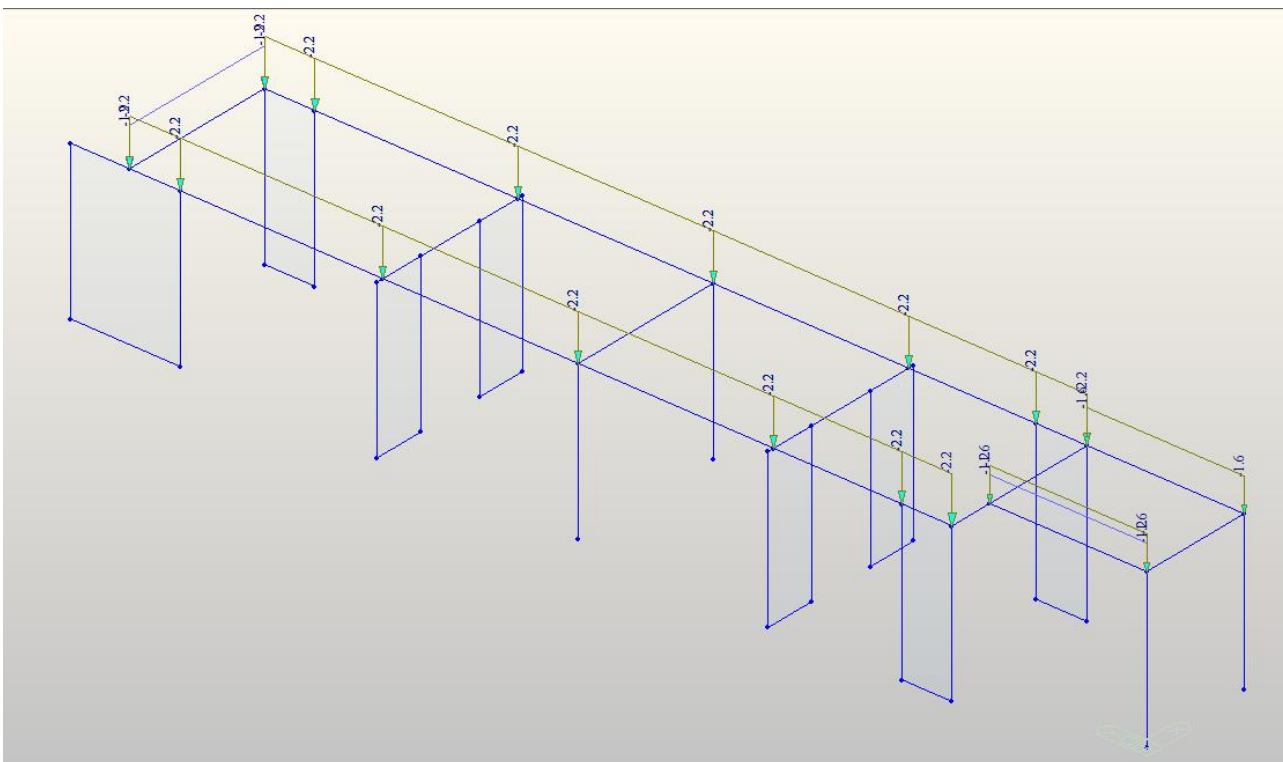


RELAZIONE ILLUSTRATIVA E DI CALCOLO		
Data emissione: 20/05/2019	RST Relazione illustrativa e di calcolo strutturale.docx	52 di 267

- Permanente non strutturale solai e solette:



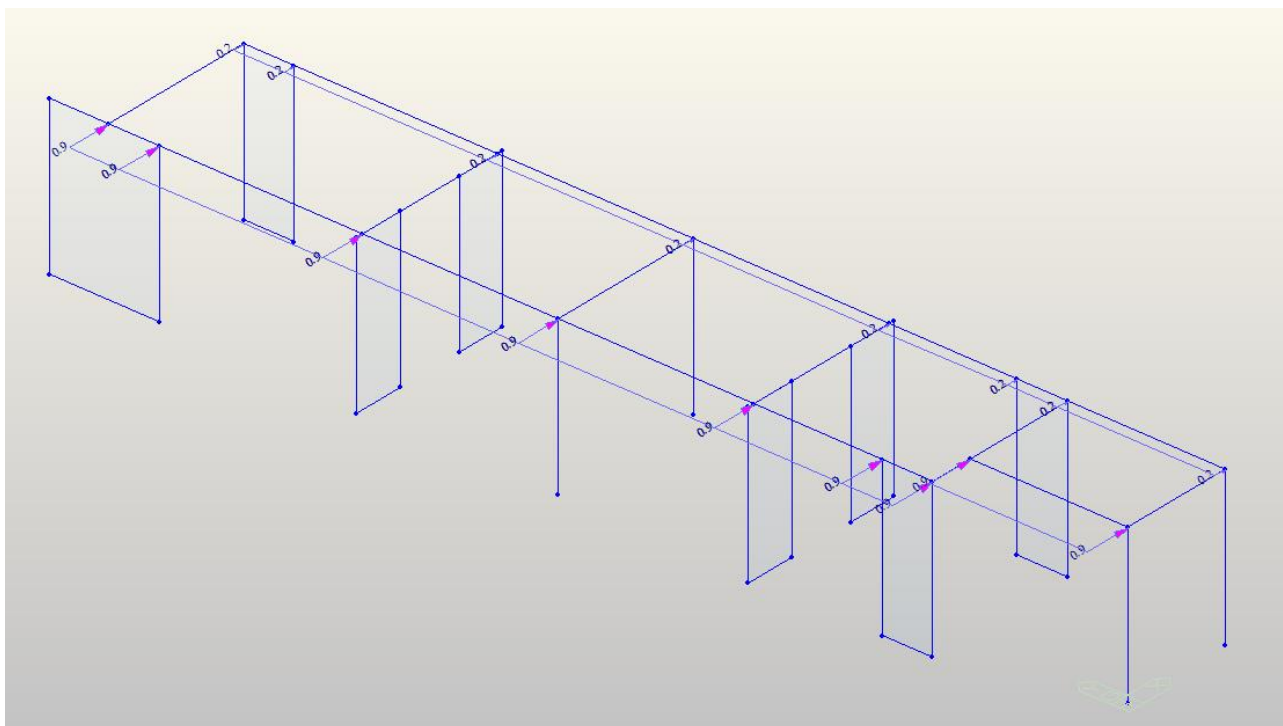
- Variabili copertura (neve):



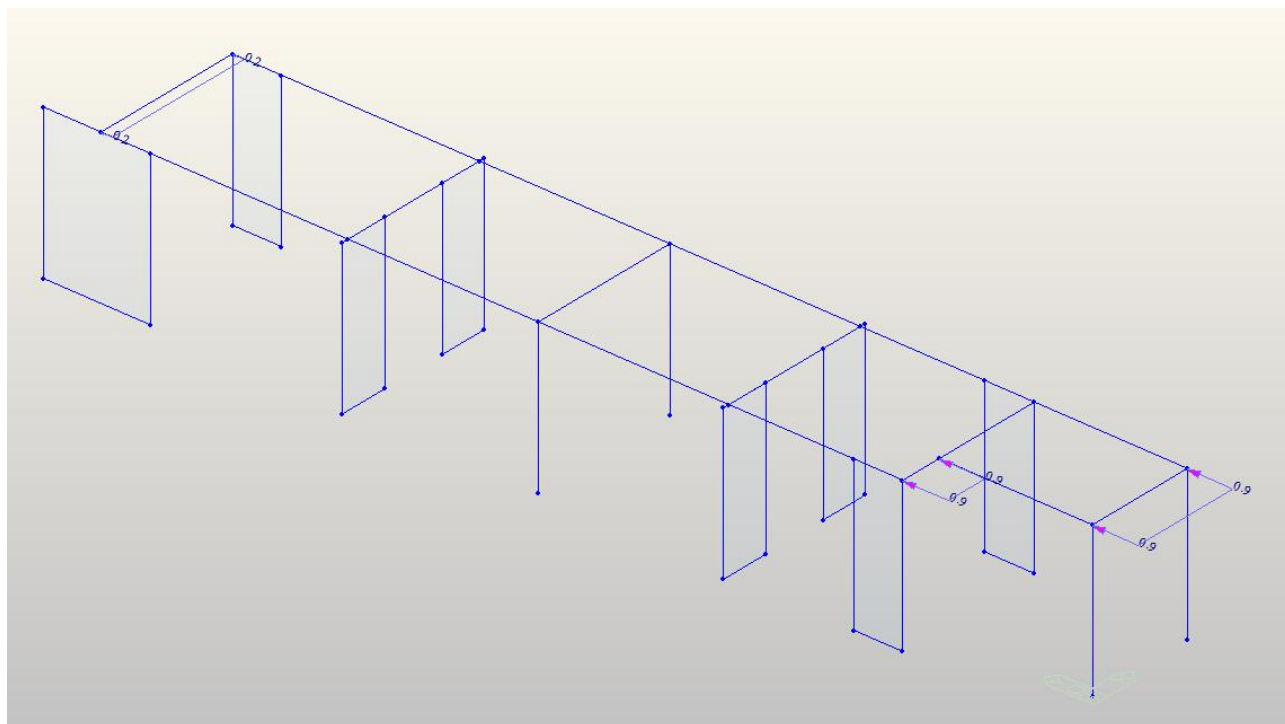
- Variabili vento (direzione X):



RELAZIONE ILLUSTRATIVA E DI CALCOLO		
Data emissione: 20/05/2019	RST Relazione illustrativa e di calcolo strutturale.docx	53 di 267



- Variabili vento (direzione Y):



5.4.4 MODELLO GLOBALE DELLA STRUTTURA

5.4.4.1 Principali sollecitazioni sugli elementi

A seguito dell'analisi si sono ricavate le sollecitazioni sui singoli elementi strutturali.

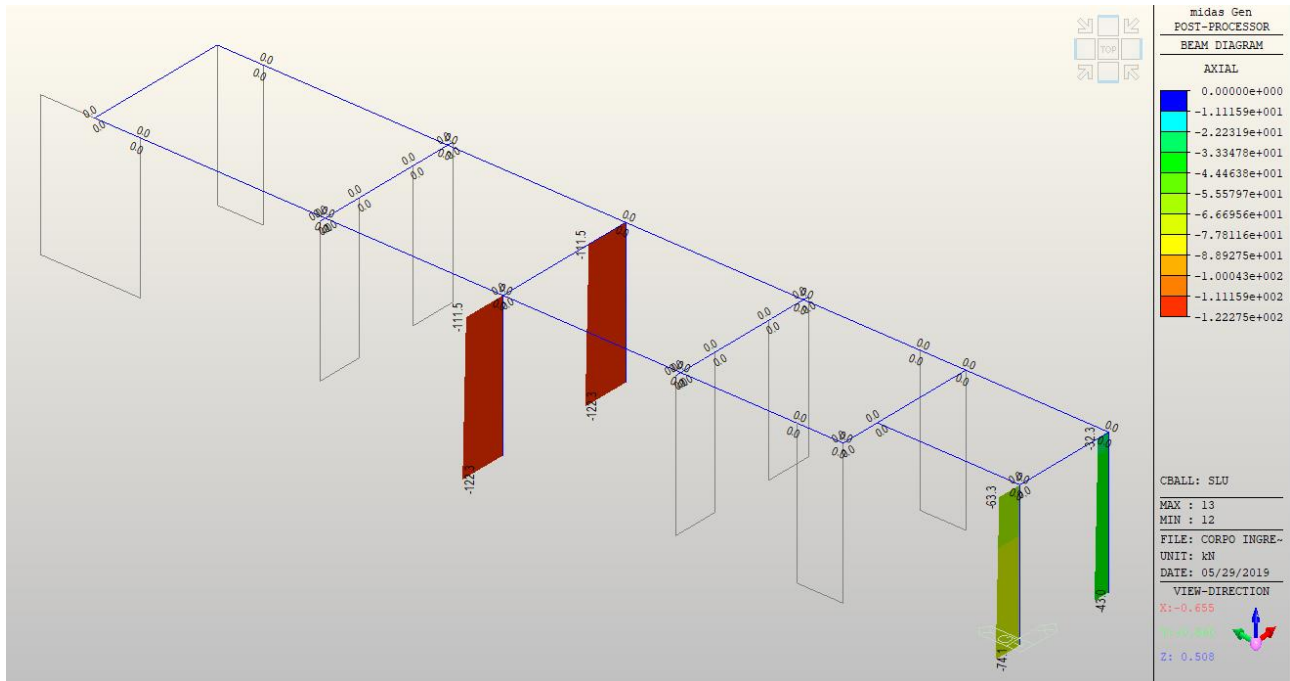
Di seguito si riportano le schermate di alcuni involuipi più significativi:



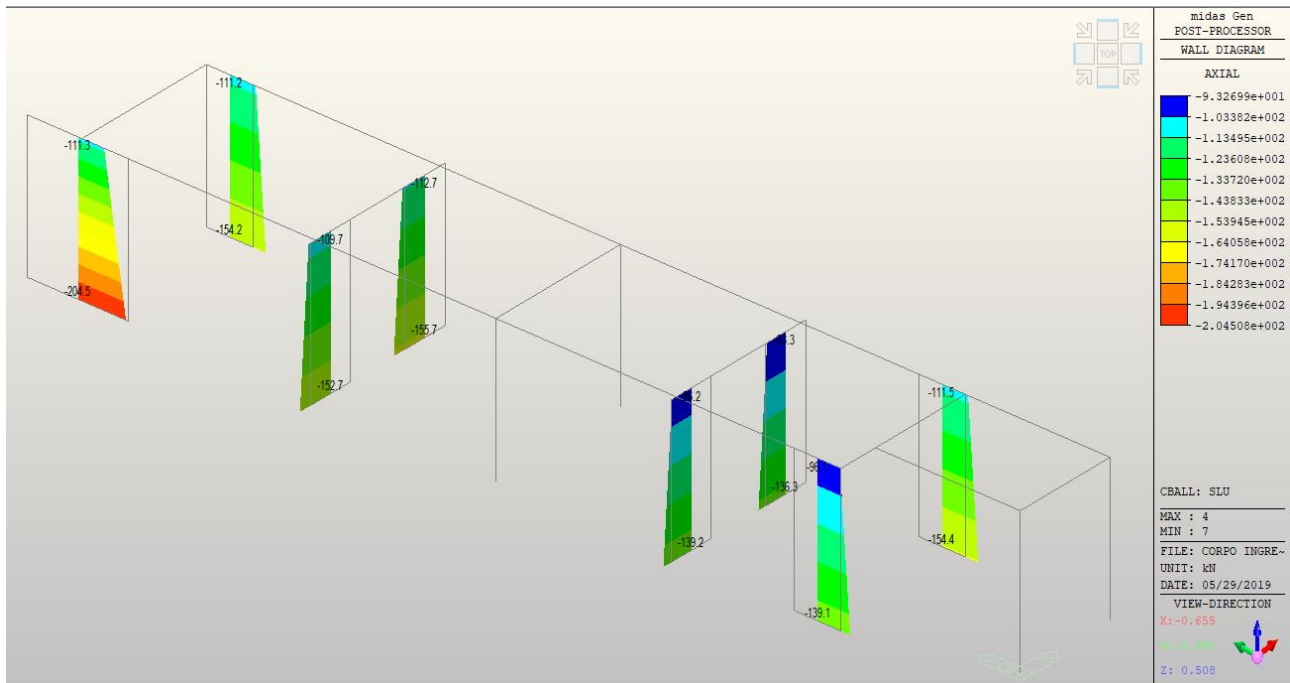
RELAZIONE ILLUSTRATIVA E DI CALCOLO		
Data emissione: 20/05/2019	RST Relazione illustrativa e di calcolo strutturale.docx	54 di 267

- Involuppo SLU

Azione assiale (N) sui beam



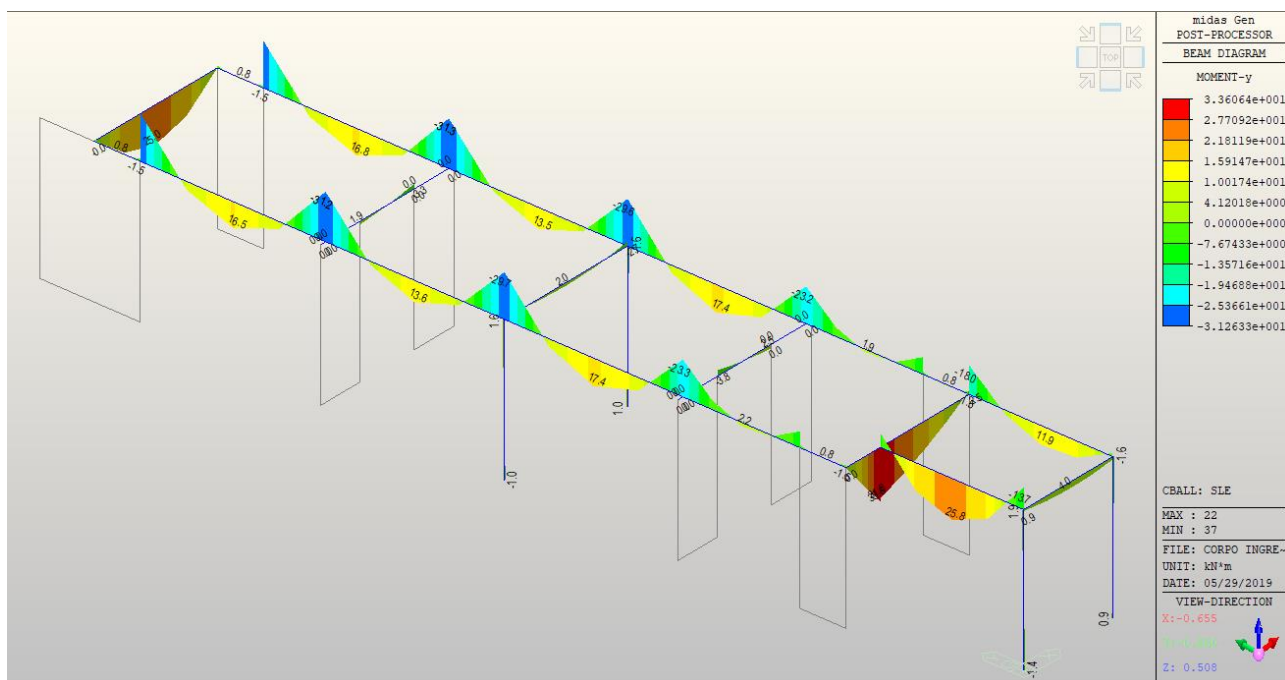
Azione assiale (N) sui wall



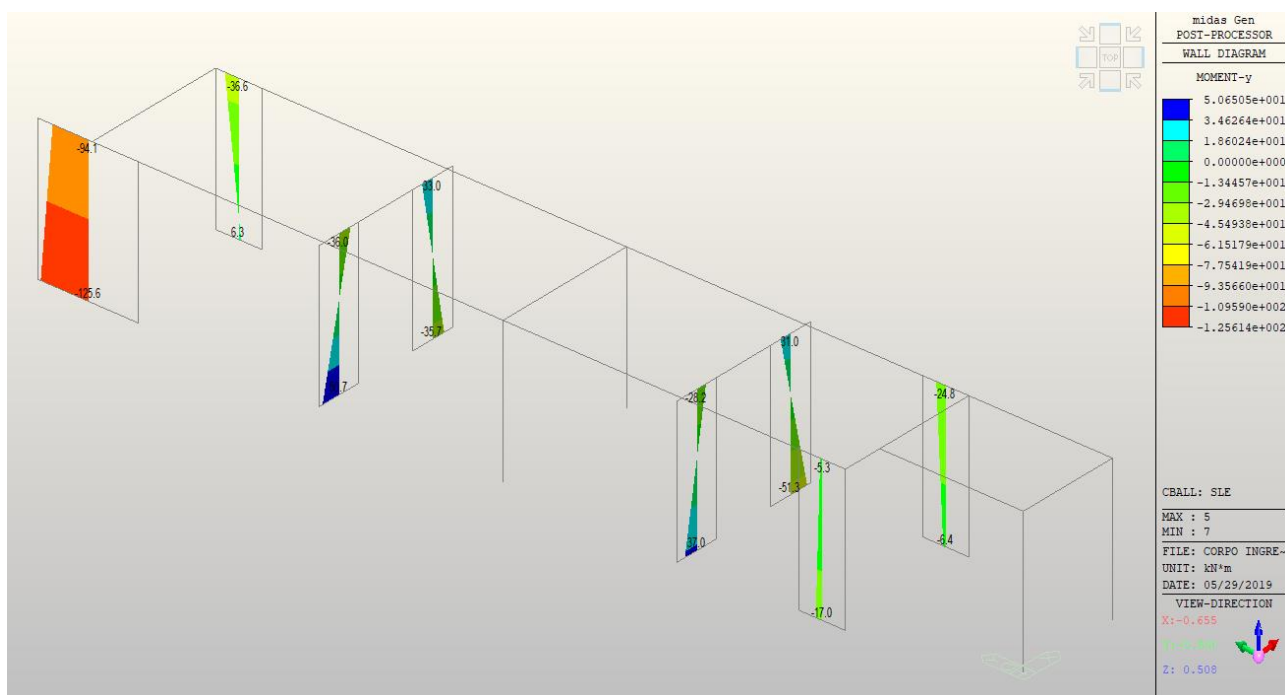
Momento flettente (M_y) sui beam



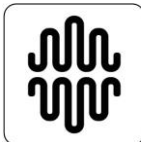
RELAZIONE ILLUSTRATIVA E DI CALCOLO		
Data emissione: 20/05/2019	RST Relazione illustrativa e di calcolo strutturale.docx	58 di 267



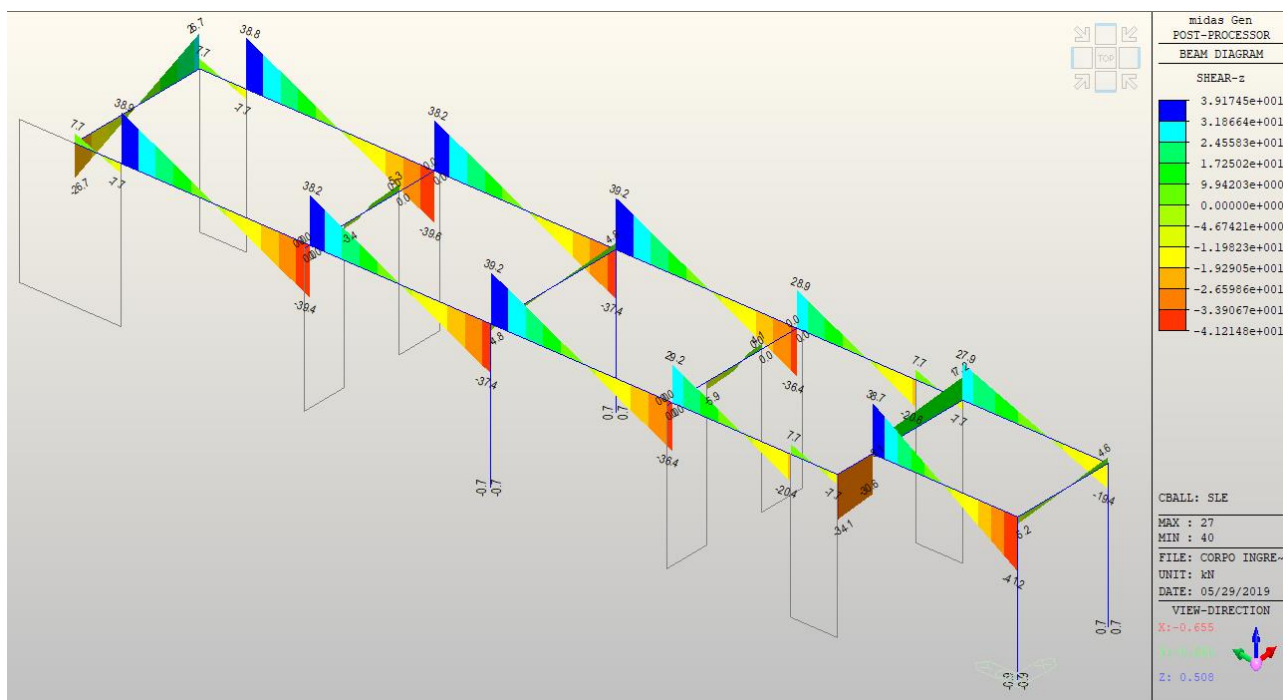
- Momento flettente (M_y) sui wall



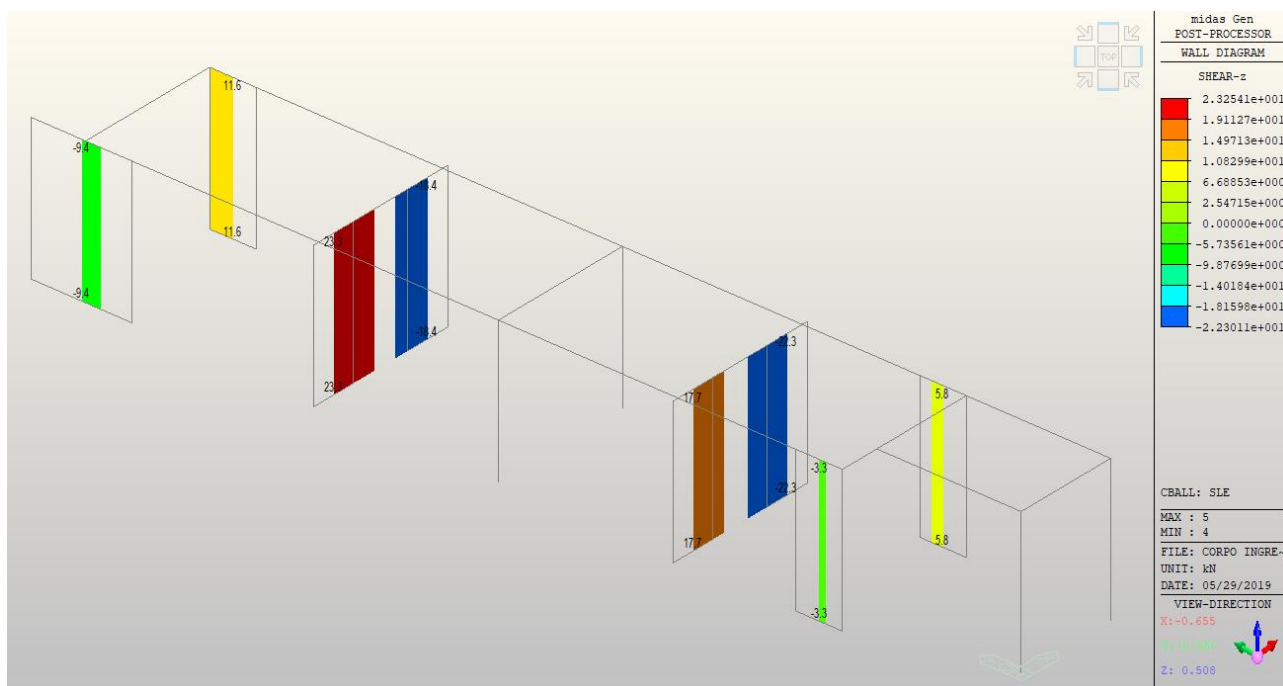
- Azione di taglio sui beam



RELAZIONE ILLUSTRATIVA E DI CALCOLO		
Data emissione: 20/05/2019	RST Relazione illustrativa e di calcolo strutturale.docx	59 di 267



- Azione di taglio sui wall



5.4.4.2 Principali modi di vibrare della struttura

A seguito dell'analisi si sono individuati i principali modi di vibrare della struttura, di seguito riportati. Condizione necessaria è il raggiungimento dell'85% delle masse movimentate nelle direzioni considerate: nel caso in esame tale risultato è stato raggiunto:

- Massa partecipante totale in direzione X: 100%

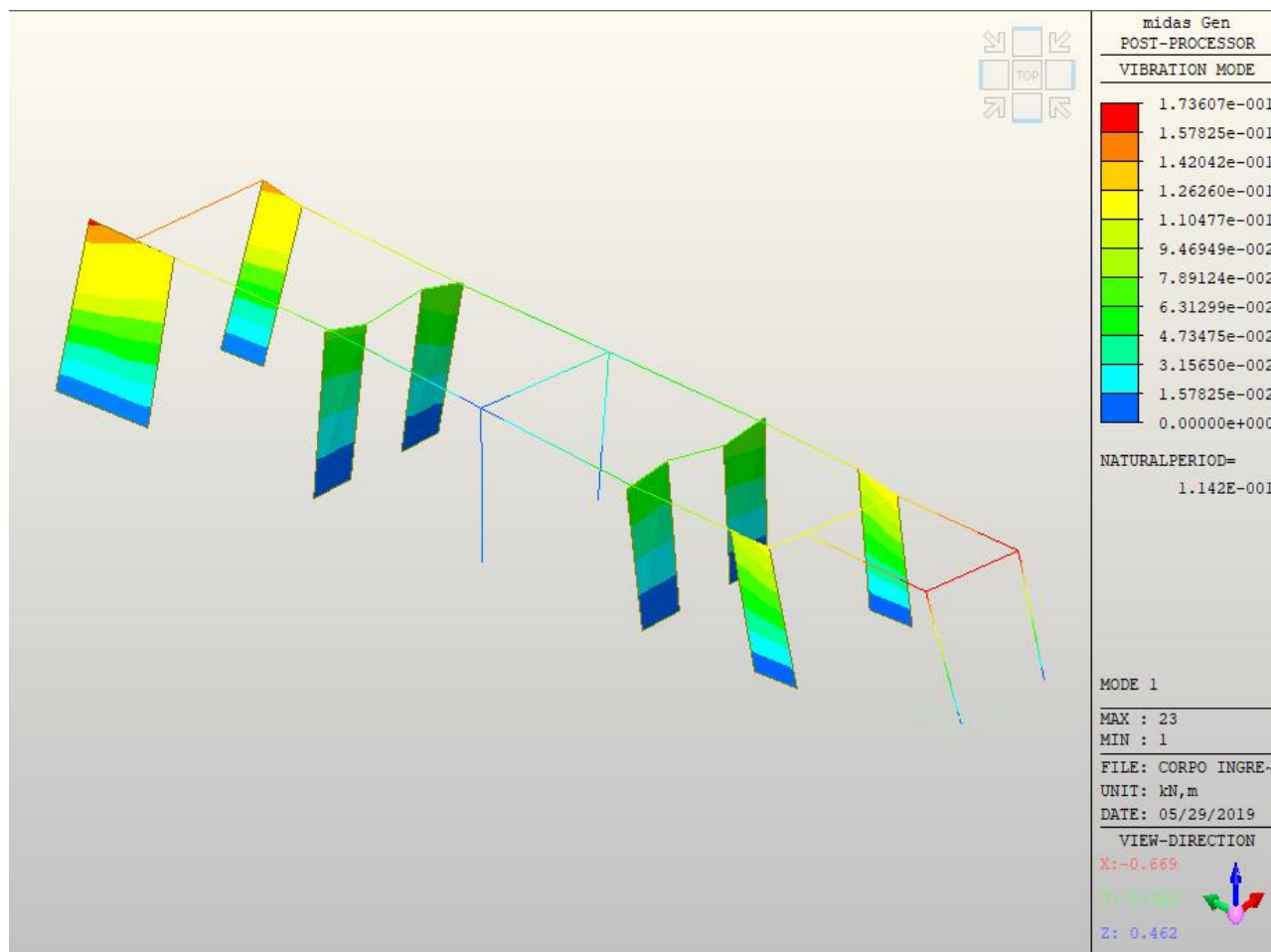


RELAZIONE ILLUSTRATIVA E DI CALCOLO		
Data emissione: 20/05/2019	RST Relazione illustrativa e di calcolo strutturale.docx	60 di 267

- Massa partecipante in direzione Y: 100%

Mode	UX	UY	UZ	RX	RY	RZ						
EIGENVALUE ANALYSIS												
Mode No	Frequency		Period	Tolerance								
	(rad/sec)	(cycle/sec)	(sec)									
1	55.0079	8.7548	0.1142	4.5142e-025								
2	80.0914	12.7469	0.0785	4.5142e-025								
3	117.6473	18.7242	0.0534	4.5142e-025								
MODAL PARTICIPATION MASSES PRINTOUT												
Mode No	TRAN-X		TRAN-Y		TRAN-Z		ROTN-X		ROTN-Y		ROTN-Z	
	MASS(%)	SUM(%)	MASS(%)	SUM(%)	MASS(%)	SUM(%)	MASS(%)	SUM(%)	MASS(%)	SUM(%)	MASS(%)	SUM(%)
1	0.0753	0.0753	2.7617	2.7617	0.0000	0.0000	0.0000	0.0000	0.0000	0.0000	97.1630	97.1630
2	99.9241	99.9994	0.0049	2.7666	0.0000	0.0000	0.0000	0.0000	0.0000	0.0000	0.0710	97.2340
3	0.0006	100.0000	97.2334	100.0000	0.0000	0.0000	0.0000	0.0000	0.0000	0.0000	2.7660	100.0000
Mode No	TRAN-X		TRAN-Y		TRAN-Z		ROTN-X		ROTN-Y		ROTN-Z	
	MASS	SUM	MASS	SUM	MASS	SUM	MASS	SUM	MASS	SUM	MASS	SUM
1	0.0688	0.0688	2.5215	2.5215	0.0000	0.0000	0.0000	0.0000	0.0000	0.0000	5202.0488	5202.0488
2	91.2351	91.3038	0.0044	2.5260	0.0000	0.0000	0.0000	0.0000	0.0000	0.0000	3.8036	5205.8524
3	0.0005	91.3044	88.7784	91.3044	0.0000	0.0000	0.0000	0.0000	0.0000	0.0000	148.0876	5353.9399

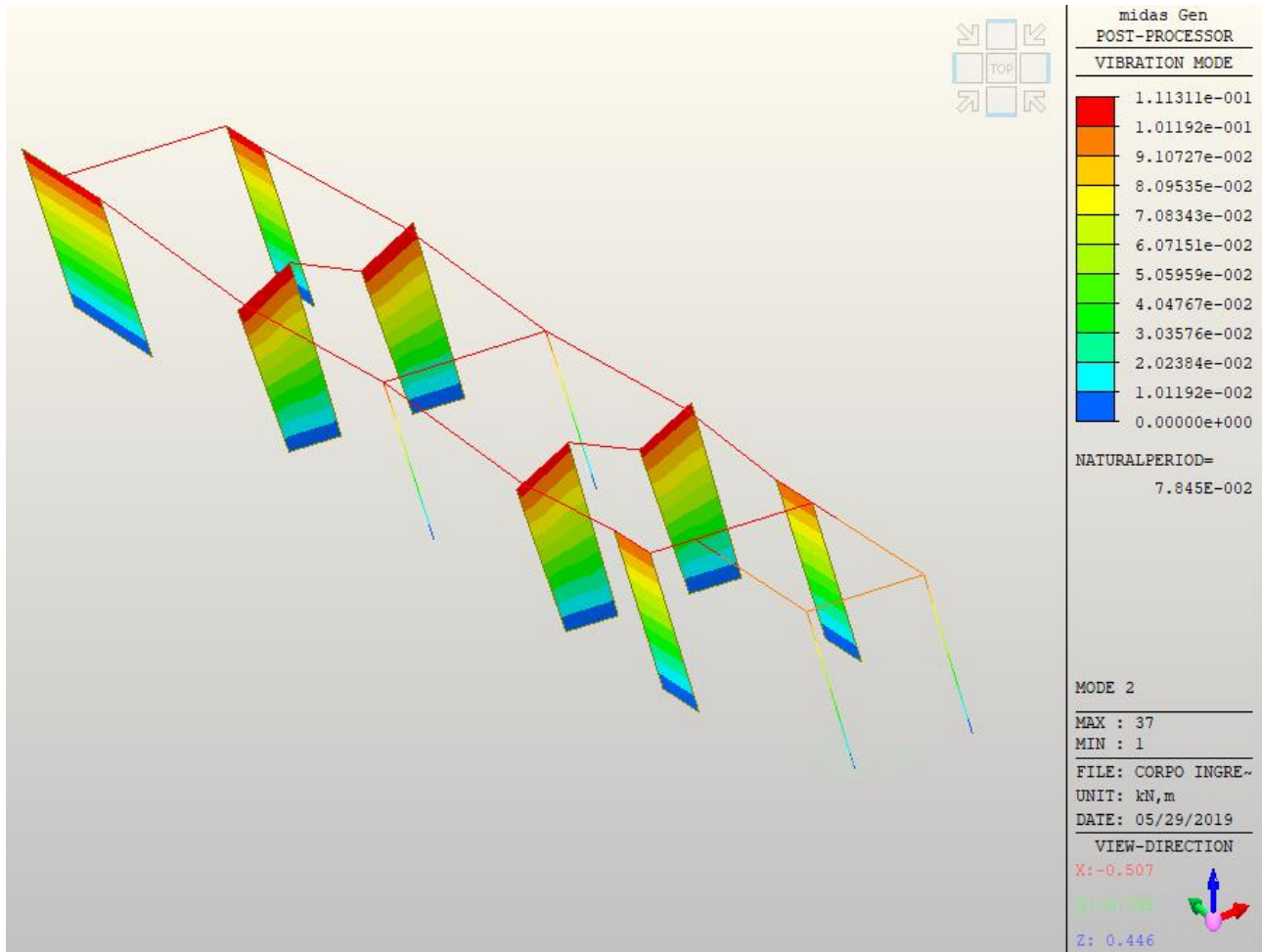
- Modi di vibrare: numero 1 (rotazionale)





RELAZIONE ILLUSTRATIVA E DI CALCOLO		
Data emissione: 20/05/2019	RST Relazione illustrativa e di calcolo strutturale.docx	61 di 267

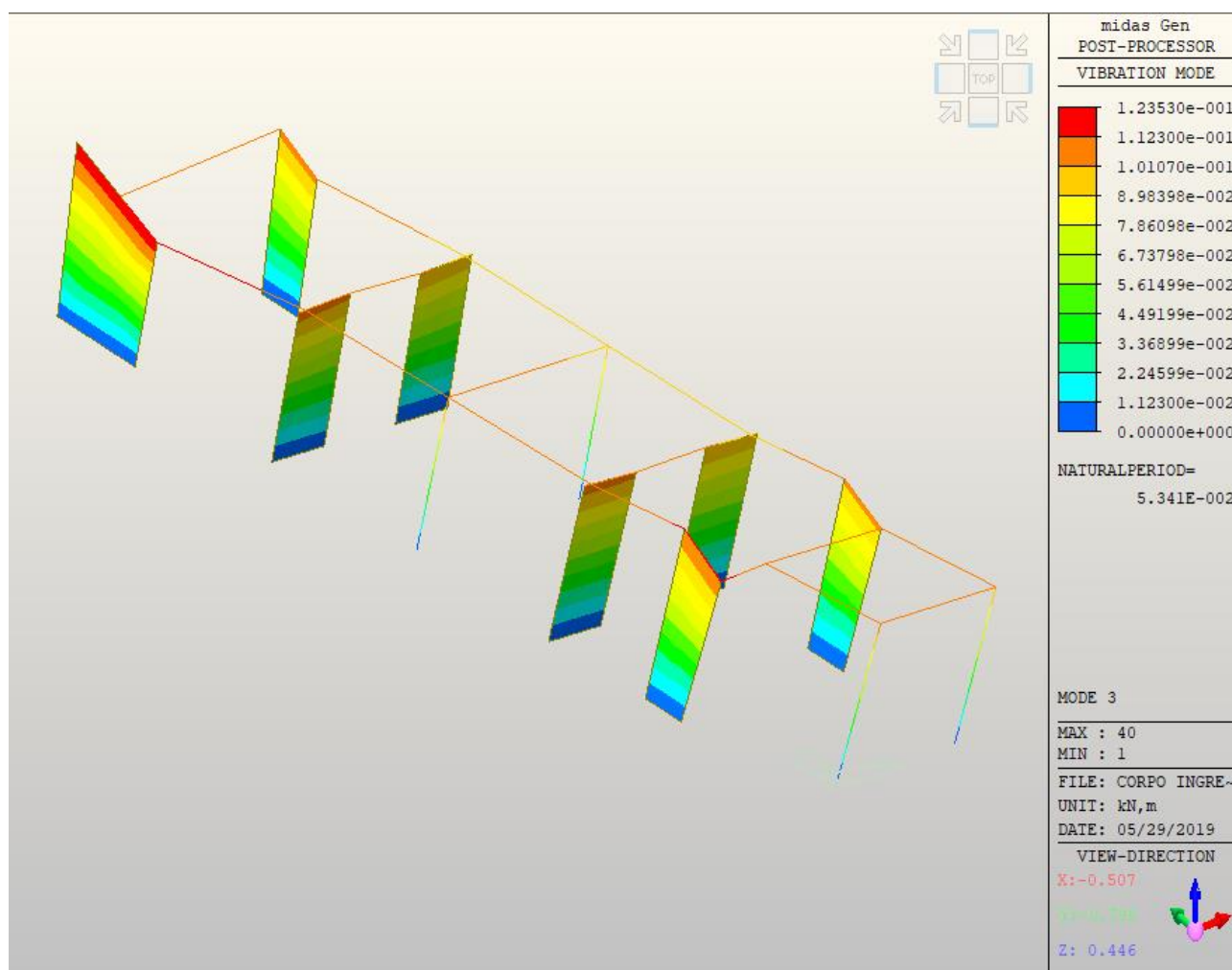
- Modi di vibrare: numero 2 (principale in X –traslazionale)



- Modi di vibrare: numero 3 (principale in Y - traslazionale)



RELAZIONE ILLUSTRATIVA E DI CALCOLO		
Data emissione: 20/05/2019	RST Relazione illustrativa e di calcolo strutturale.docx	62 di 267



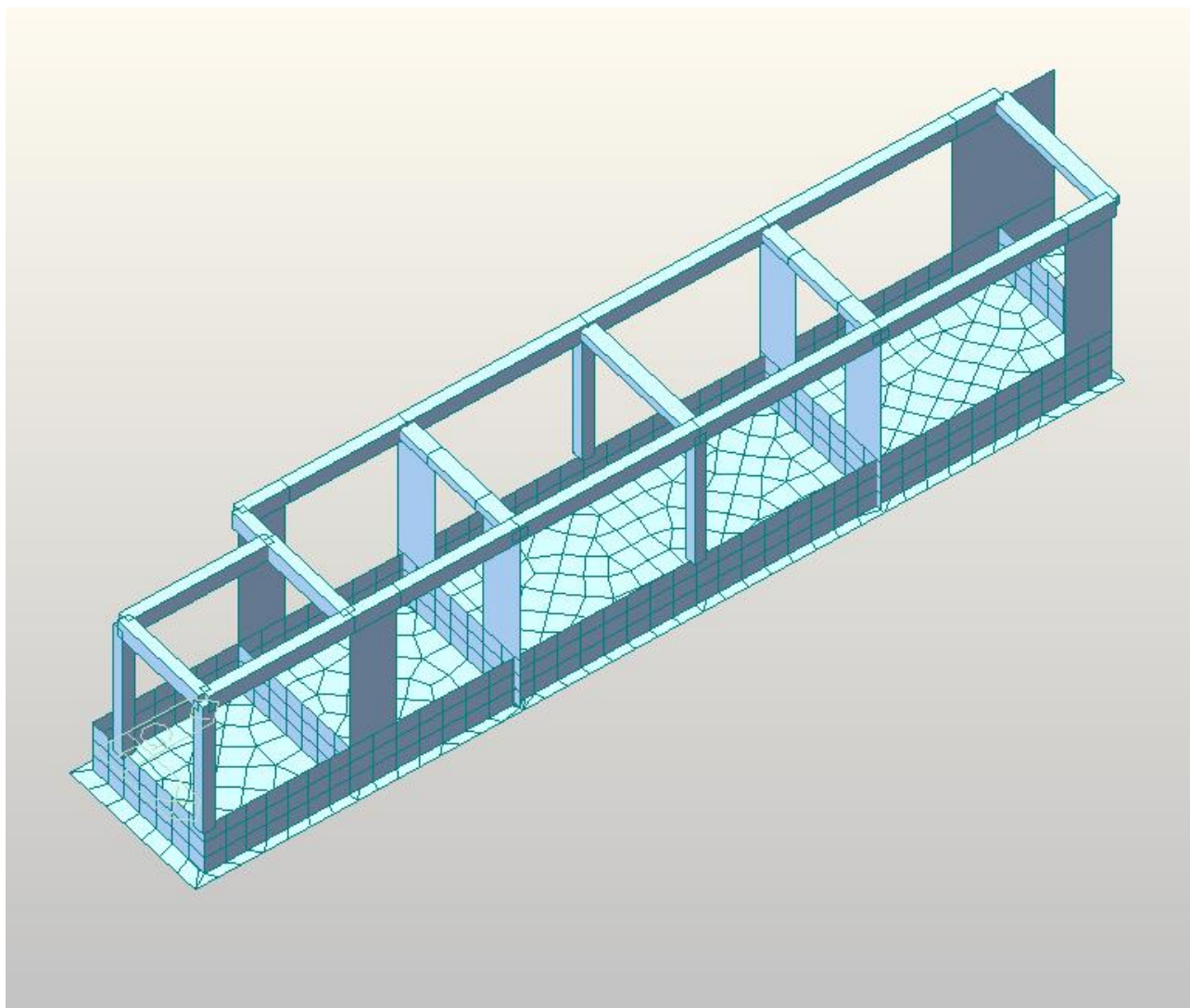
5.4.4.3 Pressione in fondazione

A seguito della modellazione appena illustrata, per ricavare il valore della pressione in fondazione, la stessa costruzione è stata modellata implementando la platea e le nervature in cemento armato su cui poggia.

La platea è stata realizzata creando un elemento superficie di spessore 20 cm, assegnando il materiale corrispondente (cls di classe C25/30) e impostandola su suoli elastici alla Winkler (coefficiente assunto pari a $1,2 \text{ kg/cm}^3$) tramite un vincolo molla.



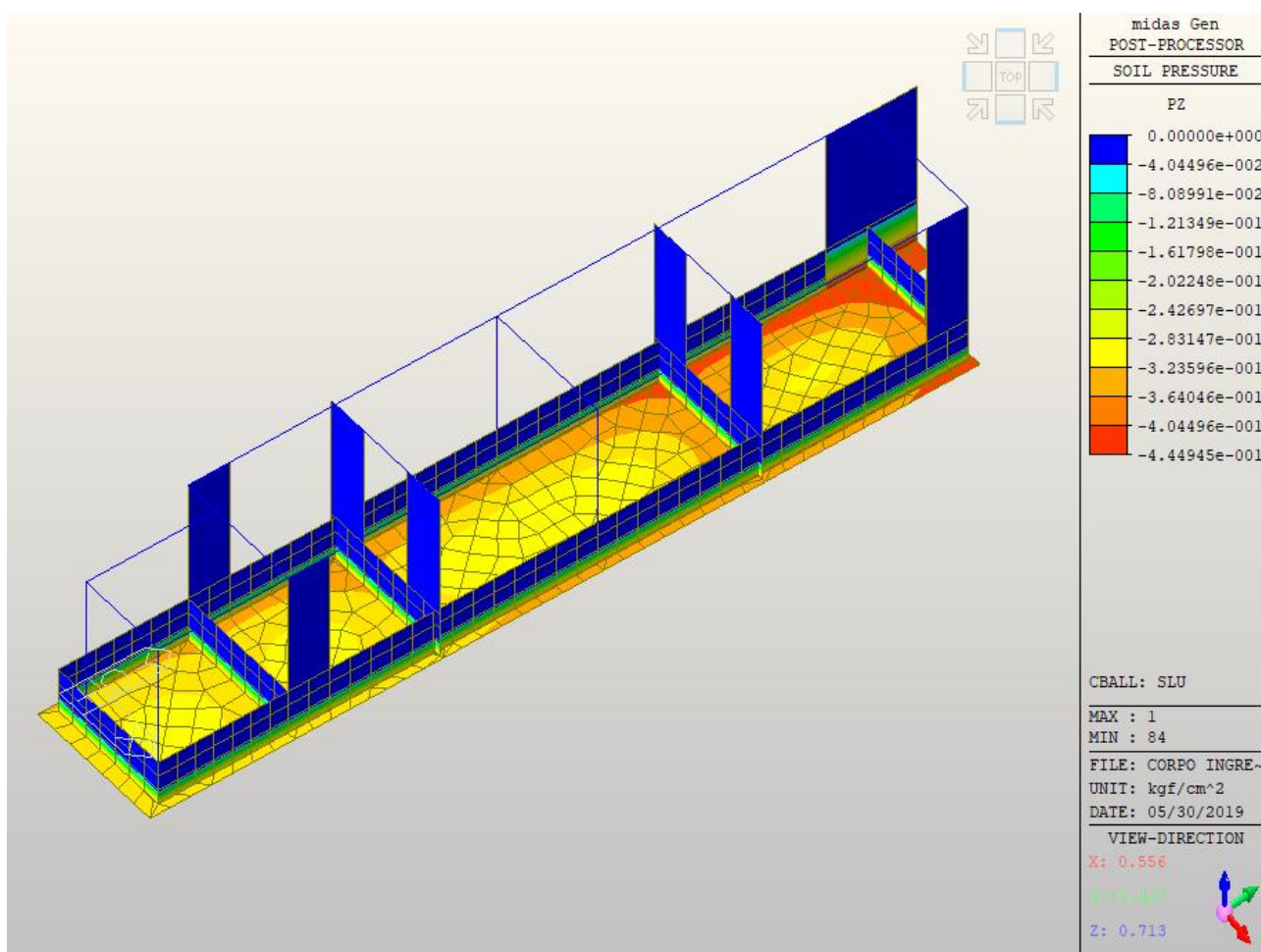
RELAZIONE ILLUSTRATIVA E DI CALCOLO		
Data emissione: 20/05/2019	RST Relazione illustrativa e di calcolo strutturale.docx	63 di 267



Si riportano di seguito i risultati ottenuti allo SLU:



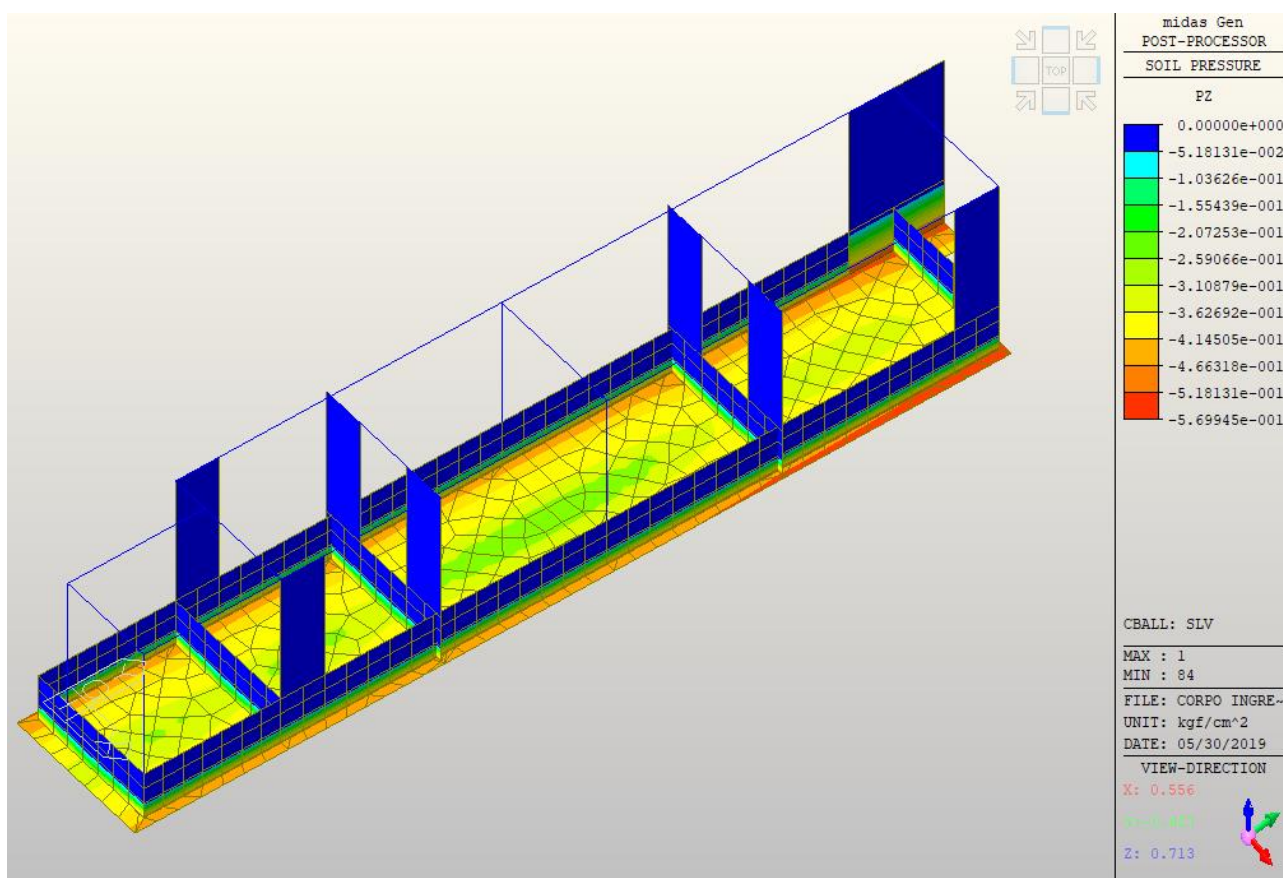
RELAZIONE ILLUSTRATIVA E DI CALCOLO		
Data emissione: 20/05/2019	RST Relazione illustrativa e di calcolo strutturale.docx	64 di 267



Ed allo SLV:



RELAZIONE ILLUSTRATIVA E DI CALCOLO		
Data emissione: 20/05/2019	RST Relazione illustrativa e di calcolo strutturale.docx	65 di 267



5.5 Verifiche dal modello globale

A seguito della modellazione della struttura in Midas Gen, completa di elementi strutturali, materiale, tipi di sezione, vincoli e carichi statici e dinamici agenti, sono state eseguite una serie di verifiche a livello di resistenza e deformabilità dell'intera struttura, seguendo le prescrizioni riportate nella normativa vigente allo SLU, SLV e SLE.

5.5.1 VALUTAZIONE DEGLI SPOSTAMENTI DELLA STRUTTURA

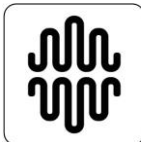
Con riferimento al paragrafo 7.3.3.3 delle NTC2018, sono stati calcolati gli spostamenti della struttura d_E in corrispondenza del giunto strutturale di spessore 10 cm tra il corpo ingresso e la palestra.

Partendo dai risultati derivanti dall'analisi allo SLV, si ricava:

$$d_E = \pm \mu_d \cdot d_{Ee}$$

Dove:

- d_{Ee} sono gli spostamenti (in questo caso lungo x) ottenuti dall'analisi dinamica lineare allo SLV;
- μ_d è il coefficiente di duttilità in spostamento, e vale:



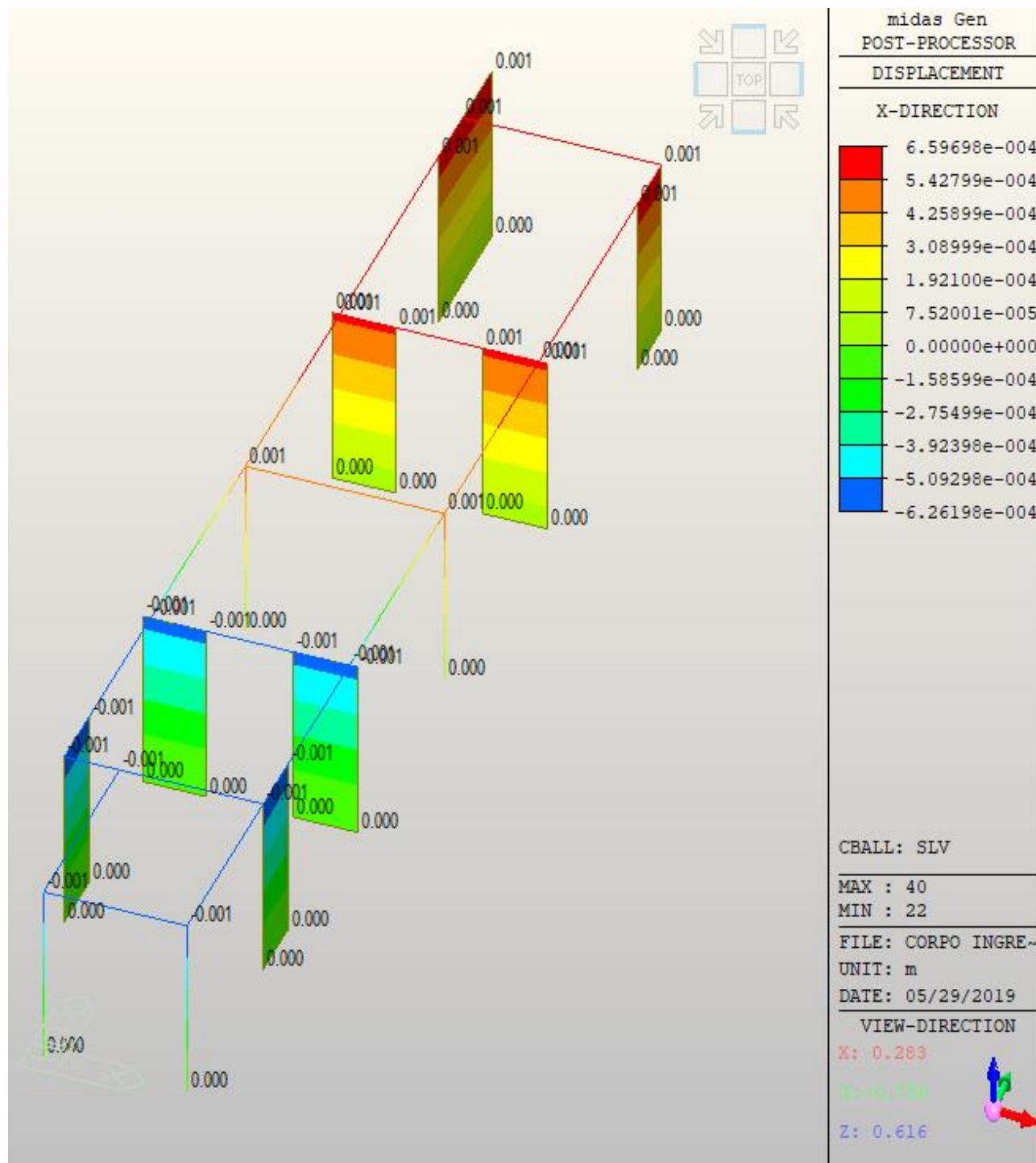
RELAZIONE ILLUSTRATIVA E DI CALCOLO		
Data emissione: 20/05/2019	RST Relazione illustrativa e di calcolo strutturale.docx	66 di 267

$$\mu_d = q \text{ se } T_1 \geq T_C;$$

$$\mu_d = 1 + (q - 1) \cdot \frac{T_C}{T_1} \text{ se } T_1 < T_C.$$

(tenendo conto $\mu_d \leq 5q - 4$).

Considerando lo spostamento massimo tra gli elementi strutturali che interessano il giunto strutturale:



Il massimo valore di spostamento vale:



RELAZIONE ILLUSTRATIVA E DI CALCOLO		
Data emissione: 20/05/2019	RST Relazione illustrativa e di calcolo strutturale.docx	67 di 267

$$d_{Ee} = 0,66 \text{ mm}$$

Il periodo fondamentale T_1 è stato ricavato facendo sempre riferimento alla formula riportata nella vecchia normativa (par. 7.3.3.2 NTC2008), in modo da poter procedere con un calcolo diretto a seconda dei dati a disposizione:

$$T_1 = C_1 \cdot H^{3/4}$$

Con $C_1=0,075$ per le costruzioni in calcestruzzo armato.

Quindi, dato che l'altezza complessiva dell'edificio è pari a $H = 3,675 \text{ m}$, il periodo fondamentale vale:

$$T_1 = 0,199 \text{ s}$$

Dal calcolo dello spettro di progetto allo SLV a livello locale (rif. par. 4.4 della presente) si nota che:

$$T_C = 0,311 \text{ s}$$

Stato Limite	Tr [anni]	a_{max} [g]	F_0	SS	CC	ST	T_C	T_B	T_D
Vita (SLV)	949	0.284	3.656	1.000	1.00	1.15000	0.31051	0.1035	2.735

Dato che $T_1 < T_C$, seguendo quanto riportato dalla normativa, il valore del coefficiente di duttilità è uguale a:

$$\mu_d = 1 + (q - 1) \cdot \frac{T_C}{T_1} = 4,13$$

(verificando inoltre $\mu_d = 4,13 \leq 5q - 4 = 11$).

In definitiva:

$$d_E = \mu_d \cdot d_{Ee} = 2,73 \text{ mm}$$

5.5.2 VERIFICA TRA SPOSTAMENTI CORPO INGRESSO E PALESTRA

Si rimanda al paragrafo 7.5.2 della presente.

5.5.3 VERIFICHE DI RIGIDEZZA DEGLI ELEMENTI STRUTTURALI

Con riferimento al paragrafo 7.3.6.1 delle NTC2018, "la condizione in termini di rigidezza sulla struttura si ritiene soddisfatta qualora la conseguente deformazione degli elementi strutturali non produca sugli elementi non strutturali danni tali da rendere la costruzione temporaneamente inagibile. Nel caso delle costruzioni civili e industriali, qualora la temporanea inagibilità sia dovuta a spostamenti di interpiano eccessivi, questa condizione si può ritenere soddisfatta quando gli spostamenti di interpiano ottenuti dall'analisi in presenza dell'azione sismica di progetto corrispondente allo SL e alla CU considerati siano inferiori ai limiti indicati (...)". Con particolare riferimento al punto a del paragrafo sopra citato, bisogna verificare che:

$$q d_{r,SLD} \leq 0,0050 \cdot h$$



RELAZIONE ILLUSTRATIVA E DI CALCOLO		
Data emissione: 20/05/2019	RST Relazione illustrativa e di calcolo strutturale.docx	68 di 267

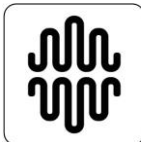
Considerando la relazione per tamponature fragili, dove:

- $d_{r,SLD}$ è lo spostamento di interpiano, cioè la differenza tra gli spostamenti del solaio superiore e del solaio inferiore ricavati dall'analisi dinamica lineare allo SLD;
- q è il fattore di struttura assunto pari a 1,0 per l'analisi allo SLD;
- h è l'altezza di interpiano.

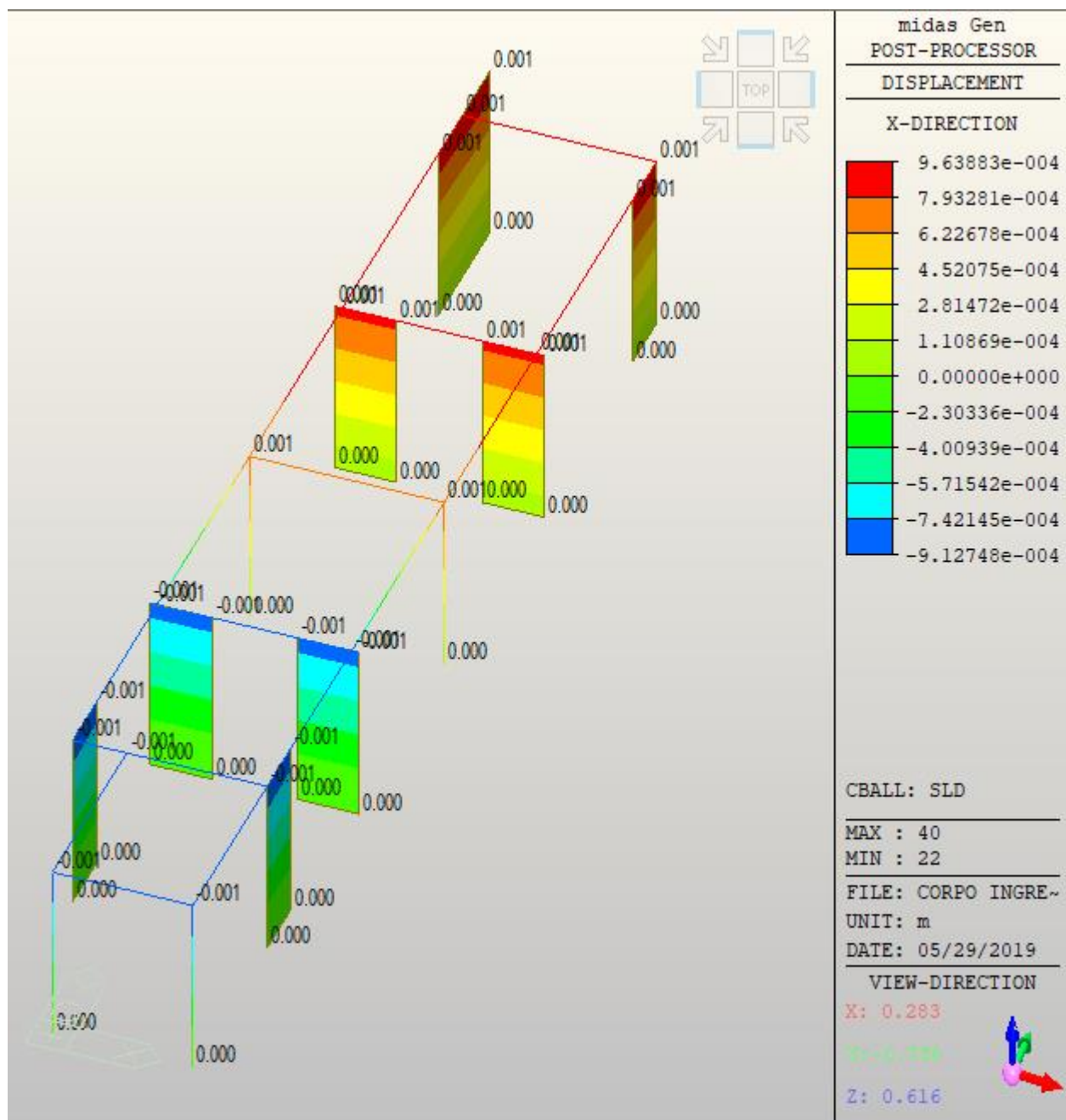
È stato individuato il massimo spostamento (in valore assoluto) che si verifica lungo le direzioni x e y tra i pilastri dopo l'analisi allo SLD:

- massimo spostamento in direzione x

$$u_{max,x} = 0,96 \text{ mm}$$



RELAZIONE ILLUSTRATIVA E DI CALCOLO		
Data emissione: 20/05/2019	RST Relazione illustrativa e di calcolo strutturale.docx	69 di 267

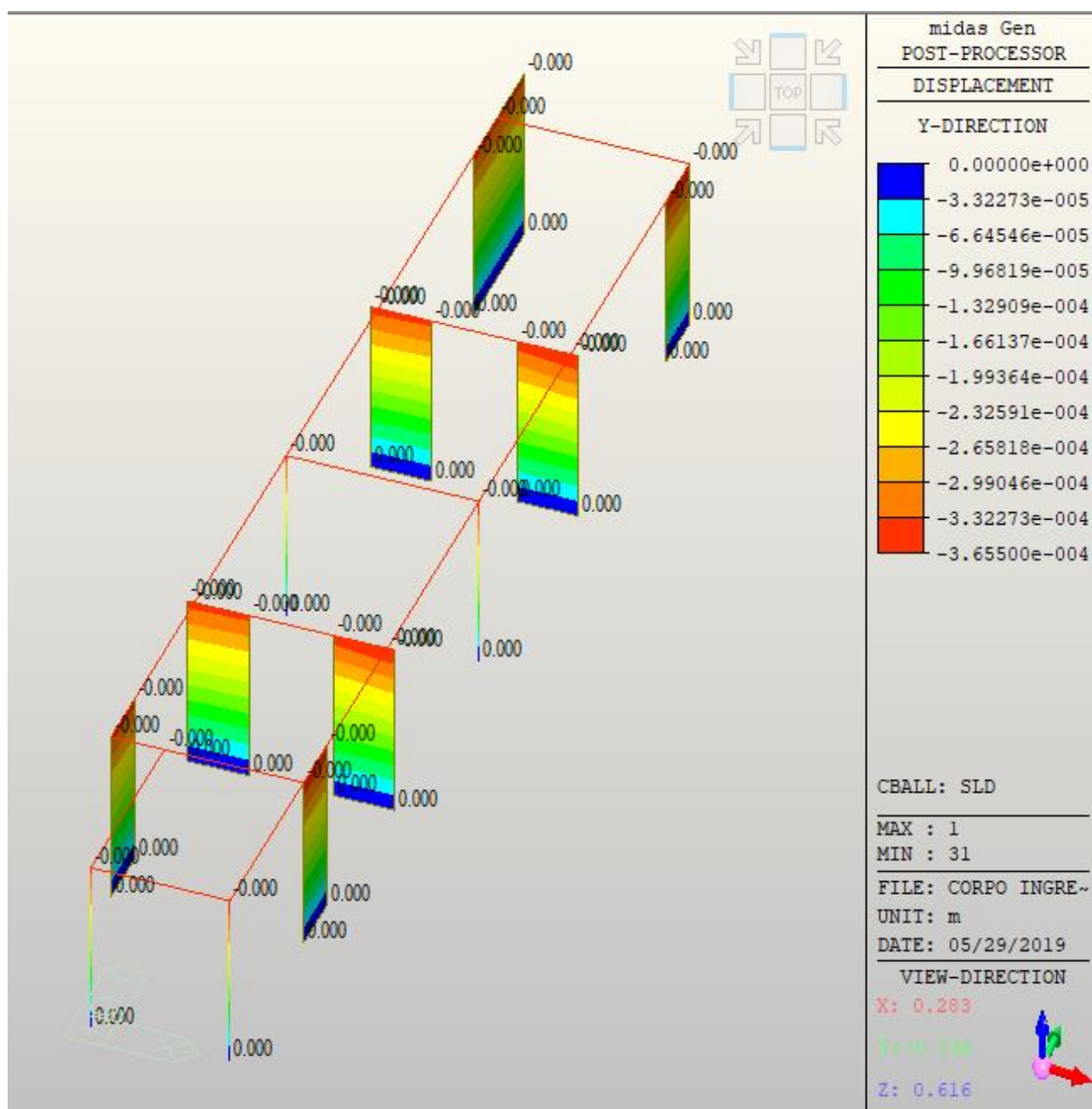


- massimo spostamento in direzione y

$$u_{max,y} = 0,37 \text{ mm}$$



RELAZIONE ILLUSTRATIVA E DI CALCOLO		
Data emissione: 20/05/2019	RST Relazione illustrativa e di calcolo strutturale.docx	70 di 267



L' altezza d'interpiano considerata è quella implementata nel modello, ovvero

$$h = 3,675 \text{ m}$$

La verifica viene effettuata per ogni direzione.

Direzione x

Dato che la costruzione in esame ha un solo piano, lo spostamento corrispondente vale:

$$d_{r,SLD} = u_j - u_i = 0,96 - 0,0 = 0,96 \text{ mm}$$



RELAZIONE ILLUSTRATIVA E DI CALCOLO		
Data emissione: 20/05/2019	RST Relazione illustrativa e di calcolo strutturale.docx	71 di 267

Dove, considerando il singolo piano, u_i indica lo spostamento del nodo alla base e u_j lo spostamento del nodo in sommità.

Si ottiene quindi che:

$$q d_{r,SLD} = 0,96 \text{ mm} \leq 0,0050 \cdot h = 18,375 \text{ mm}$$

La verifica risulta soddisfatta.

Direzione y

Lo spostamento corrispondente vale:

$$d_{r,SLD} = u_j - u_i = 0,37 - 0,0 = 0,37 \text{ mm}$$

Dove, considerando il singolo piano, u_i indica lo spostamento del nodo alla base e u_j lo spostamento del nodo in sommità.

Si ottiene quindi che:

$$q d_{r,SLD} = 0,37 \text{ mm} \leq 0,0050 \cdot h = 18,375 \text{ mm}$$

La verifica risulta soddisfatta.

Lo stesso procedimento è stato successivamente applicato ai risultati ricavati con l'analisi allo SLO, dove bisogna verificare che gli spostamenti d'interpiano siano inferiori a $\frac{2}{3}$ dei limiti indicati nella normativa e valutati per i risultati derivanti dall'analisi all'SLD.

In questo caso, quindi, la relazione da considerare è:

$$q d_{r,SLO} \leq \frac{2}{3} (0,0050 \cdot h)$$

- $d_{r,SLO}$ è lo spostamento di interpiano, cioè la differenza tra gli spostamenti del solaio superiore e del solaio inferiore ricavati dall'analisi dinamica lineare allo SLO;
- q è il fattore di struttura assunto pari a 1,0 per l'analisi allo SLO;
- h è l'altezza di interpiano.

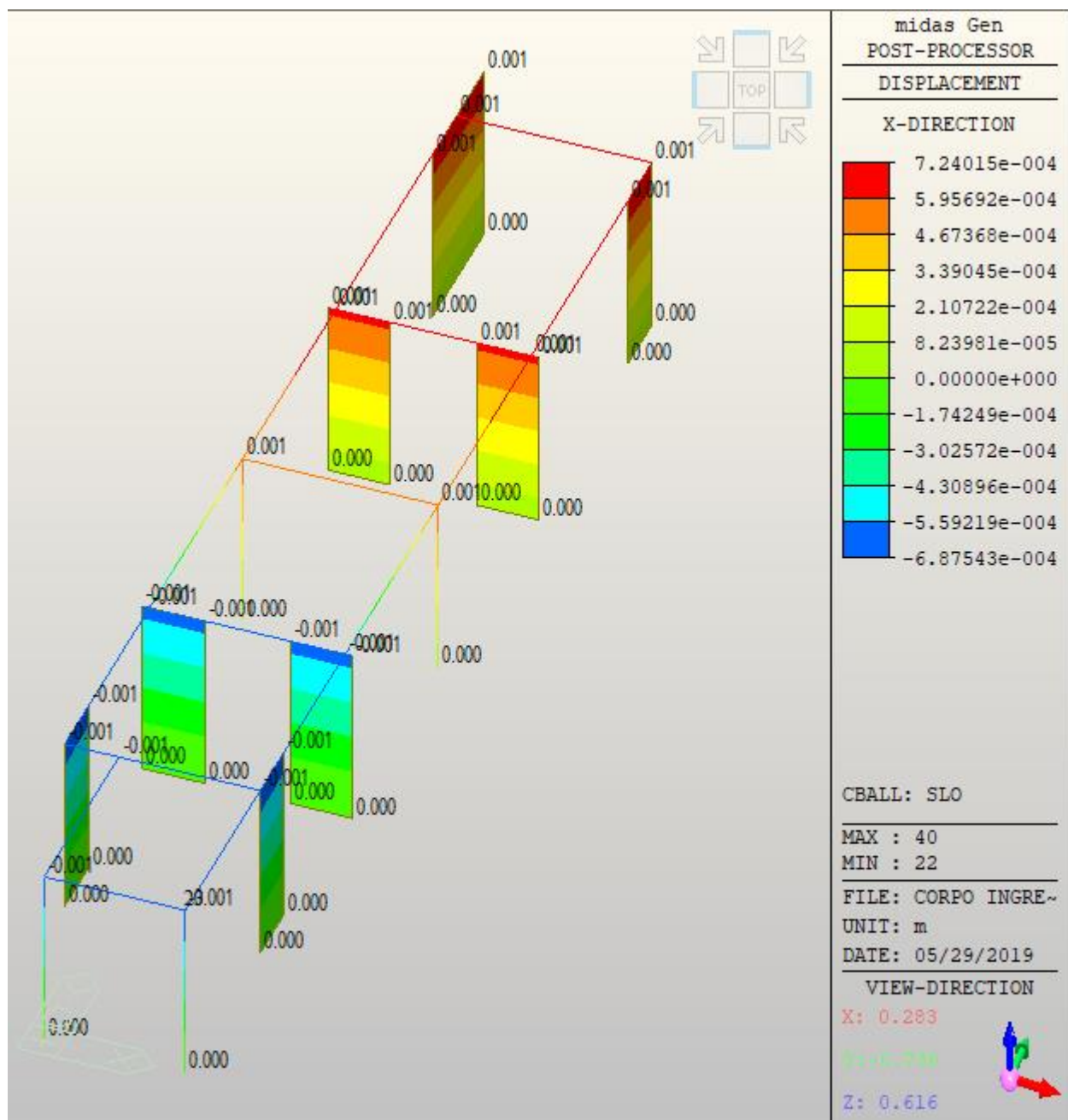
Come in precedenza, è stato individuato il massimo spostamento che si verifica lungo le direzioni x e y dopo l'analisi allo SLO:

- massimo spostamento in direzione x

$$u_{max,x} = 0,72 \text{ mm}$$



RELAZIONE ILLUSTRATIVA E DI CALCOLO		
Data emissione: 20/05/2019	RST Relazione illustrativa e di calcolo strutturale.docx	72 di 267

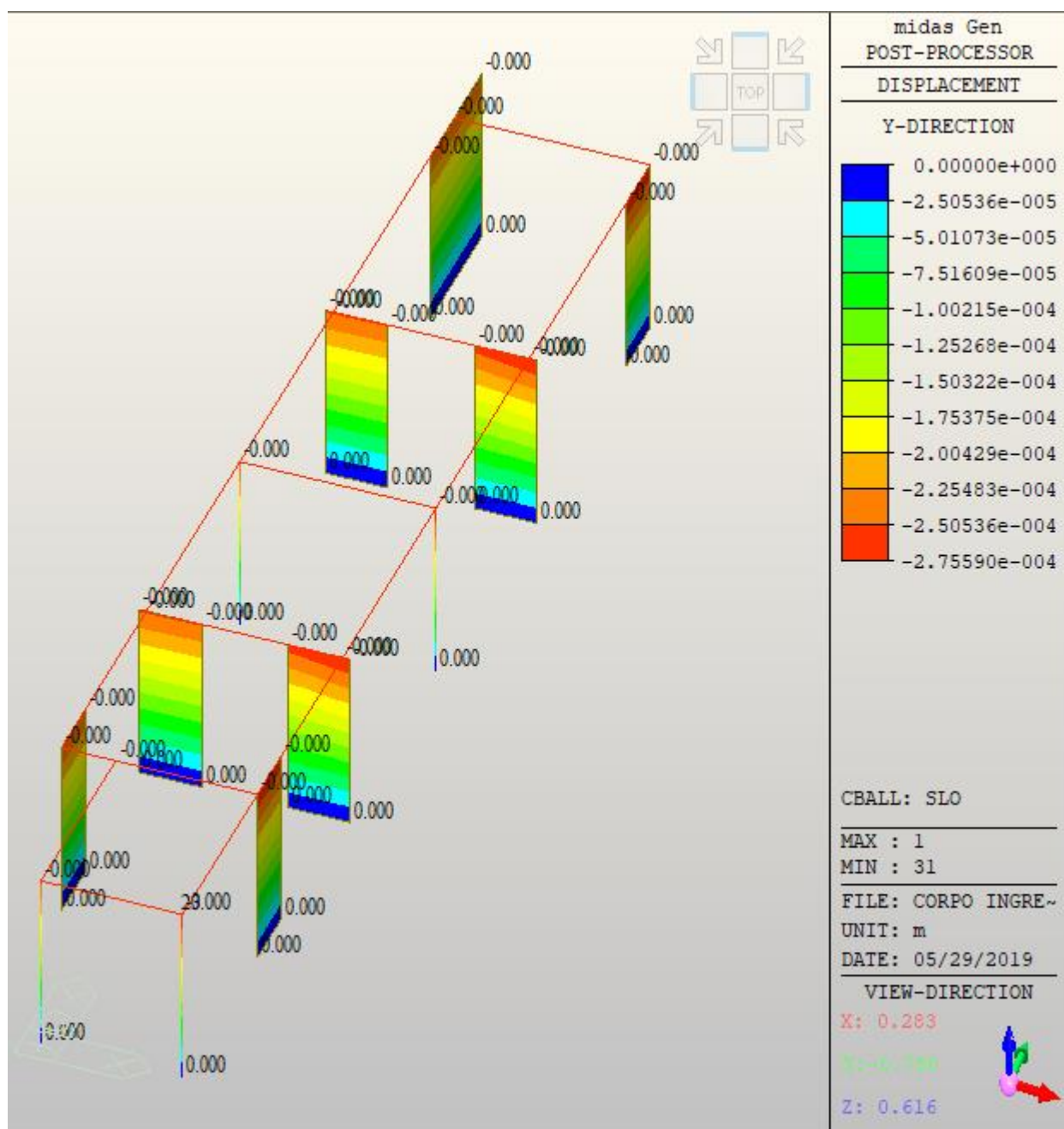


- massimo spostamento in direzione y

$$u_{max,y} = 0,28 \text{ mm}$$



RELAZIONE ILLUSTRATIVA E DI CALCOLO		
Data emissione: 20/05/2019	RST Relazione illustrativa e di calcolo strutturale.docx	73 di 267



Si procede quindi la verifica con il pilastro che presenta gli spostamenti maggiori. L'altezza d'interpiano considerata è quella implementata nel modello, ovvero

$$h = 3,675 \text{ m}$$

La verifica viene effettuata per ogni direzione.

Direzione x

Dato che la costruzione in esame ha un solo piano, lo spostamento corrispondente vale:

$$d_{r,SLO} = u_j - u_i = 0,72 - 0,0 = 0,72 \text{ mm}$$



RELAZIONE ILLUSTRATIVA E DI CALCOLO		
Data emissione: 20/05/2019	RST Relazione illustrativa e di calcolo strutturale.docx	74 di 267

Dove, considerando il singolo piano, u_i indica lo spostamento del nodo alla base e u_j lo spostamento del nodo in sommità.

Si ottiene quindi che:

$$q d_{r,SLO} = 0,72 \text{ mm} \leq \frac{2}{3} 0,0050 \cdot h = 12,25 \text{ mm}$$

La verifica risulta soddisfatta.

Direzione y

Lo spostamento corrispondente vale:

$$d_{r,SLO} = u_j - u_i = 0,28 - 0,0 = 0,28 \text{ mm}$$

Dove, considerando il singolo piano, u_i indica lo spostamento del nodo alla base e u_j lo spostamento del nodo in sommità.

Si ottiene quindi che:

$$q d_{r,SLO} = 0,28 \text{ mm} \leq \frac{2}{3} 0,0050 \cdot h = 12,25 \text{ mm}$$

La verifica risulta soddisfatta.

Anche in questo caso la verifica risulta essere soddisfatta.

5.5.4 ARMATURE TRAVI

La verifica di resistenza, considerando il caso peggiore delle combinazioni di carico allo SLU e allo SLV, è stata realizzata dal programma Midas Gen: dopo aver modellato la struttura sono state implementate le armature delle travi e sono state eseguite le verifiche in accordo con quanto riportato nella vigente normativa.



RELAZIONE ILLUSTRATIVA E DI CALCOLO		
Data emissione: 20/05/2019	RST Relazione illustrativa e di calcolo strutturale.docx	75 di 267

Concrete Design Code

Design Code : Eurocode2:04

National Annex : Italy

☒ Apply NTC NTC2018

☒ Apply Special Provisions for Seismic Design

Strut Angle for Shear Resistance : 45 Deg

Effective Creep Ratio (Phi_ef) : 2.14

Slenderness Limit

$\Lambda_{lim} = 25/\sqrt{n}$

Where, $n = N_{Ed}/(A_c \cdot f_{cd})$

☒ Beam-Column Joint Design Gamma_rd 1.1

Strong Column Weak Beam

SUM(M_Rc) > 1.3 * SUM(M_Rb)

☐ Consider strong column-weak beam on last floor

Select Ductility Class

☐ CD'A' (High Ductility)

☒ CD'B' (Medium Ductility)

Shear Force for Design (Gamma_rd)

Beam 1.1 Column 1.1 Wall 1.2

Secondary Seismic Element None

Friction Coefficient for Wall Sliding : 0.6

☐ Torsion Design

Moment Redistribution Factor for Beam : 1

Consider Shear Strength of Concrete for Checking

☒ Wall ☒ Column/Brace ☒ Beam

Si riportano i risultati delle travi in cui sono stati verificati i casi peggiori per ogni sezione:

MEMB	SE L	Section		fck	PO S	CHK	AsTop	AsBot	N(-) M_Ed	LC B	x/d	N(-) M_Rd	Rat-N	P(+) M_Ed	LC B	x/d	P(+) M_Rd	Rat-P	V_Ed	LC B	V_Rdc	V_Rds	Rat-Vc	Rat-Vs	Rat-V
SECT		Bc	Hc	fyk																					
Span		bf	hf	fyw																					
0	┌	45*30		25000.0	I	OK	0.0006	0.0006	43.0282	6	0.14	87.8066	0.49	41.4242	6	0.14	87.8066	0.47	56.6425	7	57.2767	141.574	0.99	0.40	0.99
2		0.300	0.450	450000	M	OK	0.0006	0.0006	10.7571	6	0.14	87.8066	0.12	45.8763	6	0.14	87.8066	0.52	71.8507	34	57.2767	141.574	1.25	0.51	0.51
4.8035		0.000	0.000	450000	J	OK	0.0006	0.0006	43.0282	6	0.14	87.8066	0.49	24.3349	7	0.14	87.8066	0.28	53.9060	6	57.2767	141.574	0.94	0.38	0.94
0	└	25*40		25000.0	I	OK	0.0005	0.0005	25.9242	31	0.22	33.9530	0.76	25.3999	2	0.22	33.9530	0.75	46.7105	34	47.0431	142.983	0.99	0.33	0.99
3		0.400	0.250	450000	M	OK	0.0005	0.0005	13.0430	31	0.22	33.9530	0.38	33.8670	2	0.22	33.9530	1.00	46.4330	34	47.0431	35.7457	0.99	1.30	0.99
3.7400		0.000	0.000	450000	J	OK	0.0005	0.0005	26.6699	31	0.22	33.9530	0.79	25.4003	7	0.22	33.9530	0.75	46.7470	34	47.0431	142.983	0.99	0.33	0.99

Le verifiche risultano soddisfatte. Per maggiori dettagli sul tipo di armatura inserita si rimanda ai rispettivi elaborati grafici allegati al presente progetto.

5.5.5 ARMATURE PILASTRI

La verifica di resistenza, considerando il caso peggiore delle combinazioni di carico allo SLU e allo SLV, è stata realizzata dal programma Midas Gen: dopo aver modellato la struttura sono state implementate le armature pilastri e sono state eseguite le verifiche in accordo con quanto riportato nella vigente normativa.



RELAZIONE ILLUSTRATIVA E DI CALCOLO		
Data emissione: 20/05/2019	RST Relazione illustrativa e di calcolo strutturale.docx	76 di 267

Concrete Design Code

Design Code : Eurocode2:04

National Annex : Italy

☒ Apply NTC NTC2018

☒ Apply Special Provisions for Seismic Design

Strut Angle for Shear Resistance : 45 Deg

Effective Creep Ratio (Φ_{ef}) : 2.14

Slenderness Limit

$\Lambda_{lim} = 25/\sqrt{n}$

Where, $n = N_{Ed}/(A_c \cdot f_{cd})$

☒ Beam-Column Joint Design Γ_{rd} 1.1

Strong Column Weak Beam

$\sum(M_{Rc}) > 1.3 \cdot \sum(M_{Rb})$

☐ Consider strong column-weak beam on last floor

Select Ductility Class

☐ CD'A' (High Ductility)

☒ CD'B' (Medium Ductility)

Shear Force for Design (Γ_{rd})

Beam 1.1 Column 1.1 Wall 1.2

Secondary Seismic Element None

Friction Coefficient for Wall Sliding : 0.6

☐ Torsion Design

Moment Redistribution Factor for Beam : 1

Consider Shear Strength of Concrete for Checking

☒ Wall ☒ Column/Brace ☒ Beam

Si riportano i risultati dei pilastri in cui sono stati verificati i casi peggiori per ogni sezione (in questo caso una sola sezione):

MEMB	SE	Section	f _{ck}	f _{yk}	CHK	LC	V-Rebar	N _{Rdmax}	Uc	N _{Ed}	M _{Edy}	M _{Edz}	V _{Rdcend}	V _{Rdsend}	V _{Rdcmid}	V _{Rdsmid}	LC	V _{Edend}	Rat-V _{end}	V _{jhd}
SECT	L	Bc Hc	Height	f _{yw}		B		x	Rat-Uc	Rat-N	Rat-My	Rat-Mz	Rat-V _{cend}	Rat-V _{send}	Rat-V _{cmid}	Rat-V _{smid}	B	V _{Edmid}	Rat-V _{mid}	Rat-J
0	□	30*30	25000.0	450000	OK	6	8-3-P20(P16)	2051.90	0.065	63.3096	2.31246	14.7605	56.9695	171.861	57.4739	85.9304	27	48.9107	0.859	0.00000
1	□	0.300 0.300	3.6750	450000					0.000	0.162	0.163	0.162	0.859	0.285	0.851	0.569	27	48.9107	0.851	0.000

Le verifiche risultano soddisfatte. Per maggiori dettagli sul tipo di armatura inserita si rimanda ai rispettivi elaborati grafici allegati al presente progetto.

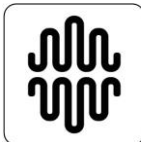
Si riporta anche l'output relativo alla verifica di duttilità riportata al capitolo 7 delle NTC2018:

```
( ). Calculate Curvature Ductile Factor.
-. T1 = 0.1142 sec.
-. Tc = 0.2910 sec.
-. q0 = 3.0000
-. Mu_phi = 1.2*[1+2*(q0-1)Tc/T1] =13.4287 (T1 < Tc)

( ). Check mechanical volumetric ratio of confining hoops within the critical regions.
-. Bo = 0.2120 m.
-. Ho = 0.2120 m.
-. Alpha,n = 0.738
-. Alpha,s = 0.584
-. Alpha = Alpha,n*Alpha,s = 0.431
-. s,use = 0.1000 m.
-. Wwd = MAX[ 2*Awl*(Bo+Ho)*fyd / (Bo*Ho*s*fcd), 0.08 ] = 0.261

-. Nu_d = 0.014
-. esy,d = fyd / Es = 0.00196
-. Lim = 30*Mu_phi*Nu_d*esy,d*Bc/Bo-0.035 = -0.020
Alpha*Wwd > Lim ----> O.K !
```

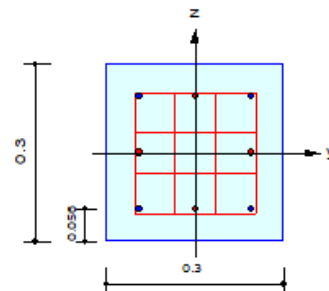
E la schermata dei risultati di output in cui sono raggruppate le verifiche dei casi peggiori dei pilastri (compresa la verifica del nodo trave-pilastro in accordo con le NTC2018 al par. 7.4.4.3):



RELAZIONE ILLUSTRATIVA E DI CALCOLO		
Data emissione: 20/05/2019	RST Relazione illustrativa e di calcolo strutturale.docx	77 di 267

1. Design Condition

Design Code : Eurocode2:04 & NTC2018 UNIT SYSTEM : kN, m
 Member Number : 9 (PM), 10 (Shear)
 Material Data : $f_{ck} = 25000$, $f_{yk} = 450000$, $f_{yw} = 450000$ KPa
 Column Height : 3.675 m
 Section Property : 30*30 (No : 1)
 Rebar Pattern : 8 - 3 - P20(P16) $A_{st} = 0.00206 \text{ m}^2$ ($R_{hst} = 0.023$)



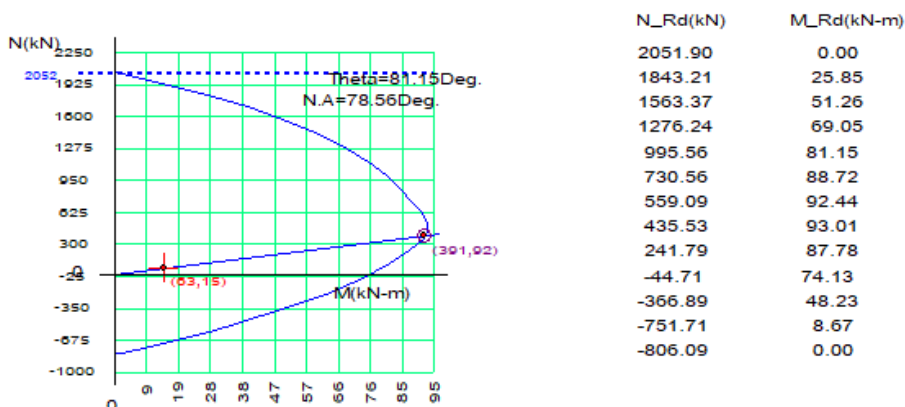
2. Applied Loads

Load Combination : 6 AT (J) Point
 $N_{Ed} = 63.3096 \text{ kN}$ $M_{Edy} = 2.31246 \text{ kN-m}$ $M_{Edz} = 14.7605 \text{ kN-m}$
 $M_{Ed} = \sqrt{M_{Edy}^2 + M_{Edz}^2} = 14.9405 \text{ kN-m}$

3. Axial Forces and Moments Capacity Check

Concentric Max. Axial Load	N_{Rdmax}	= 2051.90 kN	
Axial Load Ratio	N_{Ed}/N_{Rd}	= 63.3096 / 390.524	= 0.162 < 1.000 O.K
Moment Ratio	M_{Ed}/M_{Rd}	= 14.9405 / 92.2505	= 0.162 < 1.000 O.K
	M_{Edy}/M_{Rdy}	= 2.31246 / 14.1925	= 0.163 < 1.000 O.K
	M_{Edz}/M_{Rdz}	= 14.7605 / 91.1523	= 0.162 < 1.000 O.K
Normalized Axial Load Ratio	$N_{u,d} / 0.65$	= 0.065 / 0.650	= 0.100 < 1.000 O.K

4. M-N Interaction Diagram



5. Shear Force Capacity Check (End)

Applied Shear Force $V_{Ed} = 48.9107 \text{ kN}$ (Load Combination : 29)
 Shear Ratio by Conc $V_{Ed}/V_{Rdc} = 48.9107 / 56.9695 = 0.859$
 Shear Ratio by (V_{Rds} ; V_{Rdmax}) $V_{Ed}/V_{Rds} = 48.9107 / 171.861 = 0.285$
 Shear Ratio $V_{Ed}/V_{Rd} = 0.859 < 1.000$ O.K
 ($A_{sw} \cdot H_{use} = 0.00200 \text{ m}^2/\text{m}$, 4-P8 @100)
 Joint Shear Ratio $V_{hj}/ = 0.00000 / 0.00000 = 0.000 < 1.000$ O.K

6. Shear Force Capacity Check (Middle)

Applied Shear Force $V_{Ed} = 48.9107 \text{ kN}$ (Load Combination : 29)
 Shear Ratio by Conc $V_{Ed}/V_{Rdc} = 48.9107 / 57.4739 = 0.851$
 Shear Ratio by (V_{Rds} ; V_{Rdmax}) $V_{Ed}/V_{Rds} = 48.9107 / 85.9304 = 0.569$
 Shear Ratio $V_{Ed}/V_{Rd} = 0.851 < 1.000$ O.K
 ($A_{sw} \cdot H_{use} = 0.00100 \text{ m}^2/\text{m}$, 4-P8 @200)

5.5.6 ARMATURE SETTI

La verifica di resistenza, considerando il caso peggiore delle combinazioni di carico allo SLU e allo SLV, è stata realizzata dal programma Midas Gen: dopo aver modellato la struttura sono state implementate le armature setti e sono state eseguite le verifiche in accordo con quanto riportato nella vigente normativa.



RELAZIONE ILLUSTRATIVA E DI CALCOLO		
Data emissione: 20/05/2019	RST Relazione illustrativa e di calcolo strutturale.docx	78 di 267

Concrete Design Code

Design Code : Eurocode2:04

National Annex : Italy

☒ Apply NTC NTC2018

☒ Apply Special Provisions for Seismic Design

Strut Angle for Shear Resistance : 45 Deg

Effective Creep Ratio (Phi_ef) : 2.14

Slenderness Limit

$\Lambda_{lim} = 25/\sqrt{n}$

Where, $n = N_{Ed}/(A_c \cdot f_{cd})$

☐ Beam-Column Joint Design Gamma_rd 1.1

Strong Column Weak Beam

SUM(M_Rc) > 1.3 * SUM(M_Rb)

☐ Consider strong column-weak beam on last floor

Select Ductility Class

☐ CD'A' (High Ductility)

☒ CD'B' (Medium Ductility)

Shear Force for Design (Gamma_rd)

Beam 1.1 Column 1.1 Wall 1.2

Secondary Seismic Element None

Friction Coefficient for Wall Sliding : 0.6

☐ Torsion Design

Moment Redistribution Factor for Beam : 1

Consider Shear Strength of Concrete for Checking

☒ Wall ☒ Column/Brace ☒ Beam

Si riportano i risultati dei pilastri in cui sono stati verificati i casi peggiori per ogni elemento wall:

WID	SE	Wall Mark		fck	fyk	CHK	LC	Uc	N_Rdmax	Rat-Ny	M_Edy	Rat-My	VRdc	VRds	V_Ed	B.E	B.E.-Rebar
Story	L	Lw	HTw	hw	fyw			Rat-Uc	N_Ed	Rat-Nz	M_Edz	Rat-Mz	Rat-Vc	Rat-Vs	Rat-V		B.E.-L
1		wM0001		25000.0	450000	OK	33	0.019	6009.66	0.128	99.3381	0.128	130.081	187.826	29.8495	YES	Failure
1F		1.2000	3.6750	0.3000	450000			0.048	97.1165	0.000	0.00000	0.000	0.229	0.159	0.229		0.45000
2		wM0002		25000.0	450000	OK	33	0.021	6009.66	0.120	97.3723	0.120	130.779	187.826	36.5659	YES	Failure
1F		1.2000	3.6750	0.3000	450000			0.052	104.993	0.000	0.00000	0.000	0.280	0.195	0.280		0.45000
3		wM0003		25000.0	450000	OK	27	0.023	6009.66	0.443	249.590	0.446	125.827	187.826	86.0920	YES	Failure
1F		1.2000	3.6750	0.3000	450000			0.058	65.5992	0.000	0.00000	0.000	0.684	0.458	0.684		0.45000
4		wM0004		25000.0	450000	OK	31	0.023	6009.66	0.427	263.000	0.431	132.760	187.826	90.4122	YES	Failure
1F		1.2000	3.6750	0.3000	450000			0.057	116.960	0.000	0.00000	0.000	0.681	0.481	0.681		0.45000
5		wM0005		25000.0	450000	OK	27	0.025	6009.66	0.487	273.494	0.489	126.702	187.826	94.7006	YES	Failure
1F		1.2000	3.6750	0.3000	450000			0.064	72.0816	0.000	0.00000	0.000	0.747	0.504	0.747		0.45000
6		wM0006		25000.0	450000	OK	31	0.026	6009.66	0.425	259.500	0.416	134.783	187.826	90.1875	YES	Failure
1F		1.2000	3.6750	0.3000	450000			0.065	131.945	0.000	0.00000	0.000	0.669	0.480	0.669		0.45000
7		wM0007		25000.0	450000	OK	33	0.013	13172.5	0.228	684.798	0.229	244.318	77.8402	166.360	YES	Failure
1F		2.6000	3.6750	0.3000	450000			0.032	142.789	0.000	0.00000	0.000	0.681	2.137	0.516		0.52000
8		wM0008		25000.0	450000	OK	29	0.020	6009.66	0.100	84.2014	0.099	130.570	187.826	33.2443	YES	Failure
1F		1.2000	3.6750	0.3000	450000			0.051	100.739	0.000	0.00000	0.000	0.255	0.177	0.255		0.45000

Le verifiche risultano soddisfatte. Per maggiori dettagli sul tipo di armatura inserita si rimanda ai rispettivi elaborati grafici allegati al presente progetto.

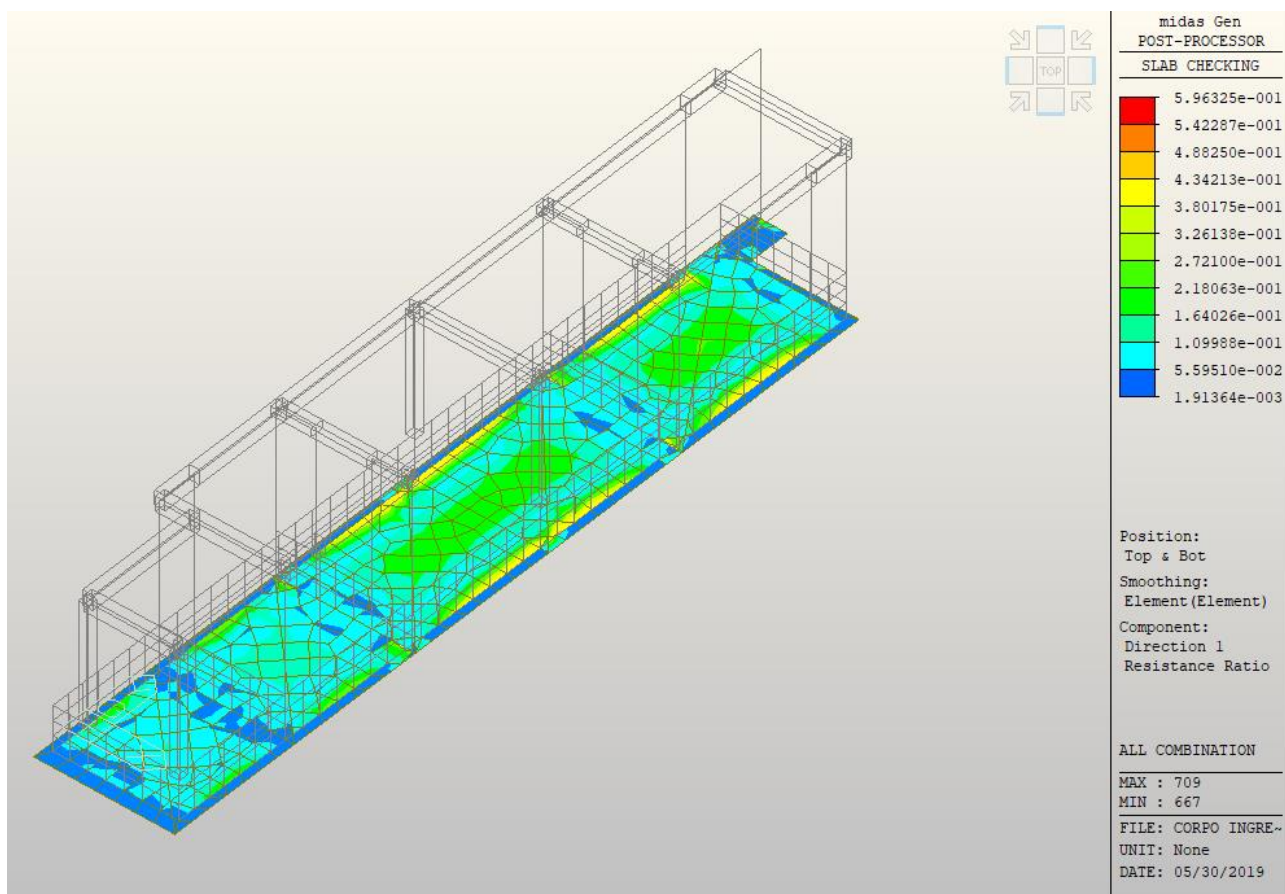
5.5.7 ARMATURE PLATEA

Si riportano di seguito le schermate relative ai risultati delle verifiche eseguite sulla platea di fondazione del corpo ingresso sotto l'azione dei carichi statici e dinamici, dopo averla opportunamente armata con armature $\varnothing 12/20$ " superiori ed inferiori. Il software Midas Gen considera come Dir. 1 le armature longitudinali disposte lungo X e come Dir.2 quelle lungo Y.

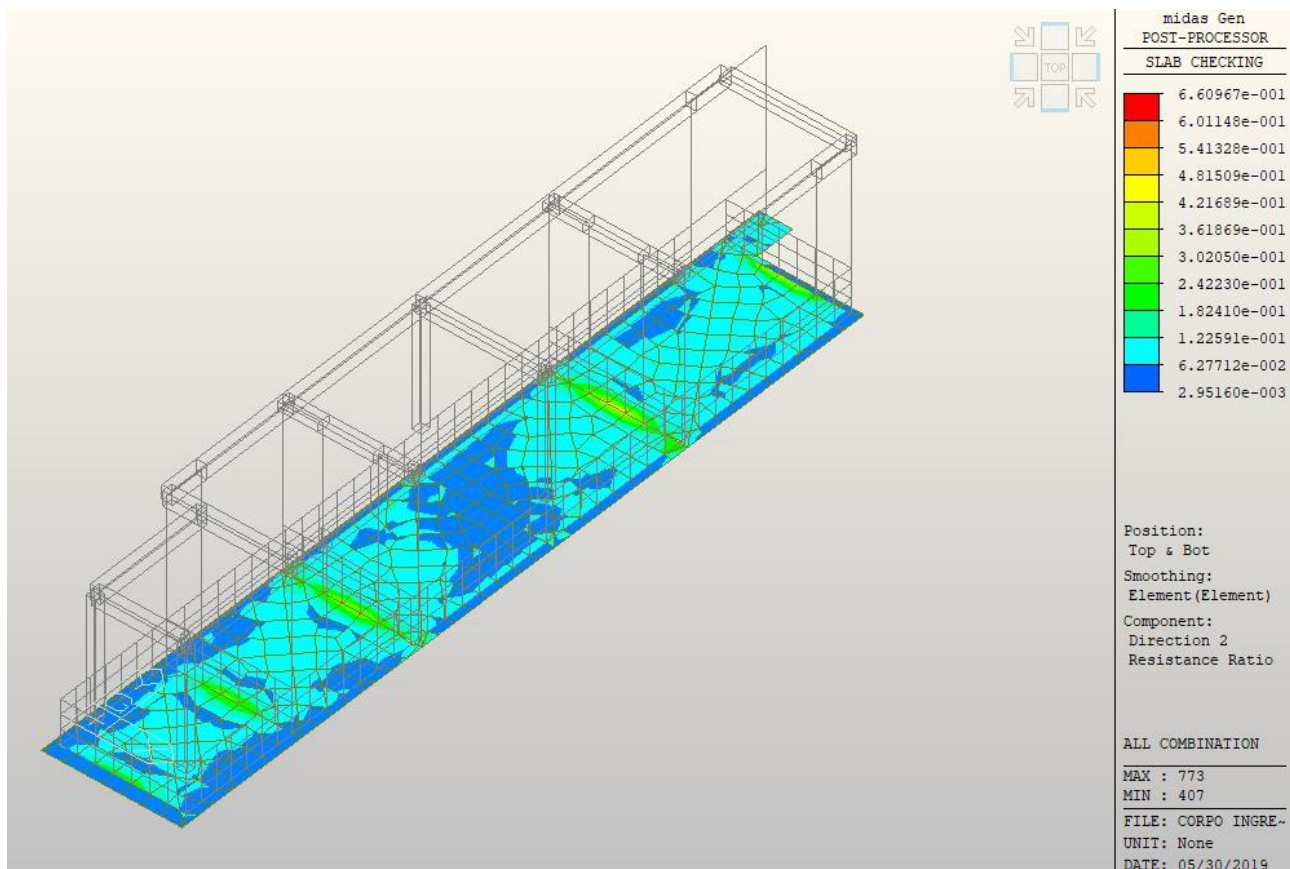
- Risultati relativi alle armature lungo X:

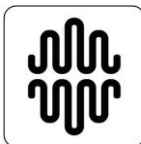


RELAZIONE ILLUSTRATIVA E DI CALCOLO		
Data emissione: 20/05/2019	RST Relazione illustrativa e di calcolo strutturale.docx	79 di 267



- Risultati relativi alle armature lungo Y:





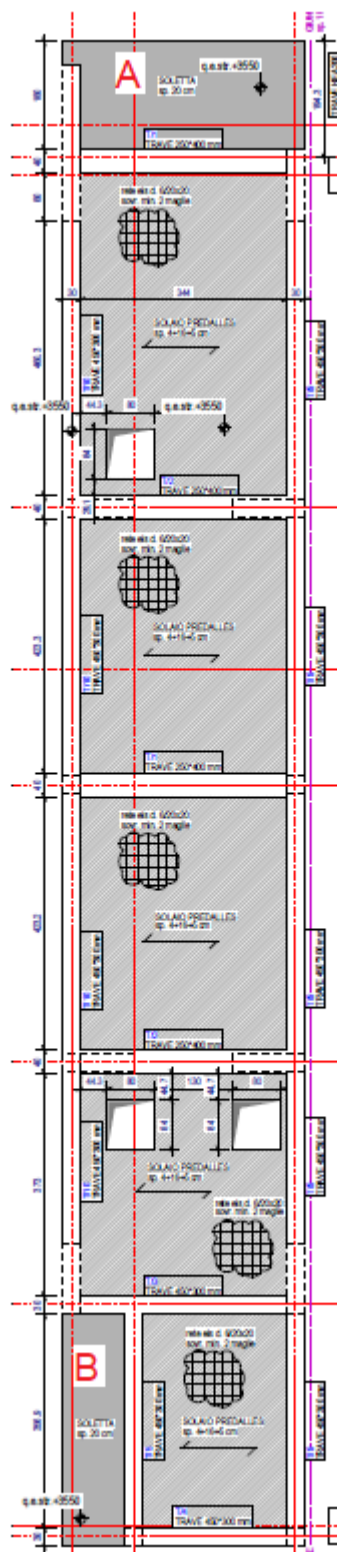
RELAZIONE ILLUSTRATIVA E DI CALCOLO		
Data emissione: 20/05/2019	RST Relazione illustrativa e di calcolo strutturale.docx	80 di 267

5.6 Verifica della resistenza e della deformabilità delle solette

Nel corpo ingresso sono presenti due solette in c.a. C25/30, di spessore 20 cm, a sbalzo. Nel modello in Midas Gen non sono state modellate concretamente, ma sono stati considerati i loro pesi e carichi portati, opportunamente computati e applicati agli elementi strutturali che la sostengono sotto forma di carichi lineari. Considerando uno schema statico a mensola (incastro), sono state verificate in termini di resistenza e deformabilità.



RELAZIONE ILLUSTRATIVA E DI CALCOLO		
Data emissione: 20/05/2019	RST Relazione illustrativa e di calcolo strutturale.docx	81 di 267



5.6.1 VERIFICA DELLA RESISTENZA DELLA SOLETTA A

Per verificare la resistenza della soletta A, il momento resistente viene calcolato considerando la seguente armatura longitudinale (considerando 1 m di soletta ed uno schema statico tipo mensola):



RELAZIONE ILLUSTRATIVA E DI CALCOLO		
Data emissione: 20/05/2019	RST Relazione illustrativa e di calcolo strutturale.docx	82 di 267

$$A_{inf} = 5\emptyset 16 / m = 1005 \text{ mm}^2 / m$$

$$A_{sup} = 5\emptyset 16 / m = 1005 \text{ mm}^2 / m$$

Dall'equilibrio si ricava la posizione dell'asse neutro:

$$x = 33,6 \text{ mm}$$

Con cui si calcola il momento resistente

$$M_{Rd} = A_{sup} f_{yd} (d - 0,4x) + A_{inf} \sigma'_s (0,4x - d') = 60,13 \text{ kNm}$$

Questo risultato viene confrontato con il momento agente, calcolato combinando i carichi agenti sulla soletta allo SLU (par. 2.5.3 delle NTC2018):

2.5.3. COMBINAZIONI DELLE AZIONI

Ai fini delle verifiche degli stati limite, si definiscono le seguenti combinazioni delle azioni.

- Combinazione fondamentale, generalmente impiegata per gli stati limite ultimi (SLU):

$$\gamma_{G1} \cdot G_1 + \gamma_{G2} \cdot G_2 + \gamma_P \cdot P + \gamma_{Q1} \cdot Q_{k1} + \gamma_{Q2} \cdot \psi_{02} \cdot Q_{k2} + \gamma_{Q3} \cdot \psi_{03} \cdot Q_{k3} + \dots$$
 [2.5.1]
- Combinazione caratteristica, cosiddetta rara, generalmente impiegata per gli stati limite di esercizio (SLE) irreversibili:

$$G_1 + G_2 + P + Q_{k1} + \psi_{02} \cdot Q_{k2} + \psi_{03} \cdot Q_{k3} + \dots$$
 [2.5.2]
- Combinazione frequente, generalmente impiegata per gli stati limite di esercizio (SLE) reversibili:

$$G_1 + G_2 + P + \psi_{11} \cdot Q_{k1} + \psi_{22} \cdot Q_{k2} + \psi_{23} \cdot Q_{k3} + \dots$$
 [2.5.3]
- Combinazione quasi permanente (SLE), generalmente impiegata per gli effetti a lungo termine:

$$G_1 + G_2 + P + \psi_{21} \cdot Q_{k1} + \psi_{22} \cdot Q_{k2} + \psi_{23} \cdot Q_{k3} + \dots$$
 [2.5.4]
- Combinazione sismica, impiegata per gli stati limite ultimi e di esercizio connessi all'azione sismica E:

$$E + G_1 + G_2 + P + \psi_{21} \cdot Q_{k1} + \psi_{22} \cdot Q_{k2} + \dots$$
 [2.5.5]
- Combinazione eccezionale, impiegata per gli stati limite ultimi connessi alle azioni eccezionali A:

$$G_1 + G_2 + P + A_d + \psi_{21} \cdot Q_{k1} + \psi_{22} \cdot Q_{k2} + \dots$$
 [2.5.6]

Gli effetti dell'azione sismica saranno valutati tenendo conto delle masse associate ai seguenti carichi gravitazionali:

$$G_1 + G_2 + \sum_j \psi_{2j} Q_{kj} \quad [2.5.7]$$

Nelle combinazioni si intende che vengano omissi i carichi Q_{kj} che danno un contributo favorevole ai fini delle verifiche e, se del caso, i carichi G_2 .

Altre combinazioni sono da considerare in funzione di specifici aspetti (p. es. fatica, ecc.).

Nelle formule sopra riportate il simbolo "+" vuol dire "combinato con".

I valori dei coefficienti ψ_{0j} , ψ_{1j} e ψ_{2j} sono dati nella Tab. 2.5.I oppure nella Tab. 5.1.VI per i ponti stradali e nella Tab. 5.2.VII per i ponti ferroviari. I valori dei coefficienti parziali di sicurezza γ_{Gi} e γ_{Qi} sono dati nel § 2.6.1.

$$M_{SLU} = 16,85 \text{ kNm/m}$$

Dove sono stati considerati i seguenti carichi:

- $G_{1,soletta} = 5,00 \text{ kN/m}$
- $G_{2,soletta} = 1,40 \text{ kN/m}$
- $Q_{neve} = 1,20 \text{ kN/m}$

Con (Tab. 2.6.I NTC2018):

- $\gamma_{G1} = 1,3$
- $\gamma_{G2} = 1,5$
- $\gamma_{Qi} = 1,5$

La verifica risulta essere soddisfatta:



RELAZIONE ILLUSTRATIVA E DI CALCOLO		
Data emissione: 20/05/2019	RST Relazione illustrativa e di calcolo strutturale.docx	83 di 267

$$\frac{M_{Ed}}{M_{Rd}} = 0,28 < 1$$

5.6.2 VERIFICA DELLA RESISTENZA DELLA SOLETTA B

Per verificare la resistenza della soletta B che definisce lo sbalzo nel corpo ingresso, il momento resistente viene calcolato considerando la seguente armatura longitudinale (considerando 1 m di soletta ed uno schema statico tipo mensola):

$$A_{inf} = 5\phi 16 / m = 1005 \text{ mm}^2 / m$$

$$A_{sup} = 5\phi 16 / m = 1005 \text{ mm}^2 / m$$

Dall'equilibrio si ricava la posizione dell'asse neutro:

$$x = 33,6 \text{ mm}$$

Con cui si calcola il momento resistente

$$M_{Rd} = A_{sup} f_{yd} (d - 0,4x) + A_{inf} \sigma'_s (0,4x - d') = 60,13 \text{ kNm}$$

Questo risultato viene confrontato con il momento agente, calcolato combinando i carichi agenti sulla soletta allo SLU (par. 2.5.3 delle NTC2018):

2.5.3. COMBINAZIONI DELLE AZIONI

Ai fini delle verifiche degli stati limite, si definiscono le seguenti combinazioni delle azioni.

- Combinazione fondamentale, generalmente impiegata per gli stati limite ultimi (SLU):

$$\gamma_{G1} \cdot G_1 + \gamma_{G2} \cdot G_2 + \gamma_P \cdot P + \gamma_{Q1} \cdot Q_{k1} + \gamma_{Q2} \cdot \psi_{02} \cdot Q_{k2} + \gamma_{Q3} \cdot \psi_{03} \cdot Q_{k3} + \dots \quad [2.5.1]$$

- Combinazione caratteristica, cosiddetta rara, generalmente impiegata per gli stati limite di esercizio (SLE) irreversibili:

$$G_1 + G_2 + P + Q_{k1} + \psi_{02} \cdot Q_{k2} + \psi_{03} \cdot Q_{k3} + \dots \quad [2.5.2]$$

- Combinazione frequente, generalmente impiegata per gli stati limite di esercizio (SLE) reversibili:

$$G_1 + G_2 + P + \psi_{11} \cdot Q_{k1} + \psi_{22} \cdot Q_{k2} + \psi_{23} \cdot Q_{k3} + \dots \quad [2.5.3]$$

- Combinazione quasi permanente (SLE), generalmente impiegata per gli effetti a lungo termine:

$$G_1 + G_2 + P + \psi_{21} \cdot Q_{k1} + \psi_{22} \cdot Q_{k2} + \psi_{23} \cdot Q_{k3} + \dots \quad [2.5.4]$$

- Combinazione sismica, impiegata per gli stati limite ultimi e di esercizio connessi all'azione sismica E:

$$E + G_1 + G_2 + P + \psi_{21} \cdot Q_{k1} + \psi_{22} \cdot Q_{k2} + \dots \quad [2.5.5]$$

- Combinazione eccezionale, impiegata per gli stati limite ultimi connessi alle azioni eccezionali A:

$$G_1 + G_2 + P + A_d + \psi_{21} \cdot Q_{k1} + \psi_{22} \cdot Q_{k2} + \dots \quad [2.5.6]$$

Gli effetti dell'azione sismica saranno valutati tenendo conto delle masse associate ai seguenti carichi gravitazionali:

$$G_1 + G_2 + \sum_j \psi_{2j} Q_{kj} \quad [2.5.7]$$

Nelle combinazioni si intende che vengano omissi i carichi Q_{kj} che danno un contributo favorevole ai fini delle verifiche e, se del caso, i carichi G_2 .

Altre combinazioni sono da considerare in funzione di specifici aspetti (p. es. fatica, ecc.).

Nelle formule sopra riportate il simbolo "+" vuol dire "combinato con".

I valori dei coefficienti ψ_{0j} , ψ_{1j} e ψ_{2j} sono dati nella Tab. 2.5.I oppure nella Tab. 5.1.VI per i ponti stradali e nella Tab. 5.2.VII per i ponti ferroviari. I valori dei coefficienti parziali di sicurezza γ_{Gi} e γ_{Qj} sono dati nel § 2.6.1.

$$M_{SLU} = 6,31 \text{ kNm/m}$$

Dove sono stati considerati i seguenti carichi:

- $G_{1,soletta} = 5,00 \text{ kN/m}$
- $G_{2,soletta} = 2,25 \text{ kN/m}$
- $Q_{neve} = 1,20 \text{ kN/m}$



RELAZIONE ILLUSTRATIVA E DI CALCOLO		
Data emissione: 20/05/2019	RST Relazione illustrativa e di calcolo strutturale.docx	84 di 267

Con (Tab. 2.6.I NTC2018):

- $\gamma_{G1} = 1,3$
- $\gamma_{G2} = 1,5$
- $\gamma_{Qi} = 1,5$

La verifica risulta essere soddisfatta:

$$\frac{M_{Ed}}{M_{Rd}} = 0,11 < 1$$

5.6.3 VERIFICA DELLA DEFORMABILITÀ A LUNGO TERMINE DELLA SOLETTA A

Con riferimento al paragrafo 4.1.2.2.2 delle NTC2018 e al relativo capitolo presente sulla circolare, è stata effettuata un'analisi relativa allo stato limite di deformazione a lungo termine della soletta che definisce lo sbalzo, tenendo conto degli effetti di viscosità. Considerando i carichi permanenti e il sovraccarico accidentale dato dalla neve, agenti su 1 m di soletta e combinati secondo la combinazione quasi-permanente allo SLE (par. 2.5.3 delle NTC2018), per la verifica si calcola il seguente:

2.5.3. COMBINAZIONI DELLE AZIONI

Ai fini delle verifiche degli stati limite, si definiscono le seguenti combinazioni delle azioni.

- Combinazione fondamentale, generalmente impiegata per gli stati limite ultimi (SLU):

$$\gamma_{G1} \cdot G_1 + \gamma_{G2} \cdot G_2 + \gamma_P \cdot P + \gamma_{Q1} \cdot Q_{k1} + \gamma_{Q2} \cdot \psi_{02} \cdot Q_{k2} + \gamma_{Q3} \cdot \psi_{03} \cdot Q_{k3} + \dots$$
 [2.5.1]
- Combinazione caratteristica, cosiddetta rara, generalmente impiegata per gli stati limite di esercizio (SLE) irreversibili:

$$G_1 + G_2 + P + Q_{k1} + \psi_{02} \cdot Q_{k2} + \psi_{03} \cdot Q_{k3} + \dots$$
 [2.5.2]
- Combinazione frequente, generalmente impiegata per gli stati limite di esercizio (SLE) reversibili:

$$G_1 + G_2 + P + \psi_{11} \cdot Q_{k1} + \psi_{22} \cdot Q_{k2} + \psi_{23} \cdot Q_{k3} + \dots$$
 [2.5.3]
- Combinazione quasi permanente (SLE), generalmente impiegata per gli effetti a lungo termine:

$$G_1 + G_2 + P + \psi_{21} \cdot Q_{k1} + \psi_{22} \cdot Q_{k2} + \psi_{23} \cdot Q_{k3} + \dots$$
 [2.5.4]
- Combinazione sismica, impiegata per gli stati limite ultimi e di esercizio connessi all'azione sismica E:

$$E + G_1 + G_2 + P + \psi_{21} \cdot Q_{k1} + \psi_{22} \cdot Q_{k2} + \dots$$
 [2.5.5]
- Combinazione eccezionale, impiegata per gli stati limite ultimi connessi alle azioni eccezionali A:

$$G_1 + G_2 + P + A_d + \psi_{21} \cdot Q_{k1} + \psi_{22} \cdot Q_{k2} + \dots$$
 [2.5.6]

Gli effetti dell'azione sismica saranno valutati tenendo conto delle masse associate ai seguenti carichi gravitazionali:

$$G_1 + G_2 + \sum_j \psi_{2j} Q_{kj} \quad [2.5.7]$$

Nelle combinazioni si intende che vengano omissi i carichi Q_{kj} che danno un contributo favorevole ai fini delle verifiche e, se del caso, i carichi G_2 .

Altre combinazioni sono da considerare in funzione di specifici aspetti (p. es. fatica, ecc.).

Nelle formule sopra riportate il simbolo "+" vuol dire "combinato con".

I valori dei coefficienti ψ_{0j} , ψ_{1j} e ψ_{2j} sono dati nella Tab. 2.5.I oppure nella Tab. 5.1.VI per i ponti stradali e nella Tab. 5.2.VII per i ponti ferroviari. I valori dei coefficienti parziali di sicurezza γ_{Gi} e γ_{Qi} sono dati nel § 2.6.1.

$$q_{SLE} = 6,40 \text{ kN/m}$$

Dove sono stati considerati i seguenti carichi:

- $G_{1,soletta} = 5,00 \text{ kN/m}$
- $G_{2,soletta} = 1,40 \text{ kN/m}$



RELAZIONE ILLUSTRATIVA E DI CALCOLO		
Data emissione: 20/05/2019	RST Relazione illustrativa e di calcolo strutturale.docx	85 di 267

- $Q_{neve} = 1,20 \text{ kN/m}$

Con (da Tab. 2.5.I NTC2018):

- $\Psi_{21} = 0,0$

Considerando il momento agli SLE quasi permanenti, il valore del momento flettente agente (dal modello) è:

$$M_{Ed} = 10,37 \text{ kNm}$$

Il momento di prima fessurazione vale

$$M_{CR} = f_{ctm,flex} \frac{bh^2}{6} = 20,53 \text{ kNm}$$

Dove:

- $f_{ctm,flex} = 1,2f_{ctm} = 1,2 \left(0,3f_{ck}^{2/3} \right) = 3,08 \text{ N/mm}^2$
- $b = 1000 \text{ mm}$ considerando 1 m di soletta
- $h = 200 \text{ mm}$ altezza della soletta

Si considera un modulo di Young ridotto, pari a:

$$E_{cm,eff} = \frac{E_{cm}}{1 + \varphi} = 8816,75 \text{ N/mm}^2$$

Dove:

- E_{cm} è il modulo elastico del calcestruzzo considerato, C25/30 (par. 11.2.10.3 NTC2018):

$$E_{cm} = 22000 \left(\frac{f_{cm}}{10} \right)^{0,3} = 31475,81 \text{ N/mm}^2$$

Con $f_{cm} = f_{ck} + 8 = 33,00 \text{ N/mm}^2$ valore medio della resistenza cilindrica a compressione (par. 11.2.10.1 NTC2018).

- φ è il coefficiente di viscosità a tempo infinito ($\varphi(\infty, t_0)$) definito al par. 11.2.10.7 delle NTC2018. Considerando un'atmosfera con umidità relativa di circa il 55% e la dimensione fittizia h_0 definita nel par. 11.2.10.6:

$$h_0 = 2 \frac{A_c}{u} = 167 \text{ mm}$$

Con A_c area della sezione in calcestruzzo (200000 mm^2) e u perimetro della sezione in calcestruzzo esposto all'aria (si considera l'intero perimetro della sezione, a favore di sicurezza, 2400 mm). Da h_0 si ricava il valore di $\varphi(\infty, t_0)$ per interpolazione lineare dalla tabella della normativa, considerando $t_0 = 30 \text{ giorni}$:



RELAZIONE ILLUSTRATIVA E DI CALCOLO		
Data emissione: 20/05/2019	RST Relazione illustrativa e di calcolo strutturale.docx	86 di 267

Tab. 11.2.VII - Valori di $\phi(\infty, t_0)$. Atmosfera con umidità relativa di circa il 55%

t_0	$h_0 \leq 75$ mm	$h_0 = 150$ mm	$h_0 = 300$ mm	$h_0 \geq 600$ mm
3 giorni	4,5	4,0	3,6	3,3
7 giorni	3,7	3,3	3,0	2,8
15 giorni	3,3	3,0	2,7	2,5
30 giorni	2,9	2,6	2,3	2,2
≥ 60 giorni	2,5	2,3	2,1	1,9

Dall'interpolazione lineare dei due valori indicati nella tabella si ottiene infine:

$$\phi(\infty, t_0) = 2,57$$

Il coefficiente di omogenizzazione vale:

$$n_{eff} = \frac{E_s}{E_{cm,eff}} = \frac{210000}{9257,59} = 23,82$$

Con E_s , anch'esso in N/mm^2 , è il modulo elastico dell'acciaio.

Dato che si riscontra $M_{CR} > M_{Ed}$ si procede con il calcolo della freccia della sola sezione non fessurata. Questo concetto è presente nella norma UNI EN 1992-1-1 al paragrafo 7.4.3, dove per sezione non fessurata il coefficiente di distribuzione è uguale a 0, quindi la freccia finale è uguale a quella calcolata nello stadio in cui la sezione non è, appunto, fessurata. Si riporta di seguito l'estratto corrispondente:



RELAZIONE ILLUSTRATIVA E DI CALCOLO		
Data emissione: 20/05/2019	RST Relazione illustrativa e di calcolo strutturale.docx	87 di 267

7.4.3 Checking deflections by calculation

(1)P Where a calculation is deemed necessary, the deformations shall be calculated under load conditions which are appropriate to the purpose of the check.

(2)P The calculation method adopted shall represent the true behaviour of the structure under relevant actions to an accuracy appropriate to the objectives of the calculation.

(3) Members which are not expected to be loaded above the level which would cause the tensile strength of the concrete to be exceeded anywhere within the member should be considered to be uncracked. Members which are expected to crack, but may not be fully cracked, will behave in a manner intermediate between the uncracked and fully cracked conditions and, for members subjected mainly to flexure, an adequate prediction of behaviour is given by Expression (7.18):

$$\alpha = \zeta \alpha_{II} + (1 - \zeta) \alpha_I \quad (7.18)$$

where

α is the deformation parameter considered which may be, for example, a strain, a curvature, or a rotation. (As a simplification, α may also be taken as a deflection - see (6) below)

α_I , α_{II} are the values of the parameter calculated for the uncracked and fully cracked conditions respectively

ζ is a distribution coefficient (allowing for tensioning stiffening at a section) given by Expression (7.19):

$$\zeta = 1 - \beta \left(\frac{\sigma_{sr}}{\sigma_s} \right)^2 \quad (7.19)$$

$\zeta = 0$ for uncracked sections

β is a coefficient taking account of the influence of the duration of the loading or of repeated loading on the average strain

= 1,0 for a single short-term loading

= 0,5 for sustained loads or many cycles of repeated loading

σ_s is the stress in the tension reinforcement calculated on the basis of a cracked section

σ_{sr} is the stress in the tension reinforcement calculated on the basis of a cracked section under the loading conditions causing first cracking

Note: σ_{sr}/σ_s may be replaced by M_{cr}/M for flexure or N_{cr}/N for pure tension, where M_{cr} is the cracking moment and N_{cr} is the cracking force.

Stadio 1 – sezione non fessurata

Calcolo del momento statico rispetto al lembo superiore della sezione:

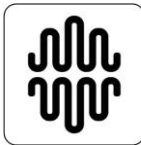
$$S_s = 0,0246 \text{ m}^3$$

Posizione asse neutro:

$$x = \frac{S_s}{A} = 0,099 \text{ m}$$

Dove:

$$A = bh + n_{eff} A_s + n_{eff} A'_s = 0,248 \text{ m}^2$$



RELAZIONE ILLUSTRATIVA E DI CALCOLO		
Data emissione: 20/05/2019	RST Relazione illustrativa e di calcolo strutturale.docx	88 di 267

Con questi dati si ricava il momento d'inerzia:

$$J = 0,00078 \text{ m}^4$$

Freccia con sezione interamente reagente (schema statico mensola):

$$p = \frac{q_{SLE} l^4}{8 E_{cm,eff} J} = 1,22 \text{ mm}$$

Dove la luce della mensola $l = 1,80 \text{ m}$.

Come detto, assumendo il fattore di distribuzione $\xi = 0$, si ottiene che il valore di calcolo della deformazione (spostamento) per la verifica di deformabilità a lungo termine:

$$p^* = p = 1,22 \text{ mm}$$

Facendo sempre riferimento alla circolare esplicativa delle NTC2018, il limite consentito per uno schema statico di tipo mensola è:

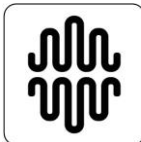
$$\frac{2l}{500} = 7,2 \text{ mm} > 1,22 \text{ mm}$$

Dove $l = 1,8 \text{ m}$ è la luce della mensola.

La verifica risulta essere soddisfatta.

5.6.4 VERIFICA DELLA DEFORMABILITÀ A LUNGO TERMINE DELLA SOLETTA B

Con riferimento al paragrafo 4.1.2.2.2 delle NTC2018 e al relativo capitolo presente sulla circolare, è stata effettuata un'analisi relativa allo stato limite di deformazione a lungo termine della soletta che definisce lo sbalzo, tenendo conto degli effetti di viscosità. Considerando i carichi permanenti e il sovraccarico accidentale dato dalla neve, agenti su 1 m di soletta e combinati secondo la combinazione quasi-permanente allo SLE (par. 2.5.3 delle NTC2018), per la verifica si calcola il seguente:



RELAZIONE ILLUSTRATIVA E DI CALCOLO		
Data emissione: 20/05/2019	RST Relazione illustrativa e di calcolo strutturale.docx	89 di 267

2.5.3. COMBINAZIONI DELLE AZIONI

Ai fini delle verifiche degli stati limite, si definiscono le seguenti combinazioni delle azioni.

- Combinazione fondamentale, generalmente impiegata per gli stati limite ultimi (SLU):

$$\gamma_{G1} \cdot G_1 + \gamma_{G2} \cdot G_2 + \gamma_P \cdot P + \gamma_{Q1} \cdot Q_{k1} + \gamma_{Q2} \cdot \psi_{02} \cdot Q_{k2} + \gamma_{Q3} \cdot \psi_{03} \cdot Q_{k3} + \dots$$
 [2.5.1]
- Combinazione caratteristica, cosiddetta rara, generalmente impiegata per gli stati limite di esercizio (SLE) irreversibili:

$$G_1 + G_2 + P + Q_{k1} + \psi_{02} \cdot Q_{k2} + \psi_{03} \cdot Q_{k3} + \dots$$
 [2.5.2]
- Combinazione frequente, generalmente impiegata per gli stati limite di esercizio (SLE) reversibili:

$$G_1 + G_2 + P + \psi_{11} \cdot Q_{k1} + \psi_{22} \cdot Q_{k2} + \psi_{23} \cdot Q_{k3} + \dots$$
 [2.5.3]
- Combinazione quasi permanente (SLE), generalmente impiegata per gli effetti a lungo termine:

$$G_1 + G_2 + P + \psi_{21} \cdot Q_{k1} + \psi_{22} \cdot Q_{k2} + \psi_{23} \cdot Q_{k3} + \dots$$
 [2.5.4]
- Combinazione sismica, impiegata per gli stati limite ultimi e di esercizio connessi all'azione sismica E:

$$E + G_1 + G_2 + P + \psi_{21} \cdot Q_{k1} + \psi_{22} \cdot Q_{k2} + \dots$$
 [2.5.5]
- Combinazione eccezionale, impiegata per gli stati limite ultimi connessi alle azioni eccezionali A:

$$G_1 + G_2 + P + A_d + \psi_{21} \cdot Q_{k1} + \psi_{22} \cdot Q_{k2} + \dots$$
 [2.5.6]

Gli effetti dell'azione sismica saranno valutati tenendo conto delle masse associate ai seguenti carichi gravitazionali:

$$G_1 + G_2 + \sum_j \psi_{2j} Q_{kj} \quad [2.5.7]$$

Nelle combinazioni si intende che vengano omessi i carichi Q_{kj} che danno un contributo favorevole ai fini delle verifiche e, se del caso, i carichi G_2 .

Altre combinazioni sono da considerare in funzione di specifici aspetti (p. es. fatica, ecc.).

Nelle formule sopra riportate il simbolo "+" vuol dire "combinato con".

I valori dei coefficienti ψ_{0j} , ψ_{1j} e ψ_{2j} sono dati nella Tab. 2.5.I oppure nella Tab. 5.1.VI per i ponti stradali e nella Tab. 5.2.VII per i ponti ferroviari. I valori dei coefficienti parziali di sicurezza γ_{Gi} e γ_{Qi} sono dati nel § 2.6.1.

$$q_{SLE} = 7,25 \text{ kN/m}$$

Dove sono stati considerati i seguenti carichi:

- $G_{1,soletta} = 5,00 \text{ kN/m}$
- $G_{2,soletta} = 2,25 \text{ kN/m}$
- $Q_{neve} = 1,20 \text{ kN/m}$

Con (da Tab. 2.5.I NTC2018):

- $\Psi_{21} = 0,0$

Considerando il momento agli SLE quasi permanenti, il valore del momento flettente agente (dal modello) è:

$$M_{Ed} = 3,92 \text{ kNm}$$

Il momento di prima fessurazione vale

$$M_{CR} = f_{ctm,flex} \frac{bh^2}{6} = 20,52 \text{ kNm}$$

Dove:

- $f_{ctm,flex} = 1,2 f_{ctm} = 1,2 \left(0,3 f_{ck}^{2/3} \right) = 3,08 \text{ N/mm}^2$
- $b = 1000 \text{ mm}$ considerando 1 m di soletta
- $h = 200 \text{ mm}$ altezza della soletta

Si considera un modulo di Young ridotto, pari a:



RELAZIONE ILLUSTRATIVA E DI CALCOLO		
Data emissione: 20/05/2019	RST Relazione illustrativa e di calcolo strutturale.docx	90 di 267

$$E_{cm,eff} = \frac{E_{cm}}{1 + \varphi} = 8816,75 \text{ N/mm}^2$$

Dove:

- E_{cm} è il modulo elastico del calcestruzzo considerato, C25/30 (par. 11.2.10.3 NTC2018):

$$E_{cm} = 22000 \left(\frac{f_{cm}}{10} \right)^{0,3} = 31475,81 \text{ N/mm}^2$$

Con $f_{cm} = f_{ck} + 8 = 33,00 \text{ N/mm}^2$ valore medio della resistenza cilindrica a compressione (par. 11.2.10.1 NTC2018).

- φ è il coefficiente di viscosità a tempo infinito ($\varphi(\infty, t_0)$) definito al par. 11.2.10.7 delle NTC2018. Considerando un'atmosfera con umidità relativa di circa il 55% e la dimensione fittizia h_0 definita nel par. 11.2.10.6:

$$h_0 = 2 \frac{A_c}{u} = 167 \text{ mm}$$

Con A_c area della sezione in calcestruzzo (250000 mm^2) e u perimetro della sezione in calcestruzzo esposto all'aria (si considera l'intero perimetro della sezione, a favore di sicurezza, 2500 mm). Da h_0 si ricava il valore di $\varphi(\infty, t_0)$ per interpolazione lineare dalla tabella della normativa, considerando $t_0 = 30 \text{ giorni}$:

Tab. 11.2.VII - Valori di $\phi(\infty, t_0)$. Atmosfera con umidità relativa di circa il 55%

t_0	$h_0 \leq 75 \text{ mm}$	$h_0 = 150 \text{ mm}$	$h_0 = 300 \text{ mm}$	$h_0 \geq 600 \text{ mm}$
3 giorni	4,5	4,0	3,6	3,3
7 giorni	3,7	3,3	3,0	2,8
15 giorni	3,3	3,0	2,7	2,5
30 giorni	2,9	2,6	2,3	2,2
$\geq 60 \text{ giorni}$	2,5	2,3	2,1	1,9

Dall'interpolazione lineare dei due valori indicati nella tabella si ottiene infine:

$$\varphi(\infty, t_0) = 2,57$$

Il coefficiente di omogenizzazione vale:

$$n_{eff} = \frac{E_s}{E_{cm,eff}} = \frac{210000}{9257,59} = 23,82$$

Con E_s , anch'esso in N/mm^2 , è il modulo elastico dell'acciaio.

Dato che si riscontra $M_{CR} > M_{Ed}$ si procede con il calcolo della freccia della sola sezione non fessurata. Questo concetto è presente nella norma UNI EN 1992-1-1 al paragrafo 7.4.3, dove per sezione non fessurata il coefficiente di distribuzione è uguale a 0, quindi la freccia finale è



RELAZIONE ILLUSTRATIVA E DI CALCOLO		
Data emissione: 20/05/2019	RST Relazione illustrativa e di calcolo strutturale.docx	91 di 267

uguale a quella calcolata nello stadio in cui la sezione non è, appunto, fessurata. Si riporta di seguito l'estratto corrispondente:

7.4.3 Checking deflections by calculation

(1)P Where a calculation is deemed necessary, the deformations shall be calculated under load conditions which are appropriate to the purpose of the check.

(2)P The calculation method adopted shall represent the true behaviour of the structure under relevant actions to an accuracy appropriate to the objectives of the calculation.

(3) Members which are not expected to be loaded above the level which would cause the tensile strength of the concrete to be exceeded anywhere within the member should be considered to be uncracked. Members which are expected to crack, but may not be fully cracked, will behave in a manner intermediate between the uncracked and fully cracked conditions and, for members subjected mainly to flexure, an adequate prediction of behaviour is given by Expression (7.18):

$$\alpha = \zeta \alpha_{II} + (1 - \zeta) \alpha_I \quad (7.18)$$

where

α is the deformation parameter considered which may be, for example, a strain, a curvature, or a rotation. (As a simplification, α may also be taken as a deflection - see (6) below)

α_I , α_{II} are the values of the parameter calculated for the uncracked and fully cracked conditions respectively

ζ is a distribution coefficient (allowing for tensioning stiffening at a section) given by Expression (7.19):

$$\zeta = 1 - \beta \left(\frac{\sigma_{sr}}{\sigma_s} \right)^2 \quad (7.19)$$

$\zeta = 0$ for uncracked sections

β is a coefficient taking account of the influence of the duration of the loading or of repeated loading on the average strain

= 1,0 for a single short-term loading

= 0,5 for sustained loads or many cycles of repeated loading

σ_s is the stress in the tension reinforcement calculated on the basis of a cracked section

σ_{sr} is the stress in the tension reinforcement calculated on the basis of a cracked section under the loading conditions causing first cracking

Note: σ_{sr}/σ_s may be replaced by M_{cr}/M for flexure or N_{cr}/N for pure tension, where M_{cr} is the cracking moment and N_{cr} is the cracking force.

Stadio 1 – sezione non fessurata

Calcolo del momento statico rispetto al lembo superiore della sezione:

$$S_s = 0,0246 \text{ m}^3$$

Posizione asse neutro:

$$x = \frac{S_s}{A} = 0,099 \text{ m}$$



RELAZIONE ILLUSTRATIVA E DI CALCOLO		
Data emissione: 20/05/2019	RST Relazione illustrativa e di calcolo strutturale.docx	92 di 267

Dove:

$$A = bh + n_{eff}A_s + n_{eff}A'_s = 0,248 \text{ m}^2$$

Con questi dati si ricava il momento d'inerzia:

$$J = 0,00078 \text{ m}^4$$

Freccia con sezione interamente reagente (schema statico mensola):

$$p = \frac{q_{SLE} l^4}{8 E_{cm,eff} J} = 0,152 \text{ mm}$$

Dove la luce della mensola $l = 1,04 \text{ m}$.

Come detto, assumendo il fattore di distribuzione $\xi = 0$, si ottiene che il valore di calcolo della deformazione (spostamento) per la verifica di deformabilità a lungo termine:

$$p^* = p = 0,152 \text{ mm}$$

Facendo sempre riferimento alla circolare esplicativa delle NTC2018, il limite consentito per uno schema statico di tipo mensola è:

$$\frac{2l}{500} = 4,16 \text{ mm} > 0,152 \text{ mm}$$

Dove $l = 1,04 \text{ m}$ è la luce della mensola.

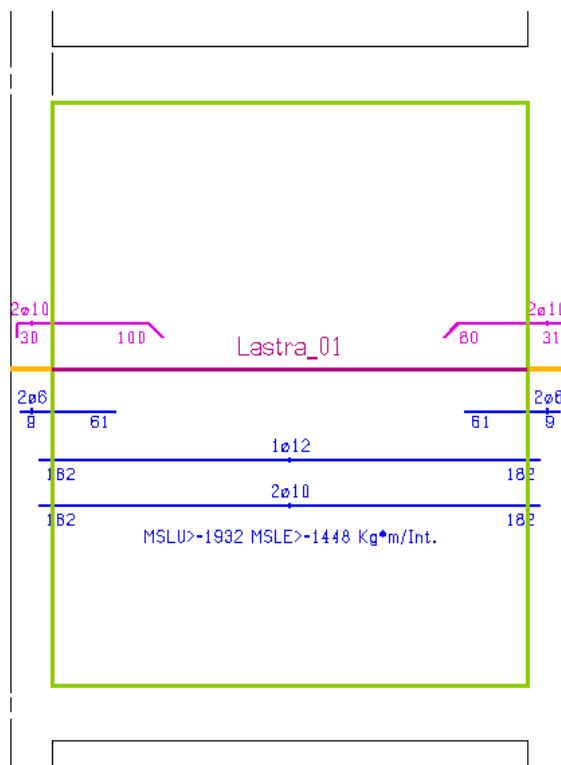
La verifica risulta essere soddisfatta.

5.7 Analisi dei solai in predalles presenti nella struttura

Si riporta di seguito i risultati derivanti dalle analisi allo SLU e allo SLE eseguite sui solai predalles presenti sulla copertura del corpo ingresso eseguite con l'ausilio del programma "A.M.V. Solai". Si riportano, inoltre, le armature necessarie calcolate dal programma per sopportare le sollecitazioni agenti:



RELAZIONE ILLUSTRATIVA E DI CALCOLO		
Data emissione: 20/05/2019	RST Relazione illustrativa e di calcolo strutturale.docx	93 di 267



DATI DIMENSIONALI, CARICHI E PARAMETRI DI PROGETTO SOLAIO A LASTRE

Riferimento: Solai predalles Marzabotto Schema: Lastra_01

CAMPATE

	+-----+
	1
	+-----+
Interasse (m)	3,74
	+-----+

APPOGGI

	+-----+
Larghezza (m)	0,30 0,30
	+-----+
Coeff.riduz.mom.neg.	0 0
	+-----+
Largh. spunt. (m)	0,25 0,25
	+-----+
Tipo appoggio	T T
	+-----+

CARICHI DISTRIBUITI UNIFORMI (POSITIVI SE RIVOLTI VERSO IL BASSO) E RELATIVE ASTE DI APPLICAZIONE

Unita' di misura: kg/m²

PARAMETRI DI CARICO		ASTE INTERESSATE	
+-----+		+-----+	
N. permanenti variabili	1	1	
(accidentali)			
+-----+		+-----+	
1 570 120	*	*	
+-----+		+-----+	

FATTORI DI SICUREZZA PARZIALE SUI CARICHI S.L.U. E S.L.E.

Fattore di sicurezza per carichi permanenti S.L.U.: 1.3 S.L.E.: 1



RELAZIONE ILLUSTRATIVA E DI CALCOLO		
Data emissione: 20/05/2019	RST Relazione illustrativa e di calcolo strutturale.docx	94 di 267

Fattore di sicurezza per carichi variabili S.L.U.: 1.5 S.L.E.: 0.7

CARATTERISTICHE DEI MATERIALI E DELLE SEZIONI DI PROGETTO

Resistenza calcestruzzo Rck	kg/cm ²	300
fyk	kg/cm ²	4580
Copriferro armatura base di confezione (cm)		2
Copriferro armatura superiore (cm)		4
Copriferro armatura aggiunt. inferiore (cm)		6
Altezza solaio (cm)		4+16+5
Interasse (cm)		120
Tipo blocco		Non collaborante
Condizione ambientale		Ordinaria
Combinazione SLE		Rara
Aliquota/Momento di sicurezza app. SX		14
Aliquota/Momento di sicurezza app. DX		14
Aliq. momento massimo positivo in campata		16
Verifica a taglio		Ottimizzata

Tabella delle sollecitazioni, indici di resistenza e delle armature solaio a lastre

(riferite all'interasse del solaio)

CALCOLO ALLO STATO LIMITE ULTIMO

Riferimento: Solai predalles Marzabotto Schema: Lastra_01

CAMPATA 1

x	M max	M min	V max	V min	a.inf	a.sup	Indice resistenza		Note
(m)	(kg *m)		(kg)			(cm ²)	Flessione	Taglio	
0,00	170	-1104	2067	1663	0,24	1,36	0,99	0,18	
0,15	467	-1104	1901	1529	2,10	0,83	0,98	0,50	
0,37	848	-667	1653	1330	2,10	0,27	0,98	0,44	
0,75	1360	-209	1240	998	2,10	0,00	0,87	0,33	
1,12	1712	1377	827	665	2,34	0,00	0,99	0,22	
1,50	1908	1535	413	333	2,62	0,00	0,99	0,11	
1,87	1932	1555	0	0	2,66	0,00	0,98	0,00	
2,24	1908	1535	-333	-413	2,62	0,00	0,99	0,11	
2,62	1712	1377	-665	-827	2,34	0,00	0,99	0,22	
2,99	1360	-209	-998	-1240	2,10	0,00	0,87	0,33	
3,37	848	-667	-1330	-1653	2,10	0,27	0,98	0,44	
3,59	467	-1104	-1529	-1901	2,10	0,83	0,98	0,50	
3,74	170	-1104	-1663	-2067	0,24	1,36	0,99	0,18	

REAZIONI D'APPOGGIO

(riferite all'interasse)

BARRE A TAGLIO AGLI APPOGGI

Num. app.	MAX (kg)	MIN (kg)	Ø (mm)	LUNGH.TOT. (m)
1	2067	1663	2Ø 6	0,70
2	2067	1663	2Ø 6	0,70

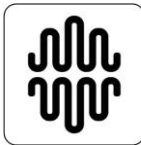
TABELLA DEI MOMENTI MASSIMI IN CAMPATA (rif. all'interasse)

Mensola/ Campata	Mom.max	a.inf	Indice resistenza flessione
n.	(kg *m)	(cm ²)	
1	1932	2,66	0,989

Tabella delle sollecitazioni delle tensioni e delle armature solaio a lastre

(riferite all'interasse del solaio)

CALCOLO ALLO STATO LIMITE DI ESERCIZIO



RELAZIONE ILLUSTRATIVA E DI CALCOLO		
Data emissione: 20/05/2019	RST Relazione illustrativa e di calcolo strutturale.docx	95 di 267

Riferimento: Solai predalles Marzabotto Schema: Lastra_01

CAMPATA 1

x	max M	min M	max V	min V	a.inf	a.sup	Sc	Slat	Sf	winf	wsup	Note
(m)	(kg *m)		(kg)		(cm ²)			(kg/cm ²)		(mm)		
0,00	0	-827	1548	1468	0,24	1,36	-5,58		37	0,00	0,00	
0,15	223	-616	1424	1350	2,10	0,83	-5,09	-2,90	32	0,00	0,00	
0,37	521	-333	1239	1174	2,10	0,27	-4,10	-2,30	24	0,00	0,00	
0,75	927	878	929	881	2,10	0,00	-7,31	-4,10	42	0,00	0,00	
1,12	1216	1153	619	587	2,34	0,00	-9,59	-5,40	55	0,00	0,00	
1,50	1390	1317	310	294	2,62	0,00	-10,96	-6,20	63	0,00	0,00	
1,87	1448	1372	0	0	2,66	0,00	-11,41	-6,40	65	0,00	0,00	
2,24	1390	1317	-294	-310	2,62	0,00	-10,96	-6,20	63	0,00	0,00	
2,62	1216	1153	-587	-619	2,34	0,00	-9,59	-5,40	55	0,00	0,00	
2,99	927	878	-881	-929	2,10	0,00	-7,31	-4,10	42	0,00	0,00	
3,37	521	-333	-1174	-1239	2,10	0,27	-4,10	-2,30	24	0,00	0,00	
3,59	223	-616	-1350	-1424	2,10	0,83	-5,09	-2,90	32	0,00	0,00	
3,74	0	-827	-1468	-1548	0,24	1,36	-5,58		37	0,00	0,00	

REAZIONI D'APPOGGIO

(riferite all' interasse)

BARRE A TAGLIO AGLI APPOGGI

Num. app.	MAX (kg)	MIN (kg)	Ø (mm)	LUNGH.TOT. (m)
1	1548	1468	2Ø 6	0,70
2	1548	1468	2Ø 6	0,70

TABELLA DELLE FRECCHE E DEI MOMENTI MASSIMI IN CAMPATA (rif. all'interasse)

fmax > 0 = abbassamento Modulo di elasticita' = 200000 kg/cm²

Mensola/ Mom.inerzia Campata Sez.fess.	Mom.max	a.inf	Sc	Slat	Sf	winf	xfmax	fmax	fmax/l	Mom.inerzia convenzionale	Mom.inerzia sez.non.fess.
n. (cm ⁴)	(kg *m)	(cm ²)		(kg/cm ²)		(mm)	(m)	(cm)		(cm ⁴)	(cm ⁴)
1 128385	1448	2,66	-11,41	-6,40	65	0,00	1,87	0,09	1/4131	101438	128385

Tabella delle armature superiori, fasce piene e semipiene (solaio a lastre)

Riferimento: Solai predalles Marzabotto Schema: Lastra_01

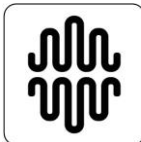
Num.	Ø	Lungh. sinistra	Lungh. destra
app. (mm)	(m)	(m)	(m)
1 2d10	0,30	1,00	
2 2d10	0,80	0,30	

Tabella delle armature inferiori (solaio a lastre)

Riferimento: Solai predalles Marzabotto Schema: Lastra_01

Campata 1 - Luce 3,74 m - Lunghezza Lastra 3,44 m

Barra	n	Ø (mm)	Lungh. sinistra (m)	Lungh. destra (m)	Lungh. Totale (m)
1	12		1,82	1,82	3,64
2	10		1,82	1,82	3,64



RELAZIONE ILLUSTRATIVA E DI CALCOLO		
Data emissione: 20/05/2019	RST Relazione illustrativa e di calcolo strutturale.docx	96 di 267

Indici di resistenza (SLU) effettivi di lavoro (rif. all'interasse) solaio a lastre

Riferimento: Solai predalles Marzabotto Schema: Lastra_01

Mensola/Campata	Ascissa	Momento	Taglio		a.inf		a.sup	Indice resistenza	
	(m)	(kg *m)	(kg)	(cm²)				flessione	taglio
1	0,00	170	2067	0,57	1,57			0,28	0,18
1	0,00	-1104	2067	0,57	1,57			0,79	0,18
1	0,15	467	1901	2,70	1,57			0,22	0,50
1	0,15	-1104	1901	2,70	1,57			0,60	0,50
1	1,87	1932	0	2,70	0,00			0,98	0,00
1	3,59	467	-1901	2,70	1,57			0,22	0,50
1	3,59	-1104	-1901	2,70	1,57			0,60	0,50
1	3,74	170	-2067	0,57	1,57			0,28	0,18
1	3,74	-1104	-2067	0,57	1,57			0,79	0,18

Tensioni massime (SLE) effettive di lavoro (rif. all'interasse) solaio a lastre

Riferimento: Solai predalles Marzabotto Schema: Lastra_01

Mensola/Campata	Ascissa	Momento	a.inf	a.sup	Sc	Slat	Sf	winf	wsup	Note
	(m)	(kg *m)	(cm²)	(cm²)	(kg/cm²)			(mm)		
1	0,00	-827	0,57	1,57	-5,57		36	0,00	0,00	
1	0,15	-616	2,70	1,57	-5,07		32	0,00	0,00	
1	1,87	1448	2,70	0,00	-11,41	-6,40	65	0,00	0,00	
1	3,59	-616	2,70	1,57	-5,07		32	0,00	0,00	
1	3,74	-827	0,57	1,57	-5,57		36	0,00	0,00	



RELAZIONE ILLUSTRATIVA E DI CALCOLO		
Data emissione: 20/05/2019	RST Relazione illustrativa e di calcolo strutturale.docx	97 di 267

6 MODELLI DI CALCOLO: CORPO SPOGLIATOI

Ai fini di verificare e determinare lo stato di sollecitazione degli elementi, è stata eseguita un'analisi numerica del corpo ingresso della palestra grazie all'ausilio del programma di calcolo agli elementi finiti Midas Gen.

A tal proposito risulta necessario fare alcune precisazioni: la complessità delle strutture in genere, l'articolazione delle caratteristiche costruttive e l'inevitabile approssimazione di tutte le tecniche di calcolo possibili, non consentono una "modellazione" esatta e reale del comportamento strutturale (influenzato anche dai singoli dettagli eseguiti in corso d'opera). Per tale motivazione sono stati analizzati i modelli di calcolo ritenuti più vicini al reale comportamento della struttura, eseguendo anche valutazioni su modellazioni diverse e confrontando, quando necessario, i risultati di più situazioni (e simulazioni) limite.

La modellazione delle strutture in progetto è stata effettuata in completa aderenza al progetto strutturale presentato. L'analisi e l'eventuale validazione della stessa è stata eseguita in via sintetica e conclusiva, consentono di valutare come affidabile l'impostazione globale dell'edificio.

6.1 Combinazione delle azioni

Ai fini delle verifiche agli stati limite, per il caso in esame, si definiscono le seguenti combinazioni delle azioni, in accordo con quanto riportato nelle NTC18:

Combinazione fondamentale, generalmente impiegata per gli stati limite ultimi (SLU):

$$F_d = \gamma_{G1}G_1 + \gamma_{G2}G_2 + \gamma_P P + \gamma_{q1}Q_{k1} + \sum_{i=2}^N \gamma_{qi}\psi_{0i}Q_{ki}$$

Combinazione caratteristica (rara), generalmente impiegata per gli stati limite di esercizio (SLE) irreversibili:

$$F_d = G_1 + G_2 + P + Q_{k1} + \sum_{i=2}^N \psi_{0i}Q_{ki}$$

dove:

F_d è l'azione di calcolo, la forza di progetto;

G_1 sono i carichi permanenti strutturali;

G_2 sono i carichi permanenti portati;

P è il valore caratteristico della forza di precompressione;

Q_{k1} è il valore caratteristico dell'azione variabile principale;

Q_{ki} sono i valori caratteristici delle azioni variabili secondarie, tra loro indipendenti;

i coefficienti parziali per le azioni sono stati assunti facendo riferimento alla situazione sfavorevole e valgono:



RELAZIONE ILLUSTRATIVA E DI CALCOLO		
Data emissione: 20/05/2019	RST Relazione illustrativa e di calcolo strutturale.docx	98 di 267

$$\gamma_{G1}=1,3$$

$$\gamma_{G2}=1,5$$

$$\gamma_P=1,0$$

$$\gamma_{Qi}=1,5$$

Si riporta di seguito la tabella di riferimento:

Tab. 2.6.I – Coefficienti parziali per le azioni o per l'effetto delle azioni nelle verifiche SLU

		Coefficiente γ_F	EQU	A1	A2
Carichi permanenti G_1	Favorevoli	γ_{G1}	0,9	1,0	1,0
	Sfavorevoli		1,1	1,3	1,0
Carichi permanenti non strutturali $G_2^{(1)}$	Favorevoli	γ_{G2}	0,8	0,8	0,8
	Sfavorevoli		1,5	1,5	1,3
Azioni variabili Q	Favorevoli	γ_Q	0,0	0,0	0,0
	Sfavorevoli		1,5	1,5	1,3

⁽¹⁾ Nel caso in cui l'intensità dei carichi permanenti non strutturali o di una parte di essi (ad es. carichi permanenti portati) sia ben definita in fase di progetto, per detti carichi o per la parte di essi nota si potranno adottare gli stessi coefficienti parziali validi per le azioni permanenti.

Nella Tab. 2.6.I il significato dei simboli è il seguente:

γ_{G1} coefficiente parziale dei carichi permanenti G_1 ;

γ_{G2} coefficiente parziale dei carichi permanenti non strutturali G_2 ;

γ_{Qi} coefficiente parziale delle azioni variabili Q.

ψ_{0i} sono i coefficienti di combinazione delle azioni che tengono conto della probabilità di non contemporaneità dei carichi accidentali e quindi sono coefficienti di deamplificazione (<1); vengono chiamati coefficienti di combinazione e per le analisi effettuate sono stati presi in considerazione quelli relativi al vento e alla neve a quota ≤ 1000 m s.l.m. :

Tab. 2.5.I – Valori dei coefficienti di combinazione

Categoria/Azione variabile	Ψ_{0j}	Ψ_{1j}	Ψ_{2j}
Categoria A - Ambienti ad uso residenziale	0,7	0,5	0,3
Categoria B - Uffici	0,7	0,5	0,3
Categoria C - Ambienti suscettibili di affollamento	0,7	0,7	0,6
Categoria D - Ambienti ad uso commerciale	0,7	0,7	0,6
Categoria E – Aree per immagazzinamento, uso commerciale e uso industriale Biblioteche, archivi, magazzini e ambienti ad uso industriale	1,0	0,9	0,8
Categoria F - Rimesse , parcheggi ed aree per il traffico di veicoli (per autoveicoli di peso ≤ 30 kN)	0,7	0,7	0,6



RELAZIONE ILLUSTRATIVA E DI CALCOLO		
Data emissione: 20/05/2019	RST Relazione illustrativa e di calcolo strutturale.docx	99 di 267

Categoria G – Rimesse, parcheggi ed aree per il traffico di veicoli (per autoveicoli di peso > 30 kN)	0,7	0,5	0,3
Categoria H - Coperture accessibili per sola manutenzione	0,0	0,0	0,0
Categoria I – Coperture praticabili	da valutarsi caso per caso		
Categoria K – Coperture per usi speciali (impianti, eliporti, ...)			
Vento	0,6	0,2	0,0
Neve (a quota ≤ 1000 m s.l.m.)	0,5	0,2	0,0
Neve (a quota > 1000 m s.l.m.)	0,7	0,5	0,2
Variazioni termiche	0,6	0,5	0,0

Combinazione sismica, sebbene non impiegata in questo caso, per gli stati limite connessi all'azione del sisma E:

$$F_d = E + G_1 + G_2 + P + \sum_{i=1}^N \psi_{2i} Q_{ki}$$

dove:

F_d è l'azione di calcolo, la forza di progetto;

E è l'azione sismica;

G_1 sono i carichi permanenti strutturali;

G_2 sono i carichi permanenti portati;

P è il valore caratteristico della forza di precompressione;

Q_{ki} sono i valori caratteristici delle azioni variabili secondarie, tra loro indipendenti;

ψ_{2i} sono i coefficienti di combinazione per le analisi sismiche.

6.2 Breve illustrazione dei codici di calcolo

6.2.1 MIDAS GEN

Midas Gen è un software di calcolo agli elementi finiti con cui è possibile modellare la struttura di interesse in un ambiente CAD utilizzando elementi quali nodi, aste e superfici piane e assegnando le relative caratteristiche geometriche e meccaniche; in questo modo, dopo aver opportunamente assegnato i vincoli ed i carichi agenti, il programma genera come output il valore delle sollecitazioni agenti con cui è possibile fare delle verifiche secondo la normativa di riferimento (in questo caso NTC2018).

Essendo un programma agli elementi finiti, sono presenti delle impostazioni (es. automesh) che permettono di discretizzare gli elementi geometrici, come le superfici, creando maggiori punti di controllo e quindi ottenere una maggiore precisione dei risultati.

Nel programma sono presenti delle librerie predefinite con le quali è possibile scegliere una normativa di riferimento e quindi impostare una determinata sezione o materiale.



RELAZIONE ILLUSTRATIVA E DI CALCOLO		
Data emissione: 20/05/2019	RST Relazione illustrativa e di calcolo strutturale.docx	100 di 267

È, inoltre, possibile modificare manualmente i parametri appena descritti in modo da personalizzare l'analisi in base alle proprie necessità e quindi creare un modello che sia il più possibile simile a quello reale.

Come già accennato, una volta realizzato il modello geometrico si possono assegnare i vincoli, esterni e interni, e i carichi agenti sulla struttura. Con Midas Gen è possibile svolgere analisi statiche o dinamiche, lineari o non lineari, e visualizzare i risultati sia in veste grafica che numerica. Dopo aver definito le diverse azioni di calcolo, queste possono essere combinate in modo automatico o manuale per poter eseguire le verifiche agli stati limite.

Una volta completato il modello di calcolo con le relative azioni è possibile visualizzare i diversi risultati in termini di sollecitazioni e spostamenti.

Il programma presenta, inoltre, delle opzioni che permettono di effettuare automaticamente le verifiche delle sezioni (es. verifiche delle sezioni in acciaio) seguendo le indicazioni della normativa vigente e suggerendo eventuali modifiche per ottimizzare il modello laddove la verifica non fosse soddisfatta.

6.3 Criteri di verifica

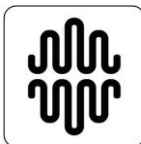
6.3.1 COMBINAZIONI DELLE AZIONI

Come già illustrato in precedenza le azioni verranno combinate in totale armonia con la normativa vigente ovvero le NTC18.

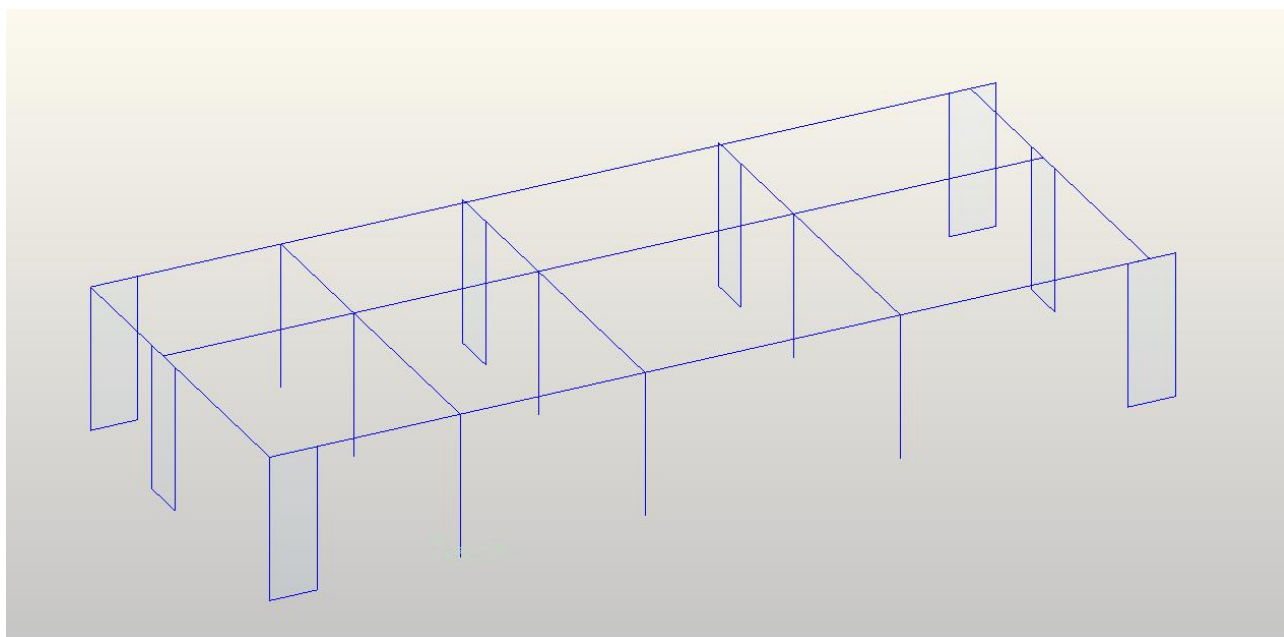
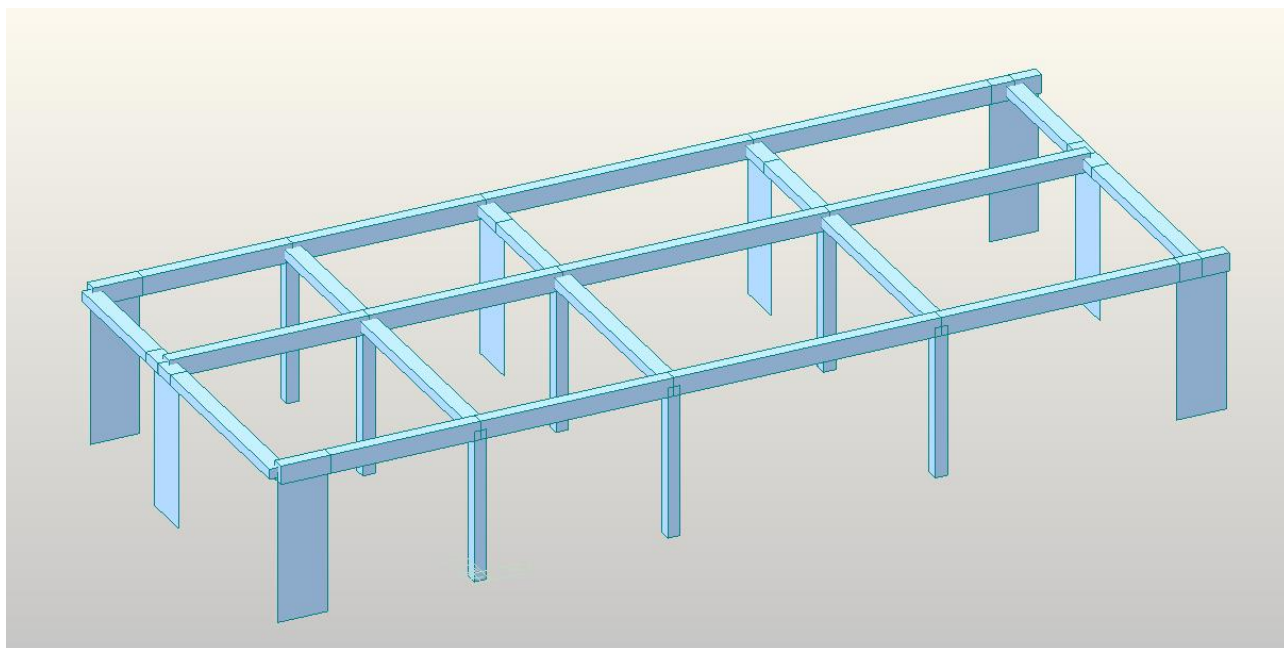
6.4 Criteri generali della modellazione

Il corpo spogliatoi è stato analizzato, come detto, tramite un modello agli elementi finiti.

Modello di calcolo della struttura:

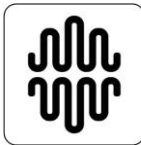


RELAZIONE ILLUSTRATIVA E DI CALCOLO		
Data emissione: 20/05/2019	RST Relazione illustrativa e di calcolo strutturale.docx	101 di 267



Nello specifico, la modellazione tridimensionale è stata così realizzata:

- gli elementi strutturali a prevalente sviluppo lineare, quali travi e pilastri, sono stati inseriti come elementi tipo “general beam/tapered beam”, definendo i nodi delle due estremità ed assegnando successivamente la geometria della sezione;
- i setti in c.a. sono stati realizzati come elementi “wall”, ovvero degli elementi 2D a 4 nodi che si comportano come degli elementi beam (1D) con dei link rigidi estesi quanto l'ingombro della parete che si sta modellando. Questi particolari elementi sono impiegati quando si desidera modellare pareti che lavorano come lame sismiche e sono ricondotti alla teoria della trave. Per considerare la rigidezza fuori dal piano (pari a quella dello spessore fuori dal piano), ad ogni elemento wall è attribuita la tipologia plate;



RELAZIONE ILLUSTRATIVA E DI CALCOLO		
Data emissione: 20/05/2019	RST Relazione illustrativa e di calcolo strutturale.docx	102 di 267

- il sistema di fondazioni in c.a. è caratterizzato da nervature e platea; questi elementi sono stati modellati con elementi superficie di tipo plate, opportunamente meshati. Alla platea di fondazione sono stati assegnati vincoli a molla con rigidezza pari a $1,2 \text{ kg/cm}^3$, a simulare la teoria di Winkler.

La valutazione degli effetti sismici sulla struttura è stata svolta secondo il par. 3.2 delle NTC18, attuando un'analisi lineare dinamica, come previsto dal par. 7.3.3.1 delle NTC18.

Le sollecitazioni derivanti dalla modellazione dell'edificio sono state utilizzate per la verifica dei singoli elementi strutturali (effettuata direttamente all'interno di Midas Gen).

6.4.1 MODELLAZIONE DELLA GEOMETRIA E DELLE PROPRIETÀ MECCANICHE

6.4.1.1 Midas Gen

Come già accennato in precedenza, il software Midas Gen è stato utilizzato per creare il modello tridimensionale dell'edificio in oggetto e ricavare gli spostamenti e le sollecitazioni della struttura nel suo complesso sotto le azioni statiche e sismiche, e per verificare gli elementi di fondazione ed elevazione realizzati in cemento armato.

Il corpo ingresso, a un piano fuori terra, è costituito da pilastri e setti con funzione di sostegno dei carichi verticali e da travi in altezza con funzione di sostegno dei solai. Le azioni orizzontali sono invece principalmente assorbite dai setti. I solai sono previsti piani di tipo predalles con dimensioni $4+16+5 \text{ cm}$. Come detto il corpo è rettangolare con una dimensione molto maggiore dell'altra, presenta ad un'estremità una soletta a sbalzo (tipo mensola) di circa $1,80 \text{ m}$. La copertura è piana.

Per la modellazione dei singoli elementi strutturali si rimanda a quanto detto nel paragrafo 5.4 della presente relazione.

6.4.2 MODELLAZIONE DEI VINCOLI INTERNI ED ESTERNI

Di seguito si riportano le condizioni di vincolo inserite nel software Midas Gen.

Considerando un modello spaziale i movimenti possibili sono sei:

$$u_x \ u_y \ u_z \ \varphi_x \ \varphi_y \ \varphi_z$$

ovvero:

u_x spostamento in direzione x , u_y spostamento in direzione y , u_z spostamento in direzione z ,
 φ_x rotazione attorno all'asse x , φ_y rotazione attorno all'asse y , φ_z rotazione attorno all'asse z .

Tutti i nodi alla base dei pilastri sono stati vincolati come incastro, ovvero bloccando tutti gli spostamenti e tutte le rotazioni. Tale scelta è stata effettuata in particolare per massimizzare i momenti sugli elementi resistenti fuori terra (pilastri e setti in c.a.).



RELAZIONE ILLUSTRATIVA E DI CALCOLO		
Data emissione: 20/05/2019	RST Relazione illustrativa e di calcolo strutturale.docx	103 di 267

Per le verifiche sulle fondazioni si è utilizzato invece un sotto modello su suolo elastico alla Winkler con coefficiente pari a $1,2 \text{ kg/cm}^3$.

6.4.3 CRITERI DI VERIFICA E RISULTATI

La valutazione della sicurezza degli elementi strutturali del presente progetto è stata svolta secondo il metodo agli stati limite, in accordo a quanto prescritto dalle NTC18. In particolare, per ogni elemento strutturale, sono state svolte verifiche di resistenza e di deformabilità rispettivamente agli stati limite ultimi e di esercizio.

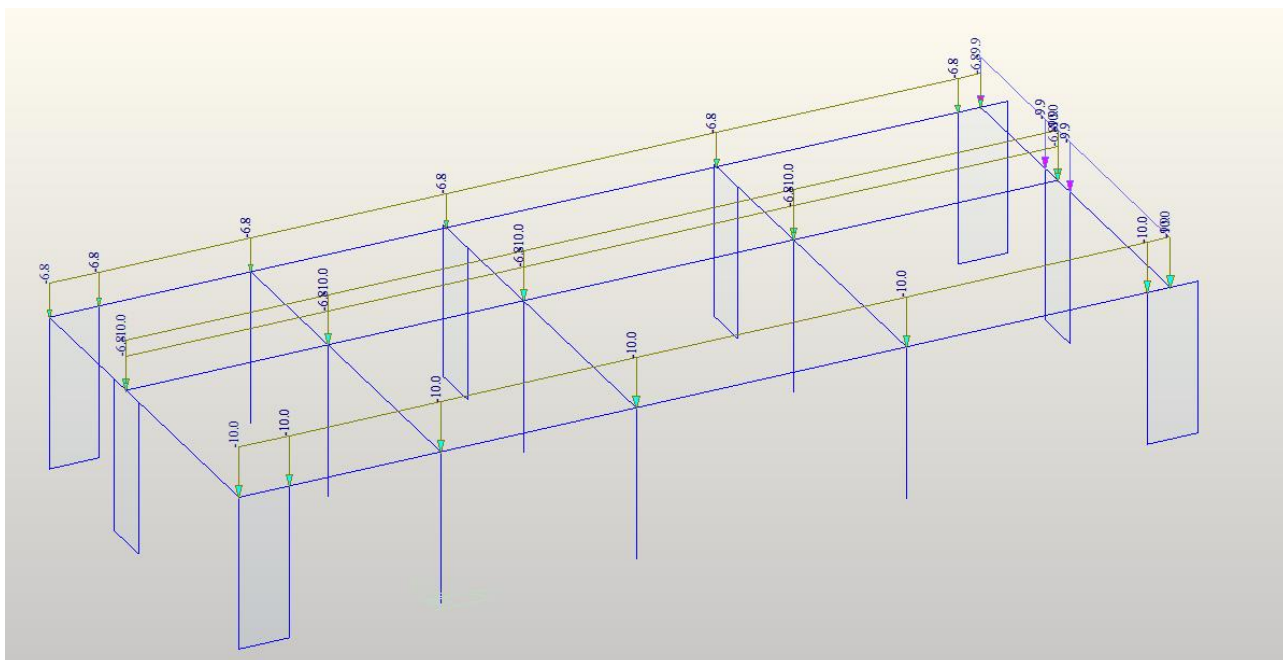
Le condizioni di carico elementari sono state combinate, in automatico all'interno dei programmi impiegati o con calcoli manuali, con coefficienti differenti in base alla tipologia, e sono state definite le varie combinazioni SLE ed SLU, definite dalle NTC18 al paragrafo 2.5.3.

6.4.3.1 Azioni di progetto sulla struttura – carichi

All'interno del modello tridimensionale sono stati inseriti i carichi statici e dinamici a cui è sottoposta la struttura.

Di seguito si riportano le schermate con i carichi principali inseriti in conformità alle analisi eseguite nei precedenti paragrafi:

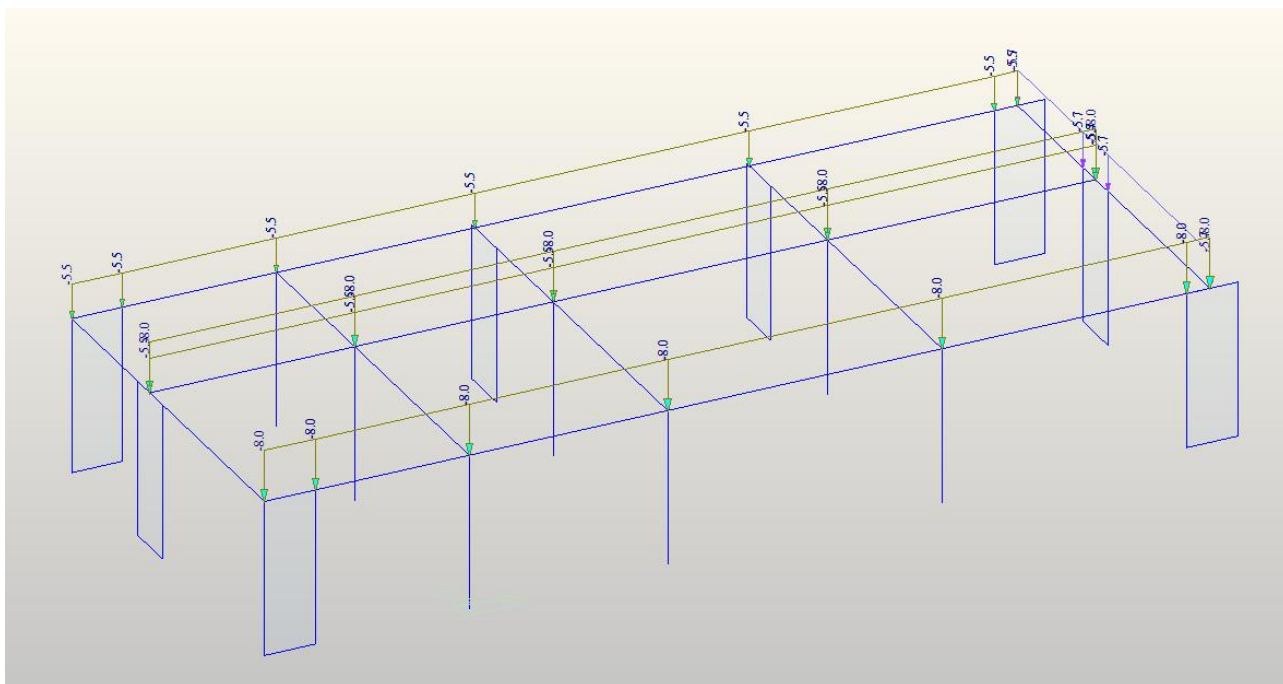
- Peso proprio solai e solette:



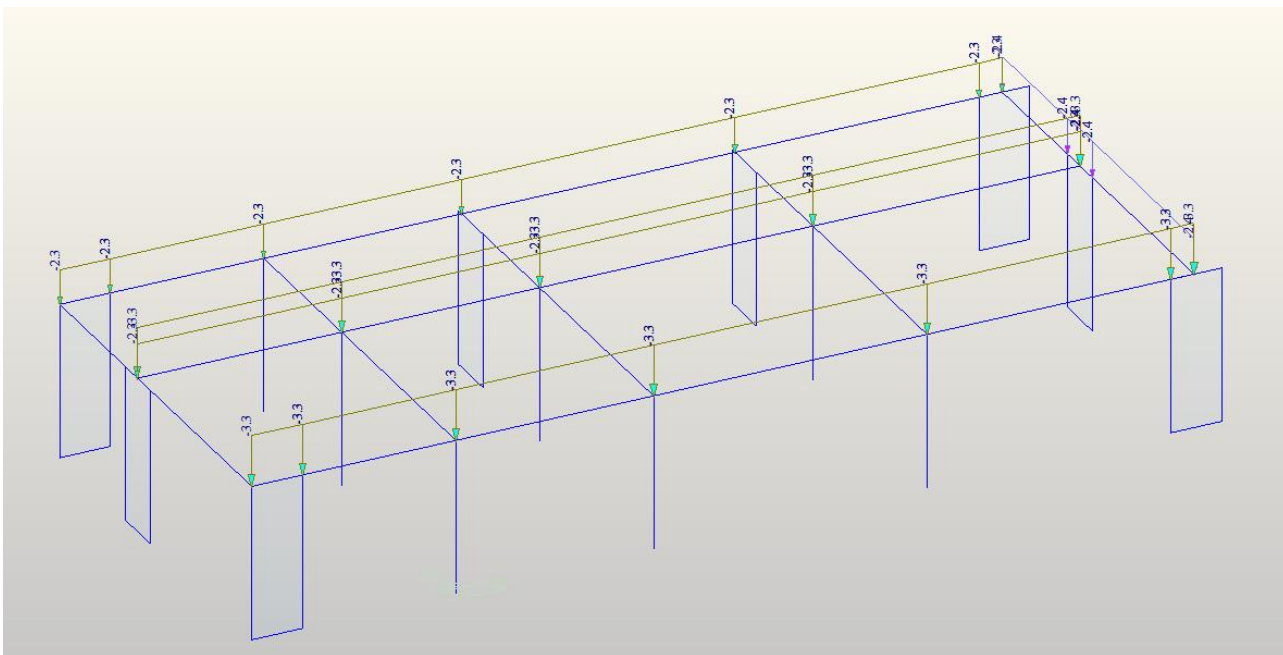
- Permanente non strutturale solai e solette:



RELAZIONE ILLUSTRATIVA E DI CALCOLO		
Data emissione: 20/05/2019	RST Relazione illustrativa e di calcolo strutturale.docx	104 di 267



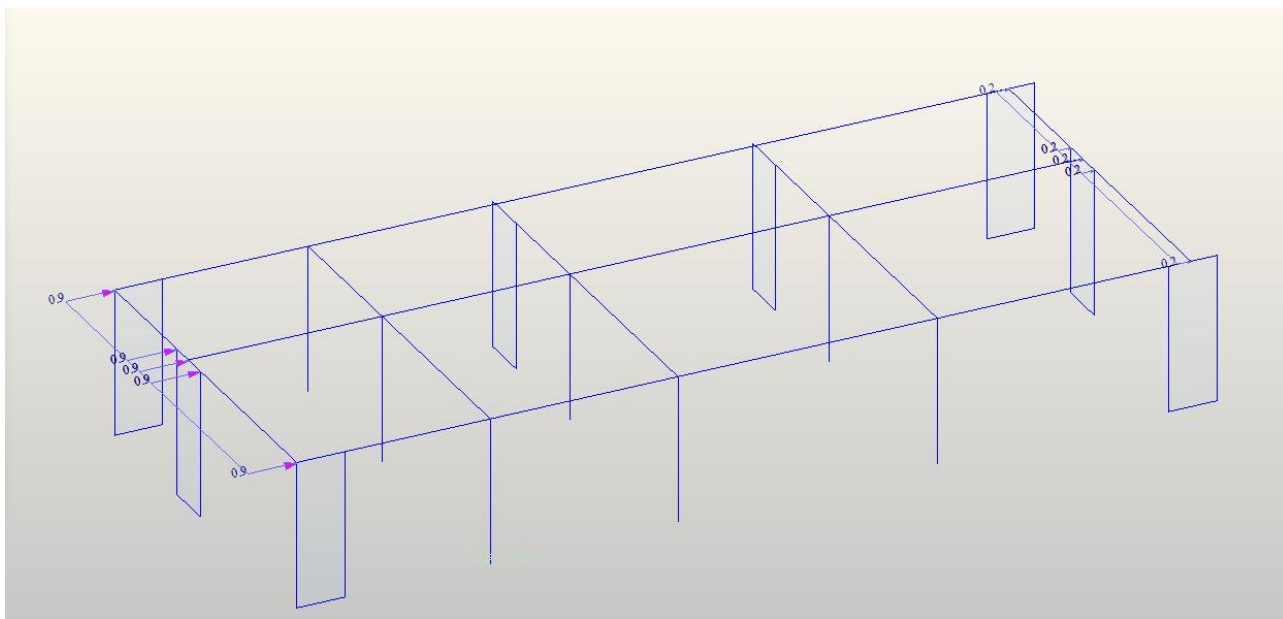
- Variabili copertura (neve):



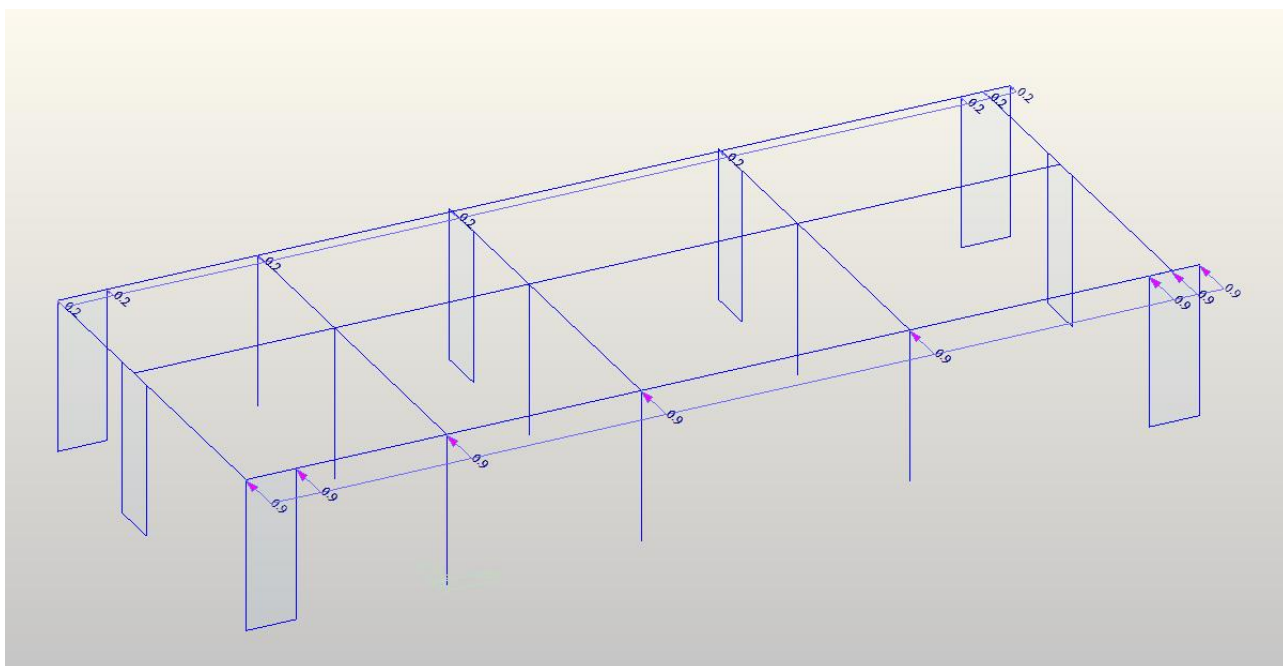
- Variabili vento (direzione X):



RELAZIONE ILLUSTRATIVA E DI CALCOLO		
Data emissione: 20/05/2019	RST Relazione illustrativa e di calcolo strutturale.docx	105 di 267



- Variabili vento (direzione Y):



6.4.4 MODELLO GLOBALE DELLA STRUTTURA

6.4.4.1 Principali sollecitazioni sugli elementi

A seguito dell'analisi si sono ricavate le sollecitazioni sui singoli elementi strutturali.

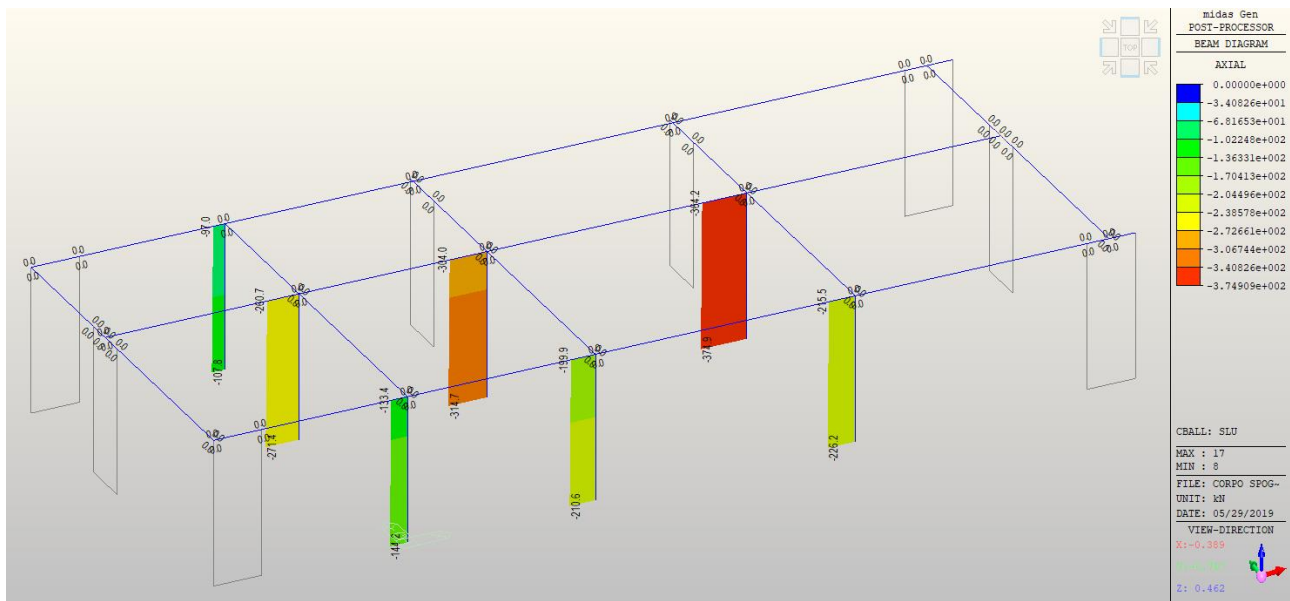
Di seguito si riportano le schermate di alcuni involuppi più significativi:

- Involuppo SLU

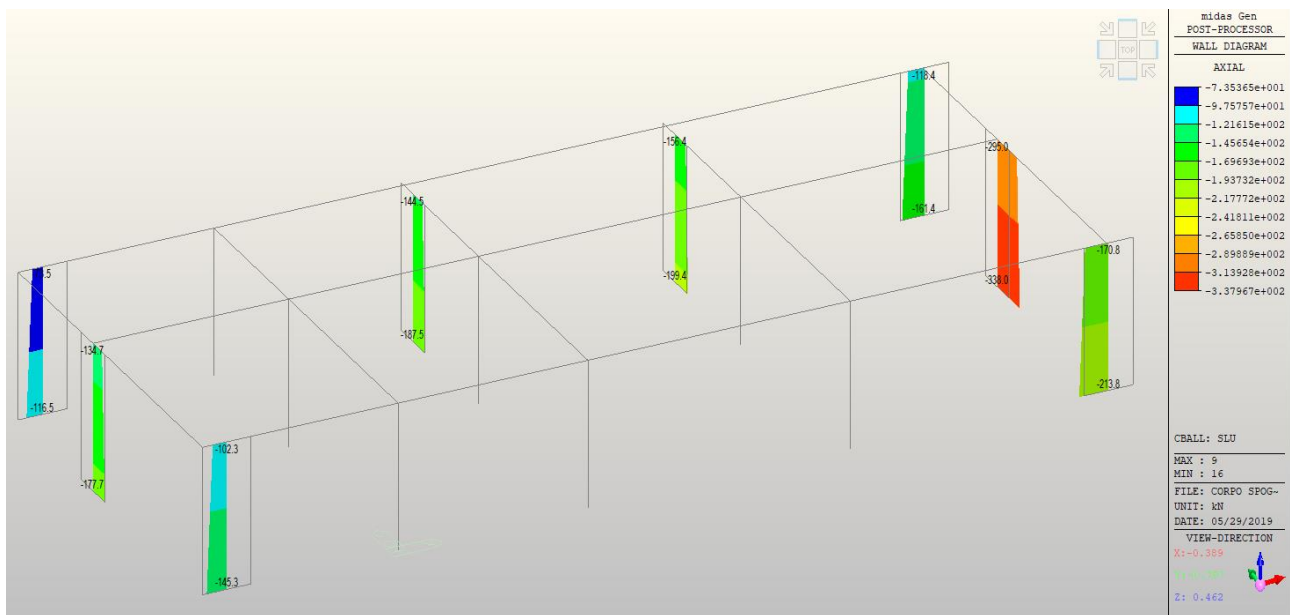
Azione assiale (N) sui beam



RELAZIONE ILLUSTRATIVA E DI CALCOLO		
Data emissione: 20/05/2019	RST Relazione illustrativa e di calcolo strutturale.docx	106 di 267



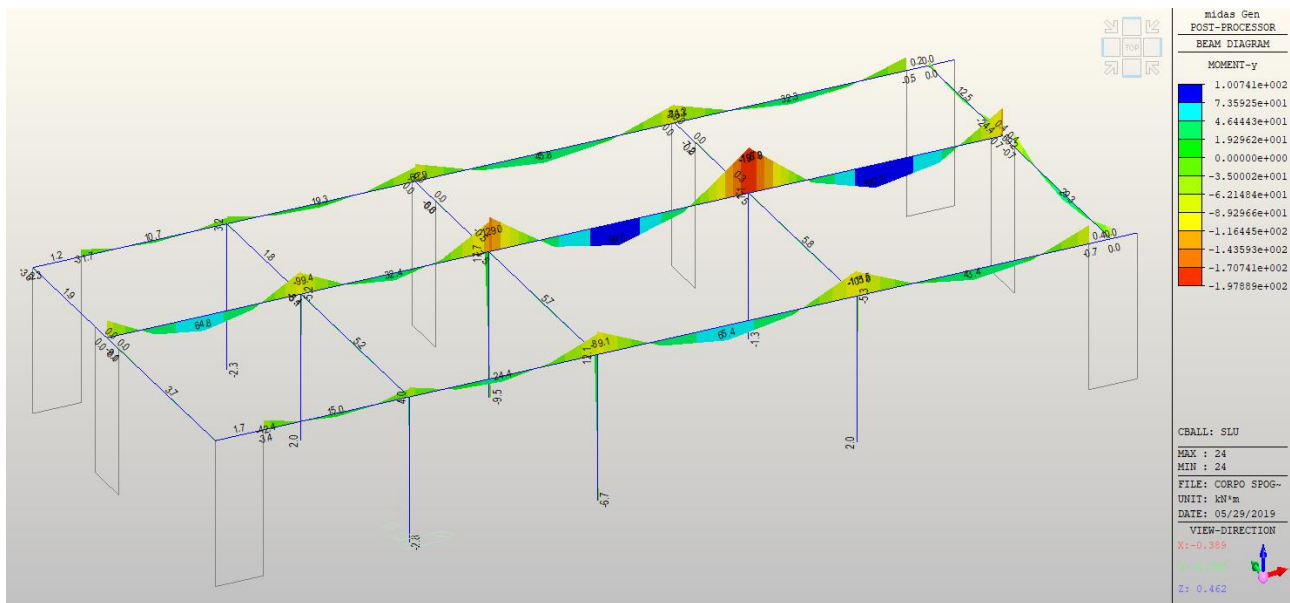
Azione assiale (N) sui wall



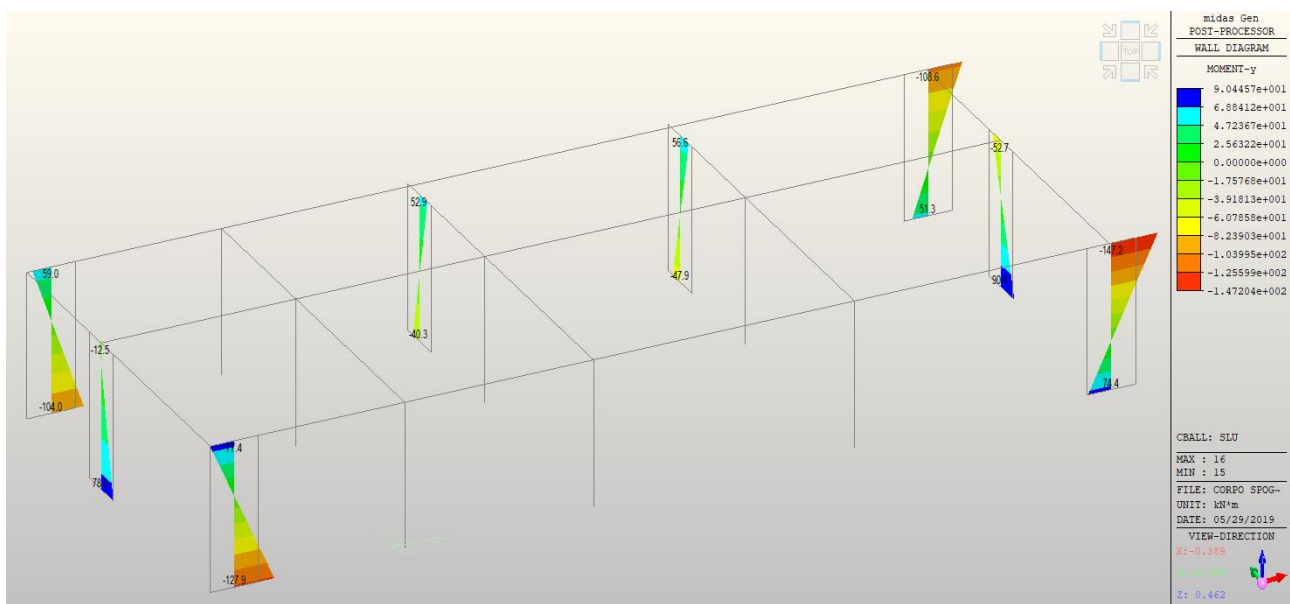
Momento flettente (M_y) sui beam



RELAZIONE ILLUSTRATIVA E DI CALCOLO		
Data emissione: 20/05/2019	RST Relazione illustrativa e di calcolo strutturale.docx	107 di 267



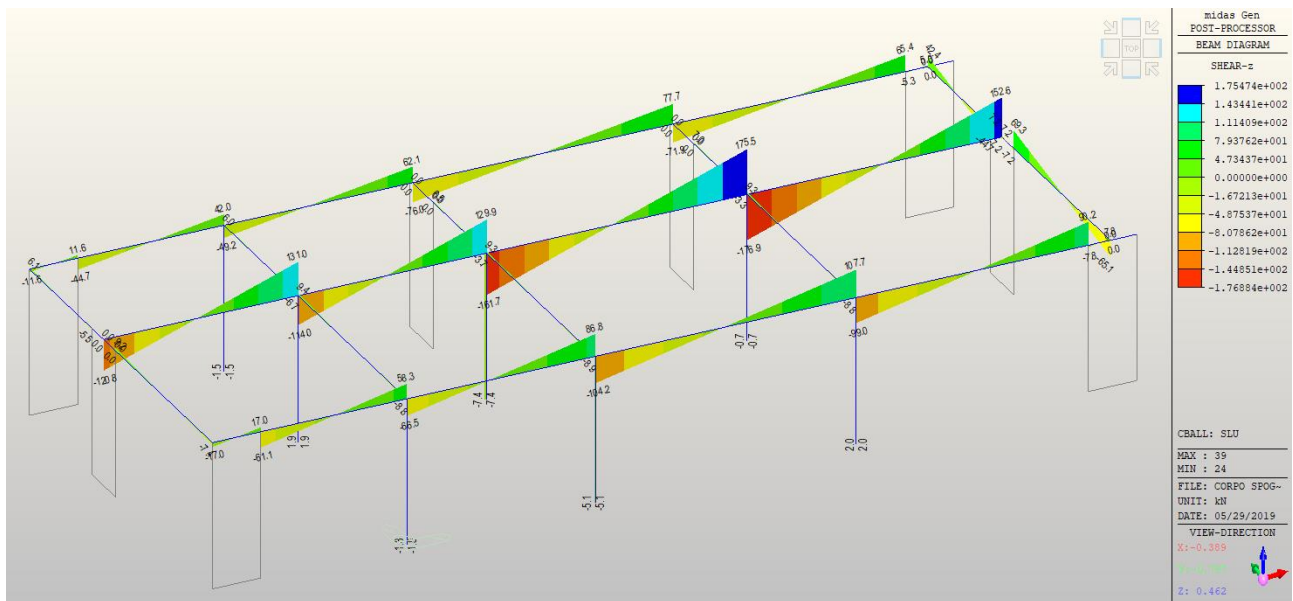
Momento flettente (M_y) sui wall



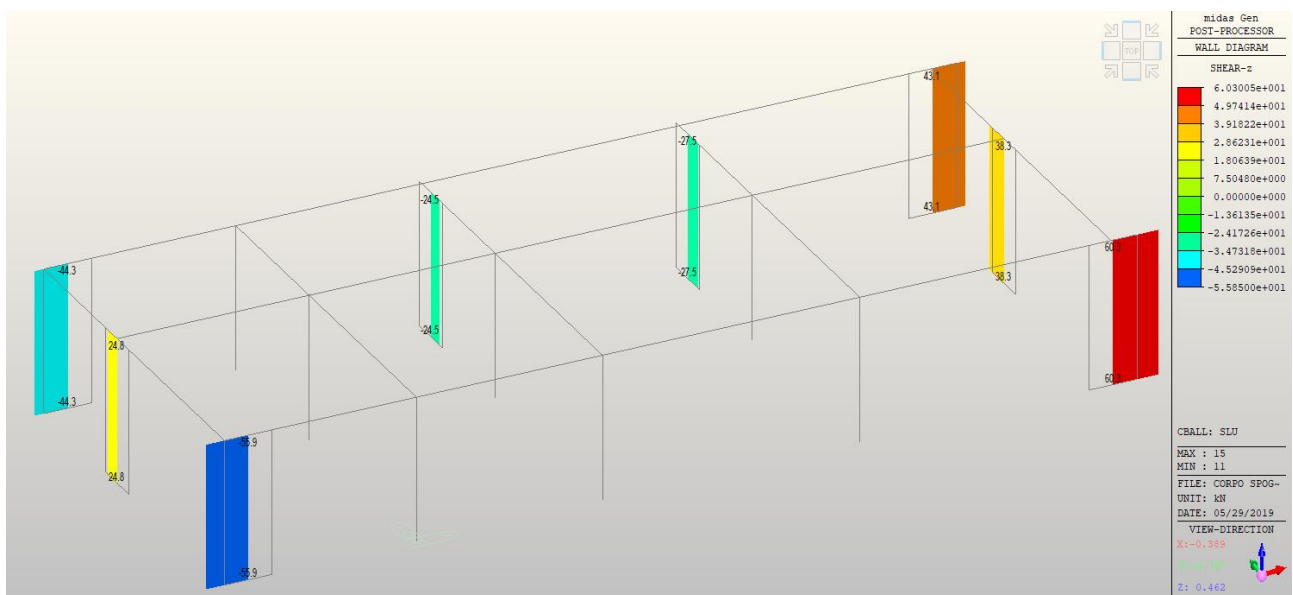
Azione di taglio sui beam



RELAZIONE ILLUSTRATIVA E DI CALCOLO		
Data emissione: 20/05/2019	RST Relazione illustrativa e di calcolo strutturale.docx	108 di 267



Azione di taglio sui wall

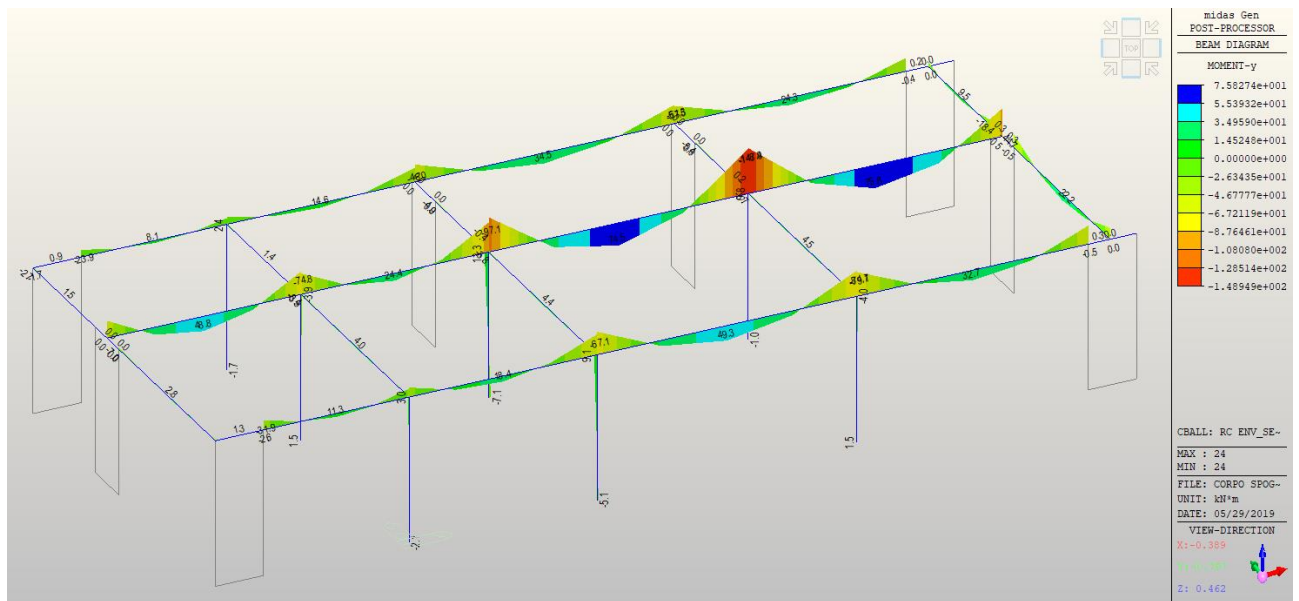


Inviluppo SLE

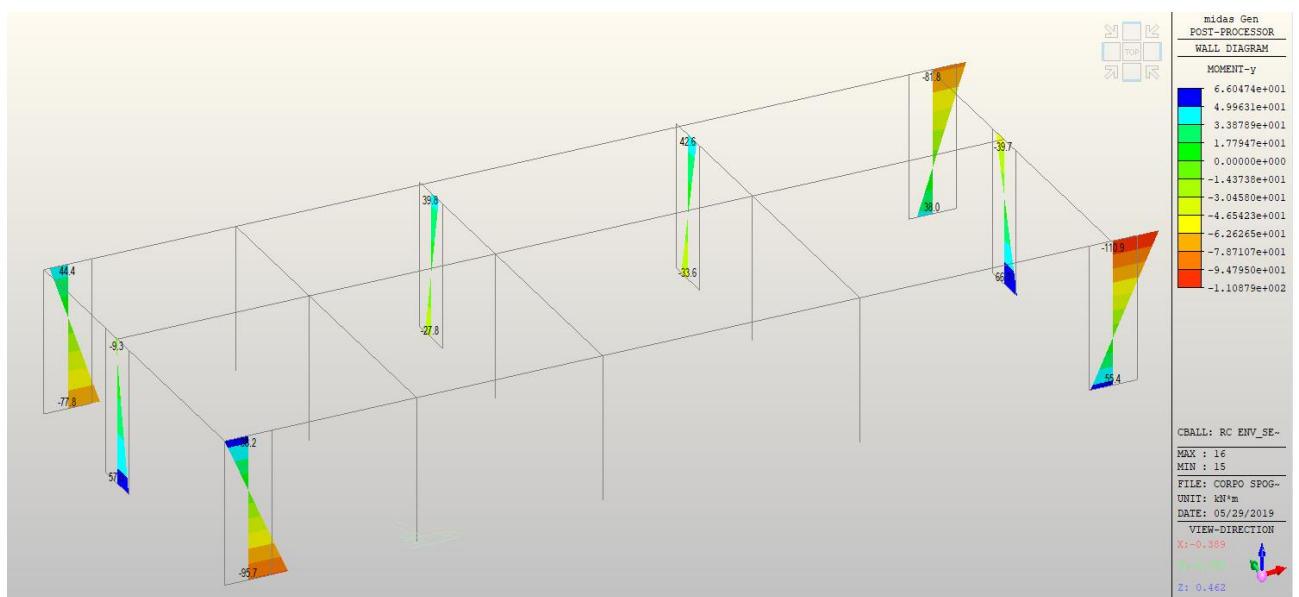
- Azione assiale (N) sui beam



RELAZIONE ILLUSTRATIVA E DI CALCOLO		
Data emissione: 20/05/2019	RST Relazione illustrativa e di calcolo strutturale.docx	110 di 267



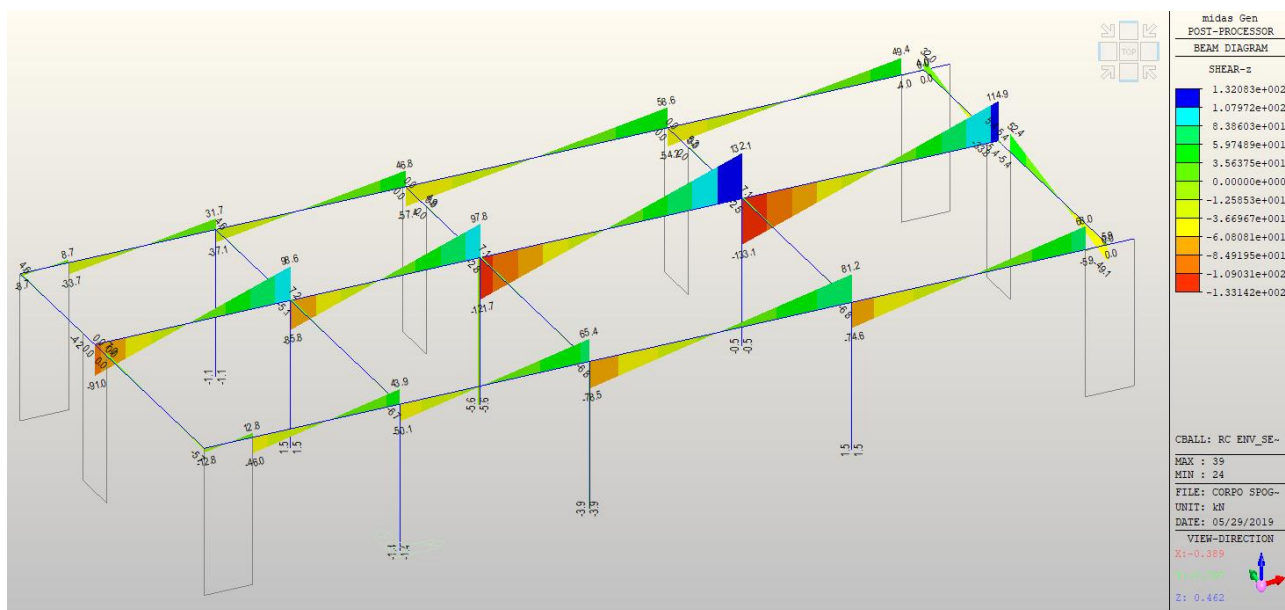
- Momento flettente (M_y) sui wall



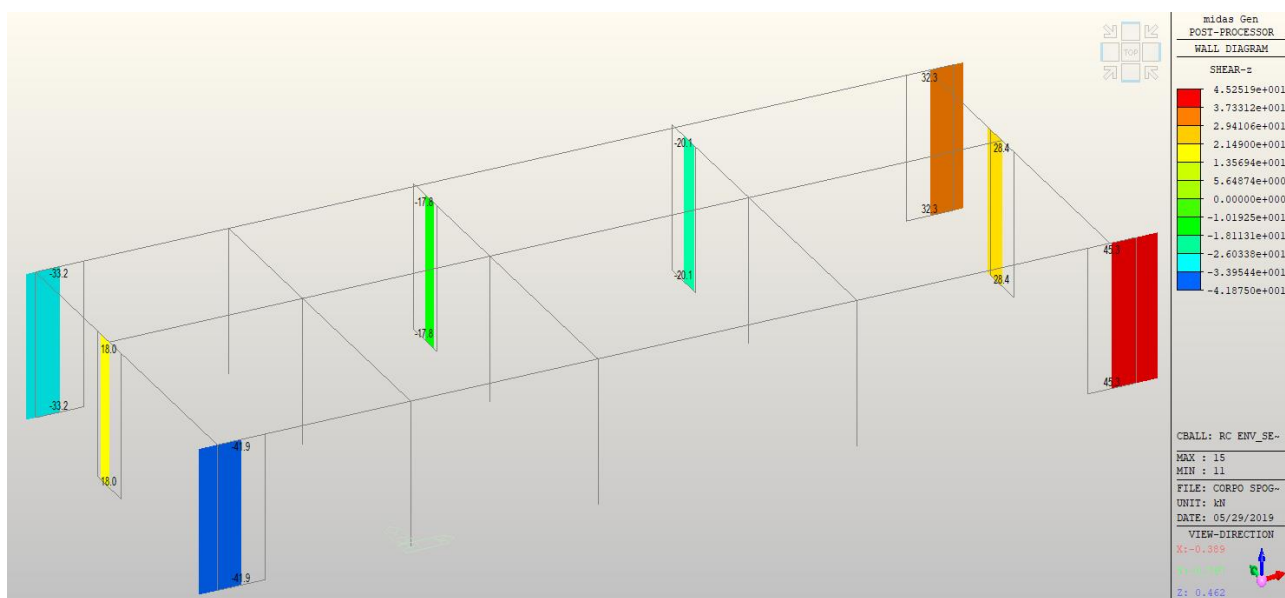
- Azione di taglio sui beam



RELAZIONE ILLUSTRATIVA E DI CALCOLO		
Data emissione: 20/05/2019	RST Relazione illustrativa e di calcolo strutturale.docx	111 di 267



- Azione di taglio sui wall



6.4.4.2 Principali modi di vibrare della struttura

A seguito dell'analisi si sono individuati i principali modi di vibrare della struttura, di seguito riportati. Condizione necessaria è il raggiungimento dell'85% delle masse movimentate nelle direzioni considerate: nel caso in esame tale risultato è stato raggiunto:

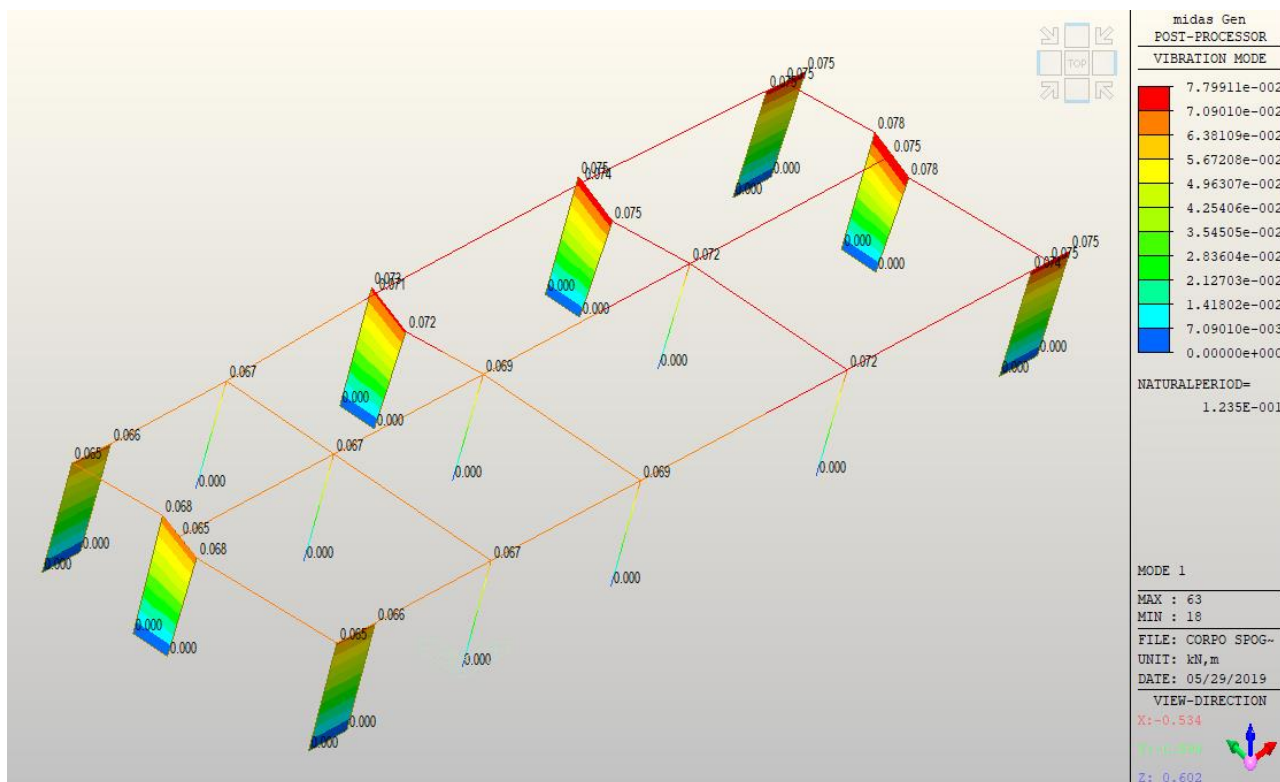
- Massa partecipante totale in direzione X: 100%
- Massa partecipante in direzione Y: 100%



RELAZIONE ILLUSTRATIVA E DI CALCOLO		
Data emissione: 20/05/2019	RST Relazione illustrativa e di calcolo strutturale.docx	112 di 267

Mode	UX		UY		UZ		RX		RY		RZ	
EIGENVALUE ANALYSIS												
Mode No	Frequency		Period		Tolerance							
	(rad/sec)	(cycle/sec)	(sec)									
1	50.8629	8.0951	0.1235	3.2998e-025								
2	53.2003	8.4671	0.1181	3.2998e-025								
3	60.7487	9.6685	0.1034	3.2998e-025								
MODAL PARTICIPATION MASSES PRINTOUT												
Mode No	TRAN-X		TRAN-Y		TRAN-Z		ROTN-X		ROTN-Y		ROTN-Z	
	MASS(%)	SUM(%)	MASS(%)	SUM(%)	MASS(%)	SUM(%)	MASS(%)	SUM(%)	MASS(%)	SUM(%)	MASS(%)	SUM(%)
1	0.2861	0.2861	99.4719	99.4719	0.0000	0.0000	0.0000	0.0000	0.0000	0.0000	0.2421	0.2421
2	99.5237	99.8098	0.2623	99.7342	0.0000	0.0000	0.0000	0.0000	0.0000	0.0000	0.2139	0.4560
3	0.1902	100.0000	0.2658	100.0000	0.0000	0.0000	0.0000	0.0000	0.0000	0.0000	99.5440	100.0000
Mode No	TRAN-X		TRAN-Y		TRAN-Z		ROTN-X		ROTN-Y		ROTN-Z	
	MASS	SUM	MASS	SUM	MASS	SUM	MASS	SUM	MASS	SUM	MASS	SUM
1	0.5764	0.5764	200.4388	200.4388	0.0000	0.0000	0.0000	0.0000	0.0000	0.0000	32.4480	32.4480
2	200.5433	201.1198	0.5286	200.9674	0.0000	0.0000	0.0000	0.0000	0.0000	0.0000	28.6769	61.1250
3	0.3832	201.5030	0.5356	201.5030	0.0000	0.0000	0.0000	0.0000	0.0000	0.0000	13343.724	13404.849

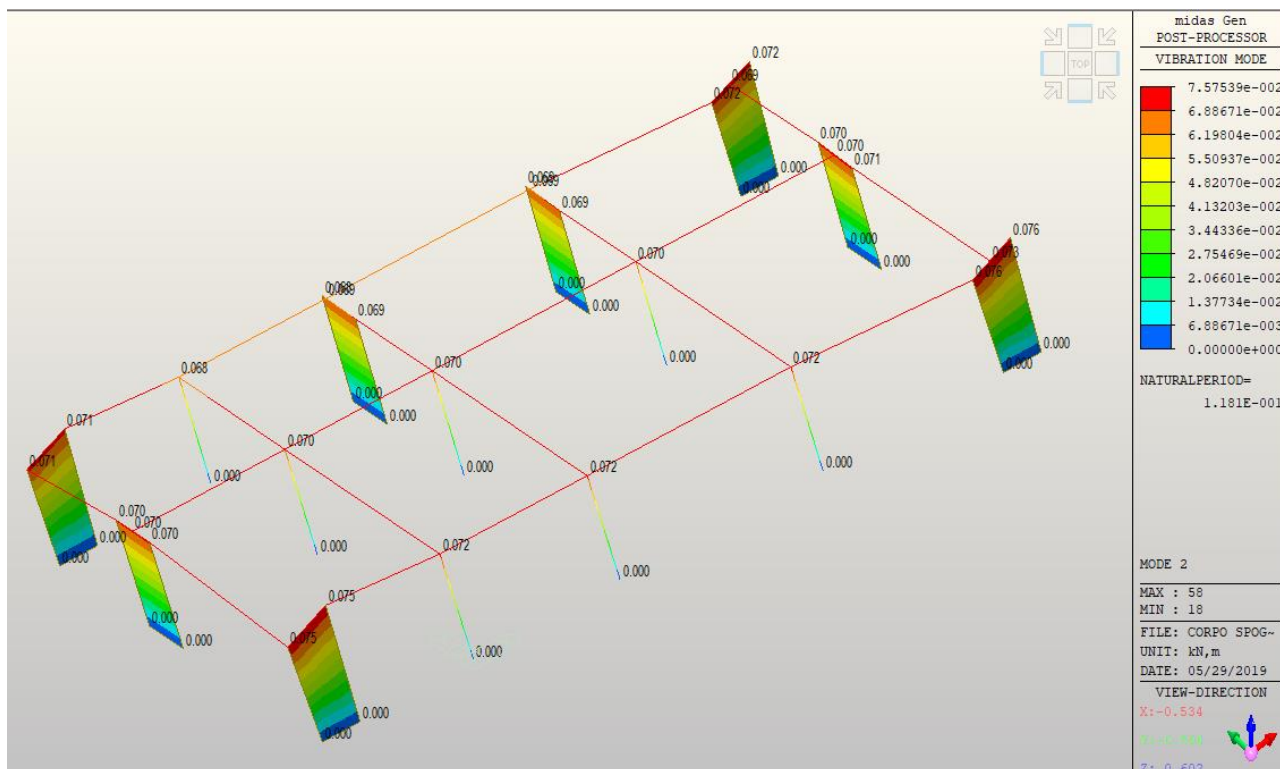
- Modi di vibrare: numero 1 (principale in Y - traslazionale)



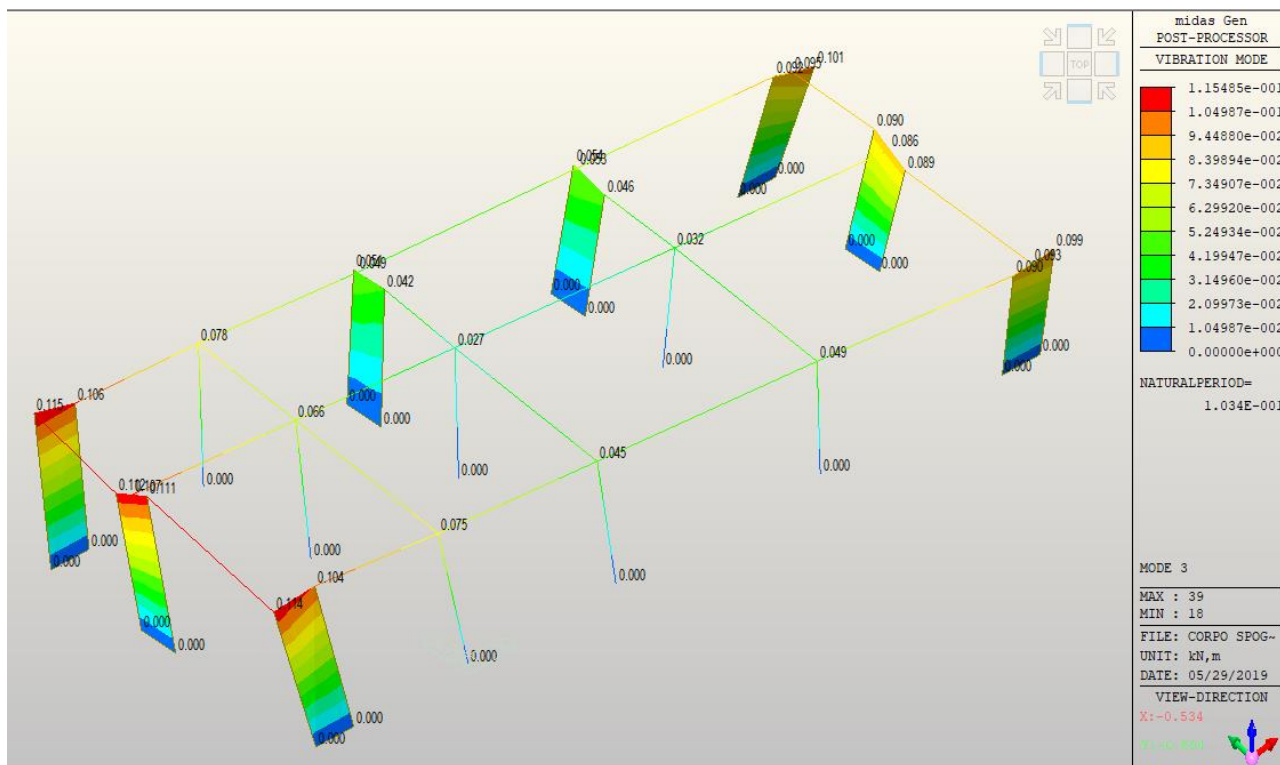


RELAZIONE ILLUSTRATIVA E DI CALCOLO		
Data emissione: 20/05/2019	RST Relazione illustrativa e di calcolo strutturale.docx	113 di 267

- Modi di vibrare: numero 2 (principale in X –traslazionale)



- Modi di vibrare: numero 3 (rotazionale)



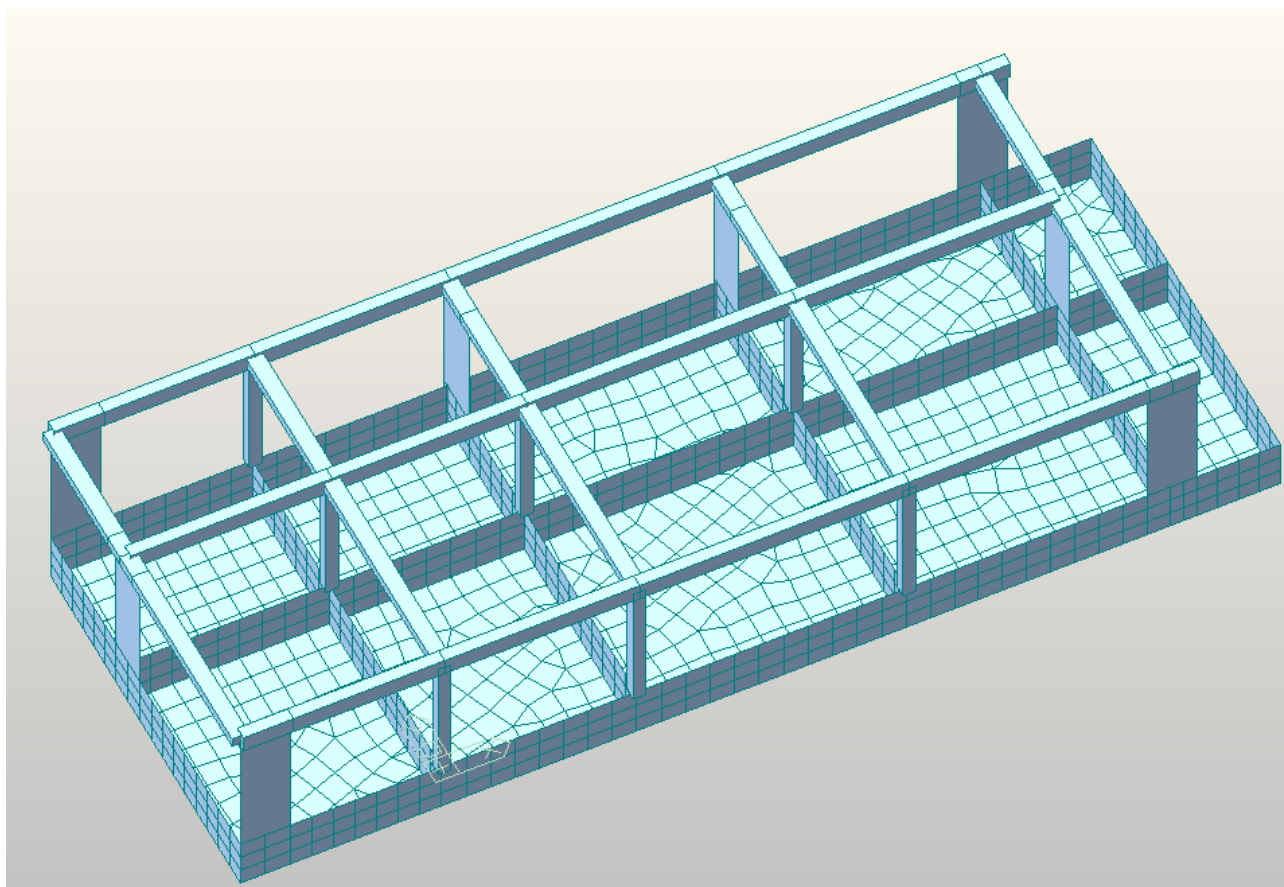


RELAZIONE ILLUSTRATIVA E DI CALCOLO		
Data emissione: 20/05/2019	RST Relazione illustrativa e di calcolo strutturale.docx	114 di 267

6.4.4.3 Pressione in fondazione

A seguito della modellazione appena illustrata, per ricavare il valore della pressione in fondazione, la stessa costruzione è stata modellata implementando la platea e le nervature in cemento armato su cui poggia.

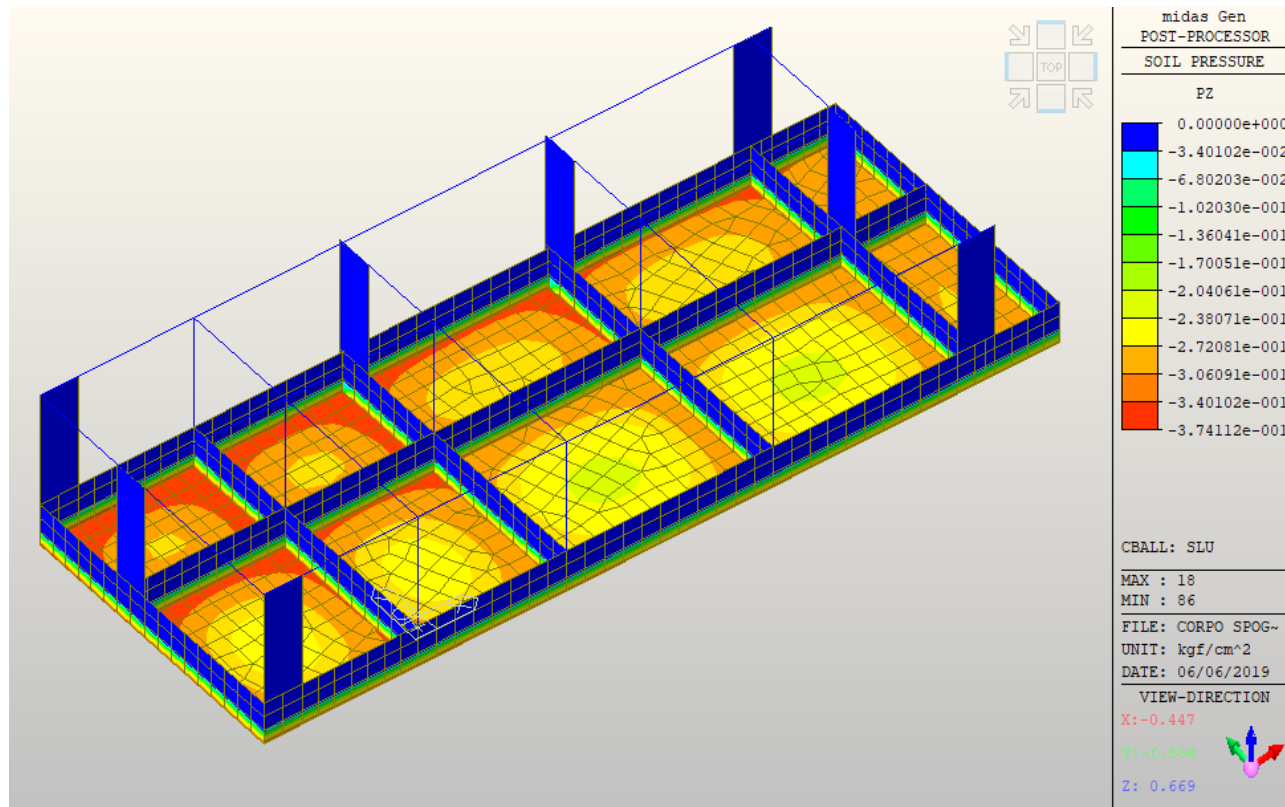
La platea è stata realizzata creando un elemento superficie di spessore 20 cm, assegnando il materiale corrispondente (cls di classe C25/30) e impostandola su suoli elastici alla Winkler (coefficiente assunto pari a $1,2 \text{ kg/cm}^3$) tramite un vincolo molla.



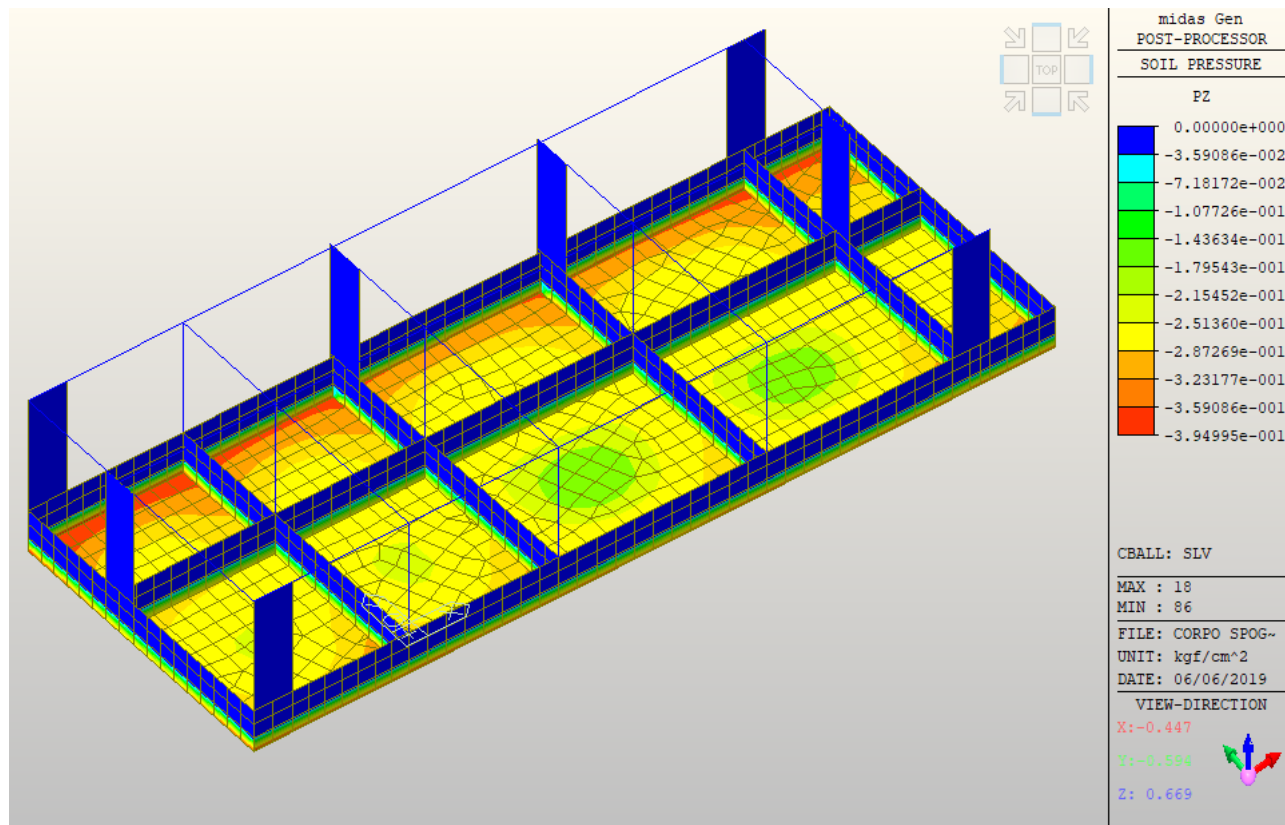


RELAZIONE ILLUSTRATIVA E DI CALCOLO		
Data emissione: 20/05/2019	RST Relazione illustrativa e di calcolo strutturale.docx	115 di 267

Si riportano di seguito i risultati ottenuti allo SLU:



Ed allo SLV:





RELAZIONE ILLUSTRATIVA E DI CALCOLO		
Data emissione: 20/05/2019	RST Relazione illustrativa e di calcolo strutturale.docx	116 di 267

6.5 Verifiche dal modello globale

A seguito della modellazione della struttura in Midas Gen, completa di elementi strutturali, materiale, tipi di sezione, vincoli e carichi statici e dinamici agenti, sono state eseguite una serie di verifiche a livello di resistenza e deformabilità dell'intera struttura, seguendo le prescrizioni riportate nella normativa vigente allo SLU, SLV e SLE.

6.5.1 VALUTAZIONE DEGLI SPOSTAMENTI DELLA STRUTTURA RISPETTO AL FABBRICATO ESISTENTE

Con riferimento al paragrafo 7.3.3.3 delle NTC2018, sono stati calcolati gli spostamenti della struttura d_E in corrispondenza del giunto strutturale di spessore 10 cm tra il corpo spogliato e il fabbricato esistente.

Partendo dai risultati derivanti dall'analisi allo SLV, si ricava:

$$d_E = \pm \mu_d \cdot d_{Ee}$$

Dove:

- d_{Ee} sono gli spostamenti (in questo caso lungo x) ottenuti dall'analisi dinamica lineare allo SLV;
- μ_d è il coefficiente di duttilità in spostamento, e vale:

$$\mu_d = q \text{ se } T_1 \geq T_C;$$

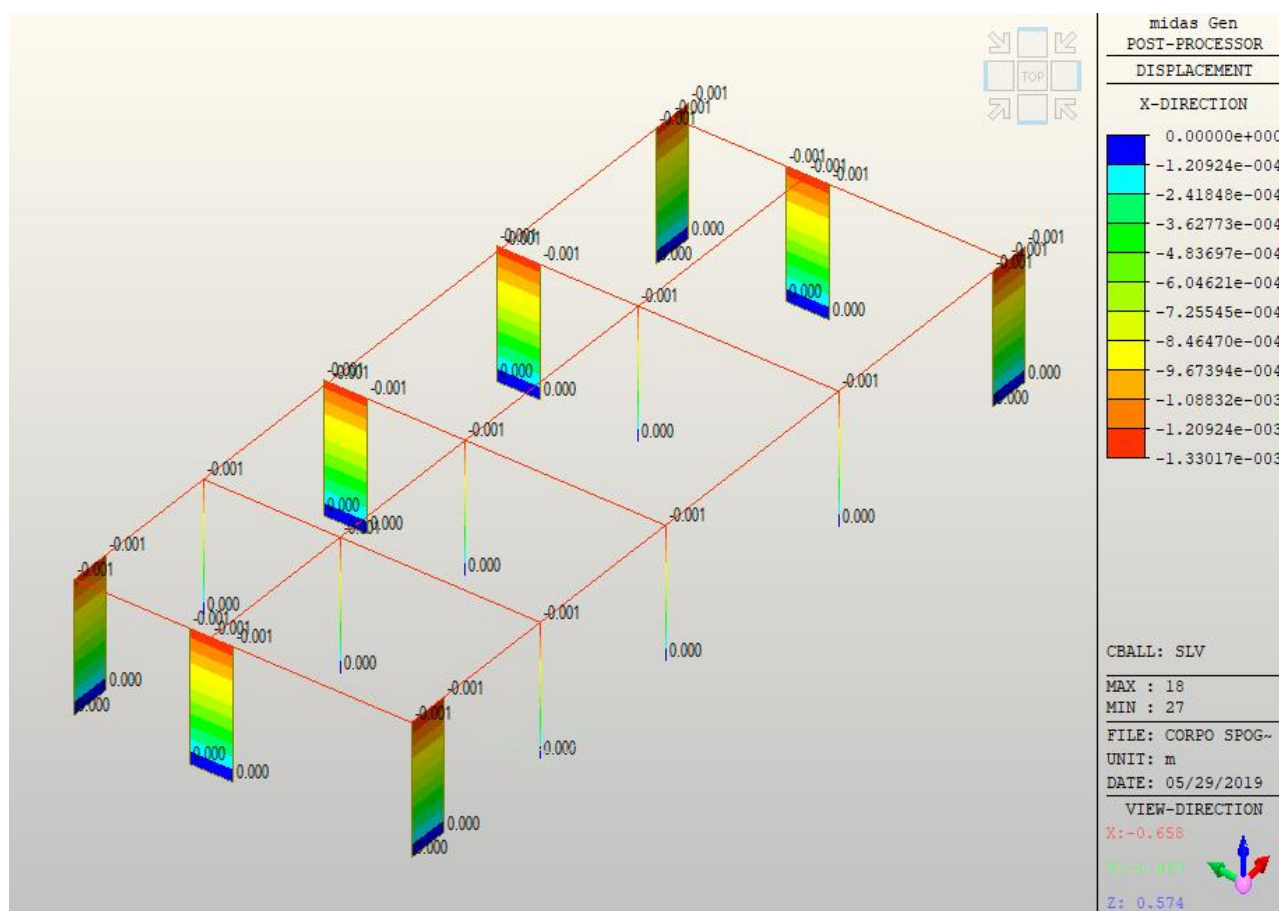
$$\mu_d = 1 + (q - 1) \cdot \frac{T_C}{T_1} \text{ se } T_1 < T_C.$$

$$(\text{tenendo conto } \mu_d \leq 5q - 4).$$

Considerando lo spostamento massimo tra gli elementi strutturali che interessano il giunto strutturale:



RELAZIONE ILLUSTRATIVA E DI CALCOLO		
Data emissione: 20/05/2019	RST Relazione illustrativa e di calcolo strutturale.docx	117 di 267



Il massimo valore di spostamento vale:

$$d_{Ee} = 1,33 \text{ mm}$$

Il periodo fondamentale T_1 è stato ricavato facendo sempre riferimento alla formula riportata nella vecchia normativa (par. 7.3.3.2 NTC2008), in modo da poter procedere con un calcolo diretto a seconda dei dati a disposizione:

$$T_1 = C_1 \cdot H^{3/4}$$

Con $C_1=0,075$ per le costruzioni in calcestruzzo armato.

Quindi, dato che l'altezza complessiva dell'edificio è pari a $H = 3,675 \text{ m}$, il periodo fondamentale vale:

$$T_1 = 0,199 \text{ s}$$

Dal calcolo dello spettro di progetto allo SLV a livello locale (rif. par. 4.4 della presente) si nota che:

$$T_c = 0,311 \text{ s}$$

Stato Limite	Tr [anni]	a_{max} [g]	F_0	SS	CC	ST	T_c	T_B	T_D
Vita (SLV)	949	0.284	3.656	1.000	1.00	1.15000	0.31051	0.1035	2.735



RELAZIONE ILLUSTRATIVA E DI CALCOLO		
Data emissione: 20/05/2019	RST Relazione illustrativa e di calcolo strutturale.docx	118 di 267

Dato che $T_1 < T_C$, seguendo quanto riportato dalla normativa, il valore del coefficiente di duttilità è uguale a:

$$\mu_d = 1 + (q - 1) \cdot \frac{T_C}{T_1} = 4,13$$

(verificando inoltre $\mu_d = 4,13 \leq 5q - 4 = 11$).

In definitiva:

$$d_E = \mu_d \cdot d_{Ee} = 5,49 \text{ mm}$$

6.5.2 VALUTAZIONE DEGLI SPOSTAMENTI DEL FABBRICATO ESISTENTE

In corrispondenza del lato nord del corpo spogliatoi, dove è presente la soletta, è presente un fabbricato esistente di altezza pari a 5,00 m. Facendo riferimento al paragrafo 7.2.1 delle NTC2018, alla sezione "Distanza tra costruzioni contigue" si cita che *"La distanza tra costruzioni contigue deve essere tale da evitare fenomeni di martellamento e comunque non può essere inferiore alla somma degli spostamenti massimi determinati per lo SLV, calcolati per ciascuna costruzione secondo il § 7.3.3 (analisi lineare) o il § 7.3.4 (analisi non lineare) e tenendo conto, laddove significativo, dello spostamento relativo delle fondazioni delle due costruzioni contigue, secondo quanto indicato ai §§ 3.2.4.1, 3.2.4.2 e 7.3.5;*

La distanza tra due punti di costruzioni che si fronteggiano non potrà in ogni caso essere inferiore a 1/100 della quota dei punti considerati, misurata dallo spiccatto della fondazione o dalla sommità della struttura scatolare rigida di cui al § 7.2.1, moltiplicata per $2a_g S/g \leq 1$.

Qualora non si possano eseguire calcoli specifici, lo spostamento massimo di una costruzione non isolata alla base può essere stimato in 1/100 della sua altezza, misurata come sopra, moltiplicata per $a_g S/g$; in questo caso, la distanza tra costruzioni contigue non potrà essere inferiore alla somma degli spostamenti massimi di ciascuna di esse.(...)"

A questo punto, lo spostamento massimo del fabbricato esistente può essere stimato come:

$$d_{esistente} = \frac{1}{100} h_{esistente} \frac{a_g S}{g} = 16,3 \text{ mm}$$

Dove a_g e S sono quelli ricavati allo SLV locale:

Stato Limite	Tr [anni]	a_{max} [g]	F_0	SS	CC	ST	T_C	T_B	T_D
Vita (SLV)	949	0.284	3.656	1.000	1.00	1.15000	0.31051	0.1035	2.735

E $h_{esistente} = 5,00 \text{ m}$, come detto a inizio paragrafo.

6.5.3 VERIFICA TRA SPOSTAMENTI CORPO SPOGLIATOI E FABBRICATO ESISTENTE

Con riferimento a quanto riportato nelle NTC2018 al capitolo 7.2.1, si procede con la verifica degli spostamenti e distanze tra corpo spogliatoi e fabbricato esistente.

Spostamento massimo corpo spogliatoi (in corrispondenza della soletta):



RELAZIONE ILLUSTRATIVA E DI CALCOLO		
Data emissione: 20/05/2019	RST Relazione illustrativa e di calcolo strutturale.docx	119 di 267

$$d_{spogliatoi} = 5,49 \text{ mm}$$

Spostamento massimo del fabbricato esistente:

$$d_{esistente} = 16,33 \text{ mm}$$

La somma dei due valori è pari a:

$$d_{spogliatoi} + d_{esistente} = 21,82 \text{ mm}$$

La distanza tra le due strutture è pari a 100 mm, quindi le indicazioni della normativa sono rispettate.

6.5.4 VALUTAZIONE DEGLI SPOSTAMENTI DELLA STRUTTURA RISPETTO ALLA PALESTRA

Con riferimento al paragrafo 7.3.3.3 delle NTC2018, sono stati calcolati gli spostamenti della struttura d_E in corrispondenza del giunto strutturale di spessore 10 cm tra il corpo spogliatoi e la palestra.

Partendo dai risultati derivanti dall'analisi allo SLV, si ricava:

$$d_E = \pm \mu_d \cdot d_{Ee}$$

Dove:

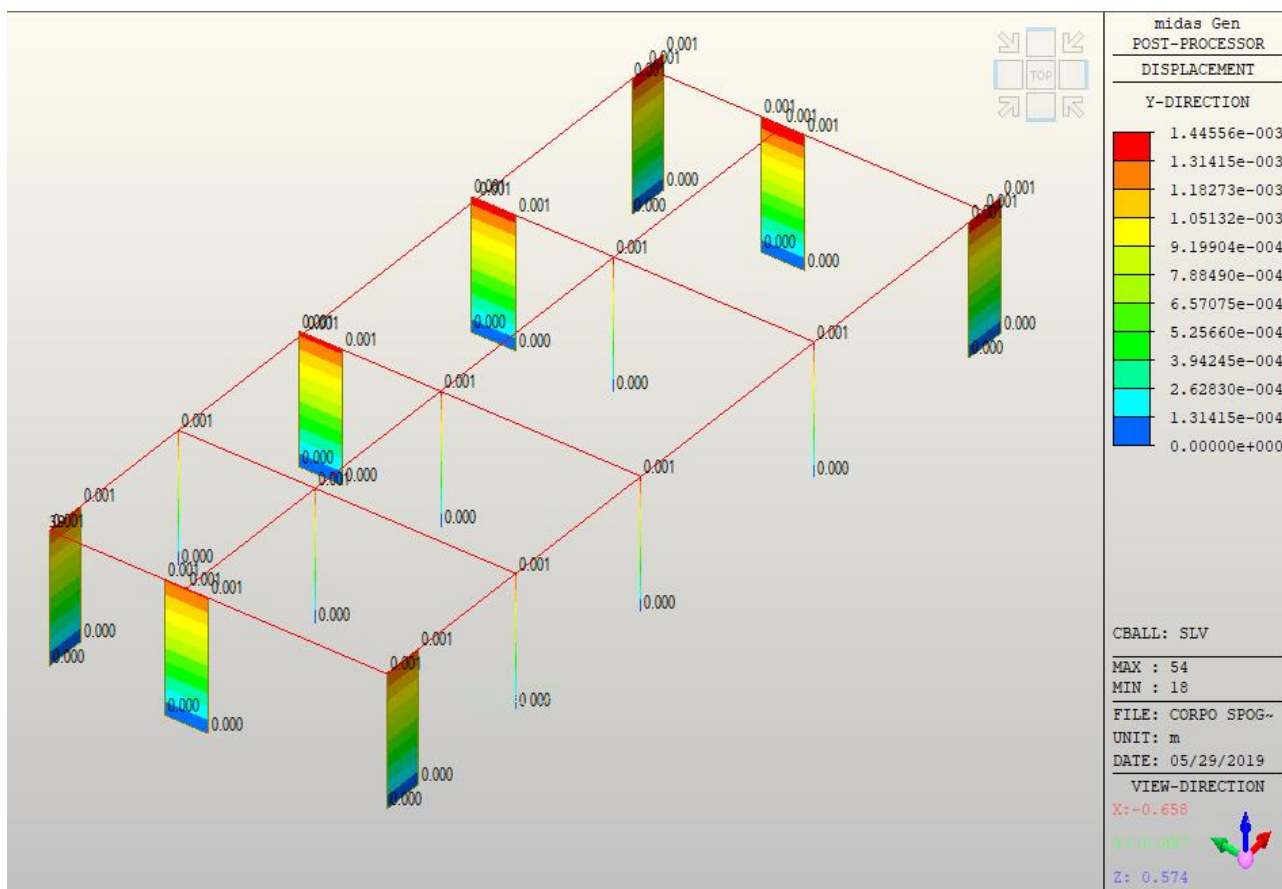
- d_{Ee} sono gli spostamenti (in questo caso lungo y) ottenuti dall'analisi dinamica lineare allo SLV;
- μ_d è il coefficiente di duttilità in spostamento, e vale:
$$\mu_d = q \text{ se } T_1 \geq T_C;$$
$$\mu_d = 1 + (q - 1) \cdot \frac{T_C}{T_1} \text{ se } T_1 < T_C.$$

(tenendo conto $\mu_d \leq 5q - 4$).

Considerando lo spostamento massimo tra gli elementi strutturali che interessano il giunto strutturale:



RELAZIONE ILLUSTRATIVA E DI CALCOLO		
Data emissione: 20/05/2019	RST Relazione illustrativa e di calcolo strutturale.docx	120 di 267



Il massimo valore di spostamento vale:

$$d_{Ee} = 1,44 \text{ mm}$$

Il periodo fondamentale T_1 è stato ricavato facendo sempre riferimento alla formula riportata nella vecchia normativa (par. 7.3.3.2 NTC2008), in modo da poter procedere con un calcolo diretto a seconda dei dati a disposizione:

$$T_1 = C_1 \cdot H^{3/4}$$

Con $C_1=0,075$ per le costruzioni in calcestruzzo armato.

Quindi, dato che l'altezza complessiva dell'edificio è pari a $H = 3,675 \text{ m}$, il periodo fondamentale vale:

$$T_1 = 0,199 \text{ s}$$

Dal calcolo dello spettro di progetto allo SLV a livello locale (rif. par. 4.4 della presente) si nota che:

$$T_C = 0,311 \text{ s}$$

Stato Limite	Tr [anni]	a_{\max} [g]	F_0	SS	CC	ST	T_C	T_B	T_D
Vita (SLV)	949	0.284	3.656	1.000	1.00	1.15000	0.31051	0.1035	2.735



RELAZIONE ILLUSTRATIVA E DI CALCOLO		
Data emissione: 20/05/2019	RST Relazione illustrativa e di calcolo strutturale.docx	121 di 267

Dato che $T_1 < T_C$, seguendo quanto riportato dalla normativa, il valore del coefficiente di duttilità è uguale a:

$$\mu_d = 1 + (q - 1) \cdot \frac{T_C}{T_1} = 4,13$$

(verificando inoltre $\mu_d = 4,13 \leq 5q - 4 = 11$).

In definitiva:

$$d_E = \mu_d \cdot d_{Ee} = 5,95 \text{ mm}$$

6.5.5 VERIFICA TRA SPOSTAMENTI CORPO SPOGLIATOI E PALESTRA

Si rimanda al paragrafo 7.5.4 della presente.

6.5.6 VERIFICHE DI RIGIDEZZA DEGLI ELEMENTI STRUTTURALI

Con riferimento al paragrafo 7.3.6.1 delle NTC2018, “la condizione in termini di rigidezza sulla struttura si ritiene soddisfatta qualora la conseguente deformazione degli elementi strutturali non produca sugli elementi non strutturali danni tali da rendere la costruzione temporaneamente inagibile. Nel caso delle costruzioni civili e industriali, qualora la temporanea inagibilità sia dovuta a spostamenti di interpiano eccessivi, questa condizione si può ritenere soddisfatta quando gli spostamenti di interpiano ottenuti dall’analisi in presenza dell’azione sismica di progetto corrispondente allo SL e alla CU considerati siano inferiori ai limiti indicati (...)”. Con particolare riferimento al punto a del paragrafo sopra citato, bisogna verificare che:

$$q d_{r,SLD} \leq 0,0050 \cdot h$$

Considerando la relazione per tamponature fragili, dove:

- $d_{r,SLD}$ è lo spostamento di interpiano, cioè la differenza tra gli spostamenti del solaio superiore e del solaio inferiore ricavati dall’analisi dinamica lineare allo SLD;
- q è il fattore di struttura assunto pari a 1,0 per l’analisi allo SLD;
- h è l’altezza di interpiano.

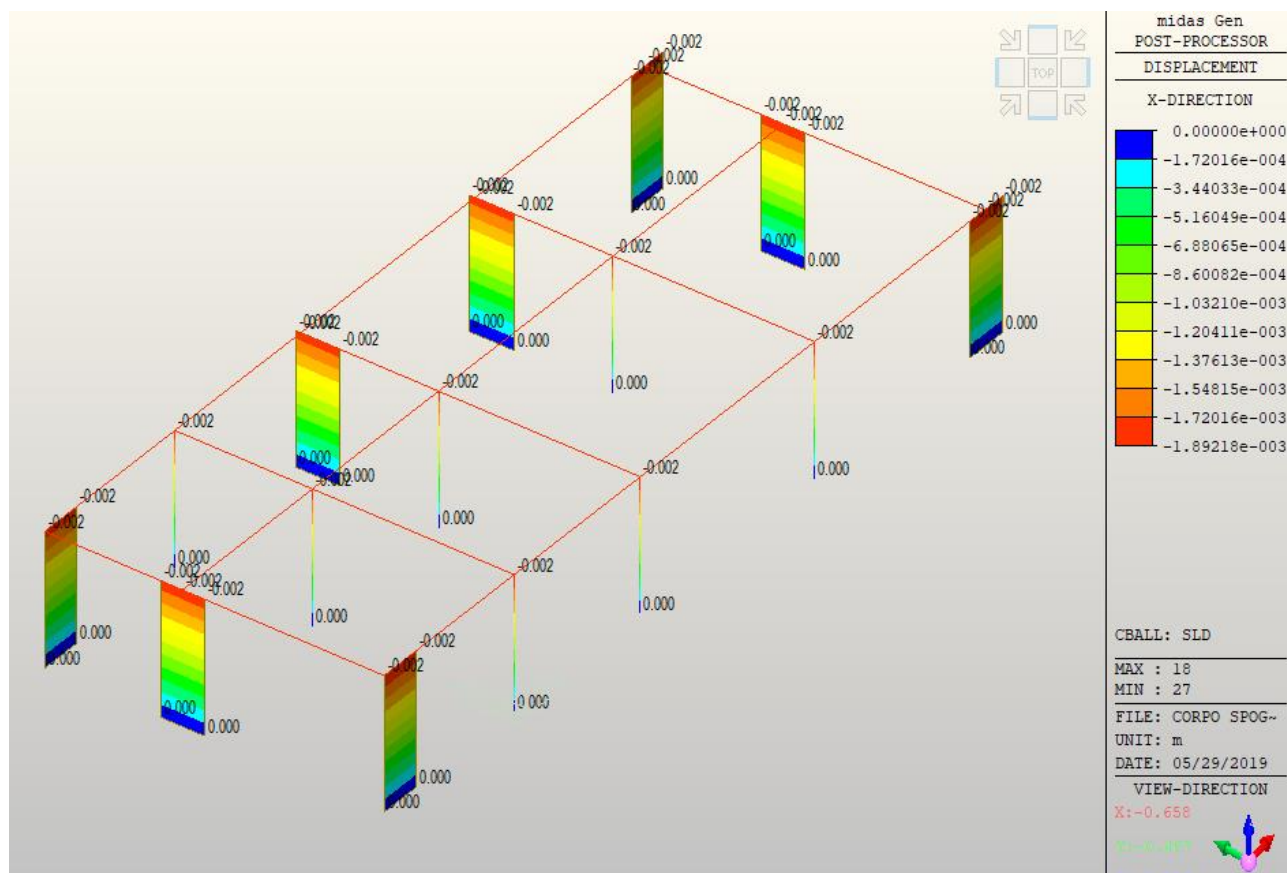
È stato individuato il massimo spostamento (in valore assoluto) che si verifica lungo le direzioni x e y tra i pilastri dopo l’analisi allo SLD:

- massimo spostamento in direzione x

$$u_{max,x} = 1,89 \text{ mm}$$



RELAZIONE ILLUSTRATIVA E DI CALCOLO		
Data emissione: 20/05/2019	RST Relazione illustrativa e di calcolo strutturale.docx	122 di 267

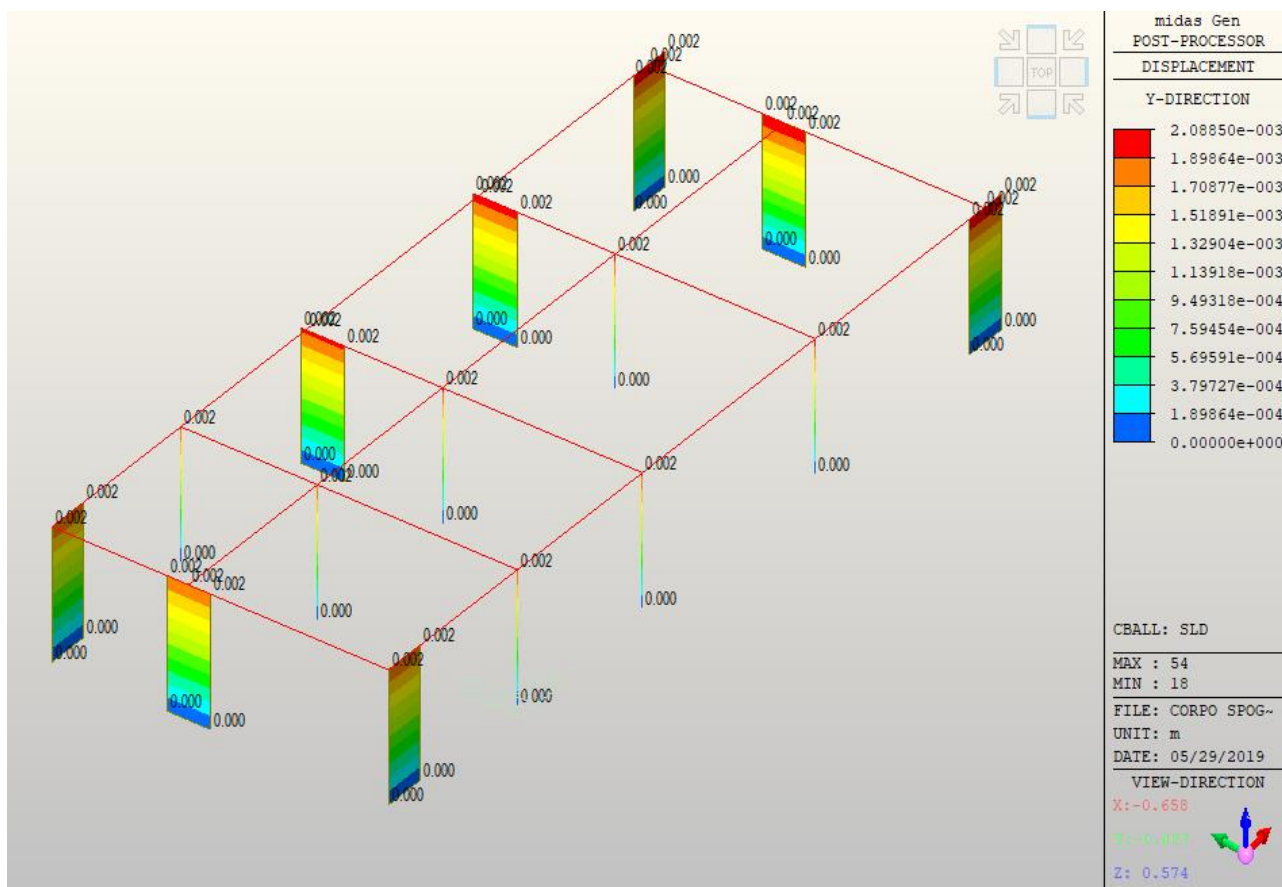


- massimo spostamento in direzione y

$$u_{max,y} = 2,09 \text{ mm}$$



RELAZIONE ILLUSTRATIVA E DI CALCOLO		
Data emissione: 20/05/2019	RST Relazione illustrativa e di calcolo strutturale.docx	123 di 267



L' altezza d'interpiano considerata è quella implementata nel modello, ovvero

$$h = 3,675 \text{ m}$$

La verifica viene effettuata per ogni direzione.

Direzione x

Dato che la costruzione in esame ha un solo piano, lo spostamento corrispondente vale:

$$d_{r,SLD} = u_j - u_i = 1,89 - 0,0 = 1,89 \text{ mm}$$

Dove, considerando il singolo piano, u_i indica lo spostamento del nodo alla base e u_j lo spostamento del nodo in sommità.

Si ottiene quindi che:

$$q d_{r,SLD} = 1,89 \text{ mm} \leq 0,0050 \cdot h = 18,375 \text{ mm}$$

La verifica risulta soddisfatta.

Direzione y

Lo spostamento corrispondente vale:

$$d_{r,SLD} = u_j - u_i = 2,09 - 0,0 = 2,09 \text{ mm}$$



RELAZIONE ILLUSTRATIVA E DI CALCOLO		
Data emissione: 20/05/2019	RST Relazione illustrativa e di calcolo strutturale.docx	124 di 267

Dove, considerando il singolo piano, u_i indica lo spostamento del nodo alla base e u_j lo spostamento del nodo in sommità.

Si ottiene quindi che:

$$q d_{r,SLD} = 2,09 \text{ mm} \leq 0,0050 \cdot h = 18,375 \text{ mm}$$

La verifica risulta soddisfatta.

Lo stesso procedimento è stato successivamente applicato ai risultati ricavati con l'analisi allo SLO, dove bisogna verificare che gli spostamenti d'interpiano siano inferiori a $\frac{2}{3}$ dei limiti indicati nella normativa e valutati per i risultati derivanti dall'analisi all'SLD.

In questo caso, quindi, la relazione da considerare è:

$$q d_{r,SLO} \leq \frac{2}{3} (0,0050 \cdot h)$$

- $d_{r,SLO}$ è lo spostamento di interpiano, cioè la differenza tra gli spostamenti del solaio superiore e del solaio inferiore ricavati dall'analisi dinamica lineare allo SLO;
- q è il fattore di struttura assunto pari a 1,0 per l'analisi allo SLO;
- h è l'altezza di interpiano.

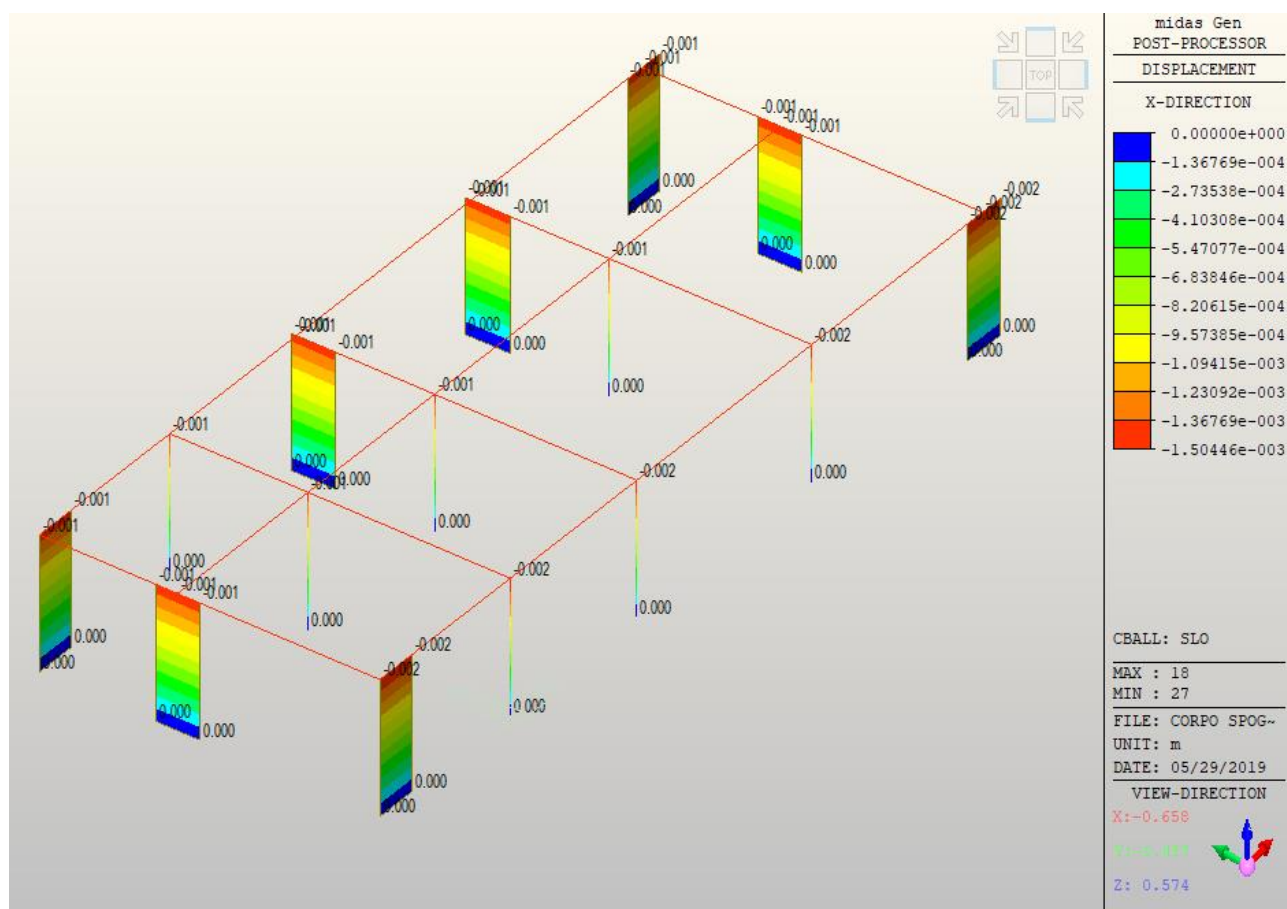
Come in precedenza, è stato individuato il massimo spostamento che si verifica lungo le direzioni x e y dopo l'analisi allo SLO:

- massimo spostamento in direzione x

$$u_{max,x} = 1,50 \text{ mm}$$

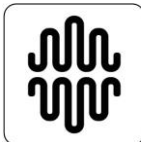


RELAZIONE ILLUSTRATIVA E DI CALCOLO		
Data emissione: 20/05/2019	RST Relazione illustrativa e di calcolo strutturale.docx	125 di 267

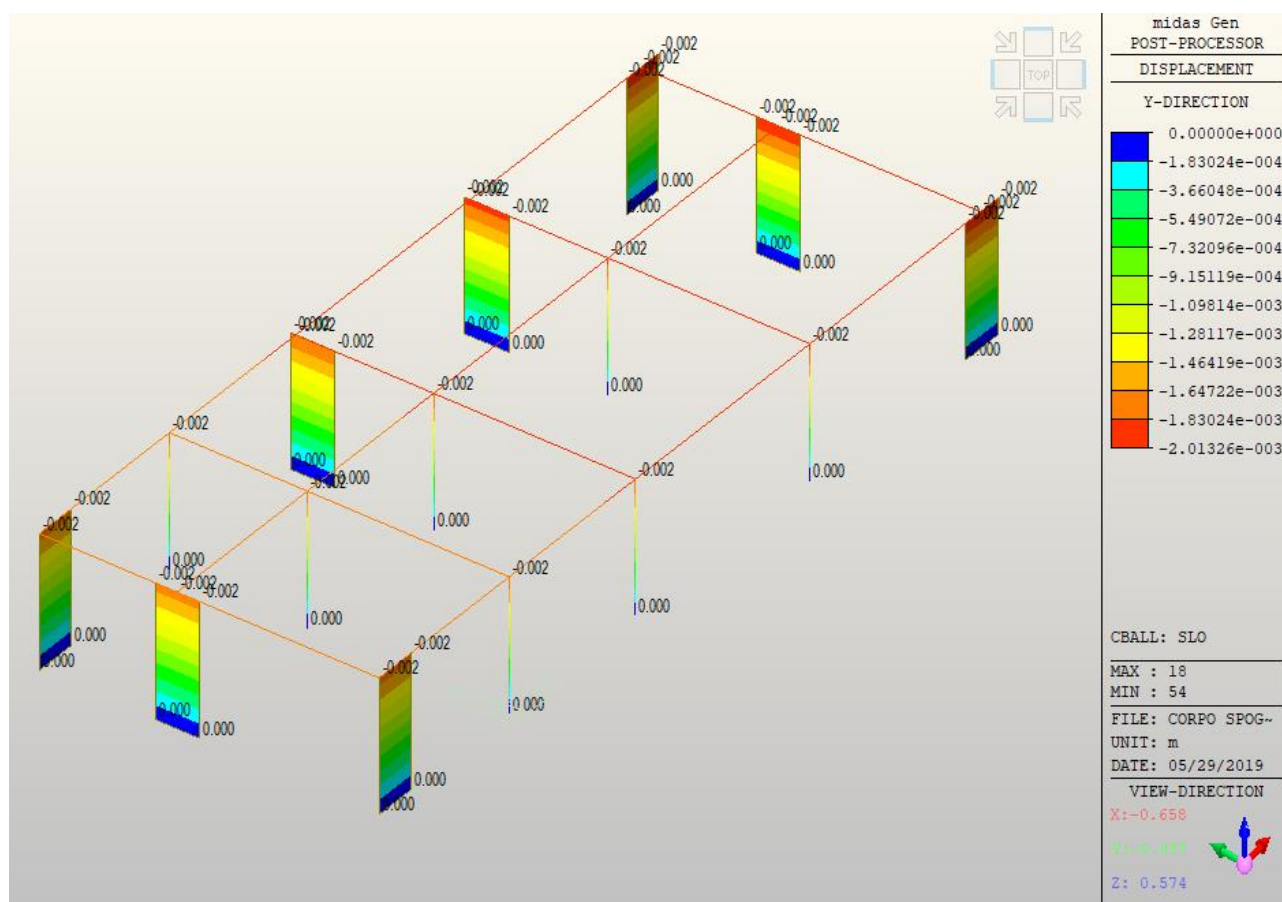


- massimo spostamento in direzione y

$$u_{max,y} = 2,01 \text{ mm}$$



RELAZIONE ILLUSTRATIVA E DI CALCOLO		
Data emissione: 20/05/2019	RST Relazione illustrativa e di calcolo strutturale.docx	126 di 267



Si procede quindi la verifica con il pilastro che presenta gli spostamenti maggiori. L'altezza d'interpiano considerata è quella implementata nel modello, ovvero

$$h = 3,675 \text{ m}$$

La verifica viene effettuata per ogni direzione.

Direzione x

Dato che la costruzione in esame ha un solo piano, lo spostamento corrispondente vale:

$$d_{r,SLO} = u_j - u_i = 1,50 - 0,0 = 1,50 \text{ mm}$$

Dove, considerando il singolo piano, u_i indica lo spostamento del nodo alla base e u_j lo spostamento del nodo in sommità.

Si ottiene quindi che:

$$q d_{r,SLO} = 1,50 \text{ mm} \leq \frac{2}{3} 0,0050 \cdot h = 12,25 \text{ mm}$$

La verifica risulta soddisfatta.

Direzione y

Lo spostamento corrispondente vale:



RELAZIONE ILLUSTRATIVA E DI CALCOLO		
Data emissione: 20/05/2019	RST Relazione illustrativa e di calcolo strutturale.docx	127 di 267

$$d_{r,SLO} = u_j - u_i = 2,01 - 0,0 = 2,01 \text{ mm}$$

Dove, considerando il singolo piano, u_i indica lo spostamento del nodo alla base e u_j lo spostamento del nodo in sommità.

Si ottiene quindi che:

$$q d_{r,SLO} = 2,01 \text{ mm} \leq \frac{2}{3} 0,0050 \cdot h = 12,25 \text{ mm}$$

La verifica risulta soddisfatta.

Anche in questo caso la verifica risulta essere soddisfatta.

6.5.7 ARMATURE TRAVI

La verifica di resistenza, considerando il caso peggiore delle combinazioni di carico allo SLU e allo SLV, è stata realizzata dal programma Midas Gen: dopo aver modellato la struttura sono state implementate le armature delle travi e sono state eseguite le verifiche in accordo con quanto riportato nella vigente normativa.

Si riportano i risultati delle travi in cui sono stati verificati i casi peggiori per ogni sezione:

MEMB	SE	Section		fck	PO	CHK	AsTop	AsBot	N(-) M_Ed	LC B	x/d	N(-) M_Rd	Rat-N	P(+) M_Ed	LC B	x/d	P(+) M_Rd	Rat-P	V_Ed	LC B	V_Rdc	V_Rds	Rat-Vc	Rat-Vs	Rat-V
		Bc	Hc																						
Span		bf	hf	fyw																					
0	□	45X30		25000.0	I	OK	0.0018	0.0009	197.889	6	0.29	237.232	0.83	98.9446	6	0.20	131.574	0.75	64.5190	30	66.3071	222.574	0.97	0.29	0.97
2		0.300	0.450	450000	M	OK	0.0018	0.0009	49.4723	6	0.29	237.232	0.21	100.741	6	0.20	131.574	0.77	64.1861	17	66.3071	111.287	0.97	0.58	0.97
6.4670		0.000	0.000	450000	J	OK	0.0018	0.0009	195.880	2	0.29	237.232	0.83	97.9398	2	0.20	131.574	0.74	65.4243	21	66.3071	222.574	0.99	0.29	0.99
0	□	25X40		25000.0	I	OK	0.0009	0.0009	48.5412	7	0.29	62.2361	0.78	24.2706	7	0.29	62.2361	0.39	49.1471	22	59.2836	140.870	0.83	0.35	0.83
3		0.400	0.250	450000	M	OK	0.0009	0.0009	14.7895	3	0.29	62.2361	0.24	29.3130	7	0.29	62.2361	0.47	43.8239	17	59.2836	35.2174	0.74	1.24	0.74
5.5370		0.000	0.000	450000	J	OK	0.0009	0.0009	59.1581	3	0.29	62.2361	0.95	29.5790	3	0.29	62.2361	0.48	52.3817	20	59.2836	140.870	0.88	0.37	0.88



RELAZIONE ILLUSTRATIVA E DI CALCOLO		
Data emissione: 20/05/2019	RST Relazione illustrativa e di calcolo strutturale.docx	128 di 267

Le verifiche risultano soddisfatte. Per maggiori dettagli sul tipo di armatura inserita si rimanda ai rispettivi elaborati grafici allegati al presente progetto.

6.5.8 ARMATURE PILASTRI

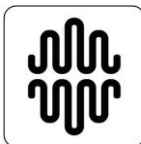
La verifica di resistenza, considerando il caso peggiore delle combinazioni di carico allo SLU e allo SLV, è stata realizzata dal programma Midas Gen: dopo aver modellato la struttura sono state implementate le armature pilastri e sono state eseguite le verifiche in accordo con quanto riportato nella vigente normativa.

Si riportano i risultati dei pilastri in cui sono stati verificati i casi peggiori per ogni sezione (in questo caso una sola sezione):

MEMB	SE	Section		fck	fyt	CHK	LC	V-Rebar	N_Rdmax	Uc	N_Ed	M_Edy	M_Edz	V_Rdc.end	V_Rds.end	V_Rdc.mid	V_Rds.mid	LC	V_Ed.end	Rat-V.end	V_Jhd
SECT	L	Bc	Hc	Height	fyw					Rat-Uc	Rat-N	Rat-My	Rat-Mz	Rat-Vc.end	Rat-Vs.end	Rat-Vc.mid	Rat-Vs.mid		V_Ed.mid	Rat-V.mid	Rat-J
0		30X30		25000.0	450000	OK	12	8-3-P20(P16)	2051.90	0.201	187.329	14.2817	16.3165	79.2089	240.975	61.8307	177.496	12	57.3125	0.724	0.00000
1		0.300	0.300	3.6750	450000					0.000	0.259	0.256	0.262	0.724	0.238	0.863	0.301		53.3402	0.863	0.000

Le verifiche risultano soddisfatte. Per maggiori dettagli sul tipo di armatura inserita si rimanda ai rispettivi elaborati grafici allegati al presente progetto.

Si riporta anche l'output relativo alla verifica di duttilità riportata al capitolo 7 delle NTC2018:



RELAZIONE ILLUSTRATIVA E DI CALCOLO		
Data emissione: 20/05/2019	RST Relazione illustrativa e di calcolo strutturale.docx	129 di 267

```
( ). Calculate Curvature Ductile Factor.  
-. T1 = 0.1235 sec.  
-. Tc = 0.2910 sec.  
-. q0 = 3.0000  
-. Mu_phi = 1.2*[1+2*(q0-1)Tc/T1] =12.5072 (T1 < Tc)
```

```
=====
```

```
midas Gen - RC-Column Checking [ Eurocode2:04 & NTC2018 ]
```

```
=====
```

Gen 2019

```
( ). Check mechanical volumetric ratio of confining hoops within the critical regions.  
-. Bo = 0.2280 m.  
-. Ho = 0.2280 m.  
-. Alpha,n = 0.733  
-. Alpha,s = 0.609  
-. Alpha = Alpha,n*Alpha_s = 0.447  
-. s,use = 0.1000 m.  
-. Wwd = MAX[ 2*Awl*(Bo+Ho)*fyd / (Bo*Ho*s*fcd), 0.08 ] = 0.242  
  
-. Nu_d = 0.036  
-. esy,d = fyd / Es = 0.00196  
-. Lim = 30*Mu_phi*Nu_d*esy,d*Bc/Bo-0.035 =-7.008e-004  
Alpha*Wwd > Lim ---> O.K !
```

E la schermata dei risultati di output in cui sono raggruppate le verifiche dei casi peggiori dei pilastri (compresa la verifica del nodo trave-pilastro in accordo con le NTC2018 al par. 7.4.4.3):



130 di
267

La verifica di resistenza, considerando il caso peggiore delle combinazioni di carico allo SLU e allo SLV, è stata realizzata dal programma Midas Gen: dopo aver modellato la struttura sono state implementate le armature setti e sono state eseguite le verifiche in accordo con quanto riportato nella vigente normativa.



RELAZIONE ILLUSTRATIVA E DI CALCOLO		
Data emissione: 20/05/2019	RST Relazione illustrativa e di calcolo strutturale.docx	131 di 267

Concrete Design Code

Design Code : Eurocode2:04

National Annex : Italy

☒ Apply NTC NTC2018

☒ Apply Special Provisions for Seismic Design

Strut Angle for Shear Resistance : 45 Deg

Effective Creep Ratio (Phi_ef) : 2.14

Slenderness Limit

$\Lambda_{lim} = 25/\sqrt{n}$

Where, $n = N_{Ed}/(A_c \cdot f_{cd})$

☐ Beam-Column Joint Design Gamma_rd 1.1

Strong Column Weak Beam

SUM(M_Rc) > 1.3 * SUM(M_Rb)

☐ Consider strong column-weak beam on last floor

Select Ductility Class

☐ CD'A' (High Ductility)

☒ CD'B' (Medium Ductility)

Shear Force for Design (Gamma_rd)

Beam 1.1 Column 1.1 Wall 1.2

Secondary Seismic Element None

Friction Coefficient for Wall Sliding : 0.6

☐ Torsion Design

Moment Redistribution Factor for Beam : 1

Consider Shear Strength of Concrete for Checking

☒ Wall ☒ Column/Brace ☒ Beam

Si riportano i risultati dei pilastri in cui sono stati verificati i casi peggiori per ogni elemento wall:

SE L	Wall Mark		fck	f_yk	CHK	LC B	Uc	N_Rdmax	Rat-Ny	M_Edy	Rat-My	VRdc	VRds	V_Ed	B.E	B.E.-Rebar
	Lw	HTw	hw	fyw			Rat-Uc	N_Ed	Rat-Nz	M_Edz	Rat-Mz	Rat-Vc	Rat-Vs	Rat-V		B.E.-L
<input type="checkbox"/>	wM0002		25000.0	450000	OK	12	0.026	6009.66	0.951	532.628	0.968	132.393	187.826	157.828	YES	Failure
	1.2000	3.6750	0.3000	450000			0.064	114.237	0.000	0.00000	0.000	1.192	0.840	0.840		0.45000
<input type="checkbox"/>	wM0004		25000.0	450000	OK	12	0.027	6009.66	0.926	501.464	0.906	135.763	187.826	157.424	YES	Failure
	1.2000	3.6750	0.3000	450000			0.068	117.485	0.000	0.00000	0.000	1.160	0.838	0.838		0.45000
<input type="checkbox"/>	wM0005		25000.0	450000	OK	16	0.029	6009.66	0.978	539.360	0.956	137.211	187.826	165.081	YES	Failure
	1.2000	3.6750	0.3000	450000			0.073	149.930	0.000	0.00000	0.000	1.203	0.879	0.879		0.45000
<input type="checkbox"/>	wM0006		25000.0	450000	OK	10	0.030	6009.66	0.968	532.219	0.953	135.290	187.826	181.122	YES	Failure
	1.2000	3.6750	0.3000	450000			0.076	135.695	0.000	0.00000	0.000	1.339	0.964	0.964		0.45000
<input type="checkbox"/>	wM0007		25000.0	450000	OK	10	0.025	6009.66	0.912	505.795	0.928	130.116	187.826	167.780	YES	Failure
	1.2000	3.6750	0.3000	450000			0.062	97.3692	0.000	0.00000	0.000	1.289	0.893	0.893		0.45000

Le verifiche risultano soddisfatte. Per maggiori dettagli sul tipo di armatura inserita si rimanda ai rispettivi elaborati grafici allegati al presente progetto.

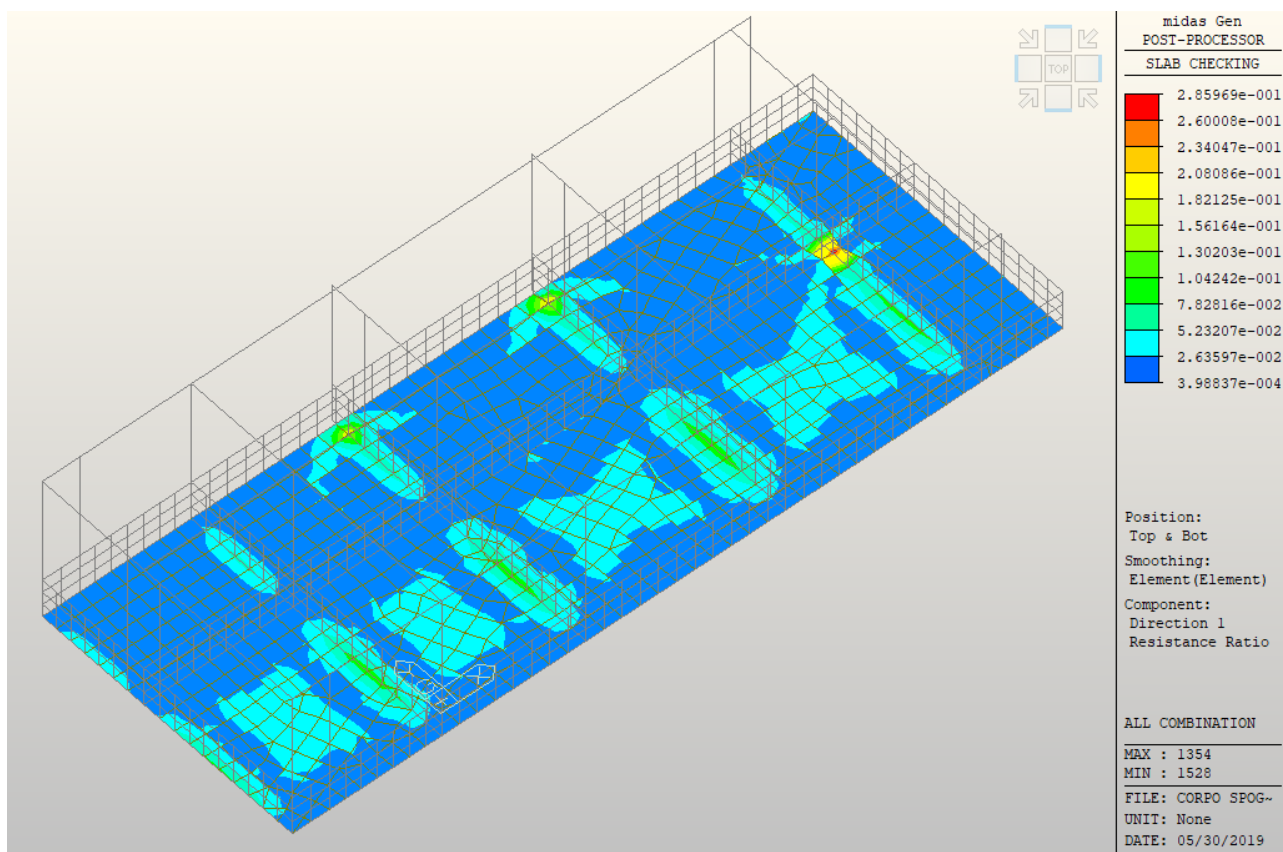
6.5.10 ARMATURE PLATEA

Si riportano di seguito le schermate relative ai risultati delle verifiche eseguite sulla platea di fondazione del corpo spogliato sotto l'azione dei carichi statici e dinamici, dopo averla opportunamente armata con armature $\varnothing 12/200$ superiori ed inferiori. Il software Midas Gen considera come Dir. 1 le armature longitudinali disposte lungo X e come Dir.2 quelle lungo Y.

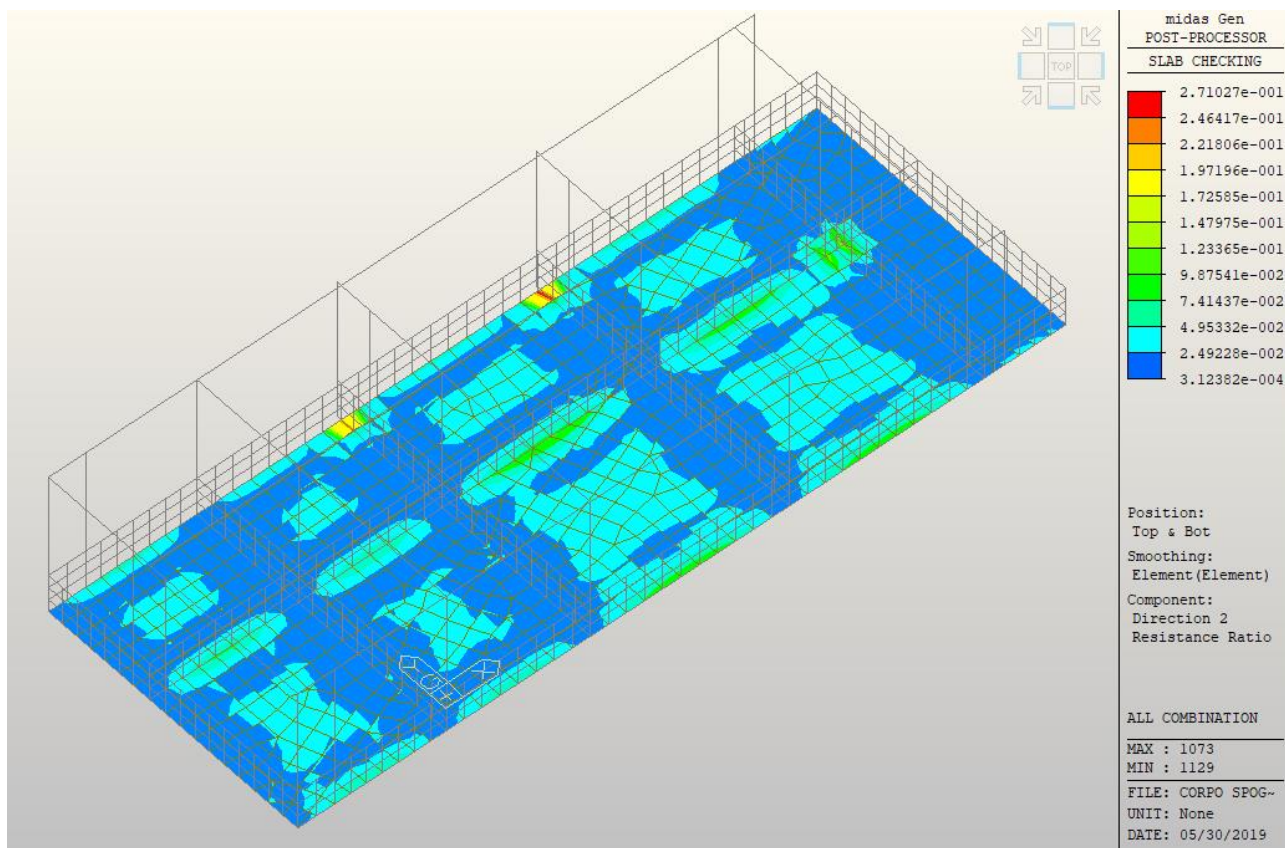
- Risultati relativi alle armature lungo X:



RELAZIONE ILLUSTRATIVA E DI CALCOLO		
Data emissione: 20/05/2019	RST Relazione illustrativa e di calcolo strutturale.docx	132 di 267



- Risultati relativi alle armature lungo Y:





RELAZIONE ILLUSTRATIVA E DI CALCOLO		
Data emissione: 20/05/2019	RST Relazione illustrativa e di calcolo strutturale.docx	133 di 267

6.6 Verifica della resistenza della soletta

Nel corpo spogliatoi è presente una soletta in c.a. C25/30 di spessore 20 cm, a sbalzo. Considerando uno schema statico a mensola (incastro), è stata verificata in termini di resistenza e deformabilità.

Nel modello in Midas Gen non è stata modellata concretamente, ma sono stati considerati i suoi pesi e carichi portati, opportunamente computati e applicati agli elementi strutturali che la sostengono sotto forma di carichi lineari. Considerando uno schema statico a mensola (incastro), sono state verificate in termini di resistenza e deformabilità.

6.6.1 VERIFICA DELLA RESISTENZA DELLA SOLETTA

Per verificare la resistenza della soletta che definisce lo sbalzo nel corpo spogliatoio, il momento resistente viene calcolato considerando la seguente armatura longitudinale (considerando 1 m di soletta ed uno schema statico tipo mensola):

$$A_{inf} = 5\emptyset 16 / m = 1005 \text{ mm}^2 / m$$

$$A_{sup} = 5\emptyset 16 / m = 1005 \text{ mm}^2 / m$$

Dall'equilibrio si ricava la posizione dell'asse neutro:

$$x = 33,6 \text{ mm}$$

Con cui si calcola il momento resistente

$$M_{Rd} = A_{sup} f_{yd} (d - 0,4x) + A_{inf} \sigma'_s (0,4x - d') = 60,13 \text{ kNm}$$

Questo risultato viene confrontato con il momento agente, calcolato combinando i carichi agenti sulla soletta allo SLU (par. 2.5.3 delle NTC2018):



RELAZIONE ILLUSTRATIVA E DI CALCOLO		
Data emissione: 20/05/2019	RST Relazione illustrativa e di calcolo strutturale.docx	134 di 267

2.5.3. COMBINAZIONI DELLE AZIONI

Ai fini delle verifiche degli stati limite, si definiscono le seguenti combinazioni delle azioni.

- Combinazione fondamentale, generalmente impiegata per gli stati limite ultimi (SLU):

$$\gamma_{G1} \cdot G_1 + \gamma_{G2} \cdot G_2 + \gamma_P \cdot P + \gamma_{Q1} \cdot Q_{k1} + \gamma_{Q2} \cdot \psi_{02} \cdot Q_{k2} + \gamma_{Q3} \cdot \psi_{03} \cdot Q_{k3} + \dots \quad [2.5.1]$$
- Combinazione caratteristica, cosiddetta rara, generalmente impiegata per gli stati limite di esercizio (SLE) irreversibili:

$$G_1 + G_2 + P + Q_{k1} + \psi_{02} \cdot Q_{k2} + \psi_{03} \cdot Q_{k3} + \dots \quad [2.5.2]$$
- Combinazione frequente, generalmente impiegata per gli stati limite di esercizio (SLE) reversibili:

$$G_1 + G_2 + P + \psi_{11} \cdot Q_{k1} + \psi_{22} \cdot Q_{k2} + \psi_{23} \cdot Q_{k3} + \dots \quad [2.5.3]$$
- Combinazione quasi permanente (SLE), generalmente impiegata per gli effetti a lungo termine:

$$G_1 + G_2 + P + \psi_{21} \cdot Q_{k1} + \psi_{22} \cdot Q_{k2} + \psi_{23} \cdot Q_{k3} + \dots \quad [2.5.4]$$
- Combinazione sismica, impiegata per gli stati limite ultimi e di esercizio connessi all'azione sismica E:

$$E + G_1 + G_2 + P + \psi_{21} \cdot Q_{k1} + \psi_{22} \cdot Q_{k2} + \dots \quad [2.5.5]$$
- Combinazione eccezionale, impiegata per gli stati limite ultimi connessi alle azioni eccezionali A:

$$G_1 + G_2 + P + A_d + \psi_{21} \cdot Q_{k1} + \psi_{22} \cdot Q_{k2} + \dots \quad [2.5.6]$$

Gli effetti dell'azione sismica saranno valutati tenendo conto delle masse associate ai seguenti carichi gravitazionali:

$$G_1 + G_2 + \sum_j \psi_{2j} Q_{kj} \quad [2.5.7]$$

Nelle combinazioni si intende che vengano omessi i carichi Q_{kj} che danno un contributo favorevole ai fini delle verifiche e, se del caso, i carichi G_2 .

Altre combinazioni sono da considerare in funzione di specifici aspetti (p. es. fatica, ecc.).

Nelle formule sopra riportate il simbolo "+" vuol dire "combinato con".

I valori dei coefficienti ψ_{0j} , ψ_{1j} e ψ_{2j} sono dati nella Tab. 2.5.I oppure nella Tab. 5.1.VI per i ponti stradali e nella Tab. 5.2.VII per i ponti ferroviari. I valori dei coefficienti parziali di sicurezza γ_{Gi} e γ_{Qi} sono dati nel § 2.6.1.

$$M_{SLU} = 33,75 \text{ kNm/m}$$

Dove sono stati considerati i seguenti carichi:

- $G_{1,soletta} = 5,00 \text{ kN/m}$
- $G_{2,soletta} = 2,90 \text{ kN/m}$
- $Q_{neve} = 1,20 \text{ kN/m}$

Con (Tab. 2.6.I NTC2018):

- $\gamma_{G1} = 1,3$
- $\gamma_{G2} = 1,5$
- $\gamma_{Qi} = 1,5$

La verifica risulta essere soddisfatta:

$$\frac{M_{Ed}}{M_{Rd}} = 0,56 < 1$$

6.6.2 VERIFICA DELLA DEFORMABILITÀ A LUNGO TERMINE DELLA SOLETTA

Con riferimento al paragrafo 4.1.2.2.2 delle NTC2018 e al relativo capitolo presente sulla circolare, è stata effettuata un'analisi relativa allo stato limite di deformazione a lungo termine della soletta che definisce lo sbalzo, tenendo conto degli effetti di viscosità. Considerando i carichi permanenti e il sovraccarico accidentale dato dalla neve, agenti su 1 m di soletta e



RELAZIONE ILLUSTRATIVA E DI CALCOLO		
Data emissione: 20/05/2019	RST Relazione illustrativa e di calcolo strutturale.docx	135 di 267

combinati secondo la combinazione quasi-permanente allo SLE (par. 2.5.3 delle NTC2018), per la verifica si calcola il seguente:

2.5.3. COMBINAZIONI DELLE AZIONI

Ai fini delle verifiche degli stati limite, si definiscono le seguenti combinazioni delle azioni.

- Combinazione fondamentale, generalmente impiegata per gli stati limite ultimi (SLU):

$$\gamma_{G1} \cdot G_1 + \gamma_{G2} \cdot G_2 + \gamma_P \cdot P + \gamma_{Q1} \cdot Q_{k1} + \gamma_{Q2} \cdot \psi_{02} \cdot Q_{k2} + \gamma_{Q3} \cdot \psi_{03} \cdot Q_{k3} + \dots \quad [2.5.1]$$

- Combinazione caratteristica, cosiddetta rara, generalmente impiegata per gli stati limite di esercizio (SLE) irreversibili:

$$G_1 + G_2 + P + Q_{k1} + \psi_{02} \cdot Q_{k2} + \psi_{03} \cdot Q_{k3} + \dots \quad [2.5.2]$$

- Combinazione frequente, generalmente impiegata per gli stati limite di esercizio (SLE) reversibili:

$$G_1 + G_2 + P + \psi_{11} \cdot Q_{k1} + \psi_{22} \cdot Q_{k2} + \psi_{23} \cdot Q_{k3} + \dots \quad [2.5.3]$$

- Combinazione quasi permanente (SLE), generalmente impiegata per gli effetti a lungo termine:

$$G_1 + G_2 + P + \psi_{21} \cdot Q_{k1} + \psi_{22} \cdot Q_{k2} + \psi_{23} \cdot Q_{k3} + \dots \quad [2.5.4]$$

- Combinazione sismica, impiegata per gli stati limite ultimi e di esercizio connessi all'azione sismica E:

$$E + G_1 + G_2 + P + \psi_{21} \cdot Q_{k1} + \psi_{22} \cdot Q_{k2} + \dots \quad [2.5.5]$$

- Combinazione eccezionale, impiegata per gli stati limite ultimi connessi alle azioni eccezionali A:

$$G_1 + G_2 + P + A_d + \psi_{21} \cdot Q_{k1} + \psi_{22} \cdot Q_{k2} + \dots \quad [2.5.6]$$

Gli effetti dell'azione sismica saranno valutati tenendo conto delle masse associate ai seguenti carichi gravitazionali:

$$G_1 + G_2 + \sum_j \psi_{2j} Q_{kj} \quad [2.5.7]$$

Nelle combinazioni si intende che vengano omissi i carichi Q_{kj} che danno un contributo favorevole ai fini delle verifiche e, se del caso, i carichi G_2 .

Altre combinazioni sono da considerare in funzione di specifici aspetti (p. es. fatica, ecc.).

Nelle formule sopra riportate il simbolo "+" vuol dire "combinato con".

I valori dei coefficienti ψ_{0j} , ψ_{1j} e ψ_{2j} sono dati nella Tab. 2.5.I oppure nella Tab. 5.1.VI per i ponti stradali e nella Tab. 5.2.VII per i ponti ferroviari. I valori dei coefficienti parziali di sicurezza γ_{Gi} e γ_{Qj} sono dati nel § 2.6.1.

$$q_{SLE} = 7,90 \text{ kN/m}$$

Dove sono stati considerati i seguenti carichi:

- $G_{1,soletta} = 5,00 \text{ kN/m}$
- $G_{2,soletta} = 2,90 \text{ kN/m}$
- $Q_{neve} = 1,20 \text{ kN/m}$

Con (da Tab. 2.5.I NTC2018):

- $\psi_{21} = 0,0$

Considerando il momento agli SLE quasi permanenti, il valore del momento flettente agente (dal modello) è:

$$M_{Ed} = 21,08 \text{ kNm}$$

Il momento di prima fessurazione vale

$$M_{CR} = f_{ctm,flex} \frac{bh^2}{6} = 20,52 \text{ kNm}$$

Dove:

- $f_{ctm,flex} = 1,2f_{ctm} = 1,2 \left(0,3f_{ck}^{2/3} \right) = 3,08 \text{ N/mm}^2$
- $b = 1000 \text{ mm}$ considerando 1 m di soletta
- $h = 200 \text{ mm}$ altezza della soletta



RELAZIONE ILLUSTRATIVA E DI CALCOLO		
Data emissione: 20/05/2019	RST Relazione illustrativa e di calcolo strutturale.docx	136 di 267

Si considera un modulo di Young ridotto, pari a:

$$E_{cm,eff} = \frac{E_{cm}}{1 + \varphi} = 8816,75 \text{ N/mm}^2$$

Dove:

- E_{cm} è il modulo elastico del calcestruzzo considerato, C25/30 (par. 11.2.10.3 NTC2018):

$$E_{cm} = 22000 \left(\frac{f_{cm}}{10} \right)^{0,3} = 31475,81 \text{ N/mm}^2$$

Con $f_{cm} = f_{ck} + 8 = 33,00 \text{ N/mm}^2$ valore medio della resistenza cilindrica a compressione (par. 11.2.10.1 NTC2018).

- φ è il coefficiente di viscosità a tempo infinito ($\varphi(\infty, t_0)$) definito al par. 11.2.10.7 delle NTC2018. Considerando un'atmosfera con umidità relativa di circa il 55% e la dimensione fittizia h_0 definita nel par. 11.2.10.6:

$$h_0 = 2 \frac{A_c}{u} = 167 \text{ mm}$$

Con A_c area della sezione in calcestruzzo (250000 mm^2) e u perimetro della sezione in calcestruzzo esposto all'aria (si considera l'intero perimetro della sezione, a favore di sicurezza, 2500 mm). Da h_0 si ricava il valore di $\varphi(\infty, t_0)$ per interpolazione lineare dalla tabella della normativa, considerando $t_0 = 30 \text{ giorni}$:

Tab. 11.2.VII - Valori di $\phi(\infty, t_0)$. Atmosfera con umidità relativa di circa il 55%

t_0	$h_0 \leq 75 \text{ mm}$	$h_0 = 150 \text{ mm}$	$h_0 = 300 \text{ mm}$	$h_0 \geq 600 \text{ mm}$
3 giorni	4,5	4,0	3,6	3,3
7 giorni	3,7	3,3	3,0	2,8
15 giorni	3,3	3,0	2,7	2,5
30 giorni	2,9	2,6	2,3	2,2
$\geq 60 \text{ giorni}$	2,5	2,3	2,1	1,9

Dall'interpolazione lineare dei due valori indicati nella tabella si ottiene infine:

$$\varphi(\infty, t_0) = 2,57$$

Il coefficiente di omogenizzazione vale:

$$n_{eff} = \frac{E_s}{E_{cm,eff}} = \frac{210000}{9257,59} = 23,82$$

Con E_s , anch'esso in N/mm^2 , è il modulo elastico dell'acciaio.



RELAZIONE ILLUSTRATIVA E DI CALCOLO		
Data emissione: 20/05/2019	RST Relazione illustrativa e di calcolo strutturale.docx	137 di 267

Stadio 1 – sezione non fessurata

Calcolo del momento statico rispetto al lembo superiore della sezione:

$$S_s = 0,0246 \text{ m}^3$$

Posizione asse neutro:

$$x = \frac{S_s}{A} = 0,099 \text{ m}$$

Dove:

$$A = bh + n_{eff}A_s + n_{eff}A'_s = 0,248 \text{ m}^2$$

Con questi dati si ricava il momento d'inerzia:

$$J = 0,00078 \text{ m}^4$$

Freccia con sezione interamente reagente (schema statico mensola):

$$p = \frac{q_{SLE} l^4}{8 E_{cm,eff} J} = 4,09 \text{ mm}$$

Dove la luce della mensola $l = 2,31 \text{ m}$.

Stadio 2 – sezione fessurata

Posizione asse neutro da annullamento momento statico:

$$x_f = 0,059 \text{ m}$$

Momento d'inerzia:

$$J_f = 0,00038 \text{ m}^4$$

Freccia con sezione fessurata (schema statico mensola):

$$p_f = \frac{q_{SLE} l^4}{8 E_{cm,eff} J_f} = 8,48 \text{ mm}$$

Come detto, assumendo il fattore di distribuzione $\xi = 0$, si ottiene che il valore di calcolo della deformazione (spostamento) per la verifica di deformabilità a lungo termine:

$$p^* = p = 2,31 \text{ mm}$$

Dalla circolare esplicativa delle NTC2018, con riferimento al paragrafo C4.1.2.2.2, si riporta la formula per ricavare il valore di calcolo della deformazione (spostamento) per la verifica di deformabilità a lungo termine:

$$p^* = \xi p_f + (1 - \xi)p = 6,38 \text{ mm}$$

Dove:

$$\xi = 1 - c\beta^2 = 0,524$$

con

- $\beta = \frac{M_{CR}}{M_{Ed}} = 0,97$
- $c = 0,5$ lungo termine



RELAZIONE ILLUSTRATIVA E DI CALCOLO		
Data emissione: 20/05/2019	RST Relazione illustrativa e di calcolo strutturale.docx	138 di 267

Facendo sempre riferimento alla circolare esplicativa delle NTC2018, il limite consentito per uno schema statico di tipo mensola è:

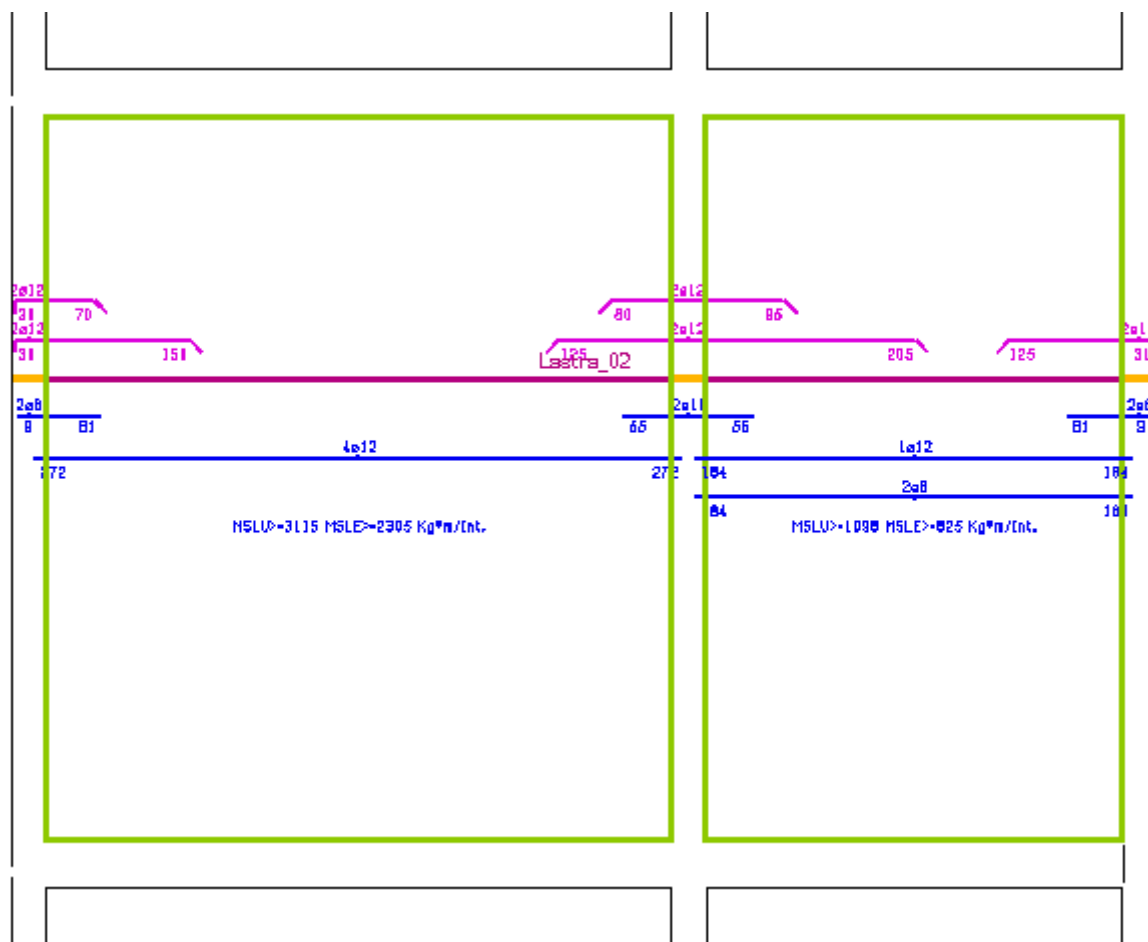
$$\frac{2l}{500} = 9,24 \text{ mm} > 6,38 \text{ mm}$$

Dove $l = 2,31 \text{ m}$ è la luce della mensola.

La verifica risulta essere soddisfatta.

6.7 Analisi dei solai in predalles presenti nella struttura

Si riporta di seguito i risultati derivanti dalle analisi allo SLU e allo SLE eseguite sui solai predalles presenti sulla copertura del corpo spogliatoi eseguite con l'ausilio del programma "A.M.V. Solai". Si riportano, inoltre, le armature necessarie calcolate dal programma per supportare le sollecitazioni agenti:



DATI DIMENSIONALI, CARICHI E PARAMETRI DI PROGETTO SOLAIO A LASTRE

Riferimento: Solai predalles Marzabotto Schema: Lastra_02



RELAZIONE ILLUSTRATIVA E DI CALCOLO		
Data emissione: 20/05/2019	RST Relazione illustrativa e di calcolo strutturale.docx	139 di 267

CAMPATE

	+-----+
	1 2
	+-----+
Interasse (m)	5,54 3,78
	+-----+

APPOGGI

	+-----+
Larghezza (m)	0,30 0,30 0,30
	+-----+
Coeff.riduz.mom.neg.	0 0 0
	+-----+
Largh. spunt. (m)	0,25 0,25 0,25
	+-----+
Tipo appoggio	T T T
	+-----+

CARICHI DISTRIBUITI UNIFORMI (POSITIVI SE RIVOLTI VERSO IL BASSO) E RELATIVE ASTE DI APPLICAZIONE

Unita' di misura: kg/m²

PARAMETRI DI CARICO		ASTE INTERESSATE	
N.	permanenti	variabili	1 2
		(accidentali)	
1	650	120	* *

FATTORI DI SICUREZZA PARZIALE SUI CARICHI S.L.U. E S.L.E.

Fattore di sicurezza per carichi permanenti	S.L.U.: 1.3	S.L.E.: 1
Fattore di sicurezza per carichi variabili	S.L.U.: 1.5	S.L.E.: 0.7

CARATTERISTICHE DEI MATERIALI E DELLE SEZIONI DI PROGETTO

Resistenza calcestruzzo Rck	kg/cm ²	300
fyk	kg/cm ²	4580
Copriferro armatura base di confezione (cm)		2
Copriferro armatura superiore (cm)		4
Copriferro armatura aggiunt. inferiore (cm)		6
Altezza solaio (cm)		4+16+5
Interasse (cm)		120
Tipo blocco		Non collaborante
Condizione ambientale		Ordinaria
Combinazione SLE		Rara
Aliquota/Momento di sicurezza app. SX		14
Aliquota/Momento di sicurezza app. DX		14
Aliq. momento massimo positivo in campata		16
Verifica a taglio		Ottimizzata

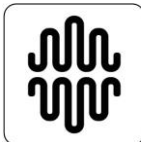
Tabella delle sollecitazioni, indici di resistenza e delle armature solaio a lastre

(riferite all'interasse del solaio)
CALCOLO ALLO STATO LIMITE ULTIMO

Riferimento: Solai predalles Marzabotto Schema: Lastra_02

CAMPATA 1

x	M max	M min	V max	V min	a.inf	a.sup	Indice resistenza		Note
(m)	(kg *m)		(kg)			(cm ²)	Flessione	Taglio	
0,00	229	-2696	2768	2231	0,32	3,34	0,99	0,24	
0,15	630	-2696	2584	2078	2,10	2,85	0,99	0,68	
0,55	1544	-1777	2087	1669	2,10	1,68	0,99	0,55	
1,11	2461	-966	1405	1107	3,38	0,67	0,99	0,34	
1,66	2993	2377	724	545	4,14	0,00	0,99	0,16	
2,22	3115	2453	43	-16	4,30	0,00	0,99	0,01	
2,25	3115				4,30	0,00	1,00	0,00	
2,77	3033	2362	-550	-667	4,18	0,00	0,99	0,15	



RELAZIONE ILLUSTRATIVA E DI CALCOLO		
Data emissione: 20/05/2019	RST Relazione illustrativa e di calcolo strutturale.docx	140 di 267

3,32	2548	1934	-1112	-1349	3,50	0,00	0,99	0,32
3,88	1686	1195	-1674	-2030	2,30	0,00	0,99	0,54
4,43	425	-313	-2235	-2711	2,10	0,00	0,65	0,66
4,99	-1598	-1939	-2797	-3393	2,10	1,89	0,98	0,82
5,39	-2727	-3308	-3207	-3890	2,10	3,64	0,99	0,87
5,54	-2857	-3465	-3359	-4074	0,00	4,33	0,99	0,33

CAMPATA 2

x	M max	M min	V max	V min	a.inf	a.sup	Indice resistenza	Note
(m)	(kg *m)		(kg)		(cm ²)		Flessione Taglio	
0,00	-2857	-3465	3302	2723	0,00	4,33	0,99	0,27
0,15	-2768	-3358	3118	2570	2,10	3,69	0,99	0,70
0,38	-2300	-2790	2838	2339	2,10	2,96	0,99	0,68
0,76	-1368	-1868	2373	1956	2,10	1,78	0,99	0,58
1,13	-569	-1118	1908	1573	2,10	0,86	0,97	0,46
1,51	319	-514	1443	1189	2,10	0,09	0,96	0,35
1,89	687	138	978	806	2,10	0,00	0,44	0,26
2,27	880	386	553	383	2,10	0,00	0,56	0,15
2,57	887				2,10	0,00	0,57	0,00
2,65	887	459	170	-82	2,10	0,00	0,57	0,04
3,02	832	-839	-214	-547	2,10	0,48	0,99	0,14
3,40	569	-1018	-597	-1012	2,10	0,73	0,97	0,27
3,63	326	-1255	-828	-1293	2,10	1,02	0,98	0,34
3,78	118	-1255	-980	-1477	0,16	1,54	0,99	0,13

REAZIONI D'APPOGGIO

(riferite all'interasse)

BARRE A TAGLIO AGLI APPOGGI

Num.	MAX	MIN	Ø	LUNGH.TOT.
app.	(kg)	(kg)	(mm)	(m)
1	2768	2231	2Ø 8	0,70
2	7377	6081	2Ø10	1,10
3	1477	980	2Ø 6	0,70

TABELLA DEI MOMENTI MASSIMI IN CAMPATA (rif. all'interasse)

Mensola/ Campata	Mom.max	a.inf	Indice resistenza flessione
n.	(kg *m)	(cm ²)	
1	3115	4,30	0,996
2	1098	2,10	0,710

Tabella delle sollecitazioni delle tensioni e delle armature solaio a lastre (riferite all'interasse del solaio) CALCOLO ALLO STATO LIMITE DI ESERCIZIO

Riferimento: Solai predalles Marzabotto Schema: Lastra_02

CAMPATA 1

x	max M	min M	max V	min V	a.inf	a.sup	Sc	Slat	Sf	winf	wsup	Note
(m)	(kg *m)		(kg)		(cm ²)			(kg/cm ²)		(mm)		
0,00	0	-2026	2064	1956	0,32	3,34	-13,60		88	0,00	0,00	
0,15	299	-1742	1925	1824	2,10	2,85	-14,34	-8,00	90	0,00	0,00	
0,55	1002	-1077	1552	1468	2,10	1,68	-8,88	-5,00	56	0,00	0,00	
1,11	1720	-399	1040	981	3,38	0,67	-13,50	-7,60	77	0,00	0,00	
1,66	2154	2035	528	493	4,14	0,00	-16,97	-9,60	96	0,00	0,00	
2,22	2305	2173	16	5	4,30	0,00	-54,19	0,00	3035	0,72	0,00	
2,77	2172	2040	-478	-501	4,18	0,00	-17,11	-9,60	97	0,00	0,00	
3,32	1756	1637	-966	-1013	3,50	0,00	-13,84	-7,80	78	0,00	0,00	
3,88	1056	964	-1454	-1525	2,30	0,00	-8,33	-4,70	48	0,00	0,00	
4,43	73	20	-1942	-2037	2,10	0,00	-0,57	-0,40	3	0,00	0,00	
4,99	-1166	-1223	-2430	-2549	2,10	1,89	-10,08		64	0,00	0,00	
5,39	-2219	-2328	-2785	-2922	2,10	3,64	-19,14		119	0,00	0,00	
5,54	-2482	-2603	-2918	-3061	0,00	4,33	-17,46		113	0,00	0,00	

CAMPATA 2

x	max M	min M	max V	min V	a.inf	a.sup	Sc	Slat	Sf	winf	wsup	Note
(m)	(kg *m)		(kg)		(cm ²)			(kg/cm ²)		(mm)		
0,00	-2482	-2603	2481	2365	0,00	4,33	-17,46		113	0,00	0,00	
0,15	-2302	-2415	2342	2233	2,10	3,69	-19,85		124	0,00	0,00	
0,38	-1816	-1905	2132	2032	2,10	2,96	-15,68		98	0,00	0,00	



RELAZIONE ILLUSTRATIVA E DI CALCOLO		
Data emissione: 20/05/2019	RST Relazione illustrativa e di calcolo strutturale.docx	141 di 267

0,76	-1086	-1189	1782	1699	2,10	1,78	-9,81	62	0,00	0,00
1,13	-488	-600	1433	1366	2,10	0,86	-4,95	32	0,00	0,00
1,51	-22	-137	1084	1033	2,10	0,09	-1,13	7	0,00	0,00
1,89	311	201	735	700	2,10	0,00	-2,46	14	0,00	0,00
2,27	513	412	393	359	2,10	0,00	-4,05	23	0,00	0,00
2,65	583	498	60	10	2,10	0,00	-4,60	26	0,00	0,00
3,02	521	-485	-273	-339	2,10	0,48	-4,09	26	0,00	0,00
3,40	326	-651	-606	-689	2,10	0,73	-5,38	34	0,00	0,00
3,63	145	-812	-806	-899	2,10	1,02	-6,70	43	0,00	0,00
3,78	0	-943	-938	-1038	0,16	1,54	-6,36	42	0,00	0,00

REAZIONI D'APPOGGIO (riferite all' interasse)

BARRE A TAGLIO AGLI APPOGGI

Num. app.	MAX (kg)	MIN (kg)	Ø (mm)	LUNGH.TOT. (m)
1	2064	1956	2Ø 8	0,70
2	5542	5282	2Ø10	1,10
3	1038	938	2Ø 6	0,70

TABELLA DELLE FRECCHE E DEI MOMENTI MASSIMI IN CAMPATA (rif. all'interasse)

fmax > 0 = abbassamento Modulo di elasticita' = 200000 kg/cm²

Mensola/ Mom.inerzia Campata Sez.fess.	Mom.max	a.inf	Sc	Slat	Sf	winf	xfmax	fmax	fmax/l	Mom.inerzia convenzionale	Mom.inerzia sez.non.fess.
n. (cm^4)	(kg *m)	(cm²)		(kg/cm²)		(mm)	(m)	(cm)		(cm^4)	(cm^4)
1	2305	4,30	-54,19	0,00	3035	0,72	2,51	1,38	1/400	101438	128385
21608											
2	825	2,10	-6,51	-3,70	37	0,00	2,65	0,01	1/31117	101438	128385
128385											

Tabella delle armature superiori, fasce piene e semipiene (solaio a lastre)

Riferimento: Solai predalles Marzabotto Schema: Lastra_02

Num. app.	Ø (mm)	Lungh. sinistra (m)	Lungh. destra (m)
1	2d12	0,30	1,50
1	2d12	0,30	0,70
2	2d12	1,25	2,05
2	2d12	0,80	0,95
3	2d10	1,25	0,30

Tabella delle armature inferiori (solaio a lastre)

Riferimento: Solai predalles Marzabotto Schema: Lastra_02

Campata 1 - Luce 5,54 m - Lunghezza Lastra 5,24 m

Barra	n	Ø (mm)	Lungh. sinistra (m)	Lungh. destra (m)	Lungh. Totale (m)
	4	12	2,72	2,72	5,44

Campata 2 - Luce 3,78 m - Lunghezza Lastra 3,48 m

Barra	n	Ø (mm)	Lungh. sinistra (m)	Lungh. destra (m)	Lungh. Totale (m)
	1	12	1,84	1,84	3,68
	2	8	1,84	1,84	3,68



RELAZIONE ILLUSTRATIVA E DI CALCOLO		
Data emissione: 20/05/2019	RST Relazione illustrativa e di calcolo strutturale.docx	142 di 267

Indici di resistenza (SLU) effettivi di lavoro (rif. all'interasse) solaio a lastre

Riferimento: Solai predalles Marzabotto Schema: Lastra_02

Mensola/Campata	Ascissa	Momento	Taglio	a.inf	a.sup	Indice resistenza	
	(m)	(kg *m)	(kg)	(cm ²)		flessione	taglio
1	0,00	229	2768	1,01	4,52	0,21	0,24
1	0,00	-2696	2768	1,01	4,52	0,71	0,24
1	0,15	630	2584	4,52	4,52	0,18	0,57
1	0,15	-2696	2584	4,52	4,52	0,63	0,57
1	2,25	3115	0	4,52	0,00	0,95	0,00
1	5,39	-3308	-3890	4,52	4,52	0,77	0,81
1	5,54	-3465	-4074	1,57	4,52	0,88	0,33
2	0,00	-3465	3302	1,57	4,52	0,88	0,27
2	0,15	-3358	3118	2,14	4,52	0,84	0,65
2	2,57	1098	0	2,14	1,57	0,64	0,00
2	3,63	326	-1293	2,14	1,57	0,19	0,34
2	3,63	-1255	-1293	2,14	1,57	0,73	0,34
2	3,78	118	-1477	0,57	1,57	0,20	0,13
2	3,78	-1255	-1477	0,57	1,57	0,89	0,13

Tensioni massime (SLE) effettive di lavoro (rif. all'interasse) solaio a lastre

Riferimento: Solai predalles Marzabotto Schema: Lastra_02

Mensola/Campata	Ascissa	Momento	a.inf	a.sup	Sc	Slat	Sf	winf	wsup	Note
	(m)	(kg *m)	(cm ²)		(kg/cm ²)			(mm)		
1	0,00	-2026	1,01	4,52	-13,54		88	0,00	0,00	
1	0,15	-1742	4,52	4,52	-14,16		89	0,00	0,00	
1	2,22	2305	4,52	0,00	-53,10	0,00	2892	0,65	0,00	
1	5,39	-2328	4,52	4,52	-18,92		119	0,00	0,00	
1	5,54	-2603	1,57	4,52	-17,38		113	0,00	0,00	
2	0,00	-2603	1,57	4,52	-17,38		113	0,00	0,00	
2	0,15	-2415	2,14	4,52	-19,83		123	0,00	0,00	
2	2,65	825	2,14	1,57	-6,45	-3,60	37	0,00	0,00	
2	3,63	-812	2,14	1,57	-6,70		42	0,00	0,00	
2	3,78	-943	0,57	1,57	-6,35		42	0,00	0,00	



RELAZIONE ILLUSTRATIVA E DI CALCOLO		
Data emissione: 20/05/2019	RST Relazione illustrativa e di calcolo strutturale.docx	143 di 267

7 MODELLI DI CALCOLO: PALESTRA

Ai fini di verificare e determinare lo stato di sollecitazione degli elementi, è stata eseguita un'analisi numerica del corpo ingresso della palestra grazie all'ausilio del programma di calcolo agli elementi finiti Midas Gen.

A tal proposito risulta necessario fare alcune precisazioni: la complessità delle strutture in genere, l'articolazione delle caratteristiche costruttive e l'inevitabile approssimazione di tutte le tecniche di calcolo possibili, non consentono una "modellazione" esatta e reale del comportamento strutturale (influenzato anche dai singoli dettagli eseguiti in corso d'opera). Per tale motivazione sono stati analizzati i modelli di calcolo ritenuti più vicini al reale comportamento della struttura, eseguendo anche valutazioni su modellazioni diverse e confrontando, quando necessario, i risultati di più situazioni (e simulazioni) limite.

La modellazione delle strutture in progetto è stata effettuata in completa aderenza al progetto strutturale presentato. L'analisi e l'eventuale validazione della stessa è stata eseguita in via sintetica e conclusiva, consentono di valutare come affidabile l'impostazione globale dell'edificio.

7.1 Combinazione delle azioni

Ai fini delle verifiche agli stati limite, per il caso in esame, si definiscono le seguenti combinazioni delle azioni, in accordo con quanto riportato nelle NTC18:

Combinazione fondamentale, generalmente impiegata per gli stati limite ultimi (SLU):

$$F_d = \gamma_{G1}G_1 + \gamma_{G2}G_2 + \gamma_P P + \gamma_{q1}Q_{k1} + \sum_{i=2}^N \gamma_{qi}\psi_{0i}Q_{ki}$$

Combinazione caratteristica (rara), generalmente impiegata per gli stati limite di esercizio (SLE) irreversibili:

$$F_d = G_1 + G_2 + P + Q_{k1} + \sum_{i=2}^N \psi_{0i}Q_{ki}$$

dove:

F_d è l'azione di calcolo, la forza di progetto;

G_1 sono i carichi permanenti strutturali;

G_2 sono i carichi permanenti portati;

P è il valore caratteristico della forza di precompressione;

Q_{k1} è il valore caratteristico dell'azione variabile principale;

Q_{ki} sono i valori caratteristici delle azioni variabili secondarie, tra loro indipendenti;

i coefficienti parziali per le azioni sono stati assunti facendo riferimento alla situazione sfavorevole e valgono:



RELAZIONE ILLUSTRATIVA E DI CALCOLO		
Data emissione: 20/05/2019	RST Relazione illustrativa e di calcolo strutturale.docx	144 di 267

$$\gamma_{G1}=1,3$$

$$\gamma_{G2}=1,5$$

$$\gamma_P=1,0$$

$$\gamma_{Qi}=1,5$$

Si riporta di seguito la tabella di riferimento:

Tab. 2.6.I – Coefficienti parziali per le azioni o per l'effetto delle azioni nelle verifiche SLU

		Coefficiente γ_F	EQU	A1	A2
Carichi permanenti G_1	Favorevoli	γ_{G1}	0,9	1,0	1,0
	Sfavorevoli		1,1	1,3	1,0
Carichi permanenti non strutturali $G_2^{(1)}$	Favorevoli	γ_{G2}	0,8	0,8	0,8
	Sfavorevoli		1,5	1,5	1,3
Azioni variabili Q	Favorevoli	γ_Q	0,0	0,0	0,0
	Sfavorevoli		1,5	1,5	1,3

⁽¹⁾ Nel caso in cui l'intensità dei carichi permanenti non strutturali o di una parte di essi (ad es. carichi permanenti portati) sia ben definita in fase di progetto, per detti carichi o per la parte di essi nota si potranno adottare gli stessi coefficienti parziali validi per le azioni permanenti.

Nella Tab. 2.6.I il significato dei simboli è il seguente:

γ_{G1} coefficiente parziale dei carichi permanenti G_1 ;

γ_{G2} coefficiente parziale dei carichi permanenti non strutturali G_2 ;

γ_{Qi} coefficiente parziale delle azioni variabili Q.

ψ_{0i} sono i coefficienti di combinazione delle azioni che tengono conto della probabilità di non contemporaneità dei carichi accidentali e quindi sono coefficienti di deamplificazione (<1); vengono chiamati coefficienti di combinazione e per le analisi effettuate sono stati presi in considerazione quelli relativi al vento e alla neve a quota ≤ 1000 m s.l.m. :

Tab. 2.5.I – Valori dei coefficienti di combinazione

Categoria/Azione variabile	Ψ_{0j}	Ψ_{1j}	Ψ_{2j}
Categoria A - Ambienti ad uso residenziale	0,7	0,5	0,3
Categoria B - Uffici	0,7	0,5	0,3
Categoria C - Ambienti suscettibili di affollamento	0,7	0,7	0,6
Categoria D - Ambienti ad uso commerciale	0,7	0,7	0,6
Categoria E – Aree per immagazzinamento, uso commerciale e uso industriale Biblioteche, archivi, magazzini e ambienti ad uso industriale	1,0	0,9	0,8
Categoria F - Rimesse, parcheggi ed aree per il traffico di veicoli (per autoveicoli di peso ≤ 30 kN)	0,7	0,7	0,6



RELAZIONE ILLUSTRATIVA E DI CALCOLO		
Data emissione: 20/05/2019	RST Relazione illustrativa e di calcolo strutturale.docx	145 di 267

Categoria G – Rimesse, parcheggi ed aree per il traffico di veicoli (per autoveicoli di peso > 30 kN)	0,7	0,5	0,3
Categoria H - Coperture accessibili per sola manutenzione	0,0	0,0	0,0
Categoria I – Coperture praticabili	da valutarsi caso per caso		
Categoria K – Coperture per usi speciali (impianti, eliporti, ...)			
Vento	0,6	0,2	0,0
Neve (a quota ≤ 1000 m s.l.m.)	0,5	0,2	0,0
Neve (a quota > 1000 m s.l.m.)	0,7	0,5	0,2
Variazioni termiche	0,6	0,5	0,0

Combinazione sismica, sebbene non impiegata in questo caso, per gli stati limite connessi all'azione del sisma E:

$$F_d = E + G_1 + G_2 + P + \sum_{i=1}^N \psi_{2i} Q_{ki}$$

dove:

F_d è l'azione di calcolo, la forza di progetto;

E è l'azione sismica;

G_1 sono i carichi permanenti strutturali;

G_2 sono i carichi permanenti portati;

P è il valore caratteristico della forza di precompressione;

Q_{ki} sono i valori caratteristici delle azioni variabili secondarie, tra loro indipendenti;

ψ_{2i} sono i coefficienti di combinazione per le analisi sismiche.

7.2 Breve illustrazione dei codici di calcolo

7.2.1 MIDAS GEN

Midas Gen è un software di calcolo agli elementi finiti con cui è possibile modellare la struttura di interesse in un ambiente CAD utilizzando elementi quali nodi, aste e superfici piane e assegnando le relative caratteristiche geometriche e meccaniche; in questo modo, dopo aver opportunamente assegnato i vincoli ed i carichi agenti, il programma genera come output il valore delle sollecitazioni agenti con cui è possibile fare delle verifiche secondo la normativa di riferimento (in questo caso NTC2018).

Essendo un programma agli elementi finiti, sono presenti delle impostazioni (es. automesh) che permettono di discretizzare gli elementi geometrici, come le superfici, creando maggiori punti di controllo e quindi ottenere una maggiore precisione dei risultati.

Nel programma sono presenti delle librerie predefinite con le quali è possibile scegliere una normativa di riferimento e quindi impostare una determinata sezione o materiale.



RELAZIONE ILLUSTRATIVA E DI CALCOLO		
Data emissione: 20/05/2019	RST Relazione illustrativa e di calcolo strutturale.docx	146 di 267

È, inoltre, possibile modificare manualmente i parametri appena descritti in modo da personalizzare l'analisi in base alle proprie necessità e quindi creare un modello che sia il più possibile simile a quello reale.

Come già accennato, una volta realizzato il modello geometrico si possono assegnare i vincoli, esterni e interni, e i carichi agenti sulla struttura. Con Midas Gen è possibile svolgere analisi statiche o dinamiche, lineari o non lineari, e visualizzare i risultati sia in veste grafica che numerica. Dopo aver definito le diverse azioni di calcolo, queste possono essere combinate in modo automatico o manuale per poter eseguire le verifiche agli stati limite.

Una volta completato il modello di calcolo con le relative azioni è possibile visualizzare i diversi risultati in termini di sollecitazioni e spostamenti.

Il programma presenta, inoltre, delle opzioni che permettono di effettuare automaticamente le verifiche delle sezioni (es. verifiche delle sezioni in acciaio) seguendo le indicazioni della normativa vigente e suggerendo eventuali modifiche per ottimizzare il modello laddove la verifica non fosse soddisfatta.

7.3 Criteri di verifica

7.3.1 COMBINAZIONI DELLE AZIONI

Come già illustrato in precedenza le azioni verranno combinate in totale armonia con la normativa vigente ovvero le NTC18.

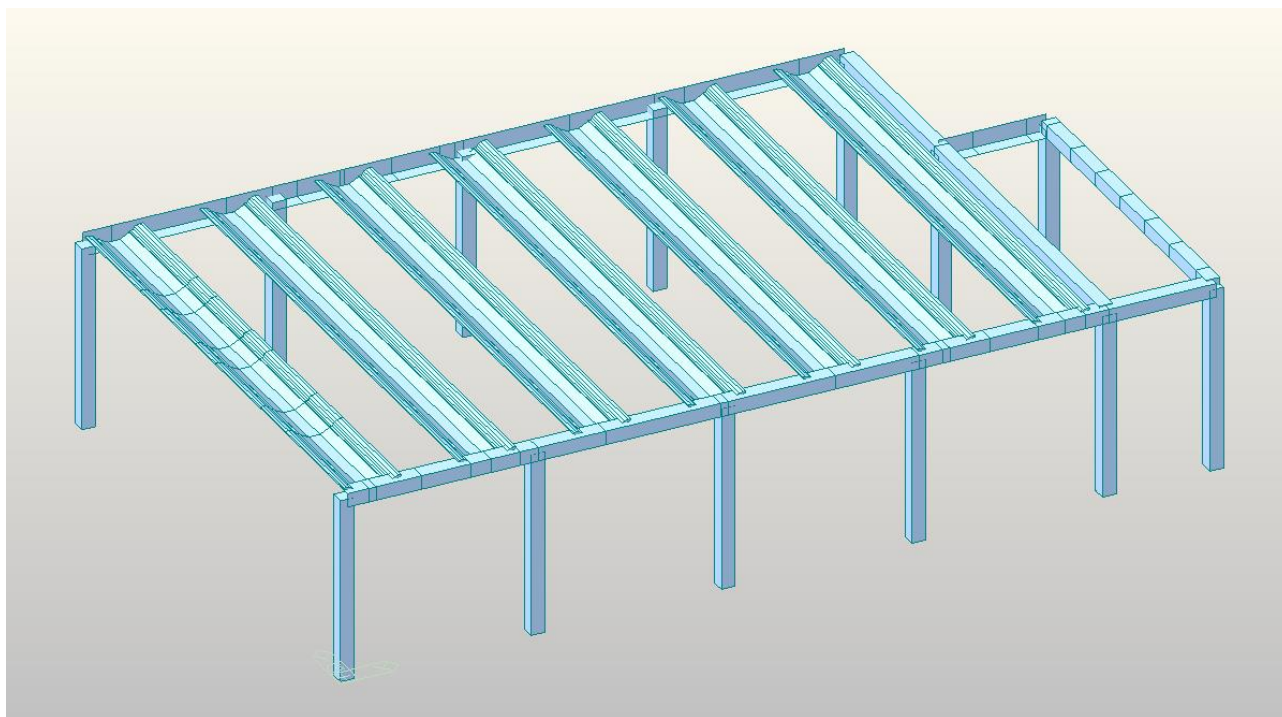
7.4 Criteri generali della modellazione

La palestra è stata analizzata tramite un modello agli elementi finiti.

Modello di calcolo della struttura:



RELAZIONE ILLUSTRATIVA E DI CALCOLO		
Data emissione: 20/05/2019	RST Relazione illustrativa e di calcolo strutturale.docx	147 di 267



7.4.1.1 Midas Gen

Come già accennato in precedenza, il software Midas Gen è stato utilizzato per creare il modello tridimensionale dell'edificio in oggetto e ricavare gli spostamenti e le sollecitazioni della struttura nel suo complesso sotto le azioni statiche e sismiche, e per verificare gli elementi di fondazione ed elevazione realizzati in cemento armato.

La palestra, a un piano fuori terra, è costituita da pilastri prefabbricati, che sostengono i carichi verticali e assorbono le azioni orizzontali, e da travi prefabbricate con sezione a L e quadrata, che sostengono i solai e i tegoli alari di tipo "ondal" (modellati anch'essi come beam) che definiscono una porzione di piano non rigida. La componente rigida della copertura è data da un solaio alveolare, di cui è stato implementato il carico. La palestra presenta una pensilina in acciaio che è stata implementata come carico nodale ai pilastri prefabbricati su cui scaricano. Gli elementi di tamponamento della palestra sono costituiti da pannelli prefabbricati verticali e orizzontali che sono stati implementati nel modello come carichi permanenti non strutturali nodali sui pilastri su cui gravano, per quanto riguarda quelli orizzontali, e come masse nodali applicate alle travi, per quanto riguarda quelli verticali.

Per la modellazione dei singoli elementi strutturali si rimanda a quanto detto nel paragrafo 5.4 della presente relazione.

7.4.2 MODELLAZIONE DEI VINCOLI INTERNI ED ESTERNI

Di seguito si riportano le condizioni di vincolo inserite nel software Midas Gen.



RELAZIONE ILLUSTRATIVA E DI CALCOLO		
Data emissione: 20/05/2019	RST Relazione illustrativa e di calcolo strutturale.docx	148 di 267

Considerando un modello spaziale i movimenti possibili sono sei:

$$u_x \ u_y \ u_z \ \varphi_x \ \varphi_y \ \varphi_z$$

ovvero:

u_x spostamento in direzione x, u_y spostamento in direzione y, u_z spostamento in direzione z,
 φ_x rotazione attorno all'asse x, φ_y rotazione attorno all'asse y, φ_z rotazione attorno all'asse z.

Tutti i nodi alla base dei pilastri sono stati vincolati come incastro, ovvero bloccando tutti gli spostamenti e tutte le rotazioni. Tale scelta è stata effettuata in particolare per massimizzare i momenti sugli elementi resistenti fuori terra (pilastri e setti in c.a.).

Per le verifiche sulle fondazioni si è utilizzato invece un sotto modello su suolo elastico alla Winkler con coefficiente pari a 1,2 kg/cm³.

7.4.3 CRITERI DI VERIFICA E RISULTATI

La valutazione della sicurezza degli elementi strutturali del presente progetto è stata svolta secondo il metodo agli stati limite, in accordo a quanto prescritto dalle NTC18. In particolare, per ogni elemento strutturale, sono state svolte verifiche di resistenza e di deformabilità rispettivamente agli stati limite ultimi e di esercizio.

Le condizioni di carico elementari sono state combinate, in automatico all'interno dei programmi impiegati o con calcoli manuali, con coefficienti differenti in base alla tipologia, e sono state definite le varie combinazioni SLE ed SLU, definite dalle NTC18 al paragrafo 2.5.3.

7.4.3.1 Azioni di progetto sulla struttura – carichi

All'interno del modello tridimensionale sono stati inseriti i carichi statici e dinamici a cui è sottoposta la struttura.

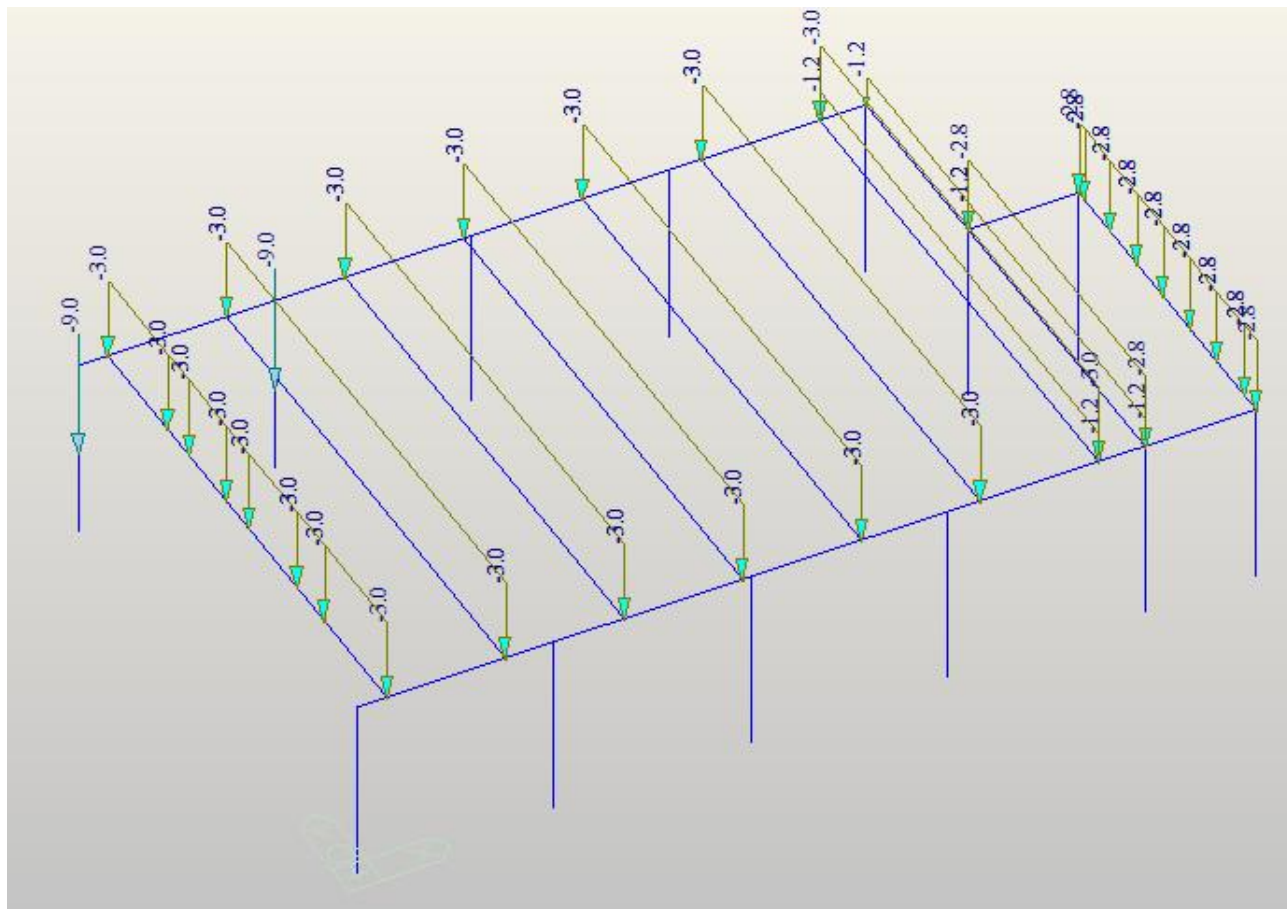
Di seguito si riportano le schermate con i carichi principali inseriti in conformità alle analisi eseguite nei precedenti paragrafi:

- Peso proprio solaio e pensilina:

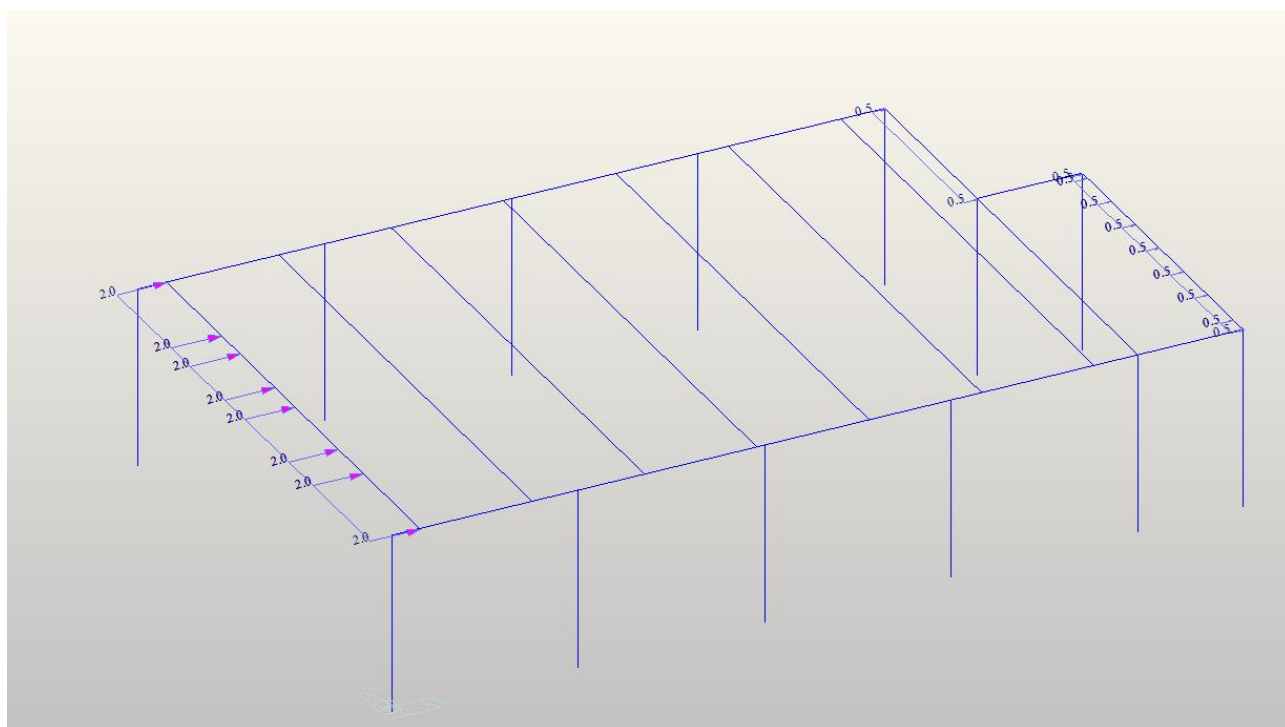


RELAZIONE ILLUSTRATIVA E DI CALCOLO		
Data emissione: 20/05/2019	RST Relazione illustrativa e di calcolo strutturale.docx	151 di 267

- Variabili copertura (neve):



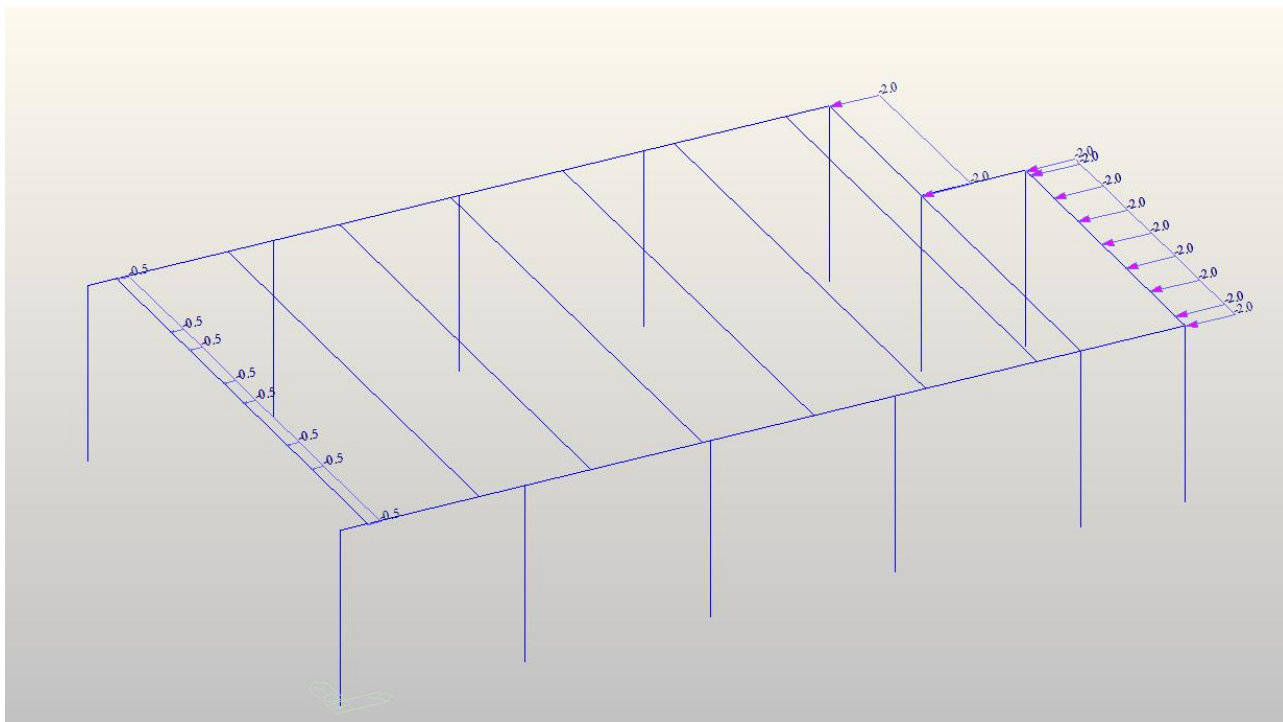
- Variabili vento (direzione +X):



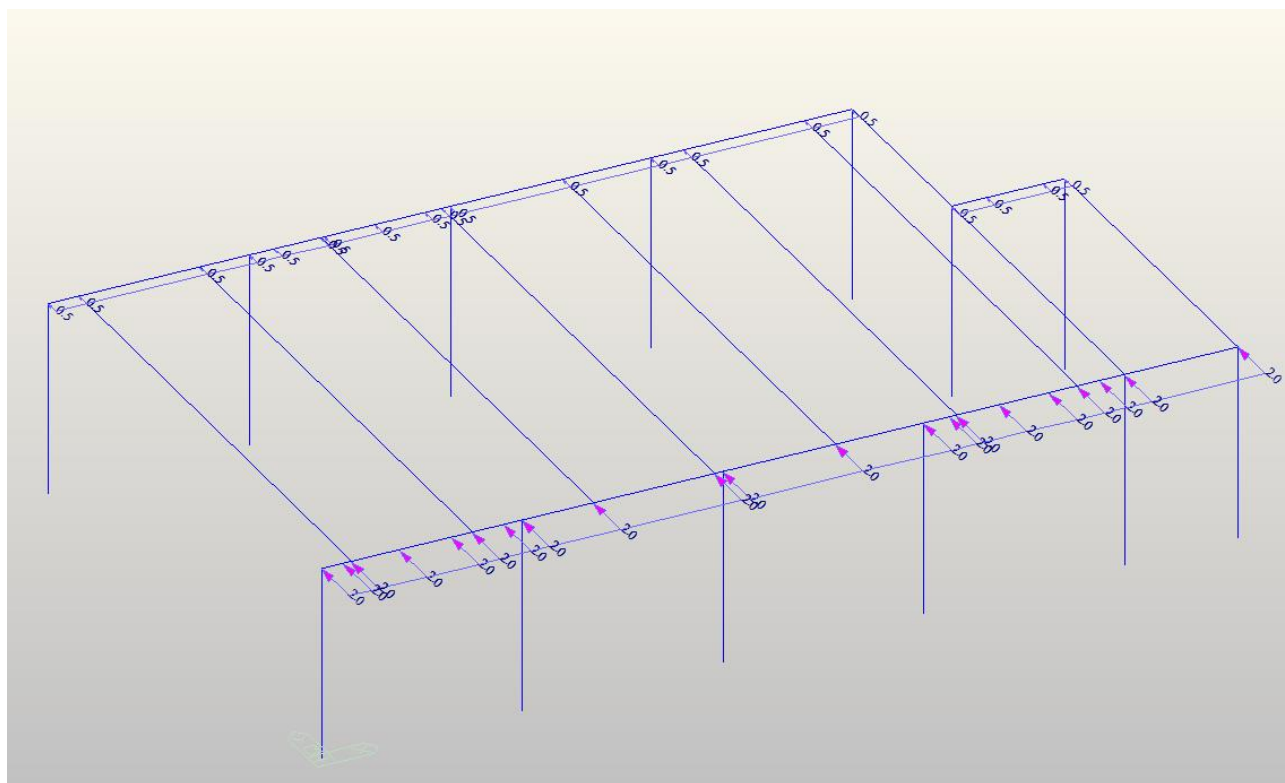


RELAZIONE ILLUSTRATIVA E DI CALCOLO		
Data emissione: 20/05/2019	RST Relazione illustrativa e di calcolo strutturale.docx	152 di 267

- Variabili vento (direzione -X):



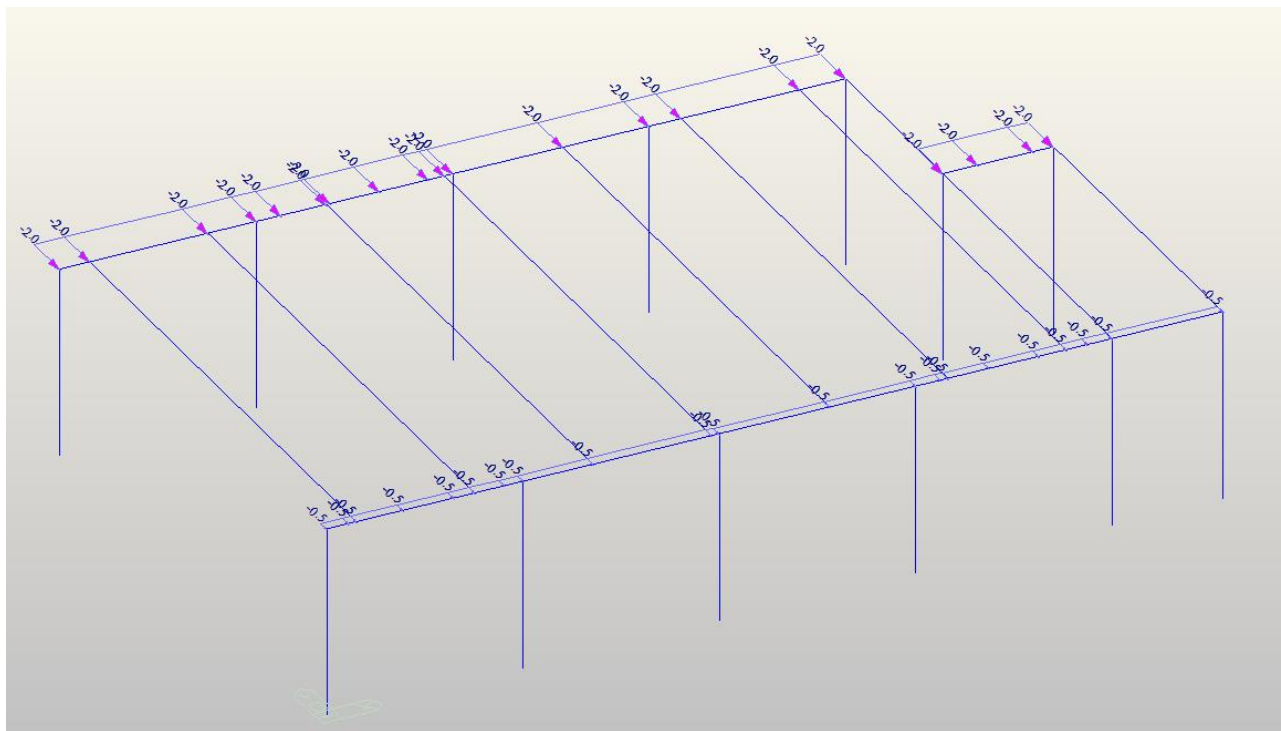
- Variabili vento (direzione +Y):





RELAZIONE ILLUSTRATIVA E DI CALCOLO		
Data emissione: 20/05/2019	RST Relazione illustrativa e di calcolo strutturale.docx	153 di 267

- Variabili vento (direzione -Y):



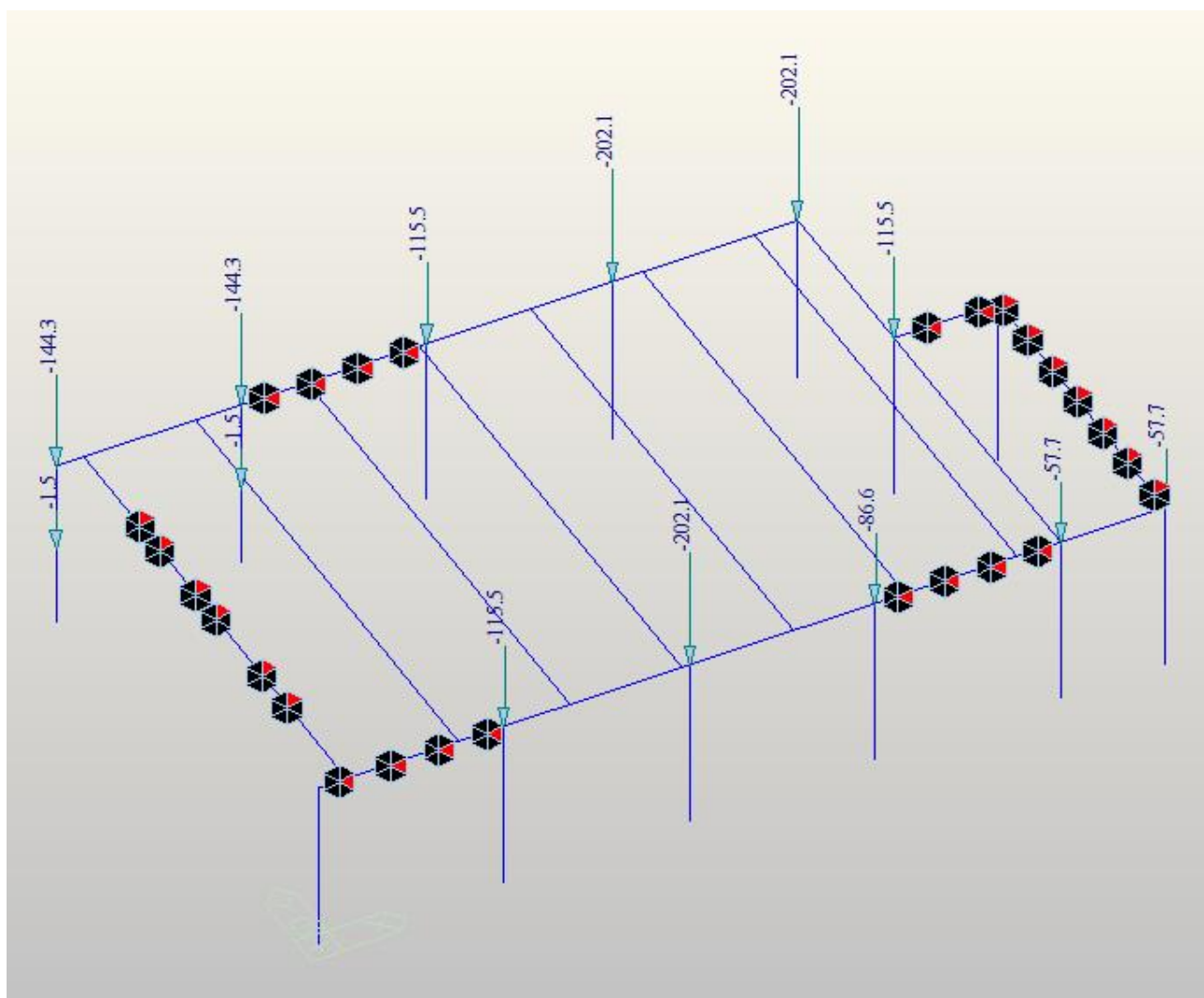
I carichi agenti derivanti dai pannelli prefabbricati sono stati applicati in modo differente, a seconda di dove essi scaricano il loro peso.

Infatti, i pannelli prefabbricati con orditura orizzontale (appesi) scaricano il loro peso direttamente sui pilastri, quindi è stato applicato al modello un carico nodale in corrispondenza del pilastro che li sostiene. I pannelli con orditura verticale scaricano il loro peso in parte a terra e in parte sulle travi prefabbricate; in questo caso il loro peso è stato assegnato come massa sismica in direzione x o y a seconda del loro orientamento e considerando la situazione peggiore (carico sismico perpendicolare alla superficie del pannello). Per ottenere la situazione peggiore, sono stati applicati solo i pesi maggiori dei pannelli verticali e orizzontali, cioè:

- Peso massimo pannello orizzontale (appeso): $57,73 \text{ kN/m}^2$;
- Peso massimo pannello verticale: $68,98 \text{ kN/m}^2$.



RELAZIONE ILLUSTRATIVA E DI CALCOLO		
Data emissione: 20/05/2019	RST Relazione illustrativa e di calcolo strutturale.docx	154 di 267



7.4.4 MODELLO GLOBALE DELLA STRUTTURA

7.4.4.1 Principali sollecitazioni sugli elementi

A seguito dell'analisi si sono ricavate le sollecitazioni sui singoli elementi strutturali.

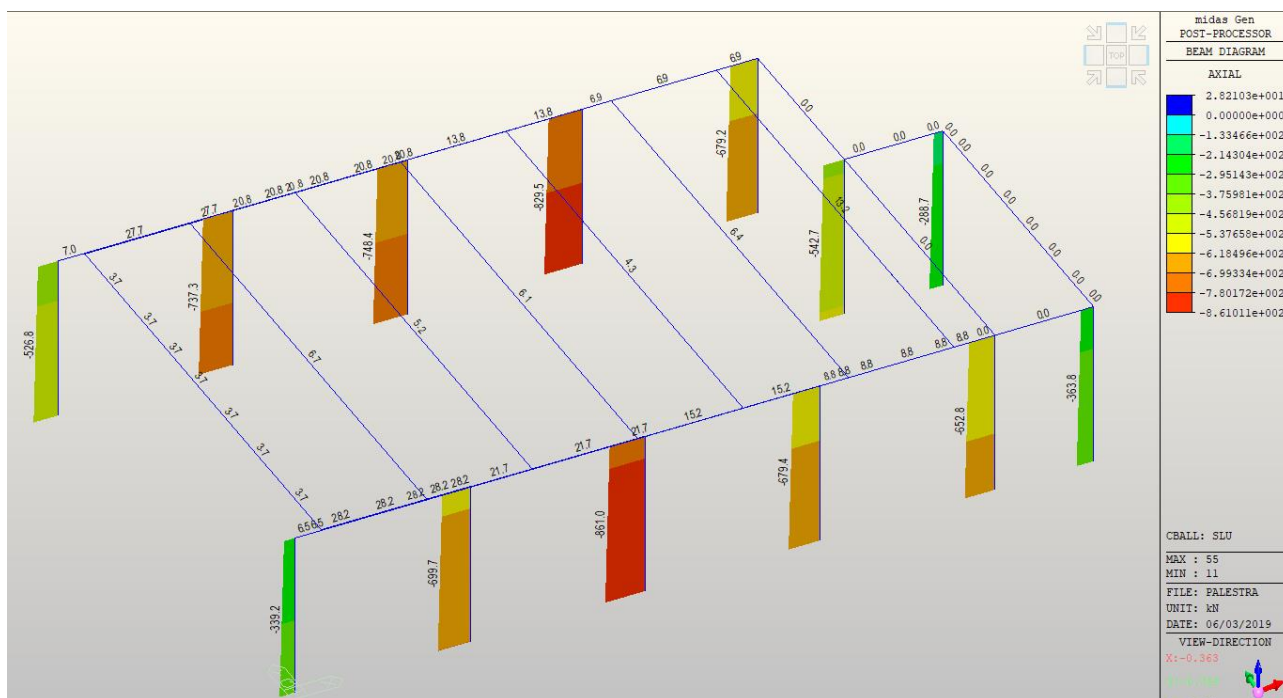
Di seguito si riportano le schermate di alcuni involuipi più significativi:

- Inviluppo SLU

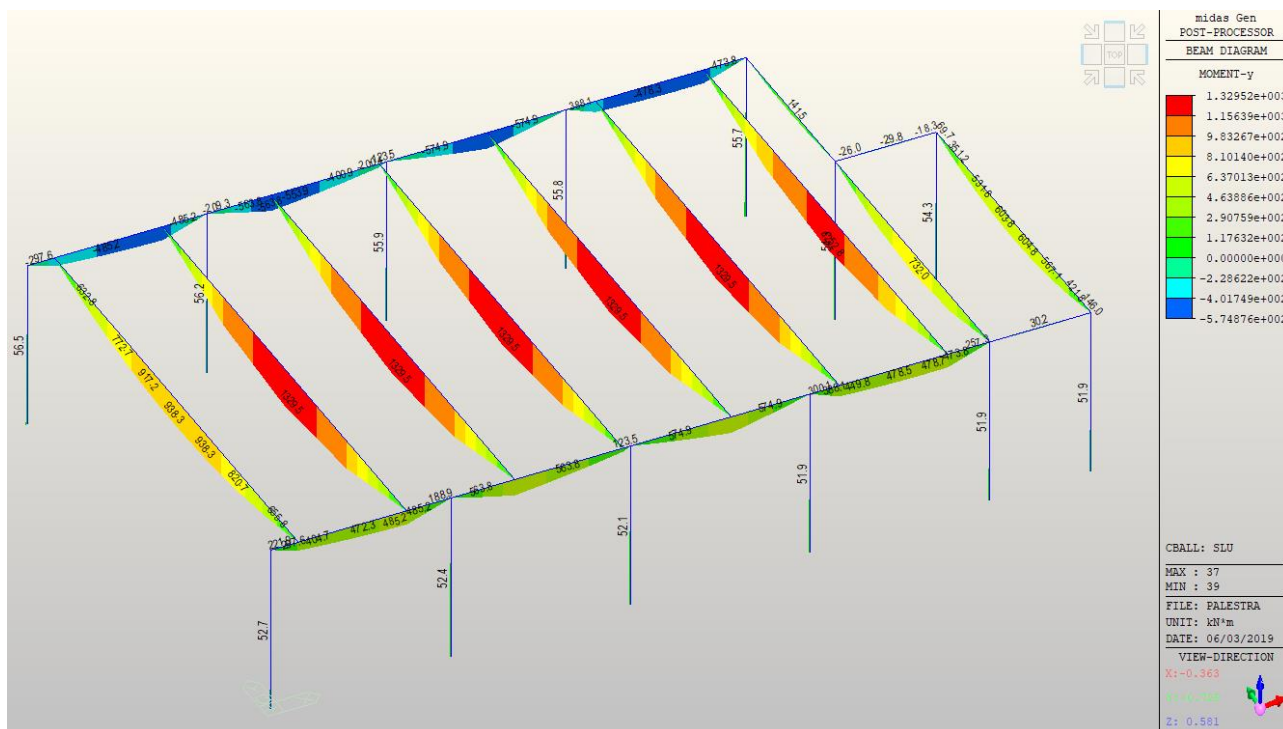
Azione assiale (N)



RELAZIONE ILLUSTRATIVA E DI CALCOLO		
Data emissione: 20/05/2019	RST Relazione illustrativa e di calcolo strutturale.docx	155 di 267



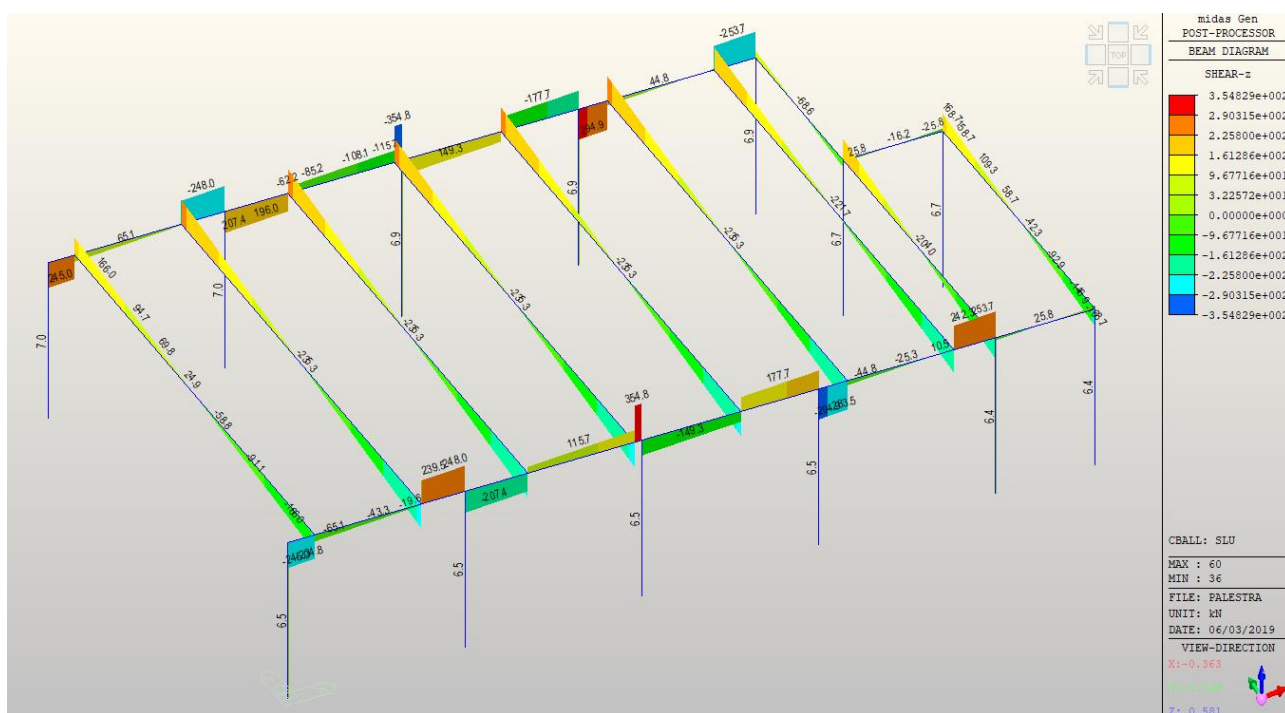
Momento flettente (M_y)



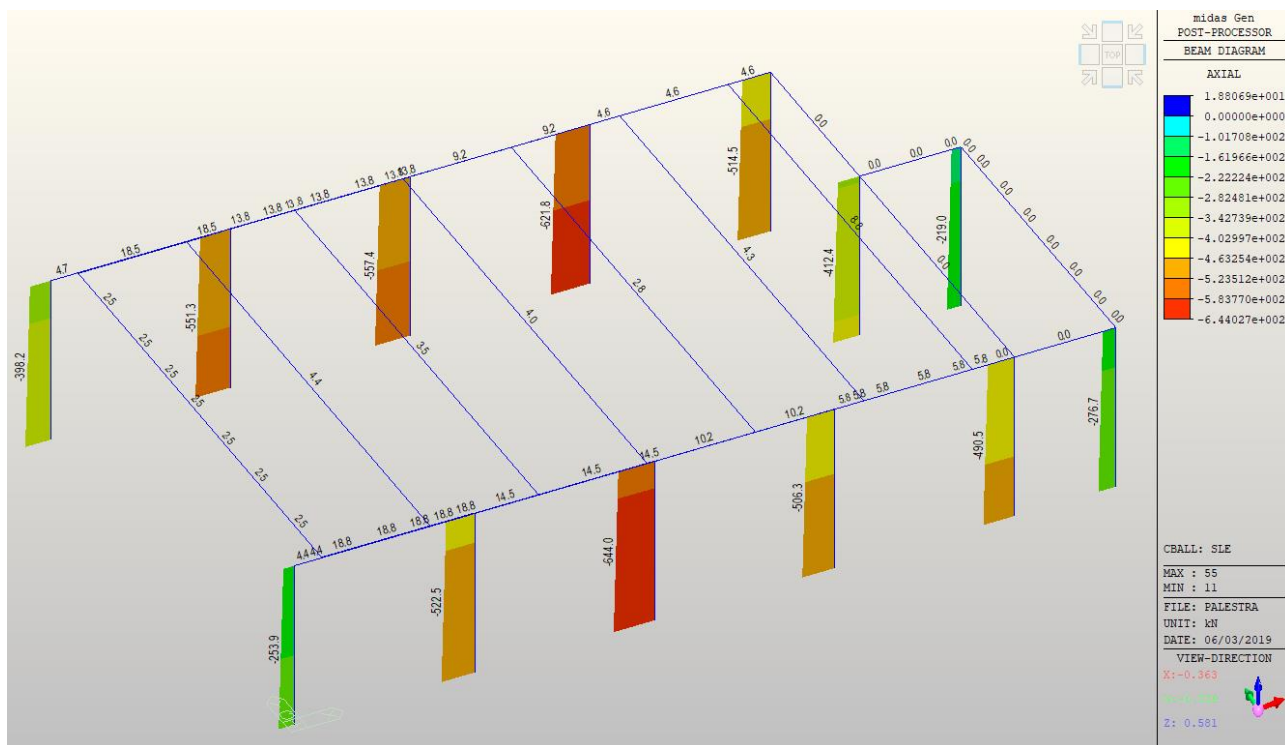
Azione di taglio



RELAZIONE ILLUSTRATIVA E DI CALCOLO		
Data emissione: 20/05/2019	RST Relazione illustrativa e di calcolo strutturale.docx	156 di 267



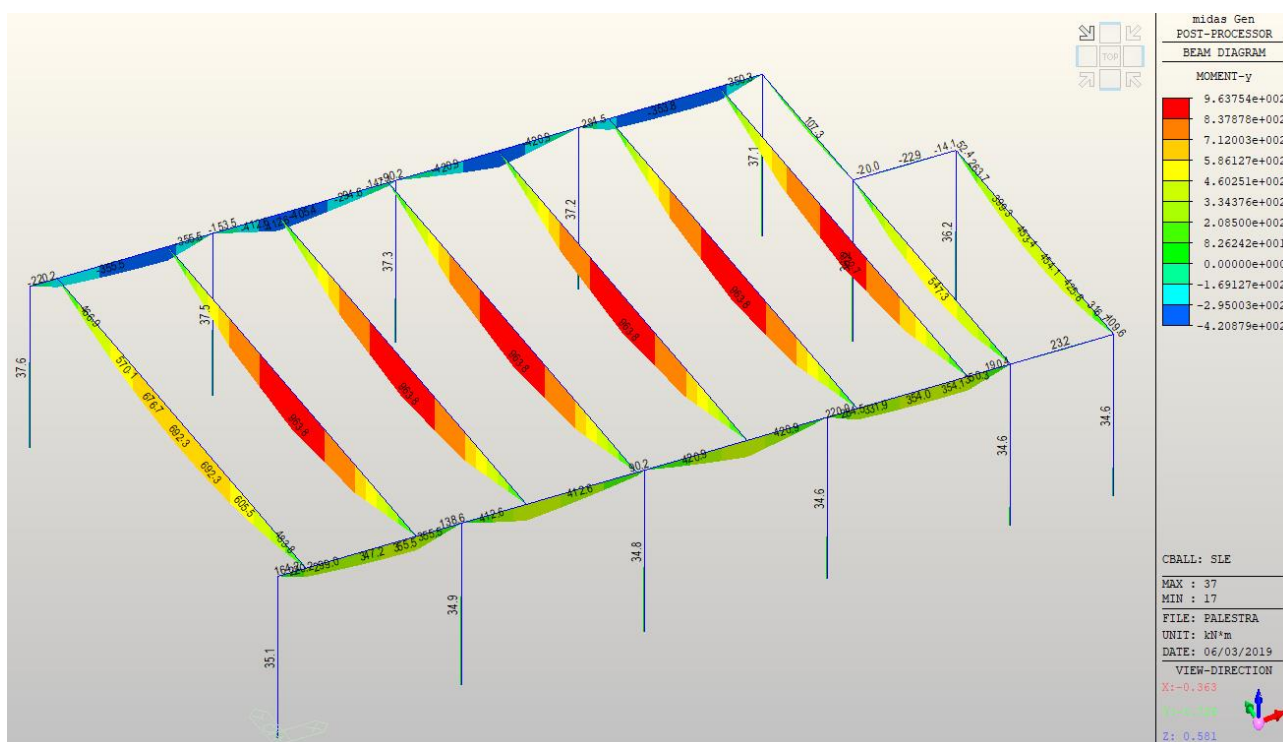
- Involuppo SLE
Azione assiale (N)



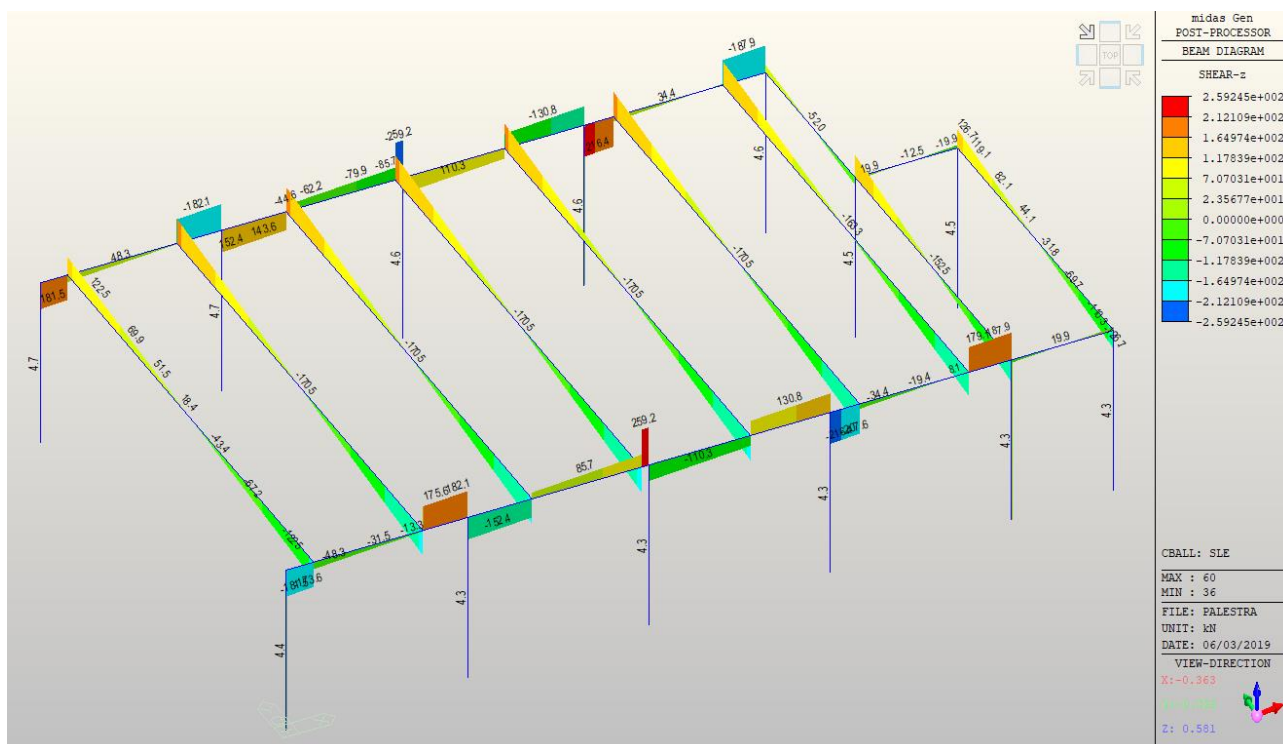
Momento flettente (M_y)



RELAZIONE ILLUSTRATIVA E DI CALCOLO		
Data emissione: 20/05/2019	RST Relazione illustrativa e di calcolo strutturale.docx	157 di 267



Azione di taglio



7.4.4.2 Principali modi di vibrare della struttura

A seguito dell'analisi si sono individuati i principali modi di vibrare della struttura, di seguito riportati.



RELAZIONE ILLUSTRATIVA E DI CALCOLO		
Data emissione: 20/05/2019	RST Relazione illustrativa e di calcolo strutturale.docx	158 di 267

Condizione necessaria è il raggiungimento dell'85% delle masse movimentate nelle direzioni considerate: nel caso in esame tale risultato è stato raggiunto:

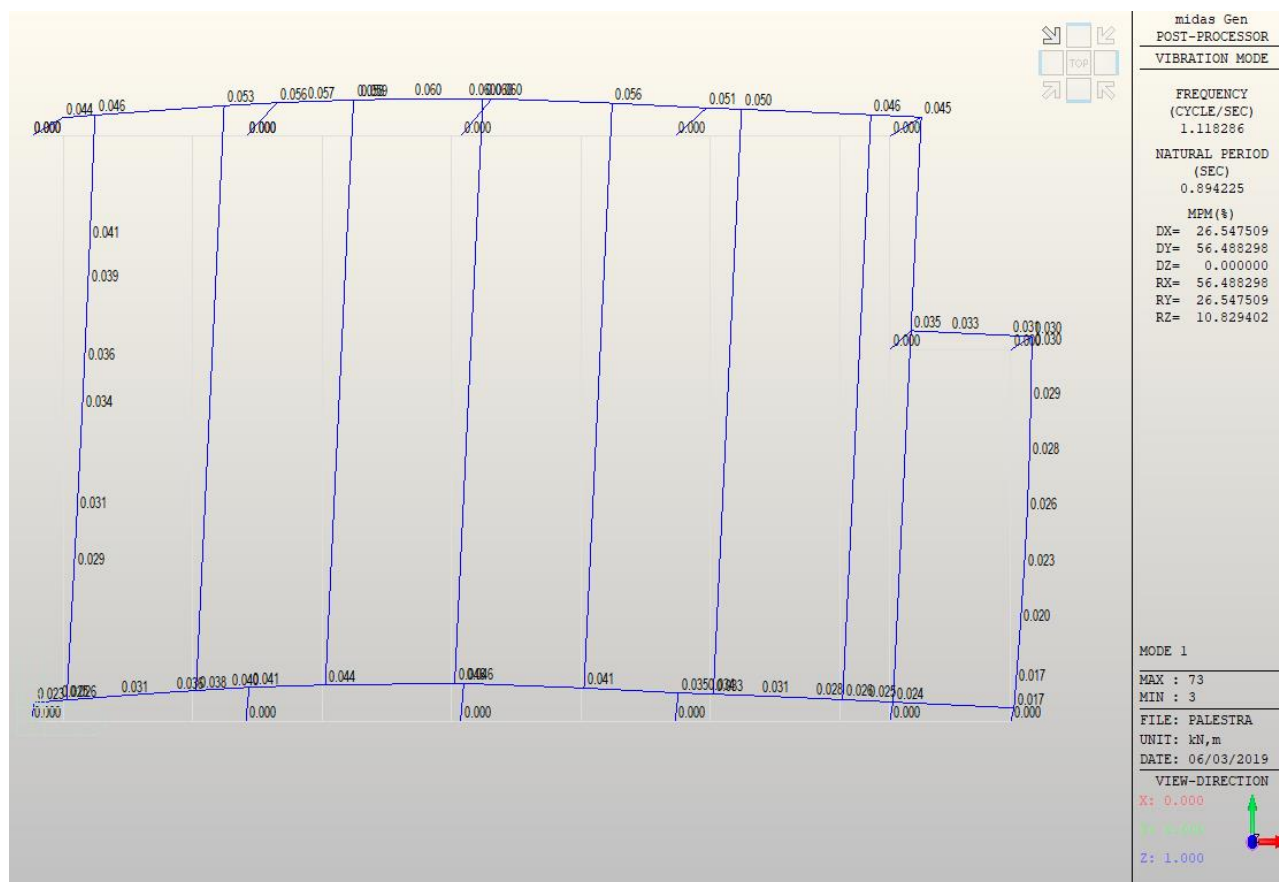
- Massa partecipante totale in direzione X: 100%
- Massa partecipante in direzione Y: 99,99%

Mode	UX		UY		UZ		RX		RY		RZ	
EIGENVALUE ANALYSIS												
Mode No	Frequency				Period		Tolerance					
	(rad/sec)		(cycle/sec)		(sec)							
1	7.0264		1.1183		0.8942		1.2017e-028					
2	7.2039		1.1465		0.8722		1.2017e-028					
3	7.8873		1.2553		0.7966		1.2017e-028					
4	8.3024		1.3214		0.7568		1.2017e-028					
5	9.6154		1.5303		0.6535		1.2017e-028					
6	12.3762		1.9697		0.5077		1.2017e-028					
7	15.4154		2.4534		0.4076		1.2017e-028					
8	16.7898		2.6722		0.3742		1.2017e-028					
9	28.0897		4.4706		0.2237		1.2017e-028					
10	47.0632		7.4903		0.1335		9.9784e-019					
MODAL PARTICIPATION MASSES PRINTOUT												
Mode No	TRAN-X		TRAN-Y		TRAN-Z		ROTN-X		ROTN-Y		ROTN-Z	
	MASS(%)	SUM(%)	MASS(%)	SUM(%)	MASS(%)	SUM(%)	MASS(%)	SUM(%)	MASS(%)	SUM(%)	MASS(%)	SUM(%)
1	26.5475	26.5475	56.4883	56.4883	0.0000	0.0000	56.4883	56.4883	26.5475	26.5475	10.8294	10.8294
2	60.3341	86.8816	31.1687	87.6570	0.0000	0.0000	31.1687	87.6570	60.3341	86.8816	0.0846	10.9140
3	6.3073	93.1889	0.9314	88.5884	0.0000	0.0000	0.9314	88.5884	6.3073	93.1889	8.7749	19.6889
4	6.2577	99.4466	8.1619	96.7503	0.0000	0.0000	8.1619	96.7503	6.2577	99.4466	75.4580	95.1469
5	0.0047	99.4513	2.5509	99.3012	0.0000	0.0000	2.5509	99.3012	0.0047	99.4513	1.9458	97.0927
6	0.0000	99.4513	0.6840	99.9852	0.0000	0.0000	0.6840	99.9852	0.0000	99.4513	2.7511	99.8438
7	0.0039	99.4552	0.0070	99.9921	0.0000	0.0000	0.0070	99.9921	0.0039	99.4552	0.0462	99.8900
8	0.4858	99.9410	0.0005	99.9926	0.0000	0.0000	0.0005	99.9926	0.4858	99.9410	0.1019	99.9920
9	0.0590	100.0000	0.0000	99.9926	0.0000	0.0000	0.0000	99.9926	0.0590	100.0000	0.0015	99.9935
10	0.0000	100.0000	0.0011	99.9937	0.0000	0.0000	0.0011	99.9937	0.0000	100.0000	0.0006	99.9941
Mode No	TRAN-X		TRAN-Y		TRAN-Z		ROTN-X		ROTN-Y		ROTN-Z	
	MASS	SUM	MASS	SUM	MASS	SUM	MASS	SUM	MASS	SUM	MASS	SUM
1	137.9290	137.9290	295.9000	295.9000	0.0000	0.0000	485.0082	485.0082	226.0787	226.0787	13548.011	13548.011
2	313.4690	451.3980	163.2695	459.1695	0.0000	0.0000	267.6143	752.6225	513.8055	739.8842	105.8722	13653.883
3	32.7698	484.1678	4.8789	464.0484	0.0000	0.0000	7.9970	760.6195	53.7129	793.5970	10977.756	24631.639
4	32.5123	516.6801	42.7539	506.8023	0.0000	0.0000	70.0777	830.6972	53.2908	846.8878	94400.912	119032.55
5	0.0242	516.7043	13.3622	520.1646	0.0000	0.0000	21.9019	852.5992	0.0397	846.9275	2434.2550	121466.80
6	0.0002	516.7046	3.5830	523.7476	0.0000	0.0000	5.8729	858.4721	0.0004	846.9279	3441.7455	124908.55
7	0.0201	516.7247	0.0364	523.7840	0.0000	0.0000	0.0597	858.5318	0.0329	846.9609	57.8512	124966.40
8	2.5239	519.2486	0.0025	523.7865	0.0000	0.0000	0.0040	858.5358	4.1370	851.0978	127.5027	125093.90
9	0.3065	519.5551	0.0000	523.7865	0.0000	0.0000	0.0000	858.5359	0.5024	851.6002	1.9029	125095.80
10	0.0000	519.5551	0.0055	523.7920	0.0000	0.0000	0.0091	858.5449	0.0000	851.6002	0.7241	125096.53

- Modi di vibrare: numero 1 (principale in Y - traslazionale)



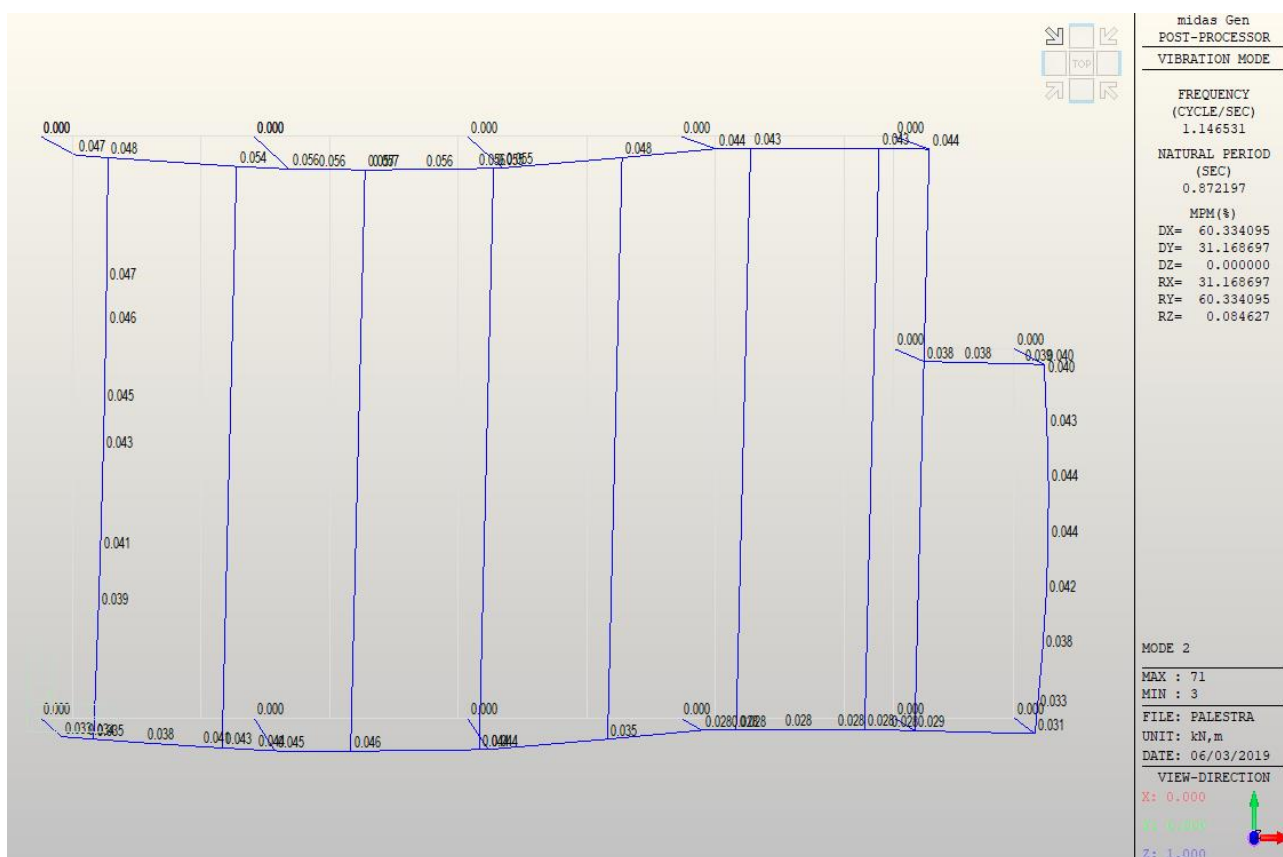
RELAZIONE ILLUSTRATIVA E DI CALCOLO		
Data emissione: 20/05/2019	RST Relazione illustrativa e di calcolo strutturale.docx	159 di 267



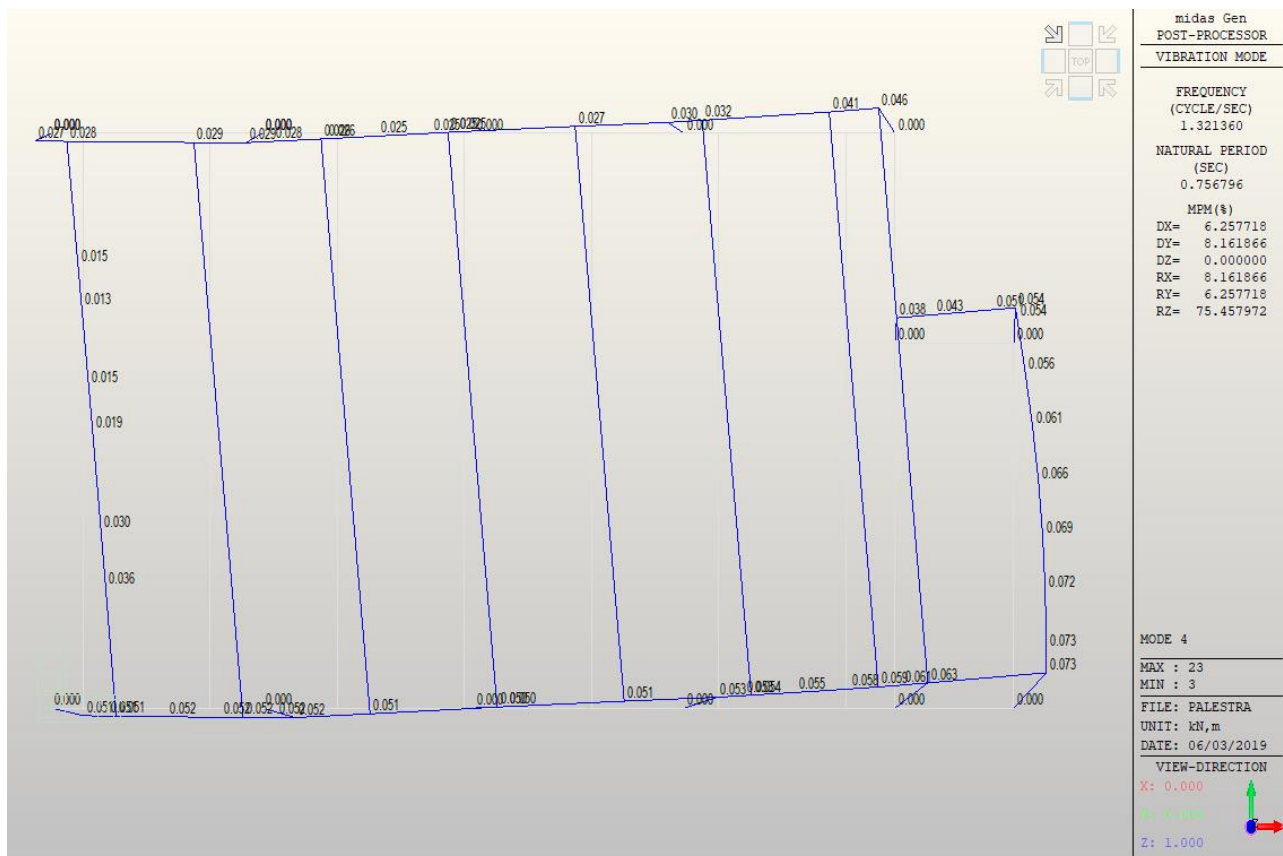
- Modi di vibrare: numero 2 (principale in X –traslazionale)



RELAZIONE ILLUSTRATIVA E DI CALCOLO		
Data emissione: 20/05/2019	RST Relazione illustrativa e di calcolo strutturale.docx	160 di 267



- Modi di vibrare: numero 3 (rotazionale)



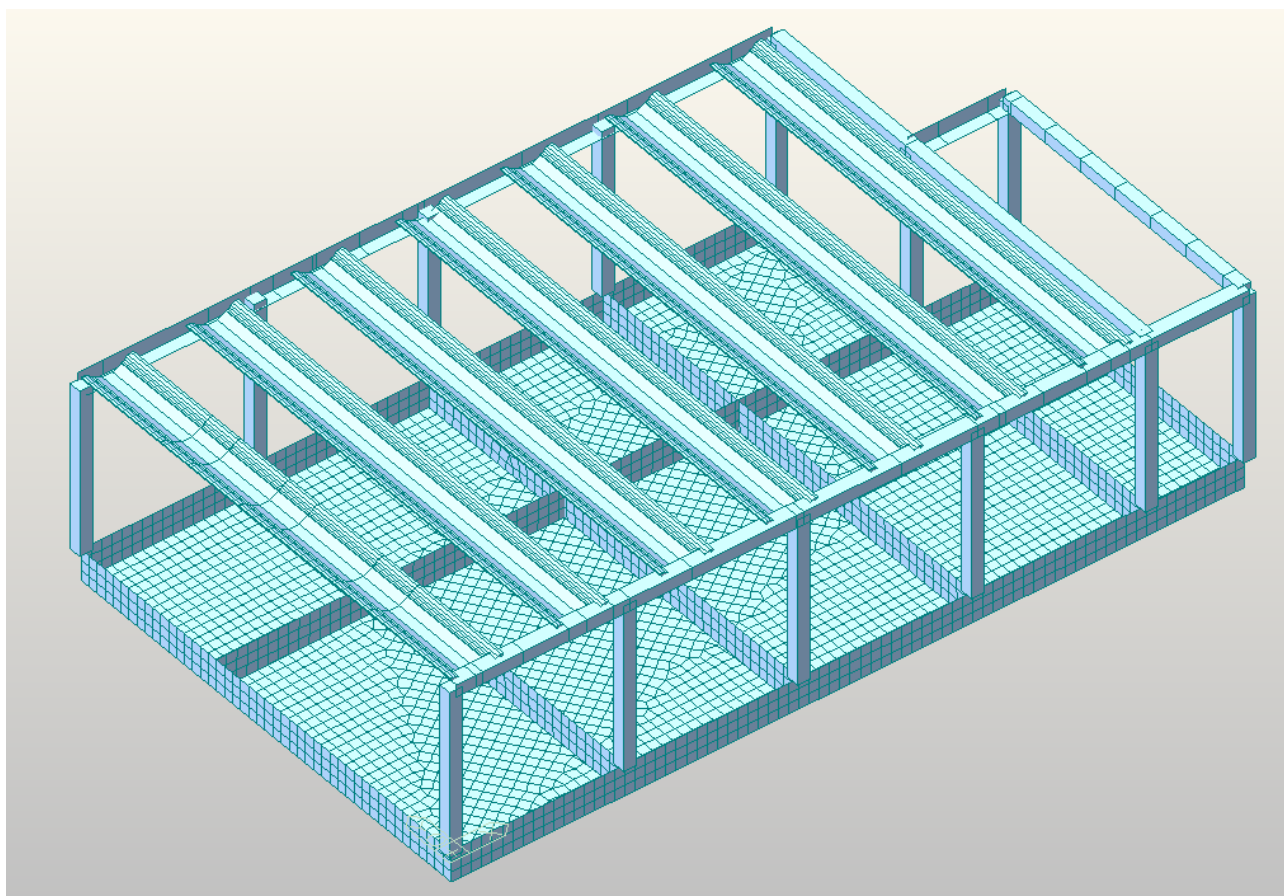


RELAZIONE ILLUSTRATIVA E DI CALCOLO		
Data emissione: 20/05/2019	RST Relazione illustrativa e di calcolo strutturale.docx	161 di 267

7.4.4.3 Pressione in fondazione

A seguito della modellazione appena illustrata, per ricavare il valore della pressione in fondazione, la stessa costruzione è stata modellata implementando la platea e le nervature in cemento armato su cui poggia.

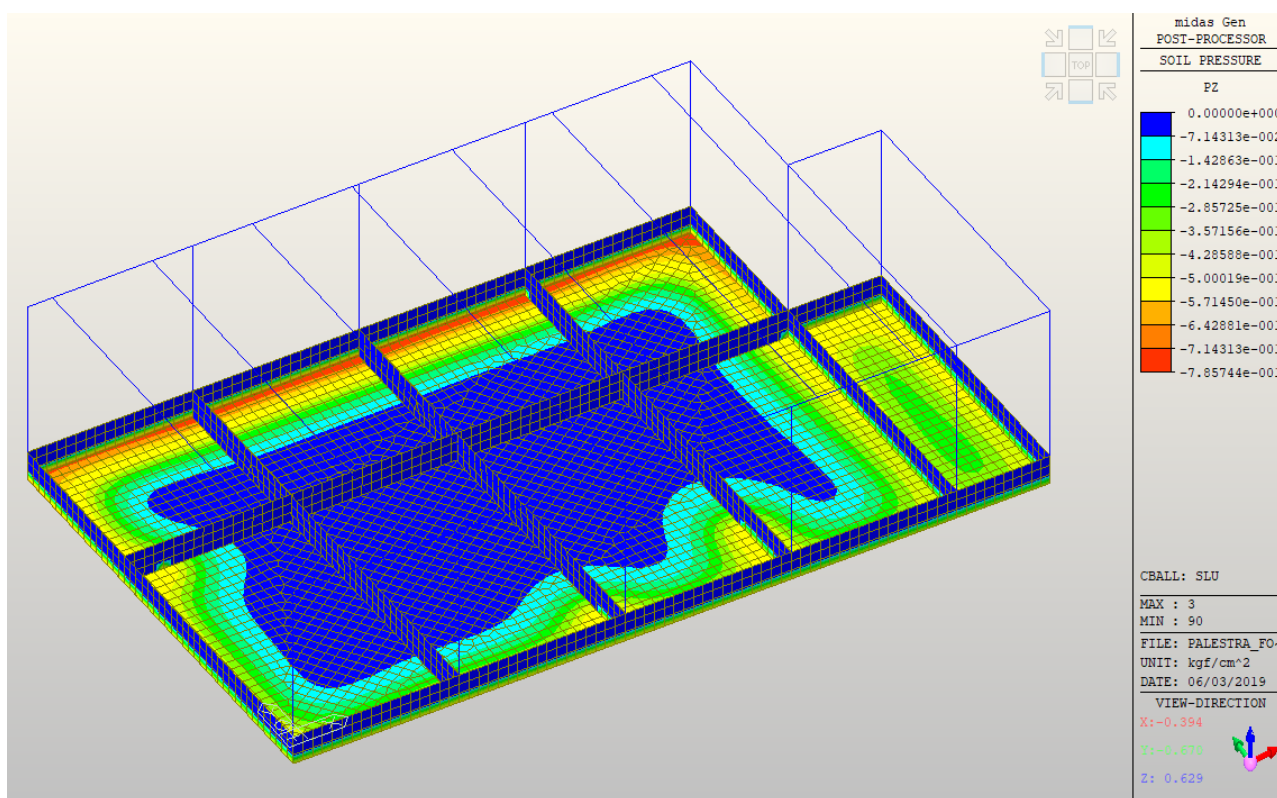
La platea è stata realizzata creando un elemento superficie di spessore 20 cm, assegnando il materiale corrispondente (cls di classe C25/30) e impostandola su suoli elastici alla Winkler (coefficiente assunto pari a $1,2 \text{ kg/cm}^3$) tramite un vincolo molla.



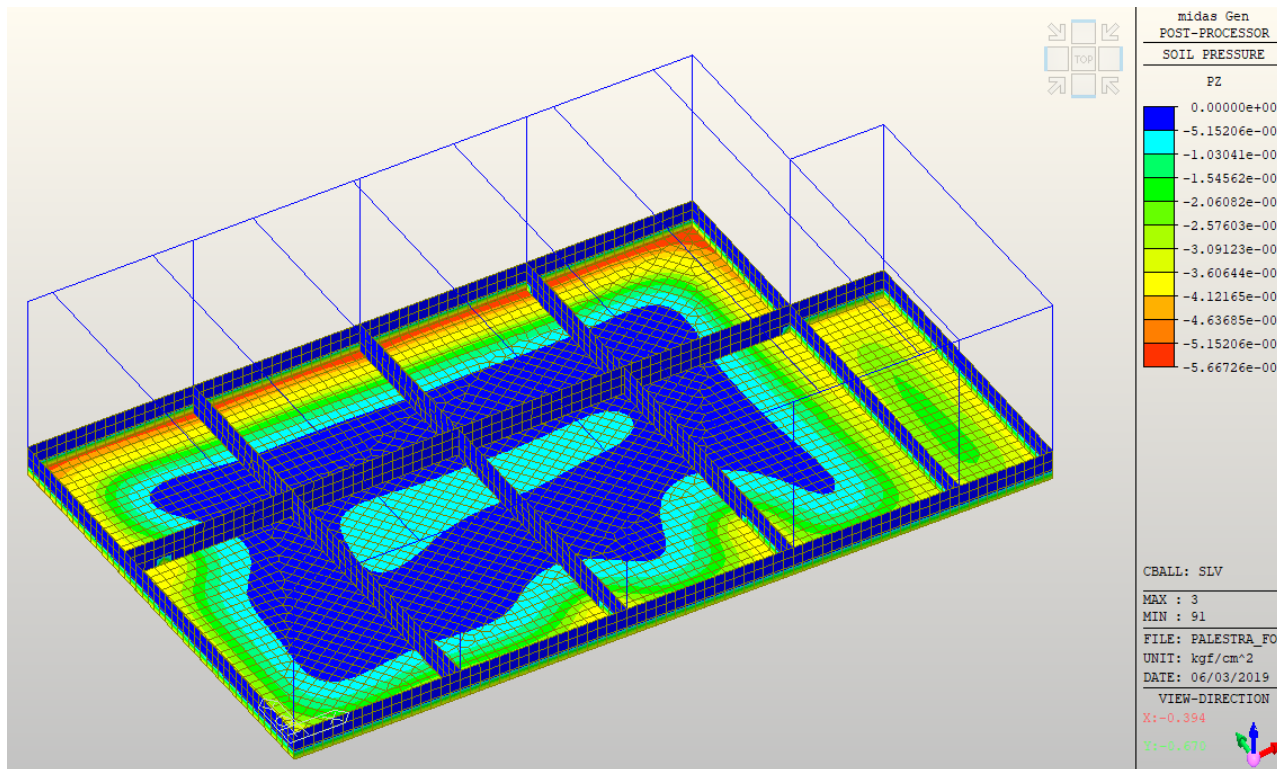
Si riportano di seguito i risultati ottenuti allo SLU:



RELAZIONE ILLUSTRATIVA E DI CALCOLO		
Data emissione: 20/05/2019	RST Relazione illustrativa e di calcolo strutturale.docx	162 di 267



Ed allo SLV:





- Momento flettente



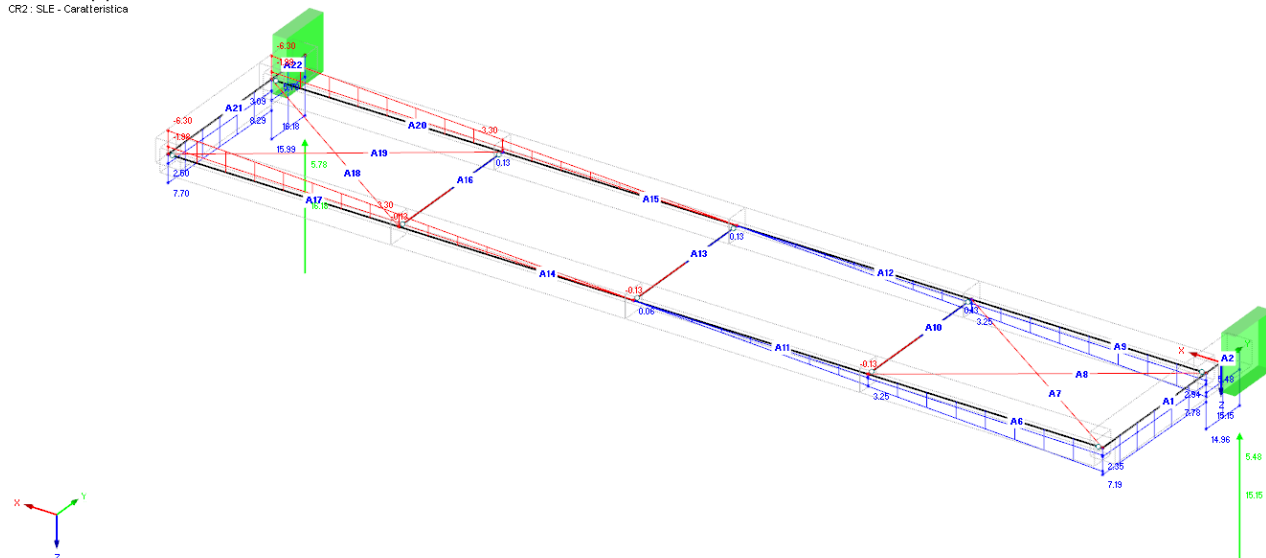
RELAZIONE ILLUSTRATIVA E DI CALCOLO

Data emissione:
20/05/2019

RST Relazione illustrativa e di calcolo
strutturale.docx

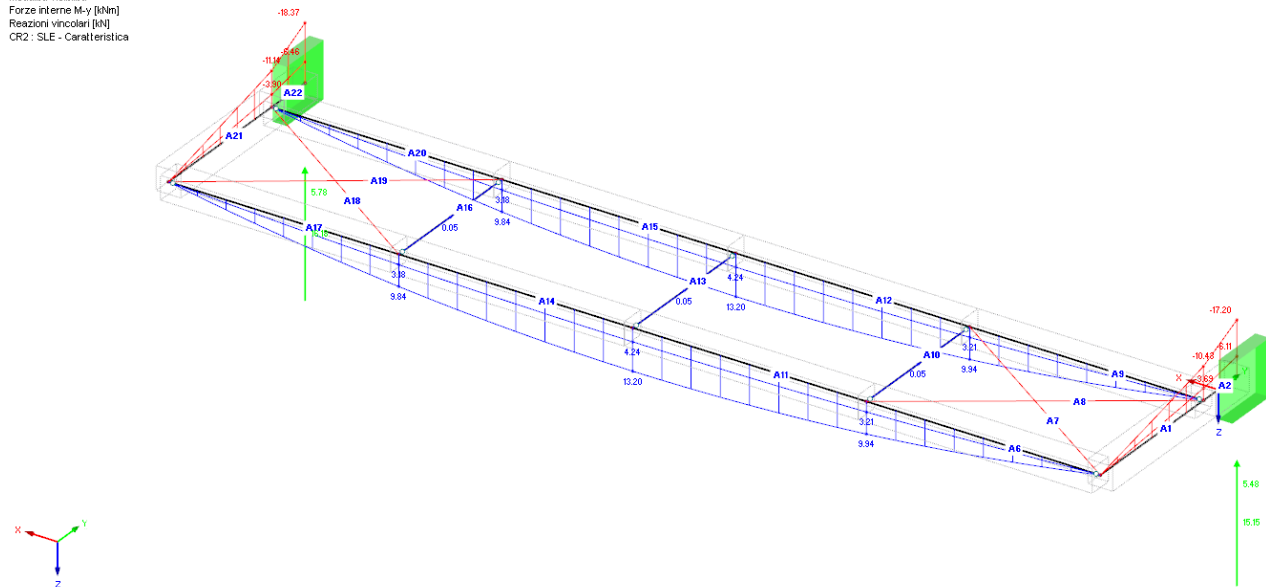
165 di
267

Modalità visibilità
Forze interne V-z [kN]
Reazioni vincolari [kN]
CR2 : SLE - Caratteristica



- Momento flettente

Modalità visibilità
Forze interne M-y [kNm]
Reazioni vincolari [kN]
CR2 : SLE - Caratteristica

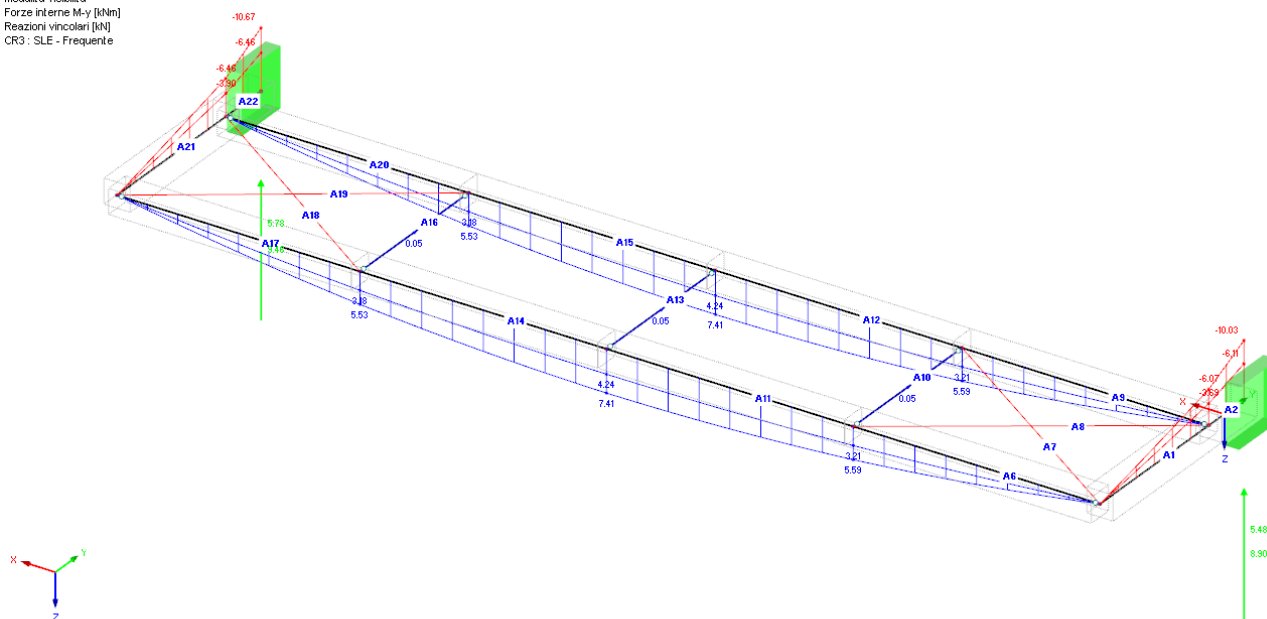


- Azione di taglio



RELAZIONE ILLUSTRATIVA E DI CALCOLO		
Data emissione: 20/05/2019	RST Relazione illustrativa e di calcolo strutturale.docx	167 di 267

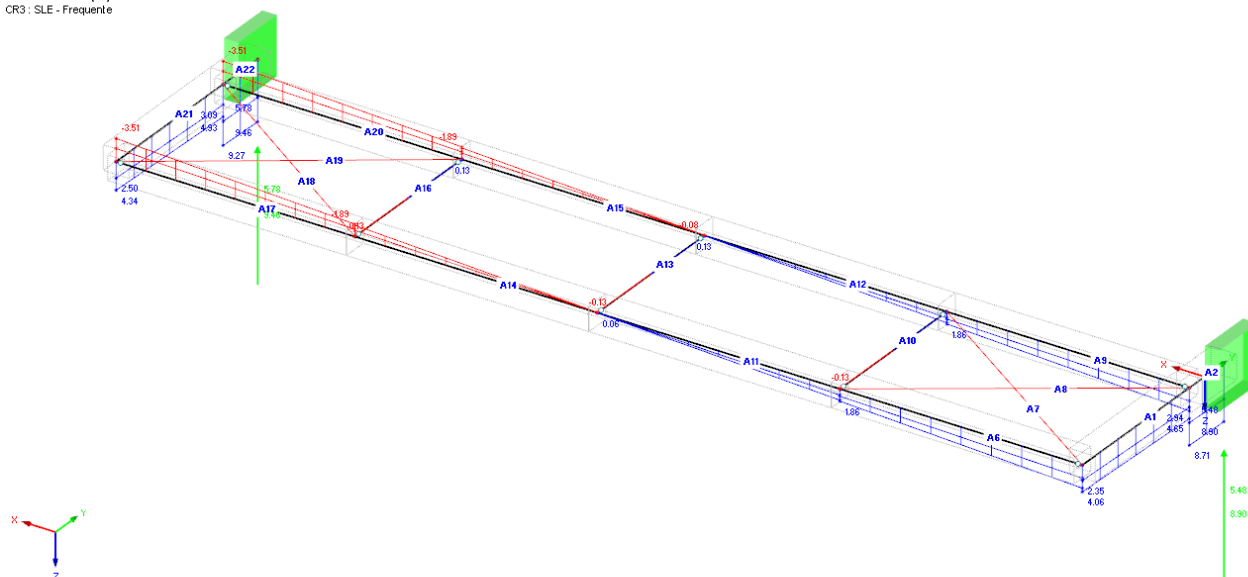
Modalità visibilità
Forze interne M-y [kNm]
Reazioni vincolari [kN]
CR3 : SLE - Frequente



Max M-y: 7.41, Min M-y: -10.67 kNm
Max P-Z: 9.46, Min P-Z: 5.48 kN

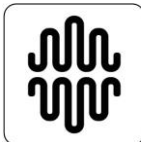
- Azione di taglio

Modalità visibilità
Forze interne V-z [kN]
Reazioni vincolari [kN]
CR3 : SLE - Frequente



Max V-z: 9.46, Min V-z: -3.51 kN
Max P-Z: 9.46, Min P-Z: 5.48 kN

Sempre con il programma RFem di Dlubal, sono state eseguite le verifiche dei profili in acciaio, in accordo con quanto riportato all'interno dell'Eurocodice 3. Si riportano di seguito le schermate inerenti ai risultati ottenuti, dove sono messe in evidenza le situazioni peggiori:



RELAZIONE ILLUSTRATIVA E DI CALCOLO		
Data emissione: 20/05/2019	RST Relazione illustrativa e di calcolo strutturale.docx	168 di 267

2.1 Progetto per caso di carico

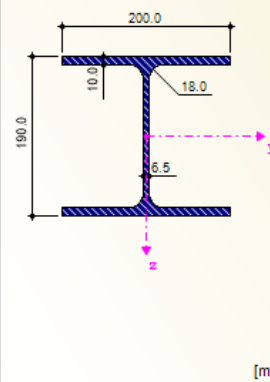
Carico	A Descrizione	B Asta nr.	C Posizione x [m]	D Rapporto di progetto	E	F Formula di progetto	G SP
Progetto allo stato limite ultimo							
CR1	SLU (STR/GEO) - Persistente	15	0.000	0.35	≤ 1	ST371) Analisi di stabilità - Flessione e compressione sec. 6.3.4, metodo generale	PT
Progetto allo stato limite di esercizio							
CR2	SLE - Caratteristica	12	2.083	0.45	≤ 1	SE401) Esercizio - Combinazione di azioni "Caratteristica" - Direzione z	SC
CR3	SLE - Frequente	12	2.083	0.17	≤ 1	SE402) Esercizio - Combinazione di azioni "Frequente" - Direzione z	SF

Max: 0.45 ≤ 1

Dettagli - Asta 15 - x: 0.000 m - CR1

Verifica della sezione trasversale massima	$\eta_{ult,k,max}$	0.160	Eq. (6.2)
Amplificatore	$\alpha_{ult,k}$	6.232	6.3.4(2)
Amplificatore	$\alpha_{cr,op}$	4.438	6.3.4(3)
Snellezza	λ_{op}	1.185	Eq. (6.64)
Curva d'instabilità	Cl_z	c	Tab. 6.2
Coefficiente di imperfezione	α_z	0.490	Tab. 6.1
Coefficiente ausiliare	$\Phi_{op,z}$	1.444	6.3.1.2(1)
Coefficiente di riduzione	$\chi_{op,z}$	0.441	Eq. (6.49)
Altezza della sezione	h	190.0 mm	
Larghezza della sezione	b	200.0 mm	
Criterio	h/b	0.95	≤ 2 Tab. 6.5
Curva d'instabilità	Cl_{LT}	b	Tab. 6.5
Coefficiente di imperfezione	α_{LT}	0.340	Tab. 6.3
Parametro	$\lambda_{LT,0}$	0.200	6.3.2.3(1)
Parametro	β	1.000	6.3.2.3(1)
Coefficiente ausiliare	$\Phi_{op,LT}$	1.370	6.3.2.3(1)
Coefficiente di riduzione	$\chi_{op,LT}$	0.486	Eq. (6.57)
Coefficiente di riduzione	χ_{op}	0.486	6.3.4(4) a)
Coefficiente parziale	γ_{M1}	1.050	6.1
Rapporto di progetto	η	0.35	≤ 1 (6.63)
Formula di progetto			
$\gamma_{M1} / (\chi_{op} \alpha_{ult,k}) = 0.35 \leq 1$ (6.63)			

1 - HEA 200



2.2 Progetto per sezione trasversale

Sezione nr.	A Asta nr.	B Posizione x [m]	C Carico	D Rapporto di progetto	E	F Formula di progetto
1	HEA 200					
	23	0.283	CR1	0.00	≤ 1	CS100) Forze interne trascurabili
	22	0.000	CR1	0.23	≤ 1	CS111) Verifica della sezione trasversale - Flessione intorno all'asse y sec. 6.2.5 - Classe 1 o 2
	22	0.000	CR1	0.08	≤ 1	CS121) Verifica della sezione trasversale - Forza di taglio sull'asse z sec. 6.2.6
	1	0.000	CR1	0.00	≤ 1	CS126) Verifica della sezione trasversale - Instabilità per taglio sec. 6.2.6(6)
	22	0.000	CR1	0.23	≤ 1	CS141) Verifica della sezione trasversale - Flessione e forza di taglio sec. 6.2.5 e 6.2.8
	22	0.000	CR1	0.23	≤ 1	ST331) Analisi di stabilità - Instabilità flessione-torsionale sec. 6.3.2.1 e 6.3.2.3 - Sezione a I
	15	0.000	CR1	0.35	≤ 1	ST371) Analisi di stabilità - Flessione e compressione sec. 6.3.4, metodo generale
	1	1.393	CR2	0.00	≤ 1	SE400) Esercizio - Spostamenti generalizzati nulli o molto piccoli
	12	2.083	CR2	0.45	≤ 1	SE401) Esercizio - Combinazione di azioni "Caratteristica" - Direzione z

Max: 0.45 ≤ 1

2.2 Progetto per sezione trasversale

Sezione nr.	A Asta nr.	B Posizione x [m]	C Carico	D Rapporto di progetto	E	F Formula di progetto
	12	2.083	CR2	0.45	≤ 1	SE401) Esercizio - Combinazione di azioni "Caratteristica" - Direzione z
	11	2.083	CR3	0.17	≤ 1	SE402) Esercizio - Combinazione di azioni "Frequente" - Direzione z
	22	0.000	CR2	0.21	≤ 1	SE411) Esercizio - Combinazione di azioni "Caratteristica" - Direzione z, sbalzo
	22	0.000	CR3	0.08	≤ 1	SE412) Esercizio - Combinazione di azioni "Frequente" - Direzione z, sbalzo
2	IPE 180					
	3	0.697	CR1	0.00	≤ 1	CS100) Forze interne trascurabili
3	RD 20					
	7	0.000	CR1	0.00	≤ 1	CS100) Forze interne trascurabili

Max: 0.45 ≤ 1



RELAZIONE ILLUSTRATIVA E DI CALCOLO		
Data emissione: 20/05/2019	RST Relazione illustrativa e di calcolo strutturale.docx	169 di 267

7.5 Verifiche dal modello globale

A seguito della modellazione della struttura in Midas Gen, completa di elementi strutturali, materiale, tipi di sezione, vincoli e carichi statici e dinamici agenti, sono state eseguite una serie di verifiche a livello di resistenza e deformabilità dell'intera struttura, seguendo le prescrizioni riportate nella normativa vigente allo SLU, SLV e SLE.

7.5.1 VALUTAZIONE DEGLI SPOSTAMENTI DELLA STRUTTURA RISPETTO AL CORPO INGRESSO

Con riferimento al paragrafo 7.3.3.3 delle NTC2018, sono stati calcolati gli spostamenti della struttura d_E in corrispondenza del giunto strutturale di spessore 10 cm tra il corpo ingresso e la palestra.

Partendo dai risultati derivanti dall'analisi allo SLV, si ricava:

$$d_E = \pm \mu_d \cdot d_{Ee}$$

Dove:

- d_{Ee} sono gli spostamenti (in questo caso lungo x) ottenuti dall'analisi dinamica lineare allo SLV;
- μ_d è il coefficiente di duttilità in spostamento, e vale:

$$\mu_d = q \text{ se } T_1 \geq T_C;$$

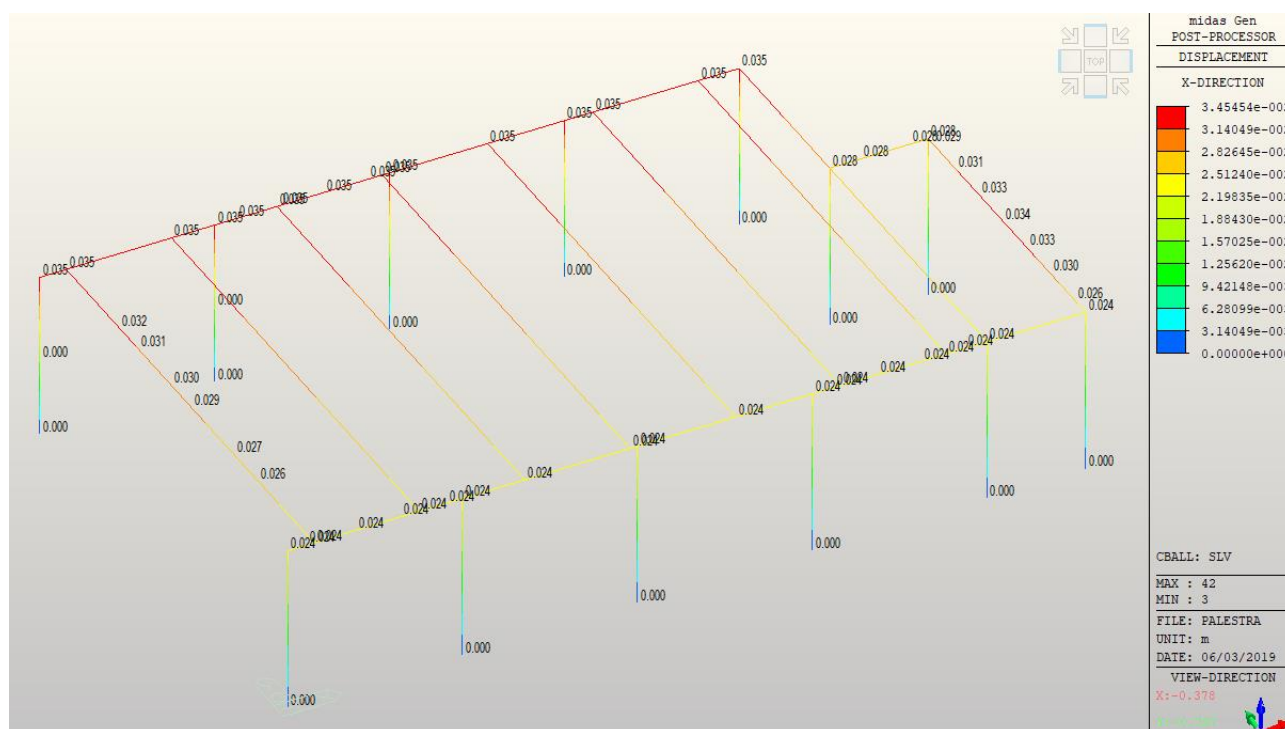
$$\mu_d = 1 + (q - 1) \cdot \frac{T_C}{T_1} \text{ se } T_1 < T_C.$$

$$(\text{tenendo conto } \mu_d \leq 5q - 4).$$

Si considera lo spostamento massimo a circa metà altezza del modello (altezza corrispondente alla quota più alta del corpo ingresso):



RELAZIONE ILLUSTRATIVA E DI CALCOLO		
Data emissione: 20/05/2019	RST Relazione illustrativa e di calcolo strutturale.docx	170 di 267



Il massimo valore di spostamento vale:

$$d_{Ee} = \sim 23 \text{ mm}$$

Il periodo fondamentale T_1 è stato ricavato facendo sempre riferimento alla formula riportata nella vecchia normativa (par. 7.3.3.2 NTC2008), in modo da poter procedere con un calcolo diretto a seconda dei dati a disposizione:

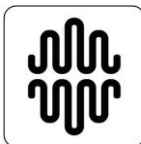
$$T_1 = C_1 \cdot H^{3/4}$$

Con $C_1=0,075$ per le costruzioni in calcestruzzo armato.

Quindi, dato che l'altezza complessiva dell'edificio è pari a $H = 8,05 \text{ m}$, il periodo fondamentale vale:

$$T_1 = 0,358 \text{ s}$$

Dato che il periodo naturale della struttura è di circa $0,894 \text{ s}$, per analizzare la situazione più gravosa è stato preso in considerazione lo spettro di progetto allo SLV calcolato da normativa, ottenendo i seguenti valori (riferiti alla componente orizzontale):



RELAZIONE ILLUSTRATIVA E DI CALCOLO		
Data emissione: 20/05/2019	RST Relazione illustrativa e di calcolo strutturale.docx	171 di 267

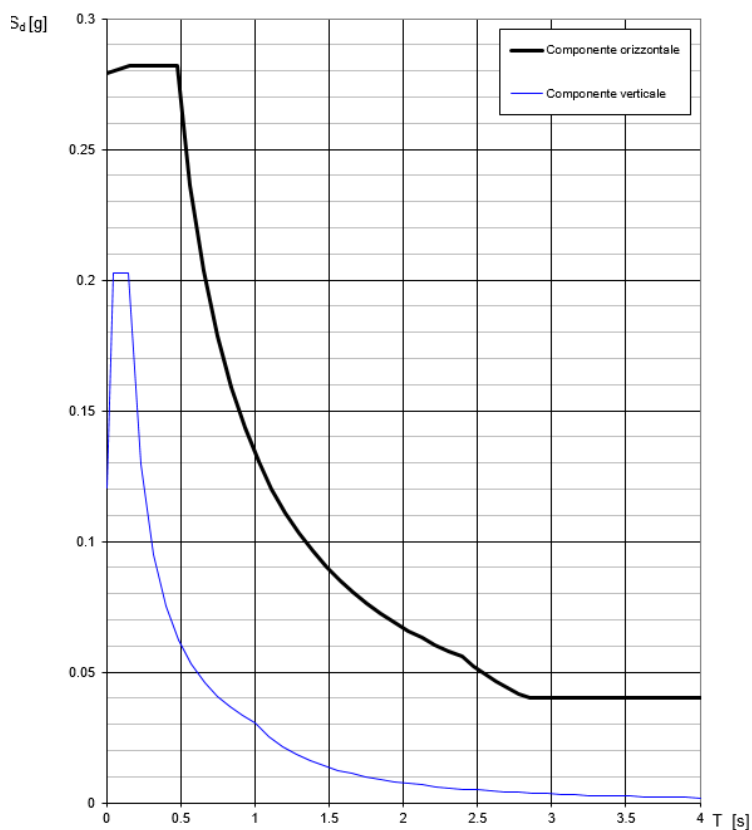
Parametri indipendenti

STATO LIMITE	SLV
a_g	0.200 g
F_0	2.527
T_C	0.306 s
S_S	1.397
C_C	1.553
S_T	1.000
q	2.500

Parametri dipendenti

S	1.397
η	0.400
T_R	0.158 s
T_C	0.474 s
T_D	2.398 s

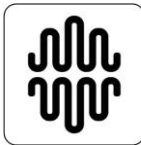
Spettri di risposta (componenti orizz. e vert.) per lo stato limite: SLV



Dato che $T_1 < T_C = 0,474 \text{ s}$, seguendo quanto riportato dalla normativa, il valore del coefficiente di duttilità è uguale a:

$$\mu_d = 1 + (q - 1) \cdot \frac{T_C}{T_1} = 2,986$$

(verificando inoltre $\mu_d = 4,13 \leq 5q - 4 = 8,5$).



RELAZIONE ILLUSTRATIVA E DI CALCOLO		
Data emissione: 20/05/2019	RST Relazione illustrativa e di calcolo strutturale.docx	172 di 267

Si ricorda che il fattore di struttura utilizzato in questa analisi è pari a 2,5, in accordo con quanto riportato nella normativa; per maggiori dettagli in merito si faccia riferimento al capitolo 4 della presente relazione.

In definitiva:

$$d_E = \mu_d \cdot d_{Ee} = 68,68 \text{ mm}$$

7.5.2 VERIFICA TRA SPOSTAMENTI CORPO INGRESSO E PALESTRA

Con riferimento a quanto riportato nelle NTC2018 al capitolo 7.2.1, si procede con la verifica degli spostamenti e distanze tra corpo ingresso e la palestra.

Spostamento massimo corpo ingresso (valutato al paragrafo 5.5.1 della presente):

$$d_{ingresso} = 2,73 \text{ mm}$$

Spostamento massimo della palestra (valutato al paragrafo 7.5.1 della presente):

$$d_{palestra} = 68,68 \text{ mm}$$

La somma dei due valori è pari a:

$$d_{ingresso} + d_{palestra} = 71,41 \text{ mm}$$

La distanza tra le due strutture è pari a 100 mm, quindi le indicazioni della normativa sono rispettate.

7.5.3 VALUTAZIONE DEGLI SPOSTAMENTI DELLA STRUTTURA RISPETTO AL CORPO SPOGLIATOI

Con riferimento al paragrafo 7.3.3.3 delle NTC2018, sono stati calcolati gli spostamenti della struttura d_E in corrispondenza del giunto strutturale di spessore 10 cm tra il corpo spogliatoi e la palestra.

Partendo dai risultati derivanti dall'analisi allo SLV, si ricava:

$$d_E = \pm \mu_d \cdot d_{Ee}$$

Dove:

- d_{Ee} sono gli spostamenti (in questo caso lungo Y) ottenuti dall'analisi dinamica lineare allo SLV;
- μ_d è il coefficiente di duttilità in spostamento, e vale:
$$\mu_d = q \text{ se } T_1 \geq T_C;$$
$$\mu_d = 1 + (q - 1) \cdot \frac{T_C}{T_1} \text{ se } T_1 < T_C.$$

(tenendo conto $\mu_d \leq 5q - 4$).

Si considera lo spostamento massimo a circa metà altezza del modello (altezza corrispondente alla quota più alta del corpo spogliatoi):



Dato che il periodo naturale della struttura è di circa 0,894 s, per analizzare la situazione più gravosa è stato preso in considerazione lo spettro di progetto allo SLV calcolato da normativa, ottenendo i seguenti valori (riferiti alla componente orizzontale):



RELAZIONE ILLUSTRATIVA E DI CALCOLO		
Data emissione: 20/05/2019	RST Relazione illustrativa e di calcolo strutturale.docx	174 di 267

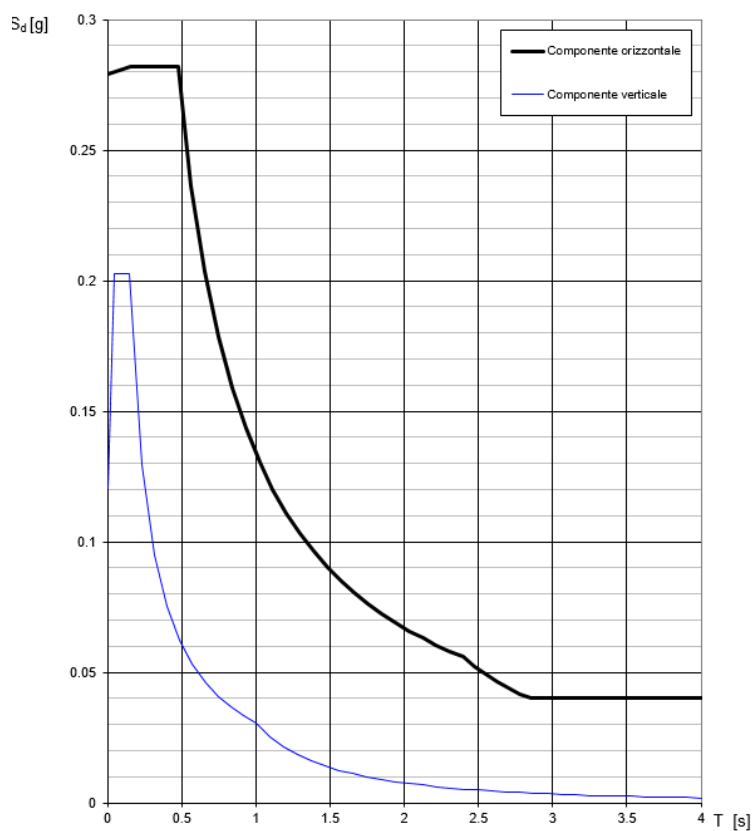
Parametri indipendenti

STATO LIMITE	SLV
a_g	0.200 g
F_0	2.527
T_C	0.306 s
S_S	1.397
C_C	1.553
S_T	1.000
q	2.500

Parametri dipendenti

S	1.397
η	0.400
T_R	0.158 s
T_C	0.474 s
T_D	2.398 s

Spettri di risposta (componenti orizz. e vert.) per lo stato limite: SLV



Dato che $T_1 < T_C = 0,474 \text{ s}$, seguendo quanto riportato dalla normativa, il valore del coefficiente di duttilità è uguale a:

$$\mu_d = 1 + (q - 1) \cdot \frac{T_C}{T_1} = 2,986$$



RELAZIONE ILLUSTRATIVA E DI CALCOLO		
Data emissione: 20/05/2019	RST Relazione illustrativa e di calcolo strutturale.docx	175 di 267

(verificando inoltre $\mu_d = 4,13 \leq 5q - 4 = 8,5$).

Si ricorda che il fattore di struttura utilizzato in questa analisi è pari a 2,5, in accordo con quanto riportato nella normativa; per maggiori dettagli in merito si faccia riferimento al capitolo 4 della presente relazione.

In definitiva:

$$d_E = \mu_d \cdot d_{Ee} = 81,82 \text{ mm}$$

7.5.4 VERIFICA TRA SPOSTAMENTI CORPO SPOGLIATOI E PALESTRA

Con riferimento a quanto riportato nelle NTC2018 al capitolo 7.2.1, si procede con la verifica degli spostamenti e distanze tra corpo ingresso e la palestra.

Spostamento massimo corpo ingresso (valutato al paragrafo 6.5.4 della presente):

$$d_{spogliatoi} = 5,95 \text{ mm}$$

Spostamento massimo della palestra (valutato al paragrafo 7.5.3 della presente):

$$d_{palestra} = 81,82 \text{ mm}$$

La somma dei due valori è pari a:

$$d_{spogliatoi} + d_{palestra} = 87,77 \text{ mm}$$

La distanza tra le due strutture è pari a 100 mm, quindi le indicazioni della normativa sono rispettate.

7.5.5 VERIFICHE DI RIGIDEZZA DEGLI ELEMENTI STRUTTURALI

Con riferimento al paragrafo 7.3.6.1 delle NTC2018, *“la condizione in termini di rigidezza sulla struttura si ritiene soddisfatta qualora la conseguente deformazione degli elementi strutturali non produca sugli elementi non strutturali danni tali da rendere la costruzione temporaneamente inagibile. Nel caso delle costruzioni civili e industriali, qualora la temporanea inagibilità sia dovuta a spostamenti di interpiano eccessivi, questa condizione si può ritenere soddisfatta quando gli spostamenti di interpiano ottenuti dall’analisi in presenza dell’azione sismica di progetto corrispondente allo SL e alla CU considerati siano inferiori ai limiti indicati (...)”*. Con particolare riferimento al punto b del paragrafo sopra citato, bisogna verificare che:

$$q d_{r,SLD} \leq d_{rp} \leq 0,010 \cdot h$$

Considerando la relazione per tamponature fragili, dove:

- $d_{r,SLD}$ è lo spostamento di interpiano, cioè la differenza tra gli spostamenti del solaio superiore e del solaio inferiore ricavati dall’analisi dinamica lineare allo SLD;
- d_{rp} è lo spostamento d’interpiano totale, in questo caso uguale a $d_{r,SLD}$;
- q è il fattore di struttura assunto pari a 1,0 per l’analisi allo SLD;
- h è l’altezza di interpiano.

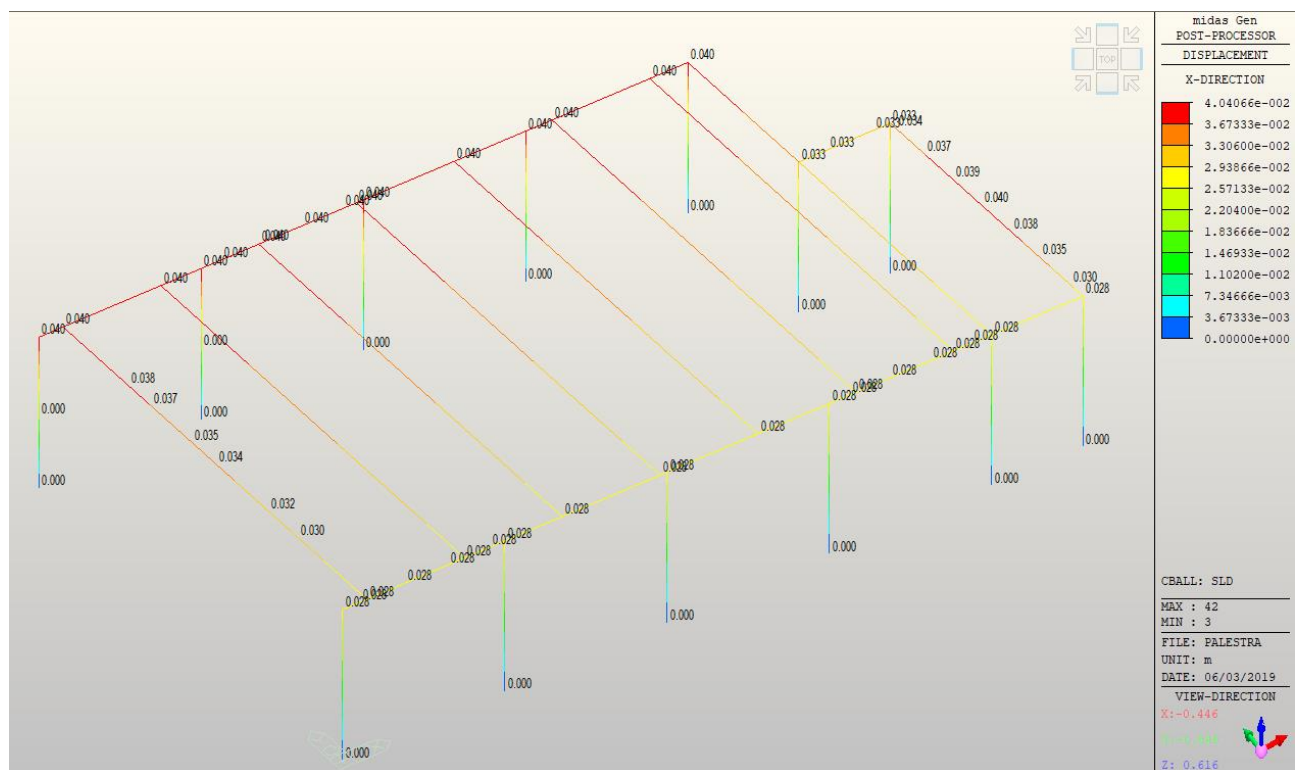


RELAZIONE ILLUSTRATIVA E DI CALCOLO		
Data emissione: 20/05/2019	RST Relazione illustrativa e di calcolo strutturale.docx	176 di 267

È stato individuato il massimo spostamento (in valore assoluto) che si verifica lungo le direzioni x e y tra i pilastri dopo l'analisi allo SLD:

- massimo spostamento in direzione x

$$u_{max,x} = 40,41 \text{ mm}$$

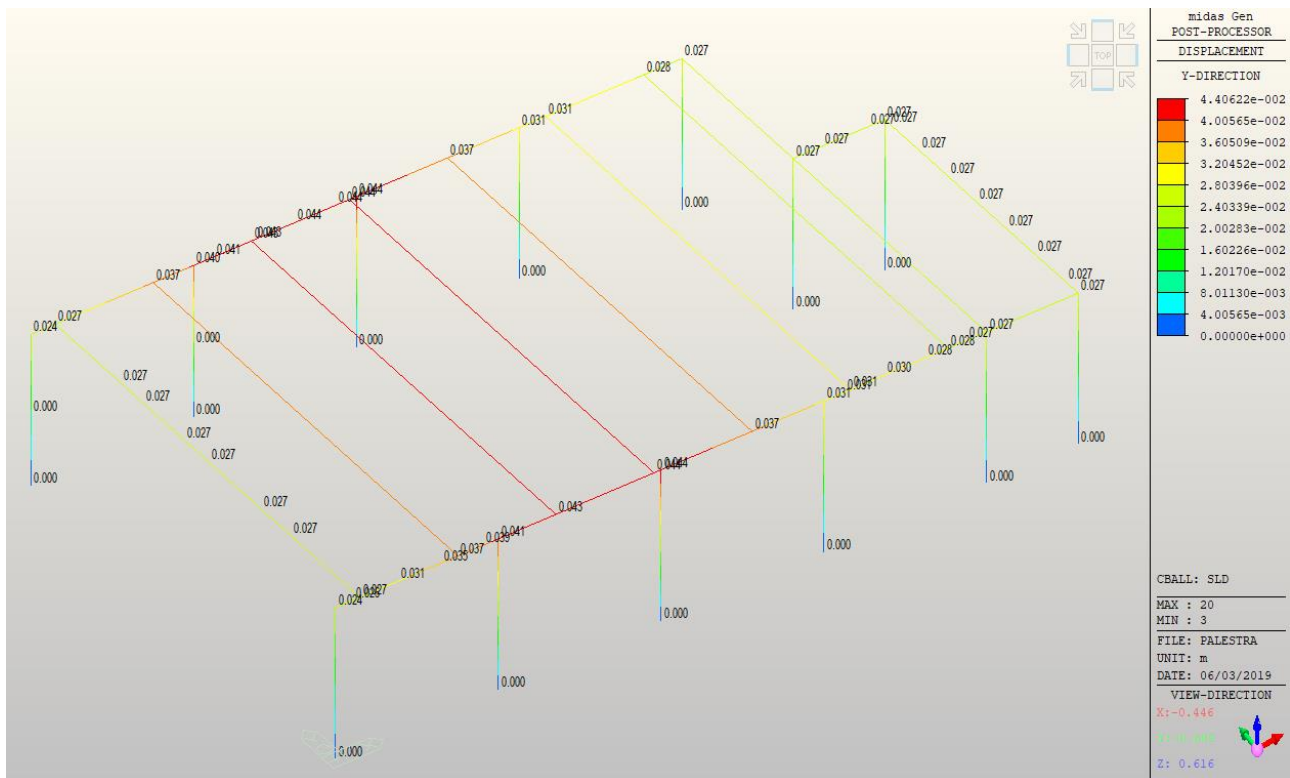


- massimo spostamento in direzione y

$$u_{max,y} = 44,06 \text{ mm}$$



RELAZIONE ILLUSTRATIVA E DI CALCOLO		
Data emissione: 20/05/2019	RST Relazione illustrativa e di calcolo strutturale.docx	177 di 267



L' altezza d'interpiano considerata è quella implementata nel modello, ovvero

$$h = 8,05 \text{ m}$$

La verifica viene effettuata per ogni direzione.

Direzione x

Dato che la costruzione in esame ha un solo piano, lo spostamento corrispondente vale:

$$d_{r,SLD} = u_j - u_i = 40,41 - 0,0 = 40,41 \text{ mm}$$

Dove, considerando il singolo piano, u_i indica lo spostamento del nodo alla base e u_j lo spostamento del nodo in sommità.

Si ottiene quindi che:

$$q d_{r,SLD} = 40,41 \text{ mm} \leq 0,010 \cdot h = 80,50 \text{ mm}$$

La verifica risulta soddisfatta.

Direzione y

Lo spostamento corrispondente vale:

$$d_{r,SLD} = u_j - u_i = 44,06 - 0,0 = 44,06 \text{ mm}$$

Dove, considerando il singolo piano, u_i indica lo spostamento del nodo alla base e u_j lo spostamento del nodo in sommità.



RELAZIONE ILLUSTRATIVA E DI CALCOLO		
Data emissione: 20/05/2019	RST Relazione illustrativa e di calcolo strutturale.docx	178 di 267

Si ottiene quindi che:

$$q d_{r,SLD} = 44,06 \text{ mm} \leq 0,010 \cdot h = 80,50 \text{ mm}$$

La verifica risulta soddisfatta.

Lo stesso procedimento è stato successivamente applicato ai risultati ricavati con l'analisi allo SLO, dove bisogna verificare che gli spostamenti d'interpiano siano inferiori a $\frac{2}{3}$ dei limiti indicati nella normativa e valutati per i risultati derivanti dall'analisi all'SLD.

In questo caso, quindi, la relazione da considerare è:

$$q d_{r,SLO} \leq d_{rp} \leq \frac{2}{3} (0,010 \cdot h)$$

- $d_{r,SLO}$ è lo spostamento di interpiano, cioè la differenza tra gli spostamenti del solaio superiore e del solaio inferiore ricavati dall'analisi dinamica lineare allo SLO;
- d_{rp} è lo spostamento d'interpiano totale, in questo caso uguale a $d_{r,SLO}$;
- q è il fattore di struttura assunto pari a 1,0 per l'analisi allo SLO;
- h è l'altezza di interpiano.

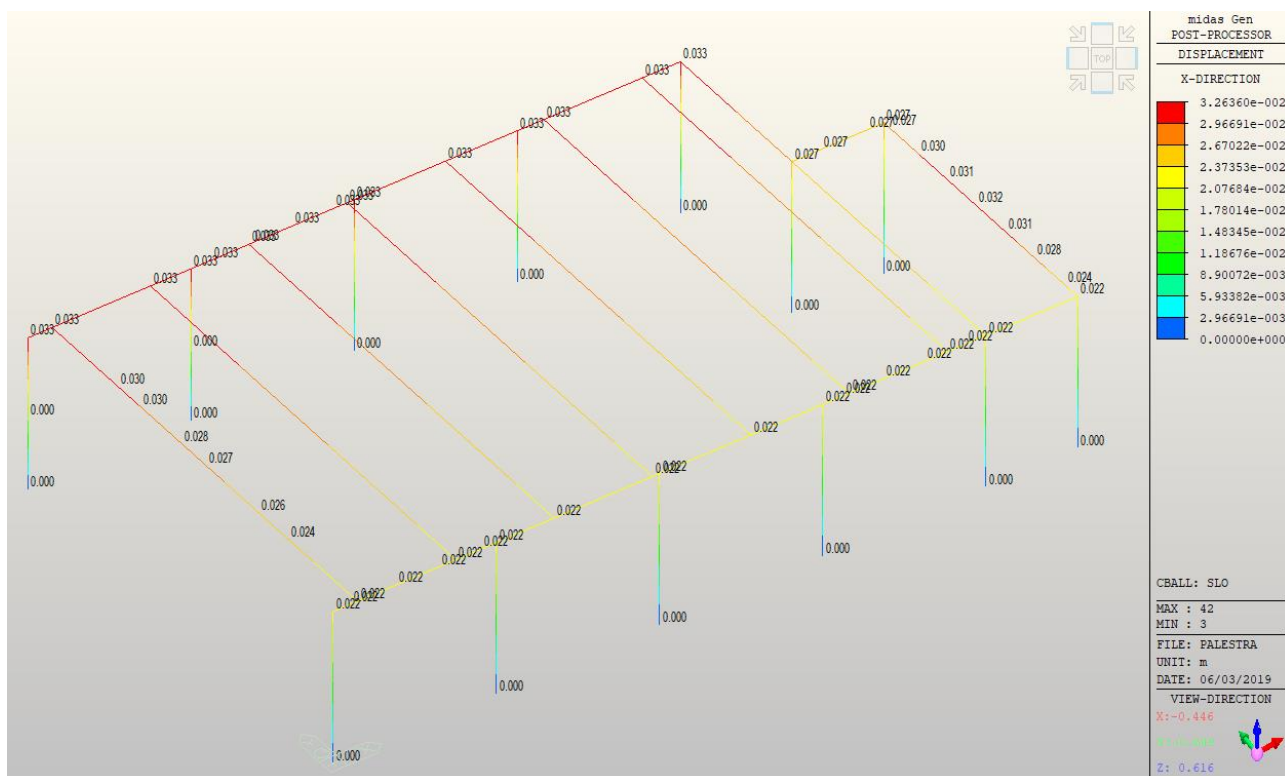
Come in precedenza, è stato individuato il massimo spostamento che si verifica lungo le direzioni x e y dopo l'analisi allo SLO:

- massimo spostamento in direzione x

$$u_{max,x} = 32,64 \text{ mm}$$

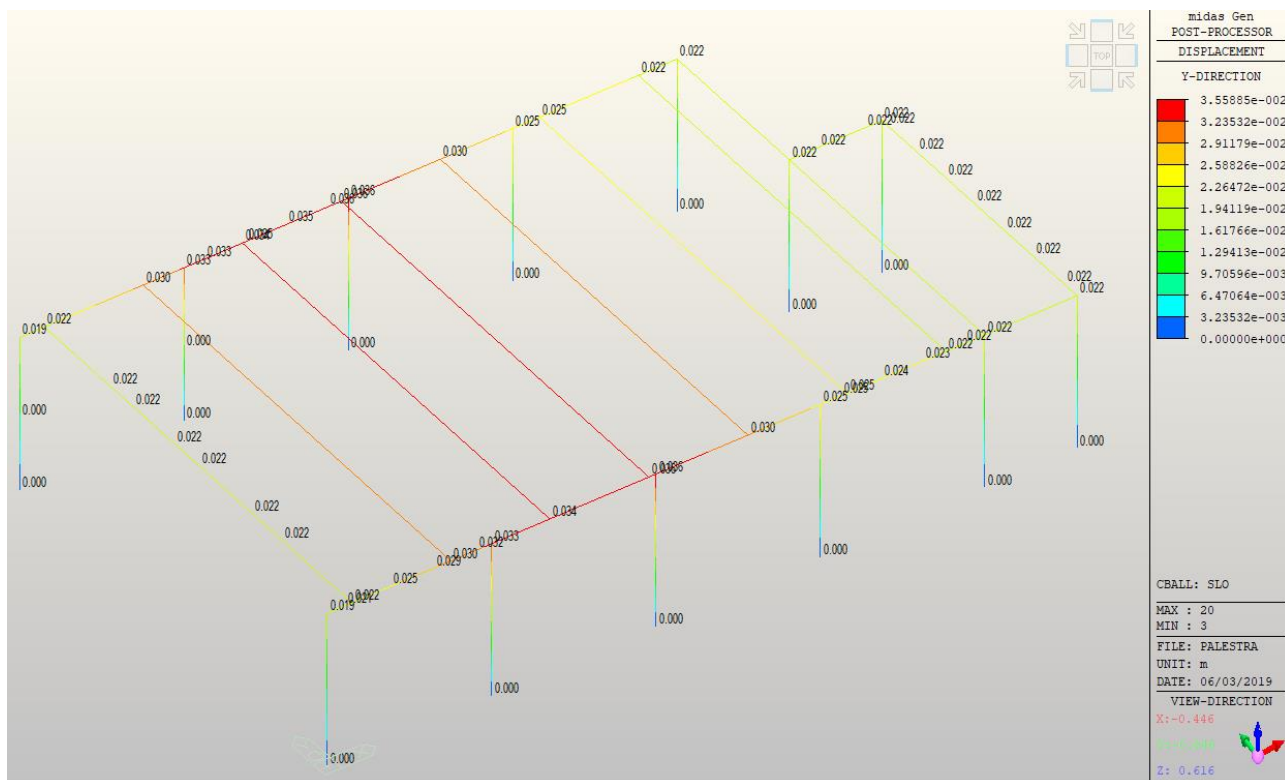


RELAZIONE ILLUSTRATIVA E DI CALCOLO		
Data emissione: 20/05/2019	RST Relazione illustrativa e di calcolo strutturale.docx	179 di 267



- massimo spostamento in direzione y

$$u_{max,y} = 35,59 \text{ mm}$$





RELAZIONE ILLUSTRATIVA E DI CALCOLO		
Data emissione: 20/05/2019	RST Relazione illustrativa e di calcolo strutturale.docx	180 di 267

Si procede quindi la verifica con il pilastro che presenta gli spostamenti maggiori. L'altezza d'interpiano considerata è quella implementata nel modello, ovvero

$$h = 8,05 \text{ m}$$

La verifica viene effettuata per ogni direzione.

Direzione x

Dato che la costruzione in esame ha un solo piano, lo spostamento corrispondente vale:

$$d_{r,SLO} = u_j - u_i = 32,64 - 0,0 = 32,64 \text{ mm}$$

Dove, considerando il singolo piano, u_i indica lo spostamento del nodo alla base e u_j lo spostamento del nodo in sommità.

Si ottiene quindi che:

$$q d_{r,SLO} = 32,64 \text{ mm} \leq \frac{2}{3} 0,010 \cdot h = 53,67 \text{ mm}$$

La verifica risulta soddisfatta.

Direzione y

Lo spostamento corrispondente vale:

$$d_{r,SLO} = u_j - u_i = 35,59 - 0,0 = 35,59 \text{ mm}$$

Dove, considerando il singolo piano, u_i indica lo spostamento del nodo alla base e u_j lo spostamento del nodo in sommità.

Si ottiene quindi che:

$$q d_{r,SLO} = 35,59 \text{ mm} \leq \frac{2}{3} 0,010 \cdot h = 53,67 \text{ mm}$$

La verifica risulta soddisfatta.

Anche in questo caso la verifica risulta essere soddisfatta.

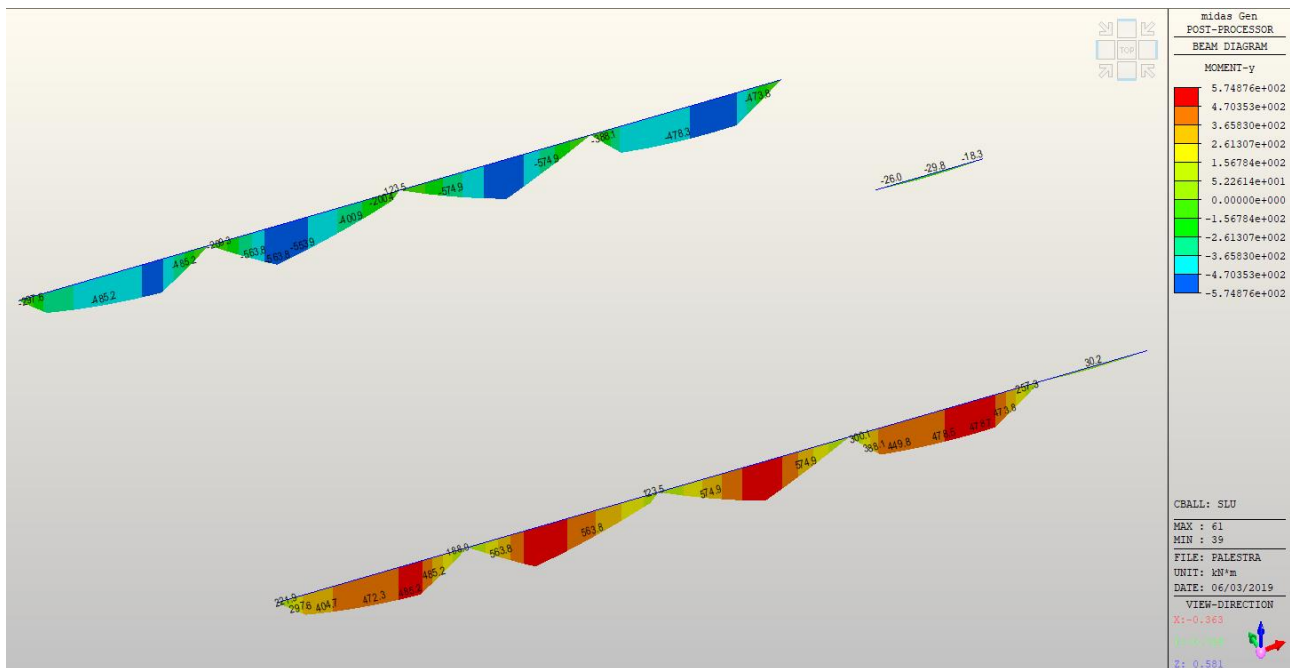
7.5.6 ARMATURE TRAVI

7.5.6.1 Travi prefabbricate a L

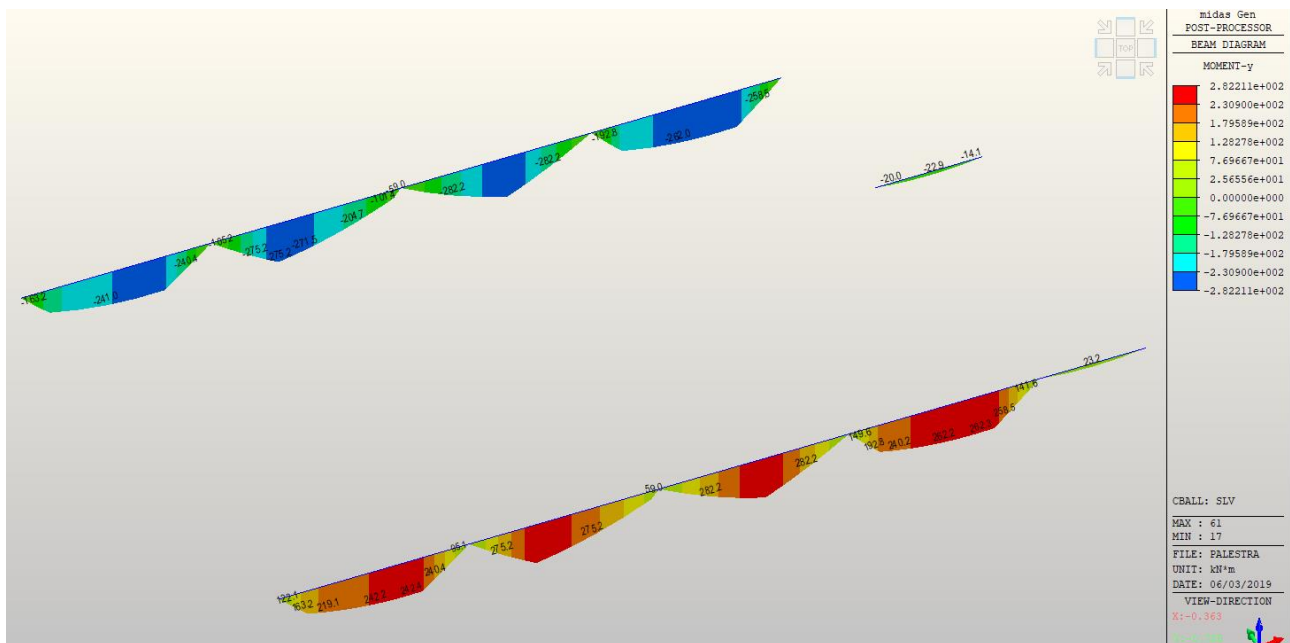
La verifica di resistenza per le travi prefabbricate a L è stata condotta valutando il momento peggiore agente sulle stesse allo SLU:



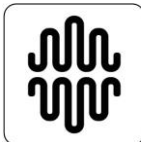
RELAZIONE ILLUSTRATIVA E DI CALCOLO		
Data emissione: 20/05/2019	RST Relazione illustrativa e di calcolo strutturale.docx	181 di 267



Ed allo SLV:



Con l'ausilio del programma Gelfi – VcaSlu è stata calcolata l'armatura longitudinale necessaria da inserire nella trave, in modo che possa resistere alle azioni agenti:



RELAZIONE ILLUSTRATIVA E DI CALCOLO		
Data emissione: 20/05/2019	RST Relazione illustrativa e di calcolo strutturale.docx	182 di 267

TITOLO : _____

N° Vertici **Zoom** **N° barre** **Zoom**

N°	x [cm]	y [cm]
1	0	0
2	0	70
3	40	70
4	40	30
5	60	30
6	60	0

N°	As [cm²]	x [cm]	y [cm]
1	9.05	20	64.8
2	9.05	20	50.4
3	9.05	20	36.0
4	18.1	30	22.05
5	18.10	30	5.2

Sollecitazioni
S.L.U. ☒ Metodo n ☐

N Ed kN
M xEd kNm
M yEd

P.to applicazione N
☒ Centro ☐ Baricentro cls
☐ Coord.[cm] xN yN

Tipo rottura
Lato calcestruzzo - Acciaio snervato

Materiali
B450C **C40/50**
 ϵ_{su} ‰ ϵ_{c2} ‰
 f_{yd} N/mm² ϵ_{cu} ‰
 E_s N/mm² f_{cd} N/mm²
 E_s/E_c f_{cc}/f_{cd} ?
 ϵ_{syd} ‰ $\sigma_{c,adm}$ N/mm²
 $\sigma_{s,adm}$ N/mm² τ_{co} N/mm²
 τ_{c1} N/mm²

M xRd kN m
 σ_c N/mm²
 σ_s N/mm²
 ϵ_c ‰
 ϵ_s ‰
 d cm
 x x/d
 δ

Tipo Sezione
☒ Rettan.re ☐ Trapezi
☐ a T ☐ Circolare
☐ Rettangoli ☒ Coord.

Metodo di calcolo
☒ S.L.U.+ ☐ S.L.U.-
☒ Metodo n

Tipo flessione
☒ Retta ☐ Deviata

N° rett.
Calcola MRd **Dominio M-N**
 L_o cm **Col. modello**
☐ Precompresso

Confrontando questo valore ($M_{Rd} = 792 \text{ kNm}$) con il massimo momento sollecitante in valore assoluto ($M_{Ed} = 574,88 \text{ kNm}$) si dimostra che la verifica a flessione risulta essere soddisfatta:

$$\frac{M_{Ed}}{M_{Rd}} = 0,73 < 1,00$$

Si procede ora con il calcolo della verifica a taglio, in accordo con quanto riportato nelle NTC2018. Con riferimento a quanto riportato al paragrafo 4.1.2.3.5.1 si calcola l'azione tagliante resistente verificando se è necessaria l'armatura a taglio:

$$V_{Rd} = \max \left\{ \left[0,18 \frac{k}{\gamma_c} (100 \rho_l f_{ck})^{1/3} + 0,15 \sigma_{cp} \right] b_w d ; (v_{min} + 0,15 \sigma_{cp}) b_w d \right\}$$

$$= \max \{ 188,12 \text{ kN}; 114,2 \text{ kN} \} = 188,12 \text{ kN}$$

Dove:

- $k = 1 + \sqrt{\frac{200}{d}} = 1,56 < 2$;
- $\gamma_c = 1,5$;
- $\rho_l = \frac{A_{sl}}{b_w d} = 0,014 < 0,02$, con A_{sl} armatura longitudinale tesa, pari a $8\phi 24 = 3619 \text{ mm}^2$;
- $f_{ck} = 40 \text{ N/mm}^2$, in quando calcestruzzo di classe C40/50;
- $\sigma_{cp} = \frac{N_{Ed}}{A_c} = 63,82 \text{ kN/m}^2 < 0,2 f_{cd} = 4533 \text{ kN/m}^2$, con $N_{Ed} = 21,7 \text{ kN}$ tenendo conto dell'elemento soggetto maggiormente a taglio;
- $b_w = 0,400 \text{ m}$ tenendo conto della larghezza minima della sezione;
- $d = 0,648 \text{ m}$ è l'altezza utile della sezione;

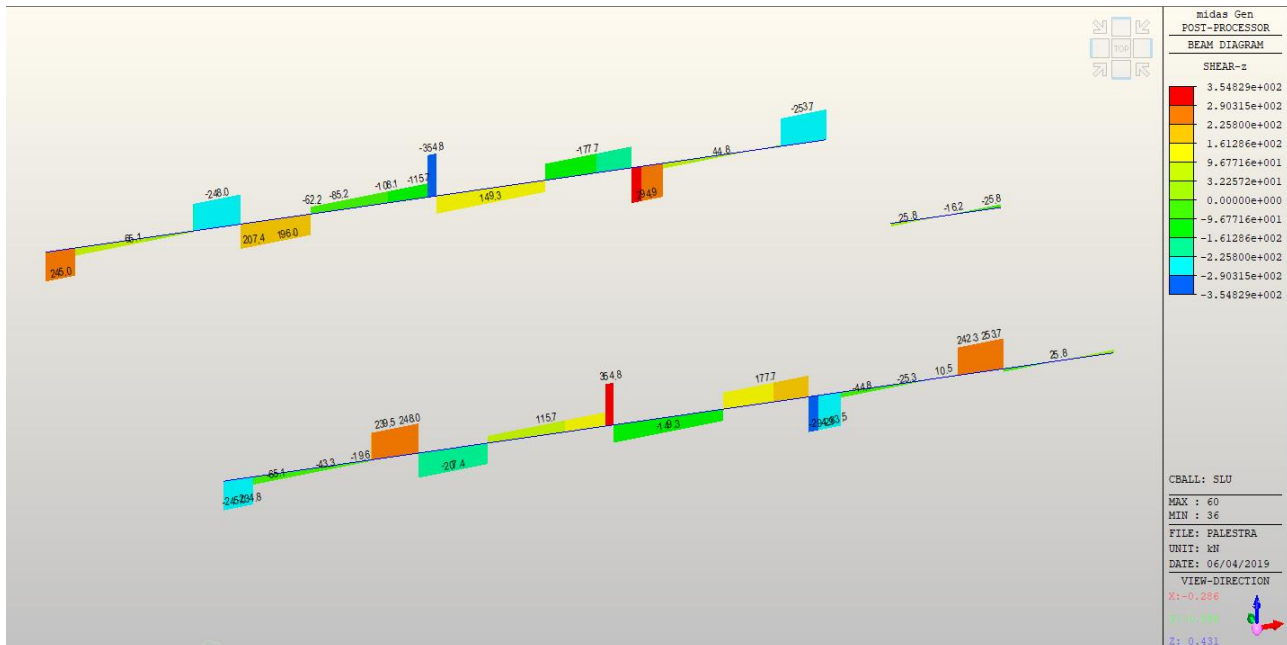


RELAZIONE ILLUSTRATIVA E DI CALCOLO		
Data emissione: 20/05/2019	RST Relazione illustrativa e di calcolo strutturale.docx	183 di 267

$$- v_{min} = 0,035 k^{3/2} f_{ck}^{1/2} = 0,431.$$

Dato che

$$V_{Rd} = 188,12 \text{ kN} < V_{Ed} = 355 \text{ kN}$$



Si procede con il dimensionamento dell'armatura a taglio A_{sw} .

Si definisce

$$A_{sw} = 2\phi 10 = 157,08 \text{ mm}^2$$

E si determina il passo massimo s_{max} delle staffe (rif. par. 4.1.6.1.1 NTC2018):

$$s_{max} = \min \begin{cases} 330 \text{ mm} \\ 0,8d = 518,4 \text{ mm} \\ \frac{1000A_{sw}}{1,5b_w} = 174,53 \text{ mm} \end{cases} = 174,53 \text{ mm}$$

Viene quindi imposto un passo $s = 100 \text{ mm} < s_{max}$.

Con riferimento al paragrafo 4.1.2.3.5.2, sempre delle NTC2018, si riporta il procedimento per ricavare la forza resistente a taglio.

Si impone la resistenza a taglio-trazione V_{Rsd}

$$V_{Rsd} = 0,9d \frac{A_{sw}}{s} f_{yd} (\cot \theta + \cot \alpha) \sin \alpha$$

uguale a quella a taglio-compressione V_{Rcd}

$$V_{Rcd} = 0,9d b_w \alpha_c v f_{cd} (\cot \theta + \cot \alpha) \sin^2 \theta$$

in modo tale da ricavare il valore dell'inclinazione delle fessure θ :

$$\theta = 21,6^\circ$$



RELAZIONE ILLUSTRATIVA E DI CALCOLO		
Data emissione: 20/05/2019	RST Relazione illustrativa e di calcolo strutturale.docx	184 di 267

Dato che $21,80^\circ \leq \theta \leq 45,00^\circ$, si assume $\theta = 21,8^\circ$ e si calcola il passo di staffe necessario s_{nec} imponendo $V_{Ed} = V_{Rsd}$ con $\theta = 21,8^\circ$:

$$s_{nec} = 252,4 \text{ mm}$$

Mantenendo il passo $s = 100 \text{ mm}$, in quanto minore di s_{nec} appena calcolato, si ricava il valore di resistenza a taglio finale (inserendo nelle formule $\theta = 21,8^\circ$):

$$V_{Rd} = \min\{V_{Rsd}; V_{Rcd}\} = \min\{896,17 \text{ kN} ; 364,68 \text{ kN}\} = 364,68 \text{ kN}$$

La verifica risulta essere soddisfatta:

$$\frac{V_{Ed}}{V_{Rd}} = 0,97 < 1$$

Si riportano i valori considerati per i parametri non specificati nelle formule precedenti:

- α indica l'inclinazione delle staffe, utilizzando barre dritte $\alpha = 90^\circ$;
- $f_{yd} = 391,3 \text{ N/mm}^2$ è la resistenza a snervamento di progetto dell'acciaio B450C utilizzato per le armature;
- α_c è un coefficiente amplificativo dipendente da σ_{cp} assunto pari a 1 dato che per $0 \leq \sigma_{cp} = 0,06382 \frac{\text{N}}{\text{mm}^2} \leq 0,25 f_{cd} = 0,25 \cdot \frac{0,85 f_{ck}}{\gamma_c} = 5,67 \text{ N/mm}^2$, da cui $\alpha_c = 1 + \frac{\sigma_{cp}}{f_{cd}} = 1,003$;
- $\nu = 0,5$.

7.5.6.2 Travi prefabbricate 60x70 cm

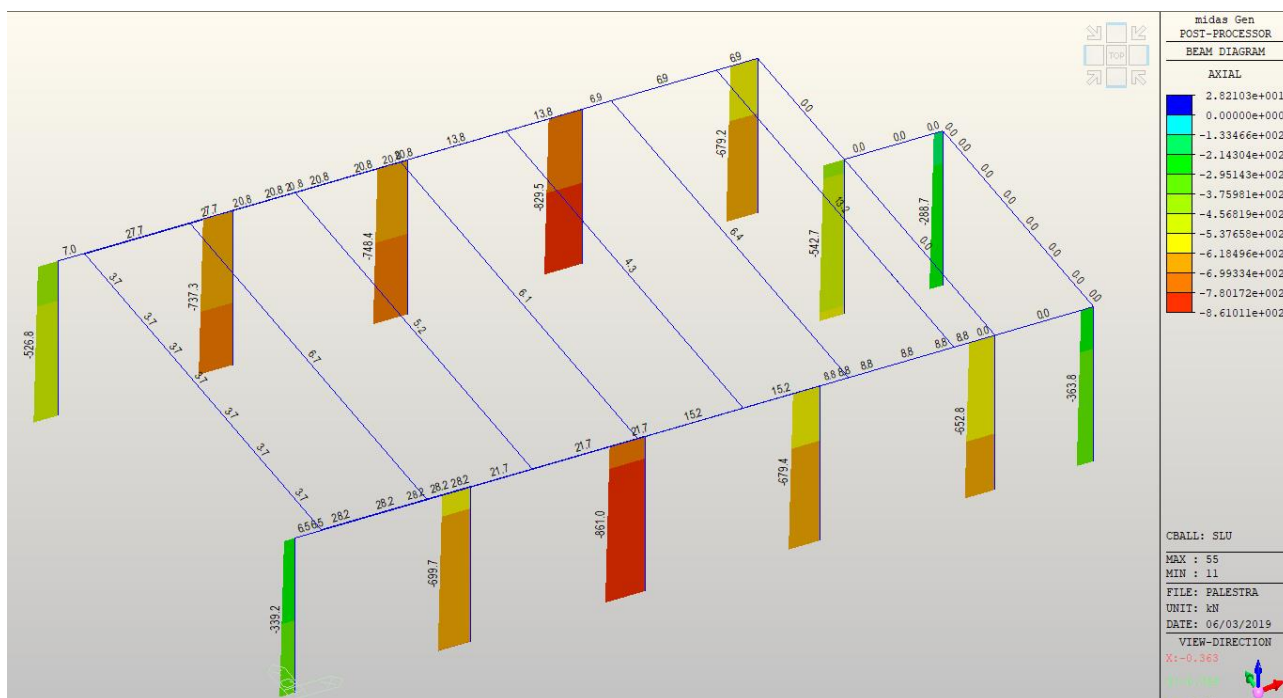
Le travi prefabbricate 60x70 cm sono di tipo precompresso. Pertanto, il dimensionamento e la verifica delle armature verranno eseguite dall'azienda produttrice competente.

Si riportano di seguito le sollecitazioni di azione assiale, momento e taglio derivanti dagli involucri allo SLU e allo SLV.

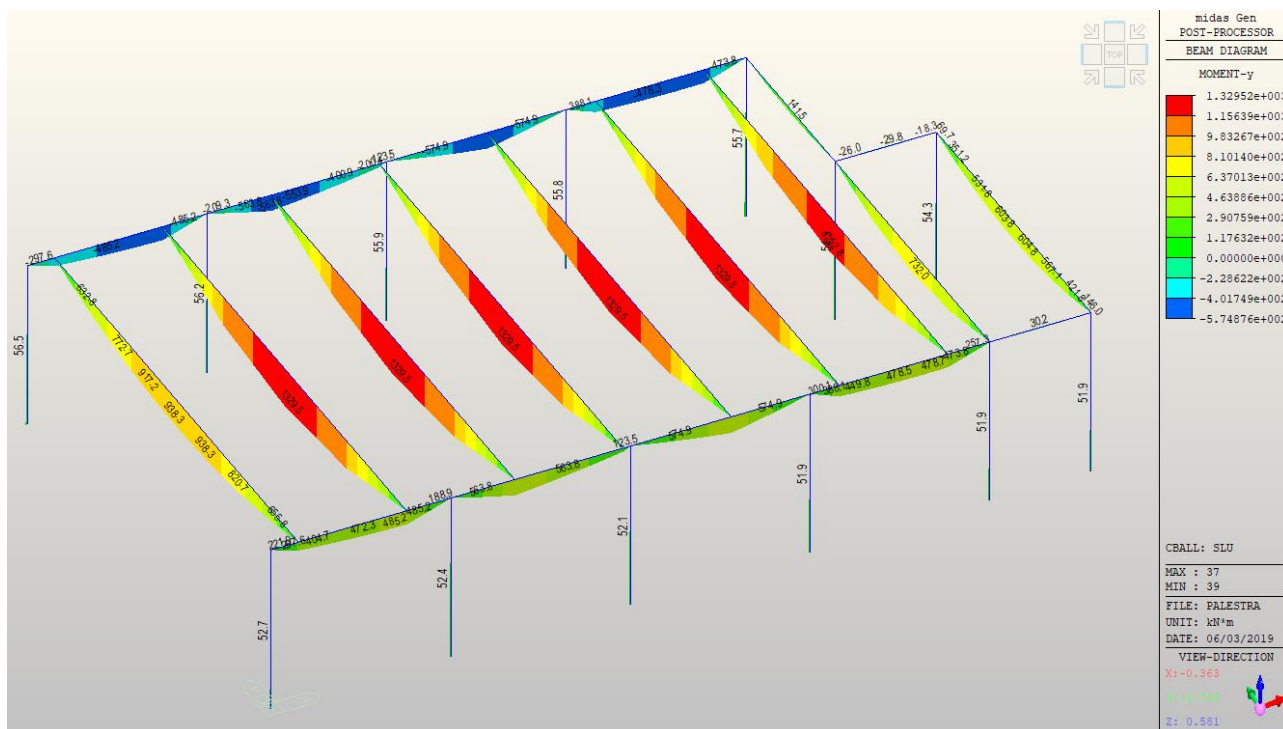
- Involuppo SLU
Azione assiale (N)



RELAZIONE ILLUSTRATIVA E DI CALCOLO		
Data emissione: 20/05/2019	RST Relazione illustrativa e di calcolo strutturale.docx	185 di 267



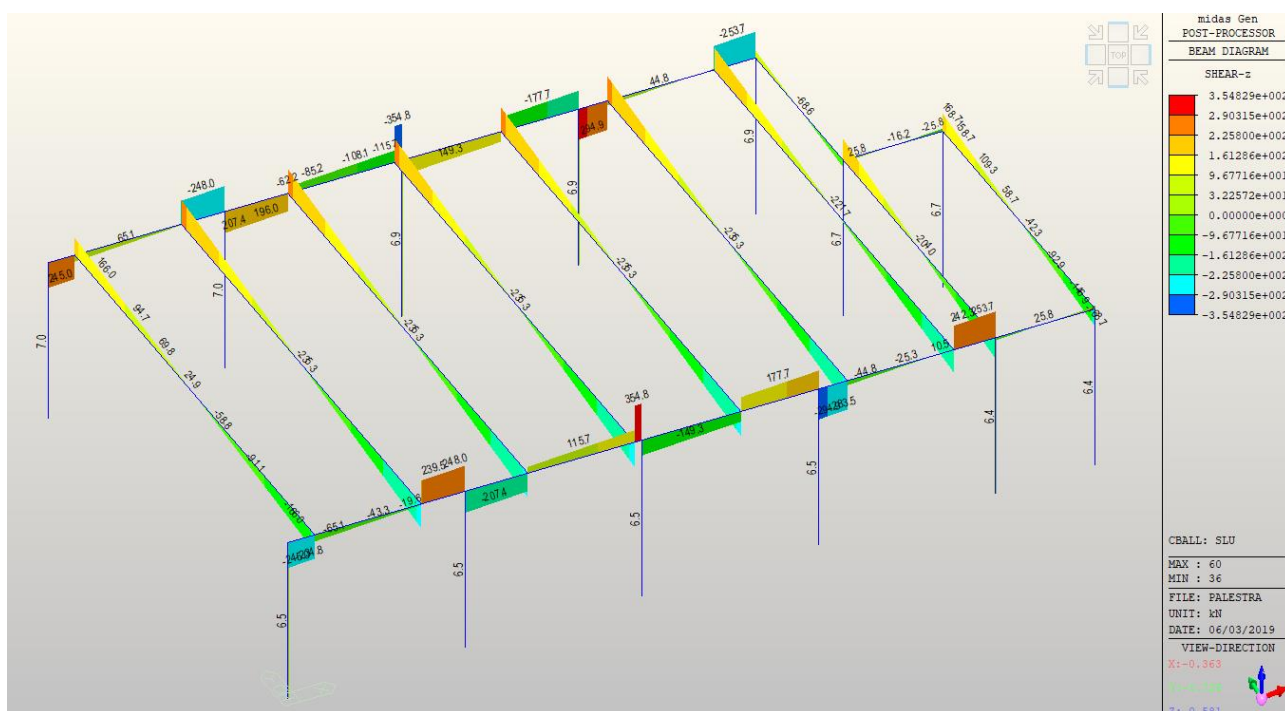
Momento flettente (M_y)



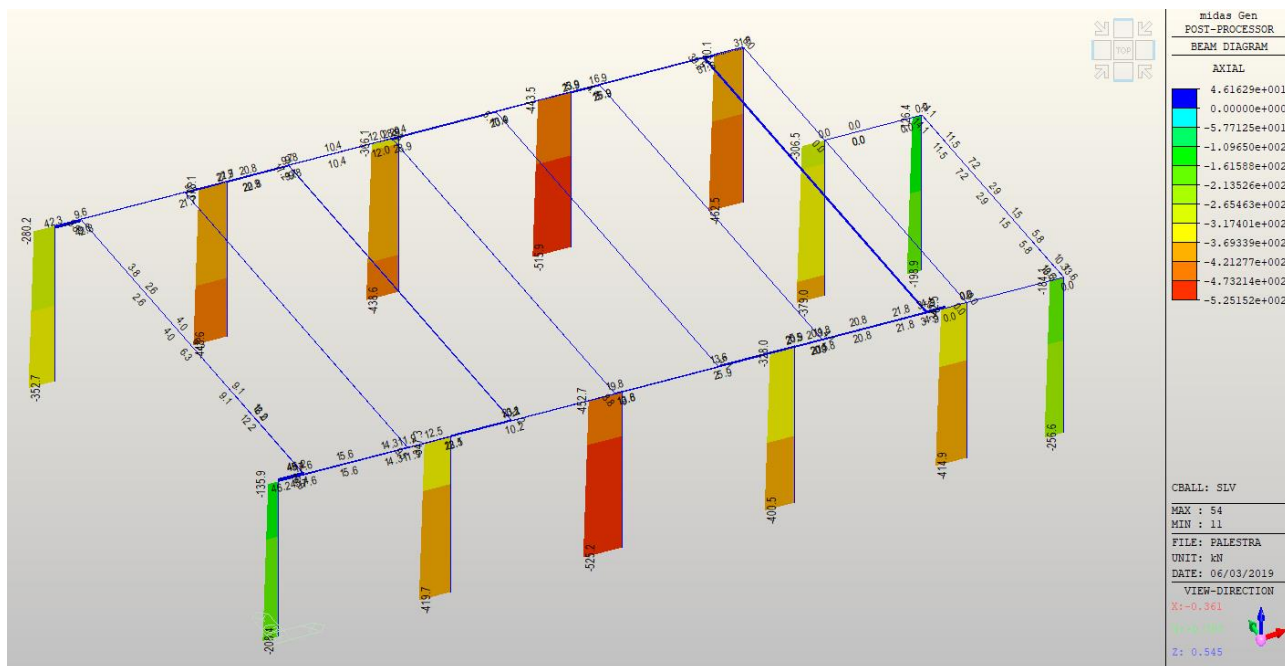
Azione di taglio



RELAZIONE ILLUSTRATIVA E DI CALCOLO		
Data emissione: 20/05/2019	RST Relazione illustrativa e di calcolo strutturale.docx	186 di 267

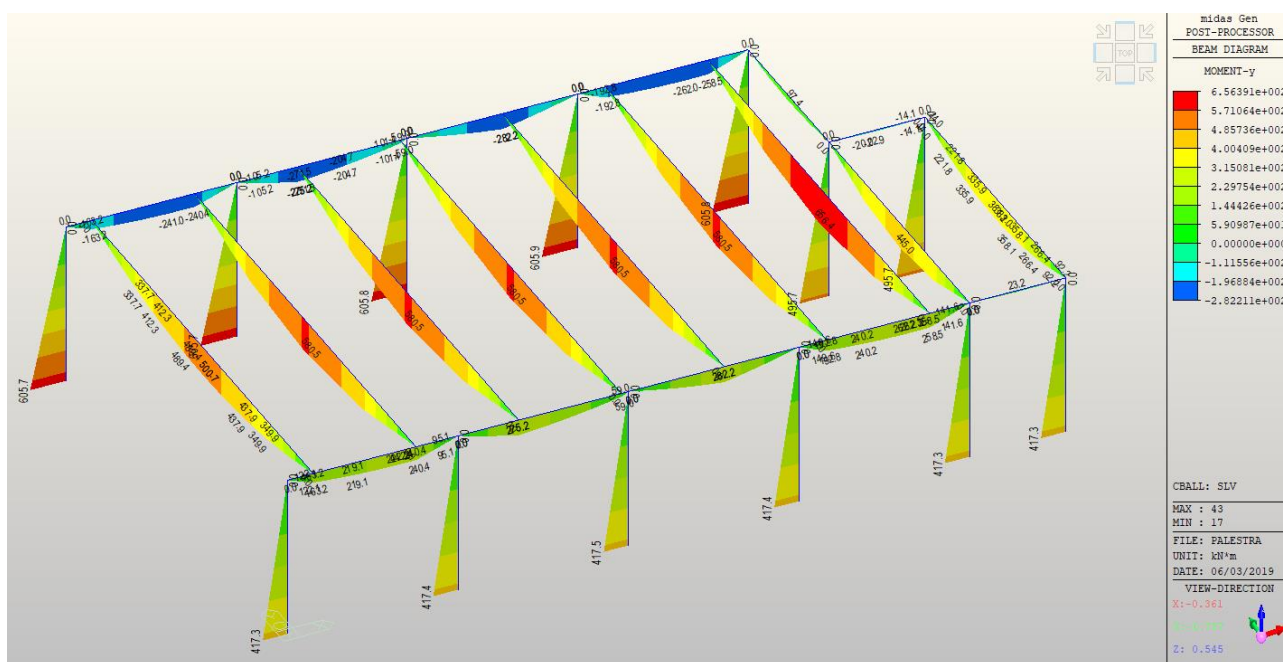


- Inviluppo SLV
- Azione assiale (N)

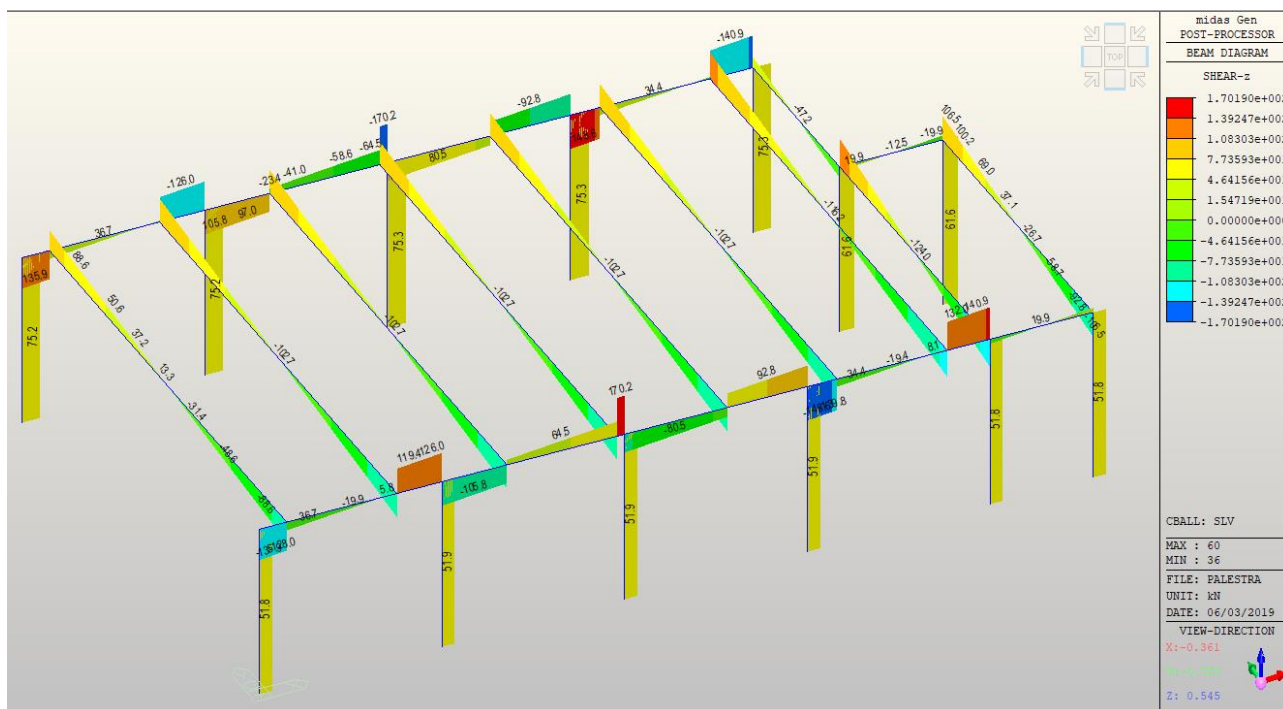
Momento flettente (M_y)



RELAZIONE ILLUSTRATIVA E DI CALCOLO		
Data emissione: 20/05/2019	RST Relazione illustrativa e di calcolo strutturale.docx	187 di 267



Azione di taglio



7.5.6.3 Travi alari tipo Ondal

Si riportano di seguito le schede di calcolo dei tegoli Ondal realizzate dall'azienda produttrice Manini come esempio sulla dimostrazione della fattibilità degli elementi:



Mynd
ingegneria

RELAZIONE ILLUSTRATIVA E DI CALCOLO

Data emissione:
20/05/2019

RST Relazione illustrativa e di calcolo
strutturale.docx

189 di
267

CARATTERISTICHE DEI MATERIALI

fck	457	daN/cm ²	f _{yk}	18600	daN/cm ²
fckj	356	daN/cm ²	f _{yk(1)}	16700	daN/cm ²
Rck	550	daN/cm ²	f _{yk(1)d}	14522	daN/cm ²
fcd	277	daN/cm ²	f _{yk}	4500	daN/cm ²
act	1		f _{yd}	3913	daN/cm ²
α _{ce}	0.85		Es	2040000	daN/cm ²
fctk	26.8	daN/cm ²	Esiento	2100000	daN/cm ²
fctd	19.2	daN/cm ²			
fctm	38.3	daN/cm ²	Es/Ec	5.60	
v	0.5		ε _c diff	0.000125	
fcd2d	138.6	daN/cm ²	Tipo aggregati (1= siliceo; 2= calcareo > 80%)	2	
Ec	364161	daN/cm ²			
Ecj	337984	daN/cm ²			
G	158331	daN/cm ²			

Parametri Zona sismica

Zona sismica	3
ag	1.000
S _r	1
Fo	2.5

CARATTERISTICHE DELLA PRECOMPRESSIONE

Tiro	15000	daN/cm ²	Perdite di tensione cons. nelle fasi (1=totale)	2a-2b-2c	0.5
Rilass. taglio dei cavi	250	daN/cm ²		3	1
				4	1
				5	1
				6	1

COEFFICIENTI

Coefficienti di combinazione delle azioni variabili

N car. variabile	rara a	frequente a	q. perm. a	SLU base	SLU sismico	SLU sismico	SLU fuoco
3	1	1	1	1.5	1	1	1
4	1	0.2	0	1.5	0	0	0
5	1	0.2	0	1.5	0	0	0
6	0	0	0	0	1	-1	0

S.I.U.

γ _{g1}	1.3
γ _p	1
γ _e	1.5
γ _{g2}	1.5
γ _c	1.4
γ _s	1.15

ε_{se} 0.000484 deformazione per ritiro
φ(L₀) 2.79 coefficiente di viscosità

S.I.E.

γ _p	1
----------------	---

ARMATURE LONGITUDINALI (dipendenti dal tipo armatura ma modificabili)

Posizioni di armatura lenta (Y da intendersi dal lembo superiore)

N. ferri	Diametro	Y [cm]	da [cm]	a [cm]	Area [cm ²]	H inf [cm]
2	12	3.5	100	2120	2.26	67.5
2	16	8	100	2120	4.02	63
2	16	12	100	2120	4.02	59
2	12	19	100	2120	2.26	52
2	12	67	100	2120	2.26	4
4	12	51	100	2120	4.52	20
		0				
		0				

posizioni efficaci ancorate

Posizioni di armatura precompressa (Y da intendersi dal lembo superiore)

N. trati	Area [cm ²]	Y [cm]	L. qua. sx	L. qua. dx	H inf [cm]	Diam. [cm]	ds [cm]	dd [cm]	Area [cm ²]	S [cm ²]
1	1.39	65	0	0	6	1.524	97	2123	1.39	90.35
2	1.39	64	0	0	7	1.524	97	2123	2.78	177.92
2	1.39	62	600	600	9	1.524	697	1523	2.78	172.36
2	1.39	60	300	300	11	1.524	397	1823	2.78	166.8
2	1.39	58	300	300	13	1.524	397	1823	2.78	161.24
2	1.39	56	150	150	15	1.524	247	1973	2.78	155.68
2	1.39	54	150	150	17	1.524	247	1973	2.78	150.12
1	1.39	60	0	0	11	1.524	97	2123	1.39	83.4
2	1.39	58	0	0	13	1.524	97	2123	2.78	161.24
0	0	55	0	0	16				0	0
1	1.39	55	0	0	16	1.524	97	2123	1.39	76.45
A _{st} [cm ²]	23.63	Y _{st} [cm]	59.1							

SEZIONE PREFABBRICATA

Modellazione del trapezio con l'inserimento della linea di fessurazione trasversale

Si individua un trapezio oltre il quale il calcestruzzo è fessurato. Tale trapezio è il numero

Nel primo 5 trapezi il calcestruzzo è non fessurato

5

Trapezi della sezione prefabbricata dall'alto verso il basso con rispettiva resistenza a compressione

N. trap	Bsup [cm]	Binf [cm]	H [cm]	Htot [cm]	Spess [cm]	k	Tensione
1	23.8	24	0.1	0.1	8.0	1.00	23.56
2	24	54	3.9	4	11.0	1.00	23.56
3	54	62	2	6	13.1	1.00	23.56
4	62	60.8	3.2	9.2	13.1	1.00	23.56
5	60.8	23.6	10.6	19.8	9.0	1.00	23.56
6	23.6	23	7.6	27.4	5.3	0.91	13.86
7	23	23.6	7.6	35	5.4	0.92	13.86
8	23.6	25.6	7.6	42.6	5.5	0.92	13.86
9	25.6	28.8	7.6	50.2	7.0	1.00	13.86
10	78	43.2	10.4	60.6	15.0	1.00	13.86
11	43.2	10	10.4	71	15.0	1.00	23.56



RELAZIONE ILLUSTRATIVA E DI CALCOLO

Data emissione:
20/05/2019RST Relazione illustrativa e di calcolo
strutturale.docx190 di
267Caratteristiche della sezione di calcestruzzo

Area sez. dis 256901.0 mm²
Posizione baricentro 341.154 mm
Momento d'inerzia 11830576437 mm⁴
Peso proprio 642.3 daN/m
Lunghezza ala 139.7 cm

dal lembo superiore

71	125	144
68	122	140

CARATTERISTICHE DELLE SEZIONI

Sezione (cm)	110	240	1110	150	2110
Sezione utile delle armature					
Sezione (cm)	110	240	1110	150	2110
Atref [cm ²]	9.73	11.60	23.63	9.92	9.73
ytref [cm]	10.43	11.33	11.94	10.53	10.43
e [cm]	26.21	25.44	24.20	26.31	26.42

CARATTERISTICHE STATICHE sezione cls

Sezione (cm)	110	240	1110	150	2110
Area (cm ²)	2569	2569	2569	2569	2569
H (cm)	71.00	71.00	71.00	71.00	71.00
Jo [cm ⁴]	1183058	1183058	1183058	1183058	1183058
Yinf [cm]	36.88	36.88	36.88	36.88	36.88

CARATTERISTICHE STATICHE sezione ideale prefabbricata

Sezione [cm]	110	240	1110	150	2110
Area [cm ²]	2744	2730	2802	2720	2718
H [cm]	71.00	71.00	71.00	71.00	71.00
Jo [cm ⁴]	1290981	1282868	1324684	1278476	1277986
Y [cm]	36.64	36.76	36.14	36.84	36.85
Wis [cm ³]	37575	37472	38001	37428	37423
Wl [cm ³]	35232	34894	36653	34702	34680
Anetta	2675	2678	2666	2679	2680
Jnetta	1241172	1243555	1236083	1244323	1244408
Yn	37.31	37.29	37.40	37.27	37.27

CALCOLO DELLE SOLLECITAZIONI NELLA SINGOLA FASE

SOLLECITAZIONI per i carichi della fase		Momento [daNm]				
Sezione (cm)		110	240	1110	150	2110
Fase	1	8166	15973	40279	10684	8166
	2	10435	21364	55392	13959	10435
	2a	7453	15260	39566	9971	7453
	2b	9689	19838	51436	12962	9689
	2c	8944	18312	47479	11965	8944
	3	7453	15260	39566	9971	7453
	4	2437	4990	12937	3260	2437
	5	0	0	0	0	0
	6	1161	2376	6161	1553	1161
rara	7a	6963	14256	36963	9315	6963
frequente	7a	1393	2851	7393	1863	1393
quasi perm.	7a	0	0	0	0	0



RELAZIONE ILLUSTRATIVA E DI CALCOLO

Data emissione:
20/05/2019RST Relazione illustrativa e di calcolo
strutturale.docx191 di
267

SOLLECITAZIONI per i carichi della fase

Sezione (cm)	110	240	1110	150	2110
Fase	1	6423	5588	0	6166
	2	8992	7823	0	8632
	2a	6423	5588	0	6166
	2b	8349	7264	0	8015
	2c	7707	6705	0	7399
	3	6423	5588	0	6166
	4	2100	1827	0	2016
	5	0	0	0	0
	6	1000	870	0	960
perm asimm	6	1000	870	0	960
rara	7a	6000	5220	0	5760
frequente	7a	1200	1044	0	1152
quasi perm.	7a	0	0	0	0

Reazione app 1

Reazione app 2

Fase	1	tot	T [daN]	M [daNm]	T [daN]	M [daNm]	tot
	2	9981	7129	4990	7129	4990	9981
	2a		7129		7129		
	2b	9268	9268		4634	4634	9268
	2c	8555	4277	4277	4277	4277	8555
	3		7129		7129		
	4		2331	0	2331	0	
	5		0	0	0	0	
	6		1110	0	1110	0	
rara	7a		6660	0	6660	0	
frequente	7a		1332	0	1332	0	
quasi perm.	7a		0	0	0	0	

VERIFICHE TENSIONALI

[daN/cm²]

FASE INIZIALE DI PRECOMPRESSIONE

Sezione (cm)	110	240	1110	150	2110
Fo [daN]	145950	174071.4848	354450	148762.148	145950
Mo [daNm]	3825891	4427701	8577535	3913658	3856305
F1 [daN]	143518	171170	348543	146283	143518
M1 [daNm]	3762126	4353906	8434576	3848430	3792034

Tensioni di coazione e al taglio dei cavi

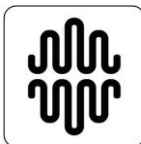
Sezione (cm)	110	240	1110	150	2110
Coaz.					
σ_{sup}	-47.81	-53.48	-97.56	-49.03	-48.53
σ_{inf}	159.09	187.48	354.51	164.69	162.14
σ_s	14029	13915	13190	14005	14015
Taglio					
σ_{sup}	-26.08	-10.86	8.43	-20.49	-26.71
σ_{inf}	135.91	141.71	244.62	133.90	138.59
σ_s	14122	14093	13602	14128	14110
σ_{c-cavo}	112	117	205	111	114

CALCOLO CADUTE DI TENSIONE

Sezione (cm)	110	240	1110	150	2110
Ritiro					
ΔN	9001	10888	20700	9384	9215
$\Delta \sigma_{sup}$	3.00	3.40	5.79	3.15	3.12
$\Delta \sigma_{inf}$	-6.70	-7.95	-13.68	-7.12	-7.03
$\Delta \sigma_s$	925.12	938.27	875.99	946.18	947.07
Viscos.					
ΔN	15992	20249	67206	16504	16691
$\Delta \sigma_{sup}$	5.33	6.33	18.81	5.53	5.64
$\Delta \sigma_{inf}$	-11.91	-14.78	-44.43	-12.53	-12.73
$\Delta \sigma_s$	1643.59	1744.89	2844.08	1664.12	1715.41
Rilass.					
ΔN	5026	5026	5026	5026	5026
$\Delta \sigma_{sup}$	3.50	3.41	3.20	3.53	3.54
$\Delta \sigma_{inf}$	-3.74	-3.67	-3.32	-3.81	-3.83
$\Delta \sigma_s$	516.54	433.10	212.69	506.78	516.54
Totali					
ΔN	30020	36163	92931	30914	30932
$\Delta \sigma_{sup}$	11.83	13.14	27.80	12.21	12.31
$\Delta \sigma_{inf}$	-22.36	-26.39	-61.43	-23.46	-23.59
$\Delta \sigma_s$	3085.26	3116.26	3932.76	3117.08	3179.02
σ_s	11036.65	10976.29	9669.42	11011.13	10930.63
Cadute					
$\Delta \sigma_{sup}$	11.83	13.14	27.80	12.21	12.31
totali					
$\Delta \sigma_{inf}$	-22.36	-26.39	-61.43	-23.46	-23.59
σ_s	11036.65	10976.29	9669.42	11011.13	10930.63
$\Delta \sigma_s$	3085.26	3116.26	3932.76	3117.08	3179.02

Fasi transitorie

Sezione (cm)	110	240	1110	150	2110
Fase 2					
σ_{sup}	-20.04	3.53	48.20	-11.74	-20.65
σ_{inf}	129.48	126.26	203.39	124.46	132.05
Fase 2a					
σ_{sup}	-22.06	-6.19	20.46	-16.29	-22.47
σ_{inf}	126.76	130.55	215.85	124.22	128.85
Fase 2b					
σ_{sup}	-16.11	6.02	51.69	-8.30	-16.49
σ_{inf}	120.41	117.43	183.47	115.60	122.40
Fase 2c					
σ_{sup}	-18.09	1.95	41.28	-10.96	-18.48
σ_{inf}	122.53	121.81	194.26	118.48	124.55



Posa in opera - fasi 3, 4 e 5

Fase 3	σ_{sup}	-16.15	0.38	34.36	-10.19	-16.31
	σ_{inf}	115.58	117.36	185.14	112.49	117.05
	σ_x	11037	10976	9669	11011	10931
Fase 4	σ_{sup}	-9.66	13.69	68.40	-1.48	-9.80
	σ_{inf}	108.66	103.06	149.84	103.10	110.03
	σ_x	11064	11032	9802	11049	10959
Fase 5	σ_{sup}	-9.66	13.69	68.40	-1.48	-9.80
	σ_{inf}	108.66	103.06	149.84	103.10	110.03
	σ_x	11064	11032	9802	11049	10959

Applicazione dei permanenti

Sezione (cm)		110	240	1110	150	2110
	σ_{sup}	-6.57	20.03	84.61	2.67	-6.70
	σ_{inf}	105.37	96.25	133.03	98.63	106.68
	σ_x	11078	11058	9865	11067	10972

Applicazione di carichi variabili (combinazioni rare)

Sezione (cm)		110	240	1110	150	2110
Combin	σ_{sup}	11.96	58.08	181.88	27.56	11.91
a	σ_{inf}	85.60	55.39	32.19	71.78	86.60
	σ_x	11157	11216	10243	11174	11053

VERIFICA TRASVERSALE PER FESSURAZIONE ALA

Sezioni rilevate

	distanza [cm]	spessore [cm]	α [°]
1	37.0	13.1	27.0
2	41.0	5.3	27.0
3	70.0	5.7	27.0
4	100.0	7.3	27.0
5	101.0	7.4	0.0

Larghezza sezione da verificare [cm]

100

Arm. ala ϕ [mm] passo [cm]

7 10

As/s

0.385

Distanza asse ferro - esterno [mm]

15

toleranza posizione [mm]

5

Pretes. Tirante (media) [daN/m]	0
Rapp. Min/max tirante	1.00
Aliquota azioni su tirante	0.00
Aliquota azioni su ala (max)	1.00
Ang medio	27
Carico lineare in punta [daN]	383
dist (cm)	5
Carico distribuito su ala [daN/m]	489
Arm max ala zona appoggio	0.000
Arm max ala interno	0.332

Sezioni di verifica

dist [cm]	spess [cm]	α [°]	A [mm ²]	W_{sup} [mm ³]	N [N]	M [Nmm]	σ [MPa]	As/s min f	my [kNmm]	
38.6	10.0	27.0	102109	1742656	2706.1	1942458	-1.0882	0.063	1942	
42.4	5.3	27.0	55507	491791	2791.4	2174804	-4.3719	0.175	2175	sezione fessurata
46.3	5.4	27.0	56037	501841	2876.6	2414354	-4.7597	0.192	2414	sezione fessurata
50.1	5.4	27.0	56566	511988	2961.8	2661110	-5.1452	0.209	2661	sezione fessurata
54.0	5.5	27.0	57095	522233	3047.1	2915071	-5.5286	0.226	2915	sezione fessurata
57.8	5.5	27.0	57625	532575	3132.3	3176238	-5.9096	0.244	3176	sezione fessurata
61.6	5.6	27.0	58154	543013	3217.6	3444609	-6.2882	0.261	3445	sezione fessurata
65.5	5.6	27.0	58683	553549	3302.8	3720186	-6.6643	0.279	3720	sezione fessurata
69.3	5.7	27.0	59213	564182	3388.0	4002968	-7.0380	0.297	4003	sezione fessurata
73.1	5.9	27.0	60862	600436	3473.3	4292955	-7.0928	0.303	4293	sezione fessurata
77.0	6.1	27.0	63029	643704	3558.5	4590147	-7.0744	0.307	4590	sezione fessurata
80.8	6.3	27.0	65076	688409	3643.8	4894545	-7.0539	0.311	4895	sezione fessurata
84.7	6.5	27.0	67122	734547	3729.0	5206148	-7.0320	0.315	5206	sezione fessurata
88.5	6.7	27.0	69169	782115	3814.2	5524956	-7.0090	0.319	5525	sezione fessurata
92.3	6.9	27.0	71216	831110	3899.5	5850969	-6.9852	0.324	5851	sezione fessurata
96.2	7.1	27.0	73262	881530	3984.7	6184188	-6.9609	0.328	6184	sezione fessurata
100.0	7.3	27.0	75309	933370	4070.0	6524611	-6.9363	0.332	6525	sezione fessurata

Si evince che la fessurazione avviene a una distanza di circa

38.6 cm dal punto di fissaggio della coppella

Valore da ricavare con Interpolazione o con tentativi e da scrivere nella cella **qui sopra**

MOMENTO RESISTENTE CON RIDUZIONI PER ALA FESSURATA E PER SPESSORE - sez. X -

1110

Posizione ipotizzata dell'asse neutro dal lembo superiore [cm]

41.74

Posizione del cambiamento rettangolo-parabola [cm]

17.9

Contributo armature lente

N. ferri	Diametro	Y [cm]	Area [mm ²]	ϵ	Forza [N]	Mom. [Nmm]
2	12	3.5	226.2	0.00321	88511	3097884
2	16	8	402.1	0.00283	157353	12588225
2	16	12	402.1	0.00249	157353	18882338
2	12	19	226.2	0.00191	88511	16817082
2	12	67	226.2	-0.00212	-88511	-59302342
4	12	51	452.4	-0.00078	-73723	-37596657.9
		0		0.00350		
		0		0.00350		

Contributo armature pretese

N. trer	Area [cm ²]	Y [cm]	ϵ	ϵ decomp	ϵ tot	Forza [N]	Mom. [Nmm]
1	1.39	65	-0.00195	0.00474	-0.00669	-189694	-123301209
2	1.39	64	-0.00187	0.00474	-0.00661	-374633	-239765379
2	1.39	62	-0.00170	0.00474	-0.00644	-357964	-221937842
2	1.39	60	-0.00153	0.00474	-0.00627	-348641	-209184522
2	1.39	58	-0.00136	0.00474	-0.00610	-339317	-196804137
2	1.39	56	-0.00120	0.00474	-0.00594	-329994	-184796689
2	1.39	54	-0.00103	0.00474	-0.00577	-320671	-173162176
1	1.39	60	-0.00153	0.00474	-0.00627	-174320	-104592261
2	1.39	58	-0.00136	0.00474	-0.00610	-339317	-196804137
0	0	55	-0.00111	0.00474	-0.00585	0	0
1	1.39	55	-0.00111	0.00474	-0.00585	-162666	-89466407.7

Forze positive = compressioni; forze negative = trazioni

Equilibrio traslazionale (compressioni - trazioni)

0 N



VERIFICHE TAGLIO-TORSIONE

Armatura trasversale di rinforzo base

ϕ [mm]	6
a_w	0.0283 cm ² /cm
ω_w	0.145
λ_c	2.427
passo [cm]	10

	a [cm]	b [cm]	c_1	c_2	J_t [cm ⁴]	quota M_t
rett. base	28.0	21.0	0.219	0.1661	56788	0.5246
rett. ala	79.0	5.7	0.333	0.333	4872	0.0450
rett. in alto	40.0	12.5	0.267	0.263	20859	0.1927
					108251	

Armatura trasversale di rinforzo ala

Arm	ϕ [mm]	passo [cm]	a_w (cm ² /cm)	ω_w	λ_c	ringrosso superiore ω_w	λ_c
1	6	10	0.0283	0.151	2.375	0.054	2.500
2	7	10	0.0385	0.205	1.969	0.087	2.500
3	8	10	0.0503	0.268	1.654	0.114	2.500
4	10	10	0.0785	0.418	1.179	0.177	2.153

Condizione a: carico totale simmetrico

Condizione A: carico totale simmetrico					
Az. Orizzontale (vento) f_w		0	m	0.0	daNm/m
		Taglio [daN] - valori caratteristici			
Sezione (cm)	110	240	1110	150	2110
pesi pr.+copp	8523	7415	0	8182	-8523
Perm.	1000	870	0	960	-1000
Var.	6000	5220	0	5760	-6000
		Taglio [daN] - valori di calcolo			
	21579	18774	0	20716	-21579
τ [daN/cm ²]	16.20	14.09	0.00	15.55	-16.20
	1.83	2.50	2.50	2.50	1.84
		Torsione [daNm] - valori di calcolo			
Sezione (cm)	110	240	1110	150	2110
	0	0	0	0	0
		τ [daN/cm ²]			
	0.00	0.00	0.00	0.00	0.00
		<u>Sezione aperta</u>			
τ_{tot}	16.20	14.09	0.00	15.55	16.20
τ_{tot}^t [daN/cm]	85.83	74.68	0.00	82.40	85.83
n_{xy} [daN/cm]	186.30	202.28	160.56	189.36	186.57
fessurazione		senza armatura trasversale			
verifica senza armatura		SI	SI	SI	SI
Ascissa di fessurazione		0	cm	Nessuna	
$\sigma_{fessurato}$	45.33	56.87	112.94	47.46	45.52
λ_f	1.83	1.99	1.58	1.86	1.84
Arma max As/s	0.0430	0.0378	0.0536	0.0419	0.0429
	1	1	1	1	1
n_{xy} [daN/cm]	262.72	262.72	262.72	262.72	262.72
	308.64	294.50	331.80	305.90	308.40
Armatura		debole	debole	debole	debole
verifica con armatura		SI	SI	SI	SI
		verifica			

BASE					
Sezione (cm)	110	240	1110	150	2110
T [daNm]	0	0	0	0	0
all					
τ_{tot}	0.00	0.00	0.00	0.00	0.00
τ_{tot}^t [daN/cm]	0.00	0.00	0.00	0.00	0.00
n_{xy} [daN/cm]	255.90	255.90	255.90	255.90	255.90
fessurazione					
verifica senza armatura	SI	SI	SI	SI	SI
$\sigma_{fessurato}$	74.06	55.81	55.65	64.85	74.90
λ_f	2.427	2.427	2.427	2.427	2.427
T_{Rsd}	3205	3205	3205	3205	3205
T_{Rsd}	3205	3205	3205	3205	3205
A_{1min} (cm ²)	0.00	0.00	0.00	0.00	0.00
verifica con armatura	SI	SI	SI	SI	SI
σ_c	1.25	1.20	1.20	1.23	1.25
Arma max As/s	0.028	0.028	0.028	0.028	0.028
$T_{Ed}/T_{Rsd} + V_{Ed}/V_{Rsd} < 1$	0.00	0.00	0.00	0.00	0.00
	1	1	1	1	1
					1 VERIFICA

RINGROSSO SUPERIORE					
Sezione (cm)	110	240	1110	150	2110
T [daNm]	0	0	0	0	0
all					
τ_{tot}	0.00	0.00	0.00	0.00	0.00
τ_{tot}^t [daN/cm]	0.00	0.00	0.00	0.00	0.00
n_{xy} [daN/cm]	354.59	479.62	378.67	399.28	355.02
fessurazione					
verifica senza armatura	SI	SI	SI	SI	SI
Ascissa di fessurazione	0	cm	Nessuna		
σ_f	22.84	57.68	159.76	34.09	22.94
λ_f	1.48	2.00	1.58	1.67	1.48
T_{Rsd}	1669	1438	1625	1587	1668
As/s	0.000	0.000	0.000	0.000	0.000
	1	1	1	1	1
					1 VERIFICA



Condizione b: carico dissimmetrico "superiore"

		Taglio [daN] - valori caratteristici				
Sezione (cm)	110	240	1110	150	2110	
pesi pr.+copp	8523	7415	0	8182	-8523	
Perm.	1000	870	0	960	-1000	
Var.	4500	3915	0	4320	-4500	
perm asimmm	1000	870	0	960	-1000	
		Taglio [daN] - valori di calcolo				
	19329	16816	0	18556	-19329	
τ [daN/cm ²]	14.51	12.62	0.00	13.93	-14.51	
asimmm	14.51	12.62	0.00	13.93	-14.51	
		Torsione [daNm] - valori di calcolo				
Sezione (cm)	110	240	1110	150	2110	
	2109	1835	0	2025	-2109	
perm asimmm	2109	1835	0	2025	-2109	
τ [daN/cm ²]	11.11	9.66	0.00	10.66	-11.11	
asimmm	11.11	9.66	0.00	10.66	-11.11	
τ_{tot}	25.61	22.28	0.00	24.59	25.61	
asimmm	25.61	22.28	0.00	24.59	25.61	
τ_{tot}^t [daN/cm]	135.75	118.10	0.00	130.32	135.75	
n_{10} [daN/cm]	186.30	202.28	266.63	189.36	186.57	
fessurazione					senza armatura trasversale	
verifica senza armatura	SI	SI	SI	SI	SI	
Ascissa di fessurazione	0	cm				
$\sigma_{fessuraz}$	45.33	56.87	112.94	47.46	45.52	
λ_y	1.83	1.99	2.50	1.86	1.84	
	1	1	1	1	1	
n_{10} [daN/cm]	262.72	262.72	253.27	262.72	262.72	
verifica con armatura	SI	SI	SI	SI	SI	
		Portata				
		verifica				

BASE						
Sezione (cm)		110	240	1110	150	2110
T(daNm)		1107	963	0	1062	1107
τ_{tot}		16.85	14.66	0.00	16.18	16.85
τ_{tot}^t [daN/cm]		92.74	80.68	0.00	89.03	92.74
n_{10} [daN/cm]		255.90	255.90	255.90	255.90	255.90
fessurazione						
verifica senza armatura	SI	SI	SI	SI	SI	verifica
σ_{pric}		74.06	55.81	55.65	64.85	74.90
λ_y		2.427	2.427	2.427	2.427	2.427
T_{Rsd}		3205	3205	3205	3205	3205
T_{Rsd}		3205	3205	3205	3205	3205
A_{lmin} (cm ²)		7.82	6.81	0.00	7.51	7.82
verifica con armatura	SI	SI	SI	SI	SI	Verifica
α_c		1.25	1.20	1.20	1.23	1.25
$T_{Ed}/T_{Rsd}+V_{Ed}/V_{Rsd} < 1$		0.35	0.30	0.00	0.33	0.35
		1	1	1	1	1
						1 VERIFICA

RINGROSSO SUPERIORE						
Sezione (cm)	110	240	1110	150	2110	
T(daNm)	406	354	0	390	406	
τ_{tot}	24.36	21.19	0.00	23.38	24.36	
τ_{tot}^t [daN/cm]	304.47	264.89	0.00	292.29	304.47	
n_{10} [daN/cm]	354.59	479.62	596.74	399.28	355.02	senza armatura trasversale
fessurazione						
verifica senza armatura	SI	SI	SI	SI	SI	<u>verifica anche senza armatura</u>
Ascissa di fessurazione		0	cm	Nessuna		
σ_b	22.84	57.68	159.76	34.09	22.94	
λ_y	1.48	2.00	2.50	1.67	1.48	Inclinazione delle fessure
T_{Rsd}	1669	1438	1241	1587	1668	
As/s	0.013	0.008	0.000	0.011	0.013	
	1	1	1	1	1	1 VERIFICA



RELAZIONE ILLUSTRATIVA E DI CALCOLO		
Data emissione: 20/05/2019	RST Relazione illustrativa e di calcolo strutturale.docx	195 di 267

Condizione c: carico dissimmetrico "inferiore"

Taglio [daN] - valori caratteristici					
Sezione (cm)	110	240	1110	150	2110
pesi pr.+copp	8523	7415	0	8182	-8523
Perm.	1000	870	0	960	-1000
Var.	1500	1305	0	1440	-1500
Taglio [daN] - valori di calcolo					
	14829	12901	0	14236	-14829
τ [daN/cm ²]	11.13	9.68	0.00	10.68	-11.13
Torsione [daNm] - valori di calcolo					
Sezione (cm)	110	240	1110	150	2110
	2109	1835	0	2025	-2109
τ [daN/cm ²]	11.11	9.66	0.00	10.66	-11.11
τ_{tot}	22.24	19.35	0.00	21.35	22.24
$\tau_{tot} \cdot t$ [daN/cm]	117.85	102.53	0.00	113.14	117.85
n_{xy} [daN/cm]	186.30	202.28	266.63	189.36	186.57
fessurazione					senza armatura trasversale
verifica senza armatura	SI	SI	SI	SI	verifica anche senza armatura
Ascissa di fessurazione		0 cm			
σ_{carico}	45.33	56.87	112.94	47.46	45.52
λ_d	1.83	1.99	2.50	1.86	1.84
n_{xy} [daN/cm]	262.72	262.72	253.27	262.72	262.72
verifica con armatura	SI	SI	SI	SI	verifica
					Inclinazione delle fessure Armatura richiesta di calcolo Portata

BASE					
Sezione (cm)	110	240	1110	150	2110
T [daNm]	1107	963	0	1062	1107
τ_{tot}	16.85	14.66	0.00	16.18	16.85
$\tau_{tot} \cdot t$ [daN/cm]	92.74	80.68	0.00	89.03	92.74
n_{xy} [daN/cm]	255.90	255.90	255.90	255.90	255.90
fessurazione					
verifica senza armatura	SI	SI	SI	SI	verifica
σ_{prae}	74.06	55.81	55.65	64.85	74.90
λ_d	2.427	2.427	2.427	2.427	2.427
T_{red}	3205	3205	3205	3205	3205
T_{red}	3205	3205	3205	3205	3205
A_{lmin} (cm ²)	7.82	6.81	0.00	7.51	7.82
verifica con armatura	SI	SI	SI	SI	Verifica
α_c	1.25	1.20	1.20	1.23	1.25
$T_{Ed}/T_{Red} + V_{Ed}/V_{Red} < 1$	0.35	0.30	0.00	0.33	0.35
	1	1	1	1	1
					1 VERIFICA

RINGROSSO SUPERIORE					
Sezione (cm)	110	240	1110	150	2110
T [daNm]	406	354	0	390	406
τ_{tot}	24.36	21.19	0.00	23.38	24.36
$\tau_{tot} \cdot t$ [daN/cm]	304.47	264.89	0.00	292.29	304.47
n_{xy} [daN/cm]	354.59	479.62	598.74	399.28	355.02
fessurazione					senza armatura trasversale
verifica senza armatura	SI	SI	SI	SI	verifica anche senza armatura
Ascissa di fessurazione		0 cm	Nessuna		
σ_c	22.84	57.68	159.76	34.09	22.94
λ_d	1.48	2.00	2.50	1.67	1.48
T_{red}	1669	1438	1241	1587	1668
$A_{s/s}$	0.013	0.008	0.000	0.011	0.013
	1	1	1	1	1
					1 VERIFICA



RELAZIONE ILLUSTRATIVA E DI CALCOLO		
Data emissione: 20/05/2019	RST Relazione illustrativa e di calcolo strutturale.docx	196 di 267

DECOMPRESSIONE E FESSURAZIONE

Momento di decompressione 107425 daNm
Momento di fessurazione 119129 daNm

	Momento [daNm]		
Condizione quasi permanente	58664		sezione non fessurata
Condizione frequente	66056		sezione non fessurata
Condizione rara	95627		sezione non fessurata

	σ_s [daN/cm ²]	σ_{sr} [daN/cm ²]	ϵ_{sm}	ϵ_{sm} [mm]	w_k [mm]	valore di controllo [mm]
Condizione quasi permanente	797.35	1619.19	0	0	0	0.2
Condizione frequente	897.83	1619.19	0	0	0	0.3
Condizione rara	1299.75	1619.19	0	0	0	

DURABILITA'

Condizioni ambientali XC3 condizione di ambiente secondo tabella A.1 UNI EN 13369 C

Secondo il punto 4.3.7 EN 13693 la superficie superiore protetta può essere considerata come condizione ambientale B (tabella A.1 EN13369)
Per le parti piane (all.) il ricoprimento delle armature è dato dalla condizione di lastra

Ricoprimenti minimi secondo EN13369		calcestruzzo		C45.65/50	
	ambiente	armature ordinarie		armature precomprese	
parte superiore all	B	10		15	
ringrosso superiore	B	10		15	
ala inferiore	C	10		20	
base (lato inferiore)	C	15		25	

Classe calcestruzzo valida per ambienti da A a E

Tolleranze posizione armature sullo spessore

Ricoprimento minimo parte superiore	barre	10 mm	cavi precompressione	15 mm
Effettivo nominale	barre	15 mm	cavi precompressione	42 mm

Ricoprimento minimo parte inferiore

ambiente	B	barre	10 mm	cavi precompressione	15 mm
	C		10 mm		25 mm
	D		15 mm		30 mm
	E		20 mm		35 mm
Effettivo nominale		barre	15 mm	cavi precompressione	42 mm

Per ambienti D e E predisporre distanziatori sulla faccia inferiore rispettivamente da 20 e 25 mm

DEFORMAZIONI

FRECCE

Positive se verso il basso; negative se verso l'alto

Deformazione elastica al taglio del fil	-4.70 cm	ϕ	0.9 coeff corr. def pres. taglio cavi
Deform. elastica per cadute di tensione (ritiro+visco+fil)	2.24 cm	α	0.8 coeff corr deform viscosse
Deformazione elastica per carichi permanenti	2.14 cm	k	0.60 aliquota perdite a 10 gg
Deformazione elastica per carichi variabili	4.15 cm	a	2.23 def. probabile
Deformazione plastica per peso proprio	-1.68 cm	b	0.33 stocc. 10 gg (aliquota def. viscosa)
Deformazione plastica per peso proprio e permanenti	0.03 cm	c	0 comb. q. permanente
Deformazione plastica per carichi variabili	0.00 cm	d	
Deformazione istantanea	6.29 cm	e	1
Deformazione a lungo termine	2.17 cm		1 escl. Accumulo per def. plastica
Monta 10 gg	-5.04 cm	min 1/500	-4.5
Deformazione t. inf. permanente	-1.97 cm	deform. Rara	2.17
Deformazione elastica al montaggio	-2.00 cm	def solo qperm	2.17

ROTAZIONI

Tegolo con carico variabile simmetrico

Carico torcente permanente	0 daNm/m	Jt1=	93909	L=	2220
Carico torcente variabile	0 daNm/m	Jt2=	93909	L=	0

Rotazione elastica per carichi permanenti	0.0000 rad	Spostamento verticale	0.00 cm
Rotazione elastica per carichi variabili	0.0000 rad		0.00 cm
Rotazione plastica per carichi permanenti	0.0000 rad		0.00 cm
Rotazione plastica per carichi variabili	0.0000 rad		0.00 cm

Tegolo con carico variabile asimmetrico

Carico torcente permanente	0 daNm/m		
Carico torcente variabile	141 daNm/m		

Rotazione elastica per carichi permanenti	0.0000 rad	Spostamento verticale	0.00 cm
Rotazione elastica per carichi variabili	0.0058 rad		0.73 cm
Rotazione plastica per carichi permanenti	0.0000 rad		0.00 cm
Rotazione plastica per carichi variabili	0.0000 rad		0.00 cm



RELAZIONE ILLUSTRATIVA E DI CALCOLO		
Data emissione: 20/05/2019	RST Relazione illustrativa e di calcolo strutturale.docx	197 di 267

7.5.7 ARMATURE PILASTRI

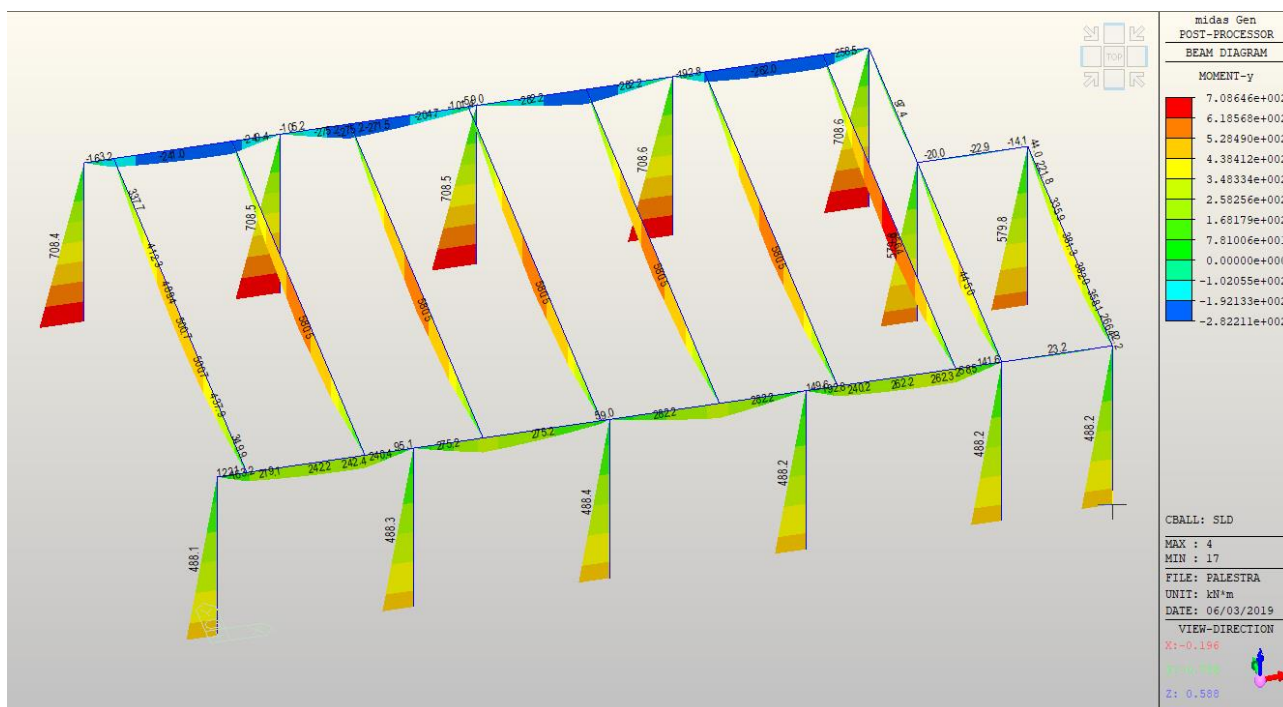
La verifica di resistenza è stata eseguita considerando il caso peggiore delle combinazioni di carico allo SLU e allo SLV, attraverso il programma Midas Gen: dopo aver modellato la struttura sono state implementate le armature dei pilastri e sono state eseguite le verifiche in accordo con quanto riportato nella vigente normativa.

Per questa verifica a resistenza sono stati presi in considerazione anche le combinazioni derivanti dall'analisi allo SLD, dato che si ottenevano momenti agenti maggiori rispetto allo SLV:

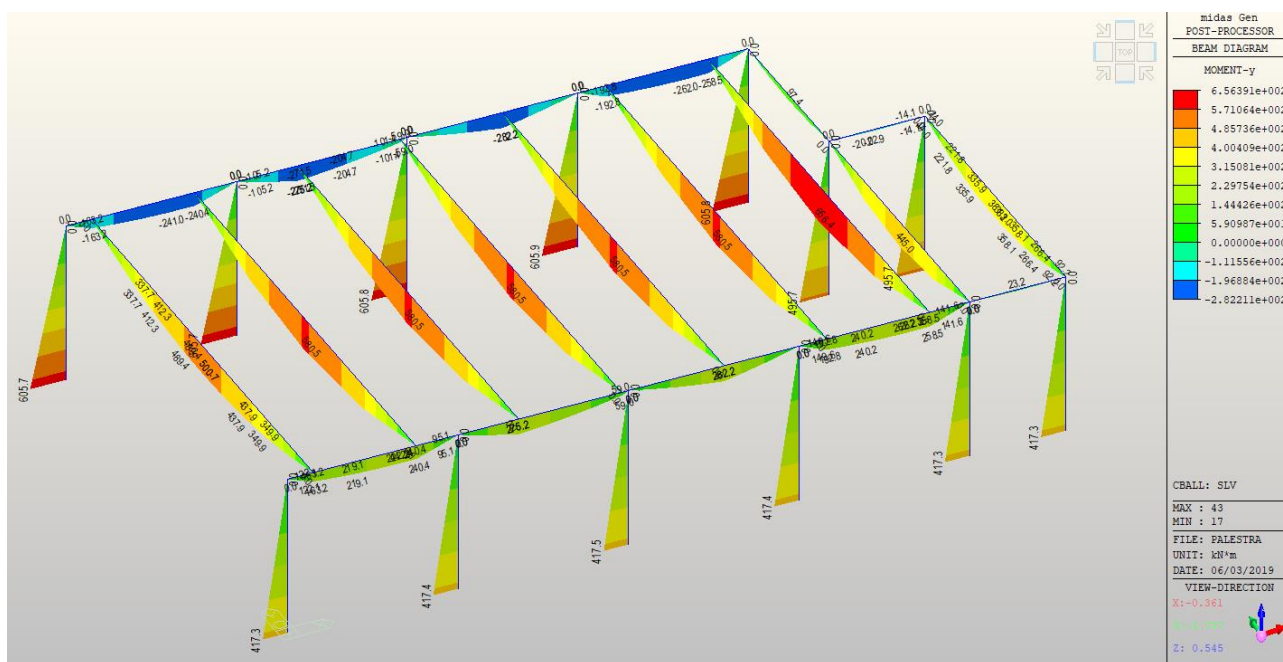
SLV



RELAZIONE ILLUSTRATIVA E DI CALCOLO		
Data emissione: 20/05/2019	RST Relazione illustrativa e di calcolo strutturale.docx	198 di 267



SLD



Si riportano i risultati dei pilastri in cui sono stati verificati i casi peggiori per ogni sezione (in questo caso una sola sezione):

Section		fck	fyk	CHK	LC B	V-Rebar	N_Rdmax	Uc	N_Ed	M_Edy	M_Edz	V_Rdc.end	V_Rds.end	V_Rdc.mid	V_Rds.mid	LC B	V_Ed.end	Rat-V.end
Bc	Hc	Height	fyw					Rat-Uc	Rat-N	Rat-My	Rat-Mz	Rat-Vc.end	Rat-Vs.end	Rat-Vc.mid	Rat-Vs.mid		V_Ed.mid	Rat-V.mid
60*60	40000.0	450000		OK	28	20-6-P24	11492.5	0.064	438.556	362.518	802.645	267.922	1524.63	284.035	914.779	33	267.806	1.000
0.600	0.600	8.0500	450000					0.000	0.973	0.950	0.974	1.000	0.176	0.971	0.302	33	275.882	0.971

Le verifiche risultano soddisfatte. Per maggiori dettagli sul tipo di armatura inserita si rimanda ai rispettivi elaborati grafici allegati al presente progetto.

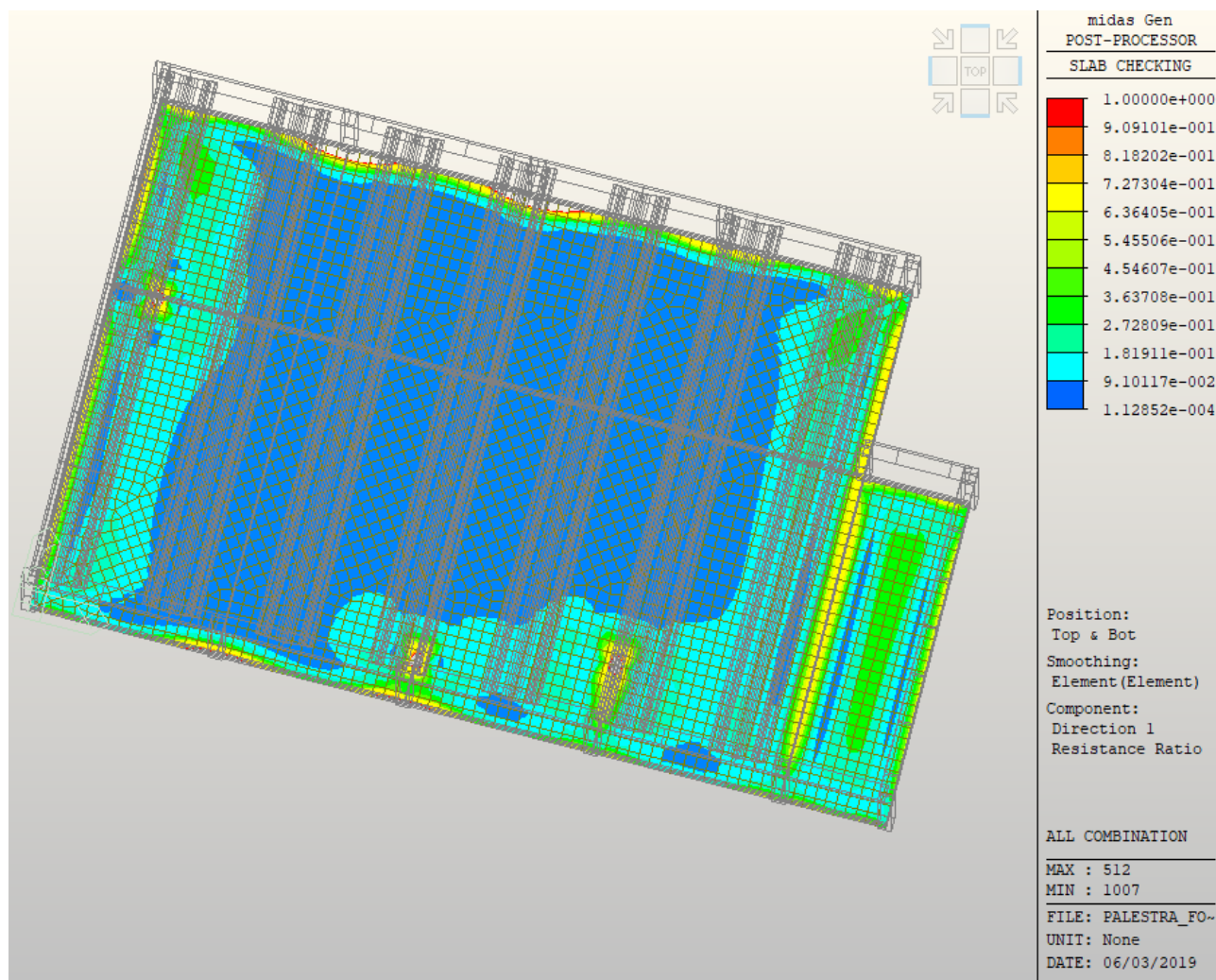


RELAZIONE ILLUSTRATIVA E DI CALCOLO		
Data emissione: 20/05/2019	RST Relazione illustrativa e di calcolo strutturale.docx	199 di 267

7.5.8 ARMATURE PLATEA

Si riportano di seguito le schermate relative ai risultati delle verifiche eseguite sulla platea di fondazione del corpo spogliatoi sotto l'azione dei carichi statici e dinamici, dopo averla opportunamente armata con armature $\varnothing 12/200$ " superiori ed inferiori. Il software Midas Gen considera come Dir. 1 le armature longitudinali disposte lungo X e come Dir.2 quelle lungo Y.

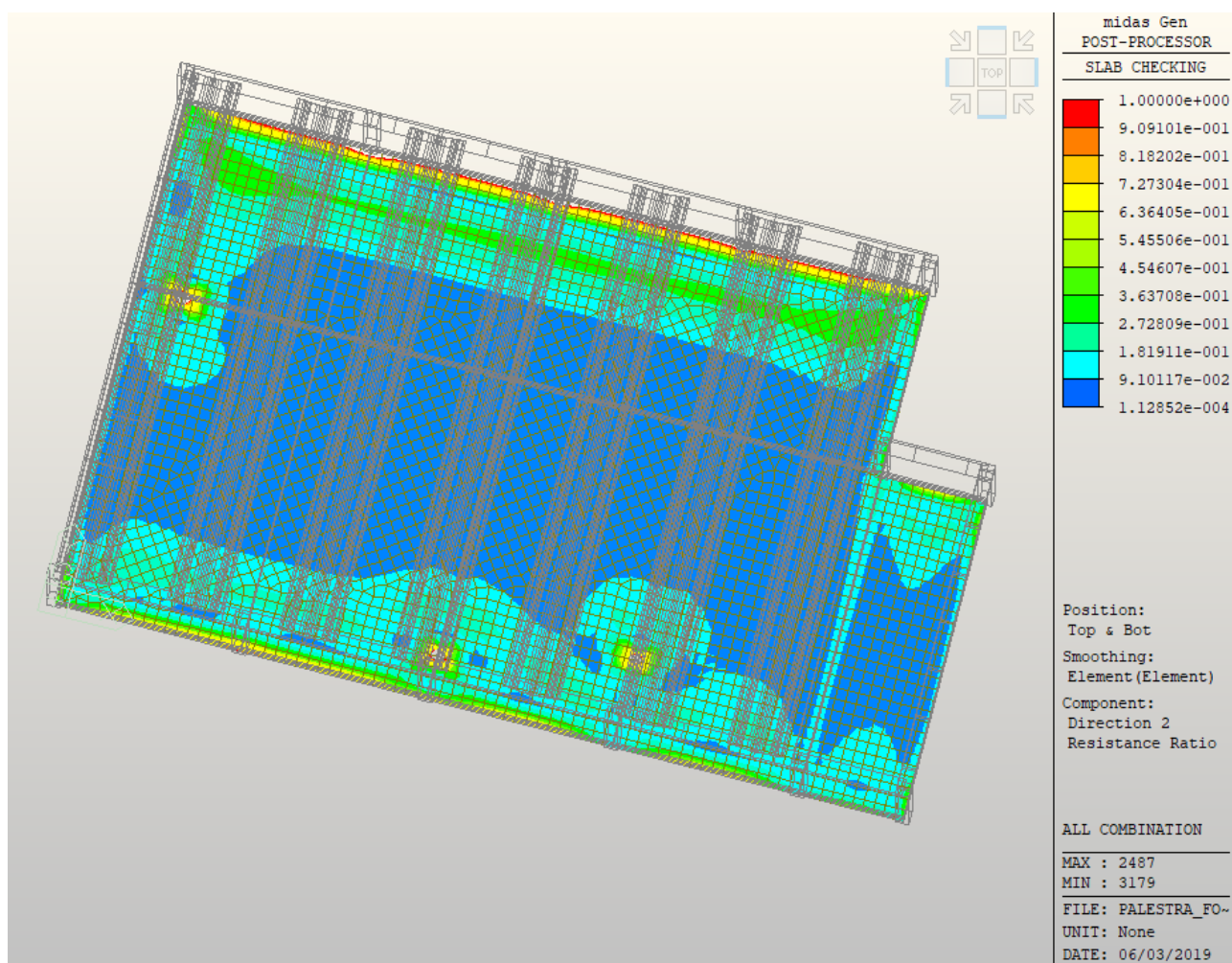
- Risultati relativi alle armature lungo X:



- Risultati relativi alle armature lungo Y:



RELAZIONE ILLUSTRATIVA E DI CALCOLO		
Data emissione: 20/05/2019	RST Relazione illustrativa e di calcolo strutturale.docx	200 di 267



7.5.9 VERIFICA DEI COLLEGAMENTI TRA TRAVI E PILASTRI PREFABBRICATI

Per strutture a pilastri incastrati alla base e orizzontamenti collegati ad essi, il collegamento tra pilastro ed elemento orizzontale deve essere di tipo cerniera (rigida o elastica). Appoggi mobili sono possibili in corrispondenza di giunti. Le travi prefabbricate in semplice appoggio devono essere strutturalmente connesse ai pilastri o alle pareti (di supporto). Le connessioni devono assicurare la trasmissione delle forze orizzontali nella situazione sismica di progetto senza fare affidamento sull'attrito. Ciò vale anche per le connessioni tra gli elementi secondari dell'impalcato e le travi portanti.

Per le strutture monopiano, la resistenza a taglio dei collegamenti a cerniera non deve essere inferiore alla forza orizzontale necessaria per indurre nella sezione di base del pilastro un momento flettente pari al momento resistente ultimo, moltiplicata per un fattore di sovrarresistenza γ_{Rd} di cui alla Tab. 7.2.I delle NTC2018 (in questo caso pari a 1,2).

Tutti i pilastri prefabbricati della palestra hanno le stesse caratteristiche in termini di sezione (60x60 cm), materiale (calcestruzzo C40/50) e armatura (20 \varnothing 24 e staffe \varnothing 10).



RELAZIONE ILLUSTRATIVA E DI CALCOLO		
Data emissione: 20/05/2019	RST Relazione illustrativa e di calcolo strutturale.docx	201 di 267

Il momento resistente ultimo, moltiplicato per il coefficiente di sovrarresistenza, è pari a

$$M_{Rd,u} = M_{Rd} \cdot \gamma_{Rd} = 867,2 \text{ kNm} \cdot 1,2 = 1040,64 \text{ kNm}$$

L'azione orizzontale sommitale necessaria ad attivare $M_{Rd,u}$ è pari a (considerando lo schema di una mensola):

$$\frac{M_{Rd,u}}{h_{pilastro}} = \frac{1040,64 \text{ kNm}}{7,7 \text{ m}} = 135,15 \text{ kN}$$

Considerando un sistema con due barre M24 di classe 8.8, l'azione tagliante agente sul singolo spinotto è uguale a

$$V_{Ed} = \frac{135,15 \text{ kN}}{2} = \sim 68 \text{ kN}$$

Utilizzando la formulazione di Ventzeleu – Tassios, con distanza minima dello spinotto dal bordo sollecitato pari a 6d e considerando efficaci le staffe sommitali del pilastro, si ottiene il seguente valore resistente

$$V_{Rd} = 1,3 d_b^2 \sqrt{f_{yd} \cdot f_{cd}} = 90,2 \text{ kN}$$

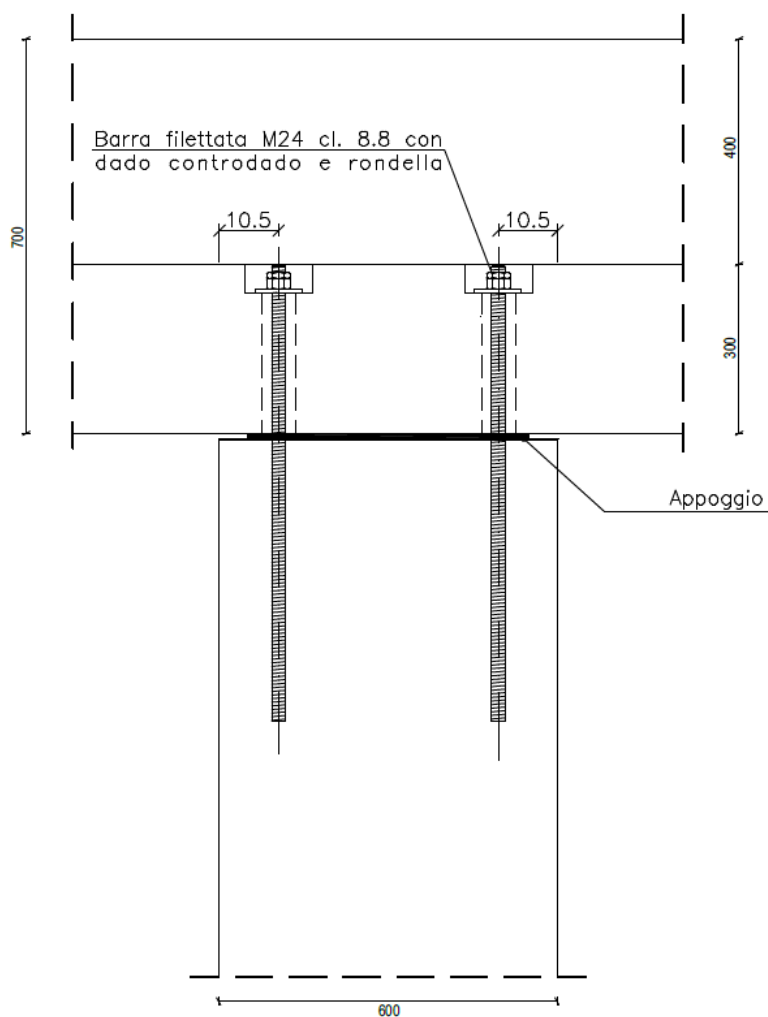
Dove:

- d_b è il diametro dello spinotto, pari a 24 mm;
- f_{yd} è la tensione di progetto di snervamento dello spinotto, pari a 640 N/mm²;
- f_{cd} è la resistenza di progetto del calcestruzzo di classe C40/50, ovvero 22,67 N/mm².

Dato che $V_{Ed} < V_{Rd}$, la verifica risulta essere soddisfatta.



RELAZIONE ILLUSTRATIVA E DI CALCOLO		
Data emissione: 20/05/2019	RST Relazione illustrativa e di calcolo strutturale.docx	202 di 267



7.5.10 VERIFICA DEI COLLEGAMENTI TRA TRAVI E TEGOLI

Seguendo quanto riportato nel paragrafo 7.4.5.2.1 delle NTC2018, “*per le strutture monopiano, la resistenza a taglio dei collegamenti a cerniera non deve essere inferiore alla forza orizzontale necessaria per indurre nella sezione di base del pilastro un momento flettente pari al momento resistente ultimo, moltiplicata per un fattore di sovreresistenza γ_{Rd} di cui alla Tab. 7.2.1.(...)*”:



RELAZIONE ILLUSTRATIVA E DI CALCOLO		
Data emissione: 20/05/2019	RST Relazione illustrativa e di calcolo strutturale.docx	203 di 267

Tab. 7.2.1 - Fattori di sovrarresistenza γ_{Ra} (fra parentesi quadre è indicato il numero dell'equazione corrispondente)

Tipologia strutturale	Elementi strutturali	Progettazione in capacità	γ_{Ra}	
			CD"A"	CD"B"
C.a. gettata in opera	Travi (§ 7.4.4.1.1)	Taglio	1,20	1,10
	Pilastri (§ 7.4.4.2.1)	Pressoflessione [7.4.4]	1,30	1,30
		Taglio [7.4.5]	1,30	1,10
	Nodi trave-pilastro (§ 7.4.4.3.1)	Taglio [7.4.6-7, 7.4.11-12]	1,20	1,10
	Pareti (§ 7.4.4.5.1)	Taglio [7.4.13-14]	1,20	-
C.a. prefabbricata a struttura intelaiata	Collegamenti di tipo a) (§ 7.4.5.2.1)	Flessione e taglio	1,20	1,10
	Collegamenti di tipo b) (§ 7.4.5.2.1)	Flessione e taglio	1,35	1,20
C.a. prefabbricata con pilastri incastrati alla base e orizzontamenti incernierati	Collegamenti di tipo fisso (§ 7.4.5.2.1)	Taglio	1,35	1,20
Acciaio	Si impiega il fattore di sovrarresistenza γ_{ov} definito al § 7.5.1			
	Colonne (§ 7.5.4.2)	Pressoflessione [7.5.10]	1,30	1,30
Composta acciaio-calcestruzzo	Si impiega il fattore di sovrarresistenza γ_{ov} definito al § 7.5.1			
	Colonne (§ 7.6.6.2)	Pressoflessione [7.6.7]	1,30	1,30
Legno	Collegamenti		1,60	1,30
Muratura armata con progettazione in capacità	Pannelli murari (§ 7.8.1.7)	Taglio	1,50	
Ponti	Si impiegano i fattori di sovrarresistenza definiti al § 7.9.5			

Nel dimensionamento delle connessioni deve essere rispettato anche il criterio di gerarchia delle resistenze. I tegoli devono quindi essere dotati di collegamenti tali da consentire il raggiungimento del momento resistente alla base del pilastro mantenendo l'integrità dell'unione.

Si può prendere in considerazione il pilastro in prossimità dei tegoli e ricavare la forza orizzontale che compete alla singola connessione con la relazione

$$V_{Ed} = \frac{M_{Rd,u}}{h} = 130,08 \text{ kN}$$

Dove:

- $M_{Rd,u}$ è il momento resistente ultimo, moltiplicato per il coefficiente di sovrarresistenza, è pari a

$$M_{Rd,u} = M_{Rd} \cdot \gamma_{Rd} = 867,2 \text{ kNm} \cdot 1,2 = 1040,64 \text{ kNm}$$

- h è la quota dei vincoli rispetto alla sezione di incastro del pilastro

$$h = h_{pilastro} + h_{trave \text{ dove appoggia il tegolo}} = 7,70 + 0,30 = 8,00 \text{ m}$$

Nel caso peggiore, il momento alla base di un pilastro è generato dai carichi derivanti da due tegoli, oltre che dai carichi permanenti e variabili derivanti dagli altri elementi strutturali. Quindi, l'azione agente deve essere divisa per il numero dei tegoli su cui agisce:

$$V_{Ed,tegiolo} = \frac{V_{Ed}}{2} = 65,04 \text{ kN}$$

Considerando un sistema con due barre M20 di classe 8.8, l'azione tagliante agente sul singolo spinotto è uguale a



RELAZIONE ILLUSTRATIVA E DI CALCOLO		
Data emissione: 20/05/2019	RST Relazione illustrativa e di calcolo strutturale.docx	204 di 267

$$V_{Ed,spinotto} = \frac{V_{Ed,tegolo}}{2} = \frac{65,04 \text{ kN}}{2} = 32,52 \text{ kN}$$

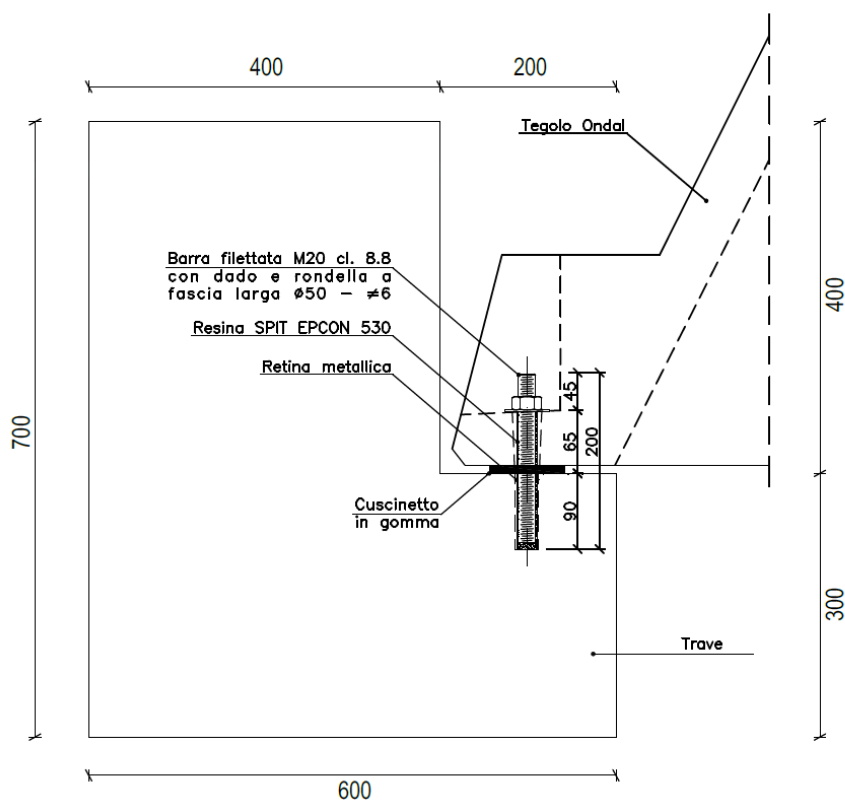
Si procede ora con il calcolo del taglio resistente sullo spinotto. Utilizzando la formulazione di Ventzeleu – Tassios, con distanza minima dello spinotto dal bordo sollecitato pari a $6d$ e considerando efficaci le staffe sommitali del pilastro, si ottiene il seguente valore resistente

$$V_{Rd} = 1,3 d_b^2 \sqrt{f_{yd} \cdot f_{cd}} = 62,64 \text{ kN}$$

Dove:

- d_b è il diametro dello spinotto, pari a 20 mm;
- f_{yd} è la tensione di progetto di snervamento dello spinotto, pari a 640 N/mm²;
- f_{cd} è la resistenza di progetto del calcestruzzo di classe C45/50, ovvero 22,67 N/mm².

Dato che $V_{Ed} < V_{Rd}$, la verifica risulta essere soddisfatta.



7.5.11 VERIFICA DELLE CONNESSIONI DELLA PENSILINA

In questa struttura è presente una pensilina composta da travi HEA200 e IPE180 in acciaio S275JR che reggono una solaio con lamiera grecata. Si riportano di seguito le verifiche eseguite sulle connessioni che collegano le travi:

- Connessione HEA200 - HEA200;



RELAZIONE ILLUSTRATIVA E DI CALCOLO		
Data emissione: 20/05/2019	RST Relazione illustrativa e di calcolo strutturale.docx	205 di 267

- Connessione HEA200 - IPE180;
- Connessione HEA200 – pilastro prefabbricato 60x60 cm in c.a. .

Per le connessioni tra le travi sono stati utilizzati dei bulloni M12 di classe 8.8, mentre i tirafondi sono M16 di classe 8.8. Sono inoltre presenti dei piatti di spessore 10 cm, sempre in acciaio S275JR, a completare la connessione e a funzione di irrigidimento dei profili.

Bulloni M12, classe 8.8

d	=	12	mm	\varnothing nominale bullone
d_0	=	13	mm	\varnothing del foro
A	=	113,1	mm ²	area lorda del bullone
A_s	=	84,3	mm ²	area resistente del bullone (valore tabellato a seconda del \varnothing nominale)

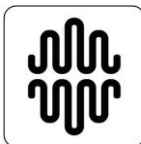
f_{yb}	=	640	N/mm ²	resistenza a snervamento del bullone classe 8.8
f_{ub}	=	800	N/mm ²	resistenza a rottura del bullone classe 8.8

Tirafondi M16, classe 8.8

d	=	16	mm	\varnothing nominale
d_0	=	18	mm	\varnothing del foro
A	=	201,06	mm ²	area lorda
A_s	=	157	mm ²	area resistente (valore tabellato a seconda del \varnothing nominale)

f_{yb}	=	640	N/mm ²	resistenza a snervamento classe 8.8
f_{ub}	=	800	N/mm ²	resistenza a rottura classe 8.8

In particolare, le spaziature minime richieste per il loro posizionamento sono quelle indicate nel paragrafo 3.5 delle UNI EN 1993-1-8, con riferimento allo schema seguente (presente nella normativa appena citata) sono stati ricavati i valori:

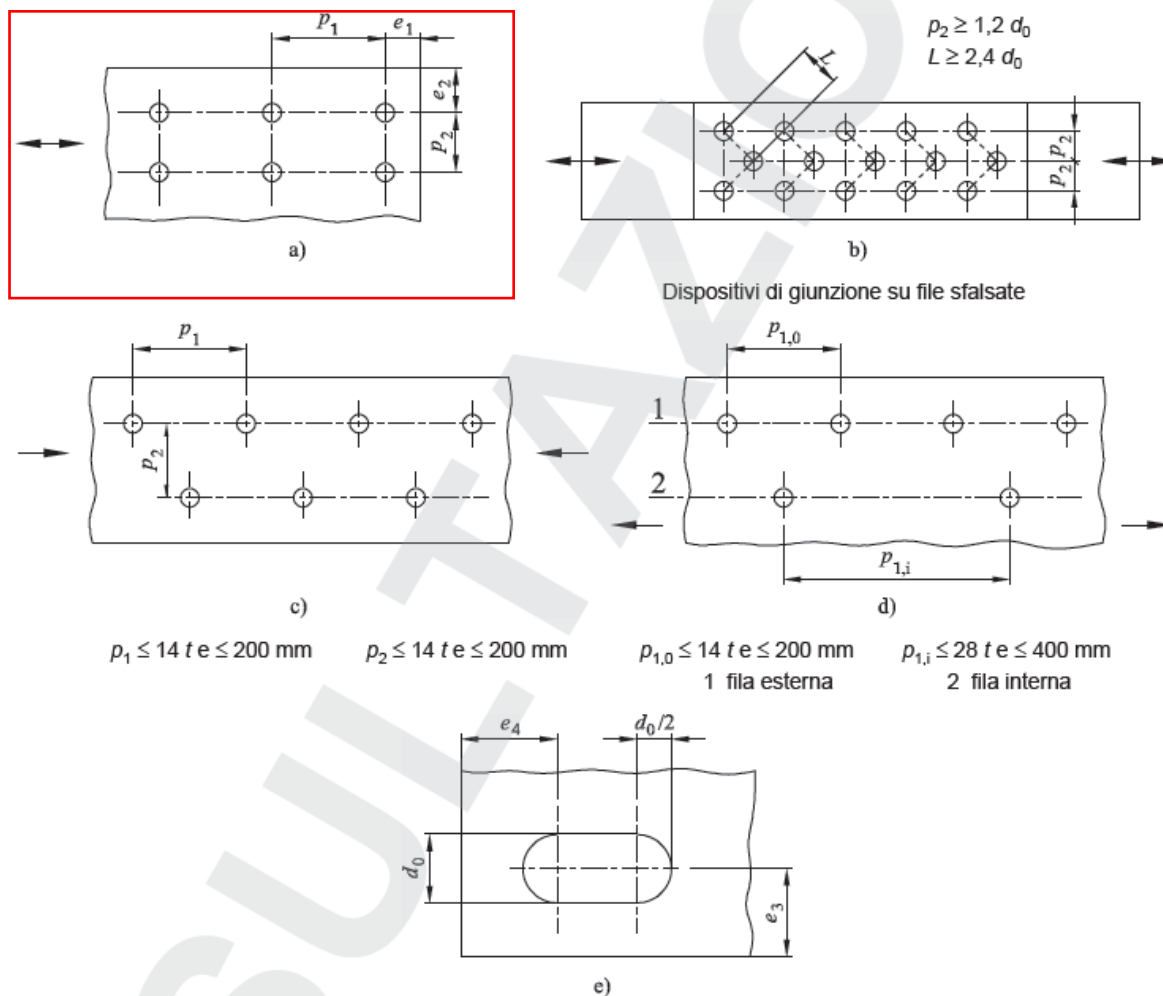


RELAZIONE ILLUSTRATIVA E DI CALCOLO		
Data emissione: 20/05/2019	RST Relazione illustrativa e di calcolo strutturale.docx	206 di 267

figura 3.1 Simboli per le distanze di estremità e dal bordo e per il passo dei dispositivi di giunzione

Legenda

- a) Simboli per il passo dei dispositivi di giunzione
- b) Simboli per i passi sfalsati
- c) Passi sfalsati in membrature compresse
- d) Passi sfalsati in membrature tese
- e) Distanze di estremità e dal bordo per fori asolati



Bulloni M12, classe 8.8

$$e_{1,min} = 1,2d_0 = 15,6 \text{ mm}$$

$$e_{2,min} = 1,2d_0 = 15,6 \text{ mm}$$

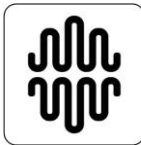
$$p_{1,min} = 2,2d_0 = 28,6 \text{ mm}$$

$$p_{2,min} = 2,4d_0 = 31,2 \text{ mm}$$

Tirafondi M16, classe 8.8

$$e_{1,min} = 1,2d_0 = 21,6 \text{ mm}$$

$$e_{2,min} = 1,2d_0 = 21,6 \text{ mm}$$



RELAZIONE ILLUSTRATIVA E DI CALCOLO		
Data emissione: 20/05/2019	RST Relazione illustrativa e di calcolo strutturale.docx	207 di 267

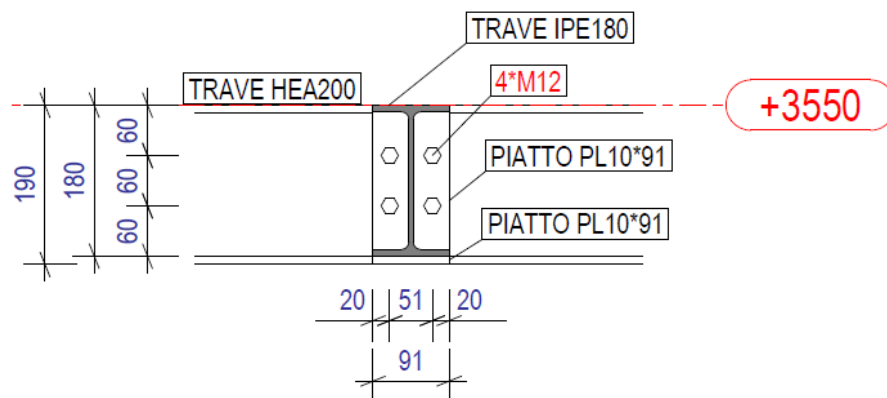
$$p_{1,min} = 2,2d_0 = 39,6 \text{ mm}$$

$$p_{2,min} = 2,4d_0 = 43,2 \text{ mm}$$

Per effettuare le verifiche, dal modello di calcolo realizzato con RFem di Dlubal Software sono stati ricavati i valori delle sollecitazioni derivanti dall'involuppo delle combinazioni allo SLU; le resistenze offerte dalle connessioni in esame sono state confrontate con l'azione agente peggior.

Le verifiche sono state effettuate con riferimento a quanto riportato all'interno della norma UNI EN 1993-1-8 e delle NTC2018.

✓ Connessione IPE180 - HEA200



Bulloni M12, classe 8.8

d	=	12	mm	ϕ nominale bullone
d_0	=	13	mm	ϕ del foro
A	=	113,1	mm ²	area lorda del bullone
A_s	=	84,3	mm ²	area resistente del bullone (valore tabellato a seconda del ϕ nominale)

$$f_{yb} = 640 \text{ N/mm}^2 \text{ resistenza a snervamento del bullone classe 8.8}$$

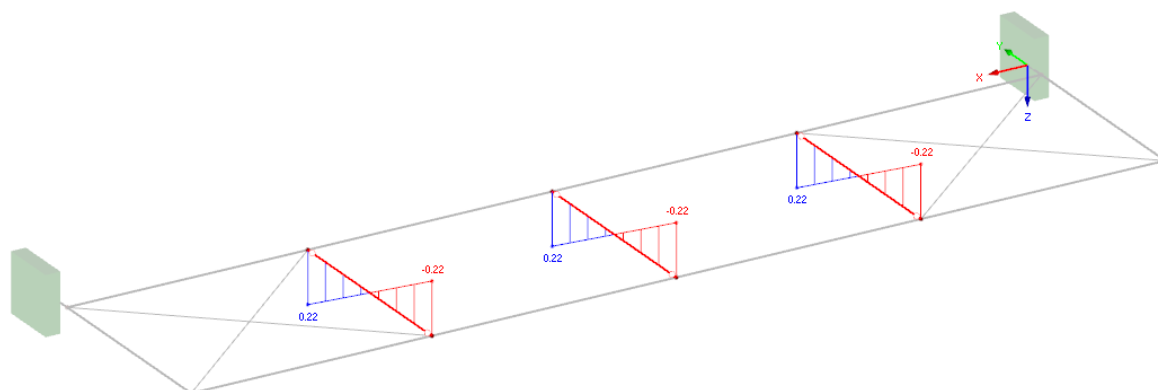
$$f_{ub} = 800 \text{ N/mm}^2 \text{ resistenza a rottura del bullone classe 8.8}$$

Sollecitazioni agenti allo SLU

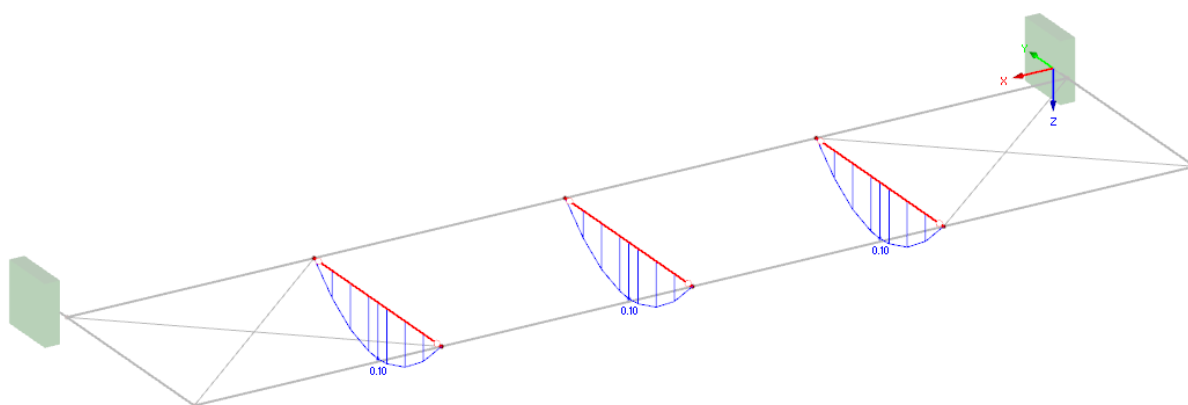
Si riportano i diagrammi delle sollecitazioni di taglio agenti sulle travi IPE180 allo SLU e si individua il valore massimo considerato per le verifiche.



RELAZIONE ILLUSTRATIVA E DI CALCOLO		
Data emissione: 20/05/2019	RST Relazione illustrativa e di calcolo strutturale.docx	208 di 267



E di momento:



$$V_{Ed,max(SLU)} = 0,22 \text{ kN}$$

$$M_{Ed,max(SLU)} = 0,10 \text{ kNm}$$

Resistenza a taglio del singolo bullone

Per il calcolo della resistenza a taglio si fa riferimento al paragrafo 3.6.1 della norma UNI EN 1993-1-8, dove si riporta la formula di calcolo:

$$F_{v,Rd} = \frac{\alpha_v f_{ub} A}{\gamma_{M2}}$$

Sono stati applicati i seguenti parametri:

α_v	=	0,6	Coefficiente che trasforma la resistenza a trazione in resistenza a taglio
f_{ub}	=	800 N/mm ²	resistenza a rottura del bullone classe 8.8
A	=	84,3 mm ²	Considero l'area resistente (parte filettata) del bullone A_s
γ_{M2}	=	1,25	Coefficiente di sicurezza (Tab.4.2.VII NTC2018)
n_t	=	1	Numero piani di taglio
$F_{v,Rd}$	=	32,37 kN	Resistenza a taglio del singolo bullone



RELAZIONE ILLUSTRATIVA E DI CALCOLO		
Data emissione: 20/05/2019	RST Relazione illustrativa e di calcolo strutturale.docx	209 di 267

$n_b = 4$ Numero dei bulloni

La resistenza a taglio totale del bullone si ricava moltiplicando quella del singolo bullone per il numero dei bulloni:

$$F_{v,Rd,tot} = F_{v,Rd} \cdot n_b = 129,48 \text{ kN}$$

Resistenza a rifollamento

Per il calcolo della resistenza a rifollamento si fa riferimento al paragrafo 3.6.1 della norma UNI EN 1993-1-8, dove si riporta la formula di calcolo:

$$F_{b,Rd} = \frac{k_1 \alpha_b f_{ub,l} d t}{\gamma_{M2}}$$

Dove:

$$k_1 = \min \left\{ 2,5; 2,8 \cdot \frac{e_2}{d_0} - 1,7 \right\} ;$$

$$\alpha_b = \min \left\{ \frac{e_1}{3 \cdot d_0}; \frac{f_{ub}}{f_{ub,l}}; 1 \right\}.$$

Sono stati applicati i seguenti parametri:

d	=	12	mm	Diametro del bullone
t	=	10	mm	Spessore del piatto
$f_{ub,l}$	=	430	N/mm ²	Tensione a rottura acciaio piatto (S275JR)
γ_{M2}	=	1,25		Coefficiente di sicurezza (Tab.4.2.VII NTC2018)
e_1	=	60	mm	Distanza dal bordo esterno del piatto al centro del bullone $//V_{Ed}$
e_2	=	20	mm	Distanza dal bordo esterno del piatto al centro del bullone $\perp V_{Ed}$
f_{ub}	=	800	N/mm ²	resistenza a rottura del bullone classe 8.8
d_0	=	13	mm	\varnothing del foro
k_1	=	2,5		Coefficiente di rifollamento il cui valore non può eccedere 2,5
α_b	=	1		Coefficiente correttivo

$$F_{b,Rd} = 103,20 \text{ kN} \quad \text{Resistenza a rifollamento}$$

Capacità dei bulloni

Si confrontano i valori ottenuti dalla verifica a taglio e rifollamento per ricavare la capacità dei bulloni e confrontarla con il valore della sollecitazione agente:

$$F_{Rd,v,min} = \min \{ F_{v,Rd,tot(taglio)}; F_{b,Rd(rifollamento)} \} = 103,20 \text{ kN}$$

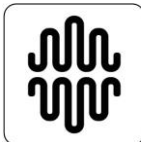
$$F_{Rd,tot,taglio} = 103,20 \text{ kN} > V_{Ed,max(SLU)} = 0,22 \text{ kN}$$

La verifica risulta essere soddisfatta.

Resistenza a trazione del piatto

La resistenza del piatto a trazione viene valutata considerando due sezioni del piatto:

- Sezione lontano dai fori



RELAZIONE ILLUSTRATIVA E DI CALCOLO		
Data emissione: 20/05/2019	RST Relazione illustrativa e di calcolo strutturale.docx	210 di 267

$$N_{Rd,y} = \frac{A_{piatto} f_{yb,l}}{\gamma_{M0}}$$

$A_{piatto} =$	910	mm ²	Area del piatto nello spessore
$f_{yb,l} =$	275	N/mm ²	Tensione di snervamento acciaio piatto (S275JR)
$\gamma_{M0} =$	1,05		Coefficiente di sicurezza (Tab.4.2.VII NTC2018)
$N_{Rd,y} =$	238,34	kN	Resistenza di progetto a trazione del piatto

- Sezione indebolita dai fori

$$N_{Rd,u} = \frac{0,9 A_{netta} f_{ub,l}}{\gamma_{M2}}$$

$A_{netta} =$	650	mm ²	Area del piatto in acciaio privata del foro dei bulloni
$f_{ub,l} =$	430	N/mm ²	Tensione a rottura acciaio piatto (S275JR)
$\gamma_{M2} =$	1,25		Coefficiente di sicurezza (Tab.4.2.VII NTC2018)
$N_{Rd,u} =$	201,24	kN	Resistenza ultima di progetto a trazione del piatto

La resistenza a trazione offerta del piatto si ricava da:

$$N_{Rd,min} = \min\{N_{Rd,y}; N_{Rd,u}\} = 201,24 \text{ kN} > V_{Ed,max(SLU)} = 0,22 \text{ kN}$$

La verifica è soddisfatta, il piatto resiste a trazione.

L'azione assiale agente sulle travi IPE180 è nulla; si riporta comunque il calcolo delle seguenti resistenze:

Resistenza a trazione del bullone

Per il calcolo della resistenza a trazione si fa riferimento al paragrafo 3.6.1 della norma UNI EN 1993-1-8, dove si riporta la formula di calcolo:

$$F_{t,Rd} = \frac{k_2 f_{ub} A_s}{\gamma_{M2}}$$

Con:

$f_{ub} =$	800	N/mm ²	Resistenza a rottura del bullone di classe 8.8
$A_s =$	84,3	mm ²	Area resistente della parte filettata del bullone
$k_2 =$	0,9		Coefficiente dipendente dal livello di serraggio
$\gamma_{M2} =$	1,25		Coefficiente di sicurezza (Tab.4.2.VII NTC2018)
$F_{t,Rd} =$	48,56	kN	Resistenza a trazione del singolo bullone

Resistenza a punzonamento

Per il calcolo della resistenza a punzonamento si fa riferimento al paragrafo 3.6.1 della norma UNI EN 1993-1-8, dove si riporta la formula di calcolo:

$$B_{p,Rd} = \frac{0,6 \pi d_m t_p f_{ub,l}}{\gamma_{M2}}$$

Con:

$d_m =$	18	mm	Diametro medio della testa del bullone o del dado (=1,5d)
$t_p =$	10	mm	Spessore del piatto



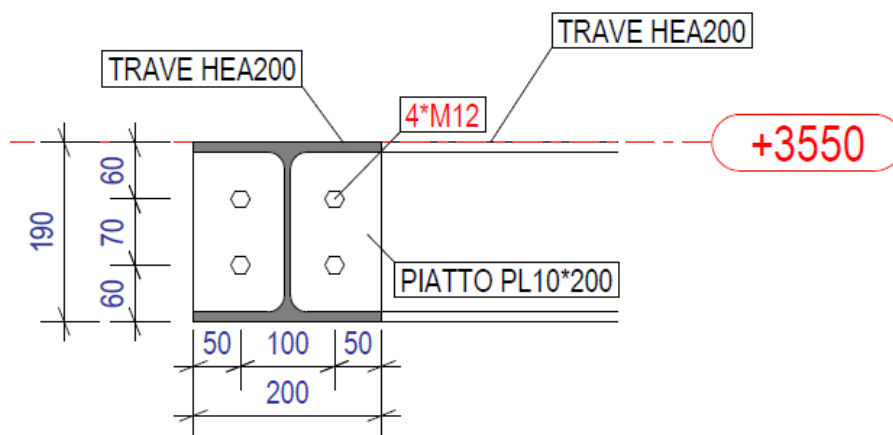
RELAZIONE ILLUSTRATIVA E DI CALCOLO		
Data emissione: 20/05/2019	RST Relazione illustrativa e di calcolo strutturale.docx	211 di 267

$f_{ub,l} = 430$ N/mm² Tensione a rottura acciaio piatto (S275JR)
 $\gamma_{M2} = 1,25$ Coefficiente di sicurezza (Tab.4.2.VII NTC2018)
 $B_{p,Rd} = 116,72$ kN Resistenza a punzonamento del piatto in corrispondenza del bullone

La resistenza a trazione è data da:

$$F_{Rd,min} = \min\{F_{t,Rd}; B_{p,Rd}\} = 48,56 \text{ kN}$$

✓ Connessione HEA200 - HEA200



Bulloni M12, classe 8.8

$d = 12$ mm \varnothing nominale bullone
 $d_0 = 13$ mm \varnothing del foro
 $A = 113,1$ mm² area lorda del bullone
 $A_s = 84,3$ mm² area resistente del bullone (valore tabellato a seconda del \varnothing nominale)

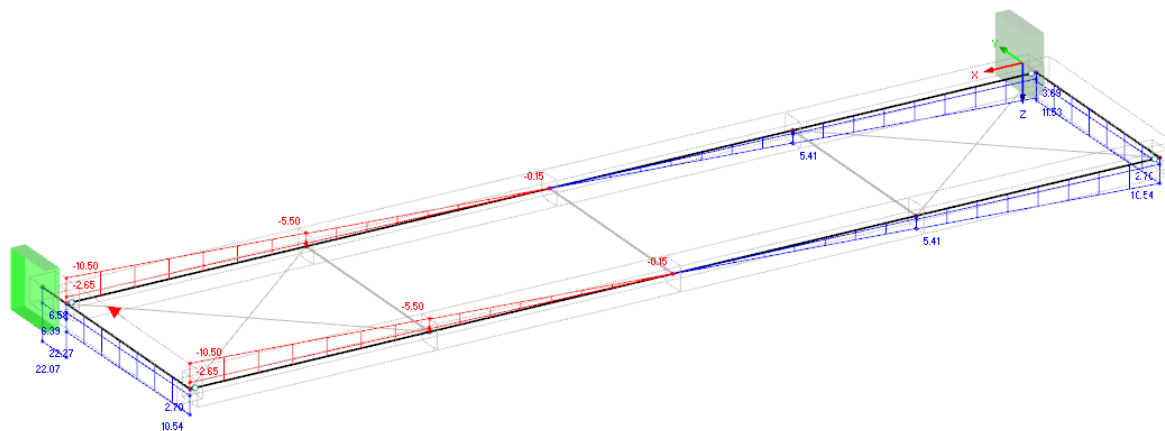
$f_{yb} = 640$ N/mm² resistenza a snervamento del bullone classe 8.8
 $f_{ub} = 800$ N/mm² resistenza a rottura del bullone classe 8.8

Sollecitazioni agenti allo SLU

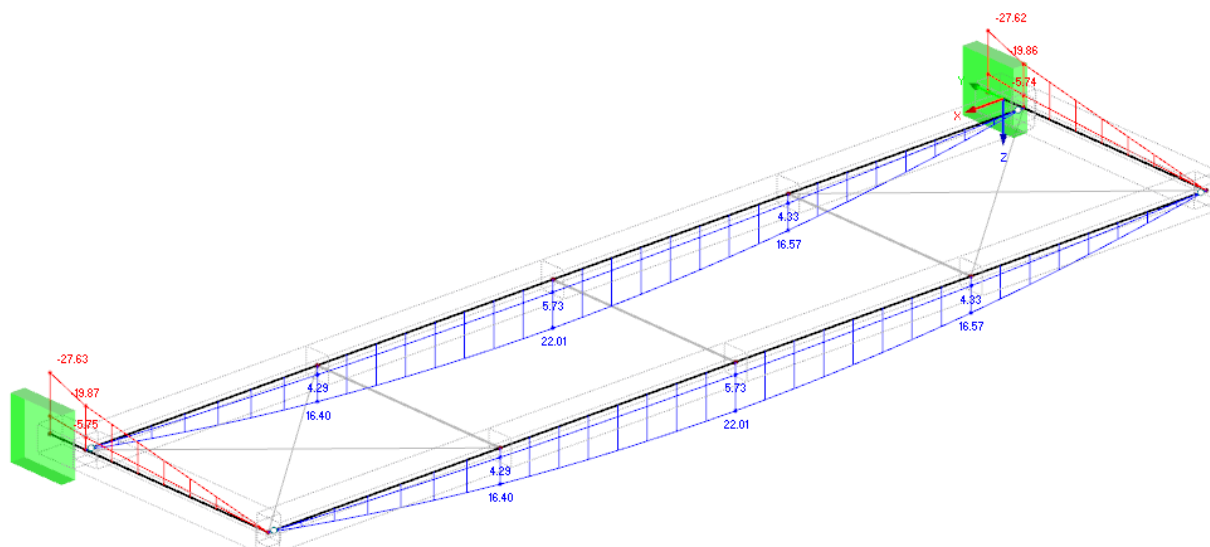
Si riportano i diagrammi delle sollecitazioni di taglio agenti sulle travi HEA200 allo SLU e si individua il valore massimo considerato per le verifiche.



RELAZIONE ILLUSTRATIVA E DI CALCOLO		
Data emissione: 20/05/2019	RST Relazione illustrativa e di calcolo strutturale.docx	212 di 267



E di momento:



$$V_{Ed,max(SLU)} = 10,50 \text{ kN}$$

$$M_{Ed,max(SLU)} = 19,87 \text{ kNm}$$

Resistenza a taglio del singolo bullone

Per il calcolo della resistenza a taglio si fa riferimento al paragrafo 3.6.1 della norma UNI EN 1993-1-8, dove si riporta la formula di calcolo:

$$F_{v,Rd} = \frac{\alpha_v f_{ub} A}{\gamma_{M2}}$$

Sono stati applicati i seguenti parametri:

$\alpha_v = 0,6$ Coefficiente che trasforma la resistenza a trazione in resistenza a taglio
 $f_{ub} = 800 \text{ N/mm}^2$ resistenza a rottura del bullone classe 8.8



RELAZIONE ILLUSTRATIVA E DI CALCOLO		
Data emissione: 20/05/2019	RST Relazione illustrativa e di calcolo strutturale.docx	213 di 267

$A =$	84,3	mm ²	Considero l'area resistente (parte filettata) del bullone A_s
$\gamma_{M2} =$	1,25		Coefficiente di sicurezza (Tab.4.2.VII NTC2018)
$n_t =$	1		Numero piani di taglio
$F_{v,Rd} =$	32,37	kN	Resistenza a taglio del singolo bullone
$n_b =$	4		Numero dei bulloni

La resistenza a taglio totale del bullone si ricava moltiplicando quella del singolo bullone per il numero dei bulloni:

$$F_{v,Rd,tot} = F_{v,Rd} \cdot n_b = 129,48 \text{ kN}$$

Resistenza a rifollamento

Per il calcolo della resistenza a rifollamento si fa riferimento al paragrafo 3.6.1 della norma UNI EN 1993-1-8, dove si riporta la formula di calcolo:

$$F_{b,Rd} = \frac{k_1 \alpha_b f_{ub,l} d t}{\gamma_{M2}}$$

Dove:

$$k_1 = \min \left\{ 2,5; 2,8 \cdot \frac{e_2}{d_0} - 1,7 \right\} ;$$

$$\alpha_b = \min \left\{ \frac{e_1}{3 \cdot d_0}; \frac{f_{ub}}{f_{ub,l}}; 1 \right\}.$$

Sono stati applicati i seguenti parametri:

$d =$	12	mm	Diametro del bullone
$t =$	10	mm	Spessore del piatto
$f_{ub,l} =$	430	N/mm ²	Tensione a rottura acciaio piatto (S275JR)
$\gamma_{M2} =$	1,25		Coefficiente di sicurezza (Tab.4.2.VII NTC2018)
$e_1 =$	60	mm	Distanza dal bordo esterno del piatto al centro del bullone $//V_{Ed}$
$e_2 =$	20	mm	Distanza dal bordo esterno del piatto al centro del bullone $\perp V_{Ed}$
$f_{ub} =$	800	N/mm ²	resistenza a rottura del bullone classe 8.8
$d_0 =$	13	mm	\varnothing del foro
$k_1 =$	2,5		Coefficiente di rifollamento il cui valore non può eccedere 2,5
$\alpha_b =$	1		Coefficiente correttivo

$F_{b,Rd} =$	103,20	kN	Resistenza a rifollamento
--------------	--------	----	---------------------------

Capacità dei bulloni

Si confrontano i valori ottenuti dalla verifica a taglio e rifollamento per ricavare la capacità dei bulloni e confrontarla con il valore della sollecitazione agente:

$$F_{Rd,v,min} = \min \{ F_{v,Rd,tot(taggio)}; F_{b,Rd(rifollamento)} \} = 103,20 \text{ kN}$$

$$F_{Rd,tot,taggio} = 103,20 \text{ kN} > V_{Ed,max(SLU)} = 10,50 \text{ kN}$$

La verifica risulta essere soddisfatta.



RELAZIONE ILLUSTRATIVA E DI CALCOLO		
Data emissione: 20/05/2019	RST Relazione illustrativa e di calcolo strutturale.docx	214 di 267

Resistenza a trazione del piatto

La resistenza del piatto a trazione viene valutata considerando due sezioni del piatto:

- Sezione lontano dai fori

$$N_{Rd,y} = \frac{A_{piatto} f_{yb,l}}{\gamma_{M0}}$$

$A_{piatto} =$	910	mm ²	Area del piatto nello spessore
$f_{yb,l} =$	275	N/mm ²	Tensione di snervamento acciaio piatto (S275JR)
$\gamma_{M0} =$	1,05		Coefficiente di sicurezza (Tab.4.2.VII NTC2018)
$N_{Rd,y} =$	238,34	kN	Resistenza di progetto a trazione del piatto

- Sezione indebolita dai fori

$$N_{Rd,u} = \frac{0,9 A_{netta} f_{ub,l}}{\gamma_{M2}}$$

$A_{netta} =$	650	mm ²	Area del piatto in acciaio privata del foro dei bulloni
$f_{ub,l} =$	430	N/mm ²	Tensione a rottura acciaio piatto (S275JR)
$\gamma_{M2} =$	1,25		Coefficiente di sicurezza (Tab.4.2.VII NTC2018)
$N_{Rd,u} =$	201,24	kN	Resistenza ultima di progetto a trazione del piatto

La resistenza a trazione offerta del piatto si ricava da:

$$N_{Rd,min} = \min\{N_{Rd,y}; N_{Rd,u}\} = 201,24 \text{ kN} > V_{Ed,max}(SLU) = 10,50 \text{ kN}$$

La verifica è soddisfatta, il piatto resiste a trazione.

L'azione assiale agente sulle travi HEA200 è nulla; si riporta comunque il calcolo delle seguenti resistenze:

Resistenza a trazione del bullone

Per il calcolo della resistenza a trazione si fa riferimento al paragrafo 3.6.1 della norma UNI EN 1993-1-8, dove si riporta la formula di calcolo:

$$F_{t,Rd} = \frac{k_2 f_{ub} A_s}{\gamma_{M2}}$$

Con:

$f_{ub} =$	800	N/mm ²	Resistenza a rottura del bullone di classe 8.8
$A_s =$	84,3	mm ²	Area resistente della parte filettata del bullone
$k_2 =$	0,9		Coefficiente dipendente dal livello di serraggio
$\gamma_{M2} =$	1,25		Coefficiente di sicurezza (Tab.4.2.VII NTC2018)
$F_{t,Rd} =$	48,56	kN	Resistenza a trazione del singolo bullone

Resistenza a punzonamento

Per il calcolo della resistenza a punzonamento si fa riferimento al paragrafo 3.6.1 della norma UNI EN 1993-1-8, dove si riporta la formula di calcolo:



RELAZIONE ILLUSTRATIVA E DI CALCOLO		
Data emissione: 20/05/2019	RST Relazione illustrativa e di calcolo strutturale.docx	215 di 267

$$B_{p,Rd} = \frac{0,6 \pi d_m t_p f_{ub,l}}{\gamma_{M2}}$$

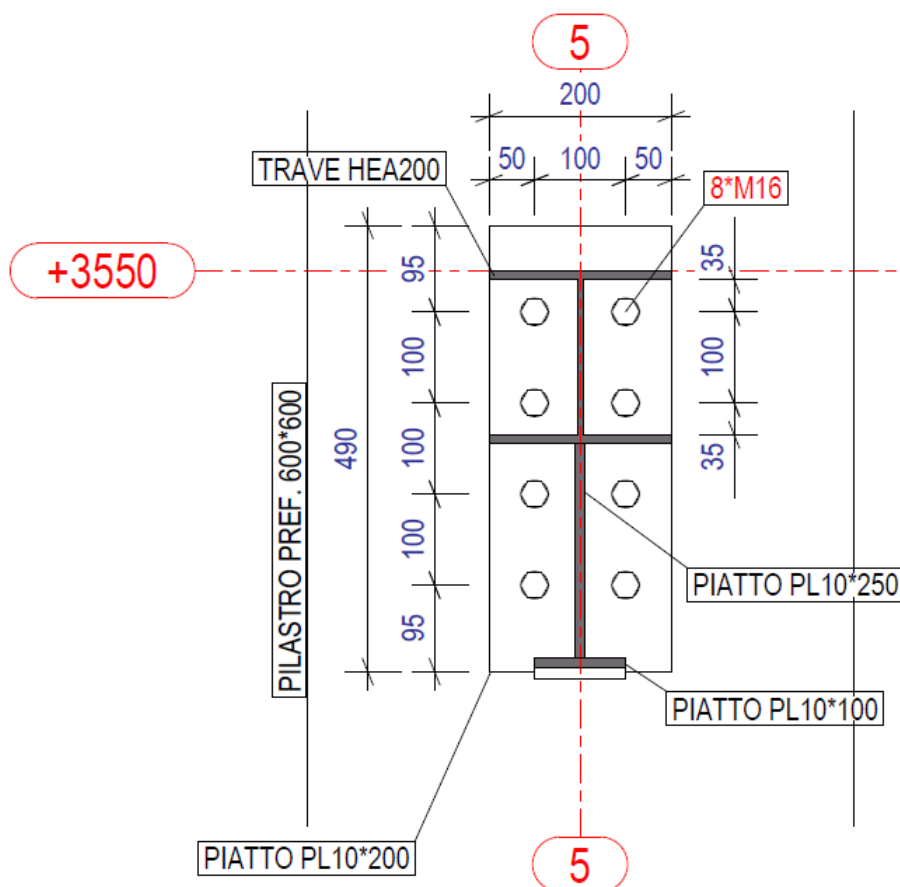
Con:

d_m	=	18	mm	Diametro medio della testa del bullone o del dado (=1,5d)
t_p	=	10	mm	Spessore del piatto
$f_{ub,l}$	=	430	N/mm ²	Tensione a rottura acciaio piatto (S275JR)
γ_{M2}	=	1,25		Coefficiente di sicurezza (Tab.4.2.VII NTC2018)
$B_{p,Rd}$	=	116,72	kN	Resistenza a punzonamento del piatto in corrispondenza del bullone

La resistenza a trazione è data da:

$$F_{Rd,min} = \min\{F_{t,Rd}; B_{p,Rd}\} = 48,56 \text{ kN}$$

✓ Connessione HEA200 – pilastro prefabbricato 60x60 cm

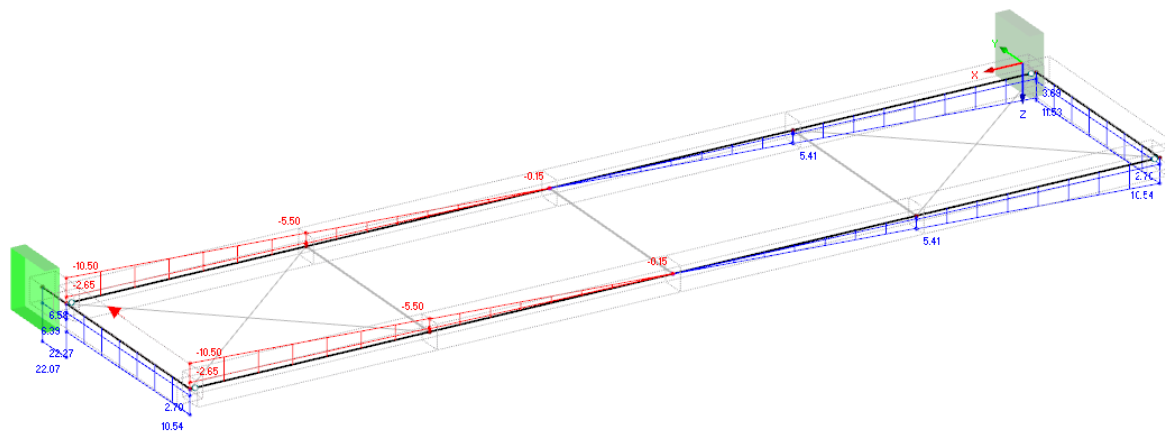


Sollecitazioni agenti allo SLU

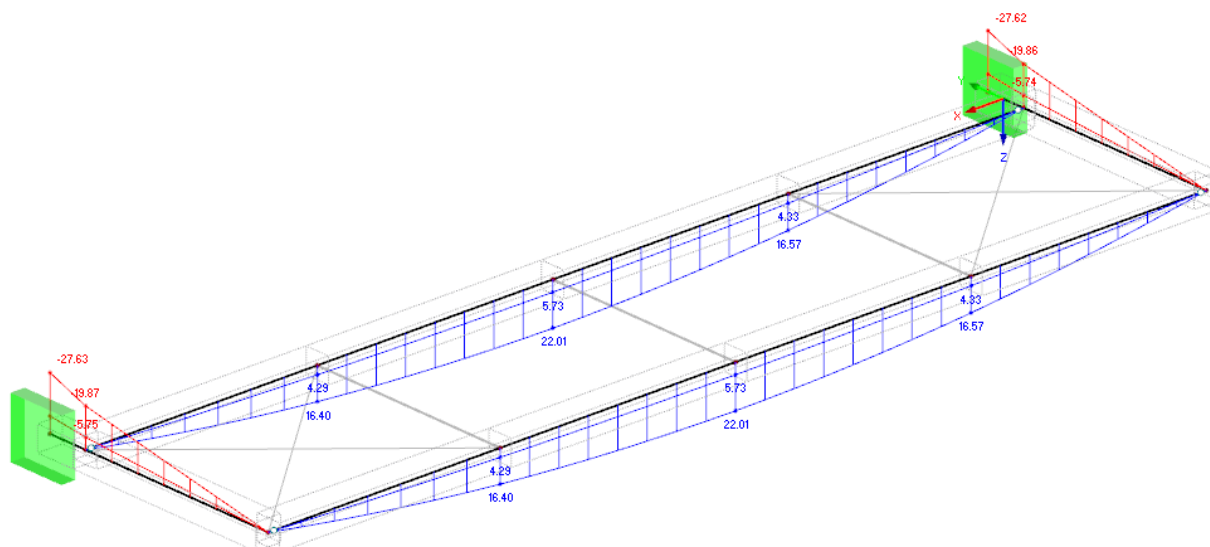
Si riportano i diagrammi delle sollecitazioni di taglio agenti sulle travi HEA200 allo SLU e si individua il valore massimo considerato per le verifiche.



RELAZIONE ILLUSTRATIVA E DI CALCOLO		
Data emissione: 20/05/2019	RST Relazione illustrativa e di calcolo strutturale.docx	216 di 267



E di momento:



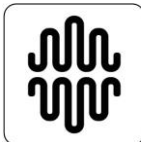
$$V_{Ed,max(SLU)} = 22,27 \text{ kN}$$

$$M_{Ed,max(SLU)} = 27,63 \text{ kNm}$$

Resistenza a taglio del singolo bullone

Per il calcolo della resistenza a taglio si fa riferimento al paragrafo 3.6.1 della norma UNI EN 1993-1-8, dove si riporta la formula di calcolo:

$$F_{v,Rd} = \frac{\alpha_v f_{ub} A}{\gamma_{M2}}$$



RELAZIONE ILLUSTRATIVA E DI CALCOLO		
Data emissione: 20/05/2019	RST Relazione illustrativa e di calcolo strutturale.docx	217 di 267

Sono stati applicati i seguenti parametri:

$\alpha_v =$	0,6		Coefficiente che trasforma la resistenza a trazione in resistenza a taglio
$f_{ub} =$	800	N/mm ²	resistenza a rottura del bullone classe 8.8
$A =$	157	mm ²	Considero l'area resistente (parte filettata) del bullone A_s
$\gamma_{M2} =$	1,25		Coefficiente di sicurezza (Tab.4.2.VII NTC2018)
$n_t =$	1		Numero piani di taglio
$F_{v,Rd} =$	60,29	kN	Resistenza a taglio del singolo bullone
$n_b =$	8		Numero dei bulloni

La resistenza a taglio totale del bullone si ricava moltiplicando quella del singolo bullone per il numero dei bulloni:

$$F_{v,Rd,tot} = F_{v,Rd} \cdot n_b = 482,32 \text{ kN}$$

Resistenza a rifollamento

Per il calcolo della resistenza a rifollamento si fa riferimento al paragrafo 3.6.1 della norma UNI EN 1993-1-8, dove si riporta la formula di calcolo:

$$F_{b,Rd} = \frac{k_1 \alpha_b f_{ub,l} d t}{\gamma_{M2}}$$

Dove:

$$k_1 = \min \left\{ 2,5; 2,8 \cdot \frac{e_2}{d_0} - 1,7 \right\} = \min \{ 2,5; 6,07 \} = 2,5 ;$$

$$\alpha_b = \min \left\{ \frac{e_1}{3 \cdot d_0}; \frac{f_{ub}}{f_{ub,l}}; 1 \right\} = \min \{ 1,76; 1,57; 1 \} = 1.$$

Sono stati applicati i seguenti parametri:

$d =$	16	mm	Diametro del bullone
$t =$	10	mm	Spessore del piatto
$f_{ub,l} =$	430	N/mm ²	Tensione a rottura acciaio piatto (S275JR)
$\gamma_{M2} =$	1,25		Coefficiente di sicurezza (Tab.4.2.VII NTC2018)
$e_1 =$	95	mm	Distanza dal bordo esterno del piatto al centro del bullone $//V_{Ed}$
$e_2 =$	50	mm	Distanza dal bordo esterno del piatto al centro del bullone $\perp V_{Ed}$
$f_{ub} =$	800	N/mm ²	resistenza a rottura del bullone classe 8.8
$d_0 =$	18	mm	\varnothing del foro
$k_1 =$	2,5		Coefficiente di rifollamento il cui valore non può eccedere 2,5
$\alpha_b =$	1		Coefficiente correttivo

$$F_{b,Rd} = 103,20 \text{ kN} \quad \text{Resistenza a rifollamento}$$

Capacità dei bulloni

Si confrontano i valori ottenuti dalla verifica a taglio e rifollamento per ricavare la capacità dei bulloni e confrontarla con il valore della sollecitazione agente:

$$F_{Rd,v,min} = \min \{ F_{v,Rd,tot}(\text{taglio}); F_{b,Rd}(\text{rifollamento}) \} = 103,20 \text{ kN}$$



RELAZIONE ILLUSTRATIVA E DI CALCOLO		
Data emissione: 20/05/2019	RST Relazione illustrativa e di calcolo strutturale.docx	218 di 267

$$F_{Rd,tot,taglio} = 103,20 \text{ kN} > V_{Ed,max(SLU)} = 22,27 \text{ kN}$$

La verifica risulta essere soddisfatta.

Resistenza a trazione del piatto

La resistenza del piatto a trazione viene valutata considerando due sezioni del piatto:

- Sezione lontano dai fori

$$N_{Rd,y} = \frac{A_{piatto} f_{yb,l}}{\gamma_{M0}}$$

$A_{piatto} =$	2000	mm ²	Area del piatto nello spessore
$f_{yb,l} =$	275	N/mm ²	Tensione di snervamento acciaio piatto (S275JR)
$\gamma_{M0} =$	1,05		Coefficiente di sicurezza (Tab.4.2.VII NTC2018)
$N_{Rd,y} =$	523,80	kN	Resistenza di progetto a trazione del piatto

- Sezione indebolita dai fori

$$N_{Rd,u} = \frac{0,9 A_{netta} f_{ub,l}}{\gamma_{M2}}$$

$A_{netta} =$	1640	mm ²	Area del piatto in acciaio privata del foro dei bulloni
$f_{ub,l} =$	430	N/mm ²	Tensione a rottura acciaio piatto (S275JR)
$\gamma_{M2} =$	1,25		Coefficiente di sicurezza (Tab.4.2.VII NTC2018)
$N_{Rd,u} =$	507,75	kN	Resistenza ultima di progetto a trazione del piatto

La resistenza a trazione offerta del piatto si ricava da:

$$N_{Rd,min} = \min\{N_{Rd,y}; N_{Rd,u}\} = 507,75 \text{ kN} > V_{Ed,max(SLU)} = 22,27 \text{ kN}$$

La verifica è soddisfatta, il piatto resiste a trazione.

Resistenza a flessione

Il momento agente M_{Ed} sulla connessione si ripartisce su ogni bullone nel mediante la relazione:

$$N_i = \frac{M_{Ed}}{m \sum_{i=1}^n y_i^2} y_i$$

dove:

- N_i è la forza dell'i-esimo bullone valutata a una distanza y_i dall'estremo inferiore del piatto (dato che in questo caso c'è un rinforzo);
- m è indica il numero di bulloni in direzione \perp all'azione di taglio;
- n è indica il numero di bulloni in direzione $//$ all'azione di taglio.

Avendo 8 bulloni suddivisi in $m = 2$ e $n = 4$, si ottiene:

$$N_1 = 4,52 \text{ kN}$$

$$N_2 = 9,29 \text{ kN}$$

$$N_3 = 14,05 \text{ kN}$$



RELAZIONE ILLUSTRATIVA E DI CALCOLO		
Data emissione: 20/05/2019	RST Relazione illustrativa e di calcolo strutturale.docx	219 di 267

$$N_4 = 18,81 \text{ kN}$$

La capacità dei bulloni a trazione si confronta con il valore massimo di quelli appena elencati, ovvero:

$$N_{Ed} = 18,81 \text{ kN}$$

Resistenza a trazione del bullone

Per il calcolo della resistenza a trazione si fa riferimento al paragrafo 3.6.1 della norma UNI EN 1993-1-8, dove si riporta la formula di calcolo:

$$F_{t,Rd} = \frac{k_2 f_{ub} A_s}{\gamma_{M2}}$$

Con:

f_{ub}	=	800	N/mm ²	Resistenza a rottura del bullone di classe 8.8
A_s	=	157	mm ²	Area resistente della parte filettata del bullone
k_2	=	0,9		Coefficiente dipendente dal livello di serraggio
γ_{M2}	=	1,25		Coefficiente di sicurezza (Tab.4.2.VII NTC2018)
$F_{t,Rd}$	=	90,43	kN	Resistenza a trazione del singolo bullone

Resistenza a punzonamento

Per il calcolo della resistenza a punzonamento si fa riferimento al paragrafo 3.6.1 della norma UNI EN 1993-1-8, dove si riporta la formula di calcolo:

$$B_{p,Rd} = \frac{0,6 \pi d_m t_p f_{ub,l}}{\gamma_{M2}}$$

Con:

d_m	=	24	mm	Diametro medio della testa del bullone o del dado (=1,5d)
t_p	=	10	mm	Spessore del piatto
$f_{ub,l}$	=	430	N/mm ²	Tensione a rottura acciaio piatto (S355JR)
γ_{M2}	=	1,25		Coefficiente di sicurezza (Tab.4.2.VII NTC2018)
$B_{p,Rd}$	=	155,62	kN	Resistenza a punzonamento del piatto in corrispondenza del bullone

La resistenza a trazione è data da:

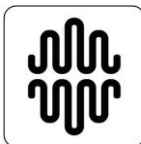
$$F_{Rd,min} = \min\{F_{t,Rd}; B_{p,Rd}\} = 90,43 \text{ kN} > \frac{N_{Ed}}{m} = 9,41 \text{ kN}$$

La verifica a trazione è soddisfatta.

Si procede con la verifica composta a taglio-trazione (par. 4.2.8.1.1. NTC2018):

$$\frac{N_{Ed}}{1,4 F_{Rd,trazione}} + \frac{V_{Ed}}{F_{Rd,taglio}} = \frac{18,81}{1,4 \cdot (2 \cdot 90,43)} + \frac{22,27}{103,20} = 0,1 \leq 1$$

Anche in questo caso la verifica risulta essere soddisfatta.



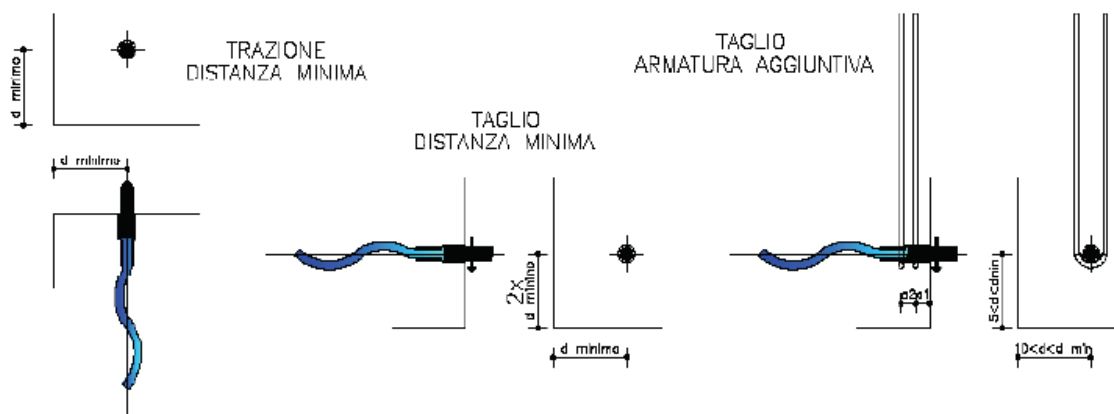
RELAZIONE ILLUSTRATIVA E DI CALCOLO		
Data emissione: 20/05/2019	RST Relazione illustrativa e di calcolo strutturale.docx	220 di 267

7.5.12 BOCCOLE CONNESSIONE PENSILINA-PILASTRO PREFABBRICATO

La connessione della pensilina con il pilastro prefabbricato avviene mediante l'uso di boccole tipo M24, rappresentate nella seguente tabella:

Capacità di carico a trazione assiale. Valori in kN								
Boccola (D)	Barra Ø	Trazione kN		Distanza minima dal bordo d_{mm} mm				Armatura aggiuntiva per insufficiente distanza dal bordo
		Amm.	SLU	Resistenza cls C ≥28/35		Resistenza cls C ≥40/50		
				Barra corta	Barra lunga	Barra corta	Barra lunga	
M 12	8	15.0	22.5	80	70	70	60	Verifica della reale capacità di ancoraggio della sezione (effettive distanze e resistenza del calcestruzzo, armature di confinamento presenti nella sezione)
M 14	10	20.0	30.0	90	80	80	70	
M 16	12	29.0	43.5	110	100	100	80	
M 20	14	40.0	60.0	130	110	110	90	
M 24	16	52.0	78.0	150	120	120	100	
M 30	20	81.0	121.5	210	180	180	150	
M 36	28	160.0	240.0	230	200	200	180	

Capacità di carico a taglio. Valori in kN								
Boccola (D)	Barra Ø	Taglio kN		Distanza minima dal bordo d_{min} mm		Armatura aggiuntiva per insufficiente distanza dal bordo B450C		
		Amm.	SLU	Resistenza cls C ≥28/35	Resistenza cls C ≥40/50			
				Barra corta - lunga	Barra corta - lunga	a1	a2	
M 12	8	17.0	25.5	80	70	1 Ø 8	20	/
M 14	10	27.0	40.5	90	80	1 Ø 8	20	/
M 16	12	39.0	58.5	110	100	1 Ø 10	25	/
M 20	14	47.0	70.5	130	110	1 Ø 10	25	/
M 24	16	67.0	100.5	150	120	1 Ø 12	30	/
M 30	20	105.0	157.5	210	180	2 Ø 12	35	35
M 36	28	190.0	285.5	230	200	2 Ø 14	35	35





RELAZIONE ILLUSTRATIVA E DI CALCOLO		
Data emissione: 20/05/2019	RST Relazione illustrativa e di calcolo strutturale.docx	221 di 267

7.5.13 VERIFICA DELL'ANCORAGGIO PILASTRO - FONDAZIONE: ARMA-TUBO

L'ancoraggio dei pilastri prefabbricati 60x60 cm ai ringrossi della fondazione viene eseguito mediante il sistema arma-tubo: i pilastri sono provvisti di barre fuori uscenti dalla base inferiore del pilastro e trovano alloggiamento in opportune guaine corrugate lasciate nel getto della fondazione; dopo la messa a piombo del pilastro con appositi spessoramenti e puntelli per garantire la stabilità in fase transitoria si procede con l'iniezione delle guaine e dello spazio fra fondazione e base pilastro con malte colabili antiritiro.

Le barre sporgenti dal pilastro, pertanto, vengono ancorate all'interno della fondazione mediante il meccanismo di aderenza che si sviluppa fra le stesse barre e la malta iniettata; un secondo meccanismo simile si instaura fra la guaina corrugata e il calcestruzzo circostante.

In zona sismica è importante garantire che la dissipazione avvenga all'interno dell'elemento prefabbricato sovradimensionando opportunamente il meccanismo di ancoraggio per aderenza (agendo sulla lunghezza di ancoraggio).

Le forze dovute all'aderenza fra guaina e calcestruzzo circostante devono essere opportunamente riprese con adeguate armature all'interno della fondazione.

Questo tipo di connessione presenta particolari semplicità realizzativa con buone tolleranze di messa in opera; va, tuttavia, evidenziato come necessiti di particolari accortezze in fase di montaggio in quanto il sistema non è auto stabile in prima fase.

Per verificare l'idoneità del sistema di ancoraggio, si procede con le seguenti verifiche:

Momento resistente del pilastro maggiore del momento sollecitante:

$$M_{Rd,u} = 1040,64 \text{ kNm} > M_{Ed,max} = 689,7 \text{ kNm}$$

Dove:

- $M_{Rd,u}$ è il momento resistente agente alla base del pilastro amplificato per il coefficiente di sovraresistenza γ_{Rd} pari a 1,20, come previsto dalla normativa.



RELAZIONE ILLUSTRATIVA E DI CALCOLO		
Data emissione: 20/05/2019	RST Relazione illustrativa e di calcolo strutturale.docx	222 di 267

Tab. 7.2.1 - Fattori di sovrarresistenza γ_{Ra} (fra parentesi quadre è indicato il numero dell'equazione corrispondente)

Tipologia strutturale	Elementi strutturali	Progettazione in capacità	γ_{Ra}	
			CD“A”	CD“B”
C.a. gettata in opera	Travi (§ 7.4.4.1.1)	Taglio	1,20	1,10
	Pilastri (§ 7.4.4.2.1)	Pressoflessione [7.4.4]	1,30	1,30
		Taglio [7.4.5]	1,30	1,10
	Nodi trave-pilastro (§ 7.4.4.3.1)	Taglio [7.4.6-7, 7.4.11-12]	1,20	1,10
	Pareti (§ 7.4.4.5.1)	Taglio [7.4.13-14]	1,20	-
C.a. prefabbricata a struttura intelaiata	Collegamenti di tipo a) (§ 7.4.5.2.1)	Flessione e taglio	1,20	1,10
	Collegamenti di tipo b) (§ 7.4.5.2.1)	Flessione e taglio	1,35	1,20
C.a. prefabbricata con pilastri incastrati alla base e orizzontamenti incernierati	Collegamenti di tipo fisso (§ 7.4.5.2.1)	Taglio	1,35	1,20
Acciaio	Si impiega il fattore di sovrarresistenza γ_{ov} definito al § 7.5.1			
	Colonne (§ 7.5.4.2)	Pressoflessione [7.5.10]	1,30	1,30
Composta acciaio-calcestruzzo	Si impiega il fattore di sovrarresistenza γ_{ov} definito al § 7.5.1			
	Colonne (§ 7.6.6.2)	Pressoflessione [7.6.7]	1,30	1,30
Legno	Collegamenti		1,60	1,30
Muratura armata con progettazione in capacità	Pannelli murari (§ 7.8.1.7)	Taglio	1,50	
Ponti	Si impiegano i fattori di sovrarresistenza definiti al § 7.9.5			

- M_{Ed} è il valore massimo del momento agente alla base del pilastro, in questo caso è stato tenuto conto del valore peggiore, ottenuto dall'analisi allo SLV.

La verifica risulta essere soddisfatta.

Verifica dell'ancoraggio delle barre nella malta di sigillatura con il criterio della gerarchia delle resistenze:

$$l_b u f_{bd,m} = 452,4 \text{ kN} \geq \gamma_{Rd} A_s f_{td} = 254,91 \text{ kN}$$

Dove:

- l_b è la lunghezza di ancoraggio delle barre nella malta, pari a 1,20 m;
- u è il perimetro della barra, pari a 75,4 mm ($\varnothing 24$);
- $f_{bd,m}$ è la tensione di aderenza tra barra e malta, calcolata come:

$$f_{bd,m} = 2,25 f_{ctd,m} = 2,25 \cdot 2,22 \text{ N/mm}^2 = \sim 5,00 \text{ N/mm}^2$$

- γ_{Rd} è pari 1,20 per CD"B";
- A_s è l'area della barra, considerando $1\varnothing 24 = 452,39 \text{ mm}^2$;
- f_{td} è la tensione a rottura della barra

$$f_{td} = \frac{f_{td}}{\gamma_s} = \frac{540 \text{ N/mm}^2}{1,15} = 469,57 \text{ N/mm}^2$$

La verifica risulta essere soddisfatta.



RELAZIONE ILLUSTRATIVA E DI CALCOLO		
Data emissione: 20/05/2019	RST Relazione illustrativa e di calcolo strutturale.docx	223 di 267

Verifica dell'ancoraggio delle guaine metalliche zigrinate nel cls della fondazione con il criterio della gerarchia delle resistenze:

- Guaina contenente 3Ø24:

$$l_{bg} u_g f_{bd,f} = 3015,9 \text{ kN} \geq \gamma_{Rd} A_s f_{td} = 764,74 \text{ kN}$$

Dove:

- l_{bg} è la lunghezza di ancoraggio delle guaine nel cls di fondazione, pari a 1,20 m;
- u_g è il perimetro della guaina, pari a 502,65 mm (Ø160);
- $f_{bd,f}$ è la tensione di aderenza tra guaina e cls di fondazione, calcolata come:

$$f_{bd,f} = 2,25 f_{ctd,m} = 2,25 \cdot 2,22 \text{ N/mm}^2 = \sim 5,00 \text{ N/mm}^2$$

- γ_{Rd} è pari 1,20 per CD"B";
- A_s è l'area della barra, considerando il caso peggiore 3Ø24 = 1357,17 mm²;
- f_{td} è la tensione a rottura della barra

$$f_{td} = \frac{f_{td}}{\gamma_s} = \frac{540 \text{ N/mm}^2}{1,15} = 469,57 \text{ N/mm}^2$$

- Guaina contenente 2Ø24:

$$l_{bg} u_g f_{bd,f} = 2261,94 \text{ kN} \geq \gamma_{Rd} A_s f_{td} = 509,83 \text{ kN}$$

Dove:

- l_{bg} è la lunghezza di ancoraggio delle guaine nel cls di fondazione, pari a 1,20 m;
- u_g è il perimetro della guaina, pari a 376,99 mm (Ø120);
- $f_{bd,f}$ è la tensione di aderenza tra guaina e cls di fondazione, calcolata come:

$$f_{bd,f} = 2,25 f_{ctd,m} = 2,25 \cdot 2,22 \text{ N/mm}^2 = \sim 5,00 \text{ N/mm}^2$$

- γ_{Rd} è pari 1,20 per CD"B";
- A_s è l'area della barra, considerando il caso peggiore 2Ø24 = 904,78 mm²;
- f_{td} è la tensione a rottura della barra

$$f_{td} = \frac{f_{td}}{\gamma_s} = \frac{540 \text{ N/mm}^2}{1,15} = 469,57 \text{ N/mm}^2$$

La verifica risulta essere soddisfatta.

Verifica della resistenza a scorrimento con i criteri della gerarchia delle resistenze:

$$V_{Rd} = 900,40 \text{ kN} \geq V(M_{Rd,u}) = \frac{M_{Rd,u}}{h_{pilastrò}} = 135,15 \text{ kN}$$

Dove:



RELAZIONE ILLUSTRATIVA E DI CALCOLO		
Data emissione: 20/05/2019	RST Relazione illustrativa e di calcolo strutturale.docx	224 di 267

- V_{Rd} è il valore della resistenza a scorrimento ricavato dalla somma dei contributi delle barre resistenti a taglio V_{dd} e del calcestruzzo compresso V_{fd} :

$$V_{dd} = 1,3A_d \sqrt{f_{cd} f_{yd}} = 262,75 \text{ kN}$$

Con:

- A_d area delle barre non snervate dalla flessione (data la presenza di armatura simmetrica nel pilastro, l'analisi viene svolta come flessione retta), corrispondente a $6\phi 24 = 2714,34 \text{ mm}^2$;
- f_{cd} è la resistenza di progetto del cls di classe C25/30, pari a $14,17 \text{ N/mm}^2$;
- f_{yd} è la tensione a snervamento di progetto dell'acciaio B450C, pari a $391,3 \text{ N/mm}^2$;

$$V_{fd} = 0,25 b x f_{cd} = 637,65 \text{ kN}$$

Con:

- b larghezza della sezione, pari a quella del pilastro (600 mm);
 - x è la profondità della parte compressa, pari a $\frac{b}{2} = 300 \text{ mm}$;
 - f_{cd} è la resistenza di progetto del cls di classe C25/30, pari a $14,17 \text{ N/mm}^2$;
- $V(M_{Rd,u})$ è il taglio ricavato dal valore del momento resistente alla base del pilastro amplificato per il coefficiente di sovrarresistenza della guaina, vale $135,15 \text{ kN}$;

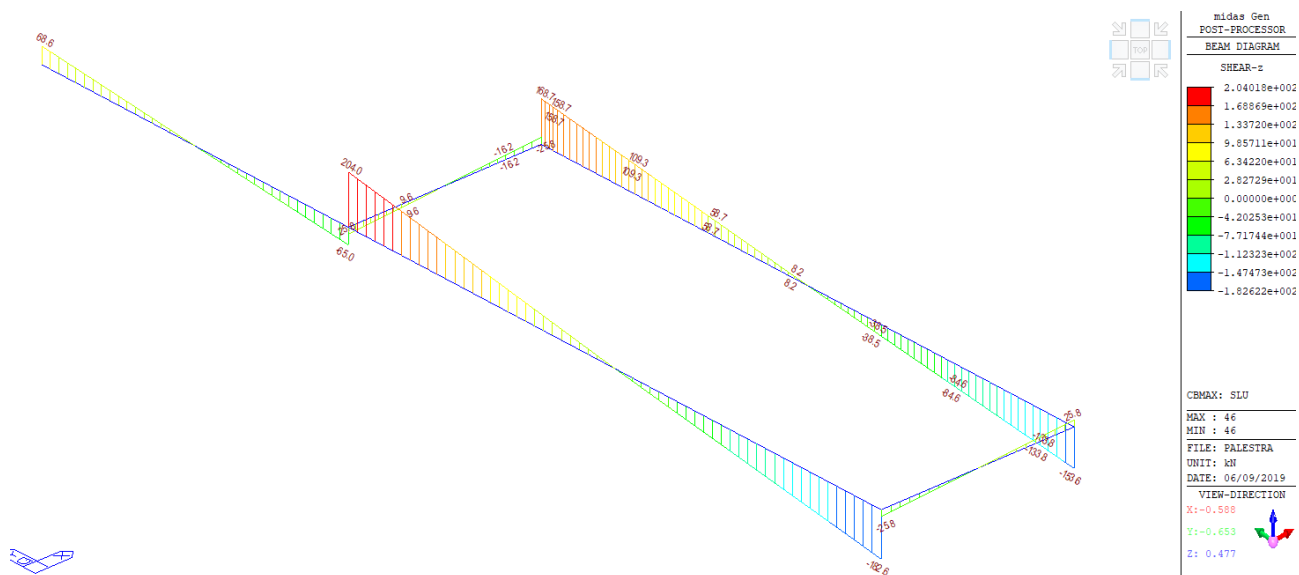
7.5.14 VERIFICA DELLE MENSOLE TOZZE DEI PILASTRI PREFABBRICATI

Di seguito si riporta la verifica per le mensole più sollecitate. Si ricorda che nel caso il prefabbricatore, in base alla propria tecnologia e certificazioni CE, cambiasse sezioni e materiali degli elementi delle travi precomprese, dovrà procedere al ricalcolo delle strutture e dei dettagli dei collegamenti, tra cui la mensola sotto ipotizzata.

Il taglio sollecitante maggiore (pari a 204 kN) deriva dall'involuppo allo SLU, come di seguito indicato:



RELAZIONE ILLUSTRATIVA E DI CALCOLO		
Data emissione: 20/05/2019	RST Relazione illustrativa e di calcolo strutturale.docx	225 di 267



Al fine di valutare eventuali carichi dinamici il calcolo della mensola è comunque stato effettuato, a favore di sicurezza, con un taglio agente pari a 250 kN (maggiore del carico derivante dal modello di calcolo pari a 204 kN).

I risultati ottenuti sono stati i seguenti:



RELAZIONE ILLUSTRATIVA E DI CALCOLO		
Data emissione: 20/05/2019	RST Relazione illustrativa e di calcolo strutturale.docx	226 di 267

MENSOLA TOZZA
vers. 1.1

ID. MENSOLA

M1

Carichi

F_{ed}	250	[kN]
H_{ed}	0	[kN]

Copriferro e stima armatura

$c_{nom.}$	35	[mm]
armatura sup.	12	[mm]
staffe	10	[mm]

Materiali

Calcestruzzo	C40/50	
f_{ck}	40	[MPa]
γ_c	1,5	
f_{cd}	22,67	[MPa]

Acciaio	B450C	
f_{yk}	450	[MPa]
γ_a	1,15	
f_{yd}	391,30	[MPa]
Rid. Collaudo	20,00%	

Tensioni nodo

$\sigma_{1Rd,max}$	19,04	[MPa]
$\sigma_{2Rd,max}$	16,18	[MPa]

Schiacciamento nodo inferiore

c_1	22	[mm]
$c_1/2$	11	[mm]
c_2	140	[mm]
$c_2/2$	70	[mm]
c_{min}	22	[mm]

Dimensioni Mensola

H	400	[mm]
b	600	[mm]
x	600	[mm]
y	150	[mm]

Piastra diffusione

x	600	[mm]
y	150	[mm]

Altezza utile

h	349	[mm]
---	-----	------

Punto applicazione forza

d	150	[mm]
---	-----	------

Classe mensola

a	161	[mm]
z	279	[mm]
$z/2$	140	[mm]

$a > z/2$

Forze

F_{cd}	144,11	[kN]
F_{td}	144,11	[kN]

Verifica schiacciamento

σ_{c12}	✓	10,98	[MPa]	VERIFICATO
σ_{c3}	✓	2,78	[MPa]	VERIFICATO

Armatura minima

A_s	4,42	[cm ²]
$A_{sw,oriz,min}$	1,77	[cm ²]
$A_{sw,oriz,min}$	1,10	[cm ²]
$A_{sw,vert,min}$	2,21	[cm ²]

Armatura posizionata

A _s singola		1,13	[cm ²]	ARMATURA SUFFICIENTE
n		9		
A _s progetto	✓	10,17	[cm ²]	
A _{sw} singola		0,79	[cm ²]	
n		5		
bracci		2		ARMATURA SUFFICIENTE
A _{sw} progetto	✓	7,90	[cm ²]	
A _{sw} singola		1,13	[cm ²]	
n		4		
bracci		2		
A _{sw, vert. nm}	✓	9,04	[cm ²]	ARMATURA SUFFICIENTE

Verifica NTC2008 C4.1.2.1.5

a	150	[mm]	
d	349	[mm]	
l	219,8	[mm]	
λ	0,70		
c	1		
P _R	✓	568,69	[kN] VERIFICATO
P _{Rc}	✓	1274,47	[kN] VERIFICATO



RELAZIONE ILLUSTRATIVA E DI CALCOLO		
Data emissione: 20/05/2019	RST Relazione illustrativa e di calcolo strutturale.docx	227 di 267

8 VERIFICA DEGLI ELEMENTI SECONDARI NON STRUTTURALI

La valutazione della resistenza degli elementi secondari non strutturali è stata eseguita calcolando l'azione sismica agente in sommità dell'elemento, con riferimento al paragrafo 7.2.3. delle NTC2018 ("Elementi costruttivi non strutturali"): essa viene definita come un'azione orizzontale dipendente dall'accelerazione massima che l'elemento non strutturale in esame subisce durante il sisma, dal peso dell'elemento stesso e dal suo fattore di comportamento; si riporta la formula corrispondente:

$$F_a = \frac{(S_a \cdot W_a)}{q_a}$$

Dove:

- F_a è la forza sismica orizzontale distribuita o agente nel centro di massa dell'elemento non strutturale, nella direzione più sfavorevole, risultante delle forze distribuite proporzionali alla massa;
- S_a è l'accelerazione massima adimensionalizzata rispetto a quella di gravità, che l'elemento non strutturale subisce durante il sisma, e corrisponde allo stato limite in esame (rif. par. 3.2.1. NTC2018);
- W_a è il peso dell'elemento;
- q_a è il fattore di comportamento dell'elemento.

Nella normativa viene citata la seguente prescrizione:

"In assenza di specifiche determinazioni, per S_a e q_a può farsi utile riferimento a documenti di comprovata validità."

Data l'assenza di documentazioni specifiche per poter ricavare i valori delle suddette variabili, è stata presa in considerazione la formulazione riportata nella vecchia normativa DM 14-01-2008, di seguito citata come NTC2008.

In particolare, al paragrafo 7.2.3. è presente la formula per ricavare l'accelerazione S_a :

$$S_a = \alpha \cdot S \cdot \left[\frac{3 \cdot \left(1 + \frac{Z}{H}\right)}{1 + \left(1 - \frac{T_a}{T_1}\right)^2} - 0,5 \right]$$

Dove:

- α è il rapporto tra l'accelerazione massima sul terreno a_g su sottosuolo tipo A da considerare nello stato limite in esame (in questo caso SLV, par. 3.2.1) e l'accelerazione di gravità g ;
- S è il coefficiente che tiene conto della categoria di sottosuolo e delle condizioni topografiche;
- T_a è il periodo fondamentale di vibrazione dell'elemento non strutturale;
- T_1 è il periodo fondamentale di vibrazione della costruzione nella direzione considerata;



RELAZIONE ILLUSTRATIVA E DI CALCOLO		
Data emissione: 20/05/2019	RST Relazione illustrativa e di calcolo strutturale.docx	228 di 267

- Z è la quota del baricentro dell'elemento non strutturale misurata a partire dal piano di fondazione (rif. par. 3.2.2. NTC2008);
- H è l'altezza della costruzione misurata a partire dal piano di fondazione.

Non conoscendo l'esatto valore del periodo fondamentale degli elementi non strutturali, è stato considerato $T_a = T_1$, in modo da ottenere la situazione peggiore. Sempre per effettuare un'analisi della situazione peggiore nella quale gli elementi non strutturali sono sottoposti, è stato considerato anche $Z = H$ (tranne nel caso dell'UTA in quanto ancorato a terra).

I valori di α e S sono stati ricavati dai risultati presenti nella relazione geologica inerenti alla risposta sismica locale; si riportano nuovamente di seguito i valori riferiti allo SLV, utilizzati per questo calcolo:

Stato Limite	Tr [anni]	a_{max} [g]	F_0	SS	CC	ST	T_c	T_B	T_D
Vita (SLV)	949	0.284	3.656	1.000	1.00	1.15000	0.31051	0.1035	2.735

Tenendo conto dei parametri che determinano l'azione sismica agente sulla struttura, riportate all'interno delle NTC2018:

- Vita nominale = 50 anni;
- Classe d'uso = IV;
- Coefficiente d'uso - $C_u = 2,0$;
- Periodo di riferimento - $V_r = 100$ anni;
- Coefficiente di topografia = T_1 .

Il fattore di comportamento dell'elemento q_a è stato considerato seguendo quanto riportato nella tabella della vecchia normativa NTC2008:

Tabella 7.2.I – Valori di q_a per elementi non strutturale

Elemento non strutturale	q_a
Parapetti o decorazioni aggettanti	1,0
Insegne e pannelli pubblicitari	
Ciminiere, antenne e serbatoi su supporti funzionanti come mensole senza controventi per più di metà della loro altezza	
Pareti interne ed esterne	2,0
Tramezzature e facciate	
Ciminiere, antenne e serbatoi su supporti funzionanti come mensole non controventate per meno di metà della loro altezza o connesse alla struttura in corrispondenza o al di sopra del loro centro di massa	
Elementi di ancoraggio per armadi e librerie permanenti direttamente poggiati sul pavimento	
Elementi di ancoraggio per controsoffitti e corpi illuminanti	

Dopo aver calcolato l'azione sismica, si tiene conto della prescrizione presente al paragrafo 7.2.3 delle NTC2018:

“Quando l'elemento non strutturale è costruito in cantiere, è compito del progettista della struttura individuare la domanda e progettare la capacità in accordo a formulazioni di comprovata validità



RELAZIONE ILLUSTRATIVA E DI CALCOLO		
Data emissione: 20/05/2019	RST Relazione illustrativa e di calcolo strutturale.docx	229 di 267

ed è compito del direttore dei lavori verificarne la corretta esecuzione; quando invece l'elemento non strutturale è assemblato in cantiere, è compito del progettista della struttura individuare la domanda, è compito del fornitore e/o dell'installatore fornire elementi e sistemi di collegamento di capacità adeguata ed è compito del direttore dei lavori verificarne il corretto assemblaggio".

Con riferimento all'elaborato architettonico con l'abaco dei solai e delle murature, si riportano nei paragrafi successivi i risultati ottenuti.

8.1 Controsoffitto modulare

Essendo un elemento non strutturale assemblato in cantiere, si riporta di seguito il calcolo inerente alla sola azione sismica, in quanto, riprendendo il paragrafo 7.2.3 delle NTC2018:

"(...) quando invece l'elemento non strutturale è assemblato in cantiere, è compito del progettista della struttura individuare la domanda, è compito del fornitore e/o dell'installatore fornire elementi e sistemi di collegamento di capacità adeguata ed è compito del direttore dei lavori verificarne il corretto assemblaggio".

Il controsoffitto in questione pesa 0,04 kN/mq.

Applicando le formule riportate nell'introduzione del presente capitolo, si ottengono i seguenti risultati:

Fa =	9.512	kN
con		
Wa =	5.2952	kN
superficie	132.38	mq
qa =	1	
Sa =	1.7963	
con:		
α =	0.284	
S =	1.15	
Z/H =	1	
Ta/T1 =	1	

8.2 Controsoffitto a lastra

Essendo un elemento non strutturale assemblato in cantiere, si riporta di seguito il calcolo inerente alla sola azione sismica, in quanto, riprendendo il paragrafo 7.2.3 delle NTC2018:

"(...) quando invece l'elemento non strutturale è assemblato in cantiere, è compito del progettista della struttura individuare la domanda, è compito del fornitore e/o dell'installatore



RELAZIONE ILLUSTRATIVA E DI CALCOLO		
Data emissione: 20/05/2019	RST Relazione illustrativa e di calcolo strutturale.docx	230 di 267

fornire elementi e sistemi di collegamento di capacità adeguata ed è compito del direttore dei lavori verificarne il corretto assemblaggio”.

Il controsoffitto in questione pesa 0,10 kN/mq.

Applicando le formule riportate nell'introduzione del presente capitolo, si ottengono i seguenti risultati:

Fa =	1.201	kN
con		
Wa =	1.337	kN
superficie	13.37	mq
qa =	2	
Sa =	1.7963	
con:		
α =	0.284	
S =	1.15	
Z/H =	1	
Ta/T1 =	1	

8.3 UTA piano terra

Essendo un elemento non strutturale assemblato in cantiere, si riporta di seguito il calcolo inerente alla sola azione sismica, in quanto, riprendendo il paragrafo 7.2.3 delle NTC2018:

“(...) quando invece l'elemento non strutturale è assemblato in cantiere, è compito del progettista della struttura individuare la domanda, è compito del fornitore e/o dell'installatore fornire elementi e sistemi di collegamento di capacità adeguata ed è compito del direttore dei lavori verificarne il corretto assemblaggio”.

Applicando le formule riportate nell'introduzione del presente capitolo, si ottengono i seguenti risultati:

Fa =	3.829	kN	
con			
Wa =	4.69	kN	
qa =	1		
Sa =	0.8165		
con:			



RELAZIONE ILLUSTRATIVA E DI CALCOLO		
Data emissione: 20/05/2019	RST Relazione illustrativa e di calcolo strutturale.docx	231 di 267

$\alpha =$	0.284		
$S =$	1.15		
$Z/H =$	0	ancorato a terra	
$T_a/T_1 =$	1		

8.4 Impianti staffaggi - canali

Essendo un elemento non strutturale assemblato in cantiere, si riporta di seguito il calcolo inerente alla sola azione sismica, in quanto, riprendendo il paragrafo 7.2.3 delle NTC2018:

“(...) quando invece l'elemento non strutturale è assemblato in cantiere, è compito del progettista della struttura individuare la domanda, è compito del fornitore e/o dell'installatore fornire elementi e sistemi di collegamento di capacità adeguata ed è compito del direttore dei lavori verificarne il corretto assemblaggio”.

Applicando le formule riportate nell'introduzione del presente capitolo, si ottengono i seguenti risultati:

Fa =	0.119	kN/m
con		
$W_a =$	0.0663	kN/m
$q_a =$	1	
$S_a =$	1.7963	
con:		
$\alpha =$	0.284	
$S =$	1.15	
$Z/H =$	1	
$T_a/T_1 =$	1	

8.5 Impianti staffaggi - tubazioni

Essendo un elemento non strutturale assemblato in cantiere, si riporta di seguito il calcolo inerente alla sola azione sismica, in quanto, riprendendo il paragrafo 7.2.3 delle NTC2018:

“(...) quando invece l'elemento non strutturale è assemblato in cantiere, è compito del progettista della struttura individuare la domanda, è compito del fornitore e/o dell'installatore fornire elementi e sistemi di collegamento di capacità adeguata ed è compito del direttore dei lavori verificarne il corretto assemblaggio”.

Applicando le formule riportate nell'introduzione del presente capitolo, si ottengono i seguenti risultati:



RELAZIONE ILLUSTRATIVA E DI CALCOLO		
Data emissione: 20/05/2019	RST Relazione illustrativa e di calcolo strutturale.docx	232 di 267

Fa =	0.149	kN/m
con		
Wa =	0.08296	kN/m
qa =	1	
Sa =	1.7963	
con:		
α =	0.284	
S =	1.15	
Z/H =	1	
Ta/T1 =	1	

8.6 Parete ventilata con finitura in ceramica M01a – M01b

Essendo un elemento costruito in cantiere si riporta di seguito il calcolo inerente alla domanda dell'azione sismica e alla capacità dell'elemento non strutturale, in quanto, riprendendo il paragrafo 7.2.3 delle NTC2018: “(..) è compito del progettista della struttura individuare la domanda e progettarne la capacità in accordo a formulazioni di comprovata validità ed è compito del direttore dei lavori verificarne la corretta esecuzione; (...)”.

Applicando le formule riportate nell'introduzione del presente capitolo, si ottengono i seguenti risultati:

domanda :			
Fa =	5.626	kN/m	considerando una fascia di 1 m
con			
Wa =	6.2645	kN/m2	
considerando :			
ceramica sp 1,05 cm	0.21	kN/m2	
sottostr metallica sp. 16 cm	0.2	kN/m2	
lana di roccia sp. 10 cm	0.1	kN/m2	
poliuretano sp . 10 cm	0.35	kN/m2	
laterizio sp. 30 cm	5.4	kN/m2	
intonaco sp. 1,5 cm	0.0045	kN/m2	
qa =	2		
Sa =	1.7963		
con:			
α =	0.284		
S =	1.15		



RELAZIONE ILLUSTRATIVA E DI CALCOLO		
Data emissione: 20/05/2019	RST Relazione illustrativa e di calcolo strutturale.docx	233 di 267

Z/H =	1		
Ta/T1 =	1		
Med ribaltamento	4.19	kNm	
capacità :			
Mrd	7.61	kNm	
con :			
d =	0.275	m	
f _{yd} =	391.3043	N/mm ²	
A _s =	47.124	mm ²	
verifica :			
Med/Mrd	0.55	< 1 verificato	

In particolare, la capacità dell'elemento non strutturale è stata calcolata considerando 5 tralicci murfor ø5/200" in 1 metro di parete (posti in asse alla parete); il momento resistente è stato calcolato come:

$$M_{Rd} = 0,90 \cdot d \cdot A_s \cdot f_{yd} = 7,61 \text{ kNm}$$

Dove:

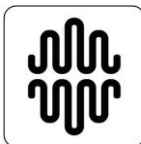
- d è pari allo spessore del pannello ridotta del copriferro di 25 mm ($0,3 - 0,025 = 0,275$ m);
- A_s corrisponde all'armatura presente in 1 m di pannello ($5\phi 5 = 78,54 \text{ mm}^2$);
- f_{yd} è la tensione di snervamento di progetto pari a $391,3 \text{ N/mm}^2$.

8.7 Parete ventilata con finitura in ceramica – parapetto in laterizio forato sp.20 cm M02

Essendo un elemento costruito in cantiere si riporta di seguito il calcolo inerente alla domanda dell'azione sismica e alla capacità dell'elemento non strutturale, in quanto, riprendendo il paragrafo 7.2.3 delle NTC2018: "(..) è compito del progettista della struttura individuare la domanda e progettarne la capacità in accordo a formulazioni di comprovata validità ed è compito del direttore dei lavori verificarne la corretta esecuzione; (...)".

Applicando le formule riportate nell'introduzione del presente capitolo, si ottengono i seguenti risultati:

Fa =	10.975	kN/m	considerando un'interasse di 2 m
con			



RELAZIONE ILLUSTRATIVA E DI CALCOLO		
Data emissione: 20/05/2019	RST Relazione illustrativa e di calcolo strutturale.docx	234 di 267

Wa =	3.055	kN/m2	
considerando :			
ceramica sp 1,05 cm	0.21	kN/m2	
sottostr metallica sp. 16 cm	0.2	kN/m2	
poliuretano sp . 10 cm	0.35	kN/m2	
laterizio forato sp. 20 cm	2.2	kN/m2	
isolamento EPS sp. 5 cm	0.015	kN/m2	
doppia guaina bituminosa	0.08	kN/m2	
qa =	1		
Sa =	1.7963		
con:			
α =	0.284		
S =	1.15		
Z/H =	1		
Ta/T1 =	1		
Med ribaltamento	2.65	kNm	
con :			
h_parapetto =	0.695	m	
capacità :			
Mrd	9.42	kNm	
verifica :			
Med/Mrd	0.28	< 1 verificato	

La capacità dell'elemento non strutturale è stata calcolata considerando l'armatura longitudinale presente nell'elemento di irrigidimento verticale in c.a. C25/30 e pari a 4ø10.

8.8 Parete esterna intonacata M03a

Essendo un elemento non strutturale assemblato in cantiere, si riporta di seguito il calcolo inerente alla sola azione sismica, in quanto, riprendendo il paragrafo 7.2.3 delle NTC2018:

“(...) quando invece l'elemento non strutturale è assemblato in cantiere, è compito del progettista della struttura individuare la domanda, è compito del fornitore e/o dell'installatore fornire elementi e sistemi di collegamento di capacità adeguata ed è compito del direttore dei lavori verificarne il corretto assemblaggio”.



RELAZIONE ILLUSTRATIVA E DI CALCOLO		
Data emissione: 20/05/2019	RST Relazione illustrativa e di calcolo strutturale.docx	235 di 267

Applicando le formule riportate nell'introduzione del presente capitolo, si ottengono i seguenti risultati:

Fa =	4.998	kN/m2
con		
Wa =	5.5645	kN/m2
considerando :		
lana di roccia sp. 16 cm	0.16	kN/m2
laterizio sp. 30 cm	5.4	kN/m2
intonaco sp. 1,5 cm	0.0045	kN/m2
qa =	2	
Sa =	1.7963	
con:		
α =	0.284	
S =	1.15	
Z/H =	1	
Ta/T1 =	1	

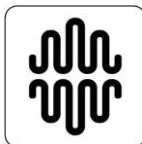
8.9 Parete esterna intonacata M03b

Essendo un elemento non strutturale assemblato in cantiere, si riporta di seguito il calcolo inerente alla sola azione sismica, in quanto, riprendendo il paragrafo 7.2.3 delle NTC2018:

“(...) quando invece l'elemento non strutturale è assemblato in cantiere, è compito del progettista della struttura individuare la domanda, è compito del fornitore e/o dell'installatore fornire elementi e sistemi di collegamento di capacità adeguata ed è compito del direttore dei lavori verificarne il corretto assemblaggio”.

Applicando le formule riportate nell'introduzione del presente capitolo, si ottengono i seguenti risultati:

Fa =	2.205	kN/m2
con		
Wa =	2.455	kN/m2
considerando :		
lana di roccia sp. 16 cm	0.16	kN/m2
laterizio forato sp. 20 cm	2.2	kN/m2
isolamento EPS sp. 5 cm	0.015	kN/m2
doppia guaina bituminosa	0.08	kN/m2
qa =	2	
Sa =	1.7963	



RELAZIONE ILLUSTRATIVA E DI CALCOLO		
Data emissione: 20/05/2019	RST Relazione illustrativa e di calcolo strutturale.docx	236 di 267

con:		
$\alpha =$	0.284	
$S =$	1.15	
$Z/H =$	1	
$Ta/T1 =$	1	

8.10 Pannelli prefabbricati con finitura in ceramica M04 verticali

Essendo un elemento non strutturale assemblato in cantiere, si riporta di seguito il calcolo inerente alla sola azione sismica, in quanto, riprendendo il paragrafo 7.2.3 delle NTC2018:

“(...) quando invece l'elemento non strutturale è assemblato in cantiere, è compito del progettista della struttura individuare la domanda, è compito del fornitore e/o dell'installatore fornire elementi e sistemi di collegamento di capacità adeguata ed è compito del direttore dei lavori verificarne il corretto assemblaggio”.

Applicando le formule riportate nell'introduzione del presente capitolo, si ottengono i seguenti risultati:

Fa =	68.979	kN
considerando l'area del pannello peggiore =	24.01	m ²
con		
Wa =	3.1987	kN/m²
considerando :		
ceramica sp 1,05 cm	0.21	kN/m ²
sottostr metallica sp. 5 cm	0.2	kN/m ²
crosta esterna sp. 6 cm	1.5	kN/m ²
polistirene grafitato sp. 4 cm	0.0072	kN/m ²
pannello polistirene elasticizzato espanso sp. 15 cm	0.027	kN/m ²
crosta esterna con finitura a staggia sp.5 cm	1.25	kN/m ²
intonaco sp. 1,5 cm	0.0045	kN/m ²
qa =	2	
Sa =	1.7963	
con:		
$\alpha =$	0.284	
$S =$	1.15	
$Z/H =$	1	
$Ta/T1 =$	1	



RELAZIONE ILLUSTRATIVA E DI CALCOLO		
Data emissione: 20/05/2019	RST Relazione illustrativa e di calcolo strutturale.docx	237 di 267

8.11 Pannelli prefabbricati con finitura in lamiera M05 verticali

Essendo un elemento non strutturale assemblato in cantiere, si riporta di seguito il calcolo inerente alla sola azione sismica, in quanto, riprendendo il paragrafo 7.2.3 delle NTC2018:

“(...) quando invece l'elemento non strutturale è assemblato in cantiere, è compito del progettista della struttura individuare la domanda, è compito del fornitore e/o dell'installatore fornire elementi e sistemi di collegamento di capacità adeguata ed è compito del direttore dei lavori verificarne il corretto assemblaggio”.

Applicando le formule riportate nell'introduzione del presente capitolo, si ottengono i seguenti risultati:

Fa =	64.470	kN
considerando l'area del pannello peggiore =	24.01	m2
con		
Wa =	2.989646	kN/m2
considerando :		
doghe in lega d'alluminio sp 2,2 cm	0.000946	kN/m2
sottostr metallica sp. 5 cm	0.2	kN/m2
crosta esterna sp. 6 cm	1.5	kN/m2
polistirene grafitato sp. 4 cm	0.0072	kN/m2
pannello polistirene elasticizzato espanso sp. 15 cm	0.027	kN/m2
crosta esterna con finitura a staggia sp.5 cm	1.25	kN/m2
intonaco sp. 1,5 cm	0.0045	kN/m2
qa =	2	
Sa =	1.7963	
con:		
α =	0.284	
S =	1.15	
Z/H =	1	
Ta/T1 =	1	

8.12 Pannelli prefabbricati con finitura in lamiera M05 orizzontali

Essendo un elemento non strutturale assemblato in cantiere, si riporta di seguito il calcolo inerente alla sola azione sismica, in quanto, riprendendo il paragrafo 7.2.3 delle NTC2018:

“(...) quando invece l'elemento non strutturale è assemblato in cantiere, è compito del progettista della struttura individuare la domanda, è compito del fornitore e/o dell'installatore



RELAZIONE ILLUSTRATIVA E DI CALCOLO		
Data emissione: 20/05/2019	RST Relazione illustrativa e di calcolo strutturale.docx	238 di 267

fornire elementi e sistemi di collegamento di capacità adeguata ed è compito del direttore dei lavori verificarne il corretto assemblaggio”.

Applicando le formule riportate nell'introduzione del presente capitolo, si ottengono i seguenti risultati:

Fa =	57.731	kN
considerando l'area del pannello peggiore =	21.5	m2
con		
Wa =	2.989646	kN/m2
considerando :		
doghe in lega d'alluminio sp 2,2 cm	0.000946	kN/m2
sottostr metallica sp. 5 cm	0.2	kN/m2
crosta esterna sp. 6 cm	1.5	kN/m2
polistirene grafitato sp. 4 cm	0.0072	kN/m2
pannello polistirene elasticizzato espanso sp. 15 cm	0.027	kN/m2
crosta esterna con finitura a staggia sp.5 cm	1.25	kN/m2
intonaco sp. 1,5 cm	0.0045	kN/m2
qa =	2	
Sa =	1.7963	
con:		
α =	0.284	
S =	1.15	
Z/H =	1	
Ta/T1 =	1	

8.13 Pannelli prefabbricati con finitura in lastre resistenti all'esterno M06a verticali

Essendo un elemento non strutturale assemblato in cantiere, si riporta di seguito il calcolo inerente alla sola azione sismica, in quanto, riprendendo il paragrafo 7.2.3 delle NTC2018:

“(...) quando invece l'elemento non strutturale è assemblato in cantiere, è compito del progettista della struttura individuare la domanda, è compito del fornitore e/o dell'installatore fornire elementi e sistemi di collegamento di capacità adeguata ed è compito del direttore dei lavori verificarne il corretto assemblaggio”.

Applicando le formule riportate nell'introduzione del presente capitolo, si ottengono i seguenti risultati:

Fa =	67.038	kN
------	--------	----



RELAZIONE ILLUSTRATIVA E DI CALCOLO		
Data emissione: 20/05/2019	RST Relazione illustrativa e di calcolo strutturale.docx	239 di 267

considerando l'area del pannello peggiore =	24.01	m2
con		
Wa =	3.11	kN/m2
considerando :		
lastra di gesso tipo "Gyproc Glasroc X" sp. 1,25 cm	0.12	kN/m2
sottostr metallica sp. 5 cm	0.2	kN/m2
crosta esterna sp. 6 cm	1.5	kN/m2
polistirene grafitato sp. 4 cm	0.0072	kN/m2
pannello polistirene elasticizzato espanso sp. 15 cm	0.027	kN/m2
crosta esterna con finitura a staggia sp.5 cm	1.25	kN/m2
intonaco sp. 1,5 cm	0.0045	kN/m2
qa =	2	
Sa =	1.7963	
con:		
α =	0.284	
S =	1.15	
Z/H =	1	
Ta/T1 =	1	

8.14 Pannelli prefabbricati con finitura in lastre resistenti all'esterno M06a orizzontali

Essendo un elemento non strutturale assemblato in cantiere, si riporta di seguito il calcolo inerente alla sola azione sismica, in quanto, riprendendo il paragrafo 7.2.3 delle NTC2018:

“(...) quando invece l'elemento non strutturale è assemblato in cantiere, è compito del progettista della struttura individuare la domanda, è compito del fornitore e/o dell'installatore fornire elementi e sistemi di collegamento di capacità adeguata ed è compito del direttore dei lavori verificarne il corretto assemblaggio”.

Applicando le formule riportate nell'introduzione del presente capitolo, si ottengono i seguenti risultati:

Fa =	55.618	kN
considerando l'area del pannello peggiore =	19.92	m2
con		
Wa =	3.11	kN/m2



RELAZIONE ILLUSTRATIVA E DI CALCOLO		
Data emissione: 20/05/2019	RST Relazione illustrativa e di calcolo strutturale.docx	240 di 267

considerando :		
lastra di gesso tipo "Gyproc Glasroc X" sp. 1,25 cm	0.12	kN/m2
sottostr metallica sp. 5 cm	0.2	kN/m2
crosta esterna sp. 6 cm	1.5	kN/m2
polistirene grafitato sp. 4 cm	0.0072	kN/m2
pannello polistirene elasticizzato espanso sp. 15 cm	0.027	kN/m2
crosta esterna con finitura a staggia sp.5 cm	1.25	kN/m2
intonaco sp. 1,5 cm	0.0045	kN/m2
qa =	2	
Sa =	1.7963	
con:		
α =	0.284	
S =	1.15	
Z/H =	1	
Ta/T1 =	1	

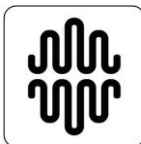
8.15 Pannelli prefabbricati con finitura in lastre resistenti all'esterno M06b verticali

Essendo un elemento non strutturale assemblato in cantiere, si riporta di seguito il calcolo inerente alla sola azione sismica, in quanto, riprendendo il paragrafo 7.2.3 delle NTC2018:

“(...) quando invece l'elemento non strutturale è assemblato in cantiere, è compito del progettista della struttura individuare la domanda, è compito del fornitore e/o dell'installatore fornire elementi e sistemi di collegamento di capacità adeguata ed è compito del direttore dei lavori verificarne il corretto assemblaggio”.

Applicando le formule riportate nell'introduzione del presente capitolo, si ottengono i seguenti risultati:

Fa =	56.695	kN
considerando l'area del pannello peggiore =	20.335	m2
con		
Wa =	3.104	kN/m2
considerando :		
lastra di gesso tipo "Gyproc Glasroc X" sp. 1,25 cm	0.12	kN/m2
sottostr metallica sp. 5 cm	0.2	kN/m2
crosta esterna sp. 6 cm	1.5	kN/m2
polistirene grafitato sp. 4 cm	0.0072	kN/m2



RELAZIONE ILLUSTRATIVA E DI CALCOLO		
Data emissione: 20/05/2019	RST Relazione illustrativa e di calcolo strutturale.docx	241 di 267

pannello polistirene elasticizzato espanso sp. 15 cm	0.027	kN/m2
crosta esterna con finitura a staggia sp.5 cm	1.25	kN/m2
qa =	2	
Sa =	1.7963	
con:		
α =	0.284	
S =	1.15	
Z/H =	1	
Ta/T1 =	1	

8.16 Parete REI in cls areato M07

Essendo un elemento non strutturale assemblato in cantiere, si riporta di seguito il calcolo inerente alla sola azione sismica, in quanto, riprendendo il paragrafo 7.2.3 delle NTC2018:

“(...) quando invece l'elemento non strutturale è assemblato in cantiere, è compito del progettista della struttura individuare la domanda, è compito del fornitore e/o dell'installatore fornire elementi e sistemi di collegamento di capacità adeguata ed è compito del direttore dei lavori verificarne il corretto assemblaggio”.

Applicando le formule riportate nell'introduzione del presente capitolo, si ottengono i seguenti risultati:

Fa =	3.884	kN/m2
con		
Wa =	4.325	kN/m2
considerando :		
blocchi cls areato autoclavato sp. 18 cm	4.32	kN/m2
intonaco sp. 1,5 cm	0.0045	kN/m2
qa =	2	
Sa =	1.7963	
con:		
α =	0.284	
S =	1.15	
Z/H =	1	
Ta/T1 =	1	



RELAZIONE ILLUSTRATIVA E DI CALCOLO		
Data emissione: 20/05/2019	RST Relazione illustrativa e di calcolo strutturale.docx	242 di 267

8.17 Parapetto S pensilina su solaio S M08a

Essendo un elemento non strutturale assemblato in cantiere, si riporta di seguito il calcolo inerente alla sola azione sismica, in quanto, riprendendo il paragrafo 7.2.3 delle NTC2018:

“(...) quando invece l'elemento non strutturale è assemblato in cantiere, è compito del progettista della struttura individuare la domanda, è compito del fornitore e/o dell'installatore fornire elementi e sistemi di collegamento di capacità adeguata ed è compito del direttore dei lavori verificarne il corretto assemblaggio”.

Applicando le formule riportate nell'introduzione del presente capitolo, si ottengono i seguenti risultati:

Fa =	1.581	kN/m	considerando un'interasse di 2 m
con			
Wa =	0.44	kN/m ²	
considerando :			
lastra di gesso tipo "Gyproc Glasroc X" sp. 1,25 cm	0.12	kN/m ²	
sottostr metallica sp 10 cm	0.2	kN/m ²	
lastra gesso "Gyproc Glasroc X" sp. 1,25 cm	0.12	kN/m ²	
qa =	1		
Sa =	1.7963		
con:			
α =	0.284		
S =	1.15		
Z/H =	1		
Ta/T1 =	1		

8.18 Parapetto S pensilina su solaio S M08b

Essendo un elemento non strutturale assemblato in cantiere, si riporta di seguito il calcolo inerente alla sola azione sismica, in quanto, riprendendo il paragrafo 7.2.3 delle NTC2018:

“(...) quando invece l'elemento non strutturale è assemblato in cantiere, è compito del progettista della struttura individuare la domanda, è compito del fornitore e/o dell'installatore fornire elementi e sistemi di collegamento di capacità adeguata ed è compito del direttore dei lavori verificarne il corretto assemblaggio”.

Applicando le formule riportate nell'introduzione del presente capitolo, si ottengono i seguenti risultati:

Fa =	9.484	kN/m	considerando un'interasse di 2 m
------	-------	------	----------------------------------



RELAZIONE ILLUSTRATIVA E DI CALCOLO		
Data emissione: 20/05/2019	RST Relazione illustrativa e di calcolo strutturale.docx	243 di 267

con			
Wa =	2.64	kN/m2	
considerando :			
lastra di gesso tipo "Gyproc Glasroc X" sp. 1,25 cm	0.12	kN/m2	
sottostr metallica sp 10 cm	0.2	kN/m2	
laterizio forato sp. 20 cm	2.2	kN/m2	
lastra di gesso tipo "Gyproc Glasroc X" sp. 1,25 cm	0.12	kN/m2	
qa =	1		
Sa =	1.7963		
con:			
α =	0.284		
S =	1.15		
Z/H =	1		
Ta/T1 =	1		

8.19 Pannelli prefabbricati M09 verticali

Essendo un elemento non strutturale assemblato in cantiere, si riporta di seguito il calcolo inerente alla sola azione sismica, in quanto, riprendendo il paragrafo 7.2.3 delle NTC2018:

“(...) quando invece l'elemento non strutturale è assemblato in cantiere, è compito del progettista della struttura individuare la domanda, è compito del fornitore e/o dell'installatore fornire elementi e sistemi di collegamento di capacità adeguata ed è compito del direttore dei lavori verificarne il corretto assemblaggio”.

Applicando le formule riportate nell'introduzione del presente capitolo, si ottengono i seguenti risultati:

Fa =	29.708	kN
considerando l'area del pannello peggiore =	21.56	m2
con		
Wa =	1.5342	kN/m2
considerando :		
crosta esterna sp. 6 cm	1.5	kN/m2
polistirene grafitato sp. 4 cm	0.0072	kN/m2
pannello polistirene elasticizzato espanso sp. 15 cm	0.027	kN/m2
qa =	2	



RELAZIONE ILLUSTRATIVA E DI CALCOLO		
Data emissione: 20/05/2019	RST Relazione illustrativa e di calcolo strutturale.docx	244 di 267

Sa =	1.7963	
con:		
α =	0.284	
S =	1.15	
Z/H =	1	
Ta/T1 =	1	

8.20 Pannelli prefabbricati M09 orizzontali

Essendo un elemento non strutturale assemblato in cantiere, si riporta di seguito il calcolo inerente alla sola azione sismica, in quanto, riprendendo il paragrafo 7.2.3 delle NTC2018:

“(...) quando invece l'elemento non strutturale è assemblato in cantiere, è compito del progettista della struttura individuare la domanda, è compito del fornitore e/o dell'installatore fornire elementi e sistemi di collegamento di capacità adeguata ed è compito del direttore dei lavori verificarne il corretto assemblaggio”.

Applicando le formule riportate nell'introduzione del presente capitolo, si ottengono i seguenti risultati:

Fa =	29.626	kN
considerando l'area del pannello peggiore =	21.5	m ²
con		
Wa =	1.5342	kN/m ²
considerando :		
crosta esterna sp. 6 cm	1.5	kN/m ²
polistirene grafitato sp. 4 cm	0.0072	kN/m ²
pannello polistirene elasticizzato espanso sp. 15 cm	0.027	kN/m ²
qa =	2	
Sa =	1.7963	
con:		
α =	0.284	
S =	1.15	
Z/H =	1	
Ta/T1 =	1	



RELAZIONE ILLUSTRATIVA E DI CALCOLO		
Data emissione: 20/05/2019	RST Relazione illustrativa e di calcolo strutturale.docx	245 di 267

8.21 Muro esterno chiusura falda scuola M10a

Essendo un elemento non strutturale assemblato in cantiere, si riporta di seguito il calcolo inerente alla sola azione sismica, in quanto, riprendendo il paragrafo 7.2.3 delle NTC2018:

“(...) quando invece l'elemento non strutturale è assemblato in cantiere, è compito del progettista della struttura individuare la domanda, è compito del fornitore e/o dell'installatore fornire elementi e sistemi di collegamento di capacità adeguata ed è compito del direttore dei lavori verificarne il corretto assemblaggio”.

Applicando le formule riportate nell'introduzione del presente capitolo, si ottengono i seguenti risultati:

Fa =	0.611	kN/m2
con		
Wa =	0.68	kN/m2
considerando :		
pannelli in fibrogesso sp. 1,5 cm	0.18	kN/m2
pannelli in fibrogesso sp. 1,5 cm	0.18	kN/m2
sotto strutt. metallica sp. 7,5 cm	0.1	kN/m2
lana di roccia sp. 6 cm	0.06	kN/m2
sotto strutt. metallica sp. 7,5 cm	0.1	kN/m2
lana di roccia sp. 6 cm	0.06	kN/m2
qa =	2	
Sa =	1.7963	
con:		
α =	0.284	
S =	1.15	
Z/H =	1	
Ta/T1 =	1	

8.22 Rivestimento pannelli prefabbricati con finitura in ceramica

Essendo un elemento non strutturale assemblato in cantiere, si riporta di seguito il calcolo inerente alla sola azione sismica, in quanto, riprendendo il paragrafo 7.2.3 delle NTC2018:

“(...) quando invece l'elemento non strutturale è assemblato in cantiere, è compito del progettista della struttura individuare la domanda, è compito del fornitore e/o dell'installatore fornire elementi e sistemi di collegamento di capacità adeguata ed è compito del direttore dei lavori verificarne il corretto assemblaggio”.



RELAZIONE ILLUSTRATIVA E DI CALCOLO		
Data emissione: 20/05/2019	RST Relazione illustrativa e di calcolo strutturale.docx	246 di 267

Applicando le formule riportate nell'introduzione del presente capitolo, si ottengono i seguenti risultati:

Fa =	0.372	kN/m2
con		
Wa =	0.4145	kN/m2
considerando :		
ceramica sp 1,05 cm	0.21	kN/m2
sottostr metallica sp. 5 cm	0.2	kN/m2
intonaco sp. 1,5 cm	0.0045	kN/m2
qa =	2	
Sa =	1.7963	
con:		
α =	0.284	
S =	1.15	
Z/H =	1	
Ta/T1 =	1	

8.23 Rivestimento pannelli prefabbricati con finitura in lamiera

Essendo un elemento non strutturale assemblato in cantiere, si riporta di seguito il calcolo inerente alla sola azione sismica, in quanto, riprendendo il paragrafo 7.2.3 delle NTC2018:

“(...) quando invece l'elemento non strutturale è assemblato in cantiere, è compito del progettista della struttura individuare la domanda, è compito del fornitore e/o dell'installatore fornire elementi e sistemi di collegamento di capacità adeguata ed è compito del direttore dei lavori verificarne il corretto assemblaggio”.

Applicando le formule riportate nell'introduzione del presente capitolo, si ottengono i seguenti risultati:

Fa =	0.185	kN/m2
con		
Wa =	0.205	kN/m2
considerando :		
doghe in lega d'alluminio sp 2,2 cm	0.000946	kN/m2
sottostr metallica sp. 5 cm	0.2	kN/m2
intonaco sp. 1,5 cm	0.0045	kN/m2



RELAZIONE ILLUSTRATIVA E DI CALCOLO		
Data emissione: 20/05/2019	RST Relazione illustrativa e di calcolo strutturale.docx	247 di 267

qa =	2	
Sa =	1.7963	
con:		
α =	0.284	
S =	1.15	
Z/H =	1	
Ta/T1 =	1	

8.24 Rivestimento pannelli prefabbricati con finitura in lastre resistenti all'esterno M06a

Essendo un elemento non strutturale assemblato in cantiere, si riporta di seguito il calcolo inerente alla sola azione sismica, in quanto, riprendendo il paragrafo 7.2.3 delle NTC2018:

“(...) quando invece l'elemento non strutturale è assemblato in cantiere, è compito del progettista della struttura individuare la domanda, è compito del fornitore e/o dell'installatore fornire elementi e sistemi di collegamento di capacità adeguata ed è compito del direttore dei lavori verificarne il corretto assemblaggio”.

Applicando le formule riportate nell'introduzione del presente capitolo, si ottengono i seguenti risultati:

Fa =	0.291	kN/m2
con		
Wa =	0.3245	kN/m2
considerando :		
lastra di gesso tipo "Gyproc Glasroc X" sp. 1,25 cm	0.12	kN/m2
sottostr metallica sp. 5 cm	0.2	kN/m2
intonaco sp. 1,5 cm	0.0045	kN/m2
qa =	2	
Sa =	1.7963	
con:		
α =	0.284	
S =	1.15	
Z/H =	1	
Ta/T1 =	1	



RELAZIONE ILLUSTRATIVA E DI CALCOLO		
Data emissione: 20/05/2019	RST Relazione illustrativa e di calcolo strutturale.docx	248 di 267

8.25 Rivestimento pannelli prefabbricati con finitura in lastre resistenti all'esterno M06b

Essendo un elemento non strutturale assemblato in cantiere, si riporta di seguito il calcolo inerente alla sola azione sismica, in quanto, riprendendo il paragrafo 7.2.3 delle NTC2018:

“(...) quando invece l'elemento non strutturale è assemblato in cantiere, è compito del progettista della struttura individuare la domanda, è compito del fornitore e/o dell'installatore fornire elementi e sistemi di collegamento di capacità adeguata ed è compito del direttore dei lavori verificarne il corretto assemblaggio”.

Applicando le formule riportate nell'introduzione del presente capitolo, si ottengono i seguenti risultati:

Fa =	0.287	kN/m2
con		
Wa =	0.32	kN/m2
considerando :		
lastra di gesso tipo "Gyproc Glasroc X" sp. 1,25 cm	0.12	kN/m2
sottostr metallica sp. 5 cm	0.2	kN/m2
qa =	2	
Sa =	1.7963	
con:		
α =	0.284	
S =	1.15	
Z/H =	1	
Ta/T1 =	1	

8.26 Parete divisoria interna sp. 15 cm T01

Essendo un elemento non strutturale assemblato in cantiere, si riporta di seguito il calcolo inerente alla sola azione sismica, in quanto, riprendendo il paragrafo 7.2.3 delle NTC2018:

“(...) quando invece l'elemento non strutturale è assemblato in cantiere, è compito del progettista della struttura individuare la domanda, è compito del fornitore e/o dell'installatore fornire elementi e sistemi di collegamento di capacità adeguata ed è compito del direttore dei lavori verificarne il corretto assemblaggio”.

Applicando le formule riportate nell'introduzione del presente capitolo, si ottengono i seguenti risultati:

Fa =	1.194	kN/m2



RELAZIONE ILLUSTRATIVA E DI CALCOLO		
Data emissione: 20/05/2019	RST Relazione illustrativa e di calcolo strutturale.docx	249 di 267

con		
Wa =	1.329	kN/m2
considerando :		
intonaco sp. 1,5 cm	0.0045	kN/m2
laterizio forato sp. 12 cm	1.32	kN/m2
intonaco sp. 1,5 cm	0.0045	kN/m2
qa =	2	
Sa =	1.7963	
con:		
α =	0.284	
S =	1.15	
Z/H =	1	
Ta/T1 =	1	

8.27 Parete divisoria interna sp. 28 cm T02

Essendo un elemento non strutturale assemblato in cantiere, si riporta di seguito il calcolo inerente alla sola azione sismica, in quanto, riprendendo il paragrafo 7.2.3 delle NTC2018:

“(...) quando invece l'elemento non strutturale è assemblato in cantiere, è compito del progettista della struttura individuare la domanda, è compito del fornitore e/o dell'installatore fornire elementi e sistemi di collegamento di capacità adeguata ed è compito del direttore dei lavori verificarne il corretto assemblaggio”.

Applicando le formule riportate nell'introduzione del presente capitolo, si ottengono i seguenti risultati:

Fa =	2.478	kN/m2
con		
Wa =	2.759	kN/m2
considerando :		
intonaco sp. 1,5 cm	0.0045	kN/m2
laterizio forato sp. 25 cm	2.75	kN/m2
intonaco sp. 1,5 cm	0.0045	kN/m2
qa =	2	
Sa =	1.7963	
con:		
α =	0.284	



RELAZIONE ILLUSTRATIVA E DI CALCOLO		
Data emissione: 20/05/2019	RST Relazione illustrativa e di calcolo strutturale.docx	250 di 267

S =	1.15	
Z/H =	1	
Ta/T1 =	1	

8.28 Parete divisoria interna sp. 28 cm T03

Essendo un elemento non strutturale assemblato in cantiere, si riporta di seguito il calcolo inerente alla sola azione sismica, in quanto, riprendendo il paragrafo 7.2.3 delle NTC2018:

“(...) quando invece l'elemento non strutturale è assemblato in cantiere, è compito del progettista della struttura individuare la domanda, è compito del fornitore e/o dell'installatore fornire elementi e sistemi di collegamento di capacità adeguata ed è compito del direttore dei lavori verificarne il corretto assemblaggio”.

Applicando le formule riportate nell'introduzione del presente capitolo, si ottengono i seguenti risultati:

Fa =	5.181	kN/m2
con		
Wa =	5.769	kN/m2
considerando :		
intonaco sp. 1,5 cm	0.0045	kN/m2
blocco cls areato autoclavato sp. 24 cm	5.76	kN/m2
intonaco sp. 1,5 cm	0.0045	kN/m2
qa =	2	
Sa =	1.7963	
con:		
α =	0.284	
S =	1.15	
Z/H =	1	
Ta/T1 =	1	

8.29 Parete divisoria interna sp. 18 cm T04

Essendo un elemento non strutturale assemblato in cantiere, si riporta di seguito il calcolo inerente alla sola azione sismica, in quanto, riprendendo il paragrafo 7.2.3 delle NTC2018:

“(...) quando invece l'elemento non strutturale è assemblato in cantiere, è compito del progettista della struttura individuare la domanda, è compito del fornitore e/o dell'installatore



RELAZIONE ILLUSTRATIVA E DI CALCOLO		
Data emissione: 20/05/2019	RST Relazione illustrativa e di calcolo strutturale.docx	251 di 267

fornire elementi e sistemi di collegamento di capacità adeguata ed è compito del direttore dei lavori verificarne il corretto assemblaggio”.

Applicando le formule riportate nell'introduzione del presente capitolo, si ottengono i seguenti risultati:

Fa =	3.888	kN/m2
con		
Wa =	4.329	kN/m2
considerando :		
intonaco sp. 1,5 cm	0.0045	kN/m2
blocco cls areato autoclavato sp. 18 cm	4.32	kN/m2
intonaco sp. 1,5 cm	0.0045	kN/m2
qa =	2	
Sa =	1.7963	
con:		
α =	0.284	
S =	1.15	
Z/H =	1	
Ta/T1 =	1	

8.30 Pannello prefabbricato sp. 20 cm T05

Essendo un elemento non strutturale assemblato in cantiere, si riporta di seguito il calcolo inerente alla sola azione sismica, in quanto, riprendendo il paragrafo 7.2.3 delle NTC2018:

“(...) quando invece l'elemento non strutturale è assemblato in cantiere, è compito del progettista della struttura individuare la domanda, è compito del fornitore e/o dell'installatore fornire elementi e sistemi di collegamento di capacità adeguata ed è compito del direttore dei lavori verificarne il corretto assemblaggio”.

Applicando le formule riportate nell'introduzione del presente capitolo, si ottengono i seguenti risultati:

Fa =	39.16	kN
considerando l'area del pannello peggiore =	20.00	m2
con		
Wa =	2.1798	kN/m2
considerando :		



RELAZIONE ILLUSTRATIVA E DI CALCOLO		
Data emissione: 20/05/2019	RST Relazione illustrativa e di calcolo strutturale.docx	252 di 267

parte portante CLS sp. 4 cm	0.96	kN/m2
pannello polistirene elasticizzato espanso sp. 11 cm	0.0198	kN/m2
parte portante CLS sp. 5 cm	1.2	kN/m2
qa =	2	
Sa =	1.7963	
con:		
α =	0.284	
S =	1.15	
Z/H =	1	
Ta/T1 =	1	

8.31 Verifiche dei sistemi di aggancio dei pannelli prefabbricati

Per gli elementi non strutturali devono essere adottati magisteri atti ad evitare la possibile espulsione sotto l'azione della Fa (NTC2018 par.7.2.3) corrispondente allo SL e alla CU considerati.

Per quanto riguarda le verifiche all'espulsione fuori dal piano dei tamponamenti murari o pareti in muratura interne, si fa riferimento a quanto riportato nella circolare esplicativa delle NTC2018, dove cita al par. C7.3.6.2 : *“Il controllo del danno degli elementi non strutturali si effettua, in maniera indiretta, intervenendo sulla rigidezza degli elementi strutturali al fine di contenere gli spostamenti di interpiano, come indicato al par. 7.3.6.1. Devono essere eseguite, invece, verifiche dirette in termini di stabilità. La prestazione consistente nell'evitare collassi fragili e prematuri e la possibile espulsione sotto l'azione della Fa delle tamponature si può ritenere conseguita con l'inserimento di leggere reti da intonaco sui due lati della muratura, collegate tra loro ed alle strutture circostanti a distanza non superiore a 500 mm sia in direzione orizzontale sia in direzione verticale, ovvero con l'inserimento di elementi di armatura orizzontale nei letti di malta, a distanza non superiore a 500 mm.(...)”*.

Alla luce della suddetta prescrizione progettuale, si può trascurare la verifica a ribaltamento dei tamponamenti stessi.

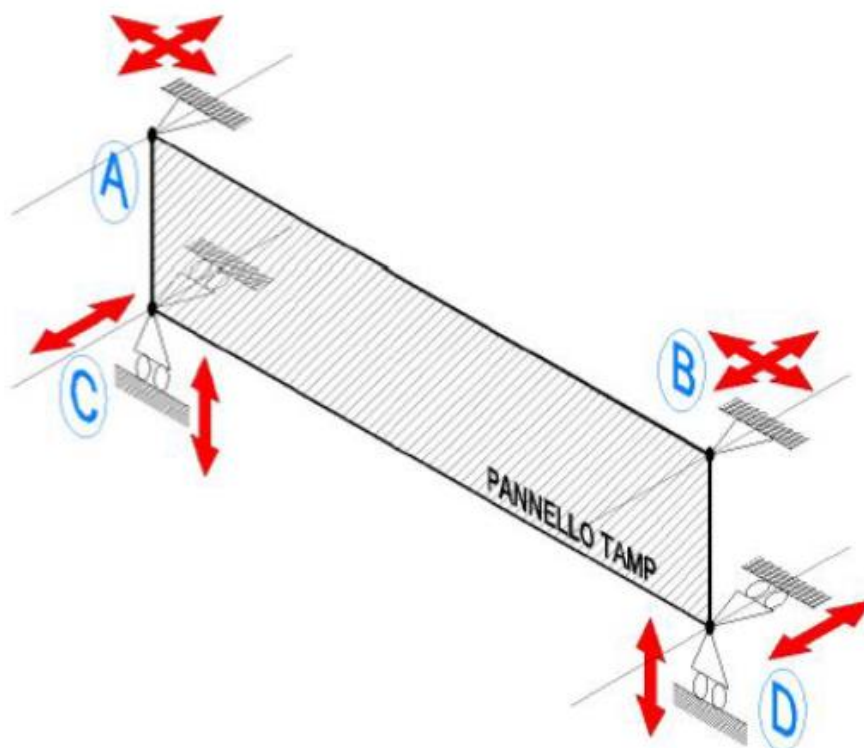
Per quanto riguarda la stabilità dei tamponamenti costituiti da pannelli in ca. prefabbricato, sono state effettuate le seguenti considerazioni.



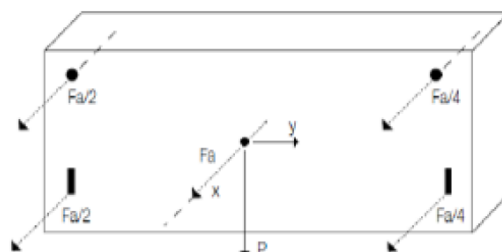
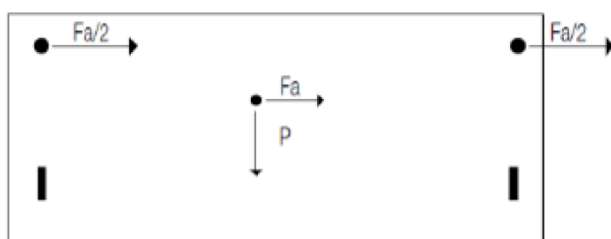
RELAZIONE ILLUSTRATIVA E DI CALCOLO		
Data emissione: 20/05/2019	RST Relazione illustrativa e di calcolo strutturale.docx	253 di 267

8.31.1 VALUTAZIONE DEL SISTEMA DI AGGANCIO DEI PANNELLI ORIZZONTALI

Il sistema di aggancio previsto a progetto per i pannelli di tamponamento sospesi prevede il fissaggio di ogni singolo pannello alle quattro estremità, secondo il seguente schema (con le frecce sono indicate le direzioni di vincolamento):



I vincoli A e B impediscono tutti i movimenti orizzontali, lasciando libere le traslazioni verticali. I vincoli C e D impediscono solamente le traslazioni verticali e gli spostamenti fuori dal piano del pannello, lasciando libere le traslazioni in direzione longitudinale al pannello. Si fa quindi notare che le azioni verticali agenti sul pannello (ad es. il peso) vengono assorbite dai soli vincoli C e D; le azioni orizzontali agenti in direzione longitudinale al pannello vengono assorbite da vincoli A e B, mentre tutti i vincoli negli spigoli concorrono ad assorbire la azioni agenti fuori dal piano del pannello.

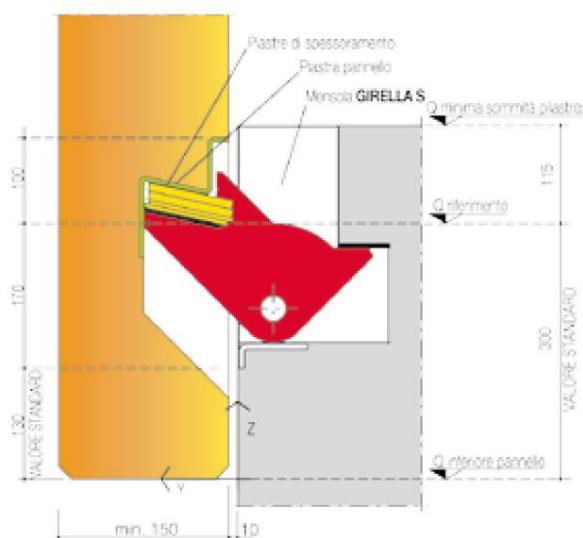
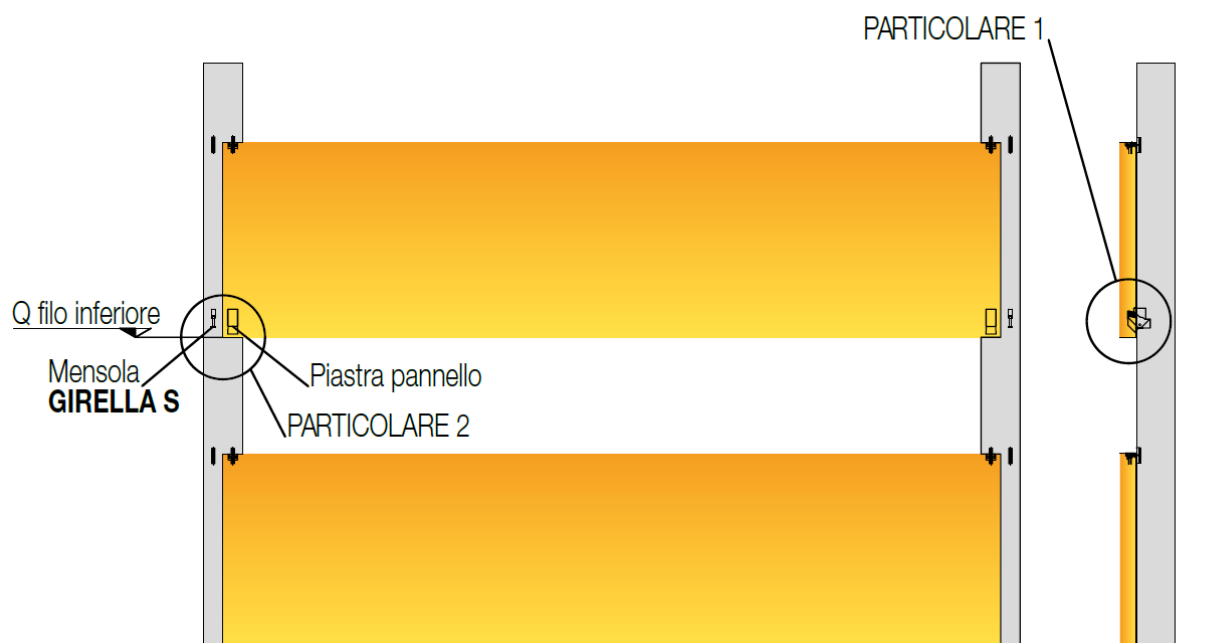




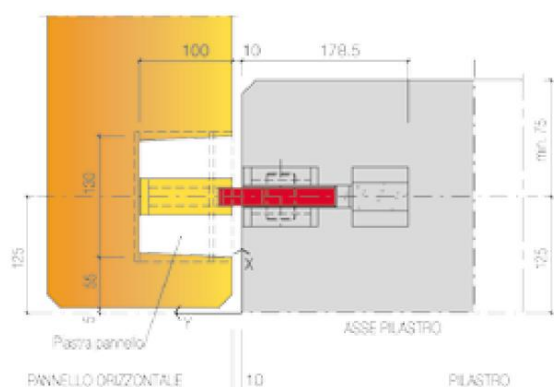
RELAZIONE ILLUSTRATIVA E DI CALCOLO		
Data emissione: 20/05/2019	RST Relazione illustrativa e di calcolo strutturale.docx	254 di 267

Ogni singolo pannello è dunque un elemento con vincolamento “isostatico”, e la risposta alle sollecitazioni agenti è indipendente da pannello a pannello (non vi sono interazioni tra i diversi elementi).

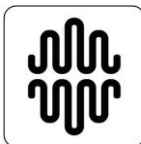
I vincoli C e D saranno realizzati con elementi costruttivi tipo Girella S/Tirella S (esempio ditta Ruredil), che sul bordo inferiore realizzano due carrelli avendo la possibilità di scorrere di almeno ± 4 cm, come da schemi seguenti:



Particolare 1

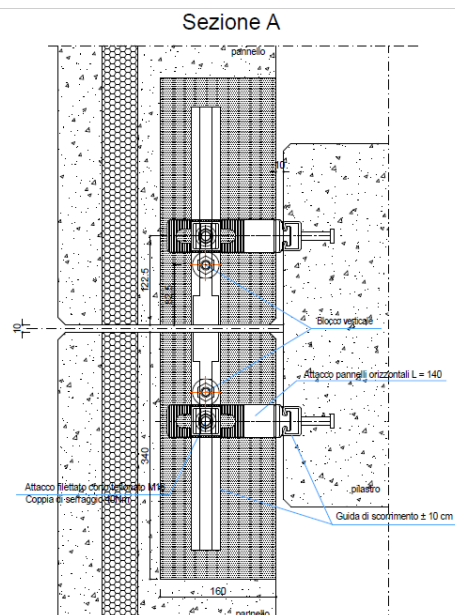
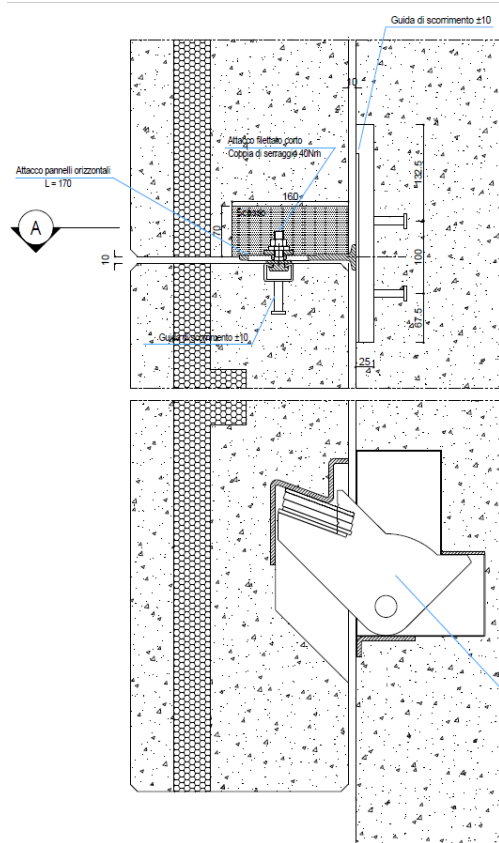
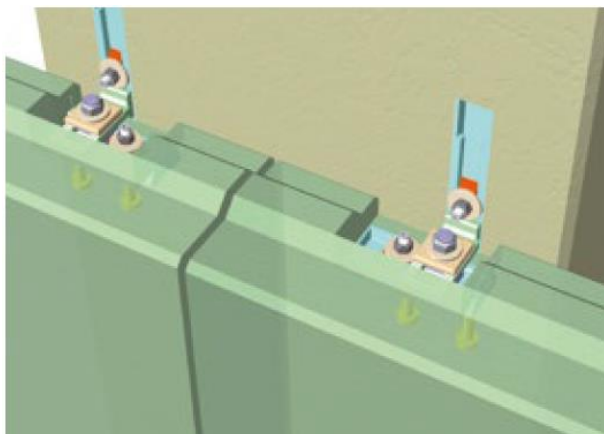


Particolare 2



RELAZIONE ILLUSTRATIVA E DI CALCOLO		
Data emissione: 20/05/2019	RST Relazione illustrativa e di calcolo strutturale.docx	255 di 267

I vincoli A e B saranno, invece, della tipologia FISIS 30 o 40 (Ruredil), che realizza una cerniera impedendo lo scorrimento relativo tra il bordo superiore del pannello orizzontale e il pilastro, come da schema seguente:



Scorrimento sulla mensola Girella o Tirella max ± 4 cm

Mensola Girella S o Tirella S

02/01/2018	0	Prima emissione	Ragazzi
Ruredil			
RUREDIL S.p.A. Via B. Spino 11 - 20139 Milano Telefono: 02 57 57 57 57 Fax: 02 57 57 57 57 Email: info@ruredil.it			
Nodo pannelli appesi / pilastro			
Ruredil			

Per quanto riguarda le verifiche, si propone il seguente schema:

Il pannello sospeso di dimensioni e peso maggiori ha estensione $8,60 \times 2,50$ m e pesa circa $3,00 \text{ kN/m}^2$ (~ 65 kN arrotondato per eccesso). L'azione sismica è quella calcolata al paragrafo 8.12 della presente, e vale 57,73 kN.

Utilizzando il sistema Girella S/Tirella S, si verificano le seguenti sollecitazioni:



RELAZIONE ILLUSTRATIVA E DI CALCOLO		
Data emissione: 20/05/2019	RST Relazione illustrativa e di calcolo strutturale.docx	256 di 267

- Per sisma \perp alla facciata:

$$\frac{F_a}{4} = 14,43 \text{ kN}$$

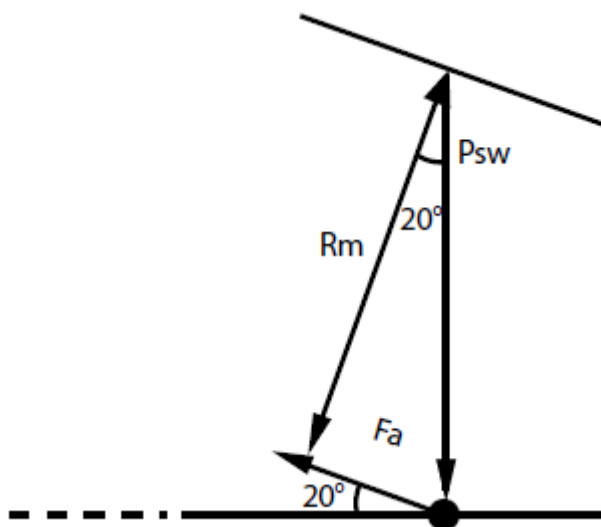
- Per sisma $//$ alla facciata:

$$\frac{F_a}{2} = 28,87 \text{ kN}$$

Il sistema resistente sarà quindi costituito da 2 vincoli inferiori carrello tipo Girella S/Tirella S (di portata nominale 60 kN) e da 2 vincoli superiori FISIS 40 con valori resistenti pari a 40 kN per sisma perpendicolare alla facciata.

Il valore della portata nominale di ciascun appoggio scorrevole è pari a 60 kN, compatibile con il peso del pannello ($65 / 2 = 32,5$ kN).

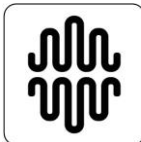
Considerando il sisma perpendicolare alla facciata, nella scheda tecnica del sistema di fissaggio Girella S/Tirella S è specificato che l'azione F_a si ripartisce in parti uguali su 4 punti ($\frac{F_a}{4}$ appunto) nell'ipotesi che le due mensole siano in grado di impedire al pannello di staccarsi dal pilastro, risalendo il piano inclinato di 20° :



Da una dimostrazione riportata nella scheda tecnica si evince che la possibilità della mensola di contrastare l'azione orizzontale sismica non dipende dal peso del pannello, ma solo dal coefficiente di accelerazione sismica, ottenendo un valore massimo di:

$$\alpha_{limite} = \frac{tg(20^\circ)}{1,58} = 0,230$$

Il valore di P_{sw} nel grafico rappresenta il carico del pannello che grava sulla mensola, pari a metà del peso del pannello stesso e 1,58 si ricava dal calcolo dell'azione sismica F_a , senza considerare il peso proprio del pannello e il coefficiente di accelerazione sismica.



RELAZIONE ILLUSTRATIVA E DI CALCOLO		
Data emissione: 20/05/2019	RST Relazione illustrativa e di calcolo strutturale.docx	257 di 267

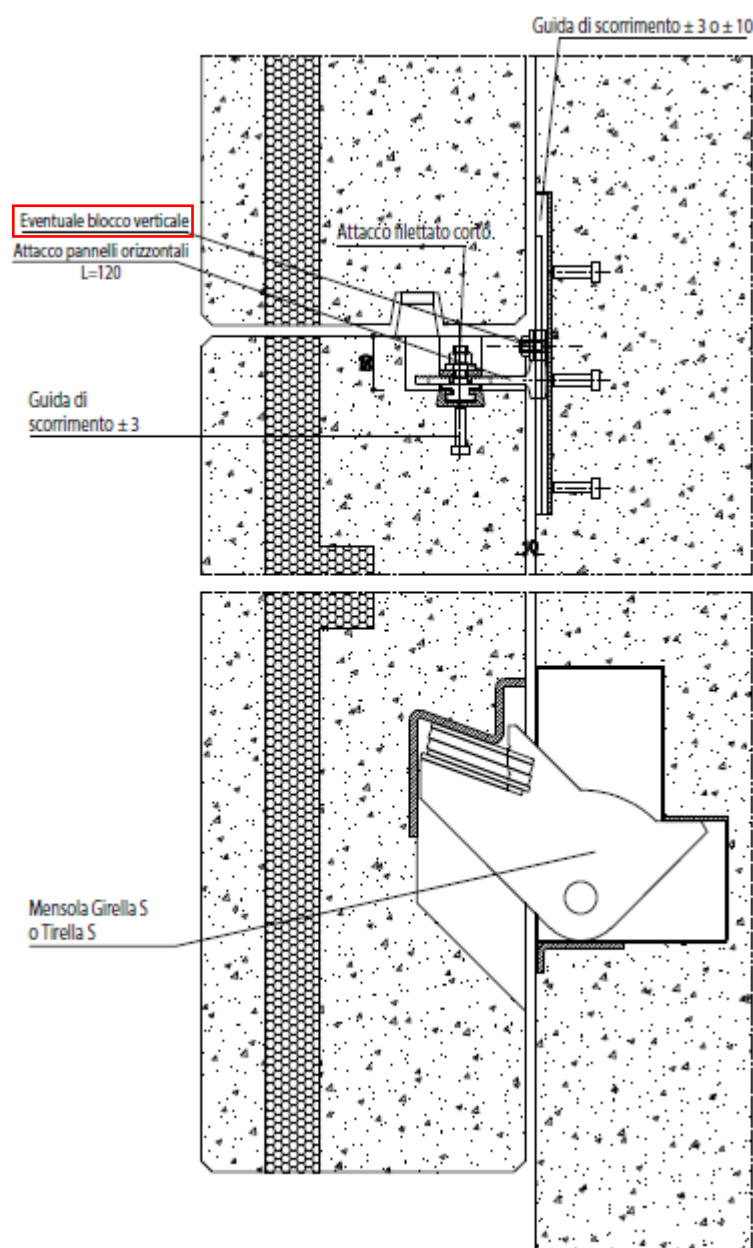
Per il calcolo dell'azione sismica sono stati presi in considerazione i parametri derivanti dall'analisi locale dell'azione sismica, a favore di sicurezza, in quanto si ottiene

$$\alpha_{locale} = 0,284$$

Rispetto a quello calcolato con la normativa

$$\alpha_{normativa} = 0,200$$

Considerando comunque la condizione peggiore, dato che $\alpha_{limite} < \alpha_{locale}$ bisogna applicare un blocco verticale nella ritenuta superiore dell'attacco; questo dispositivo è in grado di impedire al pannello di sollevarsi e di resistere a una spinta verso l'alto di 30 kN (SLU).





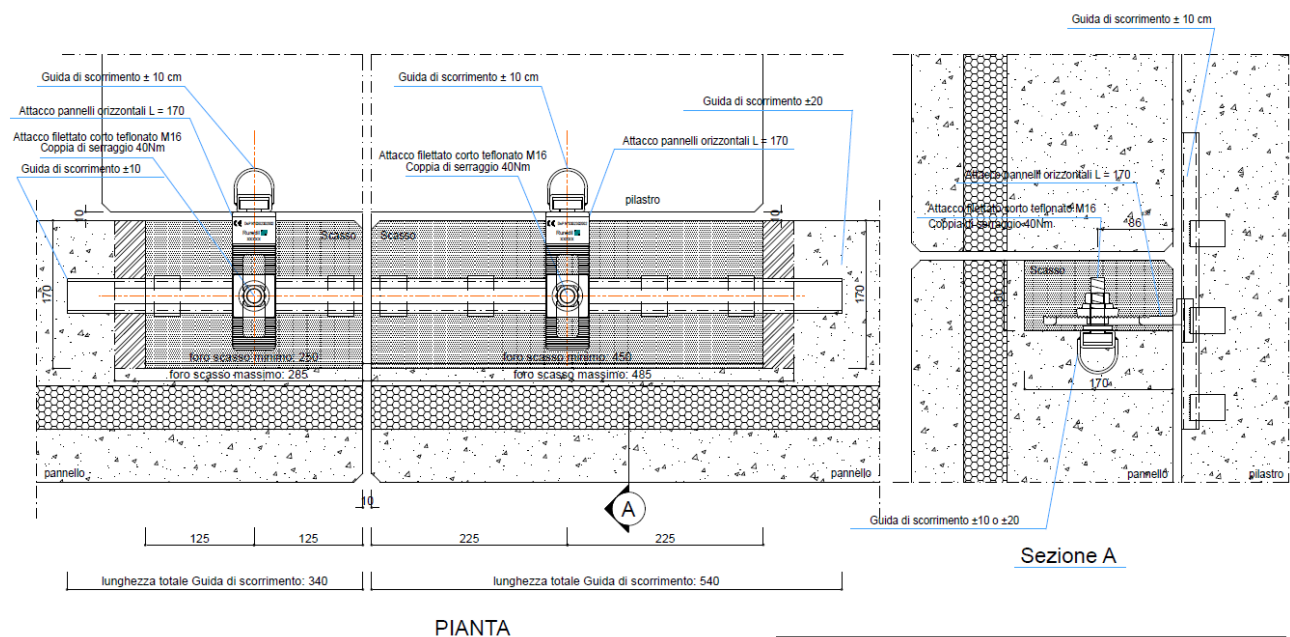
RELAZIONE ILLUSTRATIVA E DI CALCOLO		
Data emissione: 20/05/2019	RST Relazione illustrativa e di calcolo strutturale.docx	258 di 267

Si procede con il calcolo del nuovo valore limite del coefficiente di accelerazione: considerando il massimo valore di portata della mensola (60 kN) e l'aggiunta del blocco verticale (che incrementa la portata di 30 kN), si ottiene:

$$\alpha'_{limite} = \frac{tg(20^\circ) \cdot (60 \text{ kN} + 30 \text{ kN})}{1,58 \cdot 60 \text{ kN}} = 0,346$$

Verificando $\alpha_{locale} < \alpha'_{limite}$, per cui il collegamento è idoneo.

Utilizzando un ancoraggio FISIS 40 il vincolo superiore è compatibile con l'azione di tiro pari a 14,43 kN; il sistema è rappresentato nella figura seguente:



PER LE EVENTUALI ARMATURE AGGIUNTIVE DA INSERIRE NEI NODI FISIS FARE
RIFERIMENTO ALLE TABELLE DI "PRESCRIZIONE D'ARMATURE" A TAGLIO E TRAZIONE

07/05/2019	0	Prima emissione	Ragazzi
data	revisione	commenti	autorizzato
Ruredil RUREDIL S.P.A. Via B. Rossi n. 1 - 20091 S. Donato Milanese MI-400-ITALY Telefono: +39 02 6276241 Fax: +39 02 6272186 email: info@ruredil.it		Nodo pannello / pilastro con Attacco Pannelli Orizzontali L170	
		data	data
data	data	data	data

Avendo considerato la situazione peggiore, le verifiche degli altri pannelli orizzontali appesi (caratterizzati da azioni agenti minori) si ritengono soddisfatte.

Per i pannelli orizzontali che poggiano sul terreno si prevedono solo due fissaggi in sommità (superiori) tipo FISIS 40 (come quelli impiegati per i pannelli appesi).

8.31.2 VALUTAZIONE DEL SISTEMA DI AGGANCIO DEI PANNELLI VERTICALI

I pannelli verticali saranno caratterizzati da soli due fissaggi superiori (in quanto appoggiati a terra) di tipo FISIS 40 con valori resistenti pari a 40 kN:



RELAZIONE ILLUSTRATIVA E DI CALCOLO		
Data emissione: 20/05/2019	RST Relazione illustrativa e di calcolo strutturale.docx	259 di 267

FISIS[®] 40



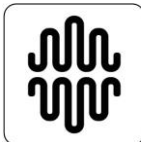
Considerando anche in questo caso il pannello peggiore, di dimensioni (2,45 x 9,8 m) e peso (~77 kN) maggiori si procede con la verifica.

L'azione sismica è quella calcolata al paragrafo 8.10 della presente e vale ~69,00 kN e il fissaggio viene verificato per sisma 1 alla facciata come segue:

$$\frac{F_a}{2} = 34,5 \text{ kN}$$

Il sistema di fissaggio è idoneo.

Avendo considerato la situazione peggiore, le verifiche degli altri pannelli verticali (caratterizzate da azioni agenti minori) si ritengono soddisfatte.



RELAZIONE ILLUSTRATIVA E DI CALCOLO		
Data emissione: 20/05/2019	RST Relazione illustrativa e di calcolo strutturale.docx	260 di 267

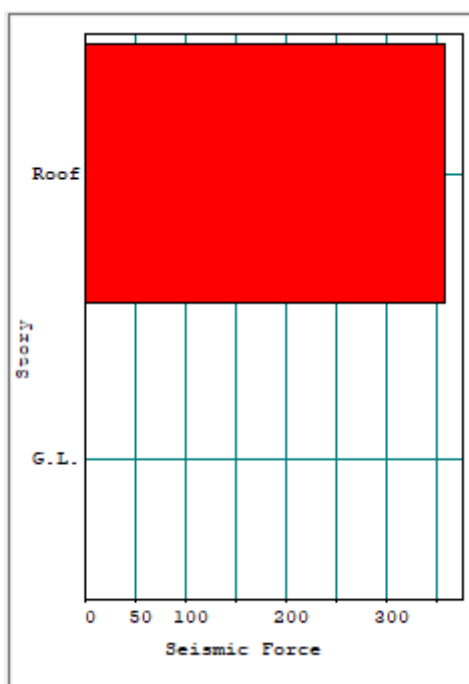
9 GIUDIZIO MOTIVATO DI AFFIDABILITA' DEI RISULTATI

In questo capitolo si riportano una serie di calcoli manuali per verificare l'affidabilità dei codici di calcolo (Midas Gen). In particolare, è stata calcolata l'azione di taglio agente sulla struttura.

9.1 Verifica affidabilità codice di calcolo: corpo ingresso

A seguito della modellazione con Midas Gen e dell'implementazione delle azioni sismiche, calcolate secondo la normativa vigente, è stato ottenuto il seguente risultato riguardante la forza di piano agente sulla struttura (analisi lineare statica), con cui si ricava il taglio alla base (*story shear*) ed il momento ribaltante (*overturning moment*):

STORY NAME	STORY WEIGHT	STORY LEVEL	SEISMIC FORCE	ADDED FORCE	STORY FORCE	STORY SHEAR	OVERTURN. MOMENT	ACCIDENT. TORSION	INHERENT TORSION	TOTAL TORSION
Roof	895.3306	3.675	356.3564	0.0	356.3564	0.0	0.0	0.0	0.0	0.0
G.L.	--	0.0	--	--	--	356.3564	1309.61	---	---	---



(i valori riportati sono espressi in kN e m).

Si riportano di seguito i calcoli manuali eseguiti per ricavare la stessa variabile.

Dal paragrafo 7.3.3.2 delle NTC2018 si ricava la formula per calcolare la forza di piano, ovvero la forza da applicare a ciascuna massa della costruzione:

$$F_i = F_h \cdot z_i \cdot \frac{W_i}{\sum_j z_j W_j}$$

Dove:



RELAZIONE ILLUSTRATIVA E DI CALCOLO		
Data emissione: 20/05/2019	RST Relazione illustrativa e di calcolo strutturale.docx	261 di 267

- F_h è la forza di taglio dipendente dall'ordinata dello spettro di risposta di progetto allo SLV in funzione del periodo fondamentale della struttura, dal peso totale della costruzione W_{TOT} , da un coefficiente λ assunto pari a 1 e dall'accelerazione di gravità $g = 9,81 \text{ m/s}^2$:

$$F_h = S_d(T_1) W_{TOT} \frac{\lambda}{g} = 371,06 \text{ kN}$$

- F_i è la forza da applicare alla massa i -esima;
- W_i e W_j sono i pesi, rispettivamente, della massa i e della massa j ;
- z_i e z_j sono le quote, rispetto al piano di fondazione (par. 3.2.3.1), delle masse i e j .

Il peso totale della struttura si ricava dalla somma dei pesi degli elementi che la compongono, ovvero:

$$W_{TOT} = W_{pilastrati} + W_{travi\ 40 \times 25} + W_{travi\ 30 \times 45} + W_{setti} + W_{solaio} + W_{solette} = 1072,42 \text{ kN}$$

Anche in questo caso, per il peso proprio totale dei pannelli è stato preso in considerazione il peso maggiore dei pannelli (come implementato in Midas Gen). In particolare:

- $W_{pilastrati} = 33,075 \text{ kN}$;
- $W_{travi\ 40 \times 25} = 37,40 \text{ kN}$;
- $W_{travi\ 30 \times 45} = 165,92 \text{ kN}$;
- $W_{setti} = 292,16 \text{ kN}$;
- $W_{solaio} = 472,74 \text{ kN}$;
- $W_{solette} = 71,12 \text{ kN}$.

Il periodo fondamentale della struttura è stato calcolato con riferimento alla formula riportata nelle NTC2008, in modo da poter procedere con un calcolo diretto della variabile; l'altezza h considerata è 3,675 m, ovvero quella implementata nel programma Midas Gen (in modo da avere un miglior confronto dei risultati):

$$T_1 = 0,075 h^{3/4} = 0,199 \text{ s}$$

Il coefficiente 0,075 è quello associato alle strutture in calcestruzzo armato.

L'ordinata dello spettro di progetto allo SLV in funzione di T_1 , $S_d(T_1)$, è stata ricavata dall'analisi dello spettro locale (ved. Capitolo 4 della presente relazione). Dividendo il valore dello spettro elastico per il fattore di struttura $q=3$, si ottiene il seguente valore:

$$S_d(T_1) = 0,346 \text{ g}$$

Essendo un edificio monopiano $i = j = 1$, quindi $F_1 = F_h = 371,06 \text{ kN}$.

L'errore che intercorre tra i valori ottenuti è trascurabile, perciò la verifica di plausibilità dei risultati si può ritenere soddisfatta.

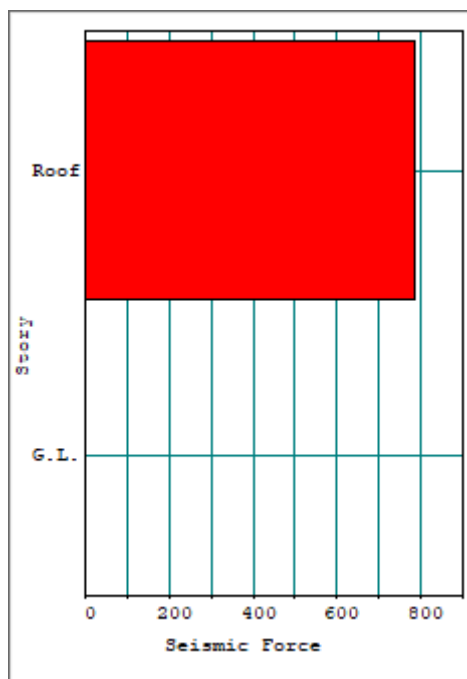


RELAZIONE ILLUSTRATIVA E DI CALCOLO		
Data emissione: 20/05/2019	RST Relazione illustrativa e di calcolo strutturale.docx	262 di 267

9.2 Verifica affidabilità codice di calcolo: corpo spogliato

A seguito della modellazione con Midas Gen e dell'implementazione delle azioni sismiche, calcolate secondo la normativa vigente, è stato ottenuto il seguente risultato riguardante la forza di piano agente sulla struttura (analisi lineare statica), con cui si ricava il taglio alla base (*story shear*) ed il momento ribaltante (*overturning moment*):

SEISMIC LOAD GENERATION DATA X - DIRECTION										
STORY NAME	STORY WEIGHT	STORY LEVEL	SEISMIC FORCE	ADDED FORCE	STORY FORCE	STORY SHEAR	OVERTURN. MOMENT	ACCIDENT. TORSION	INHERENT TORSION	TOTAL TORSION
Roof	1975.938	3.675	786.4561	0.0	786.4561	0.0	0.0	0.0	0.0	0.0
G.L.	--	0.0	--	--	--	786.4561	2890.226	---	---	---



(i valori riportati sono espressi in kN e m).

Si riportano di seguito i calcoli manuali eseguiti per ricavare la stessa variabile.

Dal paragrafo 7.3.3.2 delle NTC2018 si ricava la formula per calcolare la forza di piano, ovvero la forza da applicare a ciascuna massa della costruzione:

$$F_i = F_h \cdot z_i \cdot \frac{W_i}{\sum_j z_j W_j}$$

Dove:

- F_h è la forza di taglio dipendente dall'ordinata dello spettro di risposta di progetto allo SLV in funzione del periodo fondamentale della struttura, dal peso totale della costruzione W_{TOT} , da un coefficiente λ assunto pari a 1 e dall'accelerazione di gravità $g = 9,81 \text{ m/s}^2$:



RELAZIONE ILLUSTRATIVA E DI CALCOLO		
Data emissione: 20/05/2019	RST Relazione illustrativa e di calcolo strutturale.docx	263 di 267

$$F_h = S_d(T_1) W_{TOT} \frac{\lambda}{g} = 757,3 \text{ kN}$$

- F_i è la forza da applicare alla massa i -esima;
- W_i e W_j sono i pesi, rispettivamente, della massa i e della massa j ;
- z_i e z_j sono le quote, rispetto al piano di fondazione (par. 3.2.3.1), delle masse i e j .

Il peso totale della struttura si ricava dalla somma dei pesi degli elementi che la compongono, ovvero:

$$W_{TOT} = W_{pilastri} + W_{travi\ 40 \times 25} + W_{travi\ 30 \times 45} + W_{setti} + W_{solaio} + W_{soletta} = 2188,73 \text{ kN}$$

Anche in questo caso, per il peso proprio totale dei pannelli è stato preso in considerazione il peso maggiore dei pannelli (come implementato in Midas Gen). In particolare:

- $W_{pilastri} = 57,88 \text{ kN}$;
- $W_{travi\ 40 \times 25} = 116,46 \text{ kN}$;
- $W_{travi\ 30 \times 45} = 230,07 \text{ kN}$;
- $W_{setti} = 264,60 \text{ kN}$;
- $W_{solaio} = 1349,7 \text{ kN}$;
- $W_{soletta} = 170,02 \text{ kN}$.

Il periodo fondamentale della struttura è stato calcolato con riferimento alla formula riportata nelle NTC2008, in modo da poter procedere con un calcolo diretto della variabile; l'altezza h considerata è 3,675 m, ovvero quella implementata nel programma Midas Gen (in modo da avere un miglior confronto dei risultati):

$$T_1 = 0,075 h^{3/4} = 0,199 \text{ s}$$

Il coefficiente 0,075 è quello associato alle strutture in calcestruzzo armato.

L'ordinata dello spettro di progetto allo SLV in funzione di T_1 , $S_d(T_1)$, è stata ricavata dall'analisi dello spettro locale (ved. Capitolo 4 della presente relazione). Dividendo il valore dello spettro elastico per il fattore di struttura $q=3$, si ottiene il seguente valore:

$$S_d(T_1) = 0,346 \text{ g}$$

Essendo un edificio monopiano $i = j = 1$, quindi $F_1 = F_h = 757,3 \text{ kN}$.

L'errore che intercorre tra i valori ottenuti è trascurabile, perciò la verifica di plausibilità dei risultati si può ritenere soddisfatta.

9.3 Verifica affidabilità codice di calcolo: palestra

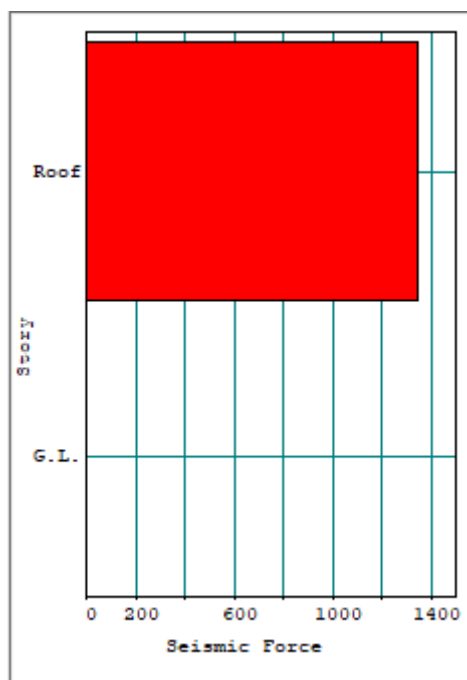
A seguito della modellazione con Midas Gen e dell'implementazione delle azioni sismiche, calcolate secondo la normativa vigente, è stato ottenuto il seguente risultato riguardante la forza di piano



RELAZIONE ILLUSTRATIVA E DI CALCOLO		
Data emissione: 20/05/2019	RST Relazione illustrativa e di calcolo strutturale.docx	264 di 267

agente sulla struttura (analisi lineare statica), con cui si ricava il taglio alla base (*story shear*) ed il momento ribaltante (*overturning moment*):

STORY NAME	STORY WEIGHT	STORY LEVEL	SEISMIC FORCE	ADDED FORCE	STORY FORCE	STORY SHEAR	OVERTURN. MOMENT	ACCIDENT. TORSION	INHERENT TORSION	TOTAL TORSION
Roof	4755.699	8.05	1343.093	0.0	1343.093	0.0	0.0	0.0	0.0	0.0
G.L.	--	0.0	--	--	--	1343.093	10811.9	---	---	---



(i valori riportati sono espressi in kN e m).

Si riportano di seguito i calcoli manuali eseguiti per ricavare la stessa variabile.

Dal paragrafo 7.3.3.2 delle NTC2018 si ricava la formula per calcolare la forza di piano, ovvero la forza da applicare a ciascuna massa della costruzione:

$$F_i = F_h \cdot z_i \cdot \frac{W_i}{\sum_j z_j W_j}$$

Dove:

- F_h è la forza di taglio dipendente dall'ordinata dello spettro di risposta di progetto allo SLV in funzione del periodo fondamentale della struttura, dal peso totale della costruzione W_{TOT} , da un coefficiente λ assunto pari a 1 e dall'accelerazione di gravità $g = 9,81 \text{ m/s}^2$:

$$F_h = S_d(T_1) W_{TOT} \frac{\lambda}{g} = 1697,63 \text{ kN}$$

- F_i è la forza da applicare alla massa i-esima;
- W_i e W_j sono i pesi, rispettivamente, della massa i e della massa j;
- z_i e z_j sono le quote, rispetto al piano di fondazione (par. 3.2.3.1), delle masse i e j.



RELAZIONE ILLUSTRATIVA E DI CALCOLO		
Data emissione: 20/05/2019	RST Relazione illustrativa e di calcolo strutturale.docx	265 di 267

Il peso totale della struttura si ricava dalla somma dei pesi degli elementi che la compongono, ovvero:

$$W_{TOT} = W_{pilastri} + W_{travi L} + W_{travi 60 \times 60} + W_{tegoli alari} + W_{pannelli pref.} + W_{pensilina} = 4741,97 \text{ kN}$$

Anche in questo caso, per il peso proprio totale dei pannelli è stato preso in considerazione il peso maggiore dei pannelli (come implementato in Midas Gen). In particolare:

- $W_{pilastri} = 941,85 \text{ kN}$;
- $W_{travi L} = 643,89 \text{ kN}$;
- $W_{travi 60 \times 60} = 332,60 \text{ kN}$;
- $W_{tegoli alari} = 1202,25 \text{ kN}$;
- $W_{pannelli pref.} = 1443,40 \text{ kN}$;
- $W_{pensilina} = 10,20 \text{ kN}$
- $W_{solaio} = 167,77 \text{ kN}$

Il periodo fondamentale della struttura è stato calcolato con riferimento alla formula riportata nelle NTC2008, in modo da poter procedere con un calcolo diretto della variabile; l'altezza h considerata è 8,05 m, ovvero quella implementata nel programma Midas Gen (in modo da avere un miglior confronto dei risultati):

$$T_1 = 0,075h^{3/4} = 0,358 \text{ s}$$

Il coefficiente 0,075 è quello associato alle strutture in calcestruzzo armato.

Dopo aver calcolato T_1 , si procede con il calcolo dell'ordinata dello spettro di risposta di progetto allo SLV $S_d(T_1)$. Facendo riferimento ai parametri ricavati dall'analisi dello spettro secondo normativa

Parametri indipendenti

STATO LIMITE	SLV
a_g	0.200 g
F_0	2.527
T_C	0.306 s
S_S	1.397
C_C	1.553
S_T	1.000
q	2.500

Parametri dipendenti

S	1.397
η	0.400
T_B	0.158 s
T_C	0.474 s
T_D	2.398 s

e verificando che

$$T_B = 0,158 \text{ s} < T_1 < T_C = 0,474 \text{ s}$$



RELAZIONE ILLUSTRATIVA E DI CALCOLO		
Data emissione: 20/05/2019	RST Relazione illustrativa e di calcolo strutturale.docx	266 di 267

Si ottiene:

$$S_d(T_1) = a_g S \frac{1}{q} F_o = 0,200 g \cdot 1,397 \cdot \frac{1}{2,5} \cdot 2,527 = 0,282 g$$

Essendo un edificio monopiano $i = j = 1$, quindi $F_1 = F_h = 1697,63 kN$.

L'errore che intercorre tra i valori ottenuti è trascurabile, perciò la verifica di plausibilità dei risultati si può ritenere soddisfatta.



RELAZIONE ILLUSTRATIVA E DI CALCOLO		
Data emissione: 20/05/2019	RST Relazione illustrativa e di calcolo strutturale.docx	267 di 267

10 CONCLUSIONI

In considerazione delle verifiche effettuate nel presente documento e delle caratteristiche dei materiali adottati per la costruzione delle strutture in esame, si ritiene che le stesse soddisfino completamente ai requisiti richiesti dalla vigente normativa.

Il tecnico incaricato

Ing. Nicola Somà